

Э. И. Расовский

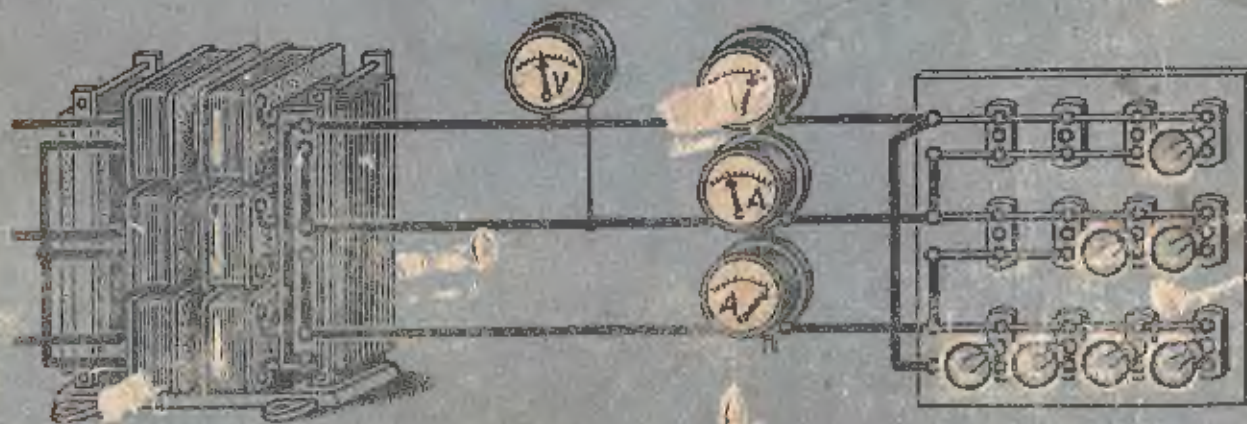
ЭЛЕКТРОТЕХНИКА

в рисунках и чертежах

Часть I

ОСНОВЫ ЭЛЕКТРОТЕХНИКИ

издание второе переработанное



Цена 23 р. в пер. по издательству 1952 г.

ГОСУДАРСТВЕННОЕ НАУЧНО-ТЕХНИЧЕСКОЕ ЭНЕРГЕТИЧЕСКОЕ ИЗДАТЕЛЬСТВО
Ленинград 1952 Москва

Э. И. РАСОВСКИЙ

ОБЩАЯ ЭЛЕКТРОТЕХНИКА В РИСУНКАХ И ЧЕРТЕЖАХ


Часть I

ОСНОВЫ ЭЛЕКТРОТЕХНИКИ

Издание второе переработанное



ГОСУДАРСТВЕННОЕ ЭНЕРГЕТИЧЕСКОЕ ИЗДАТЕЛЬСТВО
ЛЕНИНГРАД 1952 МОСКВА


ЭЛЕКТРОМЕХАНИЧЕСКАЯ
МАСТЕРСКАЯ
Политического Управления
Киевского военного
округа

№ 304 195

Гос
МОСКВА

ПРЕДИСЛОВИЕ КО ВТОРОМУ ИЗДАНИЮ

Преподавание электротехники в средних и высших технических школах часто затрудняется отсутствием пособий, обеспечивающих наглядность обучения. Сложные процессы в электрических цепях, в электрических машинах и аппаратах затруднительно изобразить наглядно на доске. Применение экспериментальных установок, демонстрационных моделей и наглядных учебных пособий способствует уяснению слушателями физической сущности рассматриваемых явлений и лучшему усвоению излагаемого материала.

Длительный опыт преподавания теоретических основ электротехники и курса общей электротехники в Московском институте механизации и электрификации сельского хозяйства имени В. М. Молотова (МИМЭСХ) полностью подтверждает целесообразность использования таких опытов и наглядных пособий.

Советские средние и высшие технические учебные заведения имеют значительное количе-

ство современного лабораторного оборудования, высококачественных учебников и учебных пособий по электротехнике. Однако немногие из учебных заведений располагают достаточно оборудованными демонстрационными кабинетами и надлежащими наглядными пособиями.

Настоящее пособие предназначено для широкого круга лиц, изучающих и преподающих электротехнику. В таблицах приведены рисунки и схемы установок и моделей демонстрационного кабинета кафедры основ электротехники МИМЭСХ. Пособие составлено коллективом кафедры (Ш. М. Алукер, И. А. Васильева, М. Д. Каминский], Э. И. Расовский, П. Ф. Скворцов) под редакцией Э. И. Расовского и состоит из двух частей.

Первое издание I части настоящего пособия вышло из печати в 1950 г. и полностью разошлось к моменту выхода в свет II части этого пособия в 1951 г.

В новом издании учтены ценные замечания и пожелания, полученные от читателей.

Значительной переработке подверглись главы первая и третья, и частично главы вторая и пятая. Глава четвертая осталась без существенных изменений по причинам, не зависящим от автора.

Автор приносит глубокую благодарность проф. Е. В. Нитусову, проф. М. Ф. Пояркову,

проф. В. Н. Степанову и доценту А. И. Даревскому за ряд весьма ценных указаний.

Особую благодарность автор выражает проф. В. Ю. Ломоносову, взявшему на себя труд по рецензированию обеих частей пособия.

Отзывы и пожелания просим направлять по адресу: Москва, Шлюзовая наб., д. 10. Госэнергоиздат:

Автор

СОКРАЩЕННЫЕ ОБОЗНАЧЕНИЯ ЭЛЕКТРИЧЕСКИХ И МАГНИТНЫХ ВЕЛИЧИН И ЕДИНИЦ ИХ ИЗМЕРЕНИЯ

Величина	Обозначение	Единица измерения	Обозначение	
			русским шрифтом	латинским или греческим шрифтом
I. Общетехнические величины				
Длина	l	метр ¹	$м$	m
Поверхность	S	квадратный метр	$м^2$	m^2
Объем	V	кубический метр	$м^3$	m^3
Масса	m	килограмм ¹	$кг$	kg
Время	t	секунда ¹	$сек$	sec
Скорость	v	метр в секунду	$м/сек$	m/sec
Ускорение	a	метр на секунду в квадрате	$м/сек^2$	m/sec^2
Работа; энергия	$A; W$	джоуль	$дж$	J
Сила	F	ньютон	$н$	N
Мощность	P	или джоуль на метр	$дж/м$	J/m
		ватт или	$вт$	W
		джоуль в секунду	$дж/сек$	J/sec
II. Электрические и магнитные величины				
Электрический заряд; количество электричества	$Q; q$	кулон	$к$	C
Объемная плотность заряда	ρ	кулон на кубический метр	$к/м^3$	C/m^3
Поверхностная плотность заряда	σ	кулон на квадратный метр	$к/м^2$	C/m^2

¹ Основные единицы абсолютной электромагнитной системы МКСА (метр, килограмм, секунда, ампер).

Величина	Обозначение	Единица измерения	Обозначение	
			русским шрифтом	латинским или греческим шрифтом
Электрический ток	a	Ампер ¹	a	A(C/sec)
Плотность тока	δ	ампер на квадратный метр	a/m^2	A/m ²
Напряженность электрического поля	E	вольт на метр	$в/м$	V/m
Электрическое напряжение	U, u	вольт	$в$	V(J/C)
Электродвижущая сила	E, e	вольт	$в$	V
Электрический потенциал	φ	вольт	$в$	V
Электрическое сопротивление	R	ом	$ом$	$\Omega(V/A)$
Электрическая проводимость	g	единица на ом	$1/ом$	$1/\Omega$
Удельная проводимость	γ	единица на ом и на метр	$1/ом \cdot м$	$1/\Omega \cdot m$
Температурный коэффициент электрического сопротивления	α	единица на градус Цельсия	$1/^\circ C$	$1/^\circ C$
Постоянная времени	τ	секунда	$сек$	sec
Диэлектрическая постоянная	ϵ_0	фарада на метр	$фб/м$	F/m
Электрическая поляризация (вектор поляризации)	P	кулон на квадратный метр	$к/м^2$	C/m ²
Коэффициент поляризации	α	—	—	—
Электрическое смещение	D	кулон на квадратный метр	$к/м^2$	C/m ²
Поток электрического смещения	N	кулон	$к$	C
Относительная диэлектрическая проницаемость вещества	ϵ_r	—	—	—
Диэлектрическая проницаемость вещества	ϵ	фарада на метр	$фб/м$	F/m
Электрическая емкость	C	фарада	$ф$	F(C/V)

Величина	Обозначение	Единица измерения	Обозначение	
			русским шрифтом	латинским или греческим шрифтом
Магнитная индукция	B	вольт секунда на квадратный метр, гаусс	$в \cdot сек/м^2$	$V \cdot sec/m^2$
Магнитный поток	Φ	вольт секунда	$в \cdot сек$	$V \cdot sec$
Потокосцепление	Ψ	вольт секунда	$в \cdot сек$	$V \cdot sec$
Полный ток; ампервитки	$\Theta, I\omega$	ампер	a	A
Магнитная постоянная	μ_0	генри на метр	$гн/м$	H/m
Намагниченность	J	ампер на метр	$a/м$	A/m
Напряженность магнитного поля	H	ампер на метр	$a/м$	A/m
Магнитное напряжение	U_m, Hl	ампер	a	A
Магнитный скалярный потенциал	φ_m	ампер	a	A
Магнитная восприимчивость	χ	—	—	—
Относительная магнитная проницаемость вещества	μ_r	—	—	—
Магнитная проницаемость вещества	μ	генри на метр	$гн/м$	H/m
Магнитная проводимость	g_m	генри	$гн$	$H(V \cdot sec/A)$
Магнитное сопротивление	R_m	единица на генри	$1/гн$	$1/H(A/V \cdot sec)$
Коэффициент магнитного рассеяния	σ	—	—	—
Индуктивность	L	генри	$гн$	H
Взаимная индуктивность	M	генри	$гн$	H
Коэффициент магнитной связи	K	—	—	—
Период	T	секунда	$сек$	sec
Частота	f	герц	$гц$	Hz
Угловая частота	ω	единица на секунду	$сек^{-1}$	sec^{-1}

Величина	Обозначение	Единица измерения	Обозначение	
			русским шрифтом	латинским или греческим шрифтом
Начальная фаза	ψ	радиан	<i>рад</i>	rad
Угол сдвига фаз	φ	радиан	<i>рад</i>	rad
Активное сопротивление	R	ом	<i>ом</i>	Ω
Индуктивное сопротивление	x_L	ом	<i>ом</i>	Ω
Емкостное сопротивление	x_c	ом	<i>ом</i>	Ω
Реактивное сопротивление	x	ом	<i>ом</i>	Ω
Полное сопротивление	Z	ом	<i>ом</i>	Ω
Активная проводимость	g	единица на ом	<i>1/ом</i>	$1/\Omega$
Реактивная проводимость	b	единица на ом	<i>1/ом</i>	$1/\Omega$
Полная проводимость	Y	единица на ом	<i>1/ом</i>	$1/\Omega$
Активная мощность	P_a, P	ватт	<i>вт</i>	w
Реактивная мощность	P_r, Q	вольтампер реактивный	<i>вар</i>	VAR
Кажущаяся мощность	P_i, S	вольтампер	<i>ва</i>	VA
Коэффициент мощности	$\cos \varphi$	—	—	—

ПРИСТАВКИ ДЛЯ ОБРАЗОВАНИЯ КРАТНЫХ И ДОЛЬНЫХ ЕДИНИЦ

Наименование	Отношение к главной единице	Обозначение		Наименование	Отношение к главной единице	Обозначение	
		русским шрифтом	латинским или греческим шрифтом			русским шрифтом	латинским или греческим шрифтом
Тера	10^{12}	<i>Т</i>	T	Деци	10^{-1}	<i>дц</i>	dc
Гига	10^9	<i>Г</i>	G	Сантн	10^{-2}	<i>с</i>	c
Мега	10^6	<i>мг</i>	M	Милли	10^{-3}	<i>м</i>	m
Кило	10^3	<i>к</i>	k	Микро	10^{-6}	<i>мк</i>	μ
Гекто	10^2	<i>г</i>	h	Нано	10^{-9}	<i>н</i>	n
Дека	10	<i>дк</i>	dk	Пико	10^{-12}	<i>п</i>	p

Примечание. Единицы, кратные по времени амперсекунде и ваттсекунде, образуются по правилам единиц времени, а именно, ампер час [ач, Ah], ватт час [втч, Wh].

СОДЕРЖАНИЕ

Предисловие ко второму изданию
 Сокращенные обозначения электрических и
 магнитных величин и единиц их измерения
 Приставки для образования кратных и доль-
 ных единиц.

Глава первая. Постоянный ток

Таблица	1. Электрический заряд
»	2. Проводники и изоляторы
»	3. Электрическое поле
»	4. Электрическое напряжение
»	5. Электрический потенциал
»	6. Проводники в электрическом поле
»	7. Электрический ток
»	8. Электрическая мощность
»	9. Преобразование энергии в электри- ческой цепи
»	10. Гальванические элементы
»	11. Свинцовые аккумуляторы
»	12. Железо-никелевые (щелочные) ак- кумуляторы
»	13. Закон Ома
»	14. Закон Ленца-Джоуля
»	15. Электрическое сопротивление
»	16. Реостаты

Таблица	17. Нелинейные сопротивления
»	18. Последовательное соединение со- противлений
»	19. Параллельное соединение сопро- тивлений
»	20. График потенциала
»	21. Смешанное соединение сопротивле- ний
»	22. Измерение тока и напряжения
»	23. Электродвижущая сила источника и напряжение на его зажимах
»	24. Электродвижущая сила приемника и напряжение на его зажимах
»	25. Последовательное соединение источ- ников и приемников
»	26. Параллельное соединение источни- ков или приемников
»	27. Параллельное соединение источни- ков или приемников (продолжение)
»	28. Разветвленные цепи
»	29. Нагрев и охлаждение проводов
»	30. Плавкие предохранители
»	31. Потеря напряжения в проводах
»	32. Высокое и низкое напряжение
»	33. Шаговое напряжение

Глава вторая. Электрическое поле

Таблица	1. Однородное электрическое поле
»	2. Поляризация диэлектриков
»	3. Электрическое смещение
»	4. Диэлектрическая проницаемость
»	5. Емкость
»	6. Конденсаторы
»	7. Зарядка и разрядка конденсаторов
»	8. Параллельное и последовательное соединение конденсаторов
»	9. Диэлектрические цепи
»	10. Цилиндрический конденсатор
»	11. Двухпроводная линия
»	12. Энергия электрического поля
»	13. Механические силы в электрическом поле
»	14. Пробой диэлектрика

Глава третья. Магнитное поле

Таблица	1. Магнитное поле
»	2. Магнитная индукция
»	3. Правило левой руки
»	4. Закон полного тока
»	5. Правило штопора
»	6. Магнитный поток
»	7. Ферромагнетизм
»	8. Намагниченность
»	9. Напряженность магнитного поля

Таблица	10. Напряженность магнитного поля (продолжение)
»	11. Кривая намагничивания и петля гистерезиса
»	12. Кривые намагничивания электротехнической стали и чугуна
»	13. Магнитная проницаемость
»	14. Магнитная цепь
»	15. Расчет магнитной цепи
»	16. Разветвленные магнитные цепи
»	17. Постоянные магниты
»	17а. Расчет постоянных магнитов
»	18. Электромагнитная индукция
»	19. Преобразование энергии в электрическом генераторе
»	20. Преобразование энергии в электрическом двигателе
»	21. Зубчатый якорь
»	22. Униполярная индукция
»	23. Закон электромагнитной индукции
»	24. Закон электромагнитной индукции (продолжение)
»	25. Вихревое электрическое поле
»	26. Вихревые токи
»	27. Энергия магнитного поля
»	28. Самоиндукция
»	29. Включение и выключение цепи с индуктивностью.
»	30. Индуктивность кабеля и двухпроводной линии
»	31. Взаимоиндукция

Таблица	32. Механические силы в магнитном поле (электромагнитные силы)
»	33. Закон электромагнитных сил
»	34. Закон Ампера
»	35. Электромагниты

Глава четвертая. Переменный ток

Таблица	1. Получение переменного тока
»	2. Простейший генератор переменного тока
»	3. Векторные и линейные диаграммы
»	4. Действующее и среднее значения переменного тока или напряжения
»	5. Сложение и вычитание переменных токов или напряжений
»	6. Взаимодействие переменных токов
»	7. Ваттметр в цепи переменного тока
»	8. Цепь переменного тока с активным сопротивлением
»	9. Цепь переменного тока с индуктивностью
»	10. Цепь переменного тока с емкостью
»	11. Параллельное соединение индуктивности и емкости
»	12. Электрический колебательный контур
»	13. Последовательное соединение активного и индуктивного сопротивлений
»	14. Последовательное соединение активного и емкостного сопротивлений

Таблица	15. Последовательное соединение индуктивности и емкости
»	16. Резонанс напряжений
»	17. Последовательная цепь переменного тока
»	18. Параллельное соединение активного сопротивления и индуктивности
»	19. Параллельное соединение активного сопротивления и емкости
»	20. Активная и реактивная составляющие общего напряжения или тока
»	21. Параллельное соединение потребителей переменного тока
»	22. Коэффициент мощности
»	23. Компенсация сдвига фаз
»	24. Параллельные цепи переменного тока
»	25. Резонанс токов
»	26. Последовательно-параллельные цепи переменного тока
»	27. Электродвижущая сила и напряжение генератора переменного тока
»	28. Параллельное соединение генераторов
»	29. Падение и потеря напряжения
»	30. Передача энергии переменным током (демонстрационная установка)
»	31. Цепи с взаимной индукцией
»	32. Преобразование энергии в трансформаторе
»	33. Цепи, содержащие сталь
»	34. Реактивная катушка

Глава пятая. Трехфазный ток

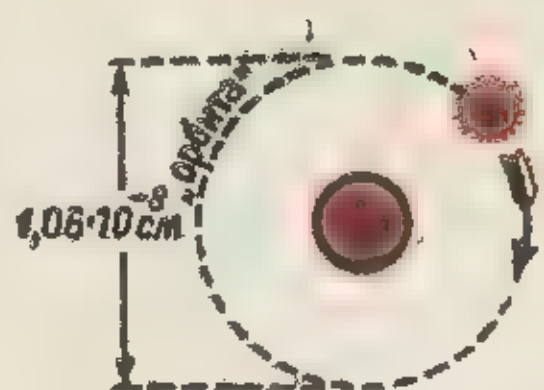
Таблица	1. Простейший генератор трехфазного тока
»	2. Холостой ход трехфазного генератора
»	3. Соединение звездой (λ)
»	4. Мгновенное токораспределение при соединении звездой (демонстрационная установка)
»	5. Несимметричная нагрузка при соединении звездой (четырёхпроводная система)
»	6. Несимметричная нагрузка при соединении звездой (трехпроводная система)
»	7. Смещение нейтрали
»	8. Соединение треугольником (Δ)
»	9. Мгновенное токораспределение при соединении треугольником
»	10. Несимметричная нагрузка при соединении треугольником
»	11. Переключение со звезды на треугольник

Таблица	12. Мощность трехфазной цепи
»	13. Измерение мощности в трехпроводной системе
»	14. Метод двух ваттметров при симметричной нагрузке
»	15. Метод двух ваттметров при симметричной нагрузке (продолжение)
»	16. Метод одного ваттметра (симметричная нагрузка фаз)
»	17. Измерение реактивной мощности
»	18. Параллельное соединение потребителей трехфазного тока
»	19. Потеря напряжения в проводах
»	20. Вращающееся магнитное поле (двухфазное)
»	21. Вращающееся эллиптическое магнитное поле
»	22. Двухполюсное вращающееся магнитное поле
»	23. Многополюсное вращающееся магнитное поле
»	24. Замкнутый контур во вращающемся магнитном поле

Подписано к печати 8/X-1952 г.
Бумага 60×92. Тираж 10.000 экз.
Т—07021

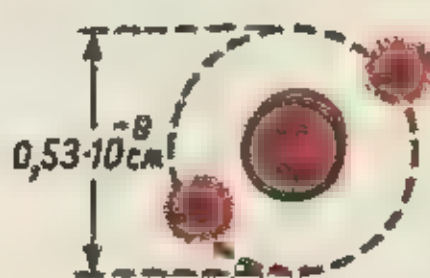
2-я типография Гослесбумиздата
Ленинград

ЭЛЕКТРИЧЕСКИЙ ЗАРЯД



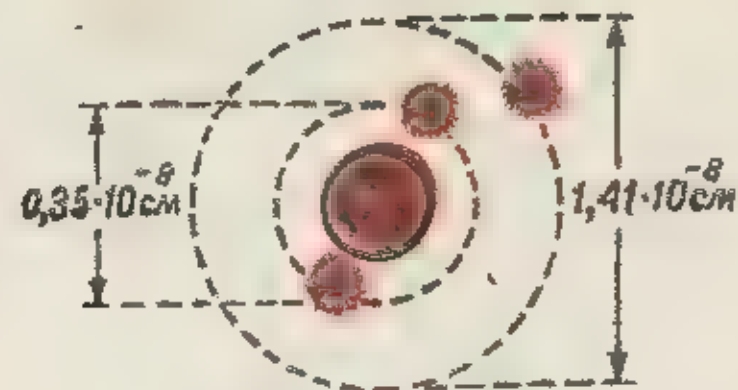
$m = 1,6733 \cdot 10^{-24}$ г
масса

Атом водорода (H^1)



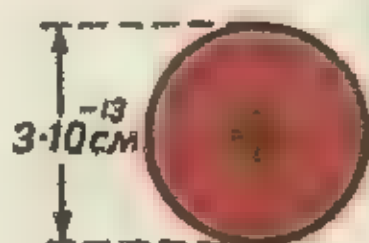
$m = 6,6458 \cdot 10^{-24}$ г
масса

Атом гелия (He^4)



$m = 11,5 \cdot 10^{-24}$ г
масса

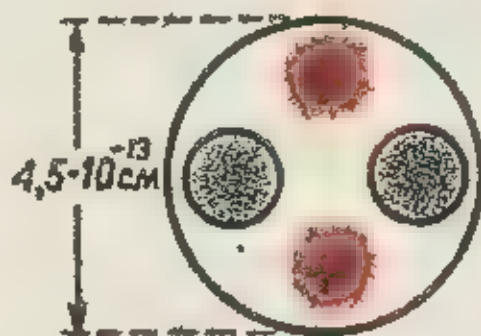
Атом лития (Li^7)



$m = 1,6724 \cdot 10^{-24}$ г
масса

$Q = 1,6 \cdot 10^{-19}$ Кл
заряд

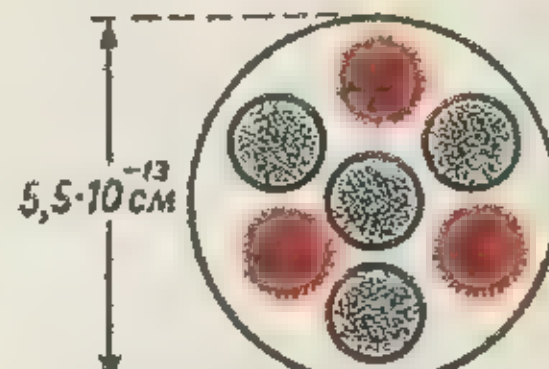
Протон
(ядро водорода)



$m = 6,644 \cdot 10^{-24}$ г
масса

$Q = 3,2 \cdot 10^{-19}$ Кл
заряд

Ядро атома гелия



$m = 11,6 \cdot 10^{-24}$ г
масса

$Q = 4,8 \cdot 10^{-19}$ Кл
заряд

Ядро атома лития



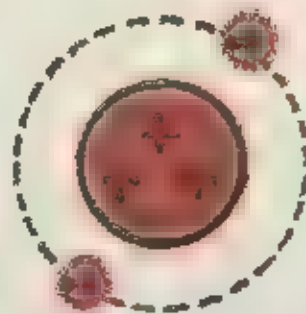
$m = 9,1 \cdot 10^{-28}$ г
 $Q = 1,6 \cdot 10^{-19}$ Кл

Электрон



$m = 1,6738 \cdot 10^{-24}$ г
 $Q = 0$ Кл

Нейтрон



$m = 11,5 \cdot 10^{-24}$ г
 $Q = 1,6 \cdot 10^{-19}$ Кл

Положительный
ион лития

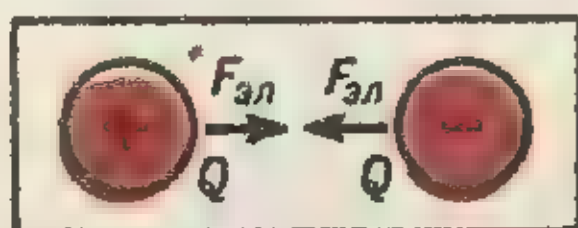


Условное
обозначение
ионов

СХЕМАТИЧЕСКОЕ ИЗОБРАЖЕНИЕ АТОМОВ И ЭЛЕМЕНТАРНЫХ ЧАСТИЦ

Электрически нейтральные атомы содержат равные количества положительных и отрицательных зарядов

Единица количества электричества — КУЛОН (Кл)
равен заряду $6,2 \cdot 10^{18}$ электронов



ПРИТЯЖЕНИЕ
разноименных зарядов

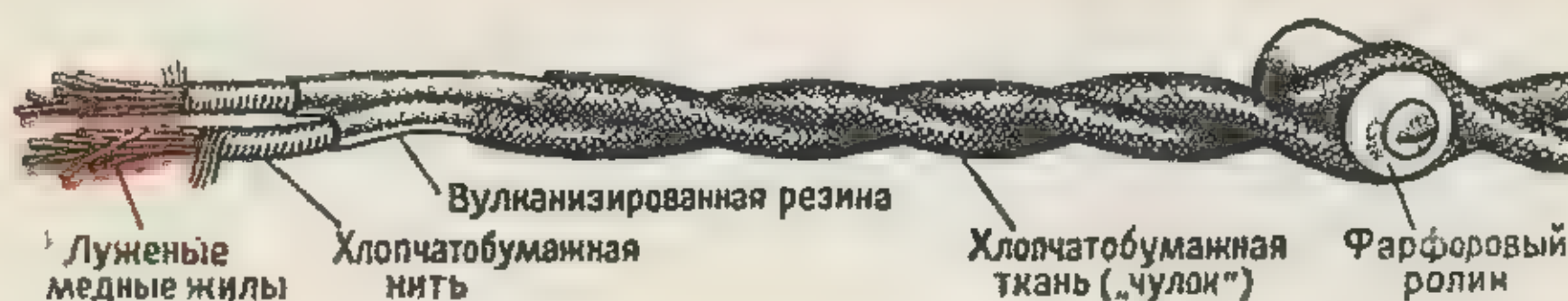


ОТТАЛКИВАНИЕ
одноименных зарядов

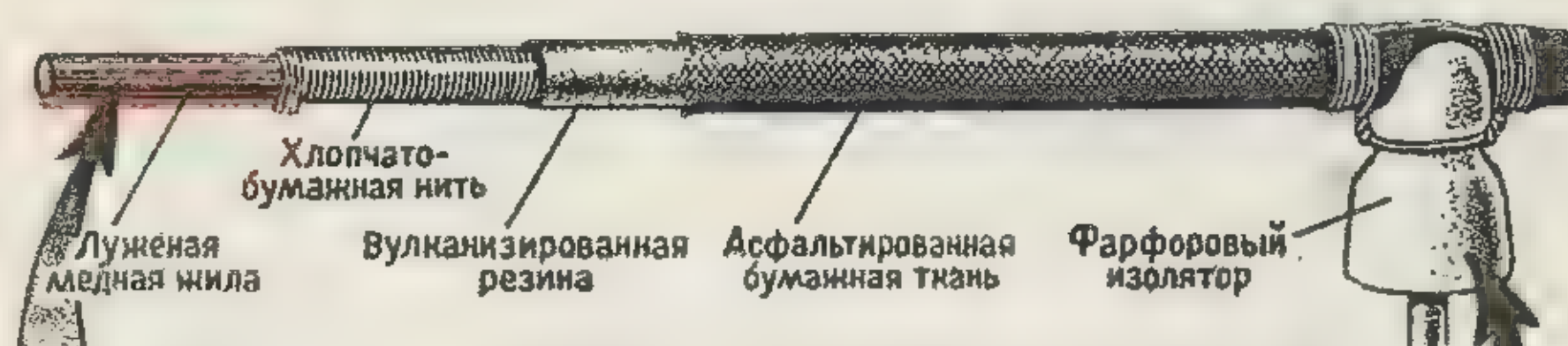
СИЛЫ ВЗАИМОДЕЙСТВИЯ ЭЛЕКТРИЧЕСКИХ ЗАРЯДОВ (ЭЛЕКТРИЧЕСКИЕ СИЛЫ)

Э.И. Расовенный

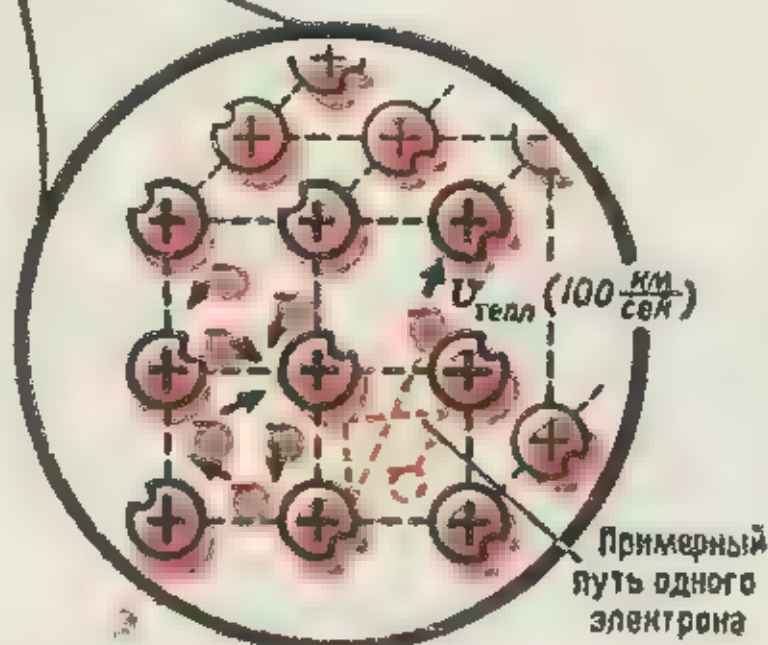
ПРОВОДНИКИ И ИЗОЛЯТОРЫ



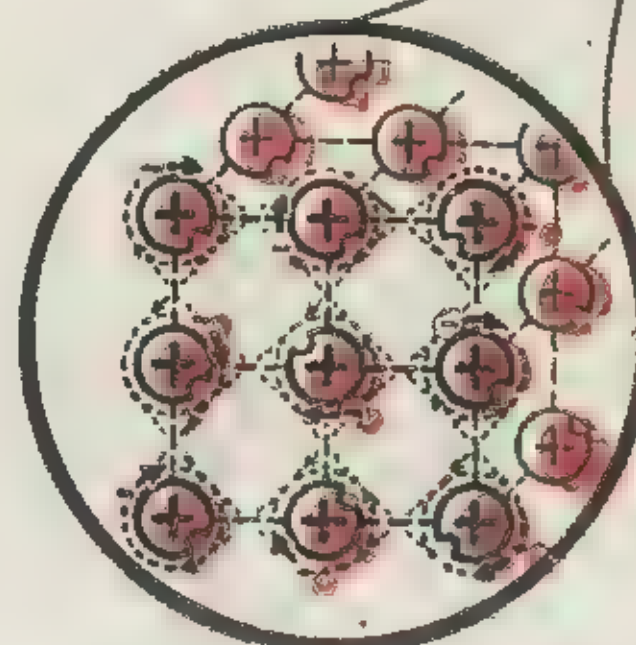
Шнур с резиновой изоляцией двухжильный (ШР)



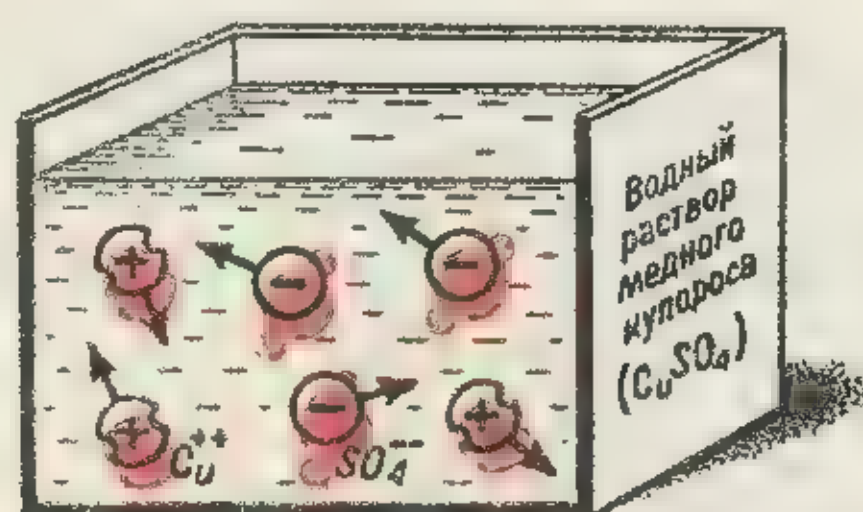
Провод медный с резиновой изоляцией (ПР)



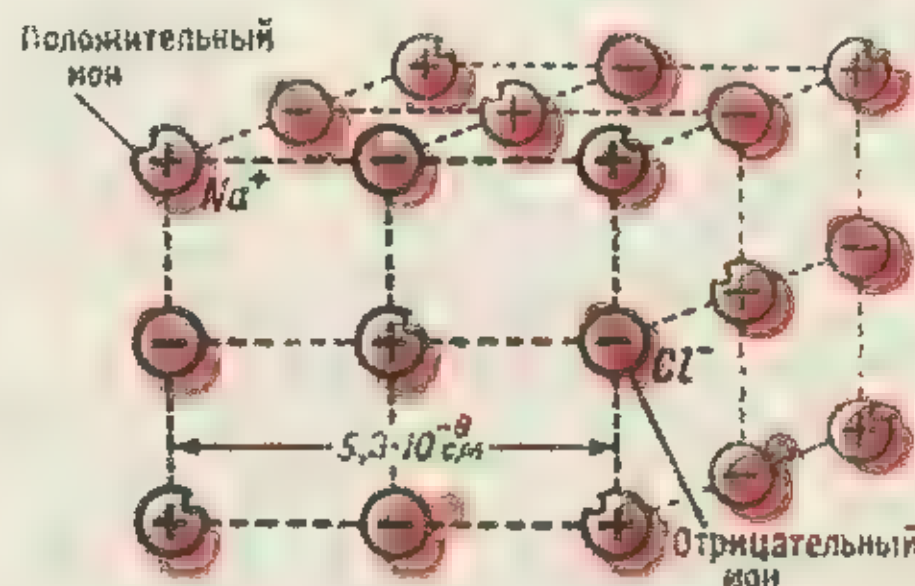
Беспорядочное тепловое движение свободных электронов в межатомном пространстве проводника



Движение связанных электронов в изоляторе



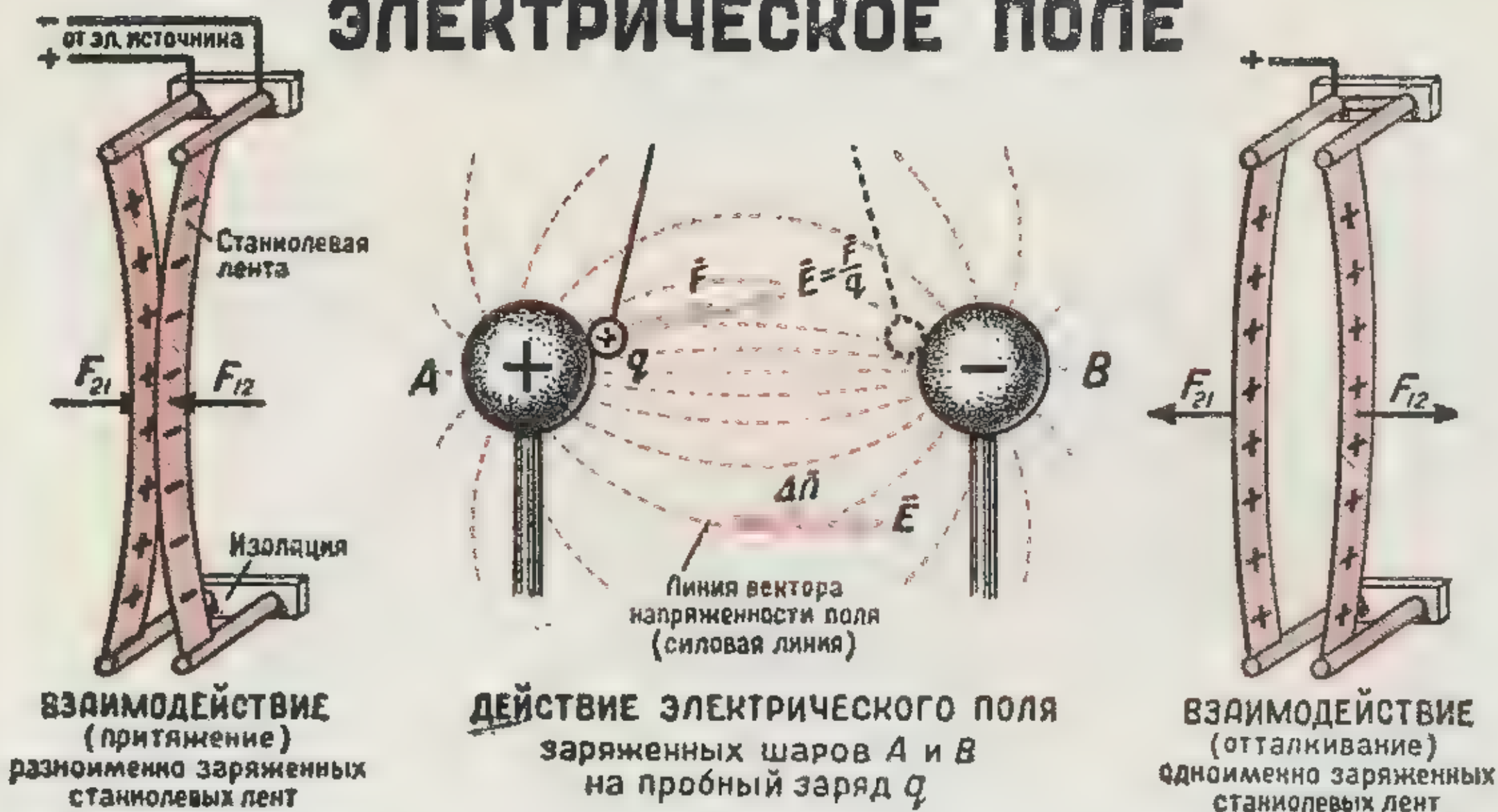
Беспорядочное тепловое движение ионов в электролите



Ионная кристаллическая решетка изолятора (каменная соль — NaCl)

З.И. Расовский

ЭЛЕКТРИЧЕСКОЕ ПОЛЕ

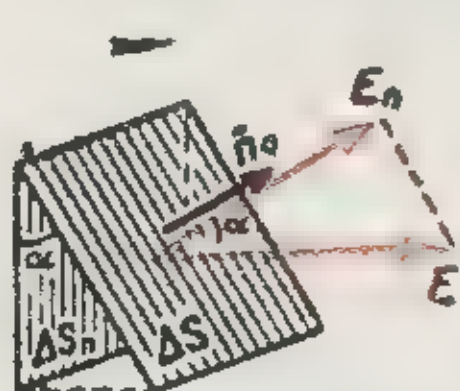


ЭЛЕКТРИЧЕСКИМ ПОЛЕМ называется особая форма движения материи в некоторой области пространства, в каждой точке которого проявляются силы, действующие на электрические заряды

$$\vec{E} = \frac{\vec{F}}{q} \quad \text{В/м} \left(\frac{\text{дж/м}}{\text{к}} \right)$$

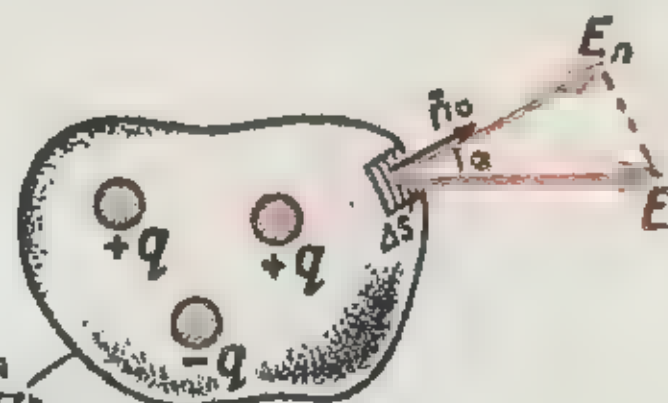
Напряженность электрического поля

НАПРЯЖЕННОСТЬ ЭЛЕКТРИЧЕСКОГО ПОЛЯ есть основная физическая величина, характеризующая интенсивность электрического поля в каждой его точке и представляющая собою силу, отнесенную к единице пробного заряда. **НАПРЯЖЕННОСТЬ ПОЛЯ** является направленной величиной (ВЕКТОР), совпадающей с электрической силой



$$\vec{E} \cdot \Delta \vec{S} = E \cdot \Delta S \cdot \cos \alpha = E_n \Delta S = E \cdot \Delta S_n \quad \text{В·м}$$

Поток вектора E сквозь площадку ΔS



Замкнутая поверхность

$$\sum \vec{E} \Delta \vec{S} = \sum E_n \Delta S \quad \text{В·м}$$

Поток вектора напряженности поля сквозь замкнутую поверхность

$$\epsilon_0 \sum \vec{E} \Delta \vec{S} = \sum q \quad \text{К}$$

Поток вектора напряженности электрического поля сквозь замкнутую поверхность пропорционален заряду, заключенному внутри этой поверхности.

$$\epsilon_0 = \frac{1}{4\pi \cdot 9 \cdot 10^9} \quad \frac{\text{К}}{\text{В·м}}$$

Электрическая постоянная

Теорема Остроградского-Гаусса

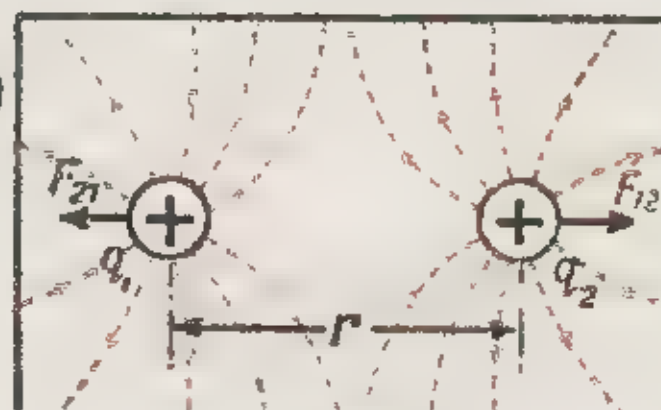


Притяжение

$$F_{12} = E_1 q_2 = \frac{q_1 q_2}{\epsilon_0 4\pi r^2} \quad \frac{\text{дж}}{\text{м}} \left(\frac{\text{Н}}{\text{м}} \right)$$

Сила взаимодействия двух "точечных" зарядов

ЗАКОН КУЛОНА



Отталкивание

Электростатическое поле — электрическое поле неподвижных зарядов

Э.И. Расовский

ЭЛЕКТРИЧЕСКОЕ НАПРЯЖЕНИЕ И Э.Д.С.

$$U_{AB} = \frac{W_{эл}}{q} = \sum_A^B \frac{\vec{F}_{эл} \cdot \Delta \vec{l}}{q} = \sum_A^B \vec{E} \cdot \Delta \vec{l} \quad \text{В}$$

Электрическое напряжение

Движение заряженного шарика в электрическом поле

$$\vec{E} = \frac{\Delta U}{\Delta n} \vec{n} \quad \frac{\text{В}}{\text{м}}$$

Напряженность электрического поля

Электрическое напряжение между двумя произвольными точками есть работа, совершаемая ЭЛЕКТРИЧЕСКИМИ силами и отнесенная к единице положительного пробного заряда при его переносе от первой точки до второй

• НАПРЯЖЕНИЕ — РАБОТА ЭЛЕКТРИЧЕСКИХ СИЛ, ОТНЕСЕННАЯ К ЕДИНИЦЕ КОЛИЧЕСТВА ЭЛЕКТРИЧЕСТВА •

|| Напряженность электрического поля измеряется напряжением, отнесенным к единице длины силовой линии ||

ЭЛЕКТРИЧЕСКОЕ НАПРЯЖЕНИЕ

Электрический генератор

Простейший электрический генератор
(сравни таблицу №17 главы 3)

Химический элемент
(ε ≈ 1,1В)

$$\vec{E}_{стор} = \vec{F}_{стор}' / q \quad \frac{\text{В}}{\text{м}}$$

Сторонняя напряженность

Термопара
(ε_{100°} ≈ 4мВ; ε_{500°} ≈ 26мВ)

$$\mathcal{E}_{BA} = \frac{W_{стор}}{q} = \sum_B^A \frac{\vec{F}_{стор} \cdot \Delta \vec{l}}{q} = \sum_B^A \vec{E} \cdot \Delta \vec{l} \quad \text{В}$$

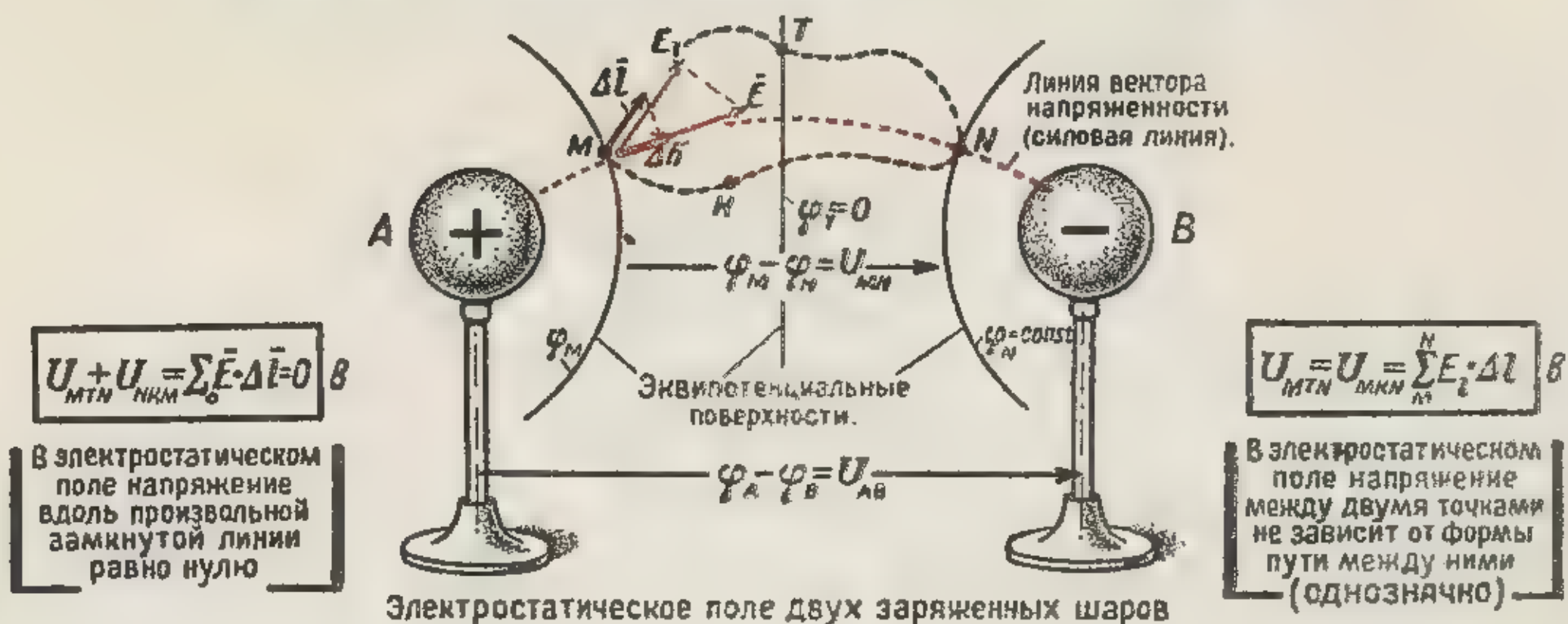
Электродвижущая сила (э.д.с.)

Электрическое напряжение, развиваемое источником (приемником), или его э.д.с., есть работа, совершаемая СТОРОННИМИ (не электростатическими) силами и отнесенная к единице положительного пробного заряда при его переносе от одного зажима до другого

• ЭДС — работа сторонних сил, отнесенная к единице количества электричества •

ЭЛЕКТРОДВИЖУЩАЯ СИЛА (Э.Д.С.)

ЭЛЕКТРИЧЕСКИЙ ПОТЕНЦИАЛ



$$\varphi_M = U_{MT} = \sum \vec{E}_i \cdot \Delta \vec{l}$$

Электрический потенциал точки M ($\varphi_T = 0$)

Потенциал произвольной точки электростатического поля есть постоянная для данной точки скалярная величина, равная напряжению от этой точки до некоторой исходной, потенциал которой, таким образом, равен нулю

$$\varphi_M - \varphi_N = U_{MN} = \sum \vec{E}_i \cdot \Delta \vec{l} \text{ В}$$

Разность потенциалов

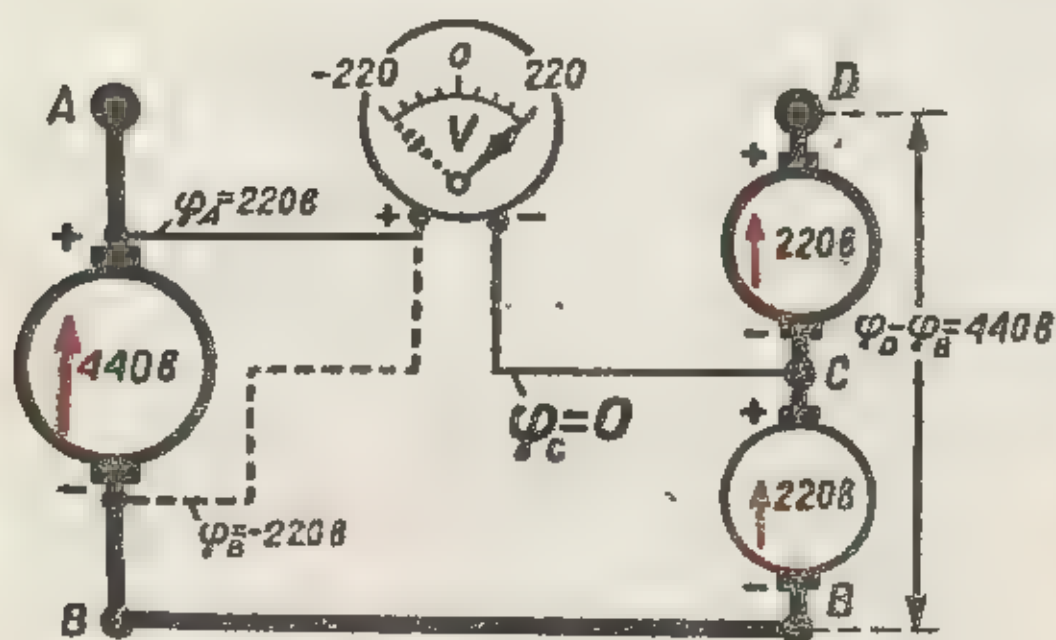
Разность потенциалов двух точек равна однозначному напряжению между ними

$$\vec{E} = - \frac{\Delta \varphi}{\Delta n} \vec{n}^\circ \text{ В/м}$$

Напряженность поля

Напряженность электростатического поля равна падению потенциала вдоль единицы длины силовой линии

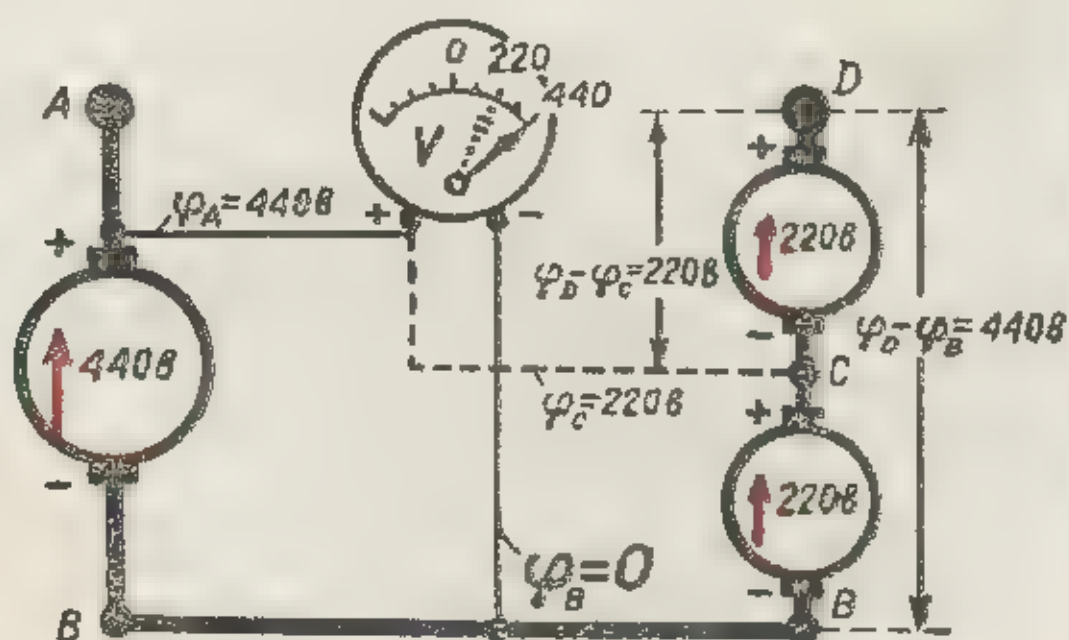
• Силовые линии нормальны к эквипотенциальным поверхностям •



$$\varphi_C = 0; \varphi_B = U_{BC} = -220 \text{ В}; \varphi_D = U_{DC} = 220 \text{ В};$$

$$\varphi_A = U_{AC} = U_{AB} + U_{BC} = 440 - 220 = 220 \text{ В} = \varphi_D; \varphi_D - \varphi_B = 440 \text{ В}$$

Минус вольтметра включен в исходную точку C, потенциал которой принят равным нулю



$$\varphi_B = 0; \varphi_A = U_{AB} = 440 \text{ В}; \varphi_C = U_{CB} = 220 \text{ В}; \varphi_D = U_{DB} = 220 \text{ В} = \varphi_C$$

$$\varphi_A - \varphi_C = \varphi_D - \varphi_C = 220 \text{ В}; \varphi_A - \varphi_B = \varphi_D - \varphi_B = 440 \text{ В}$$

Минус вольтметра включен в исходную точку B, потенциал которой принят равным нулю

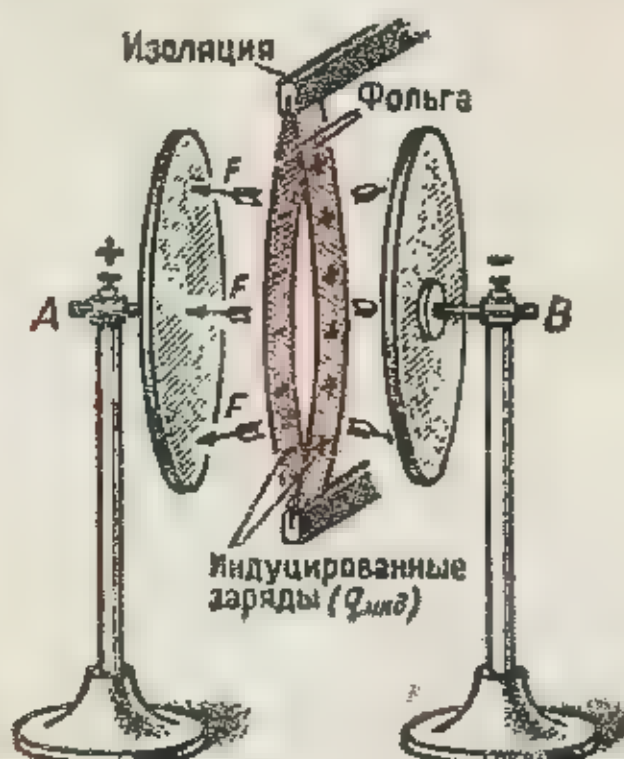
ИЗМЕРЕНИЕ ПОТЕНЦИАЛА В ЦЕПИ С ТРЕМЯ ПОСЛЕДОВАТЕЛЬНО СОЕДИНЕННЫМИ ГЕНЕРАТОРАМИ

Э И. Расовский

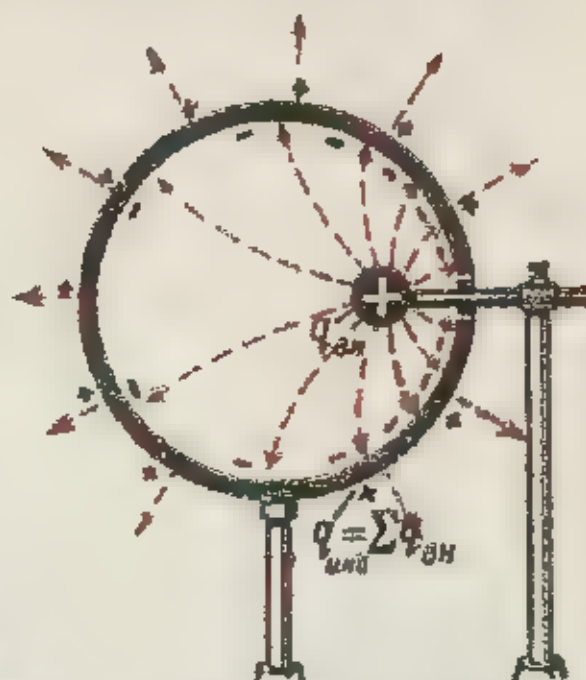
ПРОВОДНИКИ В ЭЛЕКТРОСТАТИЧЕСКОМ ПОЛЕ



Заряженный полый шар (заряды располагаются на поверхности проводника)



Явление электростатической индукции в модели электростатического вольтметра



Проводящая оболочка, охватывающая электрический заряд (иллюстрация к теореме Остроградского-Гаусса)

- Силовые линии нормальны к эквипотенциальной поверхности проводника •

$$\sigma = \frac{\Delta q}{\Delta S} = \epsilon_0 E \quad \frac{\text{Кл}}{\text{м}^2}$$

Поверхностная плотность электрического заряда

Напряженность электростатического поля у поверхности проводника в вакууме пропорциональна поверхностной плотности электрического заряда

$$\vec{E} = \frac{\sigma}{\epsilon_0} \vec{n}_0 \quad \frac{\text{В}}{\text{м}}$$

Напряженность поля у поверхности проводника

$$E_x = \frac{Q}{\epsilon_0 4\pi x^2} = E_a \frac{a^2}{x^2} \quad \frac{\text{В}}{\text{м}}$$

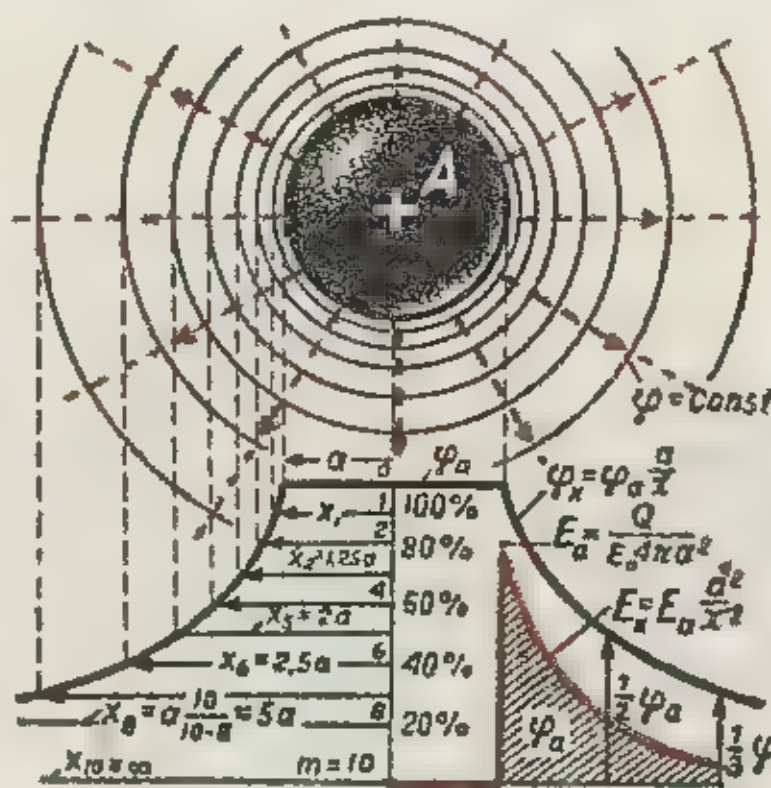
Напряженность поля в произвольной точке

$$\Delta\varphi_x = E_{x, \Delta x} \cdot \Delta x = \frac{Q}{\epsilon_0 4\pi} \left(\frac{1}{x} - \frac{1}{x+\Delta x} \right) \quad \text{В}$$

Падение потенциала вдоль отрезка Δx силовой линии

$$\varphi_a = \sum_{x=a}^{\infty} \Delta\varphi_x = \frac{Q}{\epsilon_0 4\pi a} = E_a \cdot a \quad \text{В}$$

Потенциал шара ($\varphi_{\infty}=0$)



$$\varphi_x = \sum_{x=a}^{\infty} \Delta\varphi_x = E_x \cdot x = \varphi_a \frac{a}{x} \quad \text{В}$$

Потенциал произвольной точки ($\varphi_{\infty}=0$)

$$\frac{1}{x_1} - \frac{1}{x_2} = \frac{1}{x_n} - \frac{1}{x_{n+1}} = \frac{1}{ma} = \text{Const}$$

$$a : x_1 : x_2 : \dots = 1 : \frac{m}{m-1} : \frac{m}{m-2} : \dots$$

Отношение радиусов эквипотенциальных поверхностей (сфер) с одинаковой разностью потенциалов: $\Delta\varphi = \frac{1}{m} \varphi_a$

$$x = a \frac{m}{m-n}$$

Радиус $n^{\text{й}}$ эквипотенциальной поверхности (m — общее число эквипотенциальных промежутков)

Поле уединенного заряженного шара

$$E_x = \frac{Q}{\epsilon_0 4\pi x^2} = E_a \frac{a^2}{x^2} = \frac{U_{ab} a b}{d x^2} \quad \frac{\text{В}}{\text{м}}$$

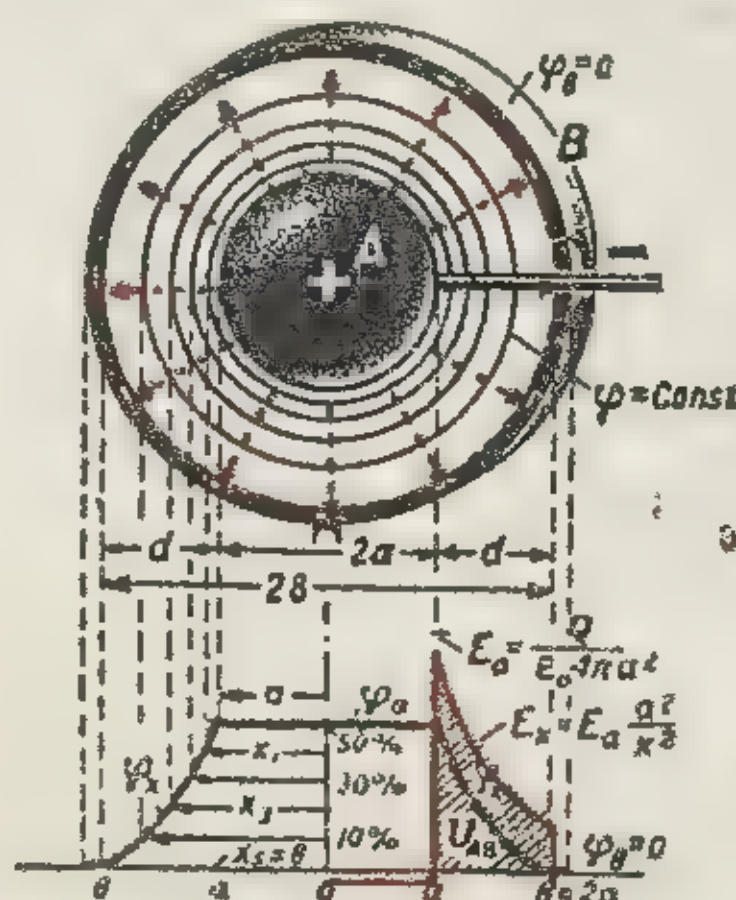
Напряженность поля

$$\Delta\varphi_x = \Delta x \cdot E_{x, \Delta x} = \frac{Q}{\epsilon_0 4\pi} \left(\frac{1}{x} - \frac{1}{x+\Delta x} \right) \quad \text{В}$$

Падение потенциала вдоль отрезка Δx

$$\varphi_a = U_{ab} = \frac{Q}{\epsilon_0 4\pi} \left(\frac{1}{a} - \frac{1}{b} \right) = E_a a \cdot \frac{d}{b} \quad \text{В}$$

Потенциал внутренней сферы ($\varphi_b=0$)



$$\varphi_x = E_x \cdot x - E_b \cdot b = \frac{U_{ab} (a b)}{d} \left(\frac{a}{x} - \frac{a}{b} \right) \quad \text{В}$$

Потенциал произвольной точки ($\varphi_b=0$)

$$\frac{1}{x_1} - \frac{1}{x_2} = \frac{1}{x_n} - \frac{1}{x_{n+1}} = \frac{1}{ma} \cdot \frac{d}{b} = \text{Const}$$

$$a : x_1 : x_2 : \dots = 1 : \frac{m}{m-d/b} : \frac{m}{m-2d/b} : \dots$$

Отношение радиусов эквипотенциальных поверхностей (сфер)

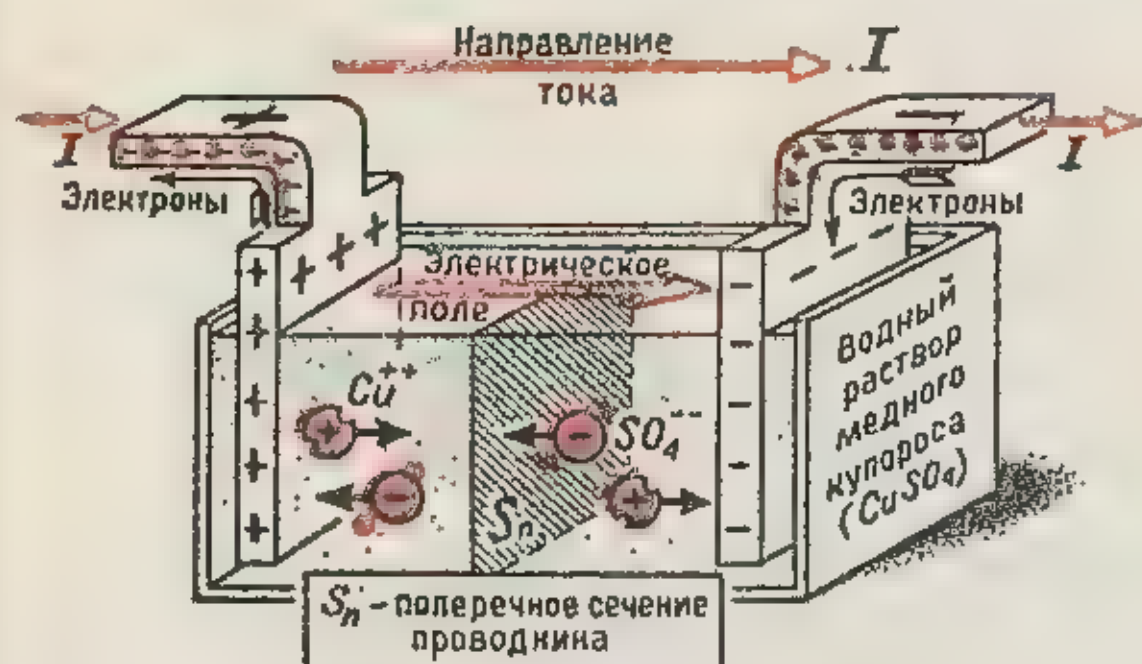
$$x = a \frac{m}{m-n \cdot d/b}$$

Радиус $n^{\text{й}}$ эквипотенциальной поверхности

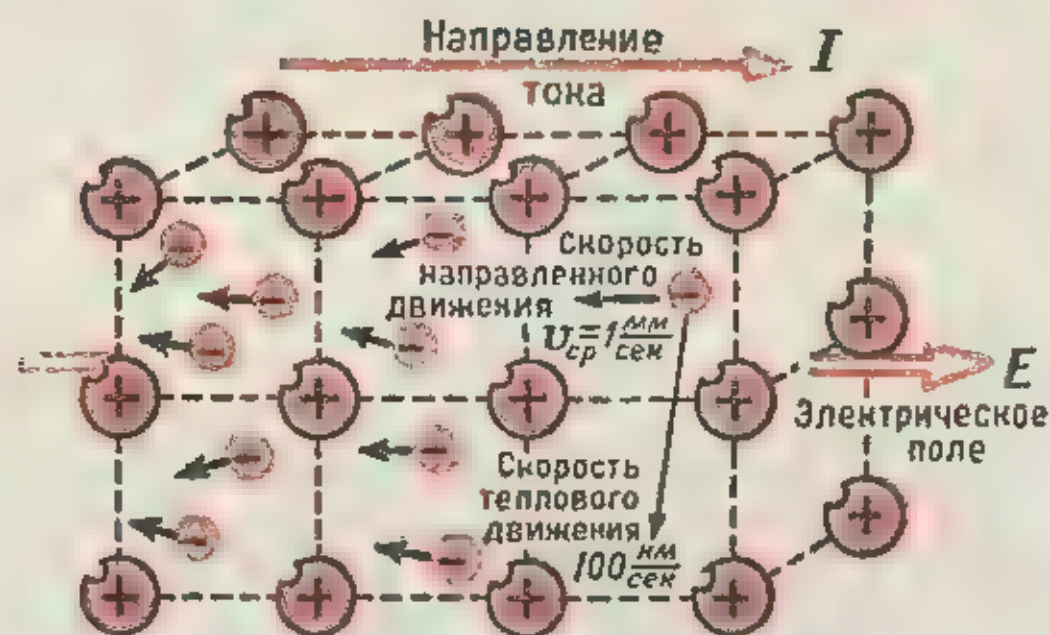
Сферическое поле

ЭЛЕКТРОСТАТИЧЕСКИЕ ПОЛЯ, ПОЛУЧАЕМЫЕ ПРИ ПОМОЩИ ПРОВОДНИКОВ ЗАДААННОЙ ФОРМЫ

ЭЛЕКТРИЧЕСКИЙ ТОК

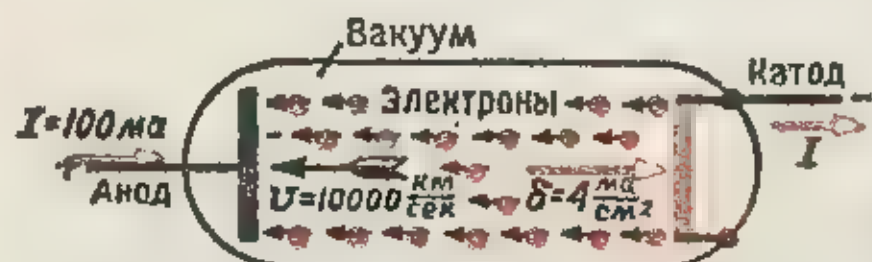


Упорядоченное движение ионов в электролите



Упорядоченное движение свободных электронов в твердом проводнике со средней скоростью v

ЭЛЕКТРИЧЕСКИЙ ТОК — направленное движение электрических зарядов

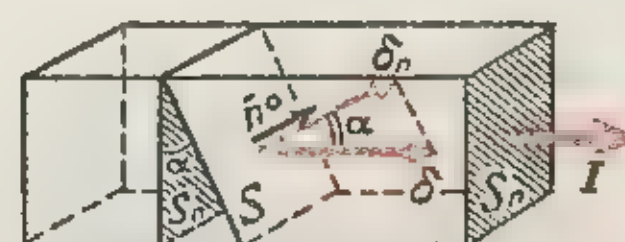


$$\vec{\delta} = \vec{v}_{др} \rho \quad \frac{\text{А}}{\text{м}^2} \left(\frac{\text{К}}{\text{сек} \cdot \text{м}^2} \right)$$

$$\text{или} \quad \delta = \frac{Q}{S_n t}$$

ПЛОТНОСТЬ ТОКА характеризует среднюю скорость направленного движения электрических зарядов в однородном проводнике и измеряется количеством электричества, протекающим через единицу поперечного сечения в единицу времени.

$\rho = \frac{Q}{S_n t}$ — объемная плотность движущегося заряда



ЭЛЕКТРИЧЕСКИЙ ТОК (величина тока) — поток вектора плотности тока

$$I = \frac{Q}{t} \quad \text{А}$$

Величина электрического тока ("сила тока")

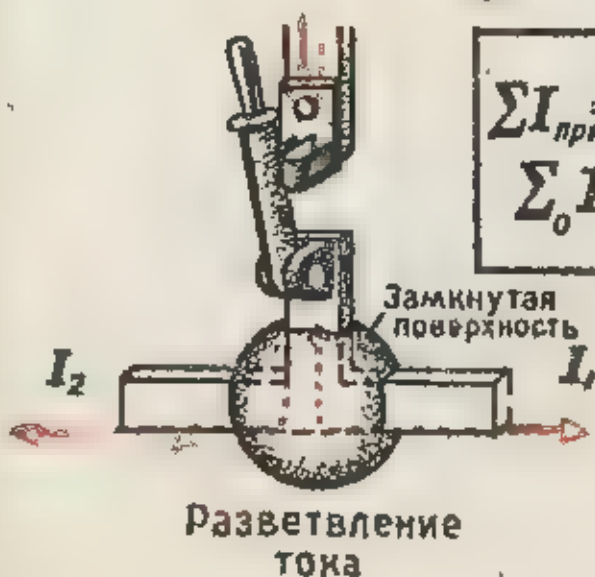
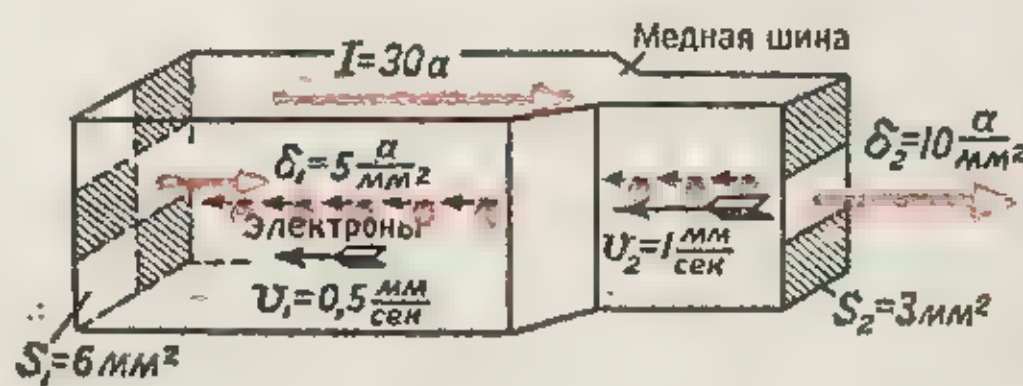
ЭЛЕКТРИЧЕСКИЙ ТОК в проводнике измеряется количеством электричества, протекающим через его поперечное сечение в единицу времени.

$$I = \rho v \cdot S_n = \frac{Q}{S_n t} \cdot S_n = \frac{Q}{t}$$

$l = v \cdot t$

$$\delta = \frac{I}{S_n} \quad \frac{\text{А}}{\text{м}^2}$$

Плотность тока измеряется током, отнесенным к единице поперечного сечения



Сумма токов, притекающих к точке разветвления, равна сумме токов, утекающих из этой точки.

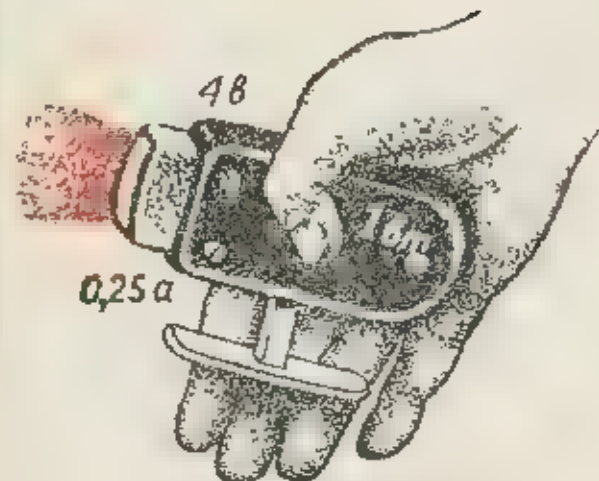
Алгебраическая сумма токов сквозь замкнутую поверхность равна нулю

ПЕРВЫЙ ЗАКОН КИРХГОФА

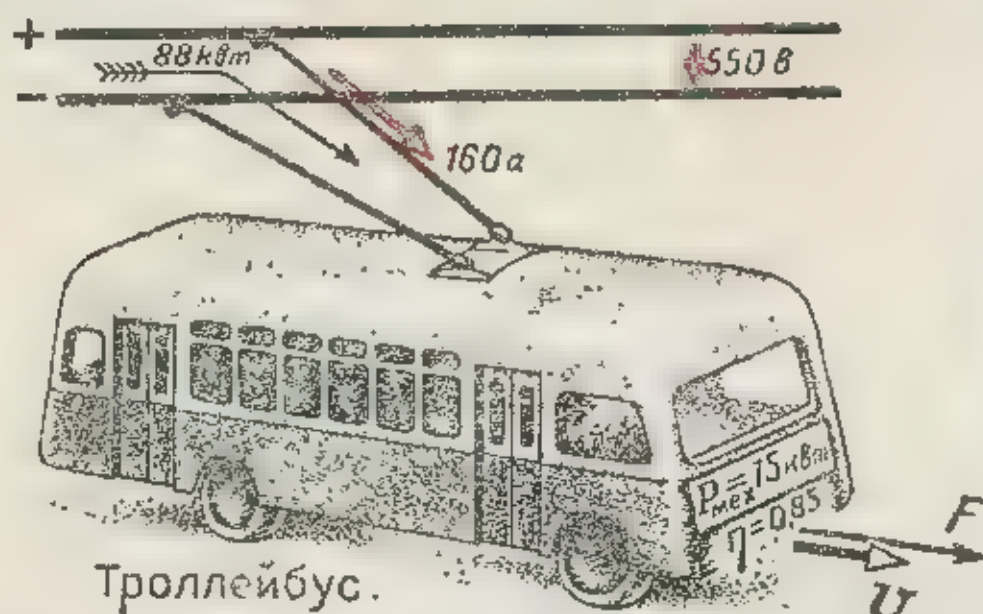


Э.И. Расовский

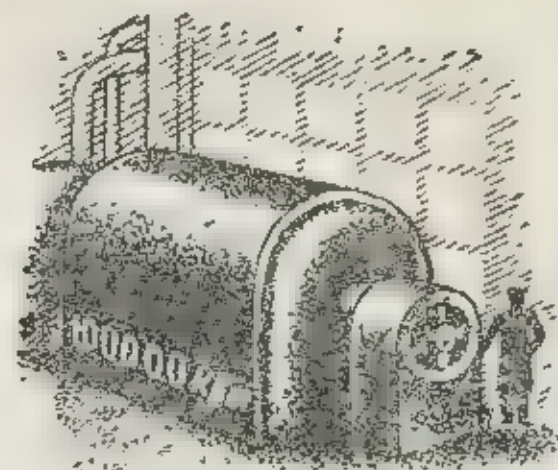
ЭЛЕКТРИЧЕСКАЯ МОЩНОСТЬ



Ручной фонарь.



Троллейбус.



Генератор большой мощности.

$$P = \frac{W_{эл}}{t} = UI \quad \text{Вт}$$

Электрическая мощность.

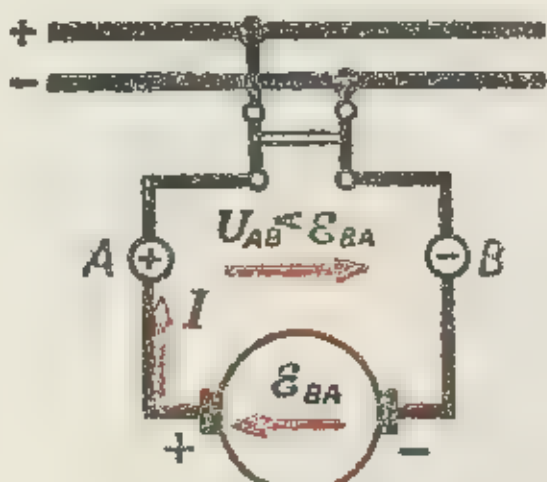
Электрическая мощность (секундный расход электрической энергии) равна произведению напряжения на ток.

$$\frac{P}{V} = \vec{E} \cdot \vec{\delta} = E \cdot \delta_E = E \cdot \delta \quad \frac{\text{Вт}}{\text{м}^3}$$

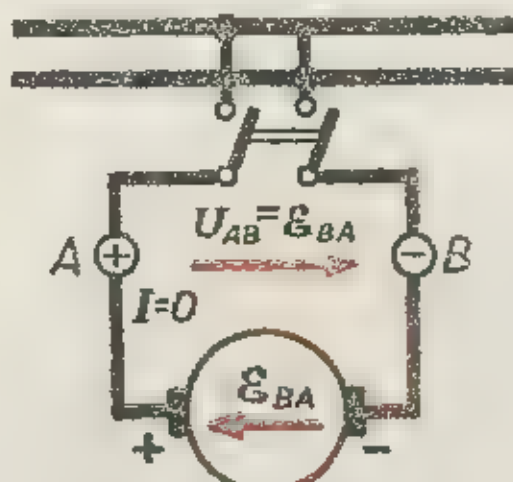
Мощность, отдаваемая электрическим полем в единице объема

$$W = UI t \quad \text{дж (Вт сек)}$$

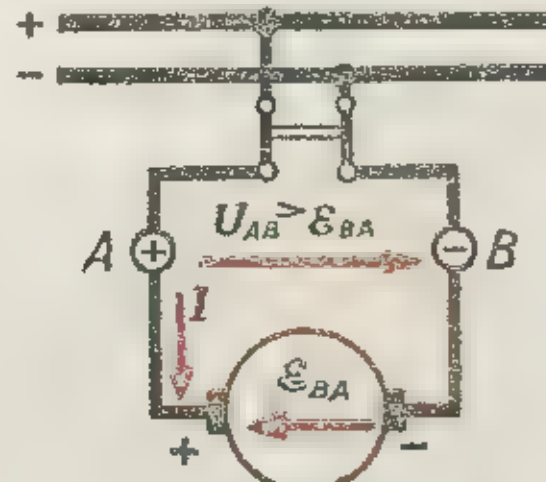
Электрическая энергия



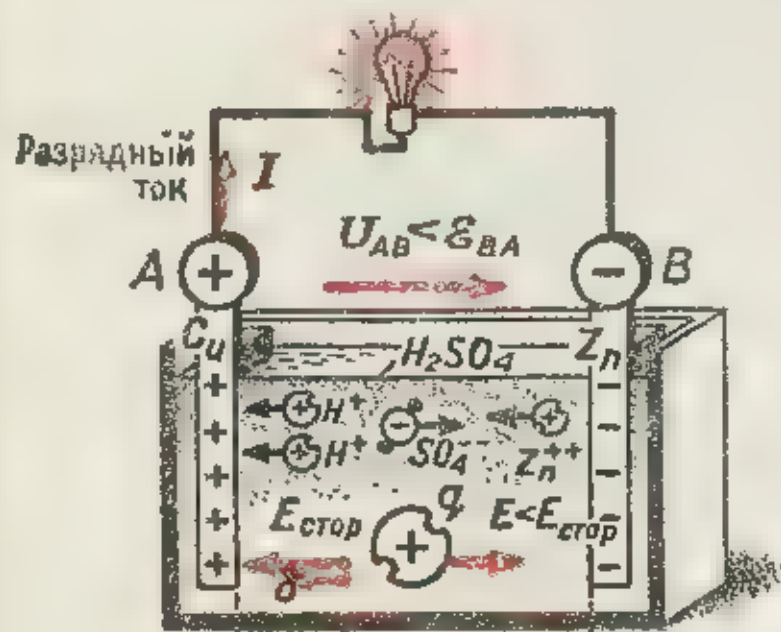
Электрический генератор — ИСТОЧНИК электрической энергии, „источник” тока ($\mathcal{E}I > 0$)



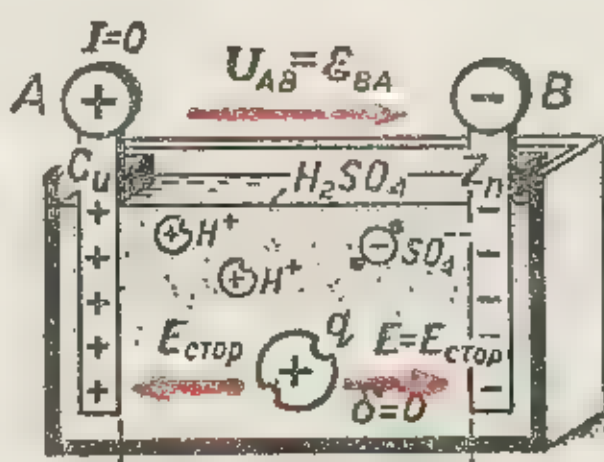
ХОЛОСТОЙ ХОД генератора ($\mathcal{E}I = 0$)



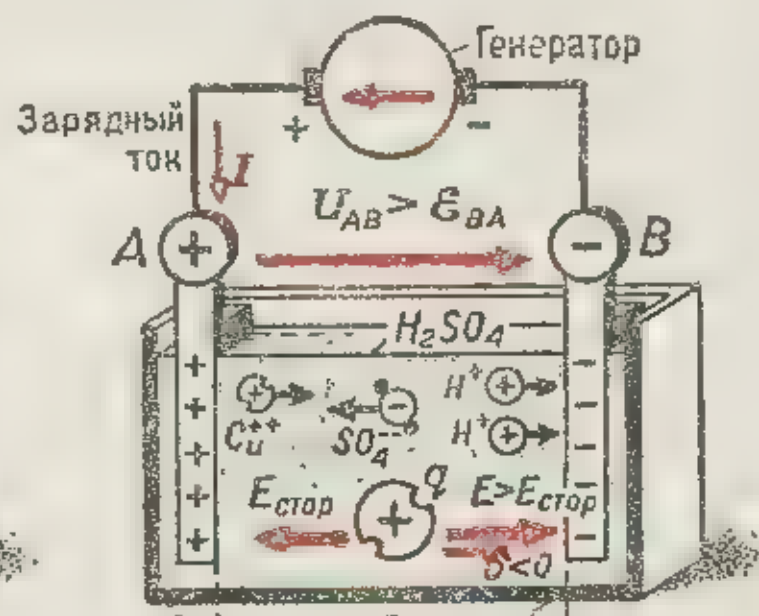
Электрический двигатель — ПРИЕМНИК электрической энергии, „потребитель” тока ($\mathcal{E}I < 0$)



Химический элемент — ИСТОЧНИК ЭНЕРГИИ ($\vec{E}_{стор} \cdot \vec{\delta} > 0$; $\mathcal{E}I > 0$)



ХОЛОСТОЙ ХОД ($\vec{E}_{стор} \cdot \vec{\delta} = 0$; $\mathcal{E}I = 0$)



Химический элемент — ПРИЕМНИК ЭНЕРГИИ ($\vec{E}_{стор} \cdot \vec{\delta} < 0$; $\mathcal{E}I < 0$)

$$P_{и(пр)} = \frac{W_{стор}}{t} = \mathcal{E}I \quad \text{Вт}$$

Мощность, преобразуемая источником (приемником)

Мощность, преобразуемая электрическим источником или приемником равна произведению его э.д.с. на ток

$$\eta = P_{пол} / P_{элтр}$$

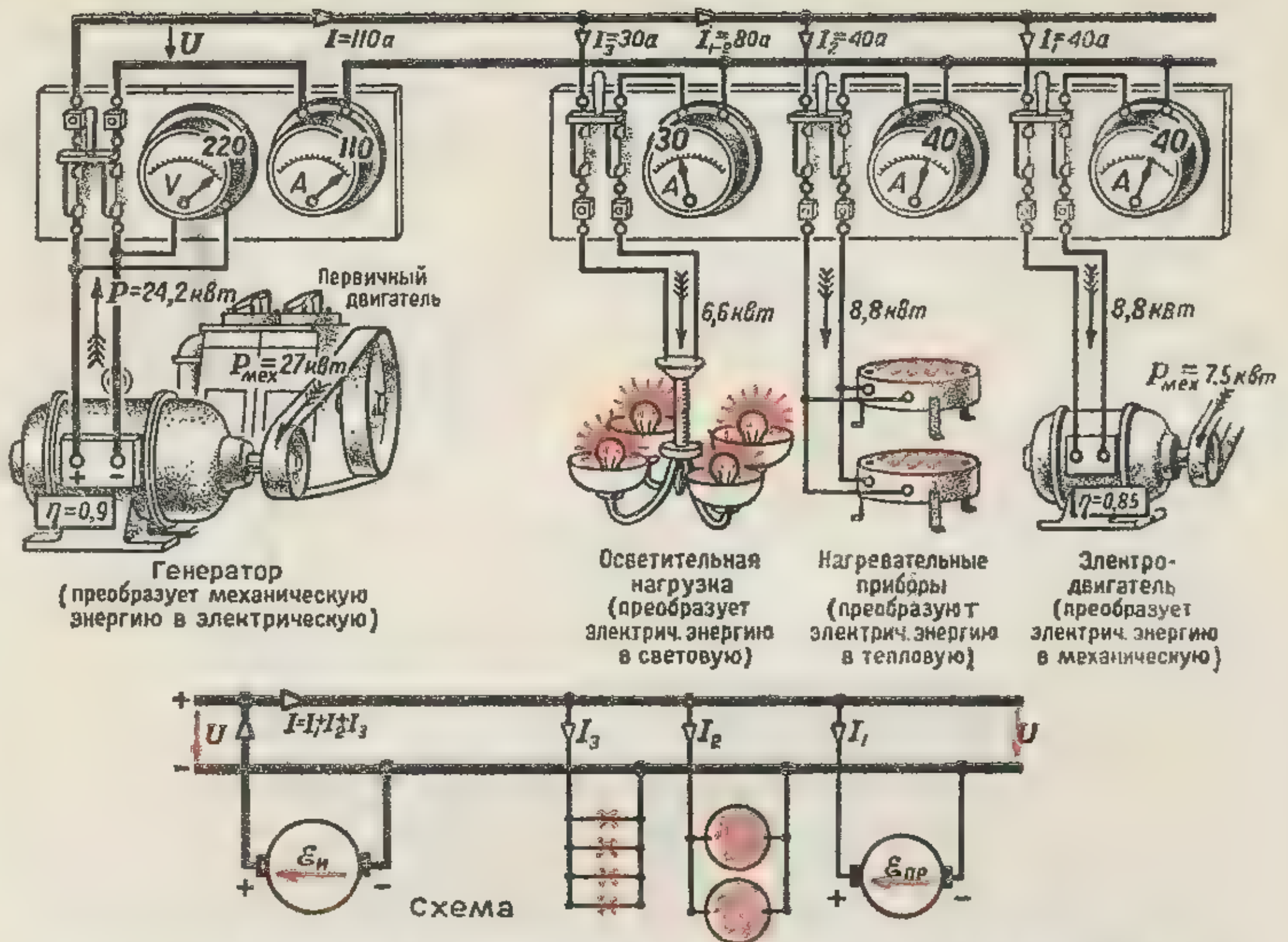
Коэффициент полезного действия

$$\frac{P_{и}}{V} = \vec{E}_{стор} \cdot \vec{\delta} = E_{стор} \cdot \delta_E \quad \frac{\text{Вт}}{\text{м}^3}$$

Мощность, развиваемая сторонними силами в единице объема

Л.И. Расовский

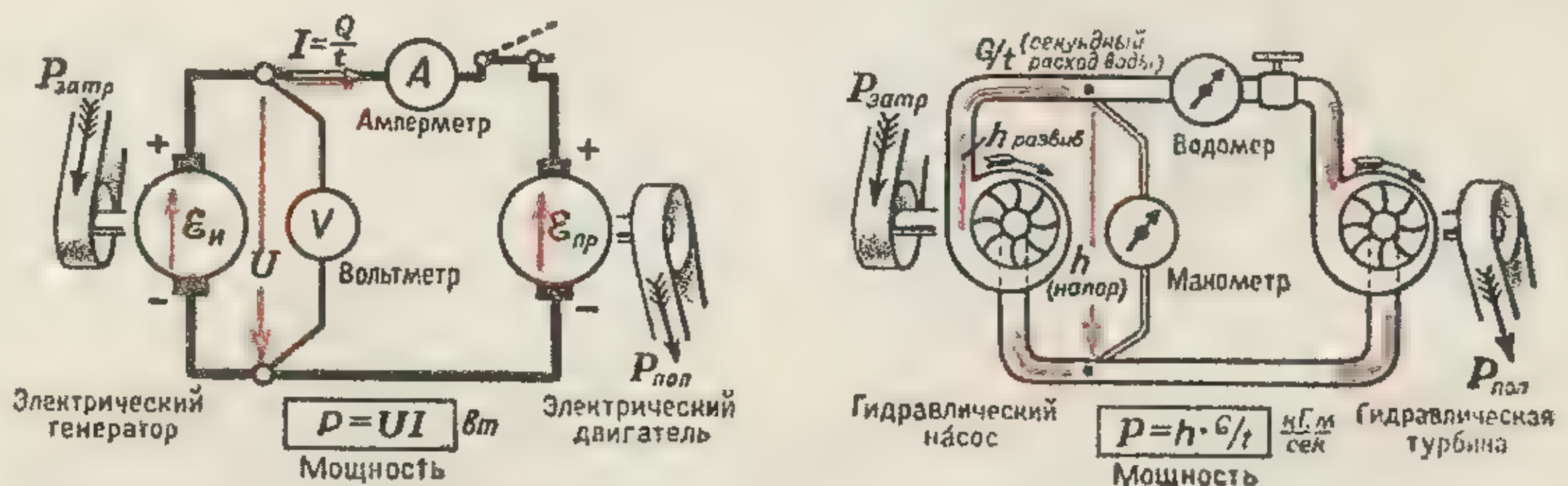
ПРЕОБРАЗОВАНИЕ ЭНЕРГИИ В ЭЛЕКТРИЧЕСКОЙ ЦЕПИ



ПАРАЛЛЕЛЬНОЕ СОЕДИНЕНИЕ ПОТРЕБИТЕЛЕЙ

$P = P_{\text{мех}} / \eta \text{ Вт}$	$I = P / U \text{ а}$	$P = P_1 + P_2 + \dots = \sum P \text{ Вт}$	$I = I_1 + I_2 + \dots = \sum I = \frac{P}{U} \text{ а}$
Мощность, потребляемая двигателем из сети	Ток, потребляемый двигателем	Общая мощность потребителя	Общий ток нагрузки (ток генератора)

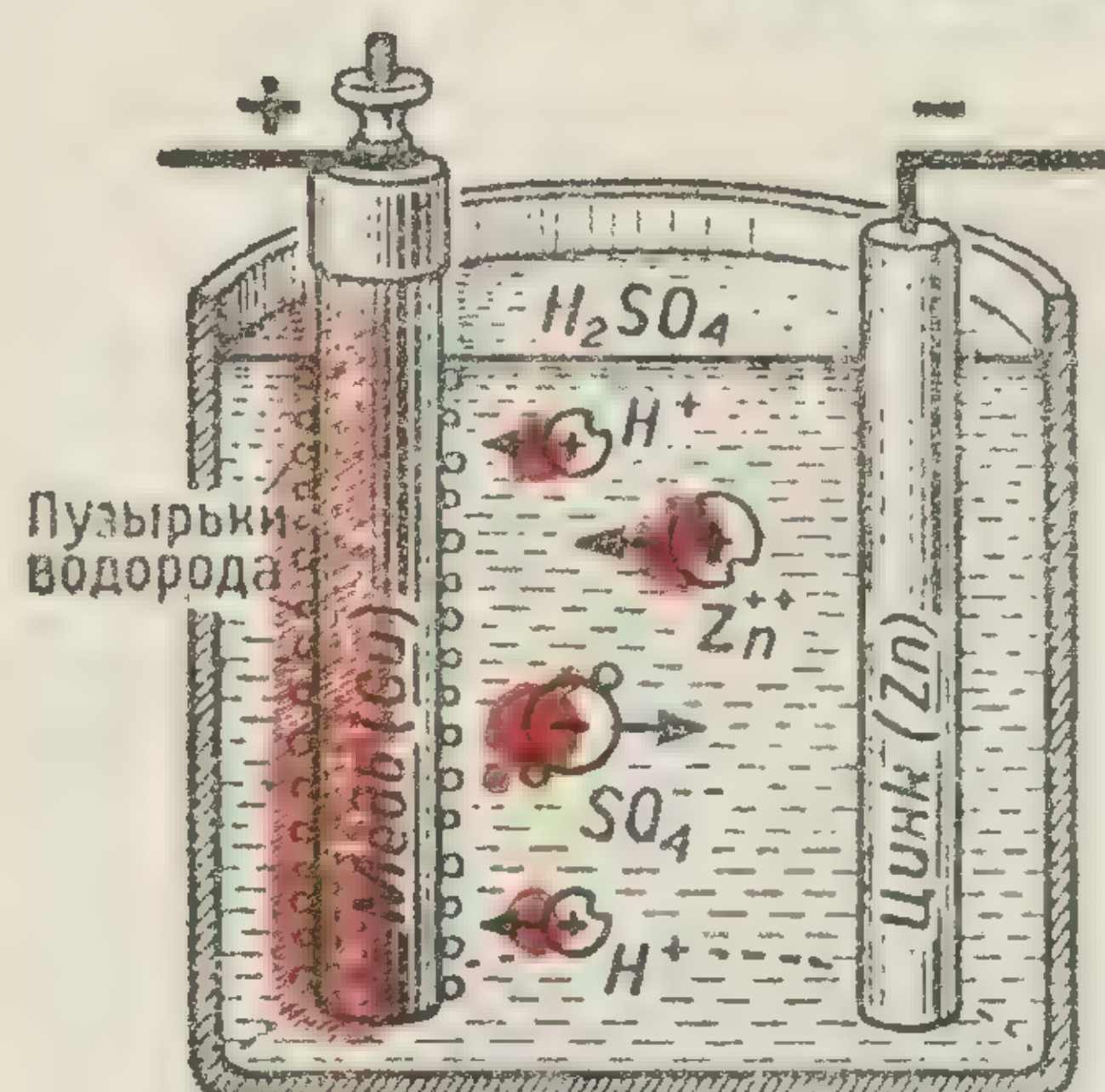
ПОДСЧЕТ НАГРУЗКИ



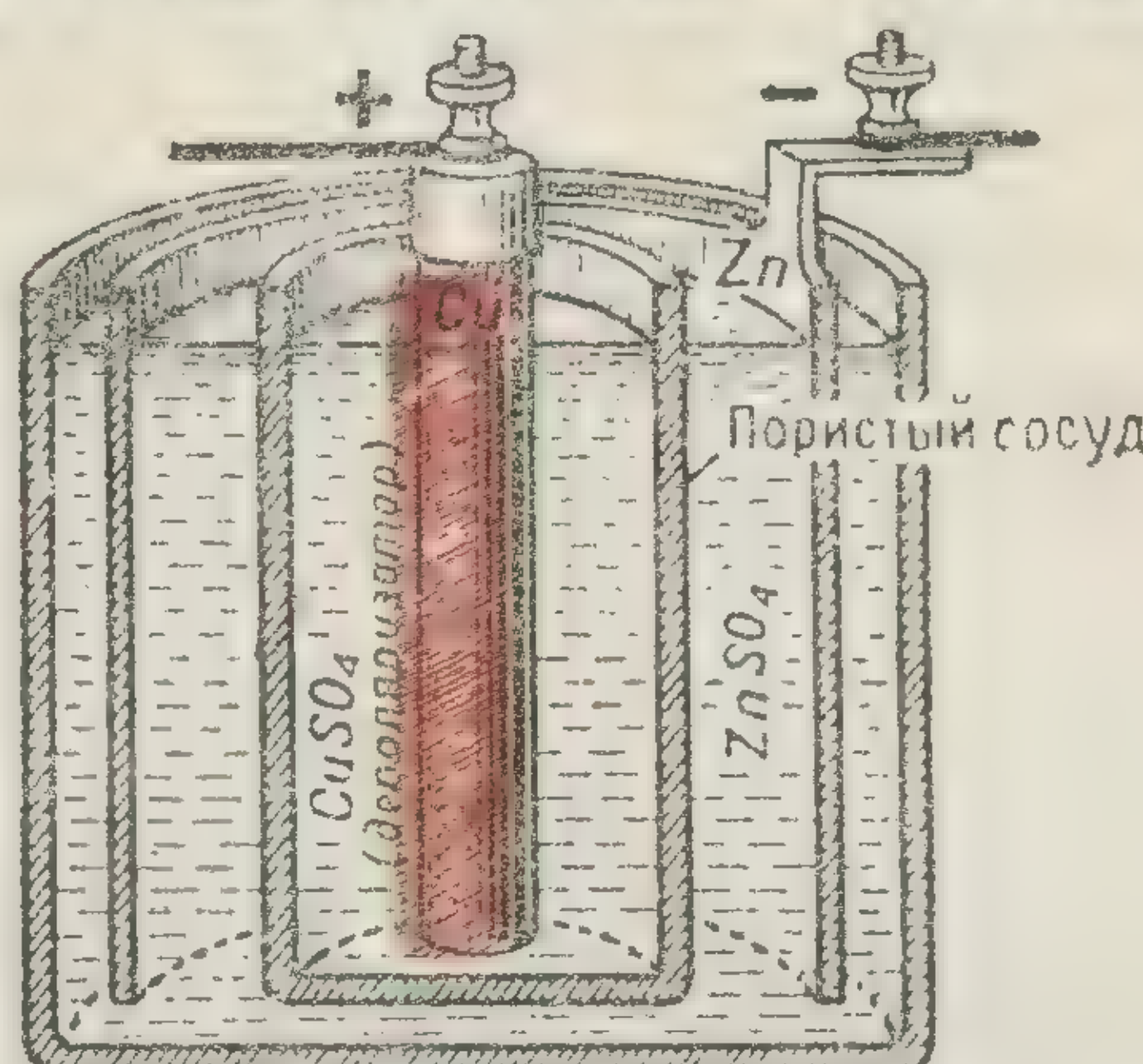
АНАЛОГИЯ МЕЖДУ ЭЛЕКТРИЧЕСКОЙ И ГИДРАВЛИЧЕСКОЙ ЦЕЛЬЮ

Э И Расовский

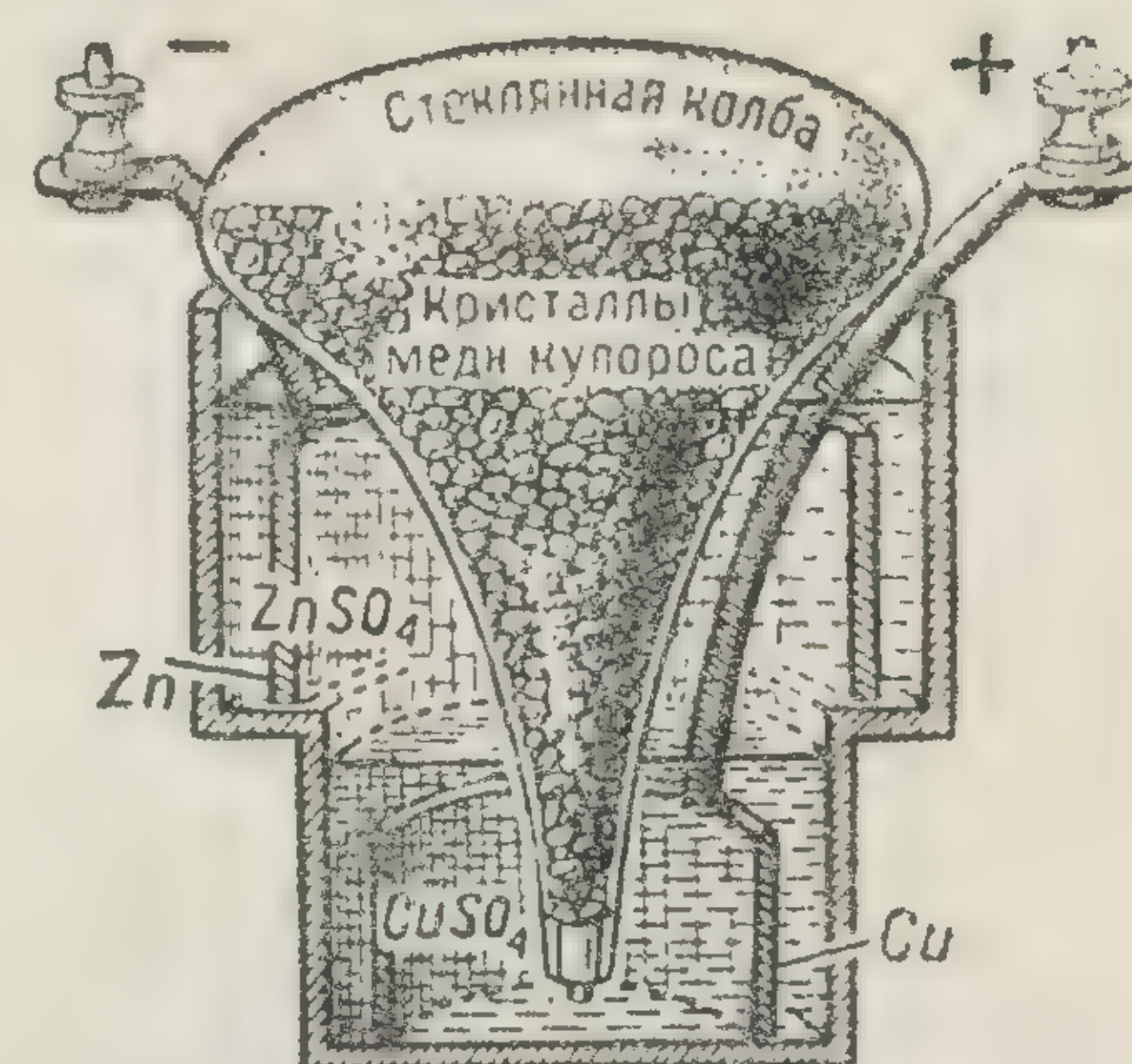
ГАЛЬВАНИЧЕСКИЕ ЭЛЕМЕНТЫ



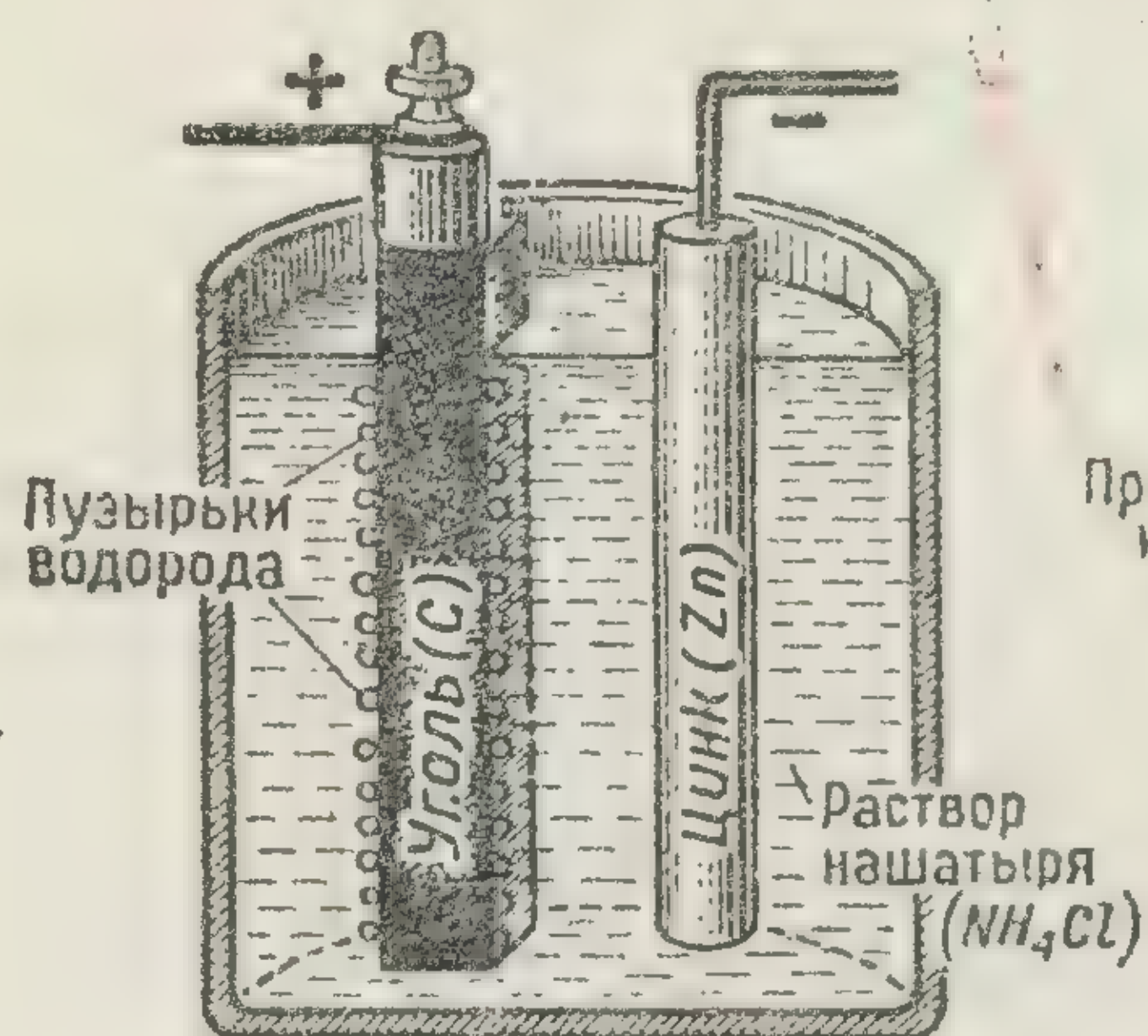
Поляризующийся элемент



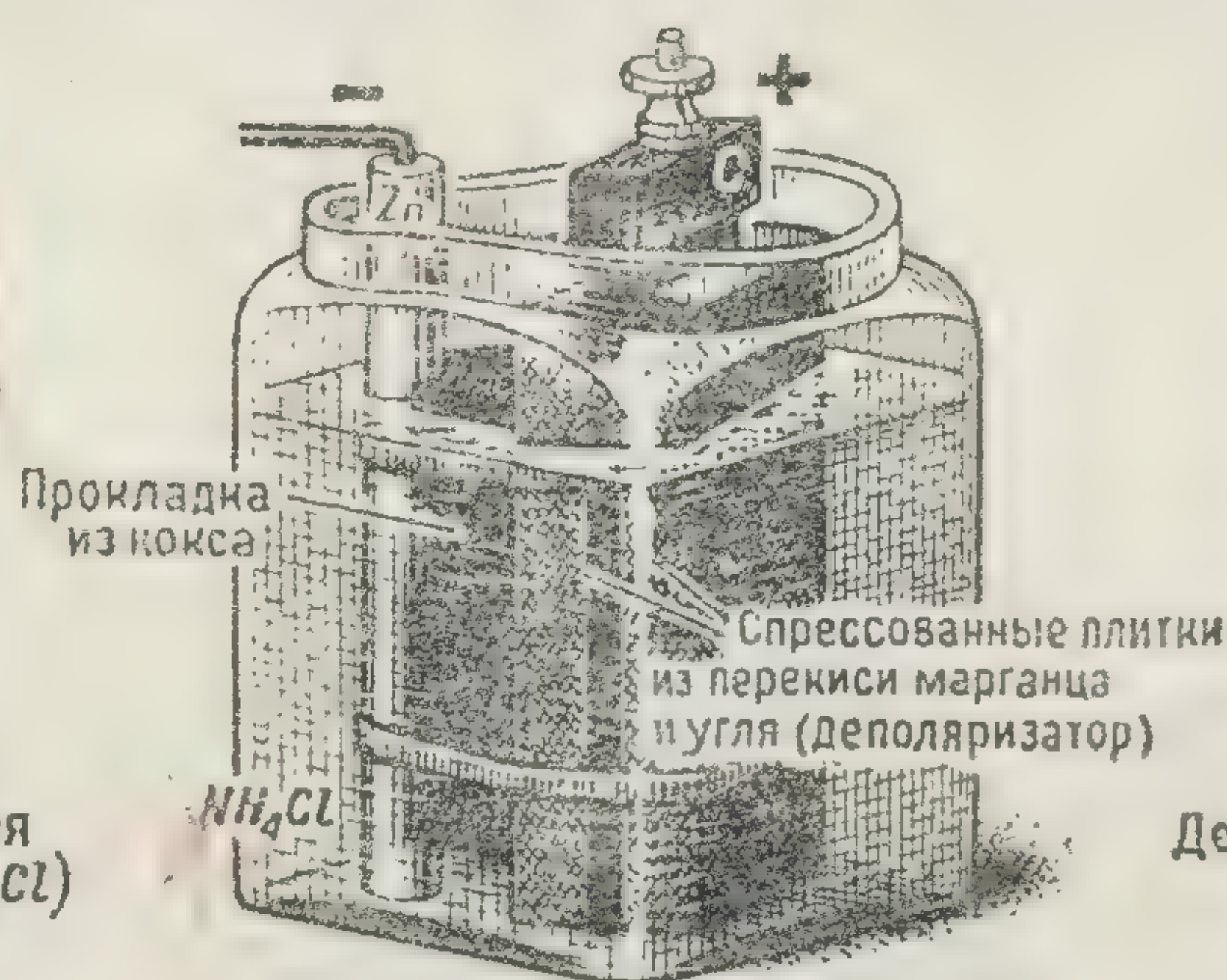
Элементы с деполяризатором



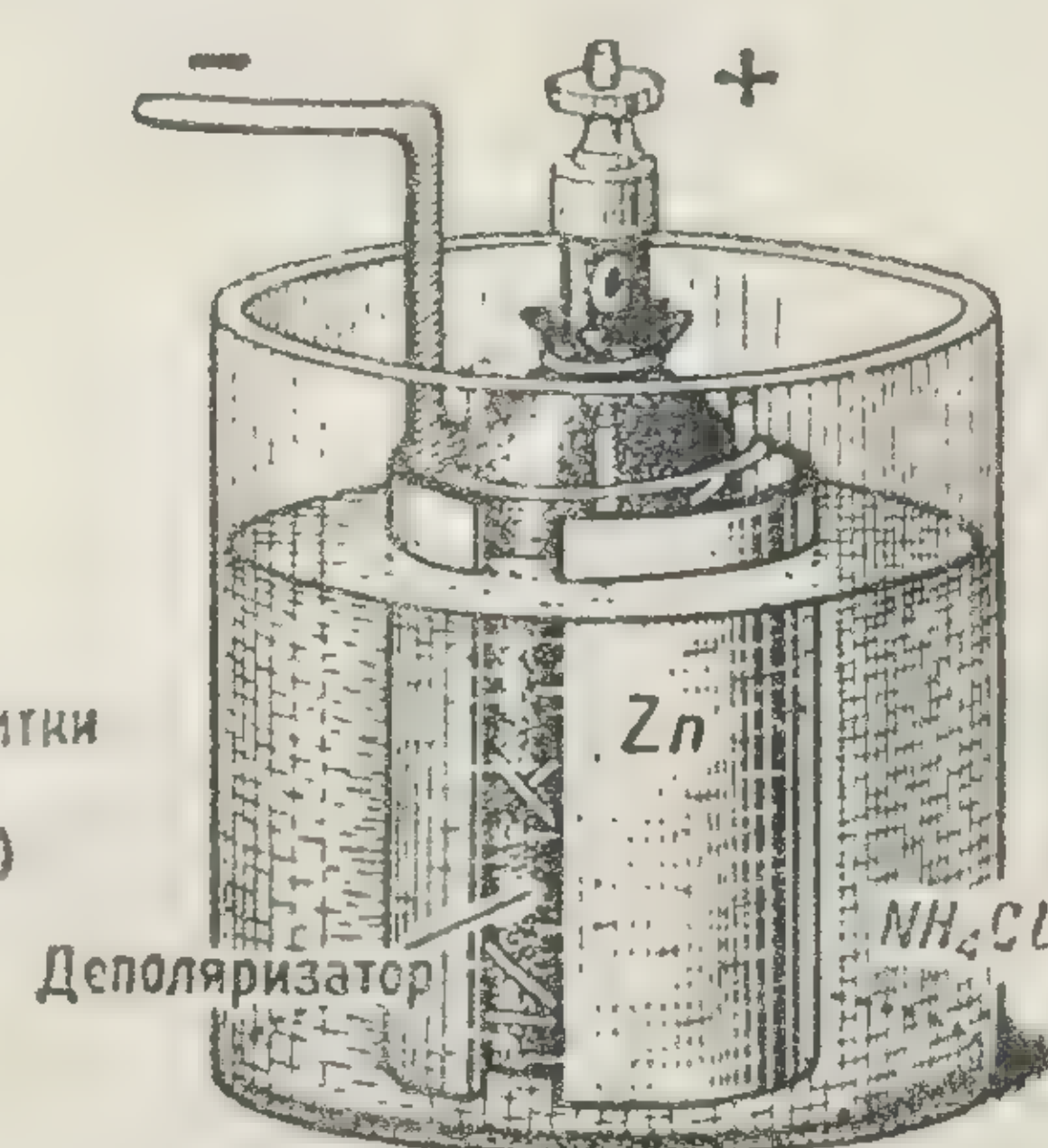
МЕДНО-ЦИНКОВЫЕ ЭЛЕМЕНТЫ



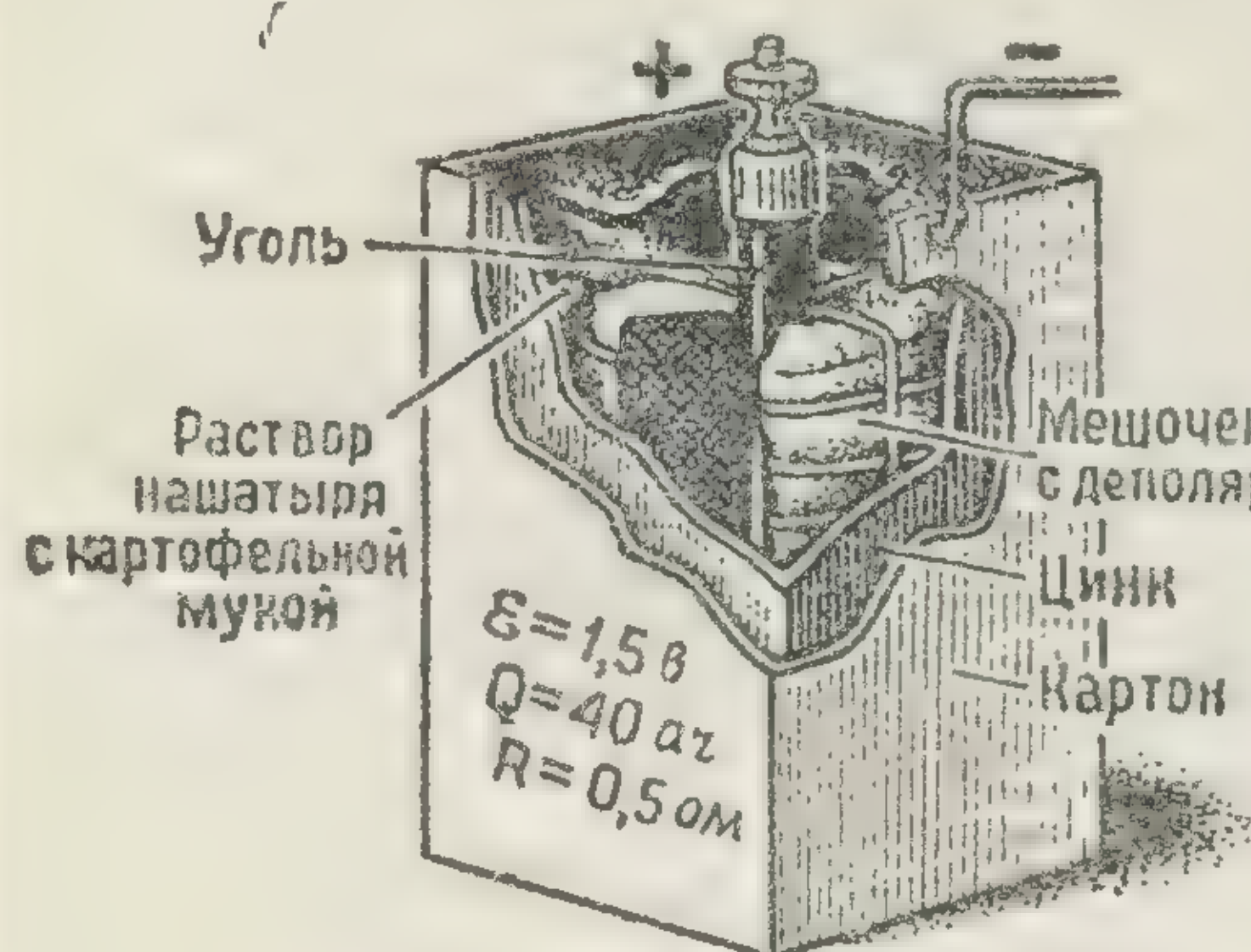
Поляризующийся элемент



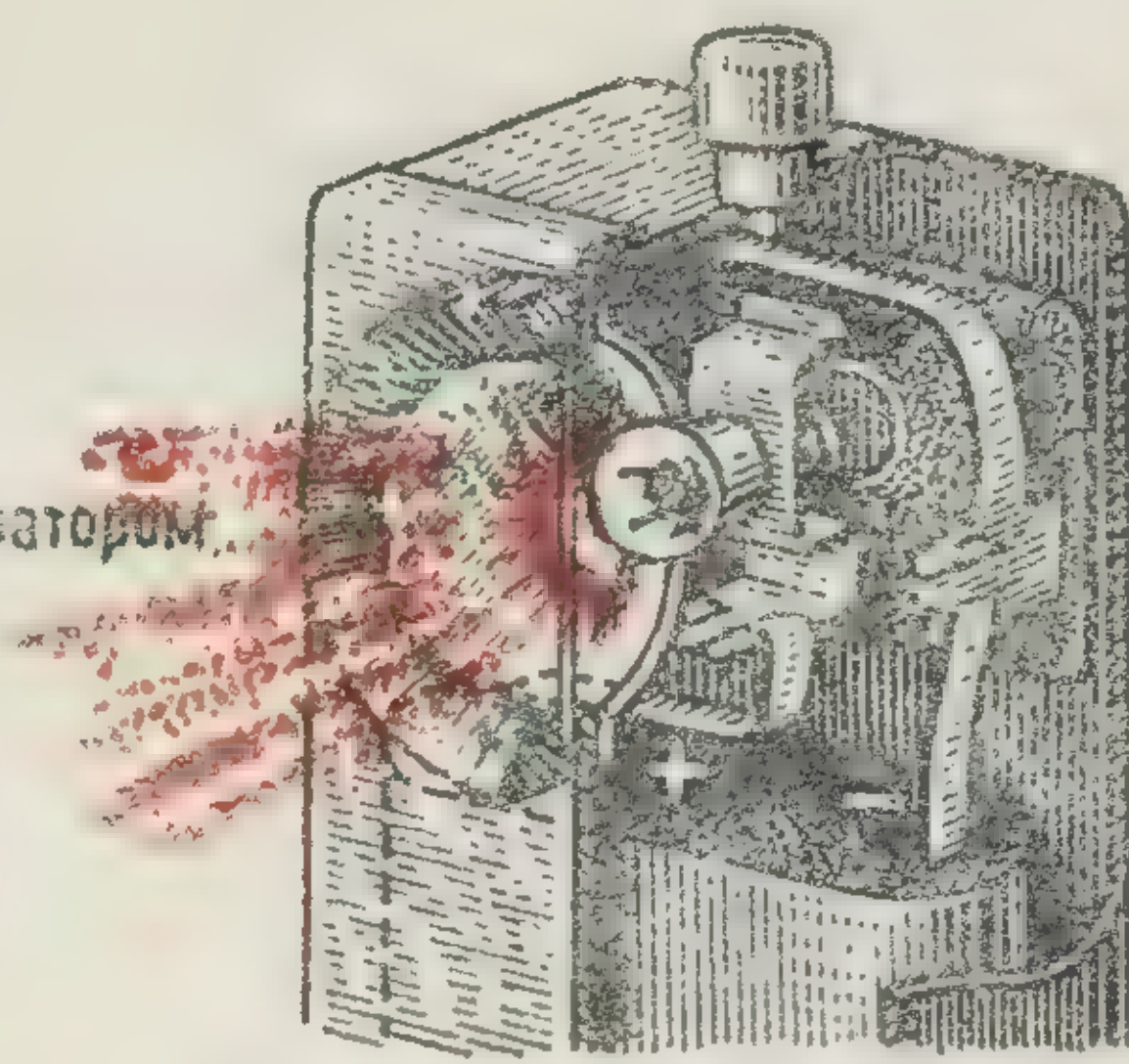
Пластиновый элемент с деполяризатором



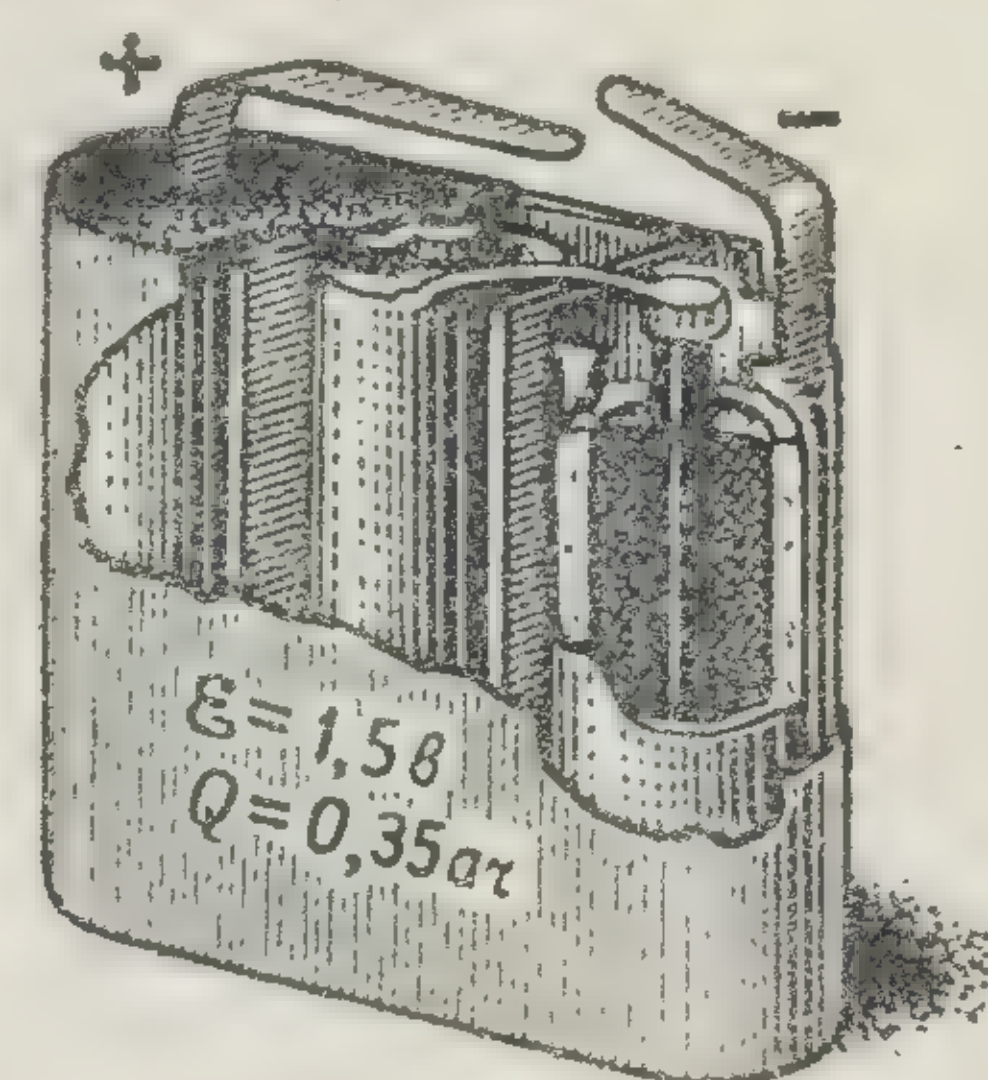
Мешочный элемент



Сухой элемент

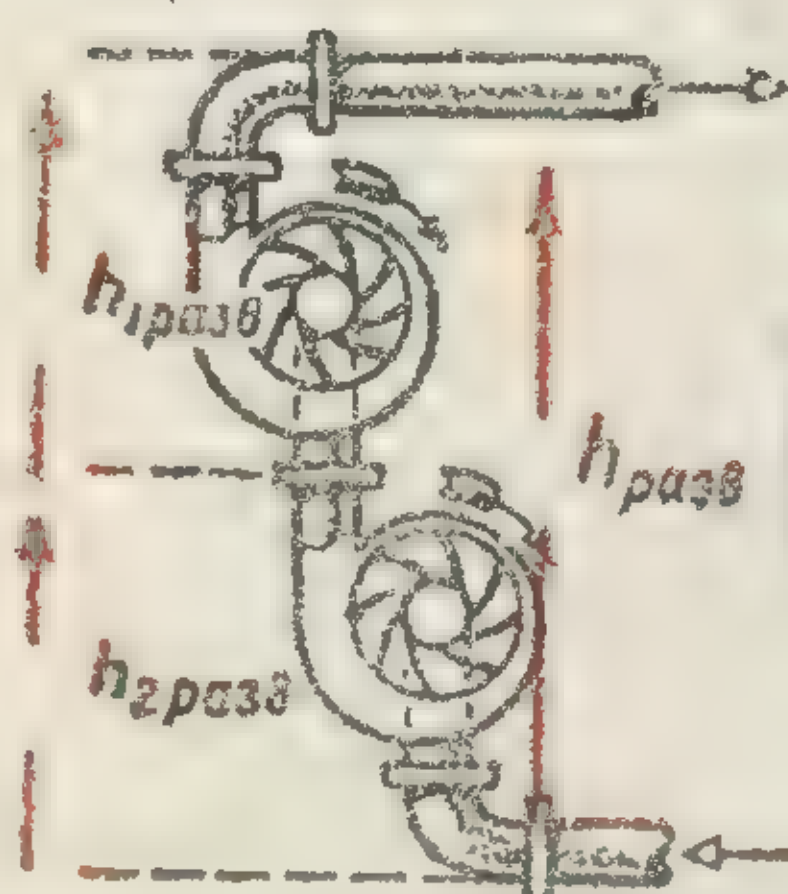


Карманный фонарь

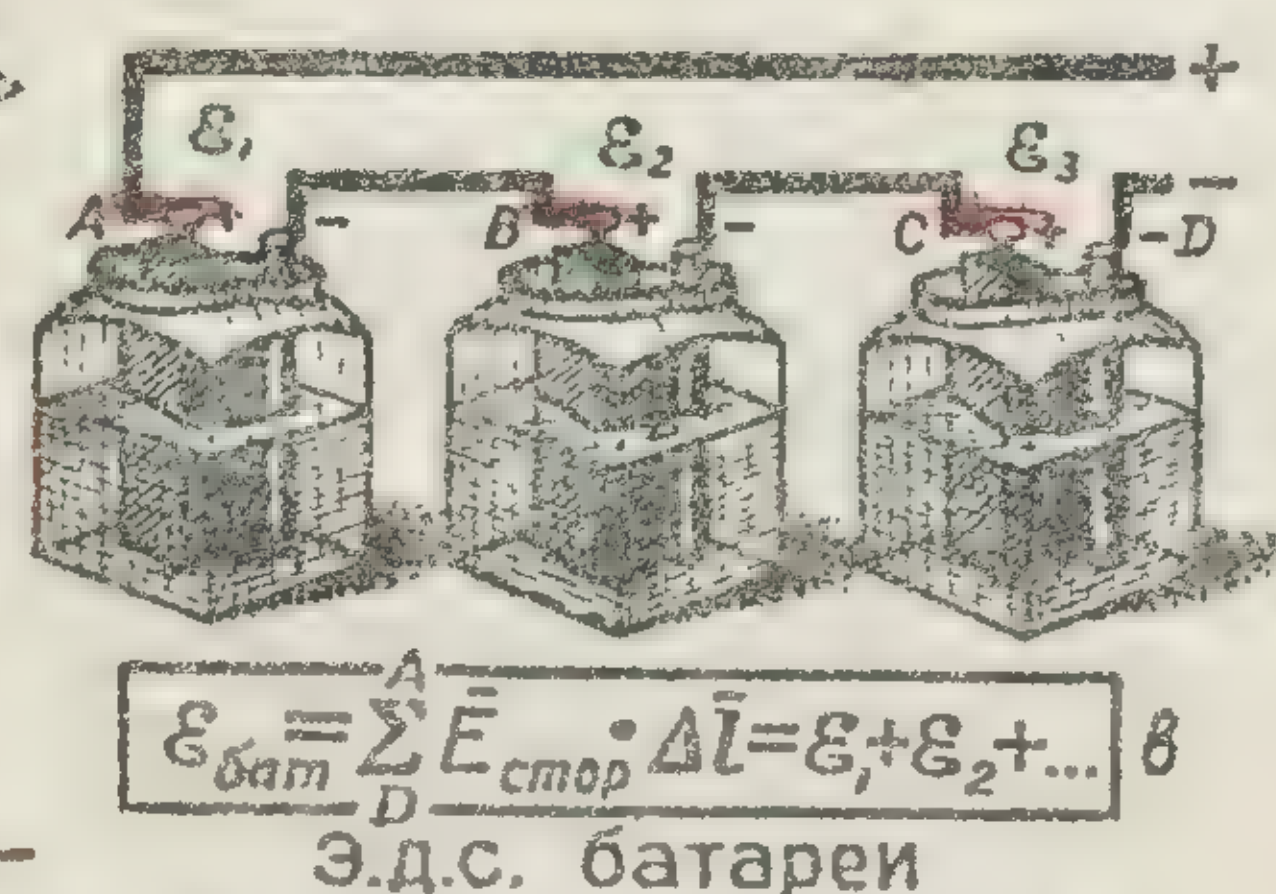


Батарейка к карманному фонарю

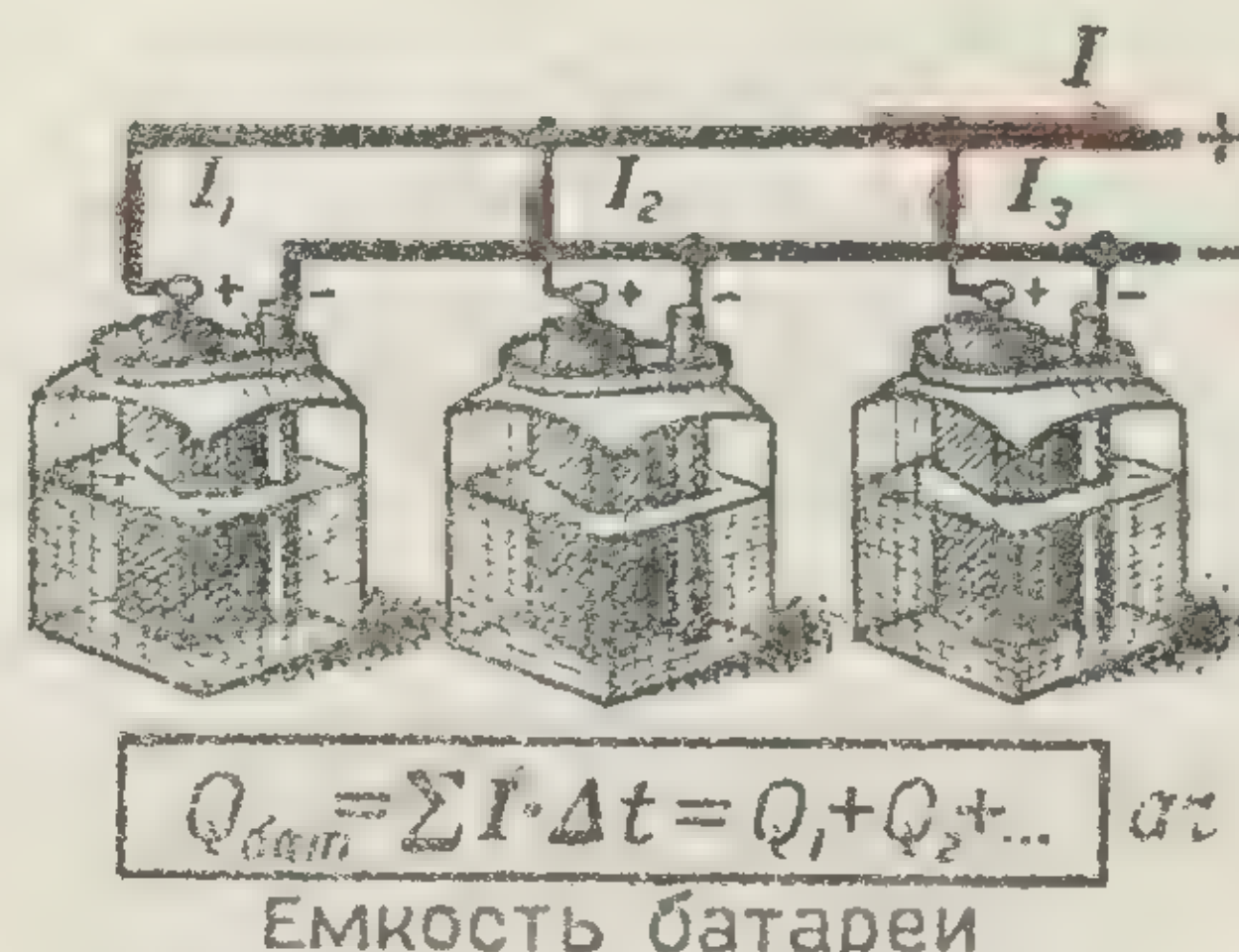
УГОЛЬНО-ЦИНКОВЫЕ ЭЛЕМЕНТЫ



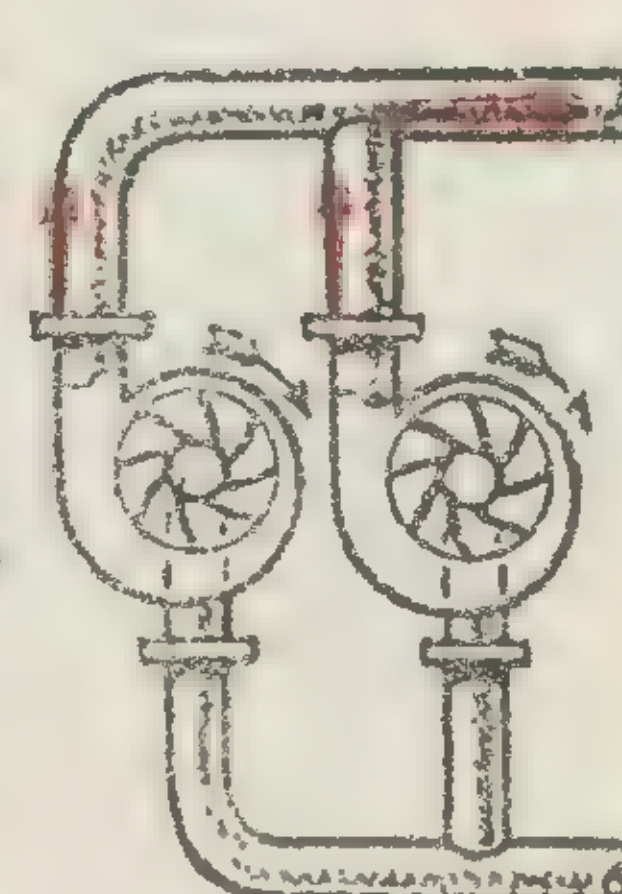
Гидравлическая аналогия



ПОСЛЕДОВАТЕЛЬНОЕ соединение элементов

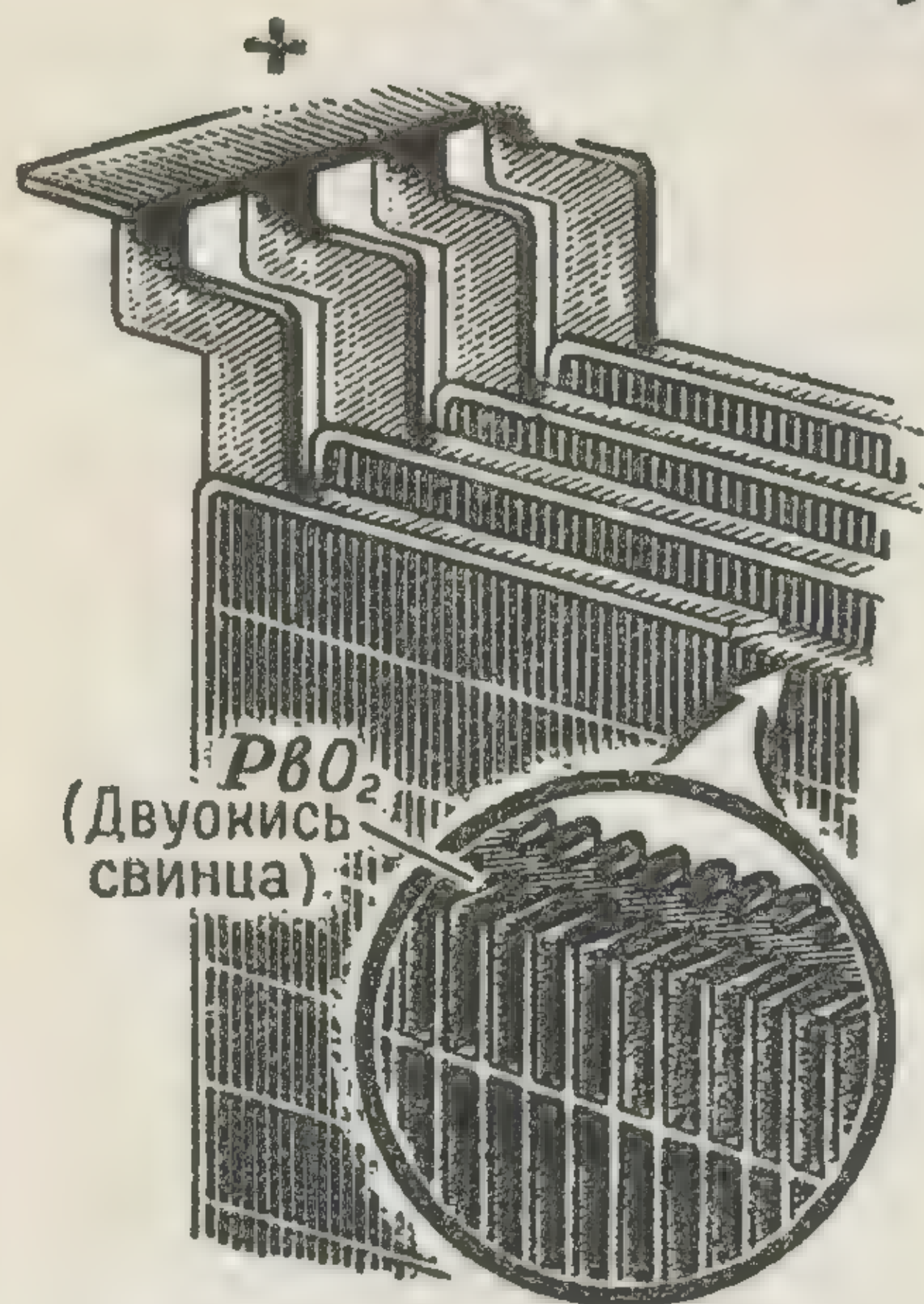


ПАРАЛЛЕЛЬНОЕ соединение элементов

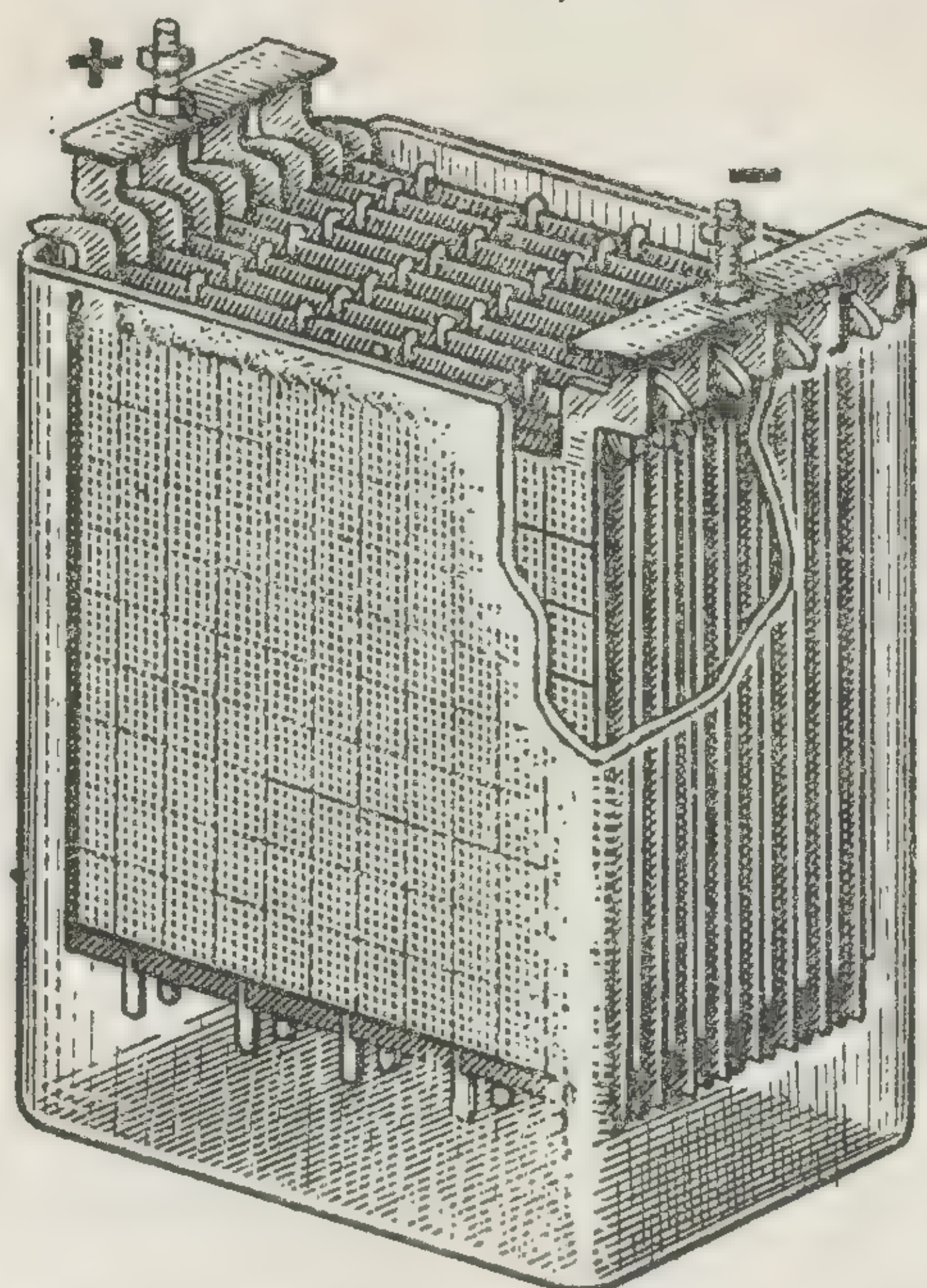


Гидравлическая аналогия

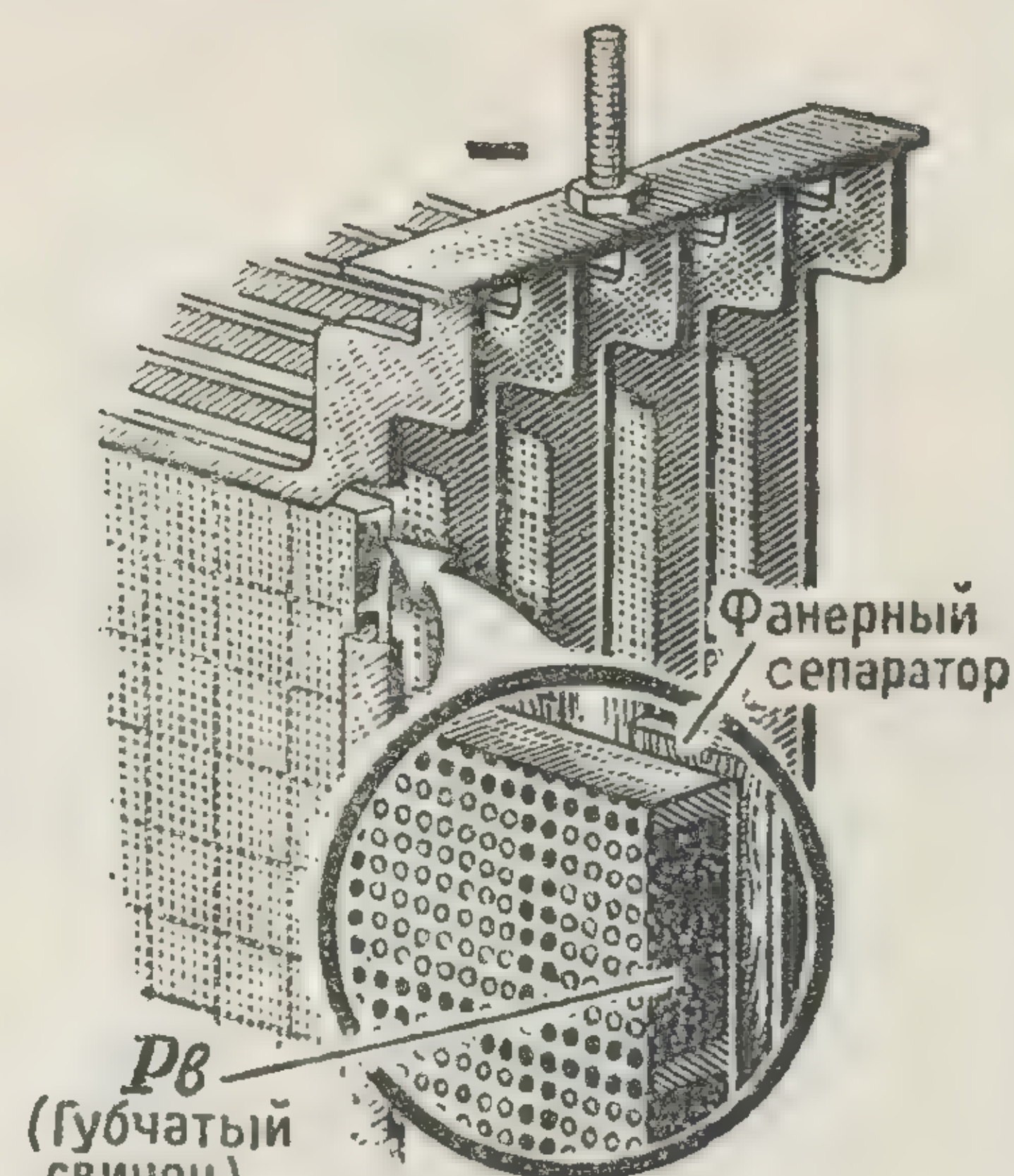
СВИНЦОВЫЕ АККУМУЛЯТОРЫ



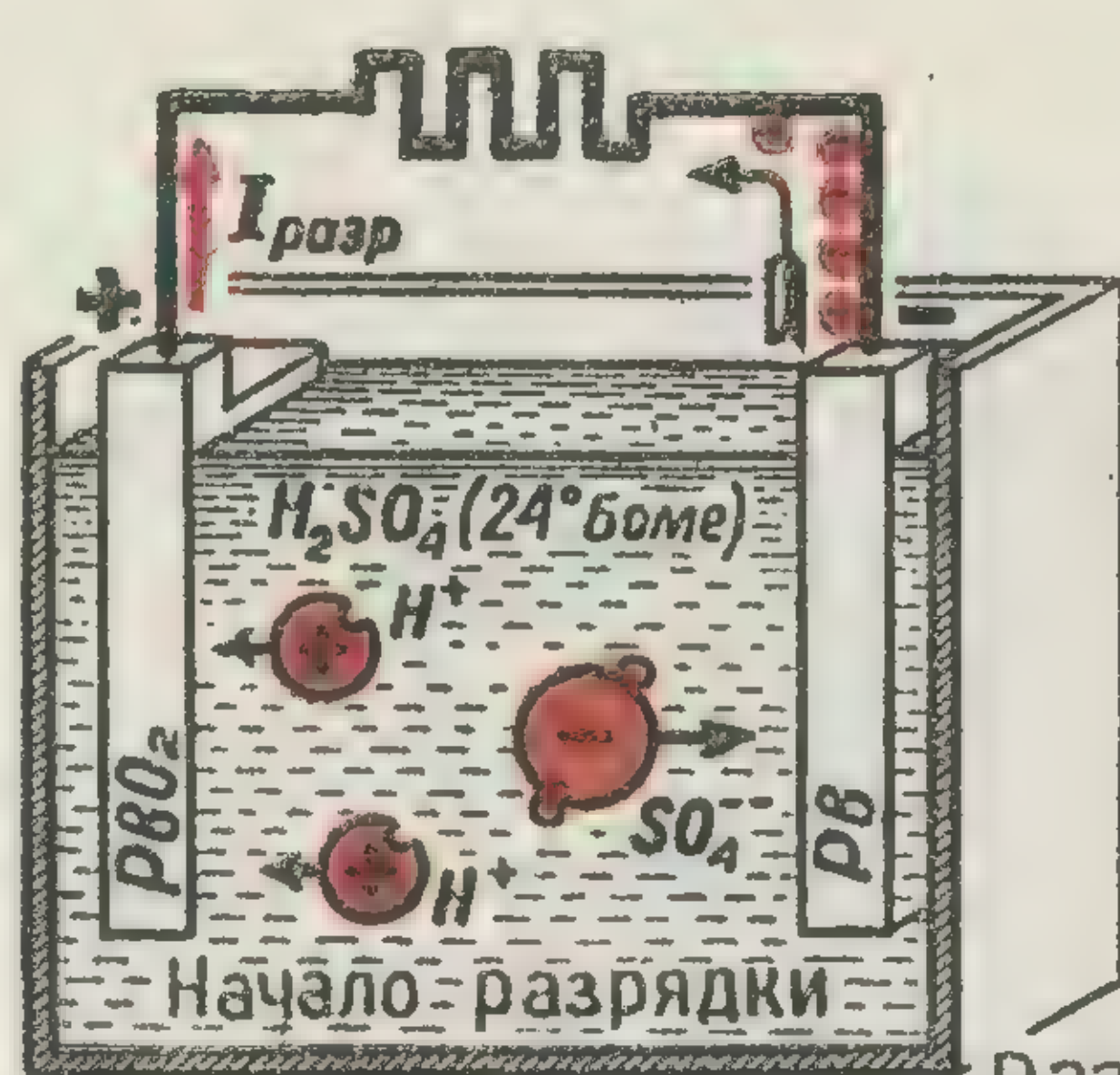
Положительная пластина большой поверхности



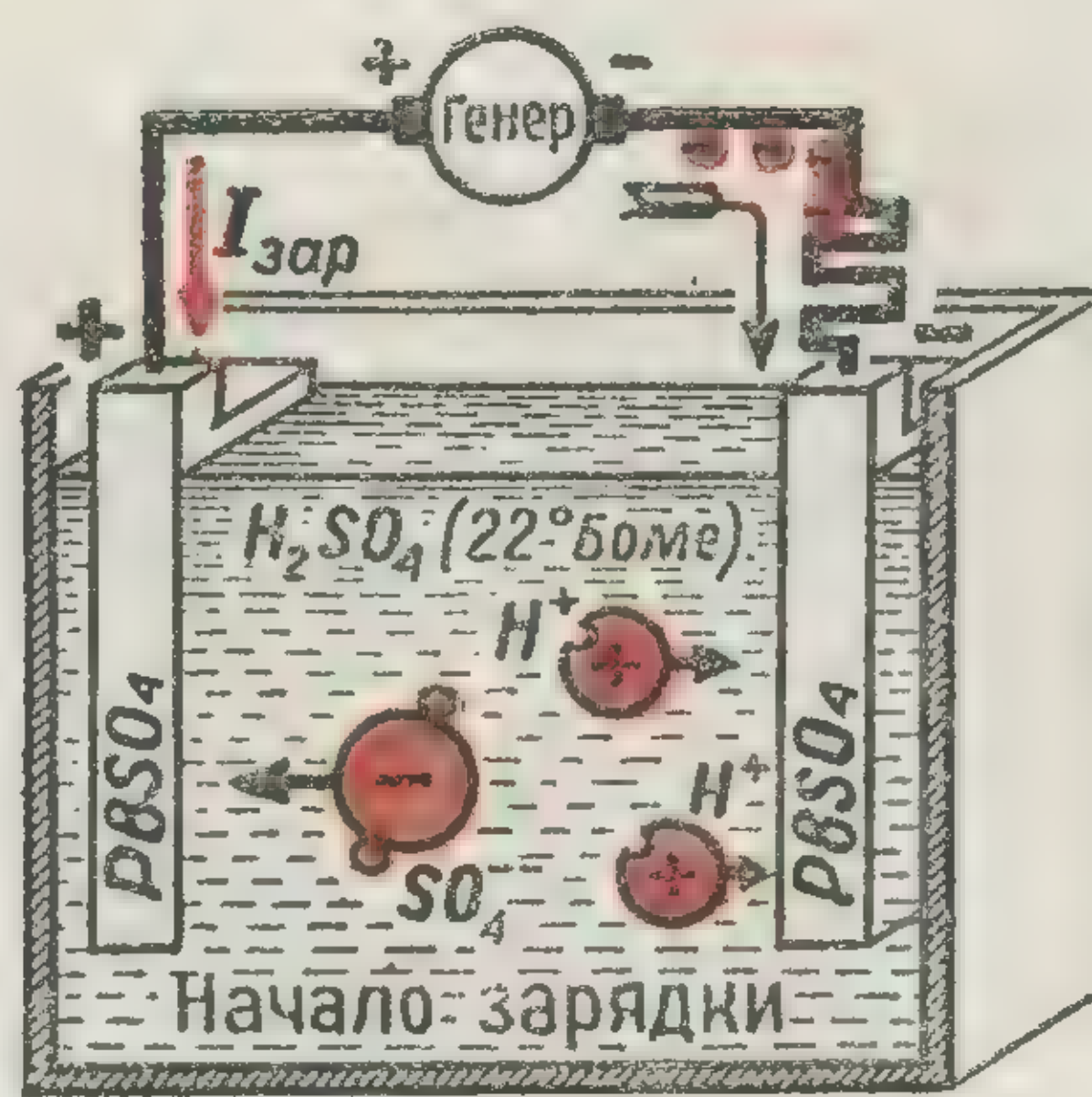
СТАЦИОНАРНЫЙ АККУМУЛЯТОР



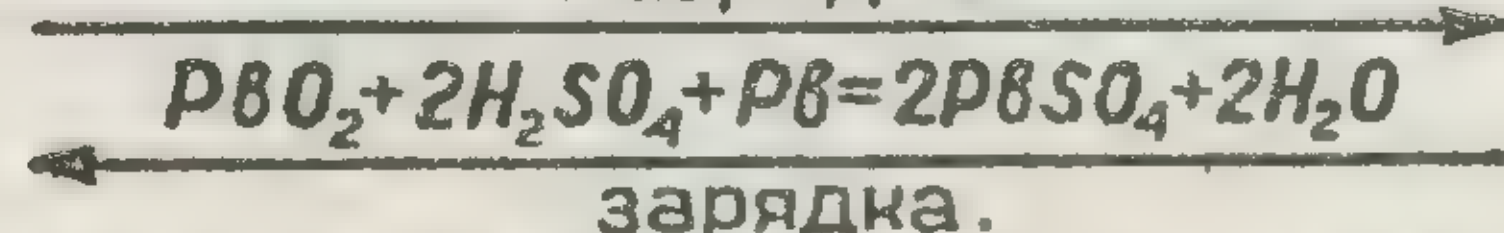
Отрицательная коромчатая пластина



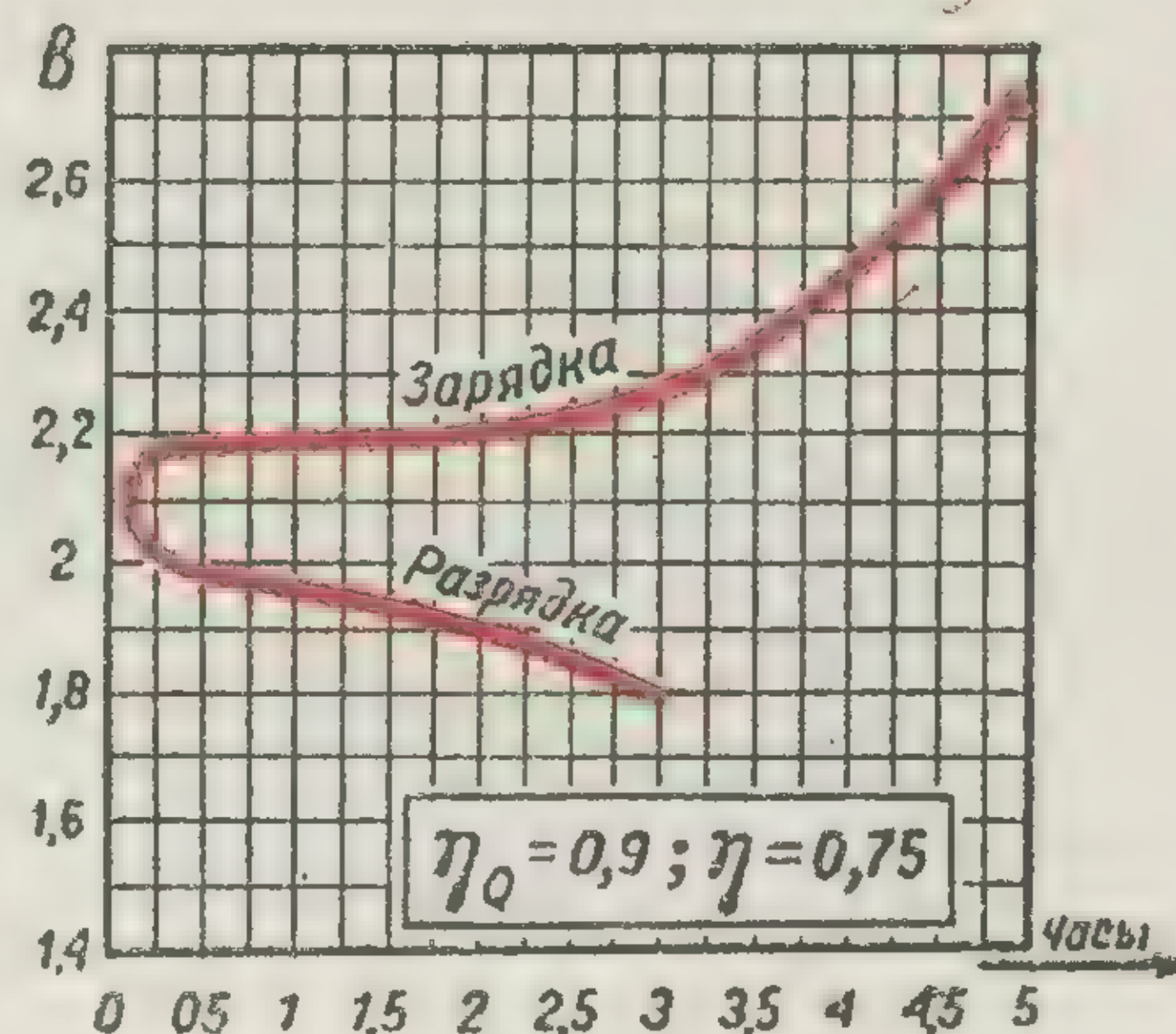
Разрядка



зарядка.



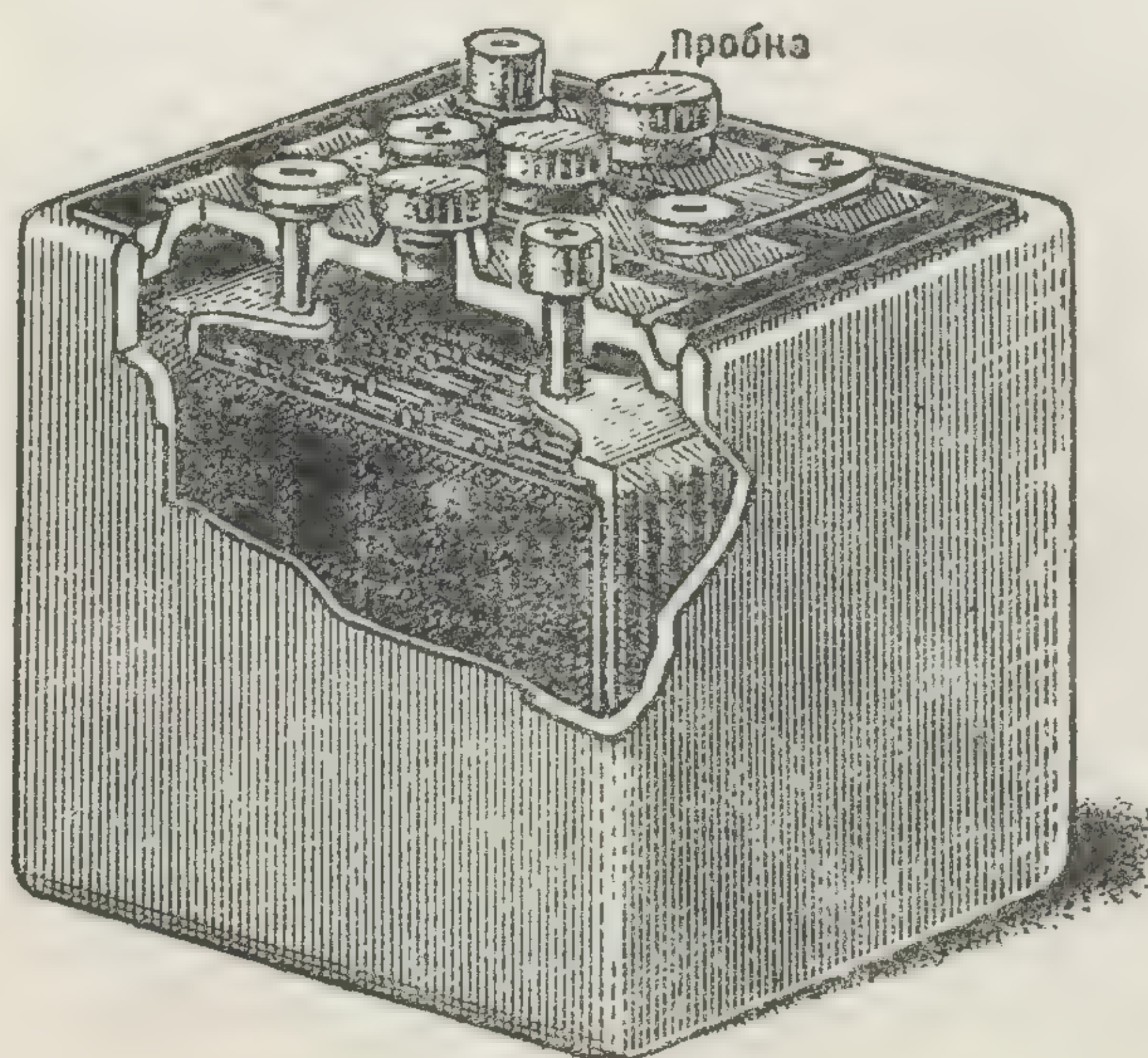
ХИМИЧЕСКИЕ РЕАКЦИИ В АККУМУЛЯТОРЕ



КРИВЫЕ ЗАРЯДКИ И РАЗРЯДКИ

$$\eta_0 = \frac{Q_{\text{разр}}}{Q_{\text{зар}}} = \frac{\sum I_{\text{раз}} \cdot \Delta t}{\sum I_{\text{зар}} \cdot \Delta t}$$

Отдача аккумулятора

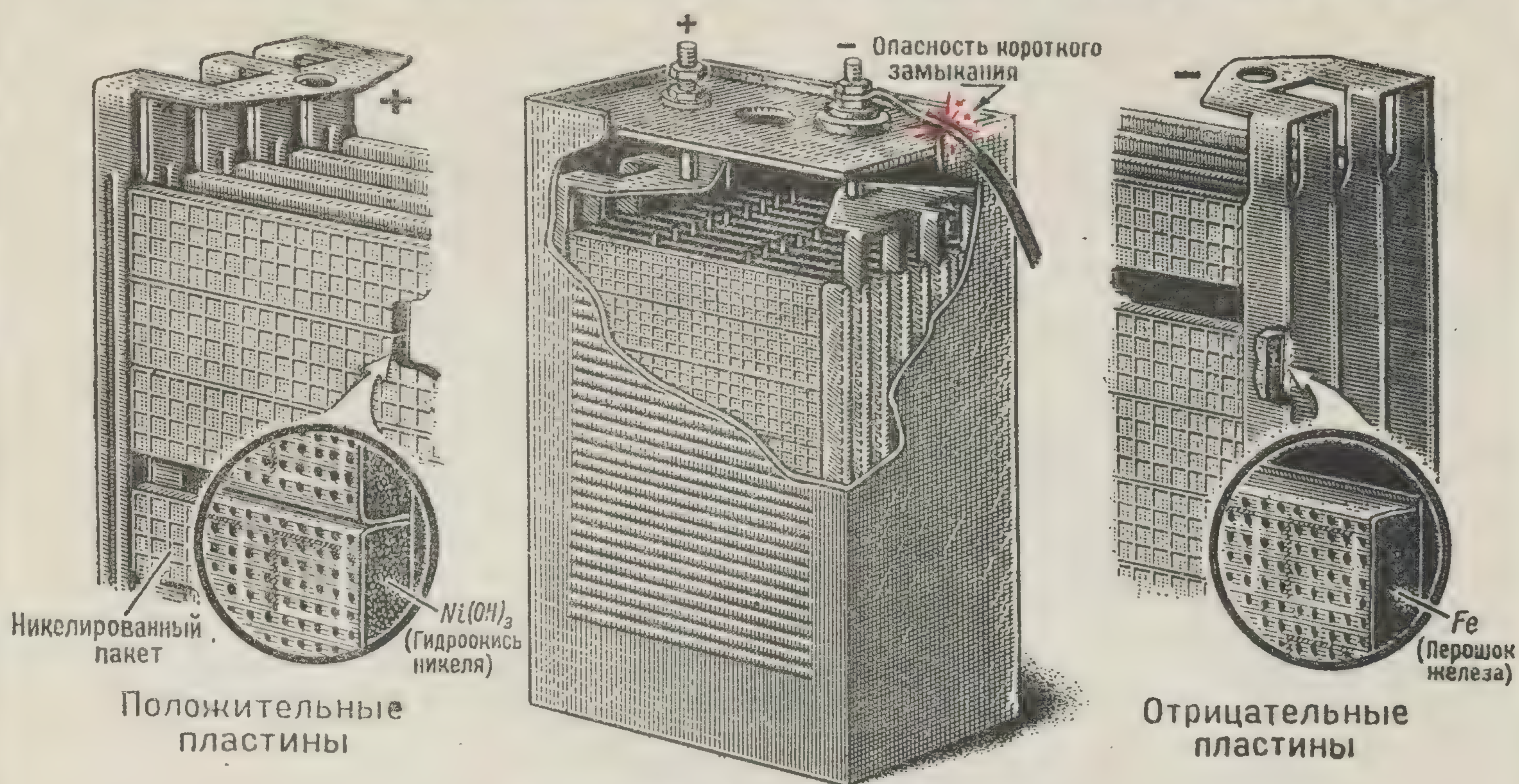


СТАРТЕРНЫЙ АККУМУЛЯТОР (батарея из трех элементов)

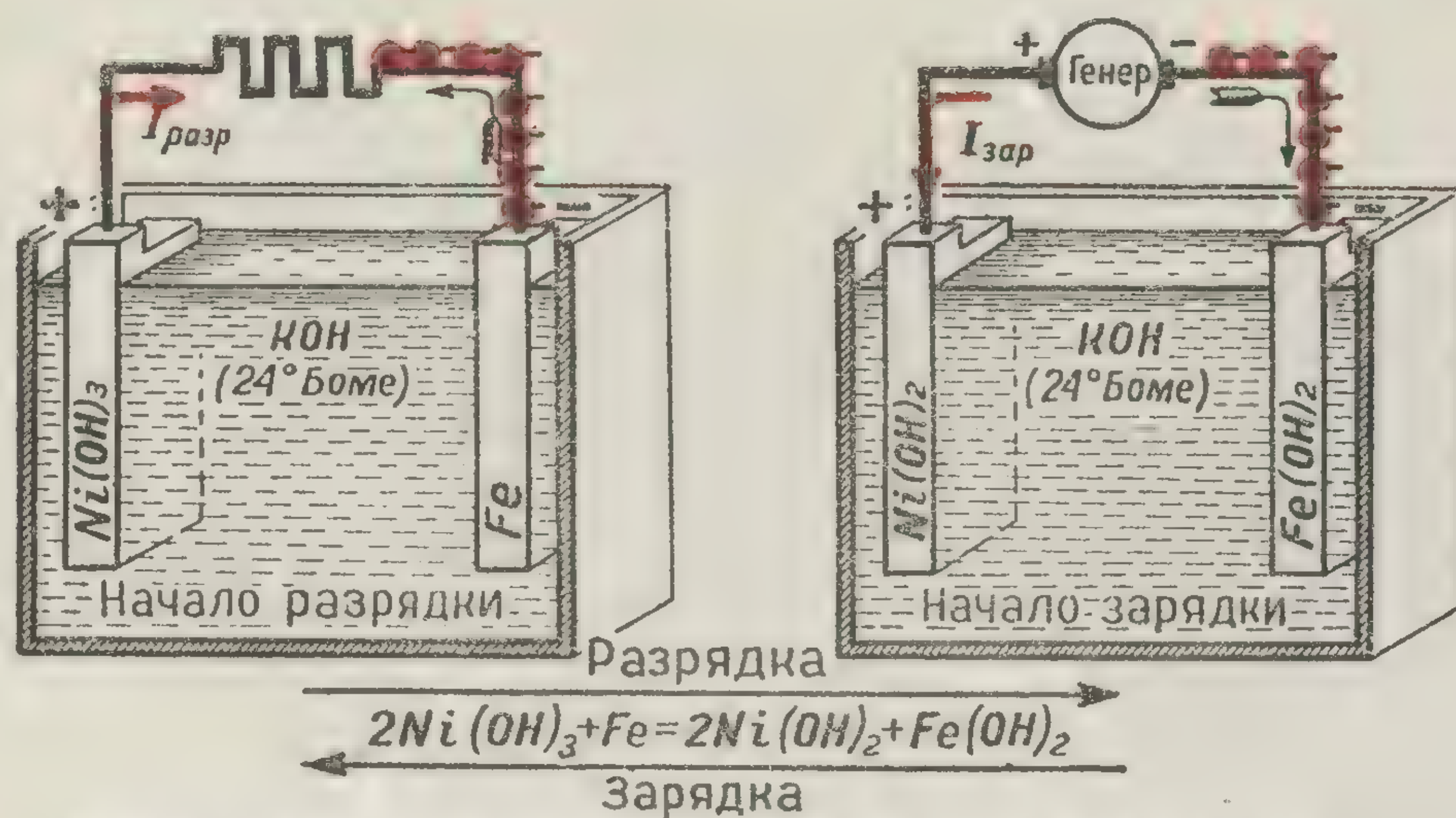
$$\eta = \frac{W_{\text{разр}}}{W_{\text{зар}}} = \frac{\sum U I_{\text{раз}} \cdot \Delta t}{\sum U I_{\text{зар}} \cdot \Delta t}$$

Коэффициент полезного действия

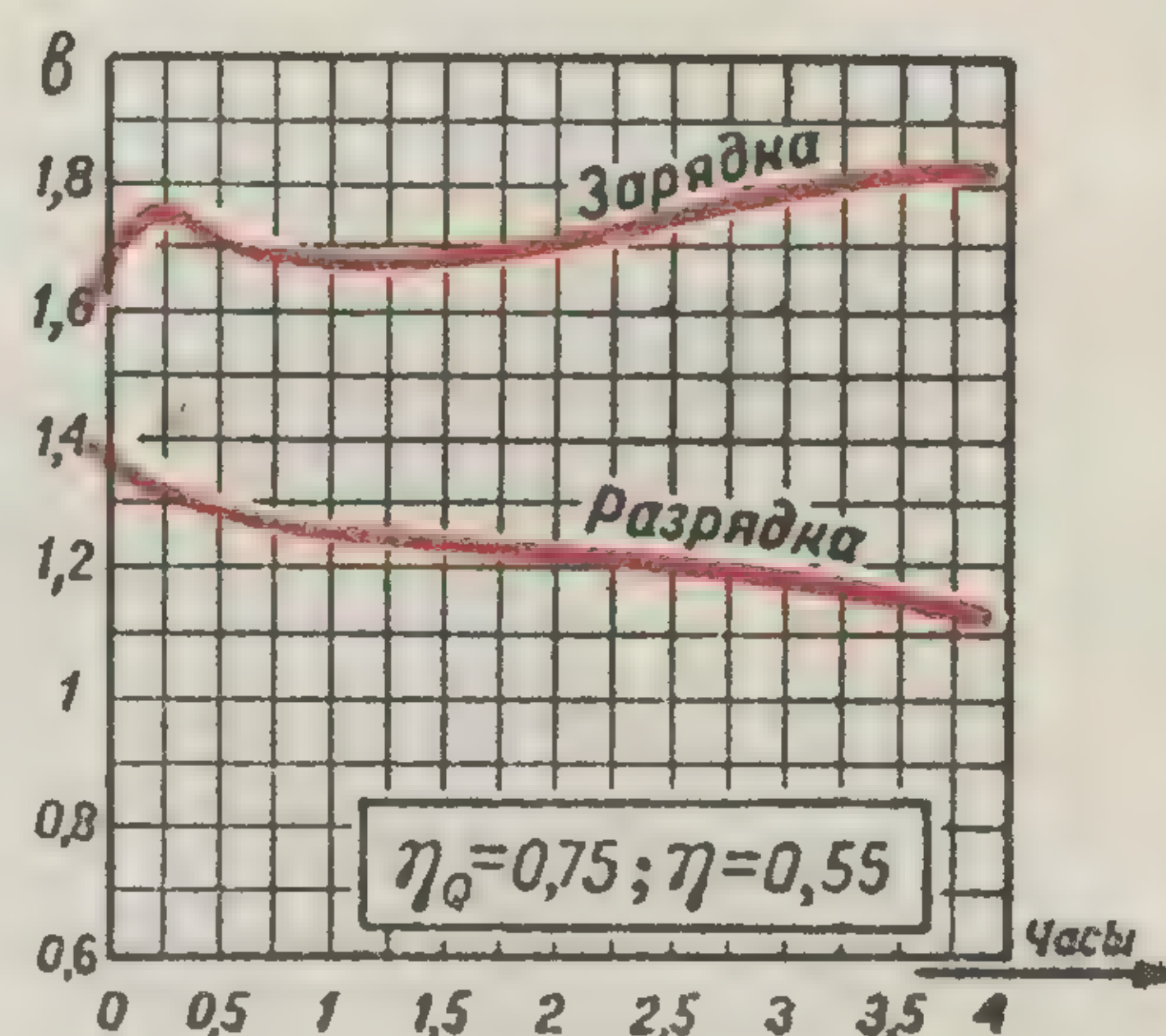
ЖЕЛЕЗО-НИКЕЛЕВЫЕ (ЩЕЛОЧНЫЕ) АККУМУЛЯТОРЫ



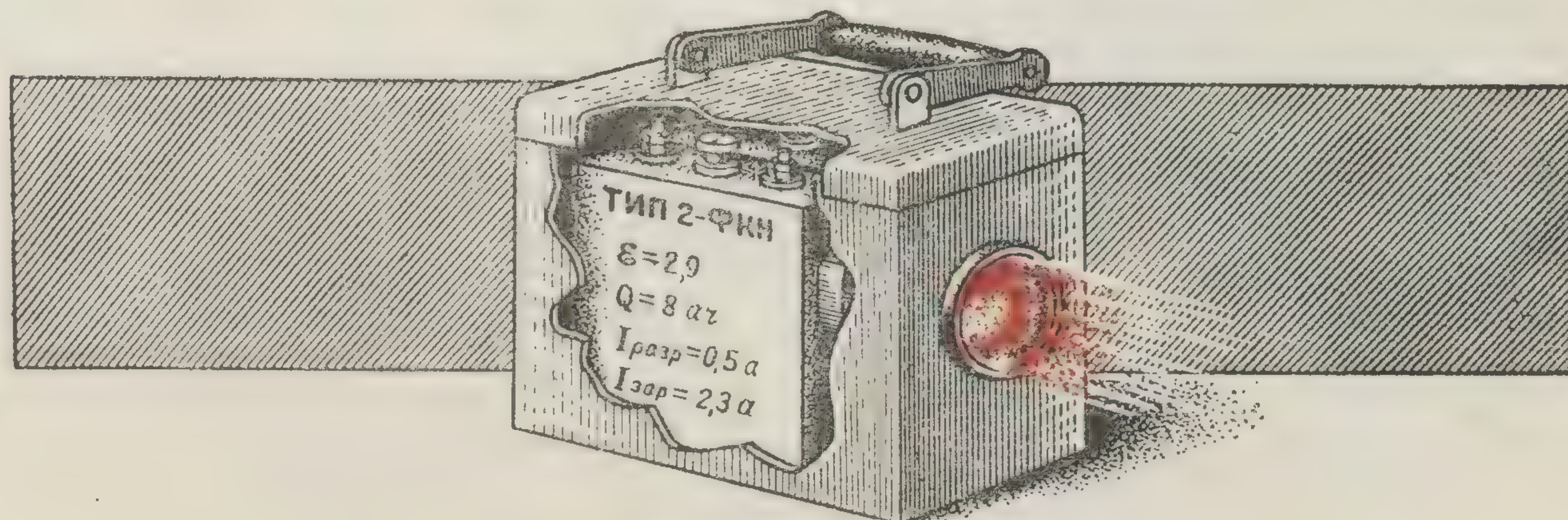
ЩЕЛОЧНОЙ АККУМУЛЯТОР



ХИМИЧЕСКИЕ РЕАКЦИИ В АККУМУЛЯТОРЕ



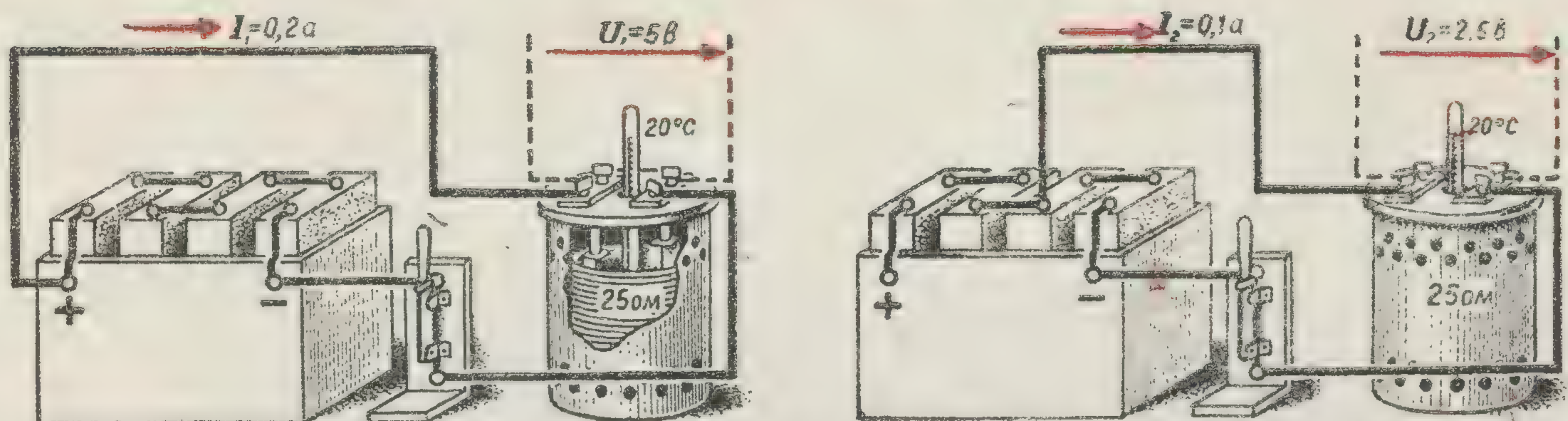
КРИВЫЕ ЗАРЯДКИ И РАЗРЯДКИ



Переносный аккумуляторный фонарь

Э.И.Расовский.

ЗАКОН ОМА



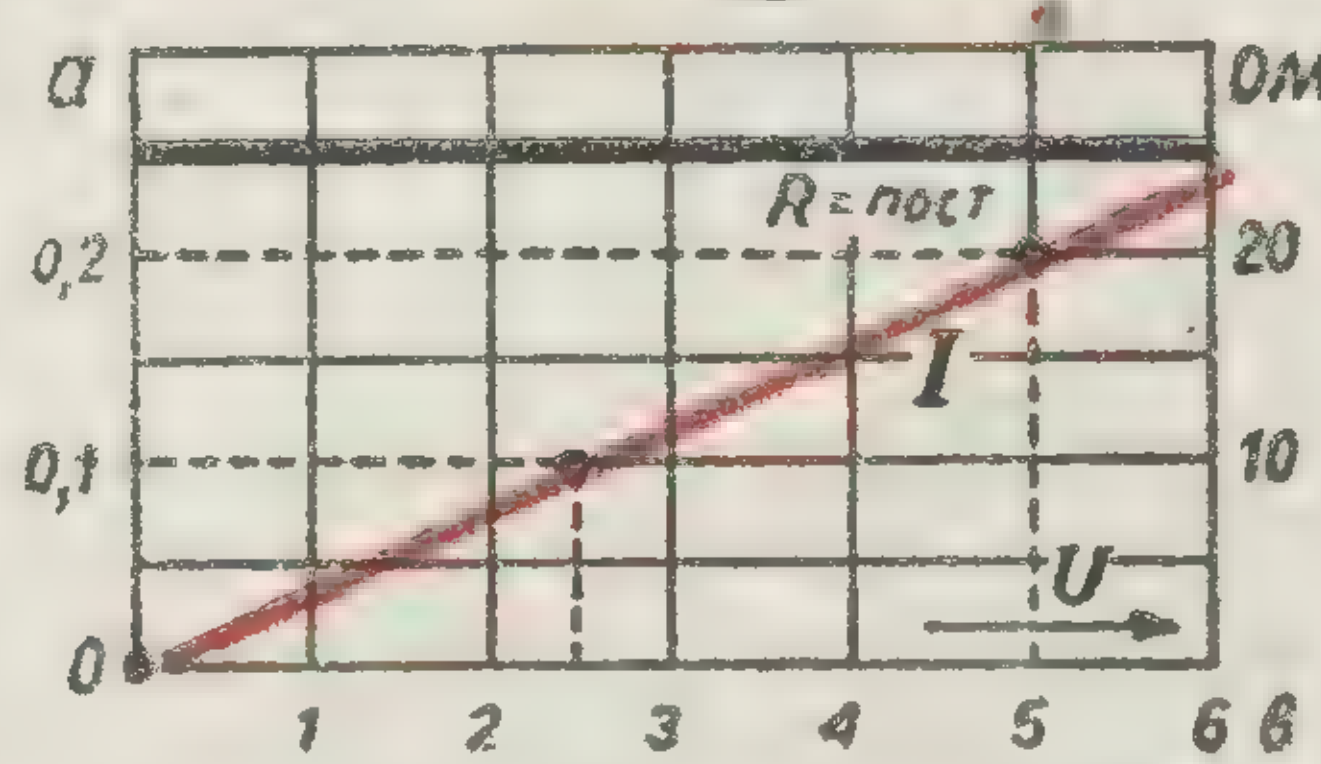
линейная зависимость между напряжением и током в омическом сопротивлении

$$\vec{\delta} = \gamma \vec{E} \quad \frac{\text{a}}{\text{мм}^2}$$

Плотность тока в проводнике пропорциональна напряженности электрического поля

$$\frac{U}{I} = \text{const} = R \quad \text{om}$$

Отношение напряжения к току в омическом проводнике есть величина постоянная



Вольтамперная характеристика омического сопротивления

ЗАКОН ОМА.

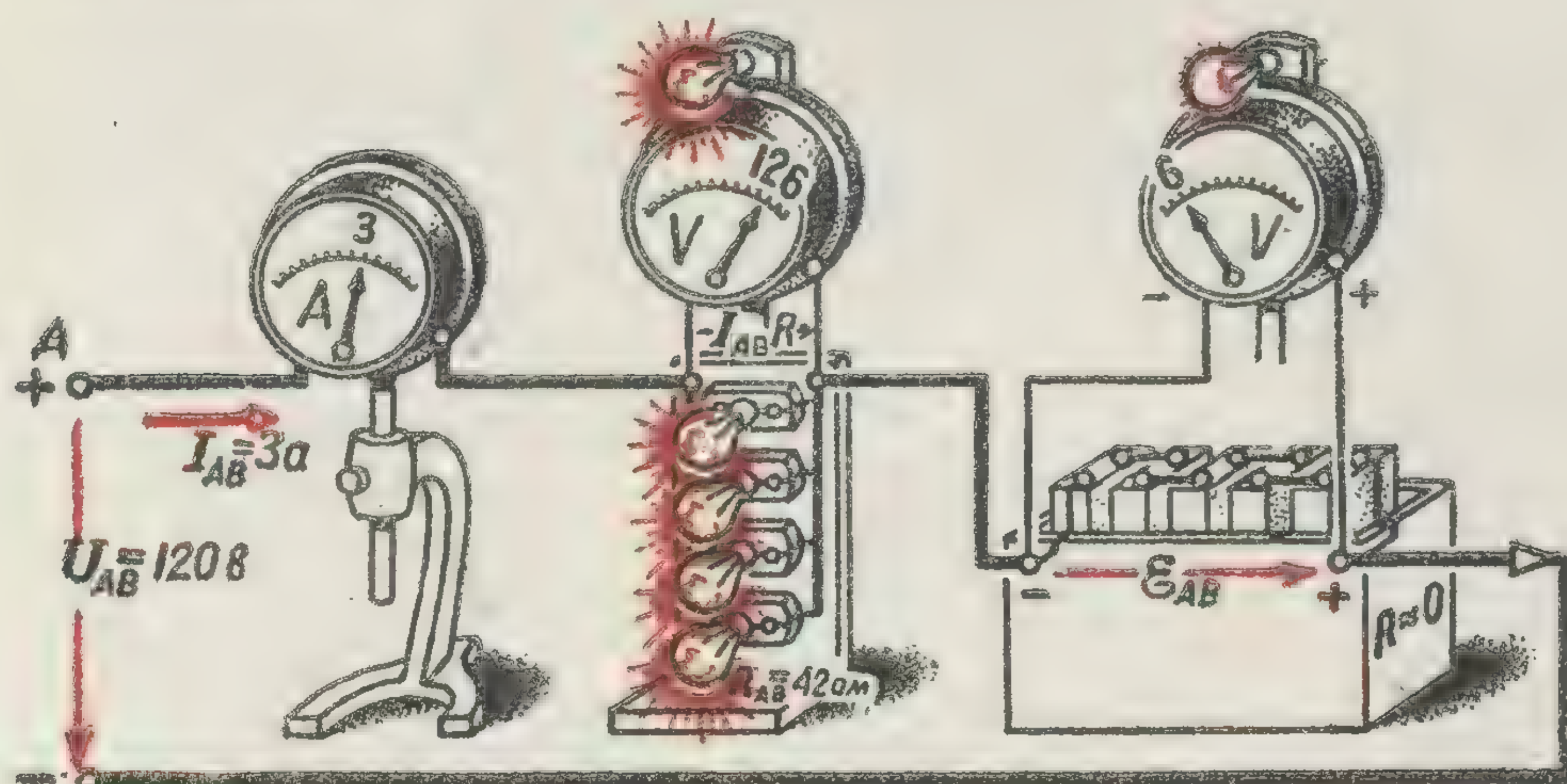
$$U = IR \quad \text{B}$$

Напряжение.

• IR-ПАДЕНИЕ НАПРЯЖЕНИЯ В СОПРОТИВЛЕНИИ R •

$$I = \frac{U}{R} \quad \text{a}$$

Ток



В Напряжение на зажимах участка цепи с положительно направленным током и э.д.с.

$$I_{AB} = \frac{U_{AB} + \mathcal{E}_{AB}}{R_{AB}} \quad \text{a}$$

Электрический ток

Электрический ток в участке цепи возникает под совместным влиянием приложенного напряжения и действующей э.д.с.

$$\vec{\delta} = \gamma (\vec{E} + \vec{E}_{\text{стор}}) \quad \frac{\text{a}}{\text{мм}^2}$$

Плотность тока

$$U_{AB} = I_{AB} \cdot R - \mathcal{E}_{AB} \quad \text{B}$$

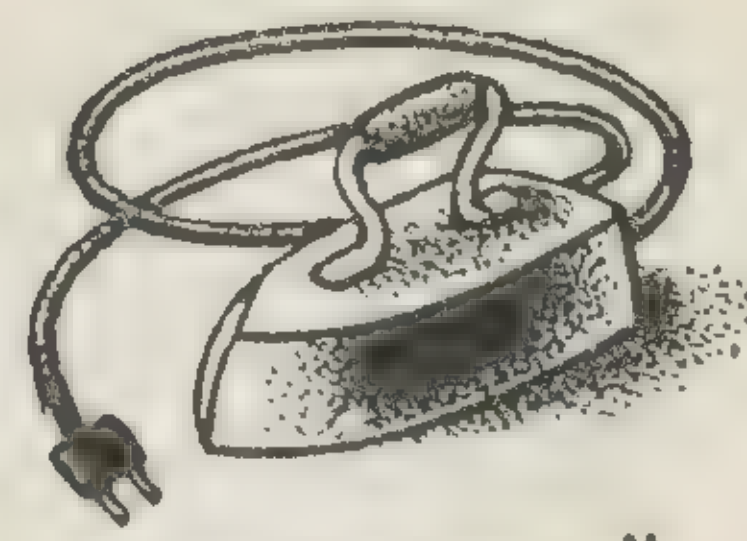
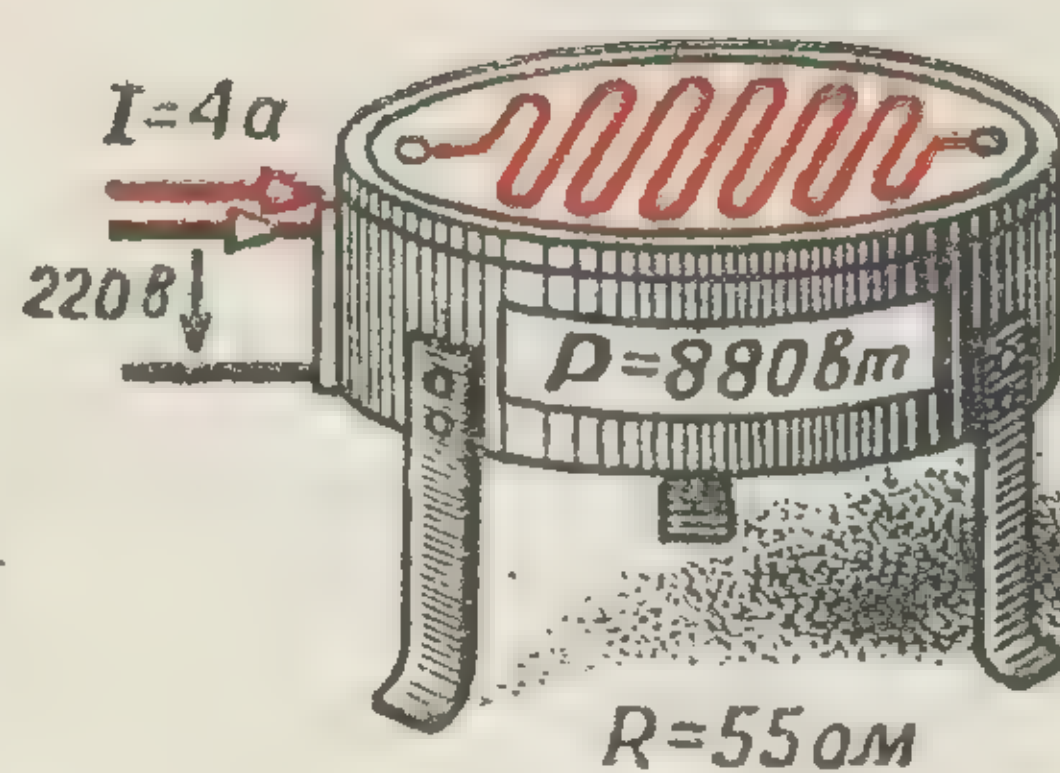
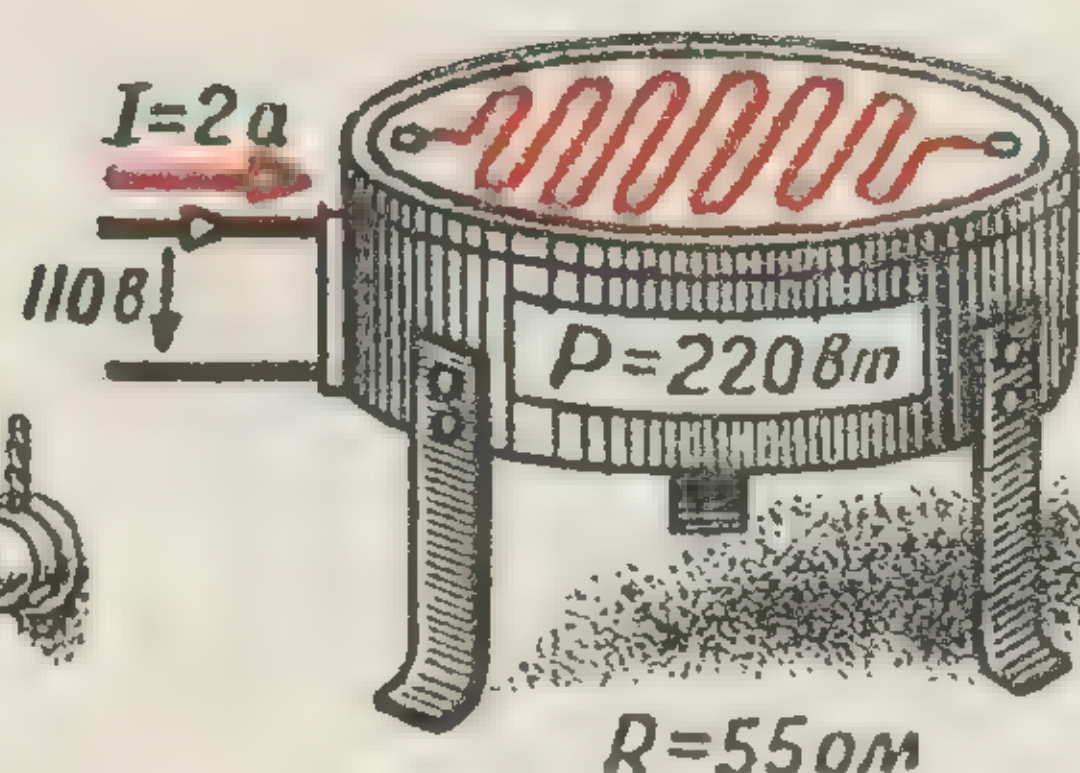
Напряжение на зажимах участка цепи равно падению напряжения в его сопротивлении за вычетом положительно направленной э.д.с.

Закон Ома для участка цепи с действующей в нем э.д.с.

ЗАКОН ЛЕНЦА-ДЖОУЛЯ



Электрический камин



Электрический утюг

$$P = I^2 R \quad \text{Вт}$$

Мощность, расходуемая на нагрев проводника пропорциональна квадрату тока

$$\frac{P}{V} = \frac{\delta^2}{\gamma} \quad \frac{\text{Вт}}{\text{м}^3}$$

Расход мощности в единице объема проводника пропорционален квадрату плотности тока

ЗАКОН ЛЕНЦА-ДЖОУЛЯ

$$P = UI = I^2 R = \frac{U^2}{R} \quad \text{Вт}$$

Тепловые потери

При постоянном токе потеря мощности **прямо** пропорциональна сопротивлению, а при постоянном напряжении — **обратно** пропорциональна сопротивлению проводника

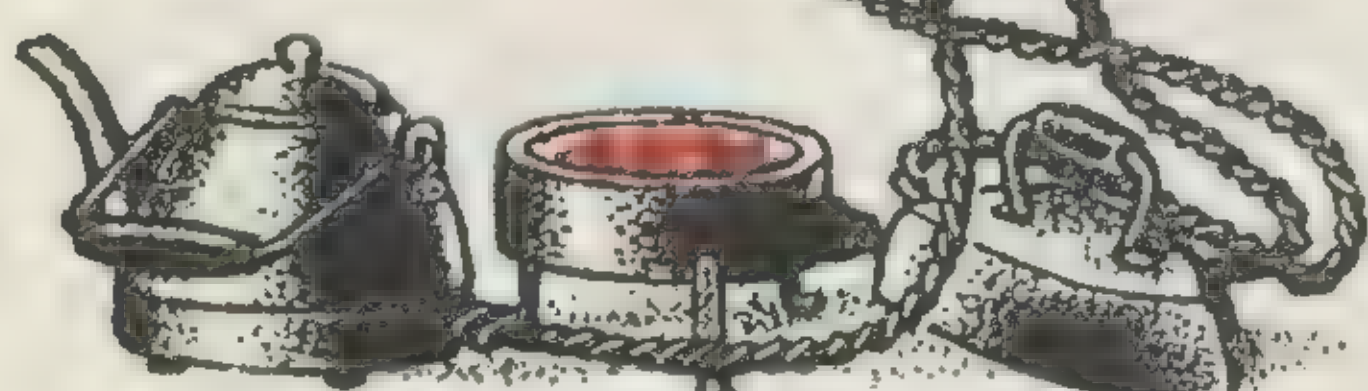
$$W = 0,239 I^2 R t \quad \text{кал}$$

Выделяемое тепло

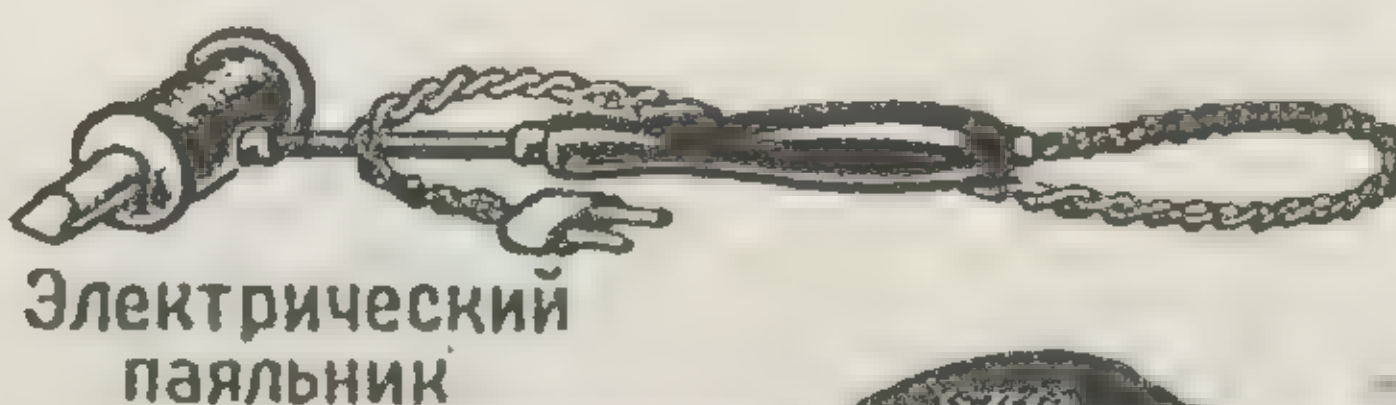
1 Дж (Вт сек) = 0,239 кал ; 1 кВтч = 860 ккал



Перегрев от неплотного контакта



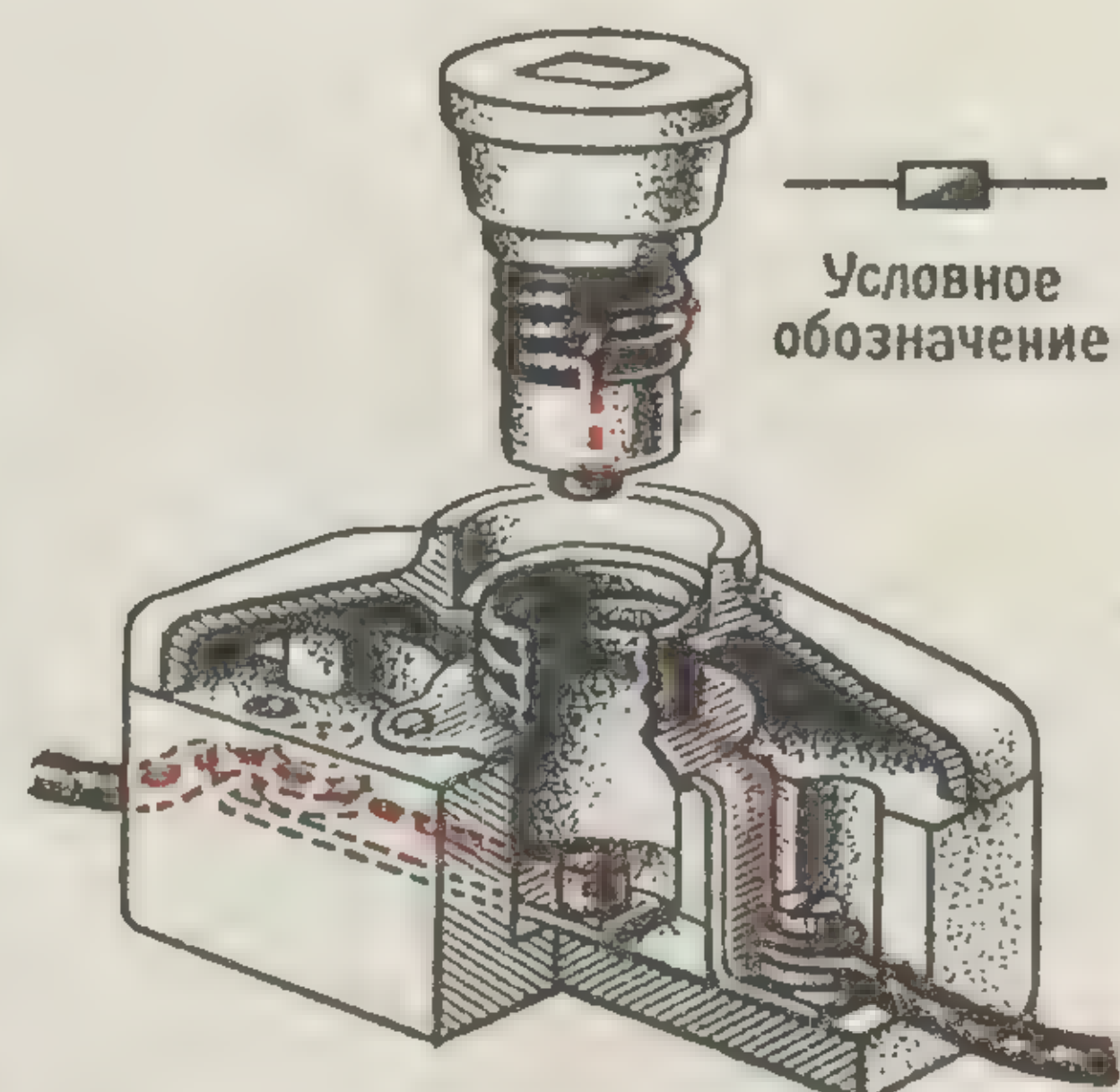
Опасность перегрузки проводов электрическим током



Электрический паяльник



Электросварка (изобретена Н.Г.Славяновым в 1890 г.)



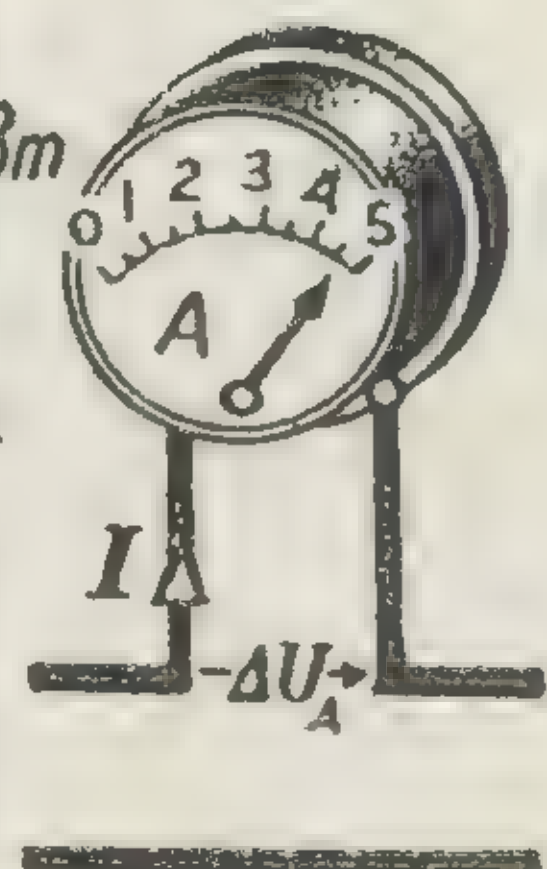
Плавкий предохранитель

ИСПОЛЬЗОВАНИЕ ЭЛЕКТРОНАГРЕВА

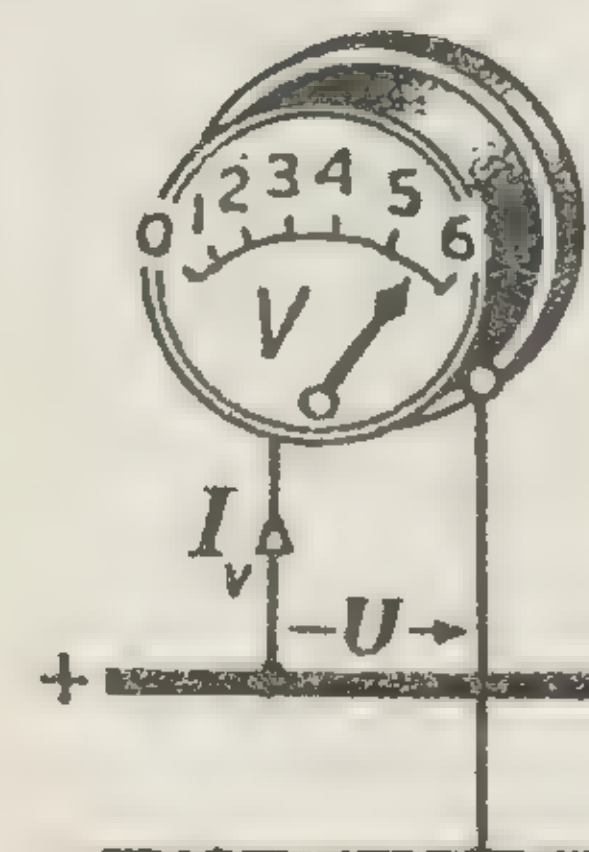
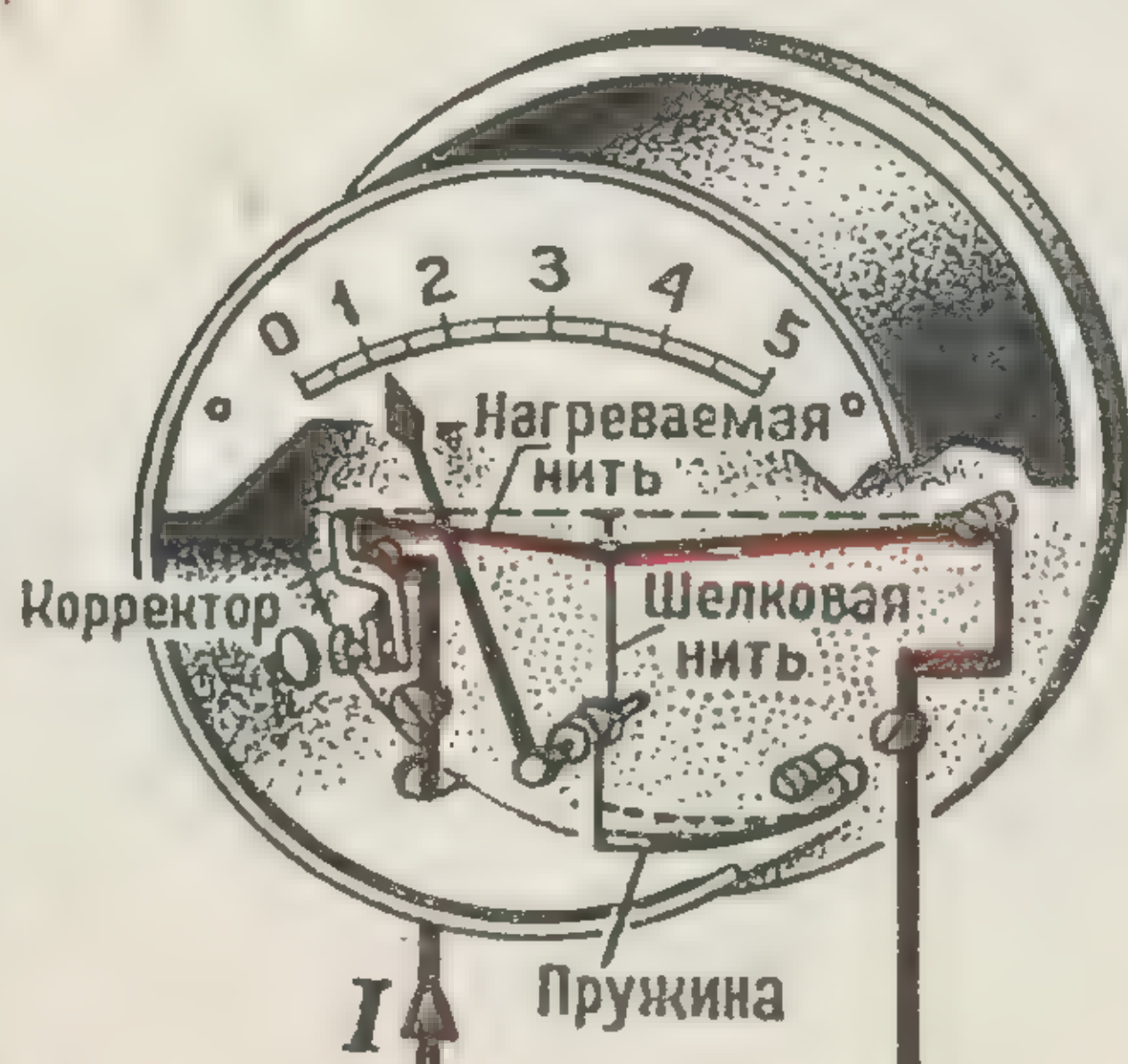
$$\Delta P_A = \Delta U_A \cdot I = I^2 R_A \quad \text{Вт}$$

Собственное потребление прибора

$$I_A = 5a ; \Delta U_A = 0,5В ; R_A = 0,1ом ; \Delta P_A = 2,5Вт$$



Амперметр



Вольтметр

$$\Delta P_V = U \cdot I_V = \frac{U^2}{R_V} \quad \text{Вт}$$

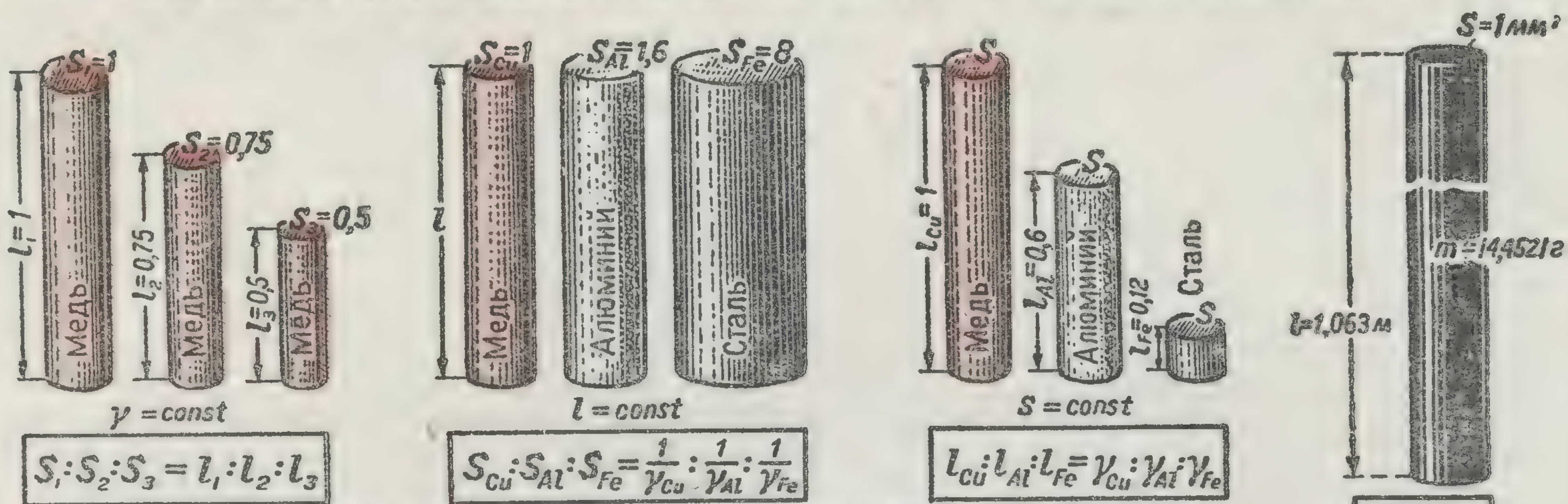
Собственное потребление прибора

$$U_V = 6В ; I_V = 150ма ; R_V = 40ом ; \Delta P_V = 0,9Вт$$

ТЕПЛОВЫЕ ЭЛЕКТРОИЗМЕРИТЕЛЬНЫЕ ПРИБОРЫ

Э.И.Расовский.

ЭЛЕКТРИЧЕСКОЕ СОПРОТИВЛЕНИЕ



ПРОВОДНИКИ ОДИНАКОВОГО СОПРОТИВЛЕНИЯ

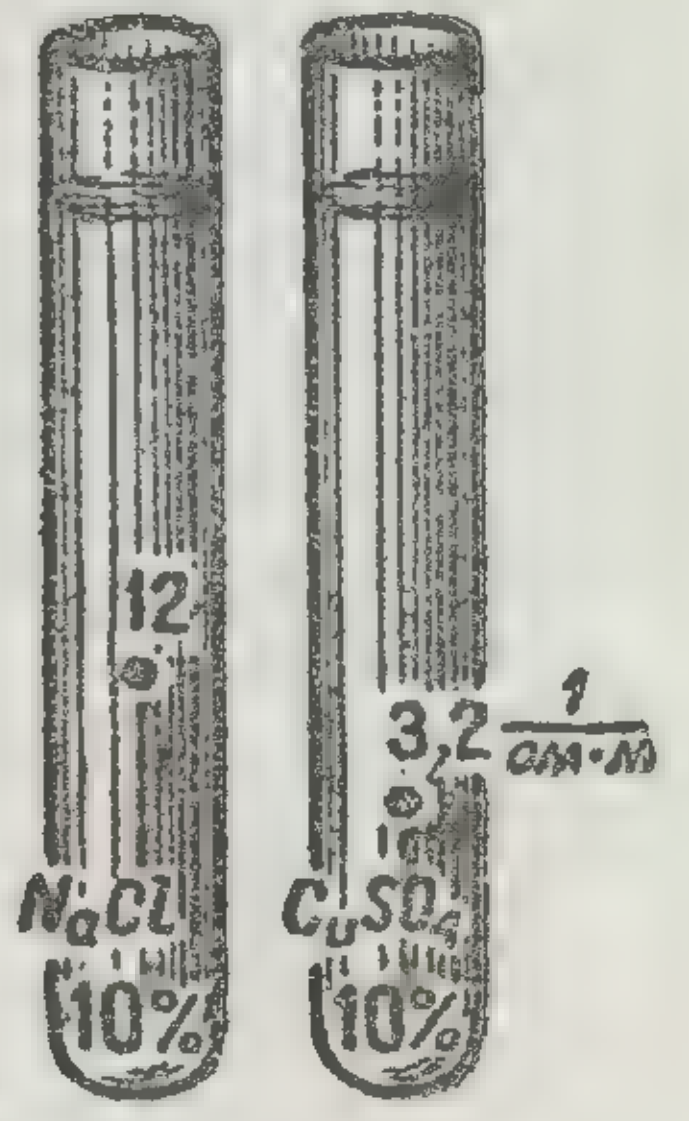
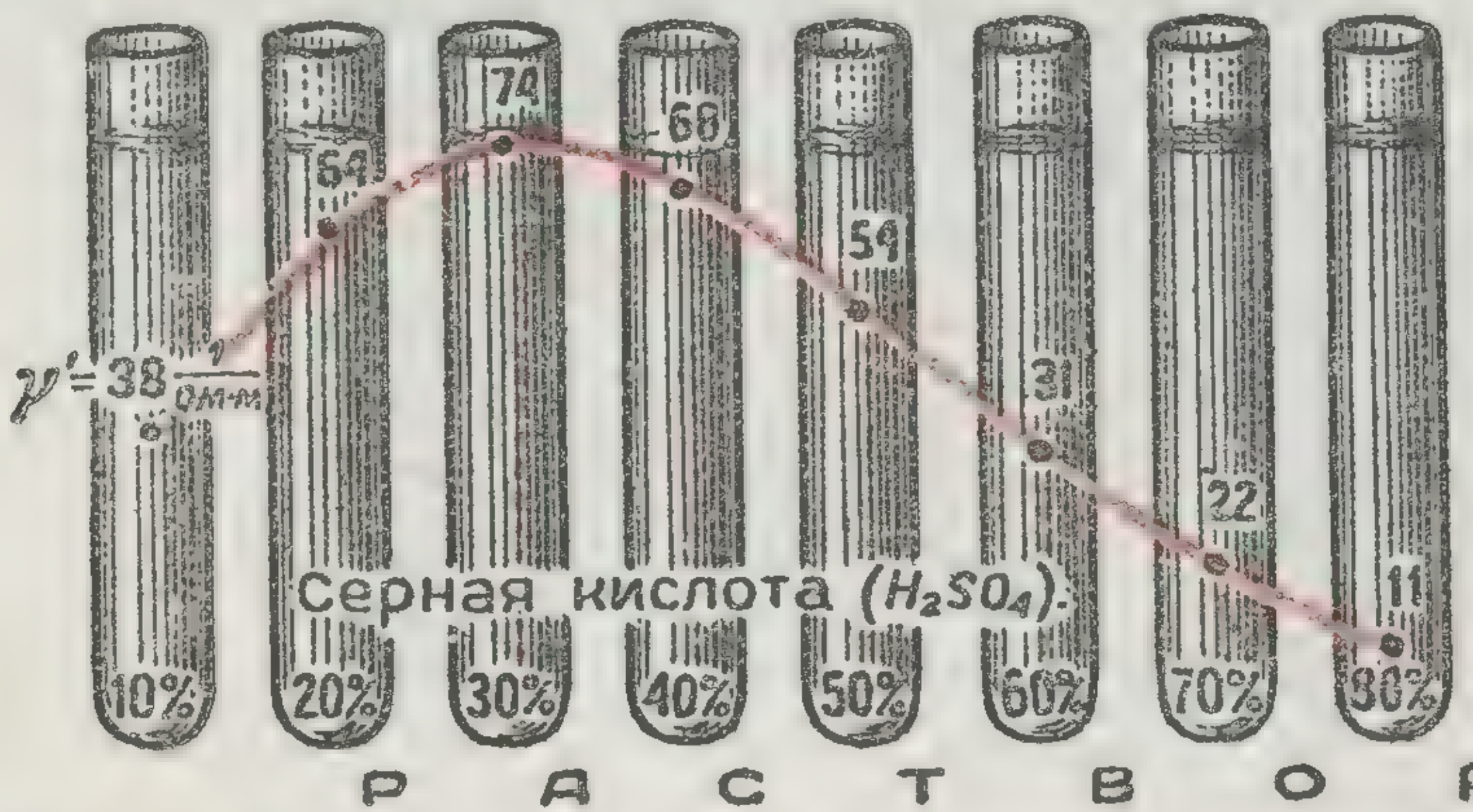
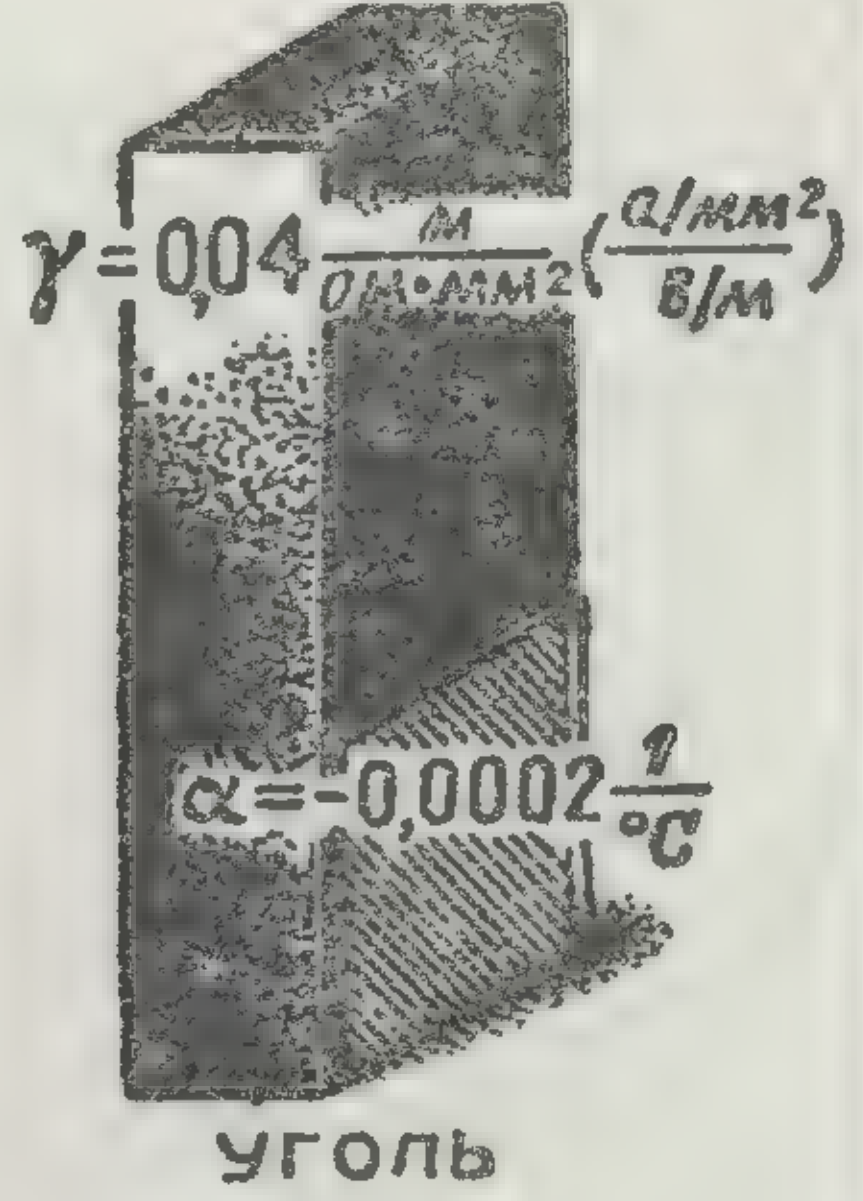
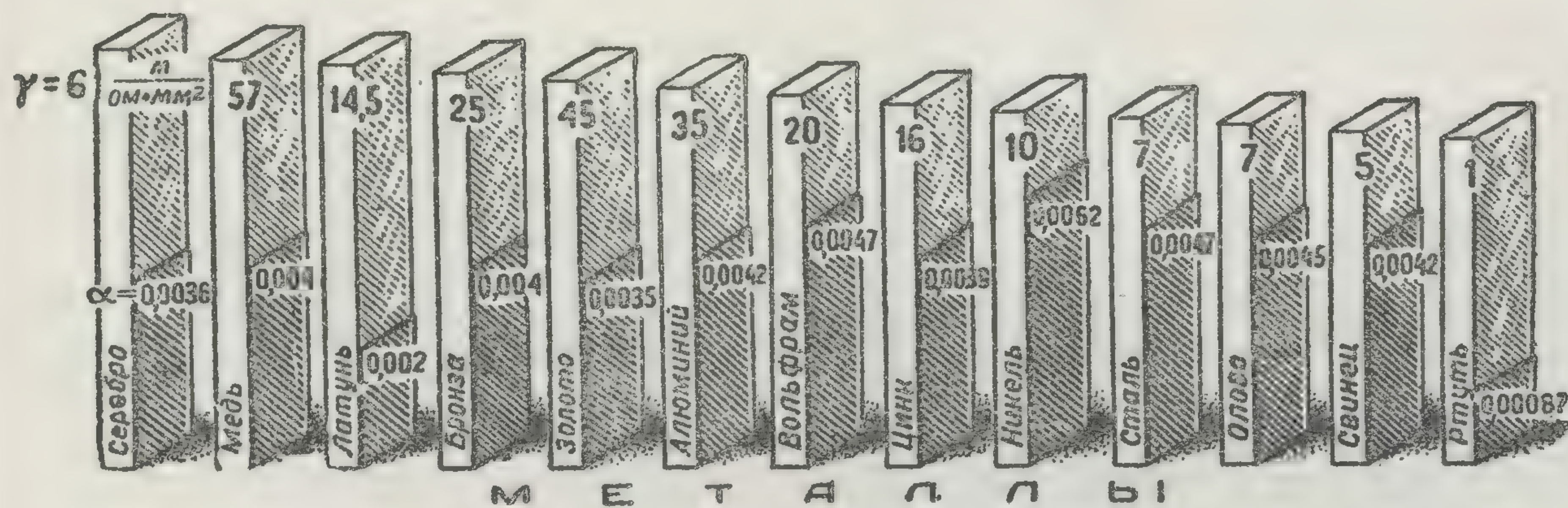
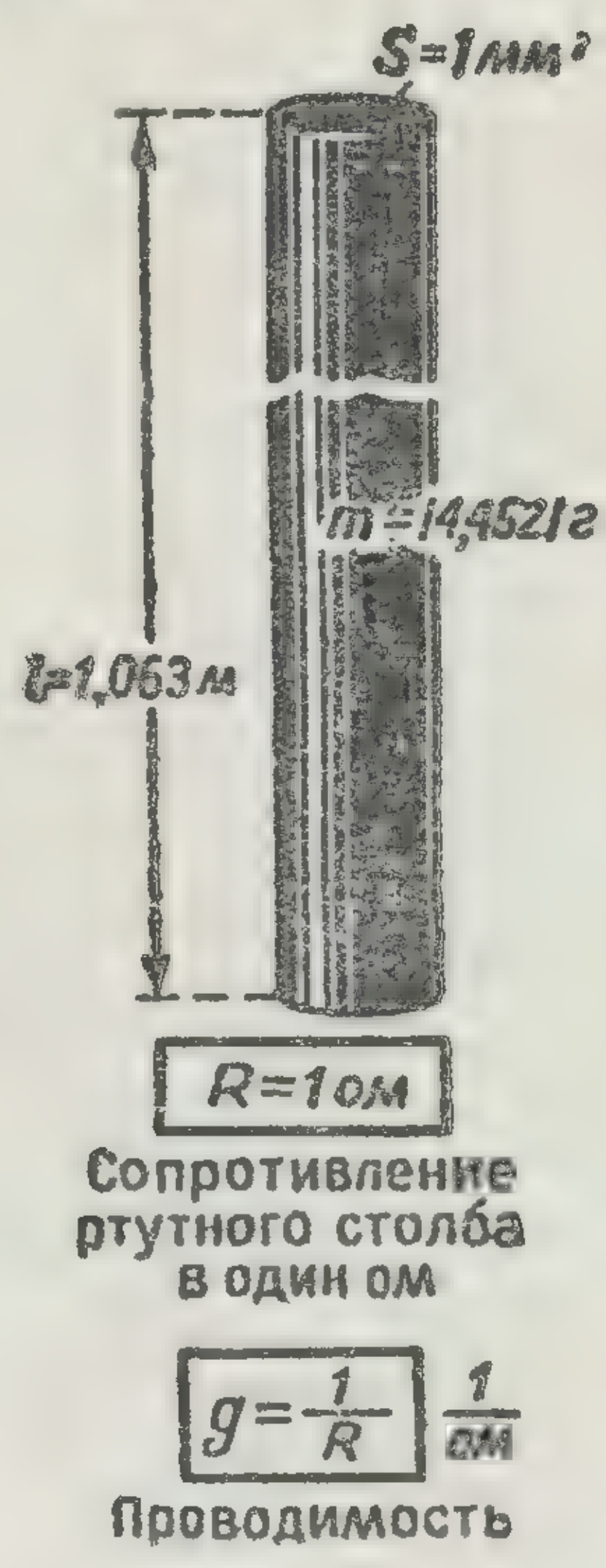
$R = \frac{l}{\gamma S}$ Ом

Электрическое сопротивление проводника прямо пропорционально его длине и обратно пропорционально поперечному сечению

Сопротивление

$g = \frac{1}{R}$ 1/Ом

Проводимость



УДЕЛЬНАЯ ПРОВОДИМОСТЬ γ И ТЕМПЕРАТУРНЫЙ КОЭФФИЦИЕНТ СОПРОТИВЛЕНИЯ α НЕКОТОРЫХ ПРОВОДНИКОВ

$R_2 = R_1 [1 + \alpha(t_2 - t_1)]$ Ом

Сопротивление нагретого проводника

Diagram showing a copper coil at two temperatures: 20°C (resistance $R_1=110\text{ Ом}$) and 70°C (resistance $R_2=132\text{ Ом}$). The temperature difference is $\Delta t = 50^\circ\text{C}$.

$\Delta t = \frac{\Delta R\%}{100\alpha} = \frac{20}{0.4} = 50^\circ\text{C}$

Расчет

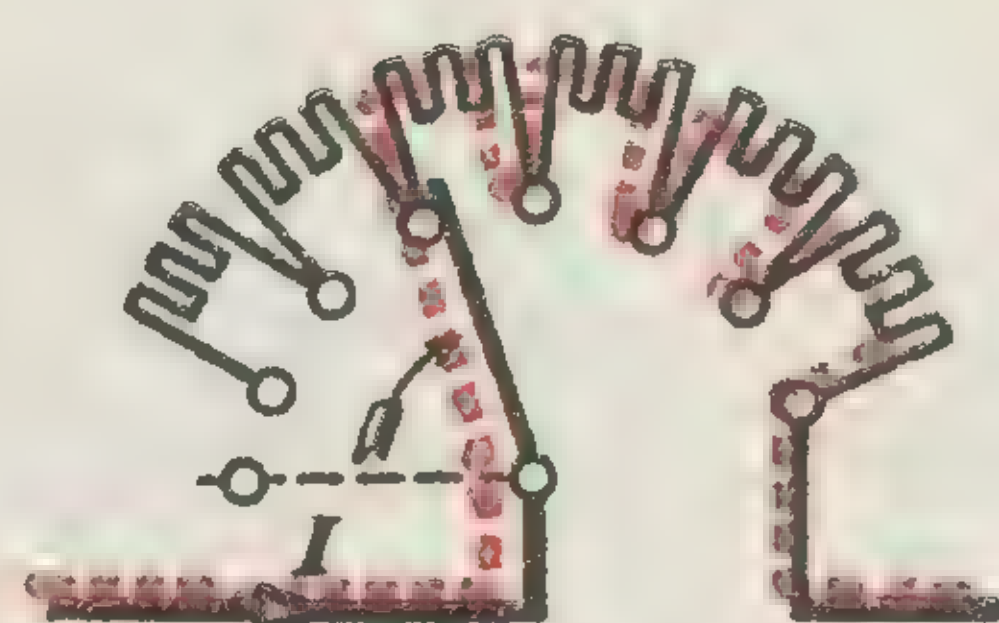
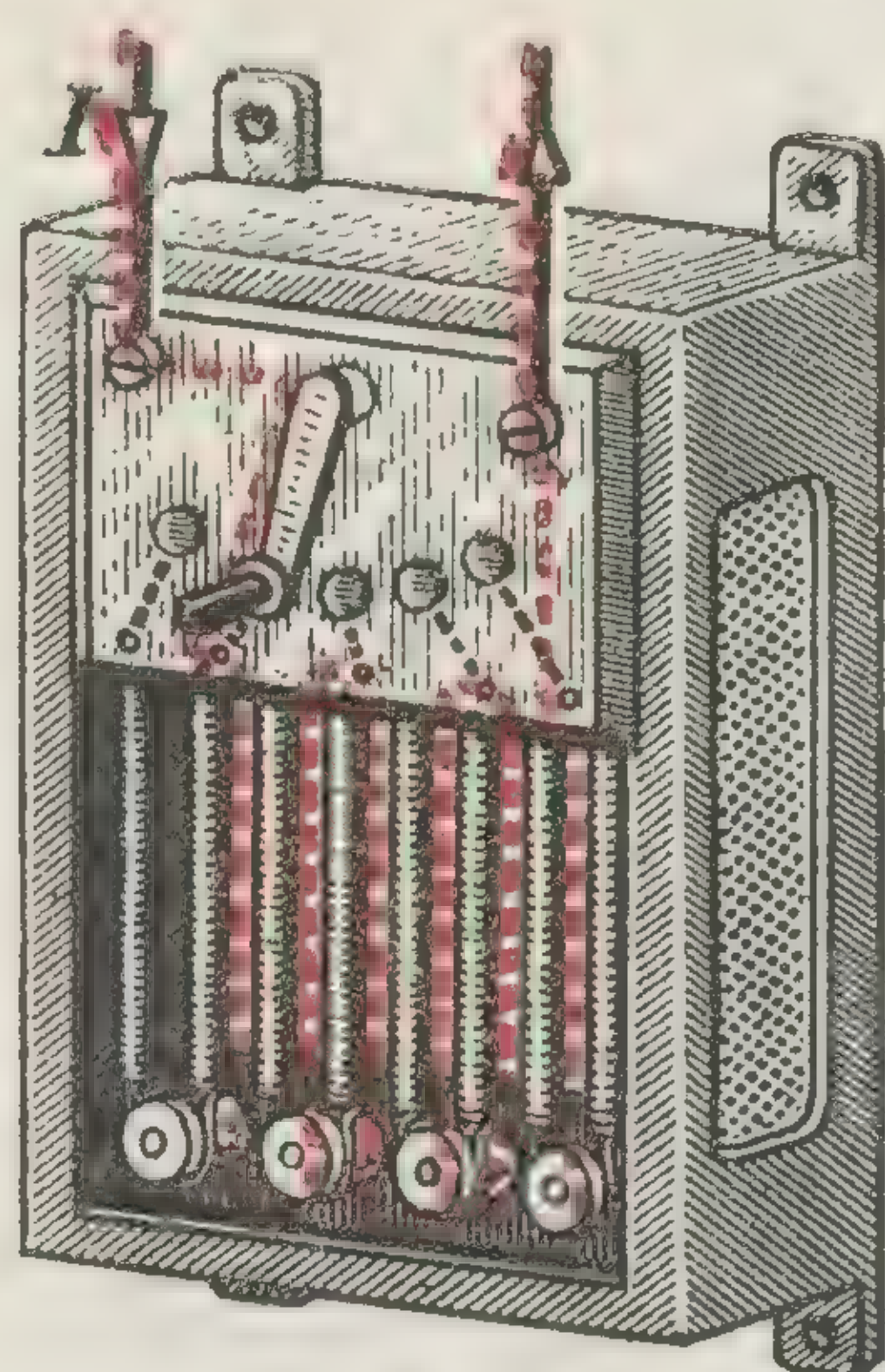
$\alpha = \frac{R_2 - R_1}{R_1(t_2 - t_1)} = \frac{\Delta R\%}{100 \cdot \Delta t} \cdot \frac{1}{^\circ\text{C}}$

Температурный коэффициент сопротивления

ЗАВИСИМОСТЬ СОПРОТИВЛЕНИЯ ОТ ТЕМПЕРАТУРЫ

Э.И.Расовский.

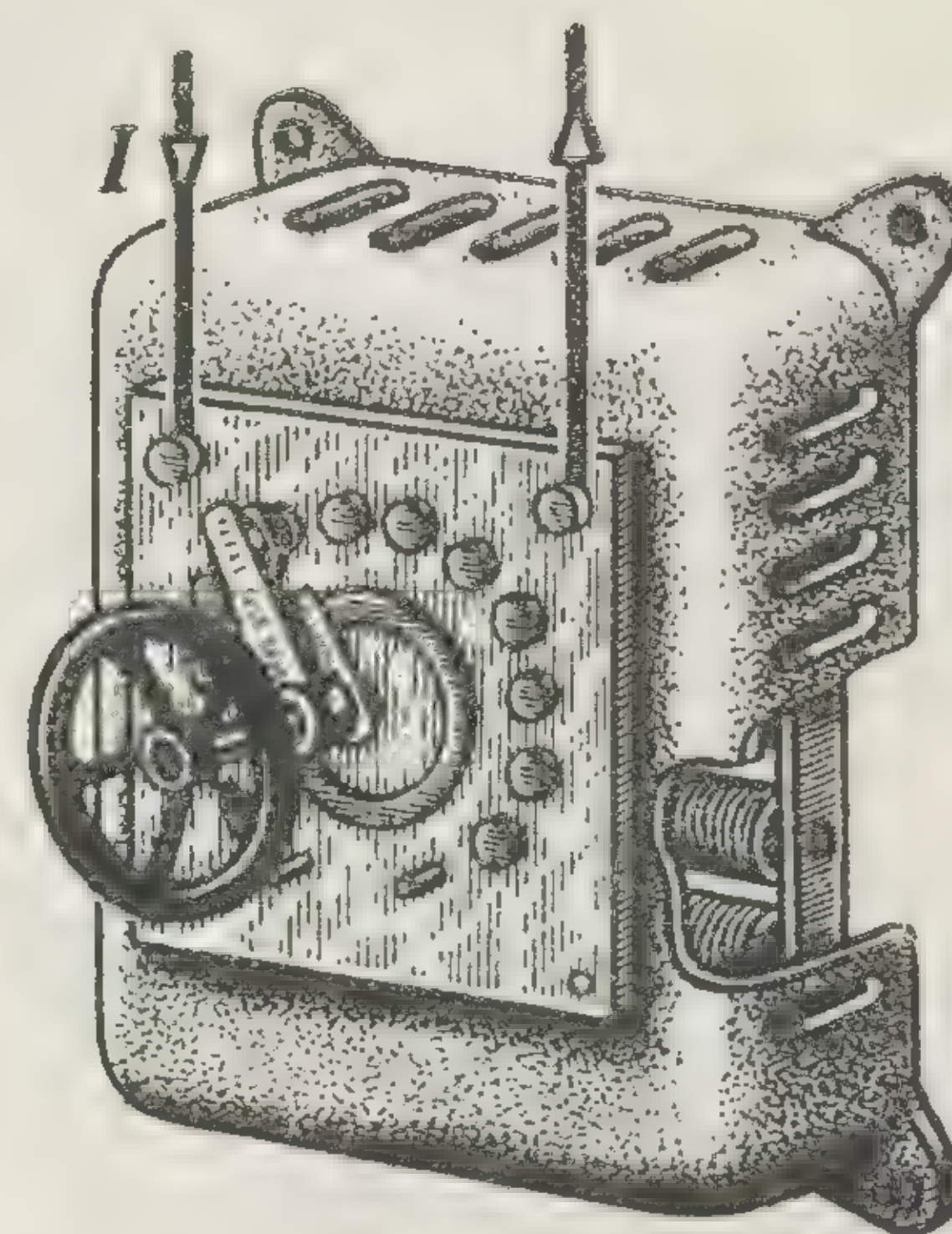
РЕОСТАТЫ



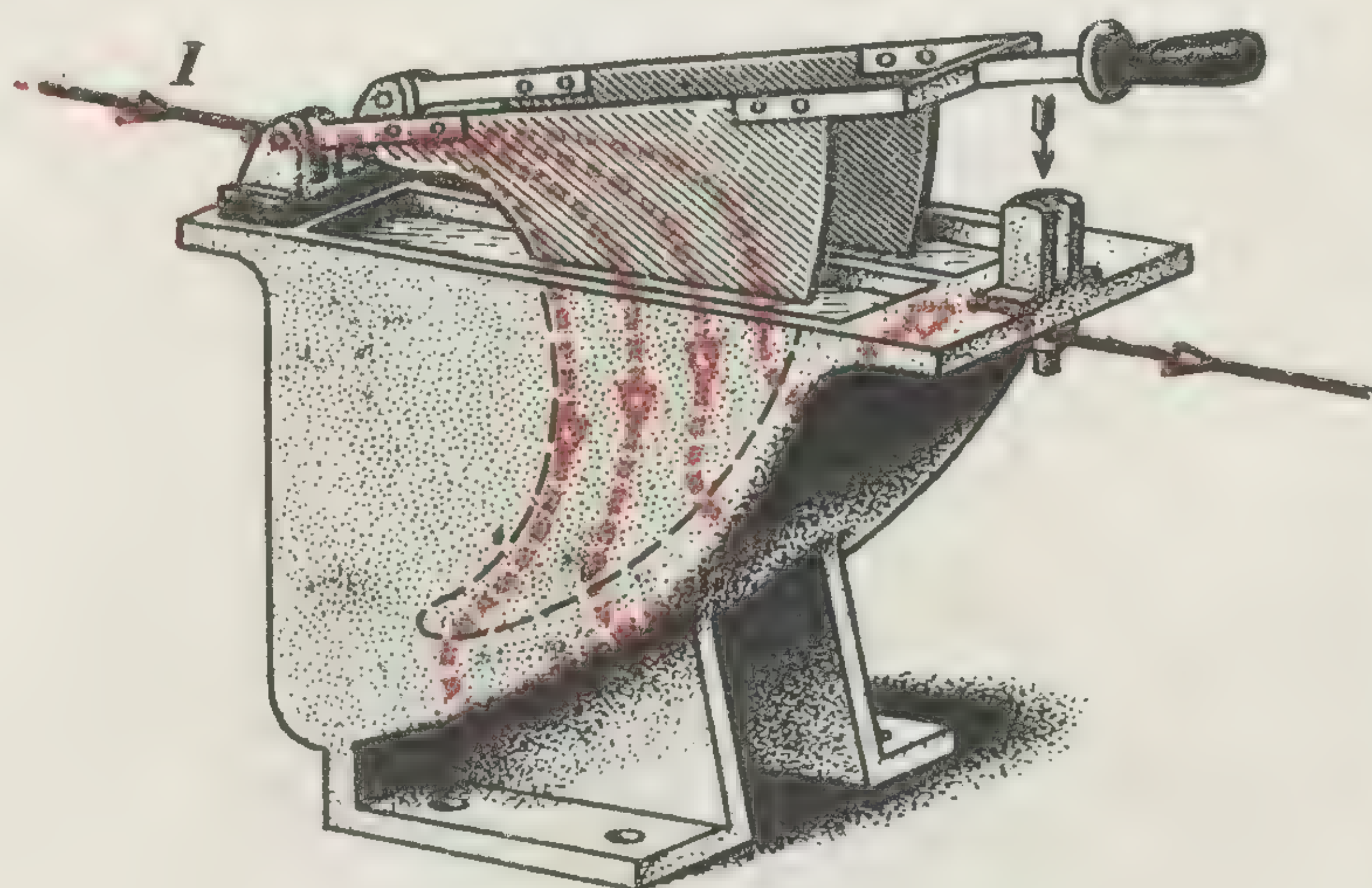
Схема



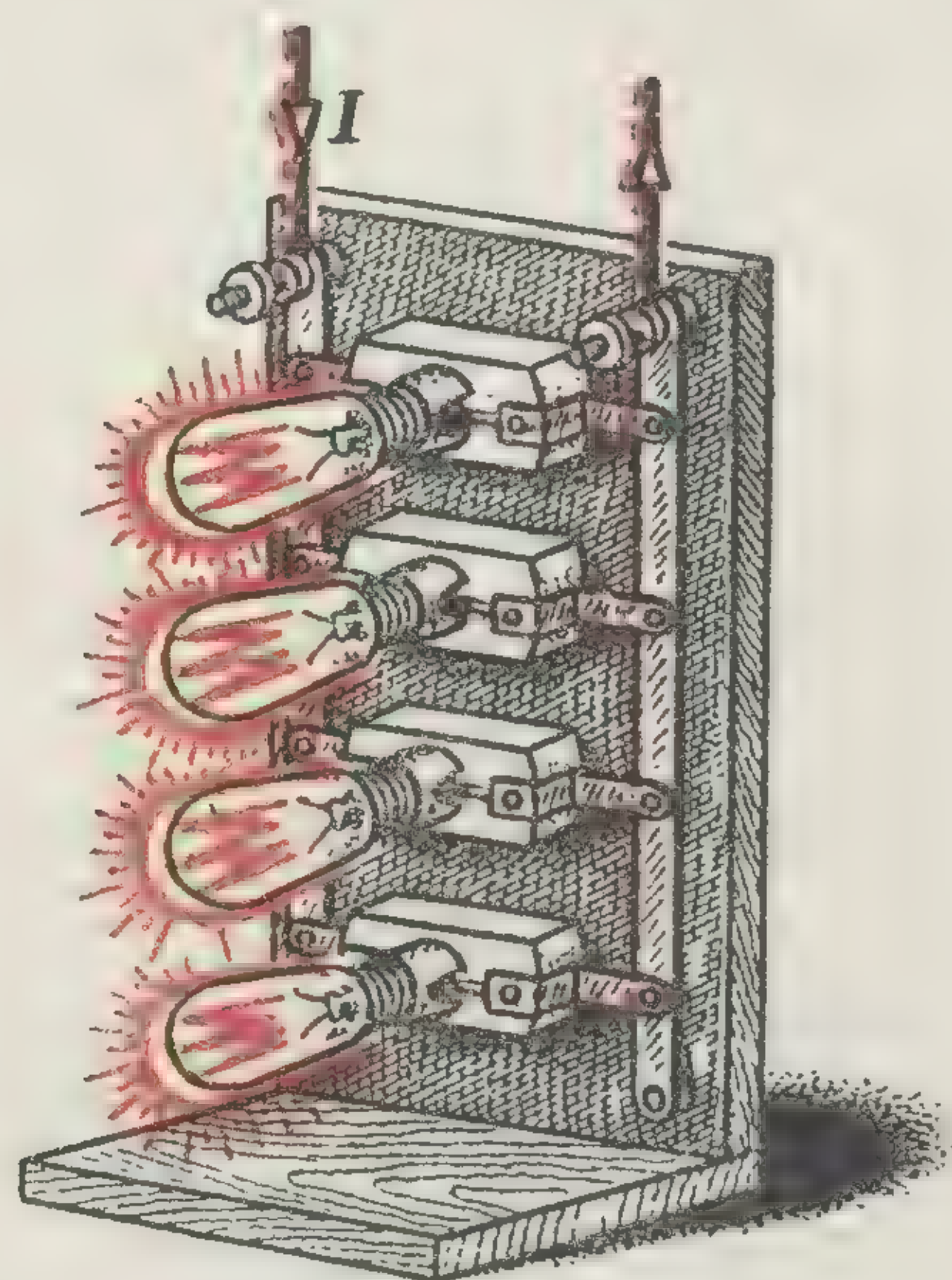
Упрощенная схема реостата



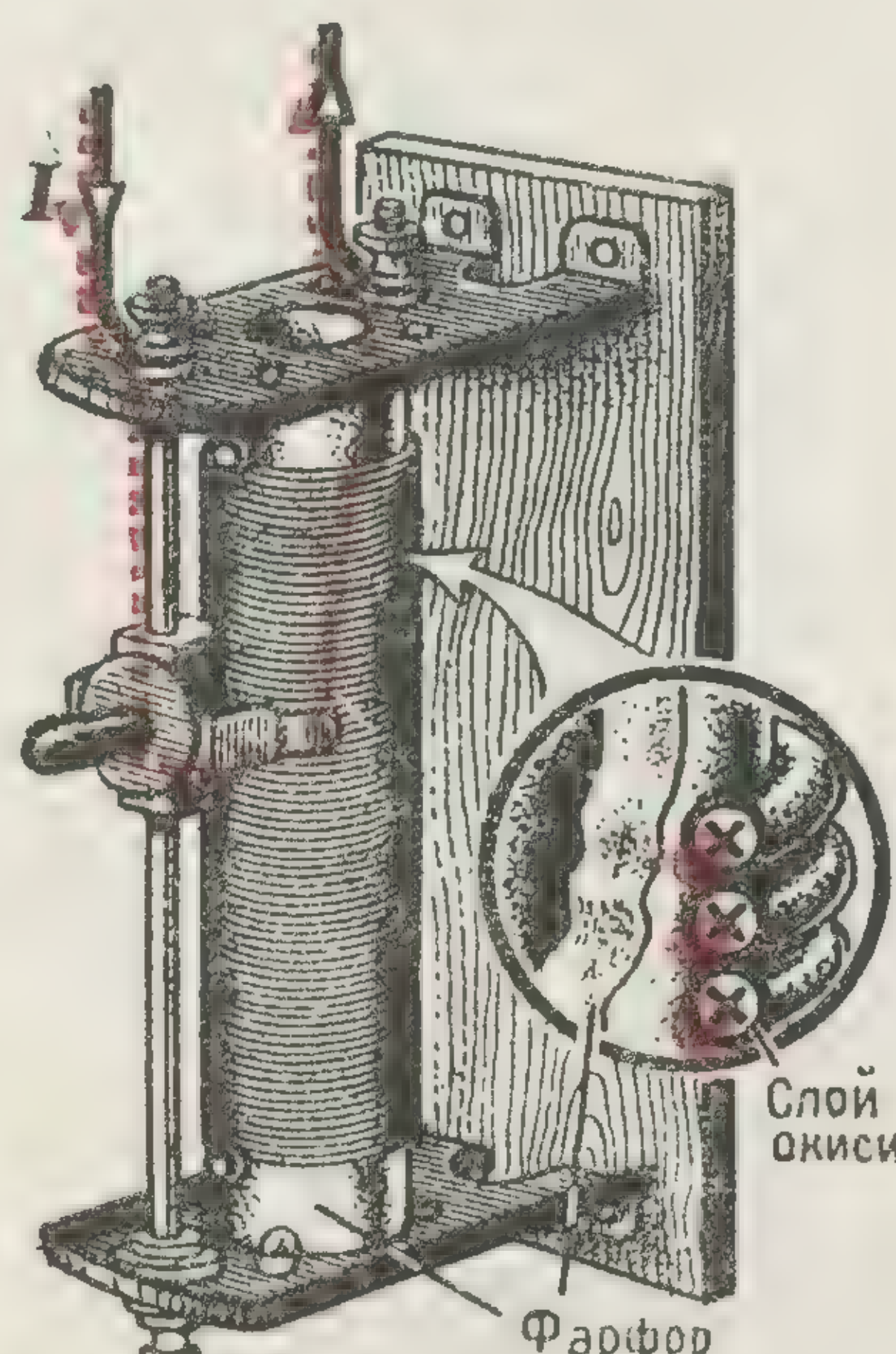
РЫЧАЖНЫЕ РЕОСТАТЫ



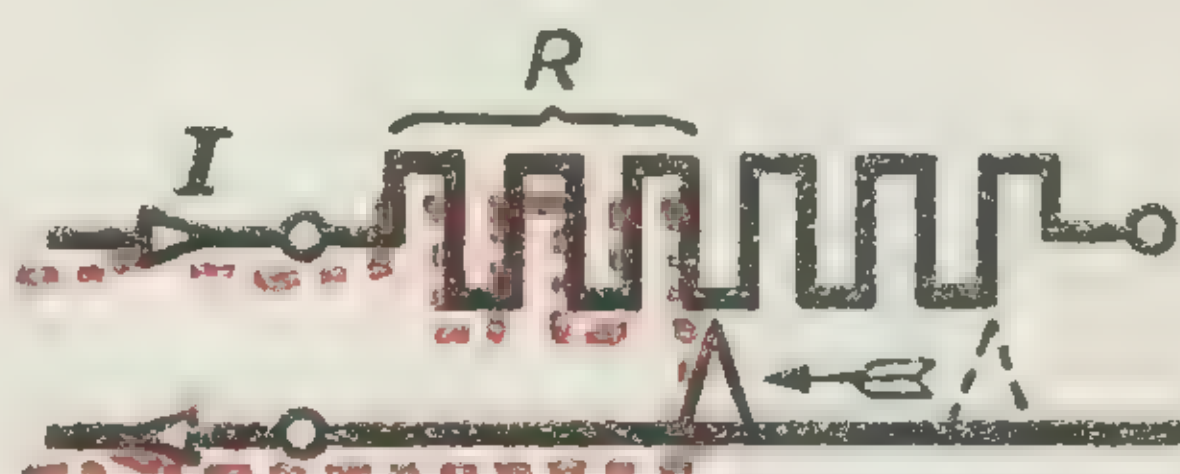
Водяной реостат



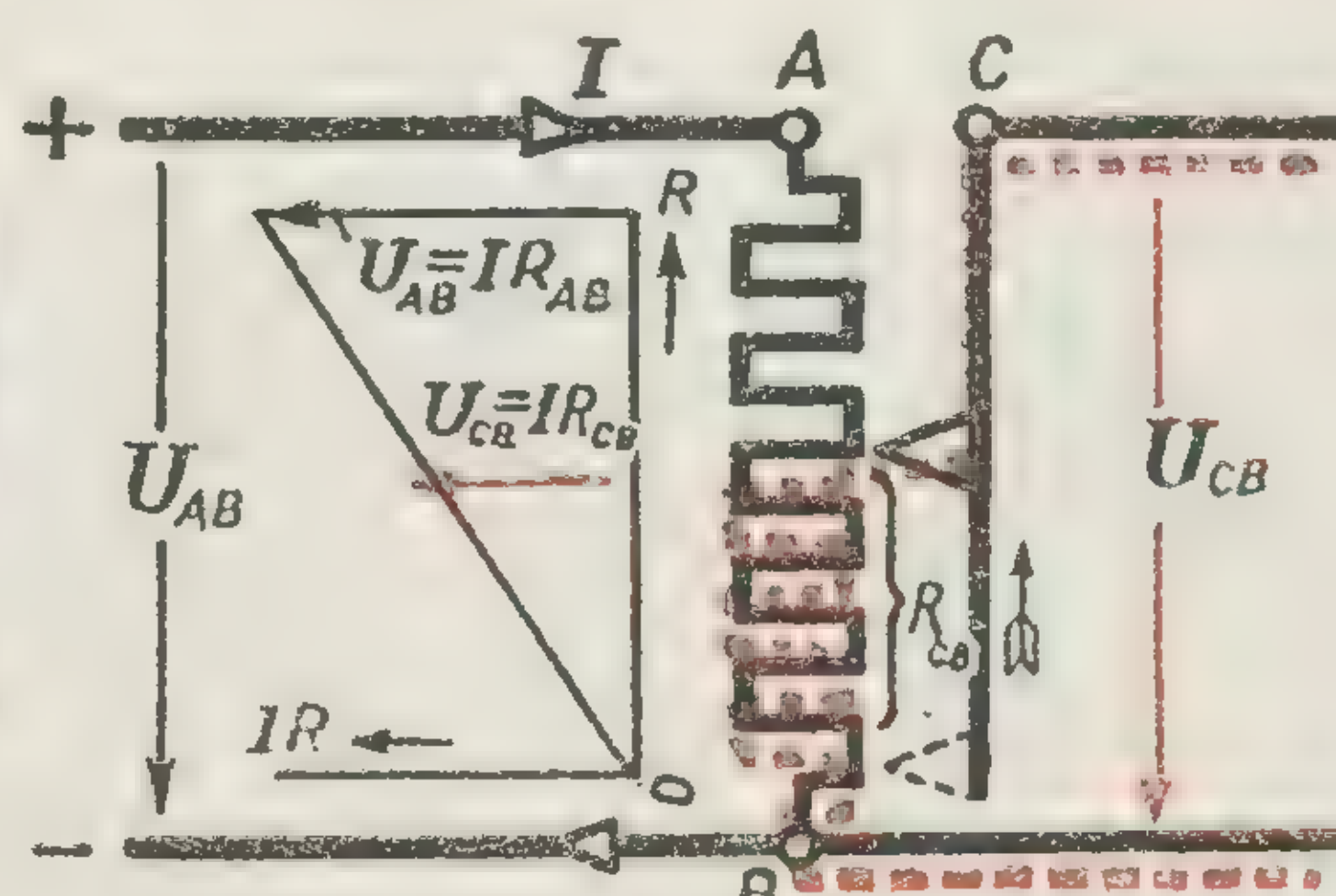
Ламповый реостат



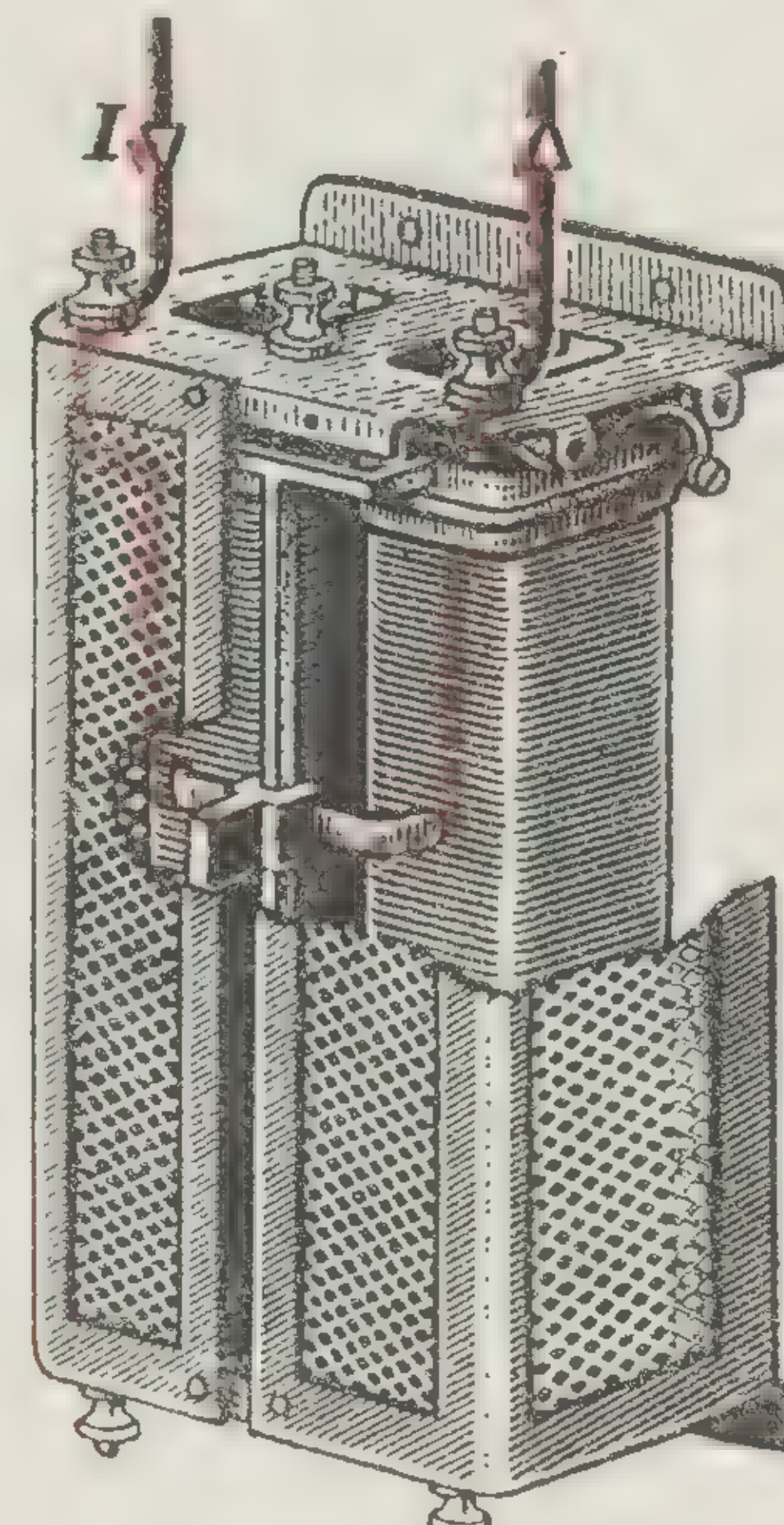
Одинарный



Применение в качестве переменного сопротивления



Применение в качестве делителя напряжения

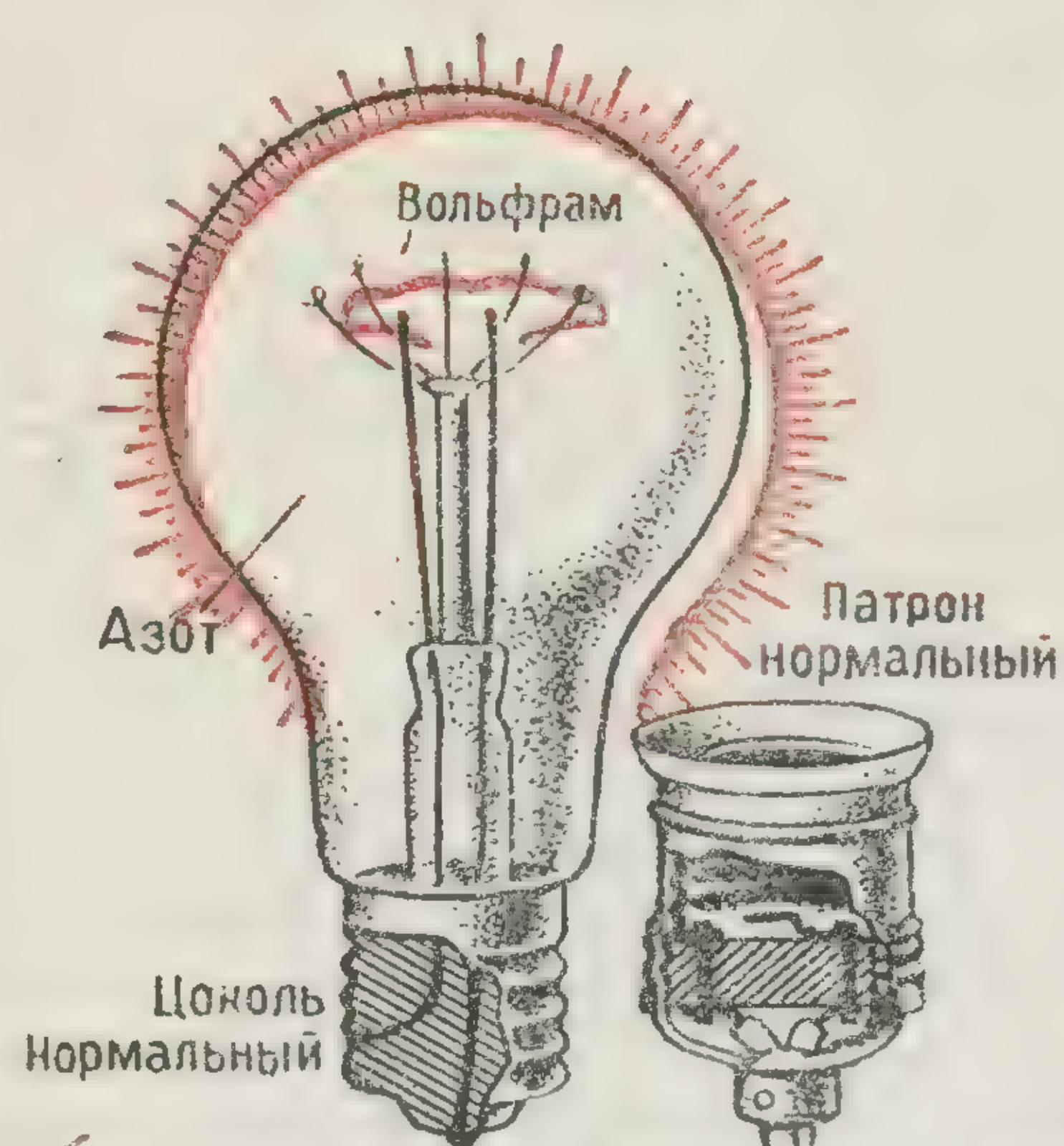


Двойной

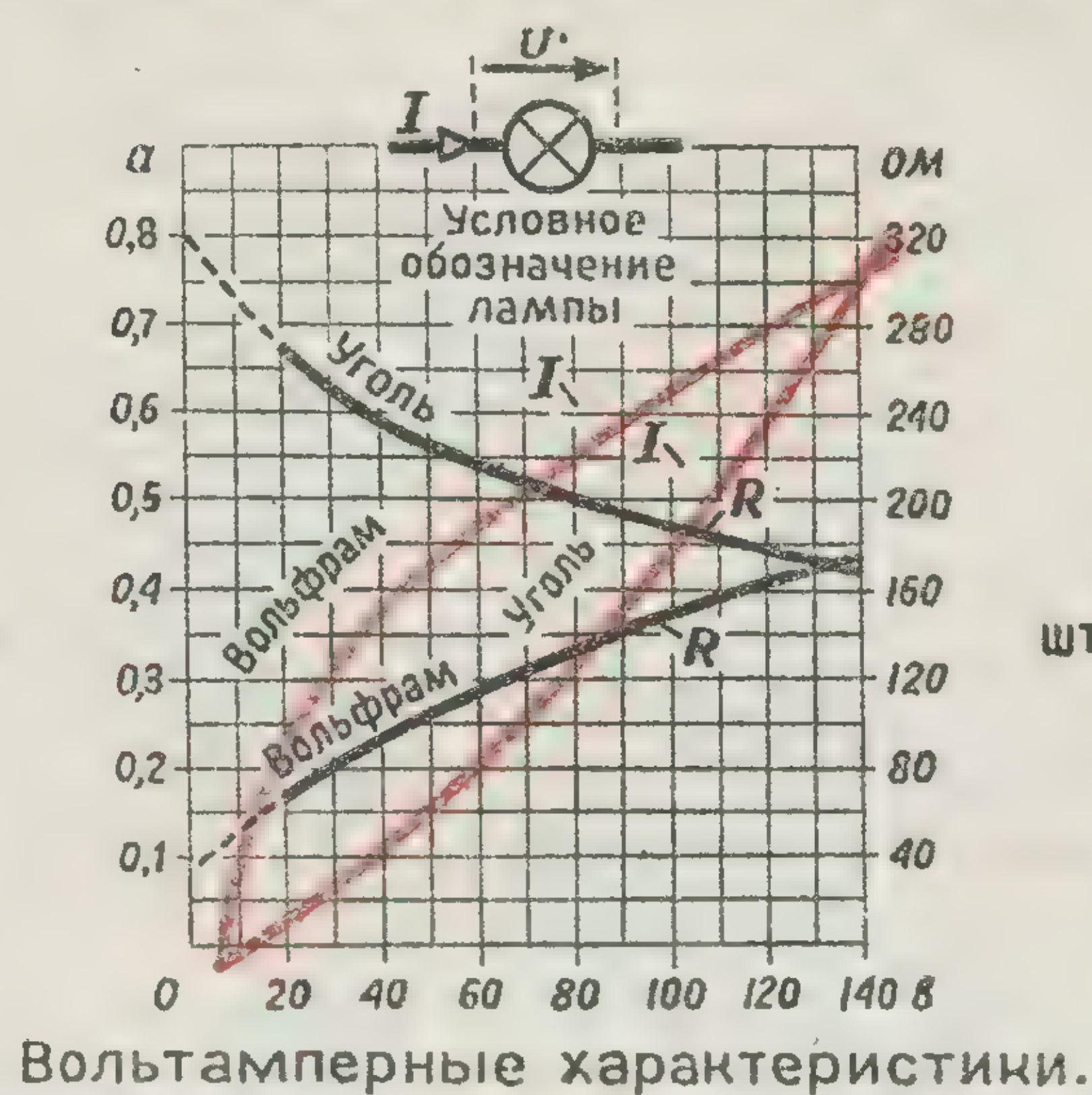
РЕОСТАТЫ СО СКОЛЬЗЯЩИМ КОНТАКТОМ

Э.И.Расовский

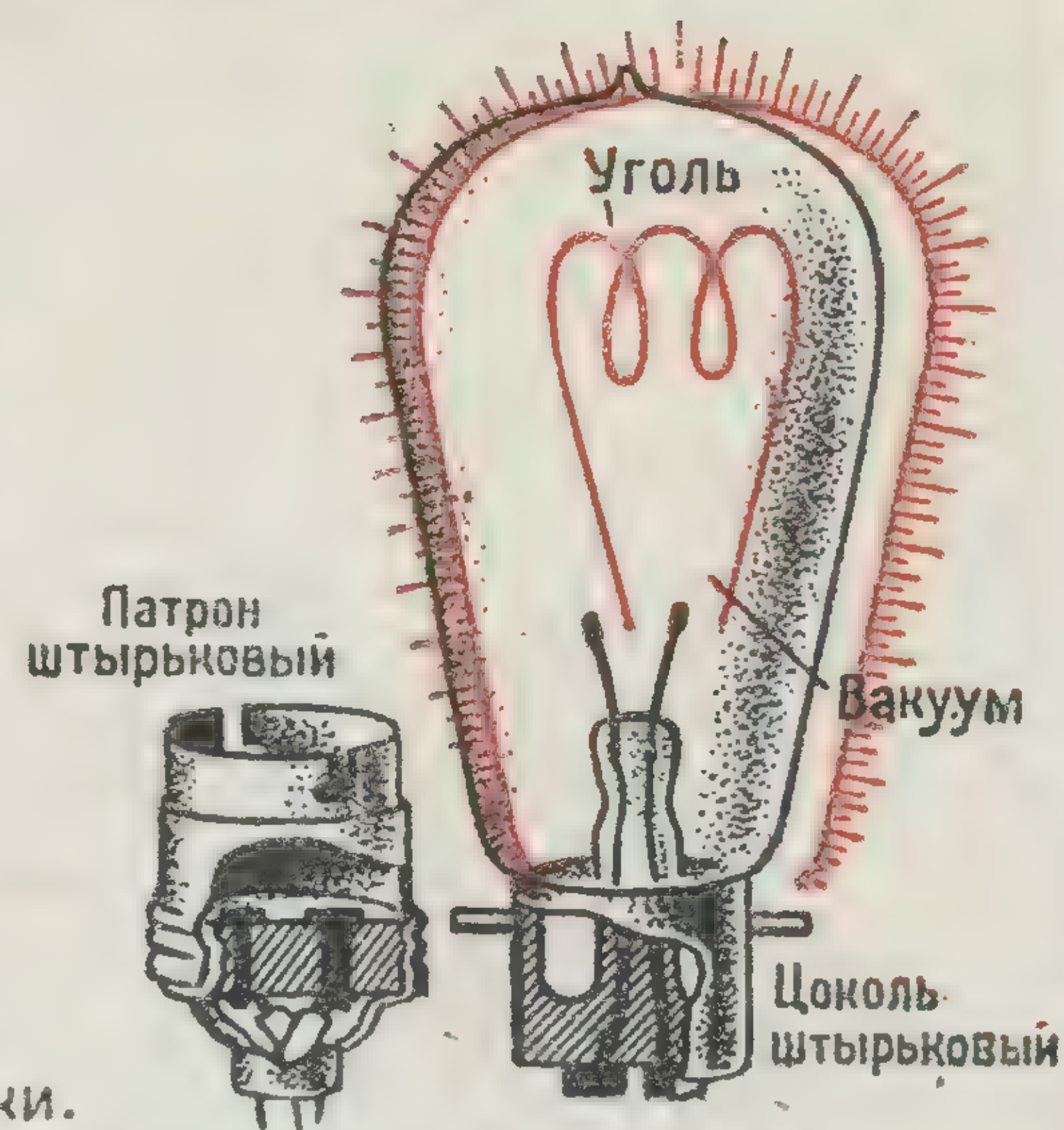
НЕЛИНЕЙНЫЕ СОПРОТИВЛЕНИЯ



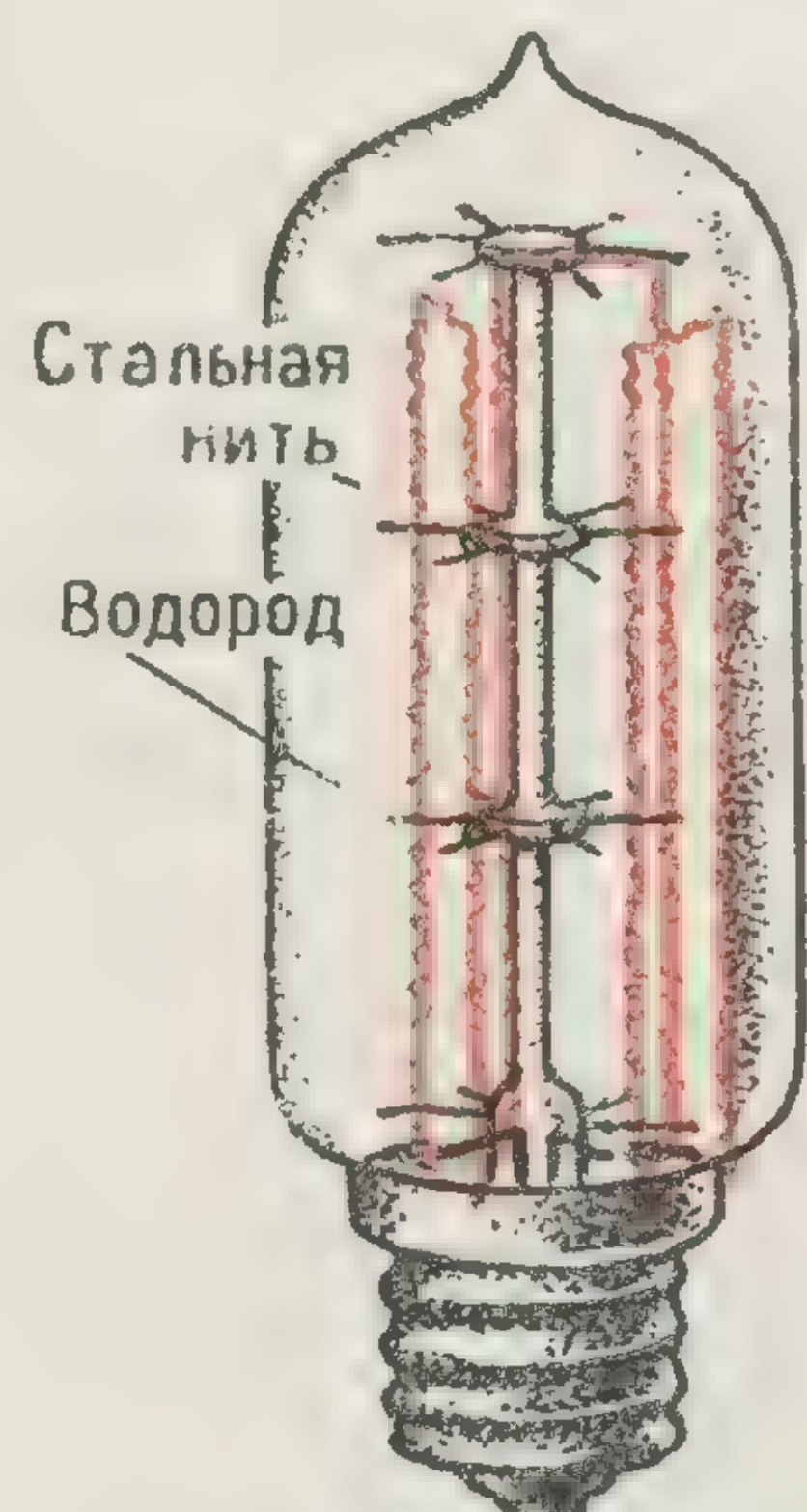
Лампа с вольфрамовой нитью
(Изобретена А.Н.Лодыгиным в 1906 г.)



Вольтамперные характеристики.



Лампа с угольной нитью
(Изобретена А.Н.Лодыгиным в 1873 г.)



Стабилизатор тока (баррETER)



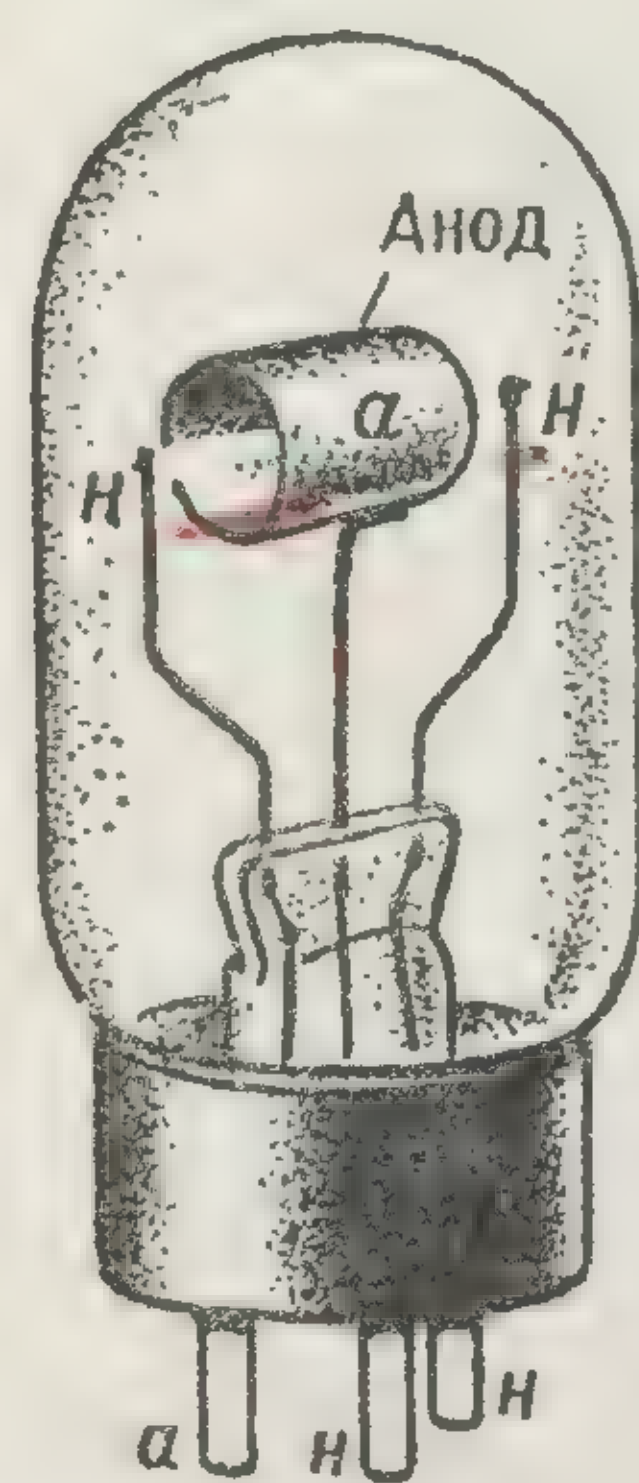
Вольтамперная характеристика



Вольтамперная характеристика



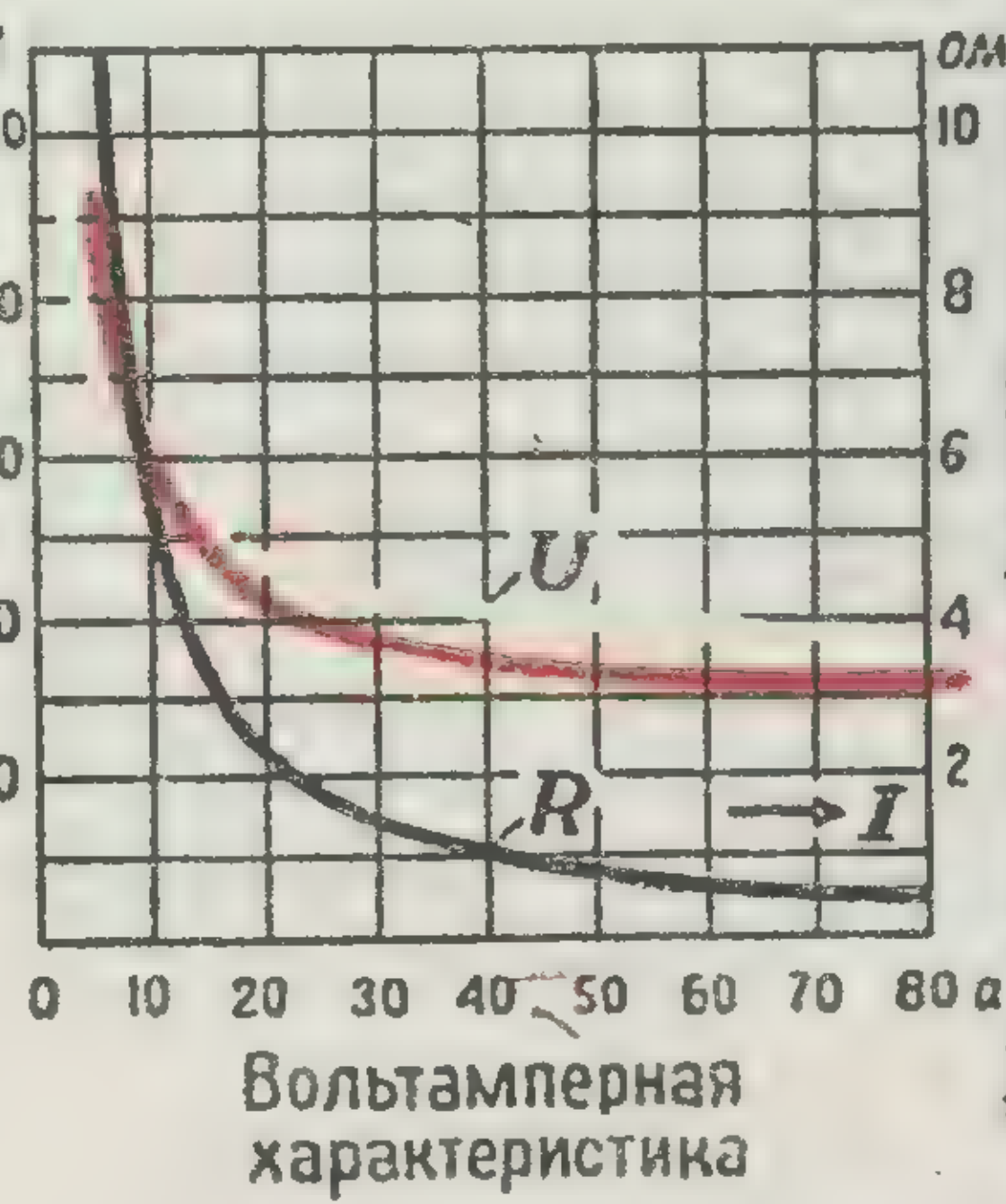
Неоновая лампа



Двухэлектродная лампа (диод)



Вольтамперная характеристика



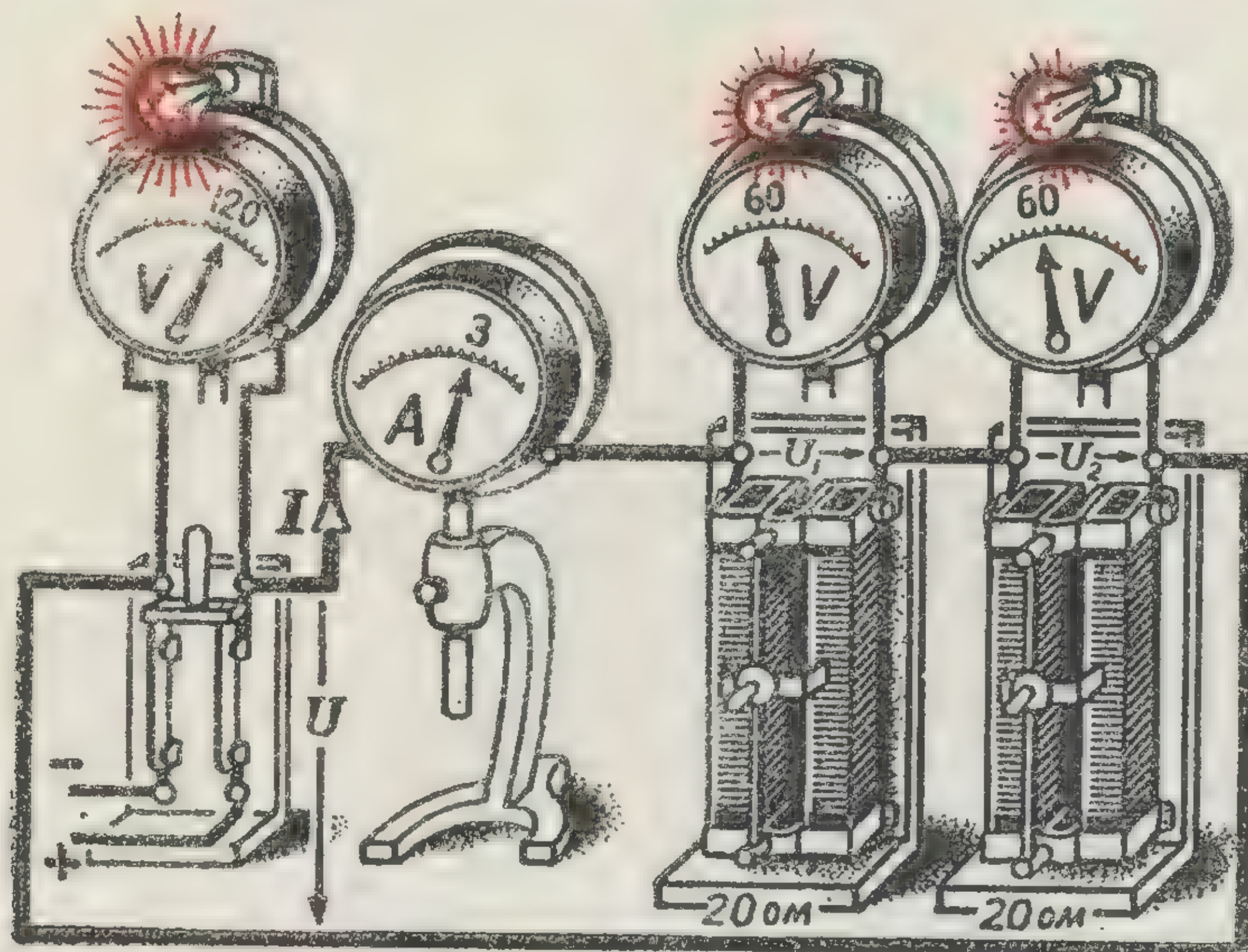
Вольтамперная характеристика



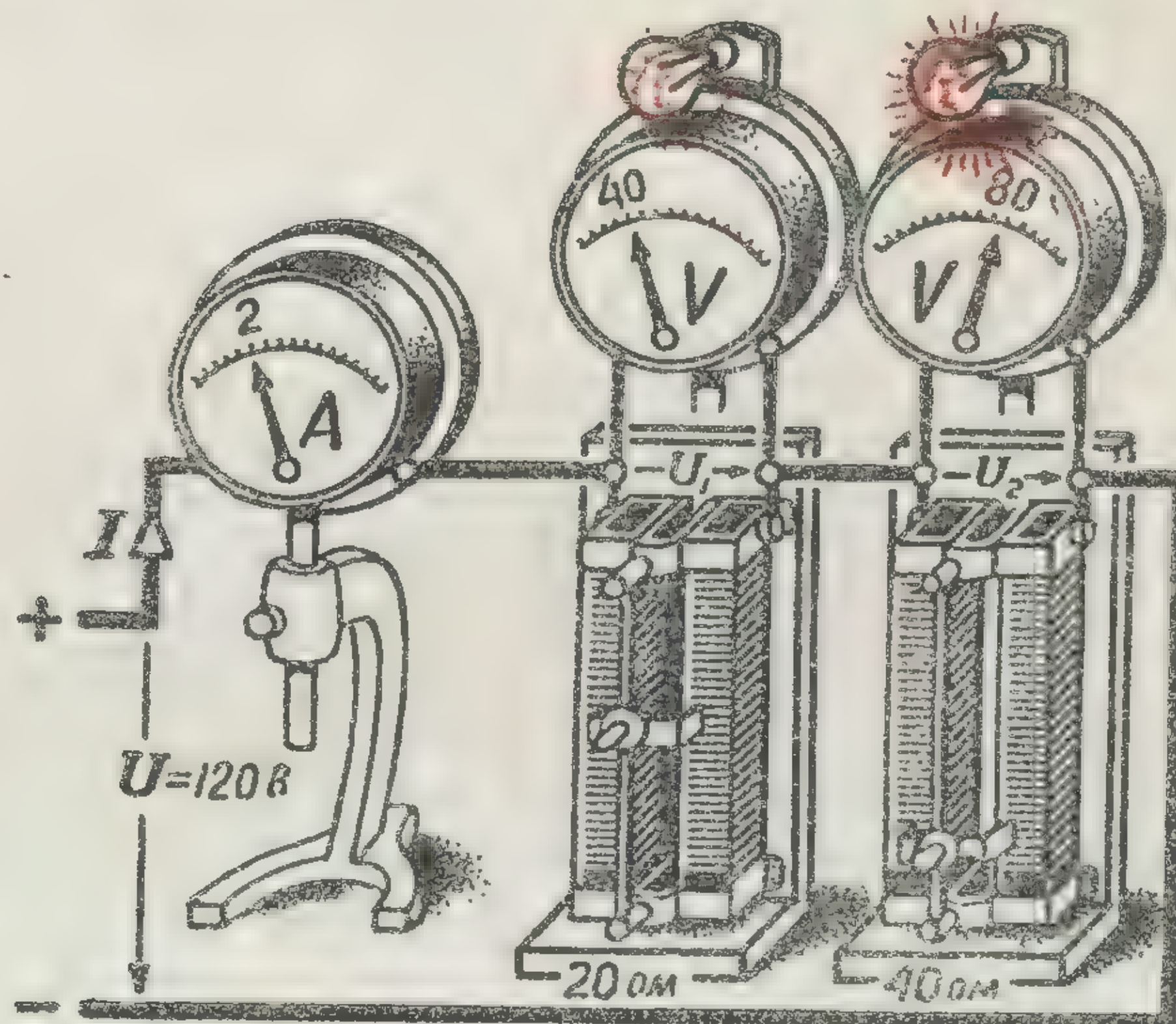
Электрическая дуга
(Открыта В.В.Петровым в 1802г.)

ВЕЛИЧИНА НЕЛИНЕЙНОГО СОПРОТИВЛЕНИЯ ЗАВИСИТ ОТ ТОКА

ПОСЛЕДОВАТЕЛЬНОЕ СОЕДИНЕНИЕ СОПРОТИВЛЕНИЙ (ВСЕ СОПРОТИВЛЕНИЯ ОБТЕКАЮТСЯ ОДИМ И ТЕМ ЖЕ ТОКОМ)

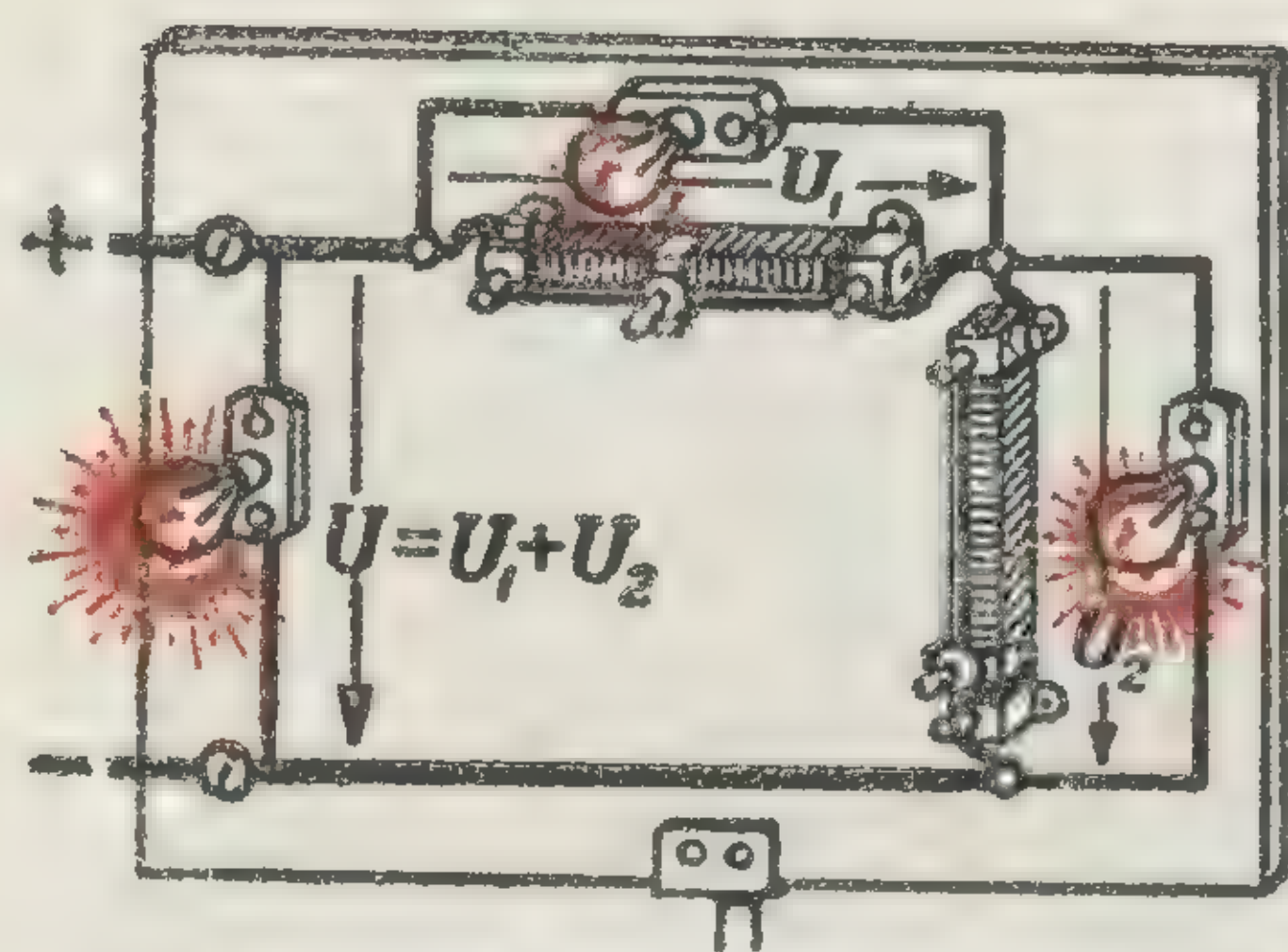


Сопротивления одинаковы

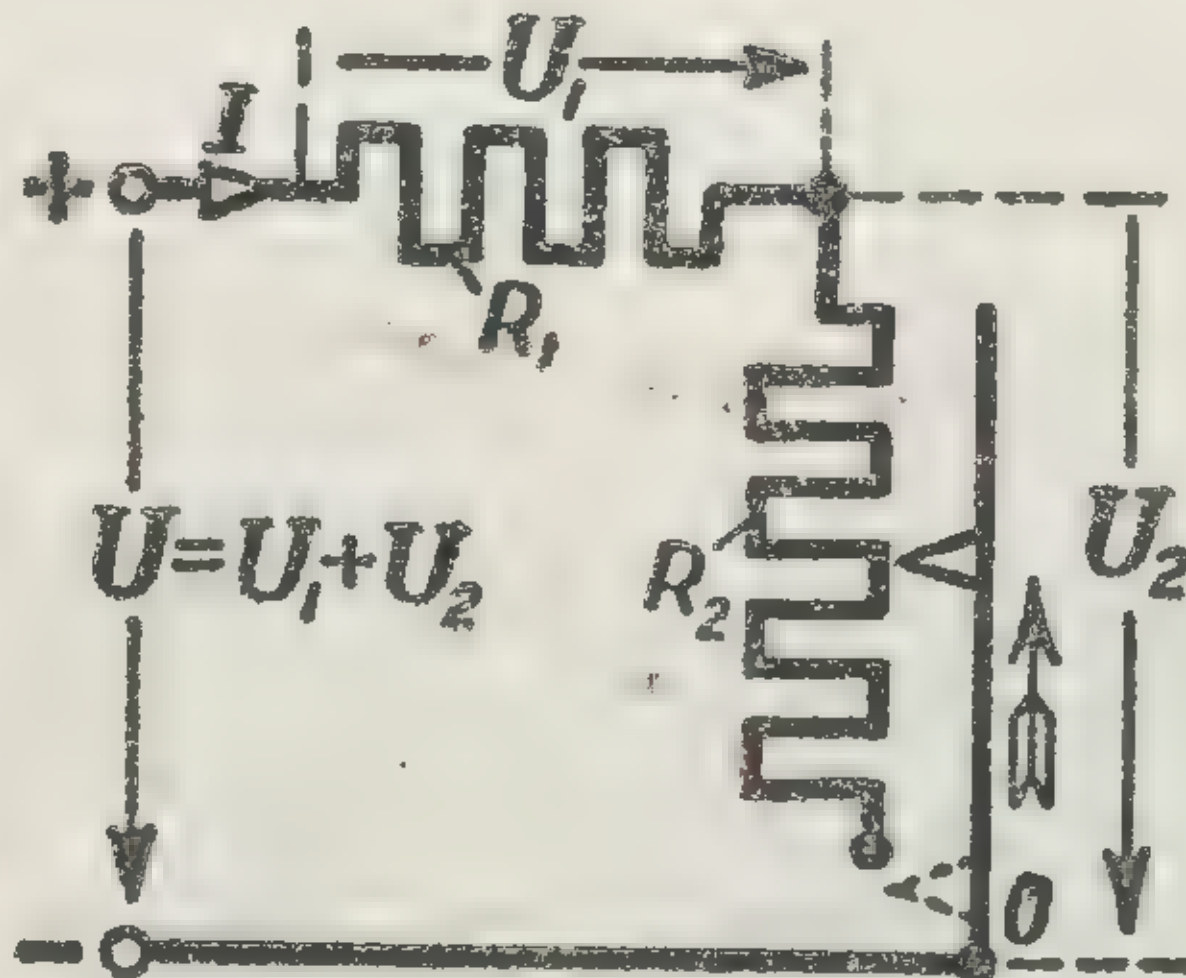


Сопротивления неодинаковы

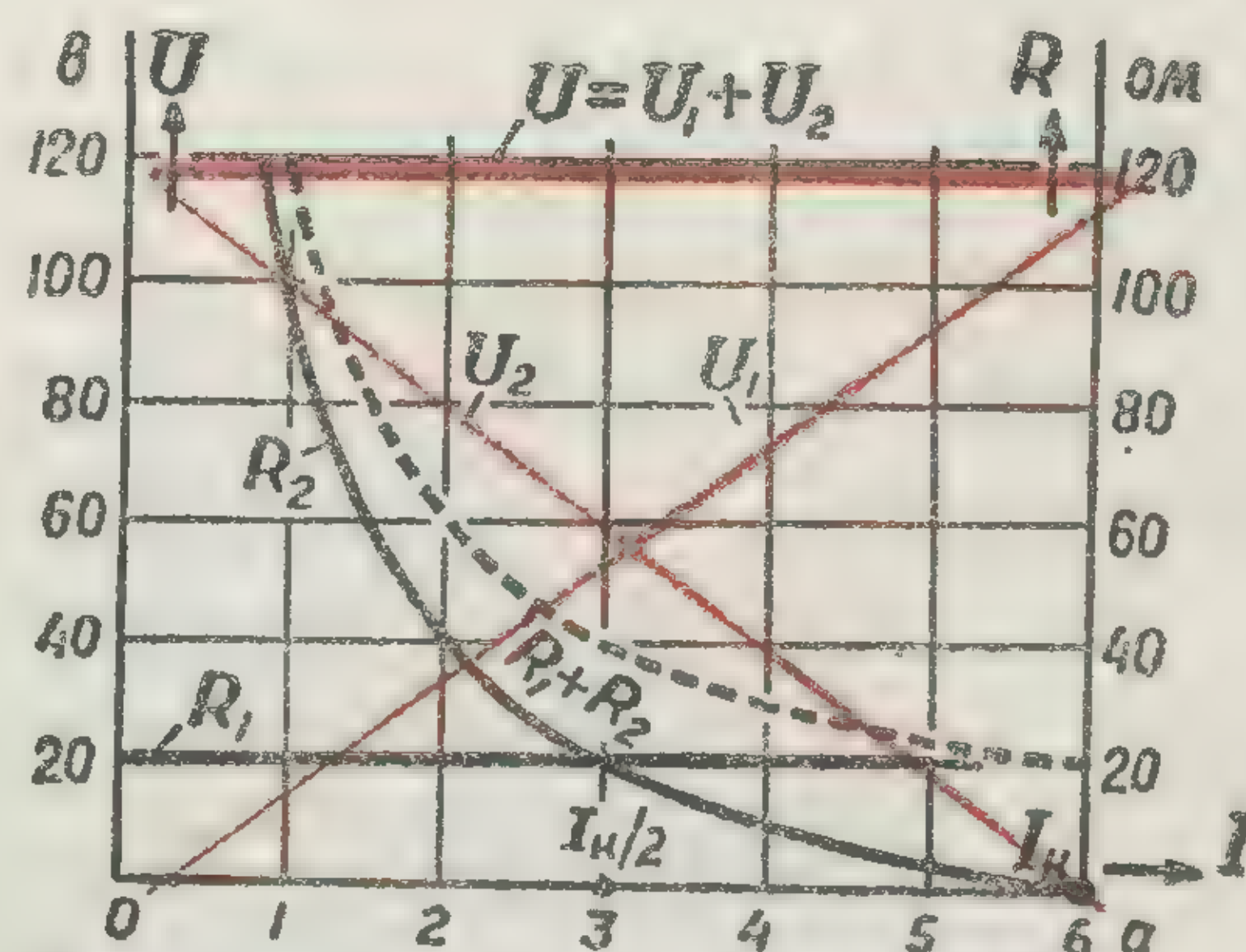
Последовательное соединение реостатов



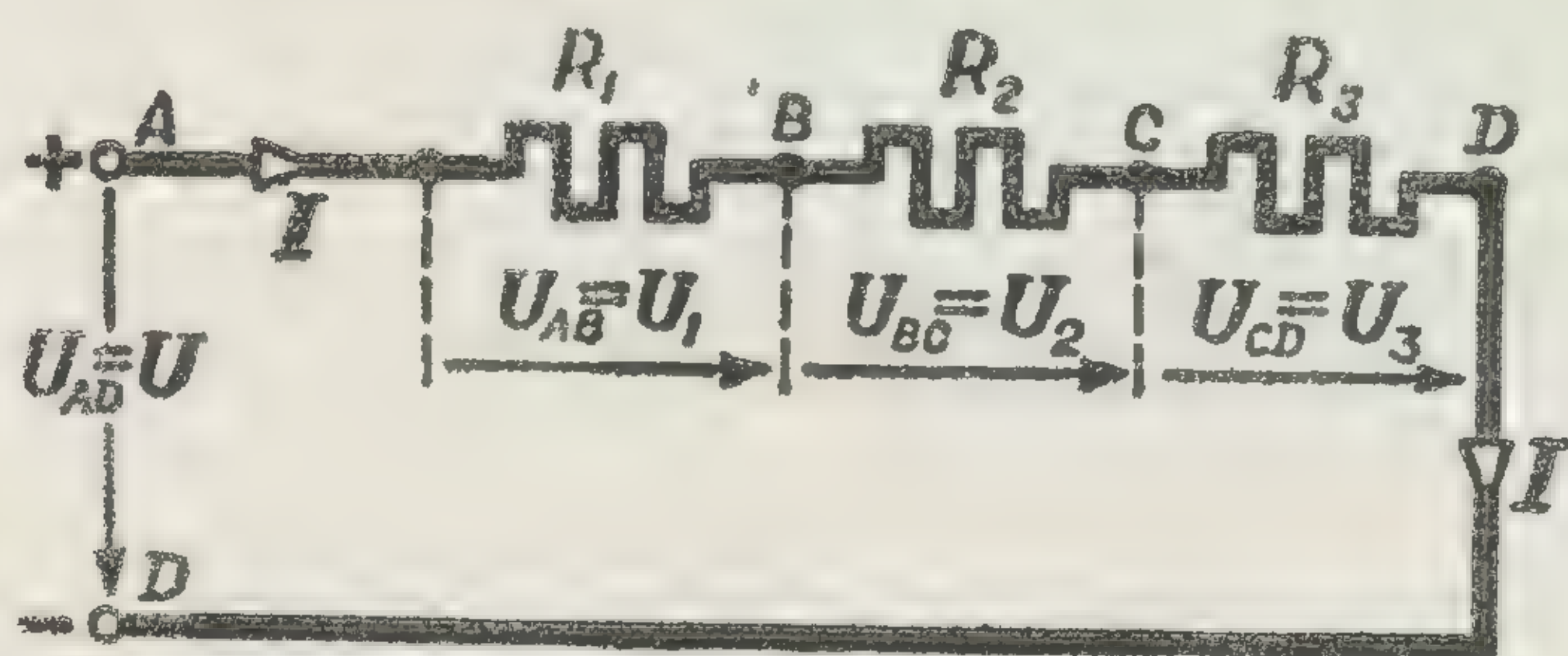
Распределение напряжения между участками последовательной цепи



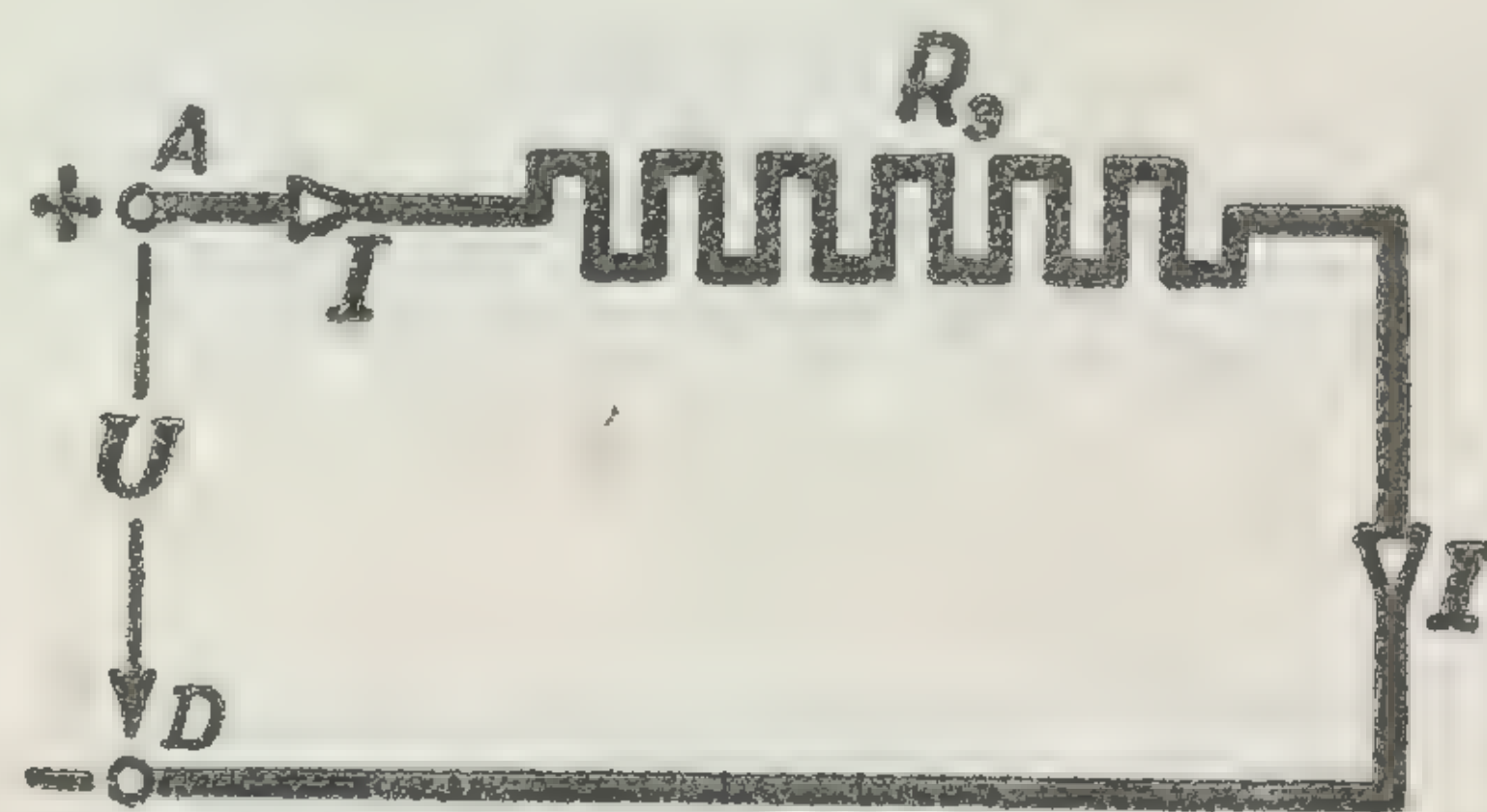
Изменение сопротивления одного из последовательно соединенных реостатов



Перераспределение напряжения при изменении сопротивления одного из реостатов



Последовательное соединение сопротивлений



Эквивалентное сопротивление

$$R_3 = R_1 + R_2 + \dots = \sum R_n \text{ ом}$$

Эквивалентное (общее) сопротивление

$$U = U_1 + U_2 + \dots = \sum U_n \text{ в}$$

Общее напряжение

$$U_1 : U_2 : U_3 = R_1 : R_2 : R_3$$

Распределение напряжения между отдельными сопротивлениями

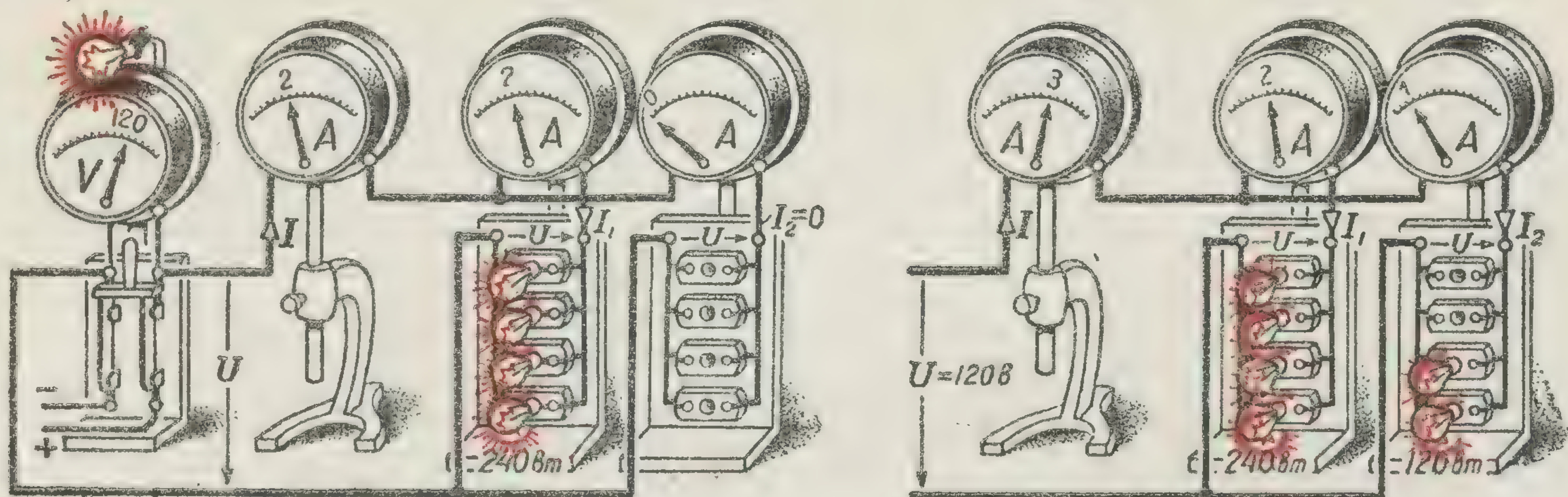
$$R_3 = n R_1 \text{ ом}$$

Частный случай n одинаковых сопротивлений

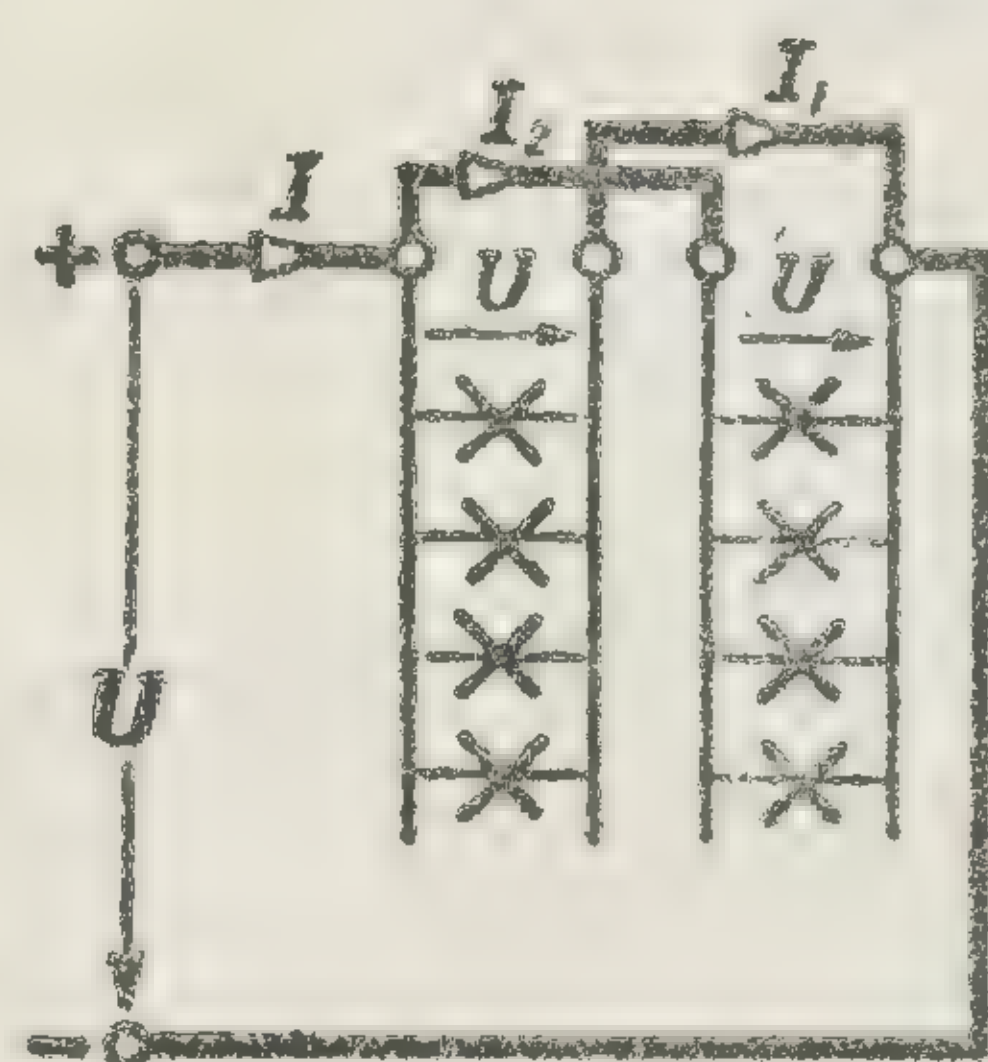
$$U_1 = \frac{U}{n} \text{ в}$$

При последовательном соединении проводников эквивалентное (общее) сопротивление цепи равно сумме отдельных сопротивлений. Общее напряжение равно сумме напряжений на зажимах отдельных участков и распределяется прямо пропорционально сопротивлениям этих участков

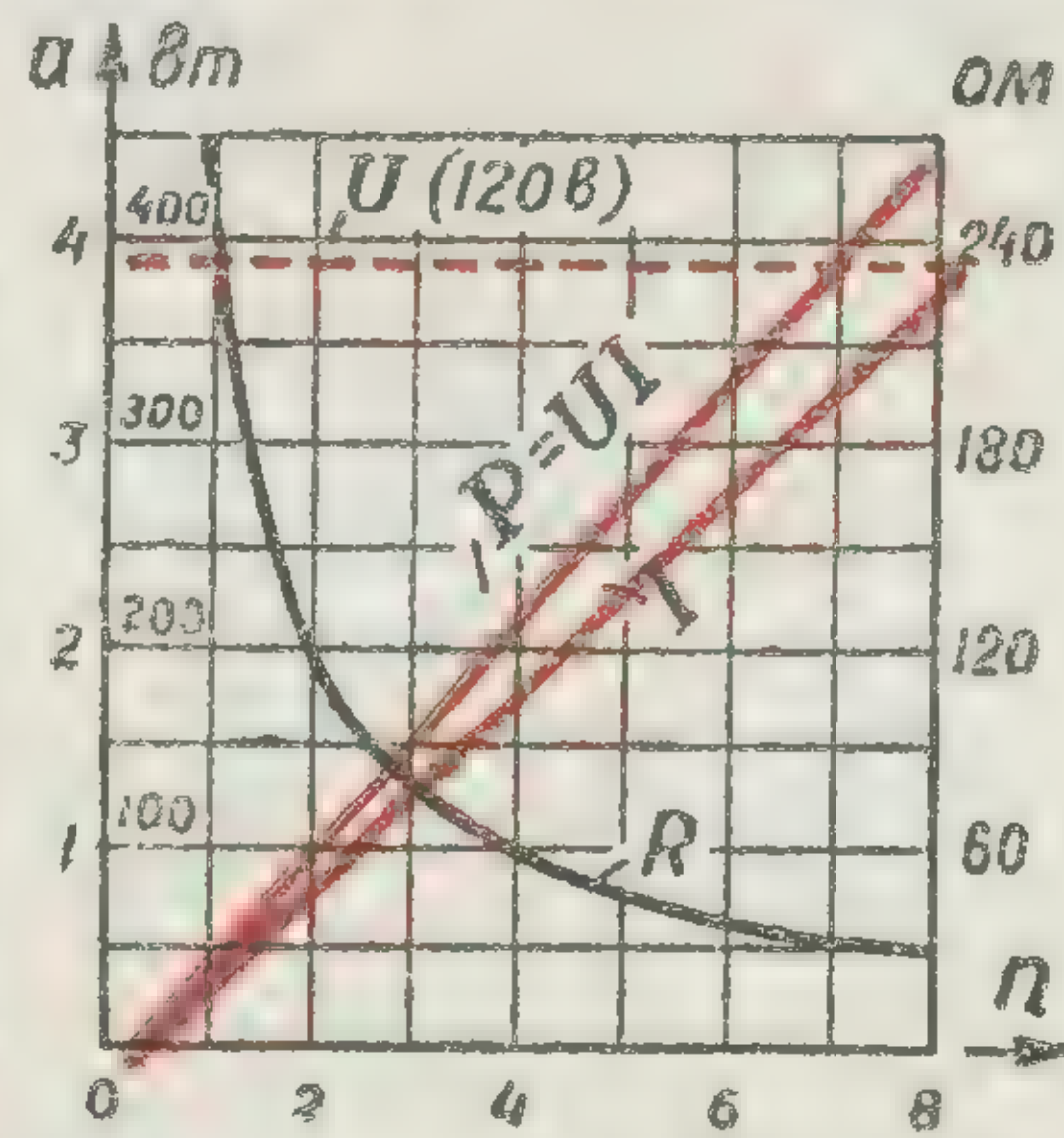
ПАРАЛЛЕЛЬНОЕ СОЕДИНЕНИЕ СОПРОТИВЛЕНИЙ (ПРИСОЕДИНЕНИЕ К ОДНОМУ И ТОМУ ЖЕ НАПРЯЖЕНИЮ)



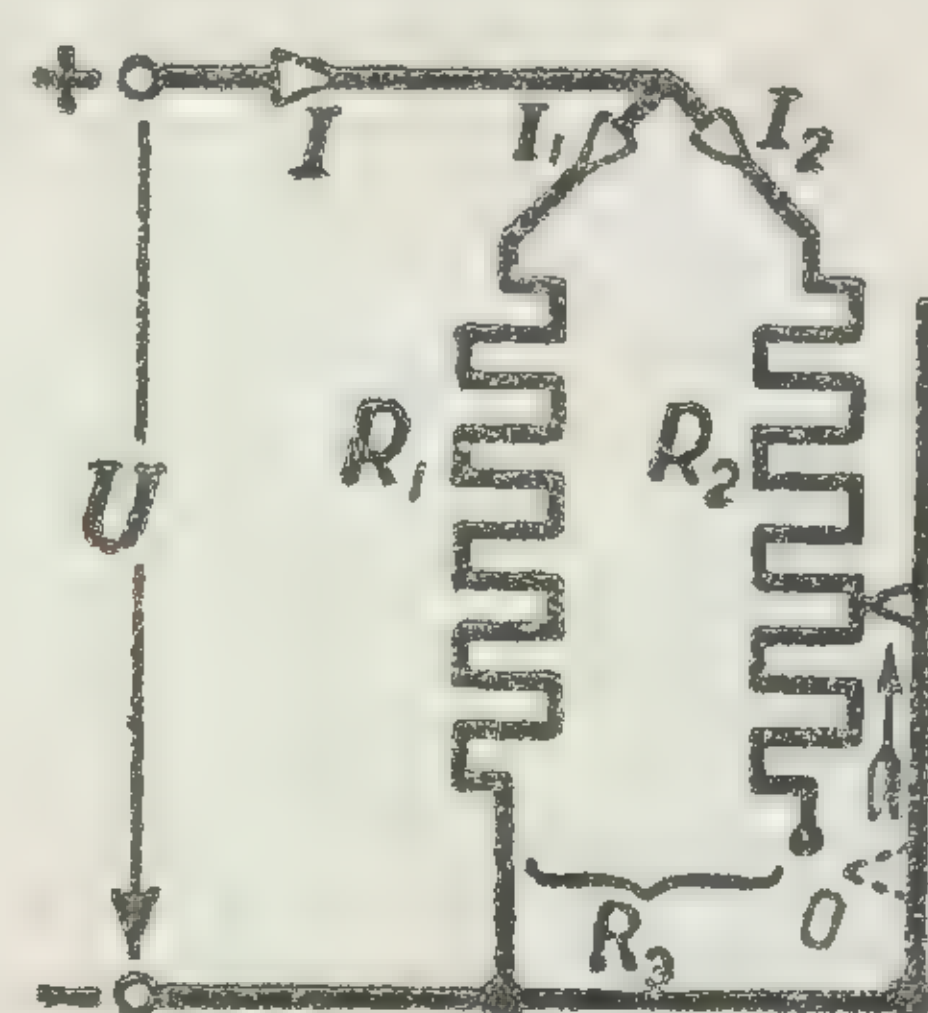
Параллельное соединение ламповых реостатов



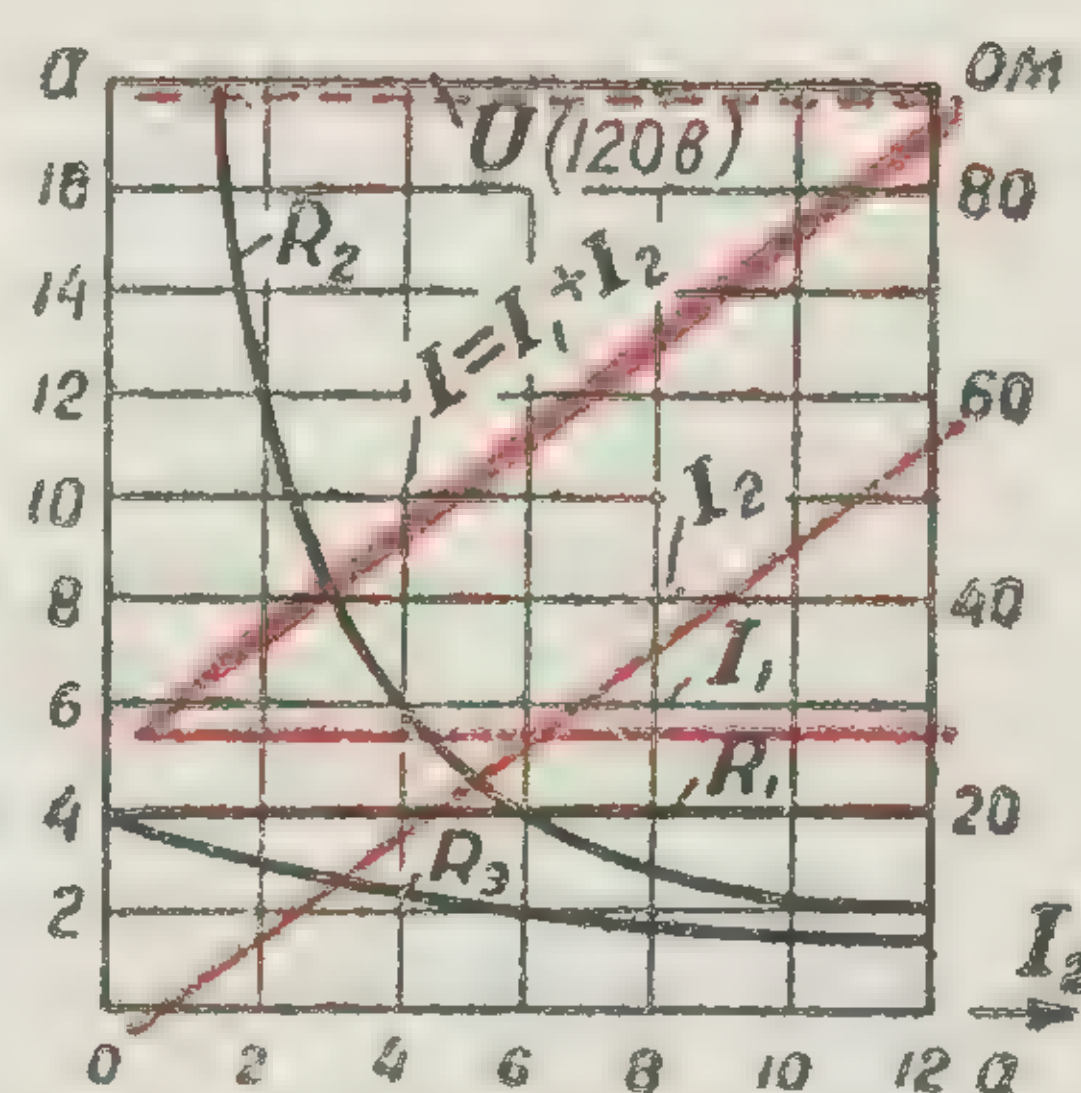
Параллельное соединение одинаковых ламп



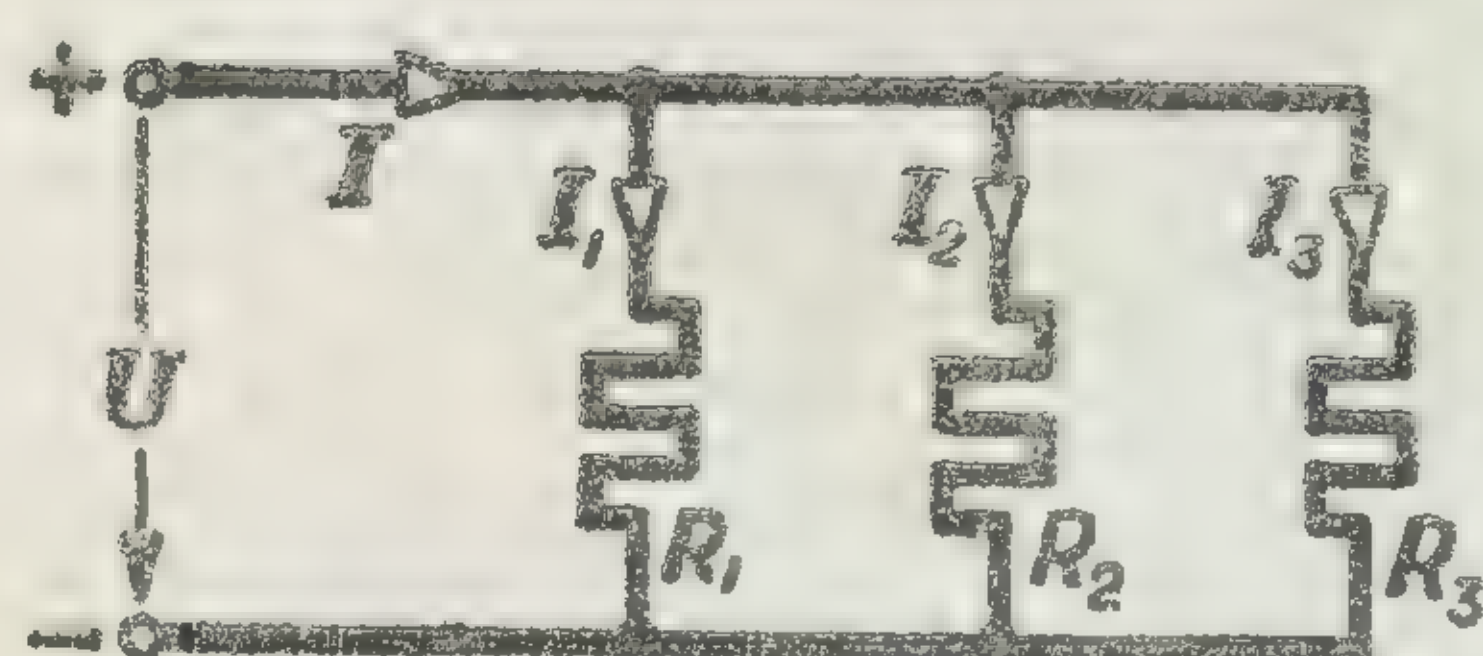
Изменение тока, мощности и общего сопротивления с увеличением числа (n) ламп



Изменение сопротивления одного из параллельно соединенных реостатов



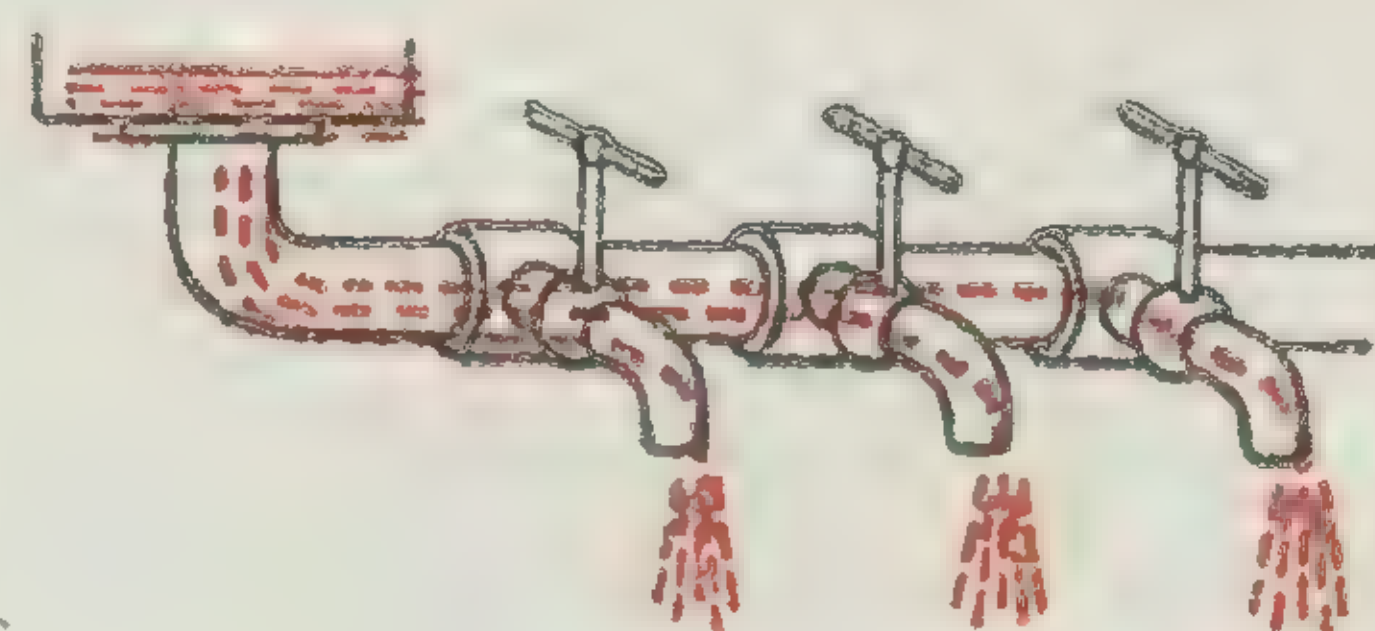
Распределение тока в цепи при изменении сопротивления одного из реостатов



Параллельное соединение сопротивлений



Эквивалентное сопротивление



Гидравлическая аналогия

$$\frac{1}{R_3} = \frac{1}{R_1} + \frac{1}{R_2} + \dots = \sum \frac{1}{R_k} \quad \frac{1}{\text{Ом}}$$

Эквивалентная (общая) проводимость

$$I = I_1 + I_2 + \dots = \sum I_k \quad \text{А}$$

Общий ток

$$I_1 : I_2 : I_3 = \frac{1}{R_1} : \frac{1}{R_2} : \frac{1}{R_3}$$

Распределение тока между параллельными ветвями

$$R_3 = \frac{R_1}{n} \quad \text{Ом} \quad I = n I_1 \quad \text{А}$$

Частный случай n одинаковых сопротивлений



$$R_3 = \frac{R_1 R_2}{R_1 + R_2} \quad \text{Ом}$$

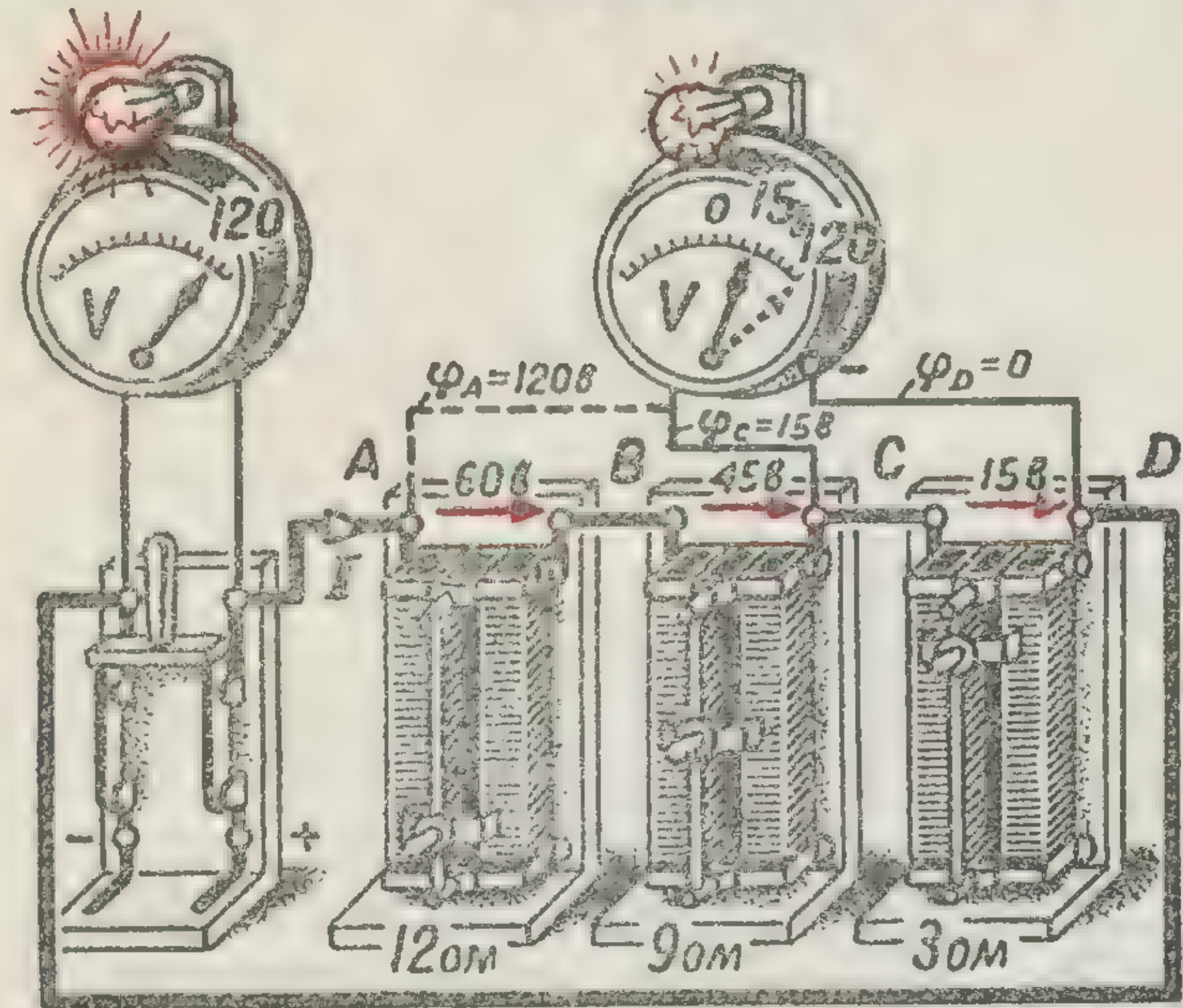
$$I_1 = I \frac{R_2}{R_1 + R_2} = I \frac{R_2}{R_1 + R_2} \quad \text{А}$$

$$I_2 = I \frac{R_1}{R_1 + R_2} = I \frac{R_1}{R_1 + R_2} \quad \text{А}$$

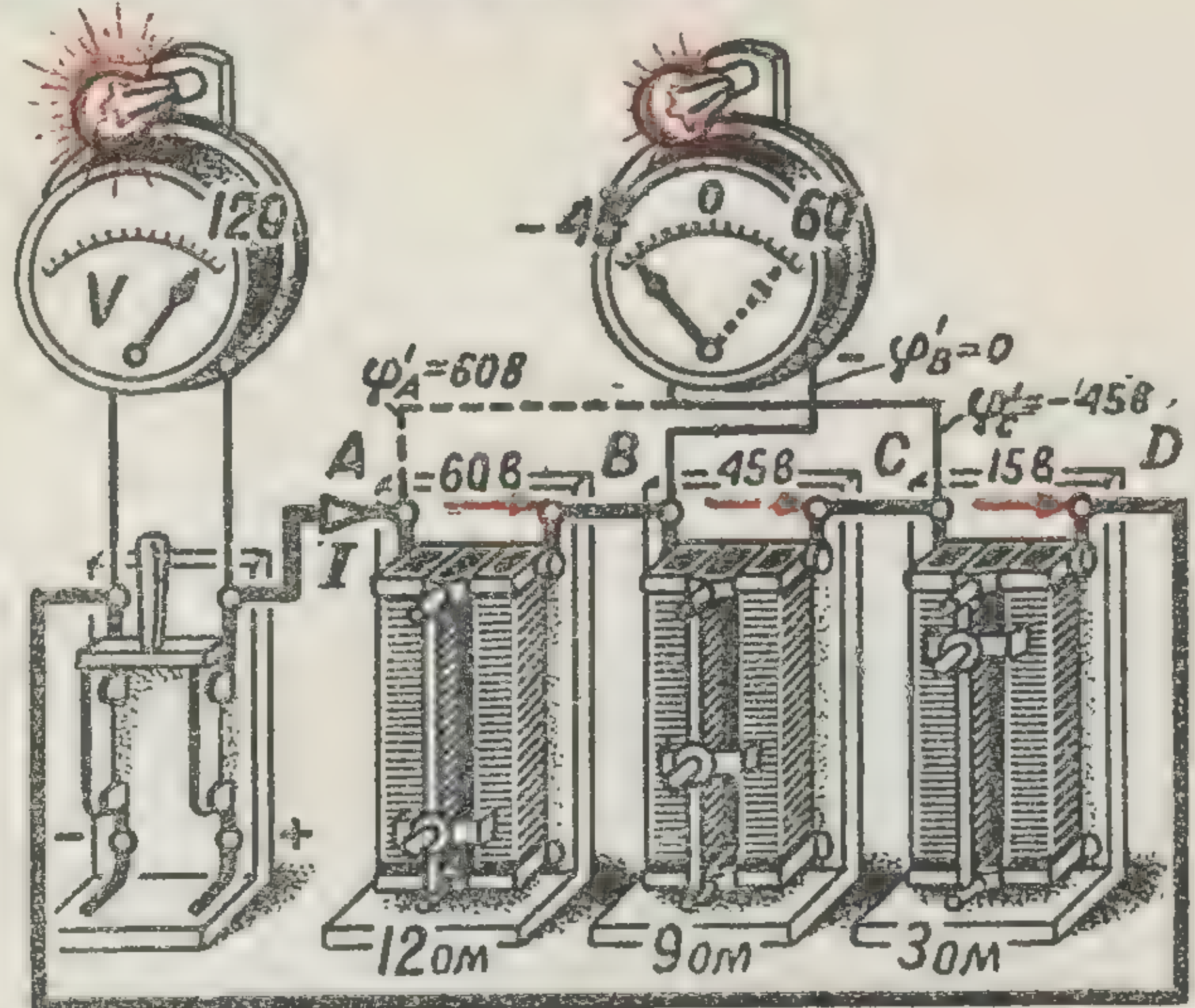
Частный случай параллельного соединения двух произвольных сопротивлений

При параллельном соединении проводников эквивалентная (общая) проводимость цепи равна сумме отдельных проводимостей
Общий ток равен сумме токов отдельных ветвей
и распределяется обратно пропорционально сопротивлениям этих ветвей

ГРАФИК ПОТЕНЦИАЛА

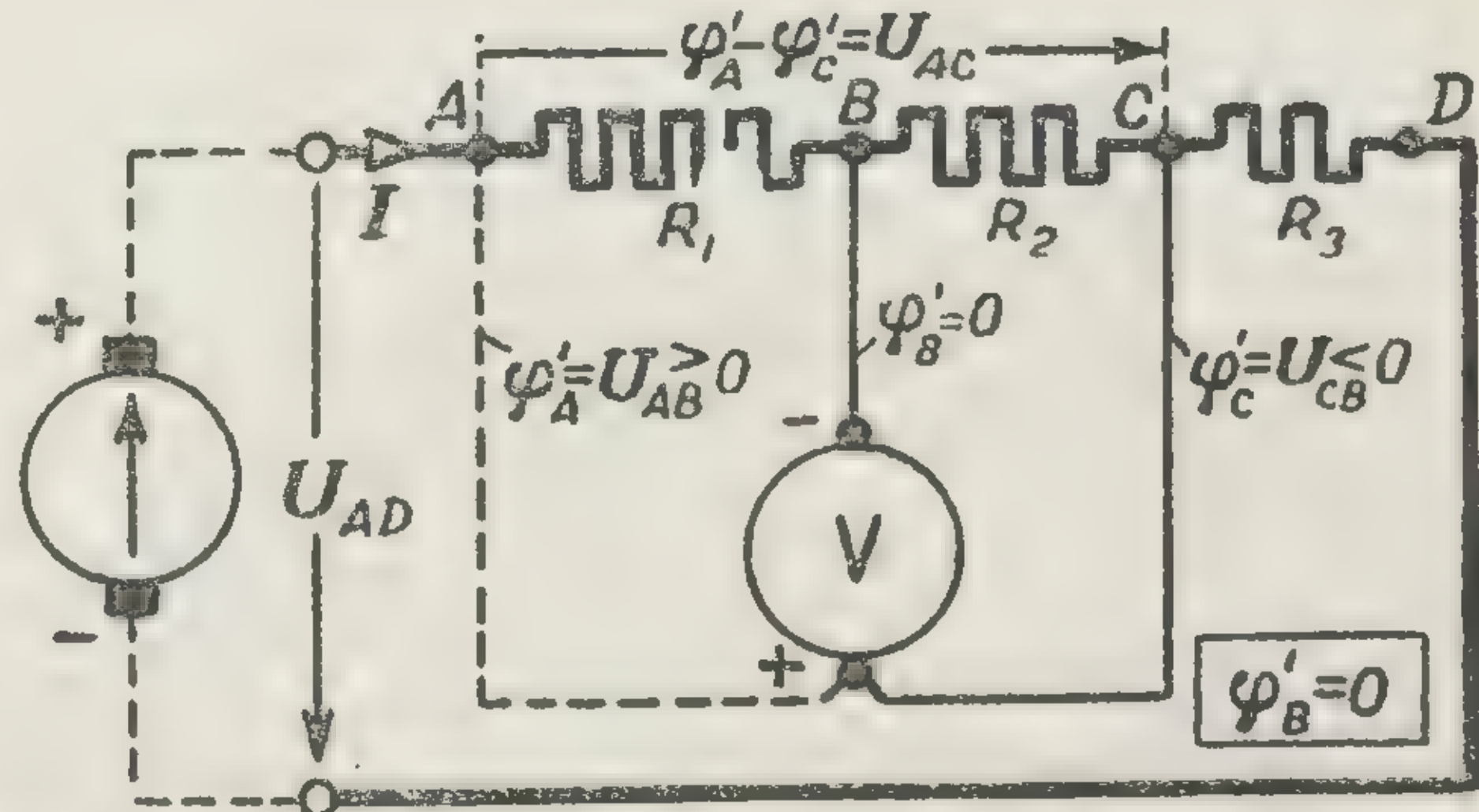
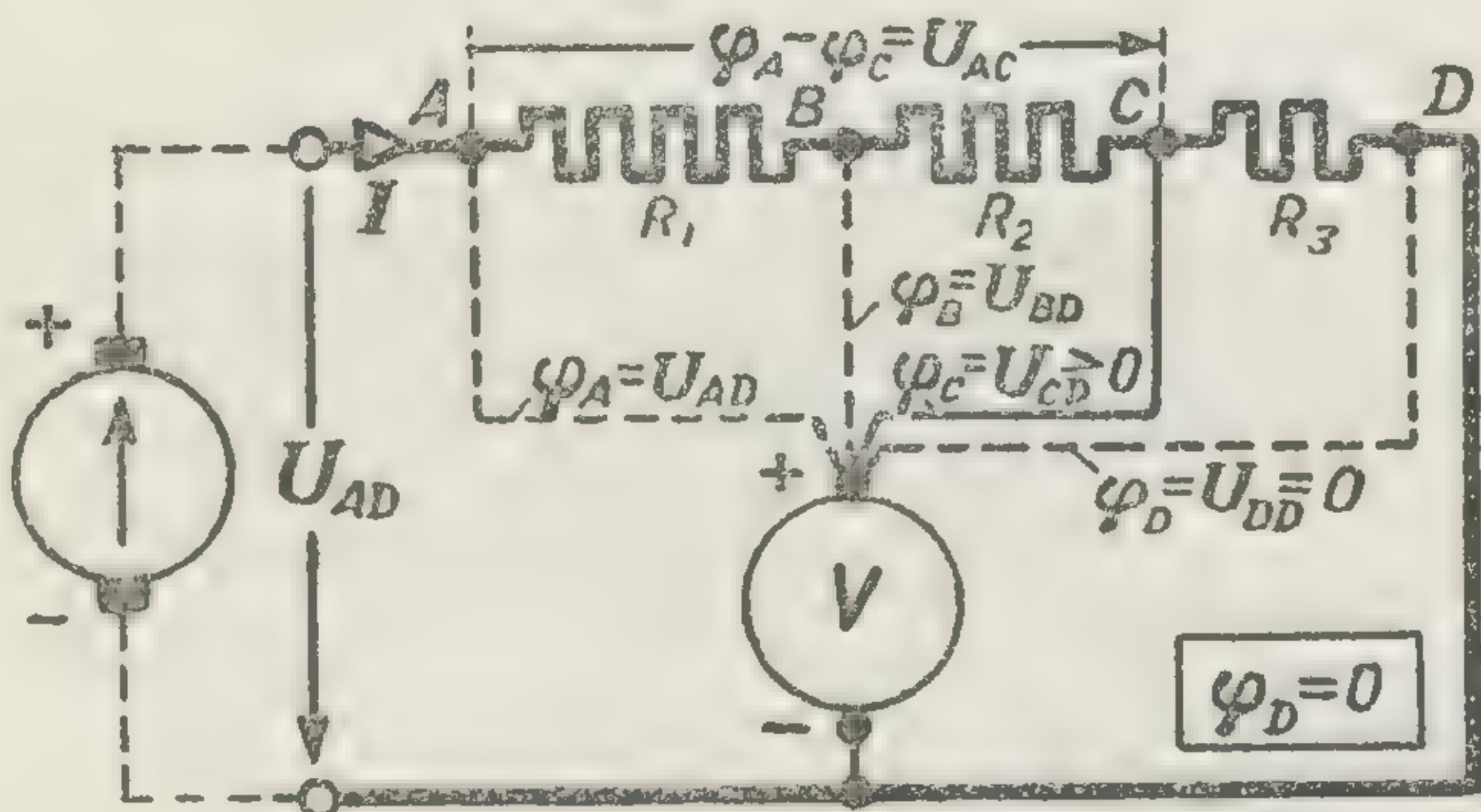


Минус вольтметра присоединен к исходной точке D , потенциал которой принят равным нулю

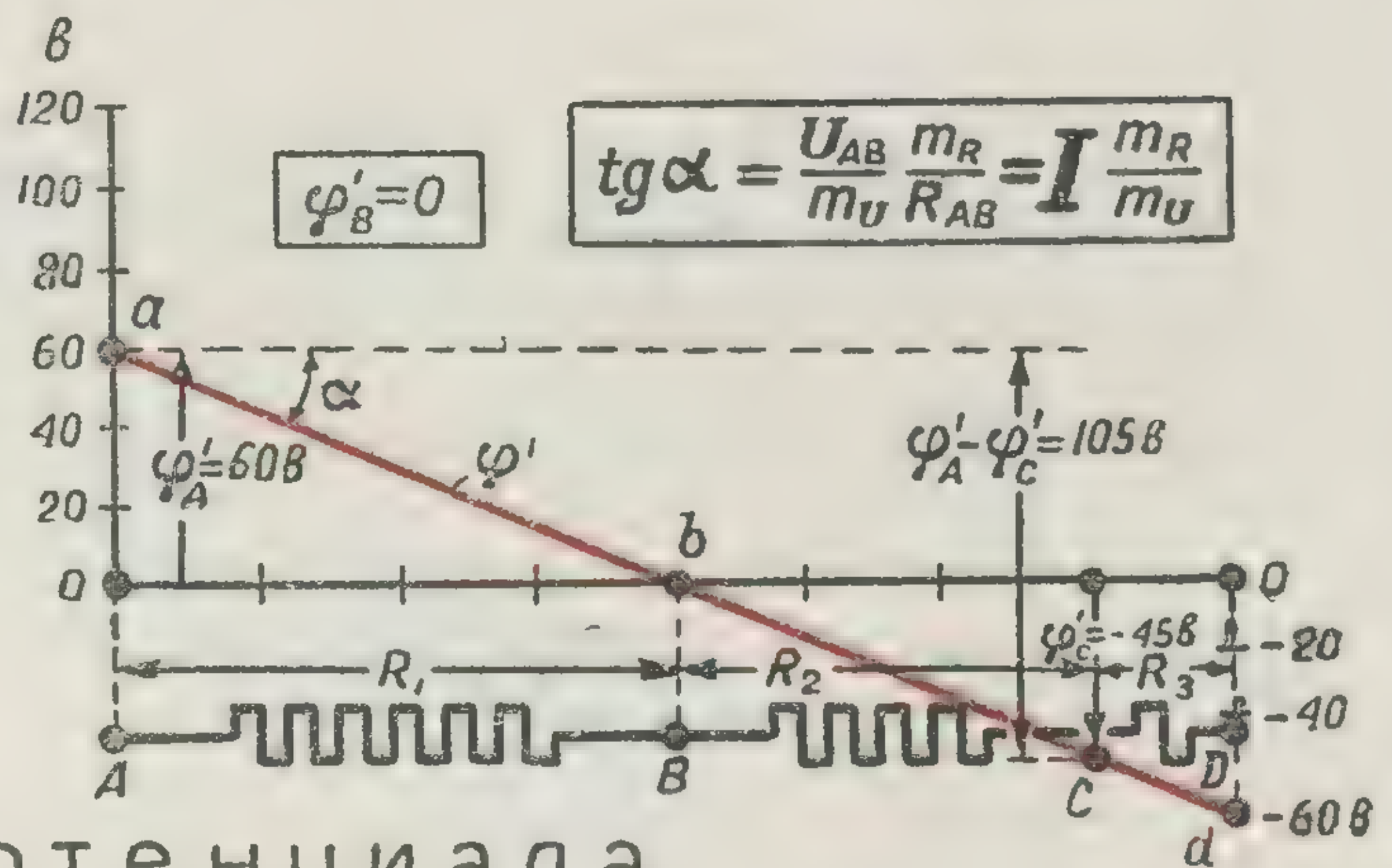
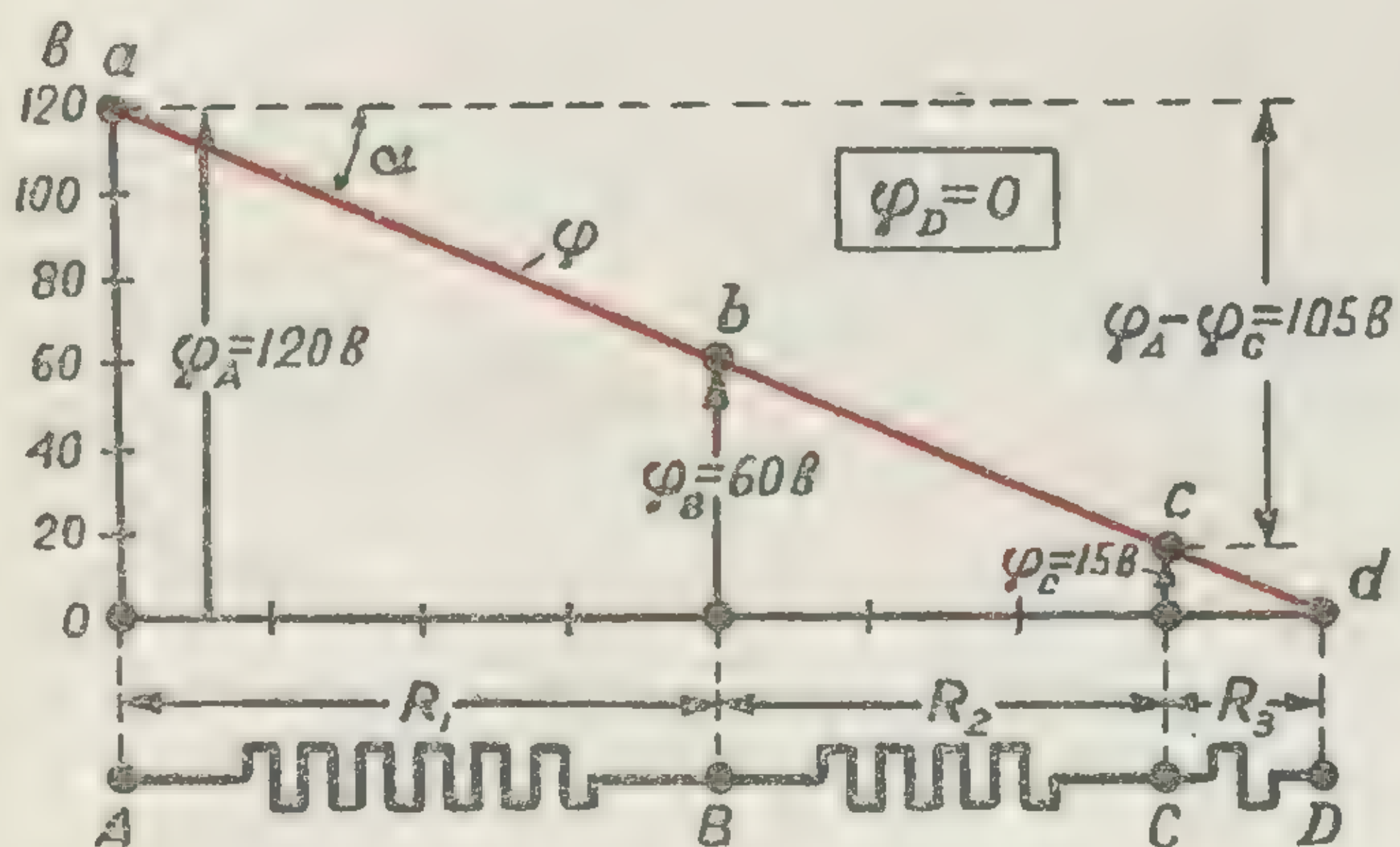


Минус вольтметра присоединен к исходной точке B , потенциал которой принят равным нулю

ИЗМЕРЕНИЕ ПОТЕНЦИАЛА В ПОСЛЕДОВАТЕЛЬНОЙ ЦЕПИ



Схемы соединения

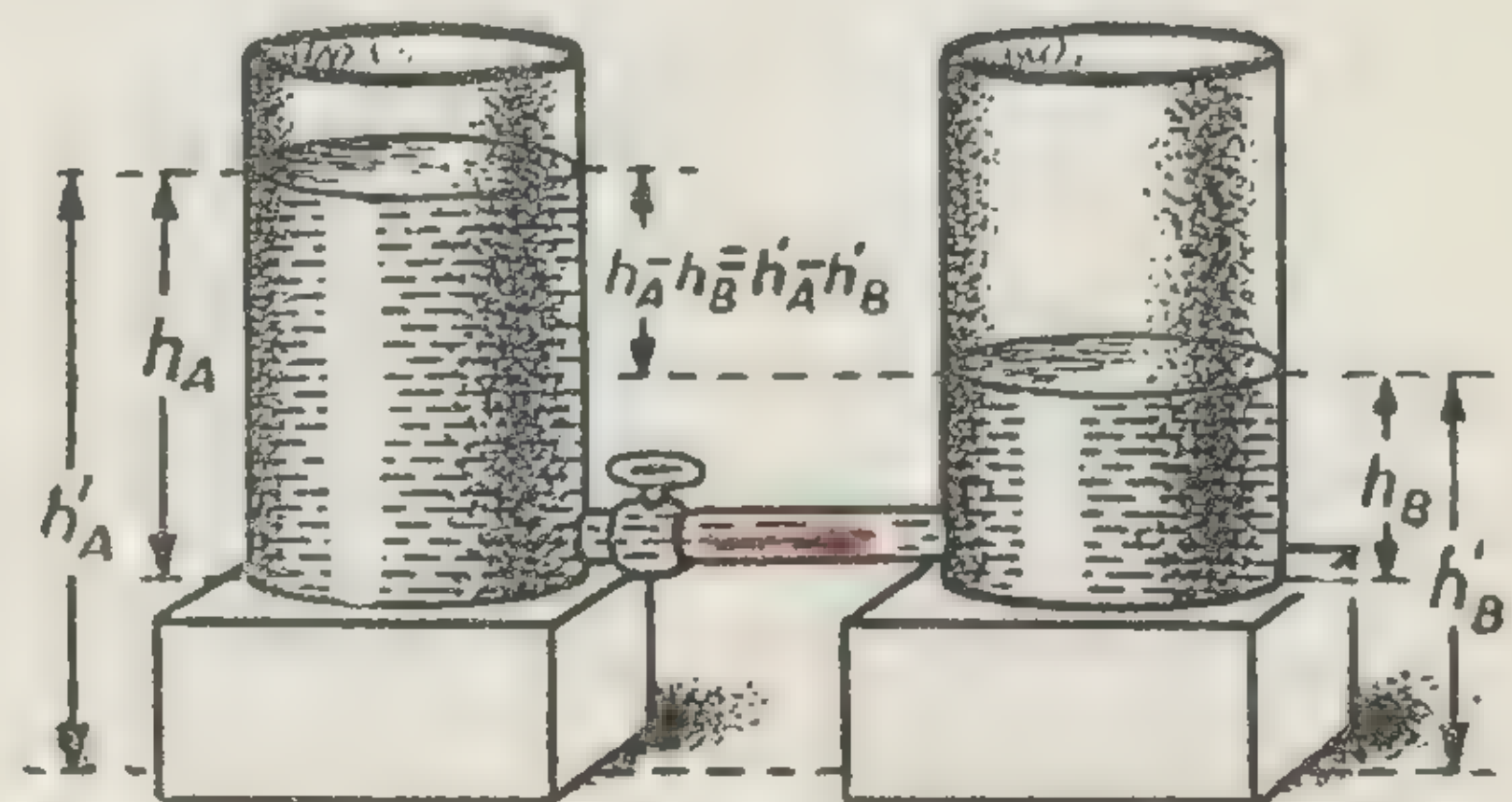


Графики потенциала

$$I_{AB} = \frac{\varphi_A - \varphi_B}{R_{AB}}$$

ЗАКОН
ОМА

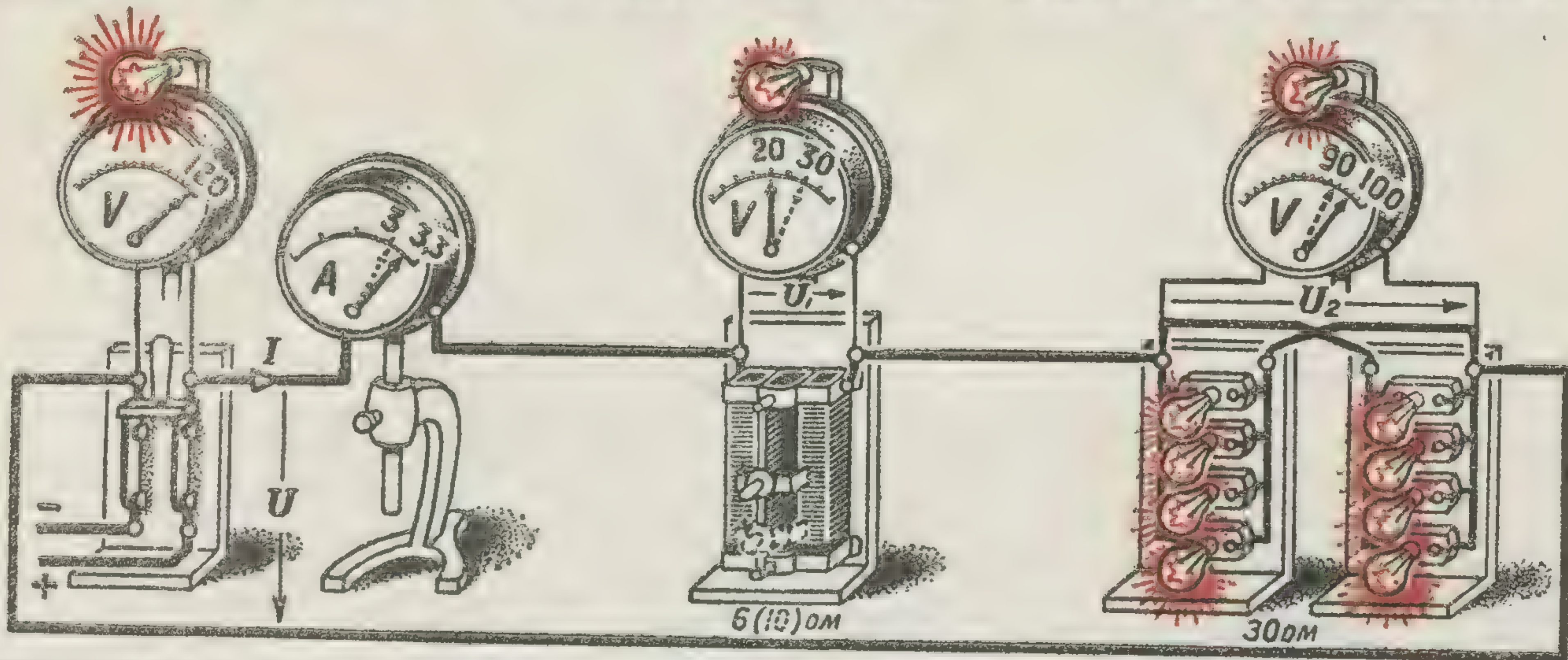
Электрический ток
в проводнике
(при отсутствии положительной э.д.с.)
направлен от высшего
потенциала к низшему



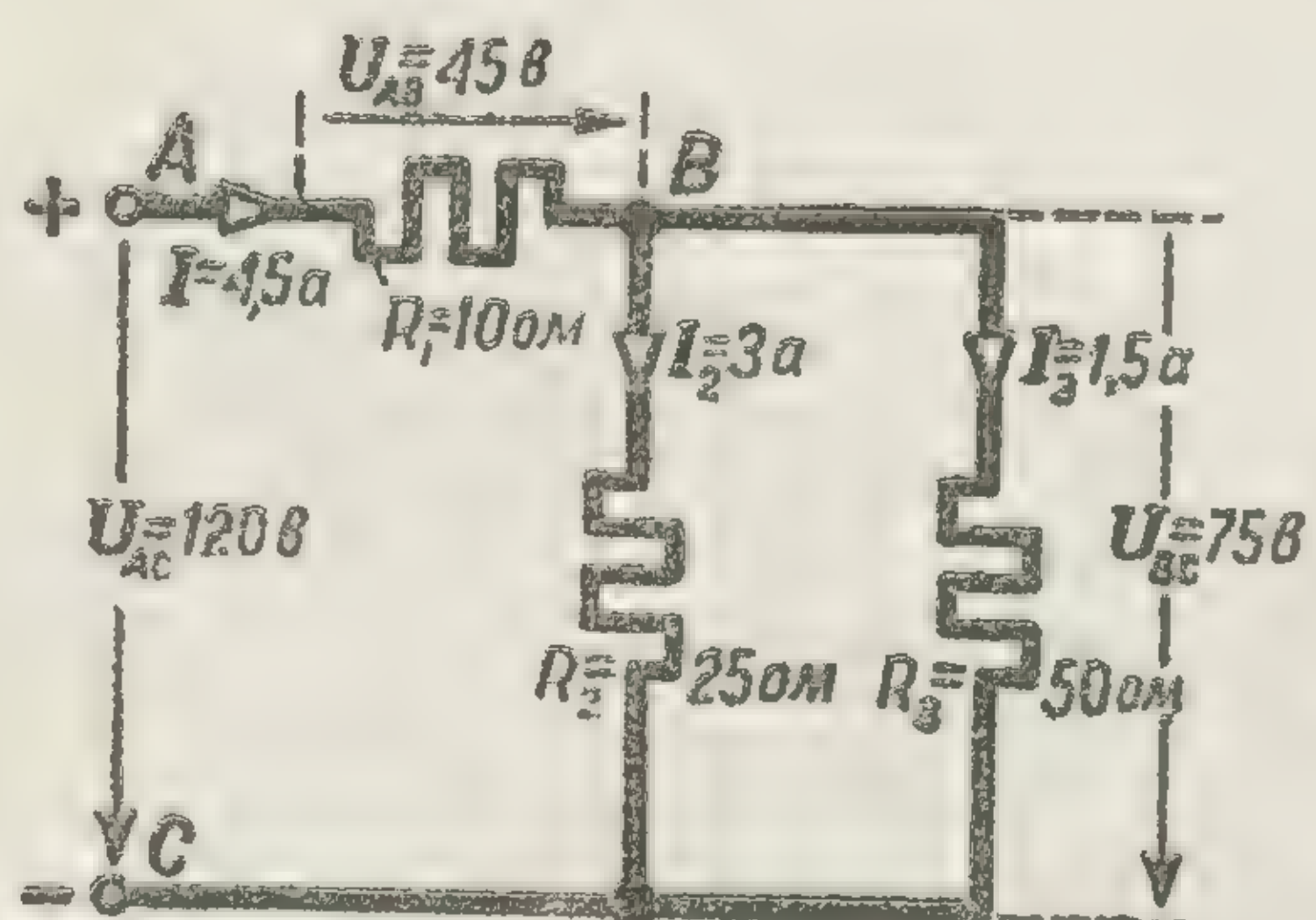
Гидравлическая аналогия

Э.И.Расовский

СМЕШАННОЕ СОЕДИНЕНИЕ СОПРОТИВЛЕНИЙ



Последовательное соединение реостата с параллельно включенными лампами



Смешанное соединение трех сопротивлений

$$R = R_1 + \frac{R_2 R_3}{R_2 + R_3} \text{ Ом}$$

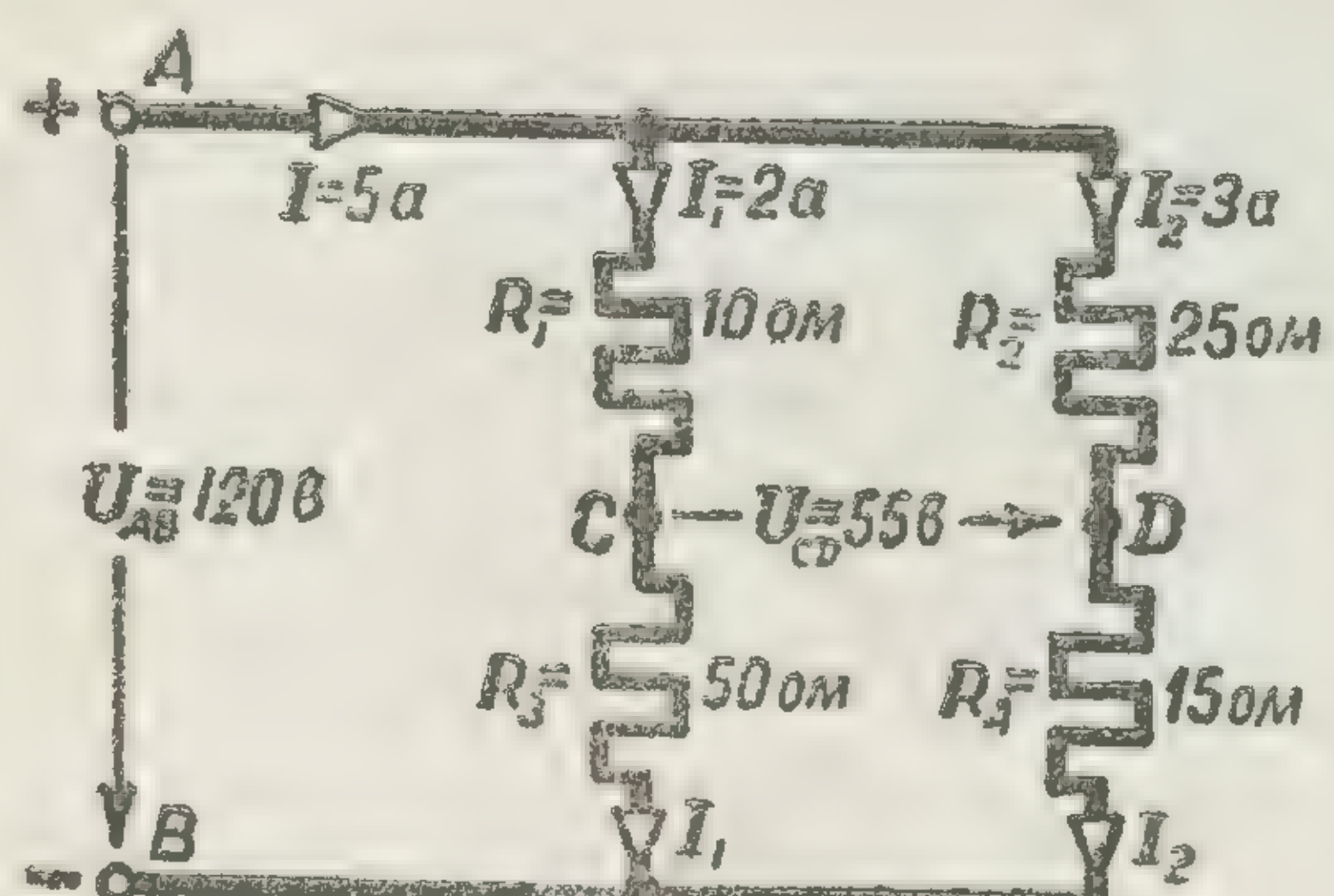
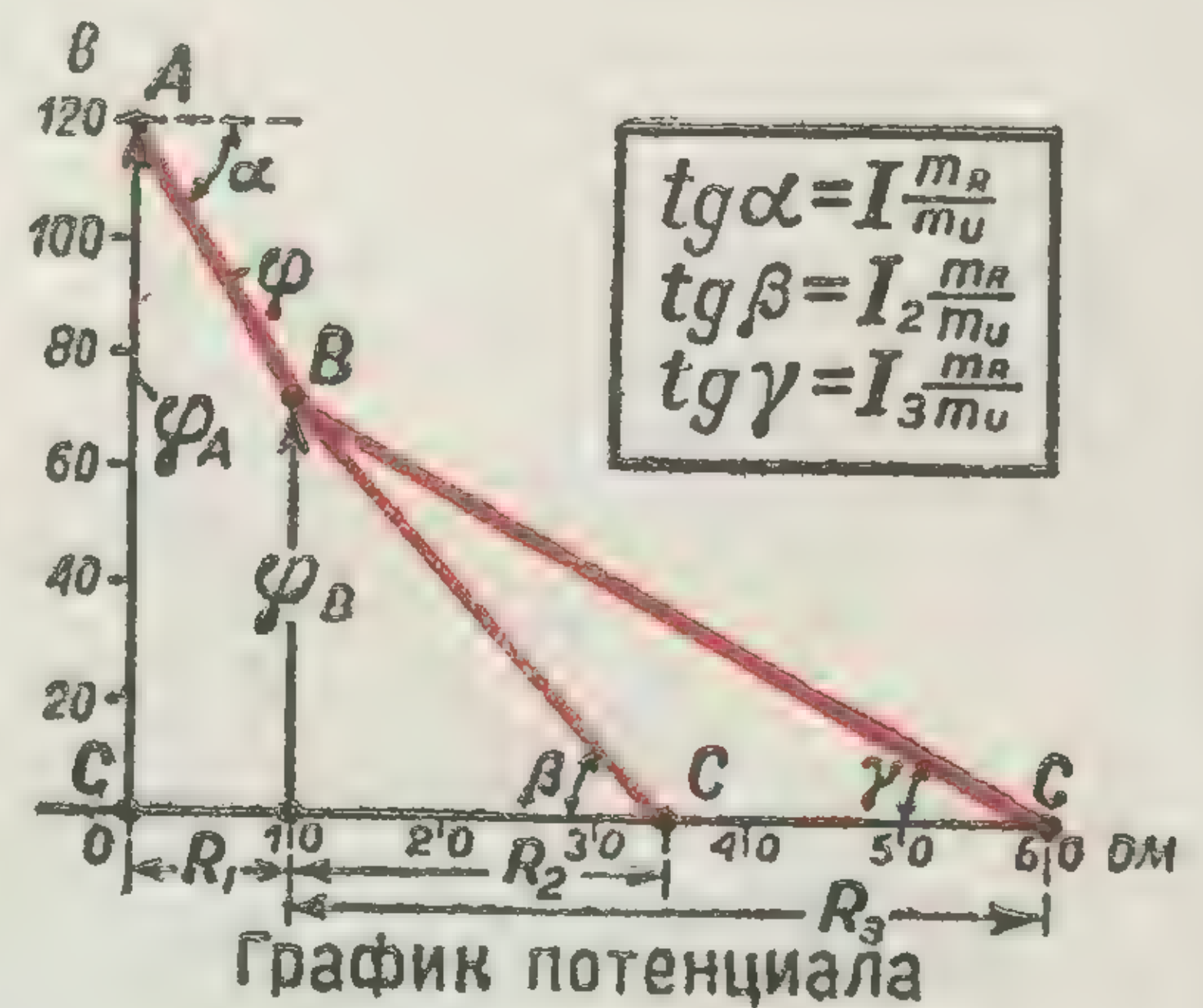
Общее сопротивление.

$$I = \frac{U}{R}; I_2 = I \frac{R_3}{R_2 + R_3}; I_3 = I \frac{R_2}{R_2 + R_3} = I I_2 \text{ а}$$

Токи.

$$U_{BC} = U_{BA} + U_{AC} = U_{AC} - I R_1 \text{ В}$$

Напряжение



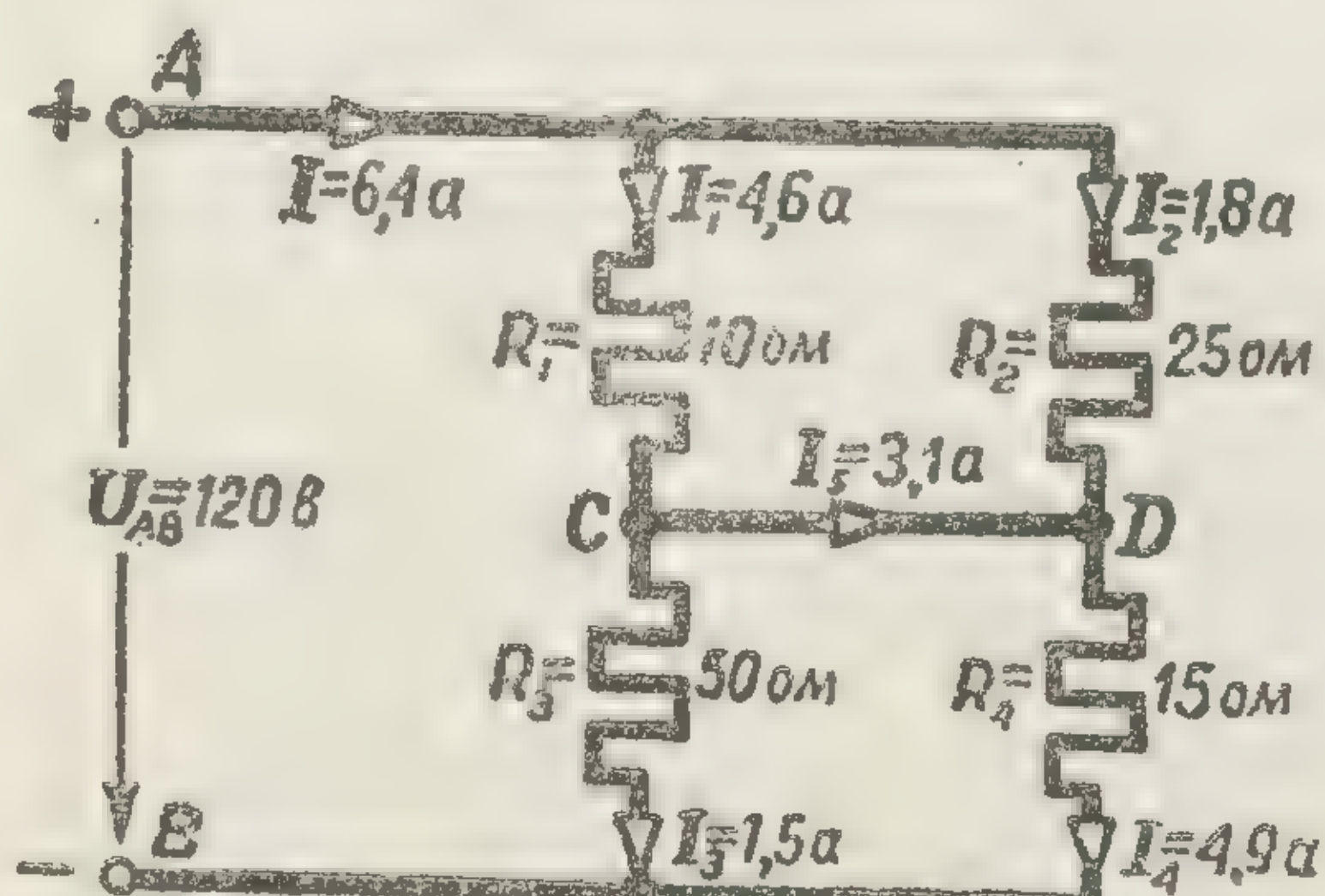
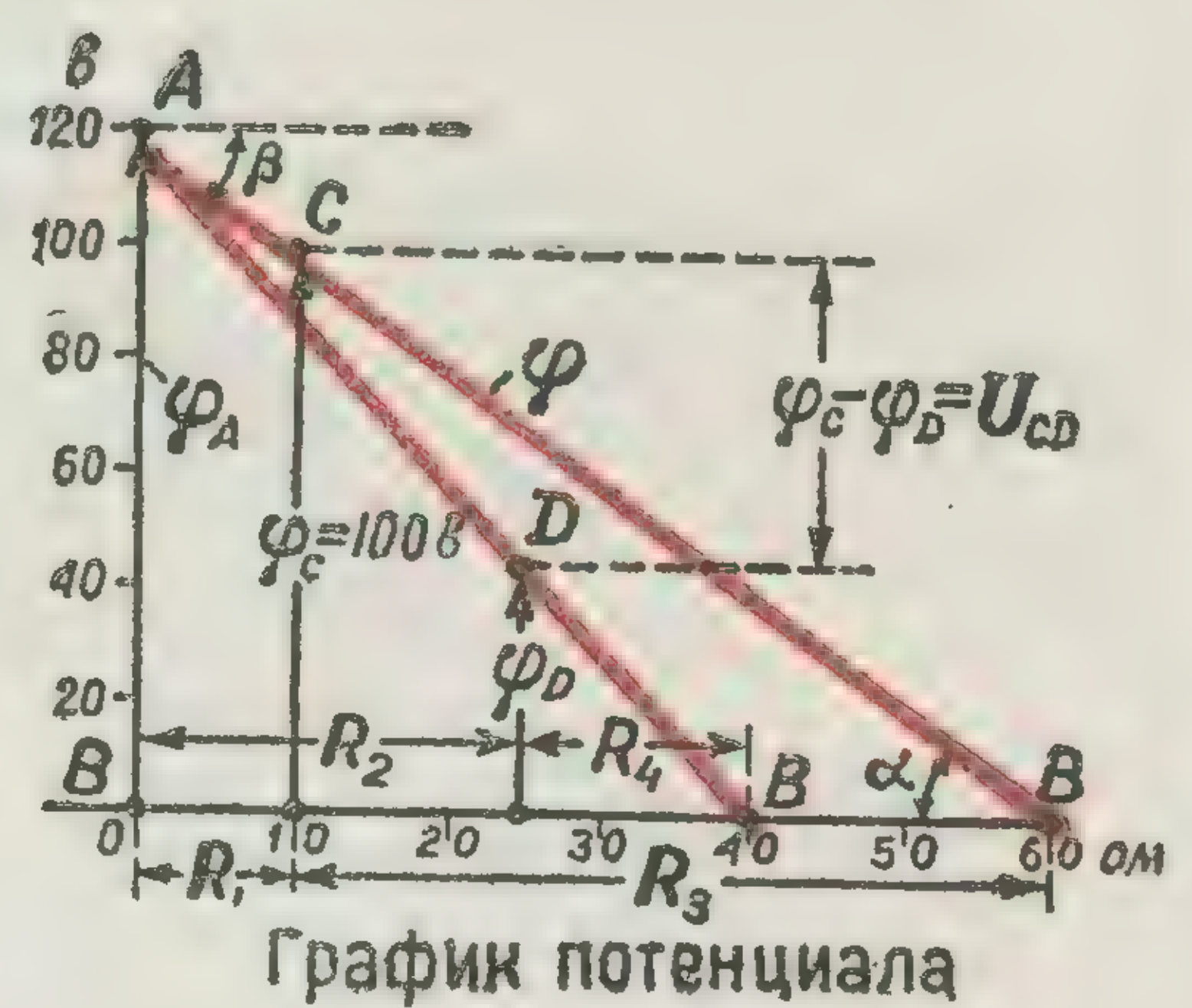
Параллельное соединение двух ветвей

$$I_1 = \frac{U}{R_1 + R_3}; I_2 = \frac{U}{R_2 + R_4}; I = I_1 + I_2 \text{ а}$$

Токи

$$U_{CD} = U_{CB} + U_{BD} = I R_3 - I_2 R_4 \text{ или } U_{CD} = U_{CA} + U_{AD} = -I R_1 + I_2 R_2 \text{ В}$$

Напряжение



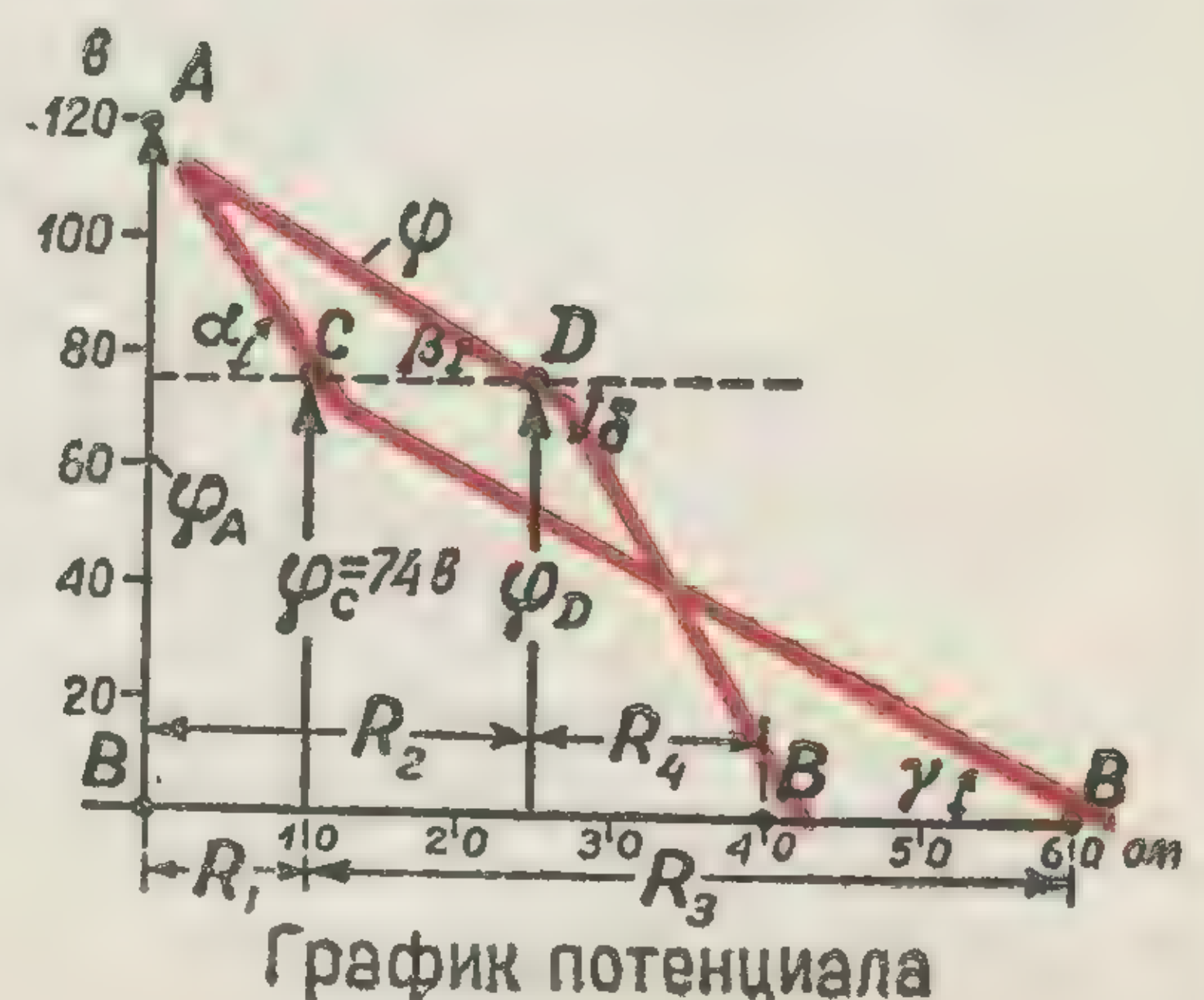
Последовательное соединение двух разветвленных участков

$$R = \frac{R_1 R_2}{R_1 + R_2} + \frac{R_3 R_4}{R_3 + R_4} \text{ Ом}$$

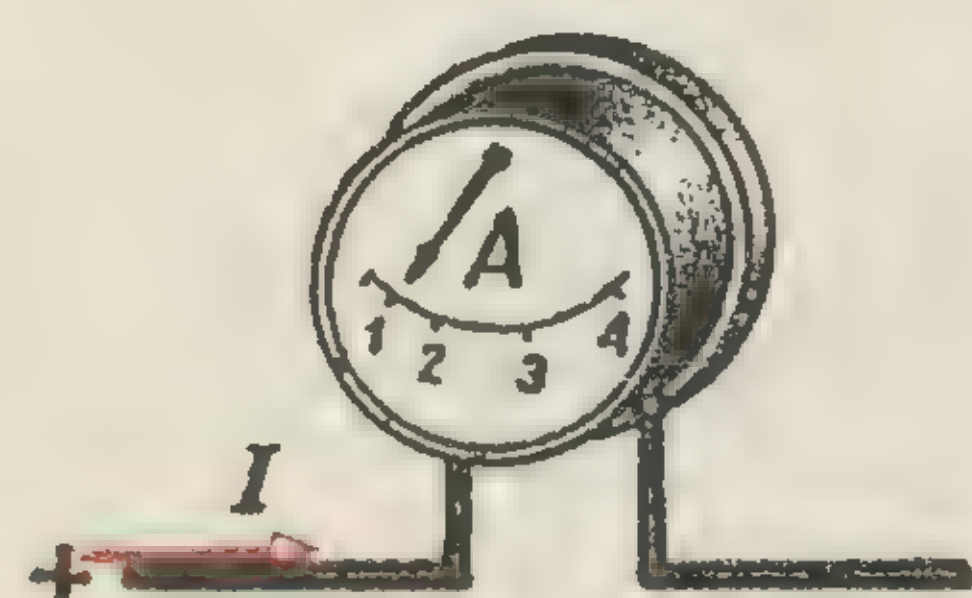
Общее сопротивление.

$$I = \frac{U}{R}; I_1 = I \frac{R_2}{R_1 + R_2}; I_2 = I \frac{R_1}{R_1 + R_2} = I - I_1; I_3 = I \frac{R_4}{R_3 + R_4}; I_4 = I - I_3; I_5 = I_1 - I_3 = I_4 - I_2 \text{ а}$$

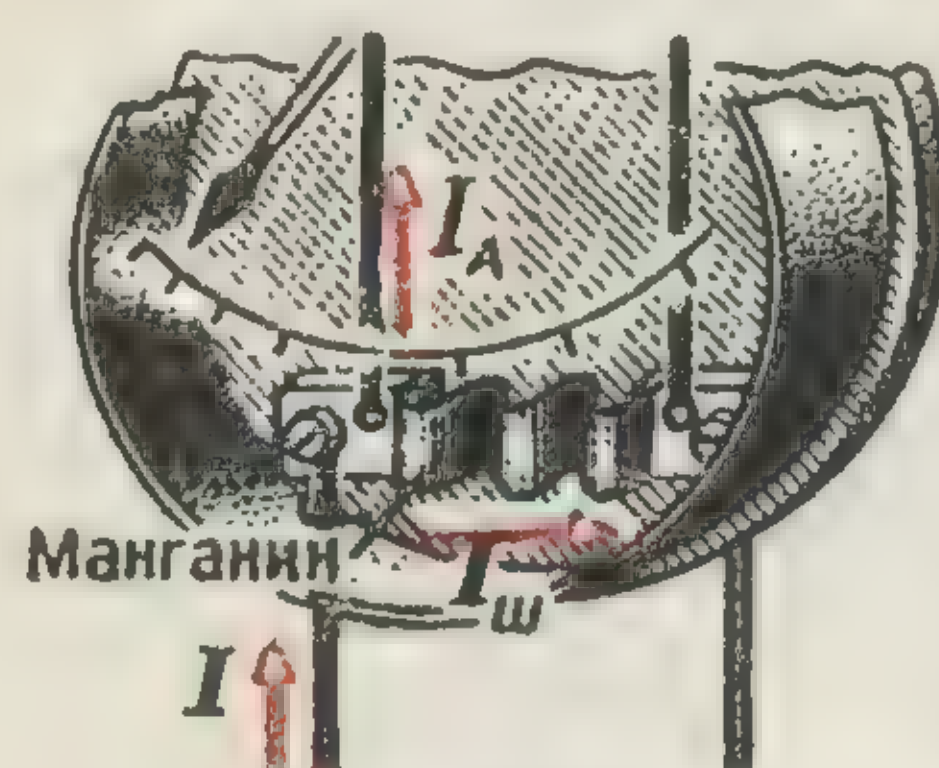
Токи



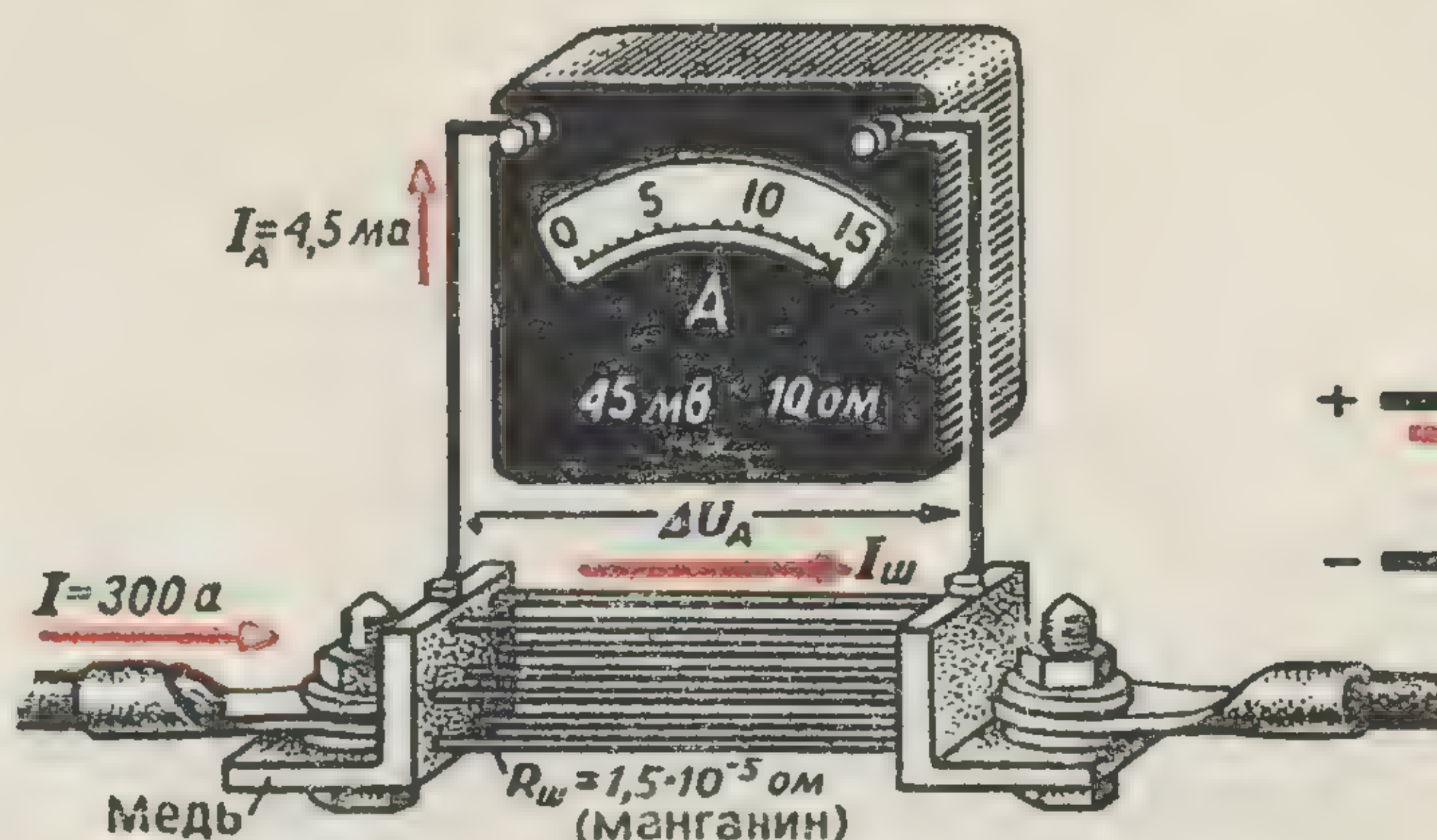
ИЗМЕРЕНИЕ ТОКА И НАПРЯЖЕНИЯ



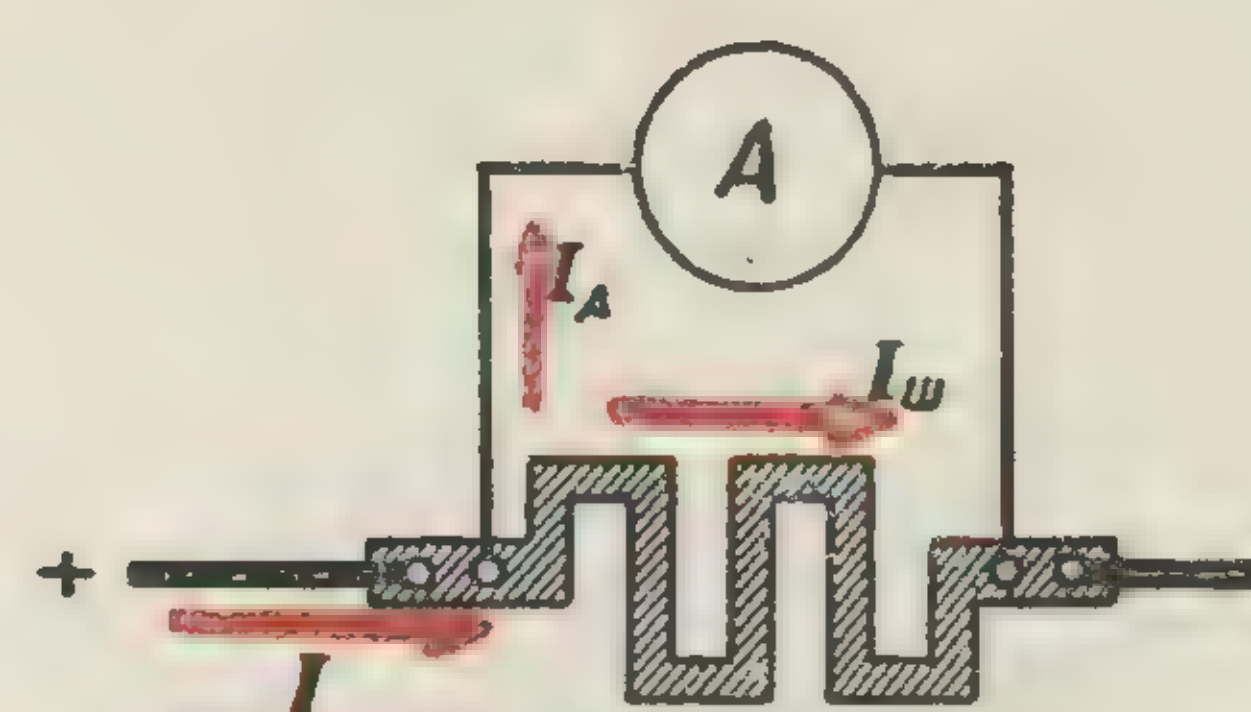
Непосредственное включение амперметра



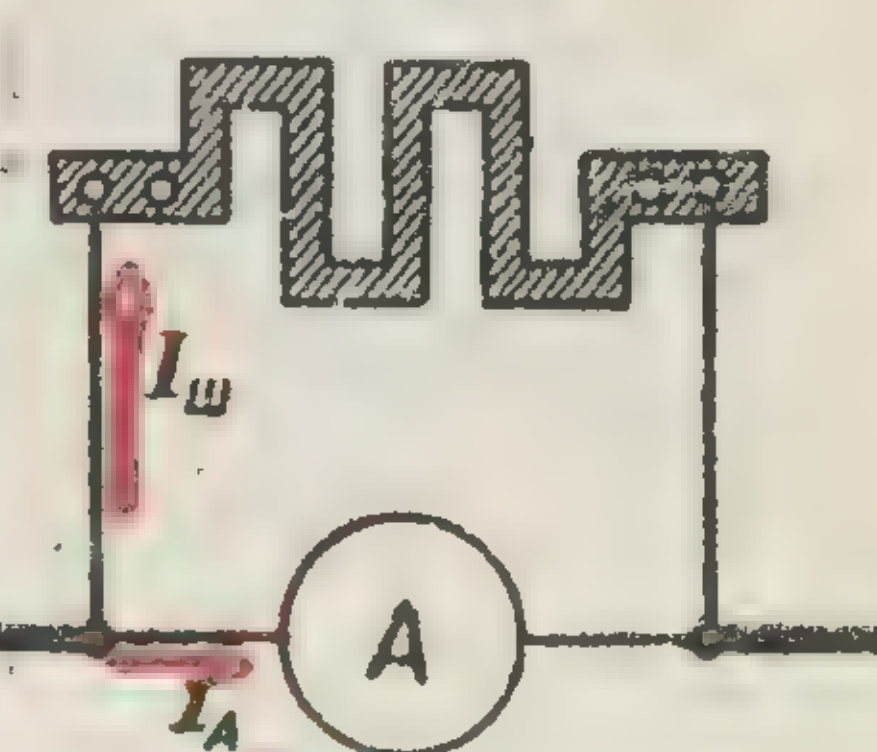
Амперметр со встроенным шунтом



Амперметр с внешним шунтом для больших токов.



Включение амперметра с шунтом



НЕПРАВИЛЬНОЕ включение

$$\Delta U_A = I_A R_A = I R_{ш} = \frac{I}{K_A} R_{ш}$$

Падение напряжения

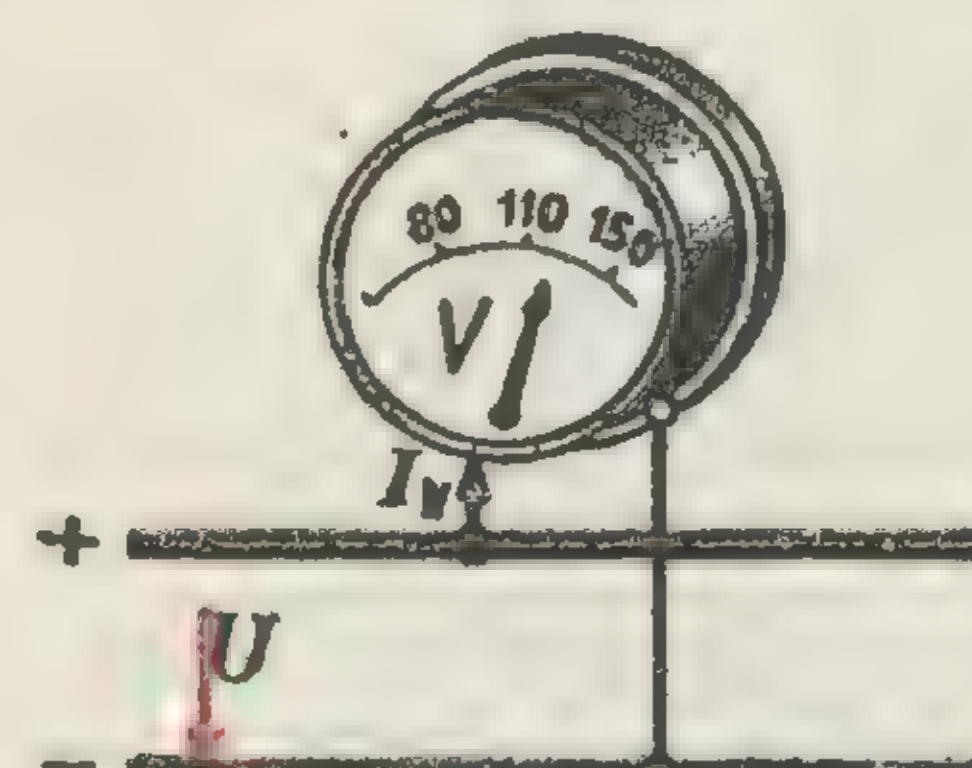
$$K_A = \frac{I}{I_A} = \frac{g_A + g_{ш}}{g_A} = 1 + \frac{R_A}{R_{ш}}$$

Шунтовой множитель

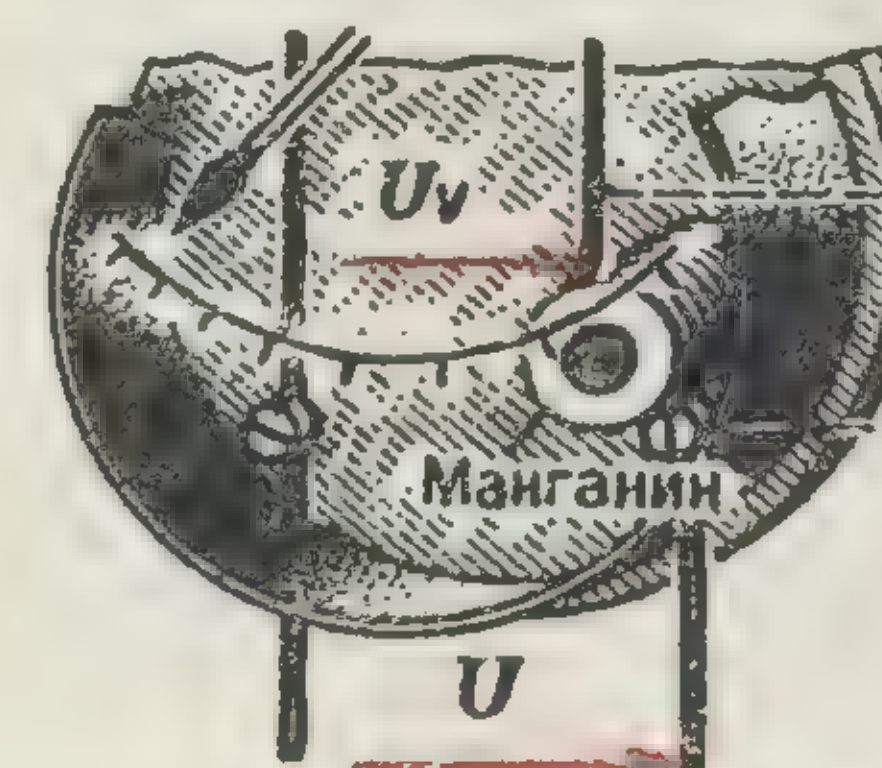
$$R_{ш} = \frac{R_A}{K_A - 1} \text{ Ом}$$

Сопротивление шунта

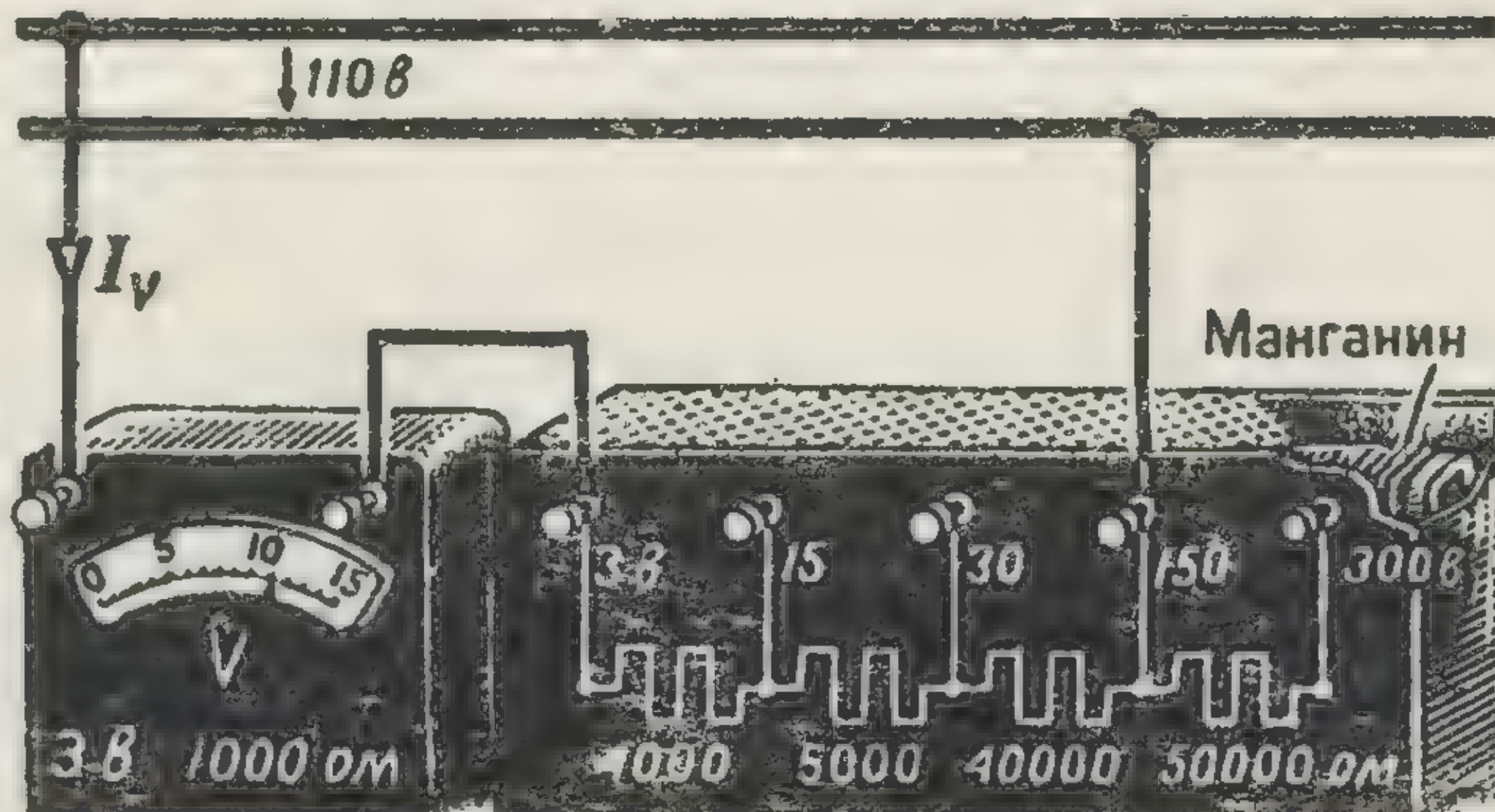
ИЗМЕРЕНИЕ ТОКА



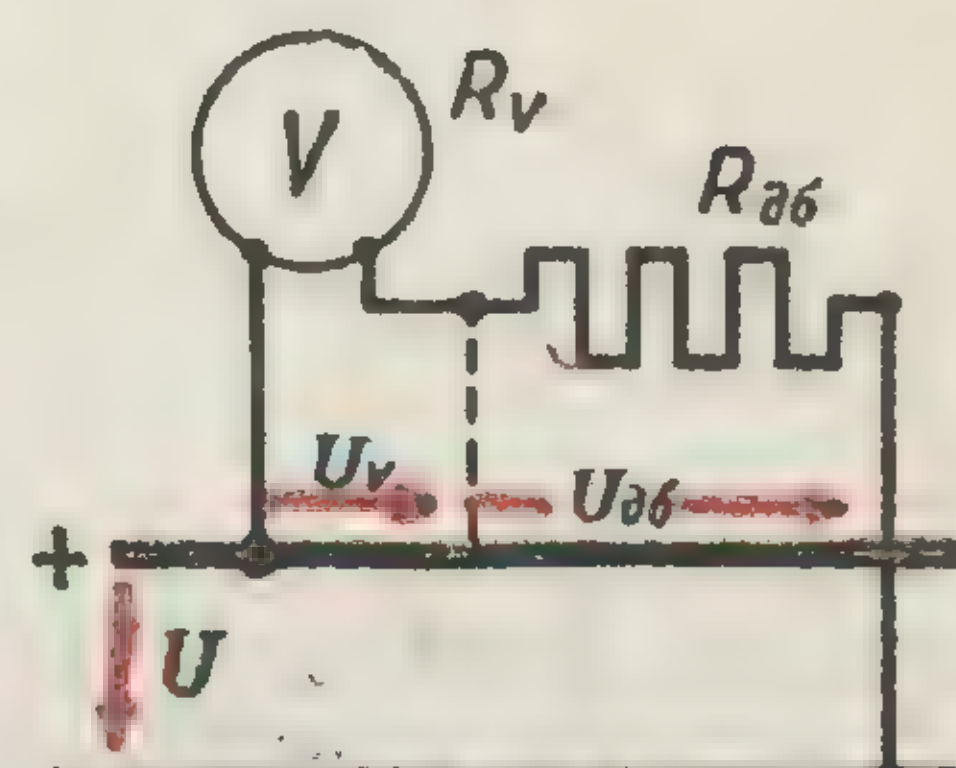
Непосредственное включение вольтметра



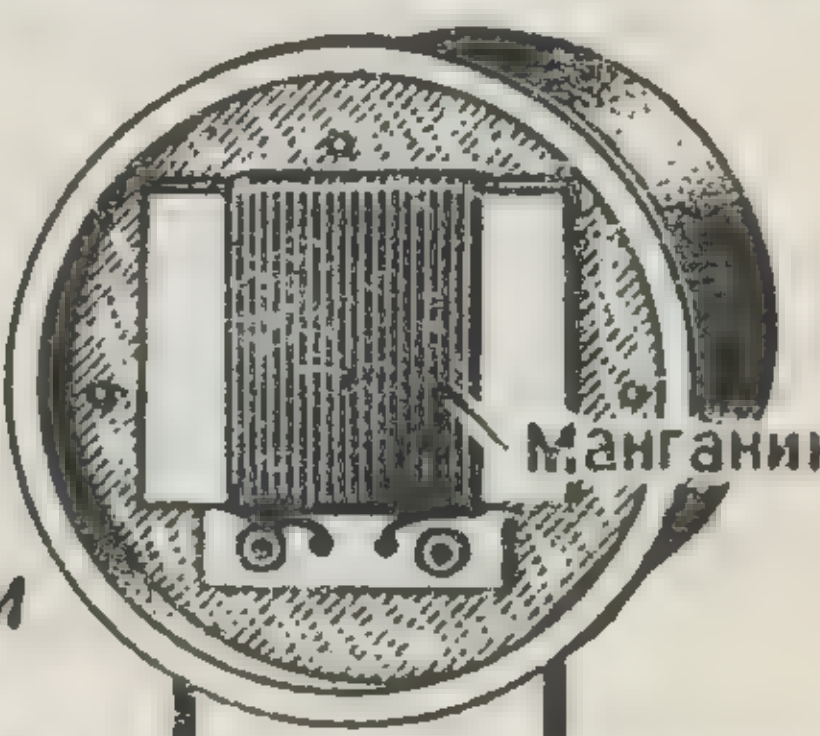
Вольтметр с добавочным сопротивлением



Вольтметр с внешним добавочным сопротивлением



Включение вольтметра через добавочн. сопротивление



Добавочное сопротивление под цоколем вольтметра

$$I_V = \frac{U_V}{R_V} = \frac{U_{дб}}{R_{дб}} = \frac{U}{R_V + R_{дб}}$$

Потребляемый ток

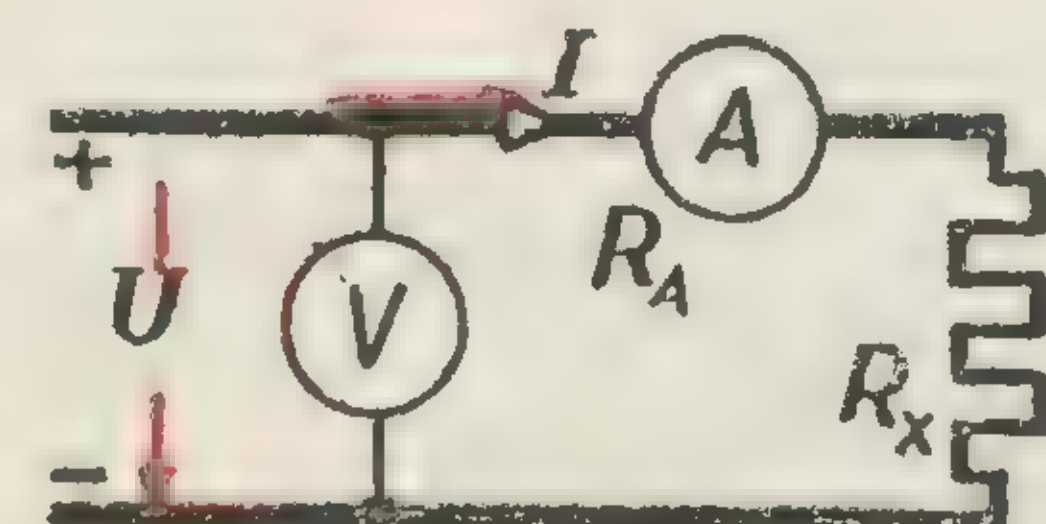
$$K_V = \frac{U}{U_V} = \frac{R_V + R_{дб}}{R_V} = 1 + \frac{R_{дб}}{R_V}$$

Множитель

$$R_{дб} = R_V (K_V - 1) \text{ Ом}$$

Добавочное сопротивление

ИЗМЕРЕНИЕ НАПРЯЖЕНИЯ



$$\Delta f = \frac{R_{изм} - R_x}{R_x} = \frac{R_A}{R_x}$$

Допущенная ошибка

Измерение больших сопротивлений

$$R_{изм} = \frac{U}{I} = R_x + R_A \text{ Ом}$$

Измеренное сопротивление

$$R_x = \frac{U}{I} - R_A \text{ Ом}$$

Расчет с поправкой на собственное потребление прибора

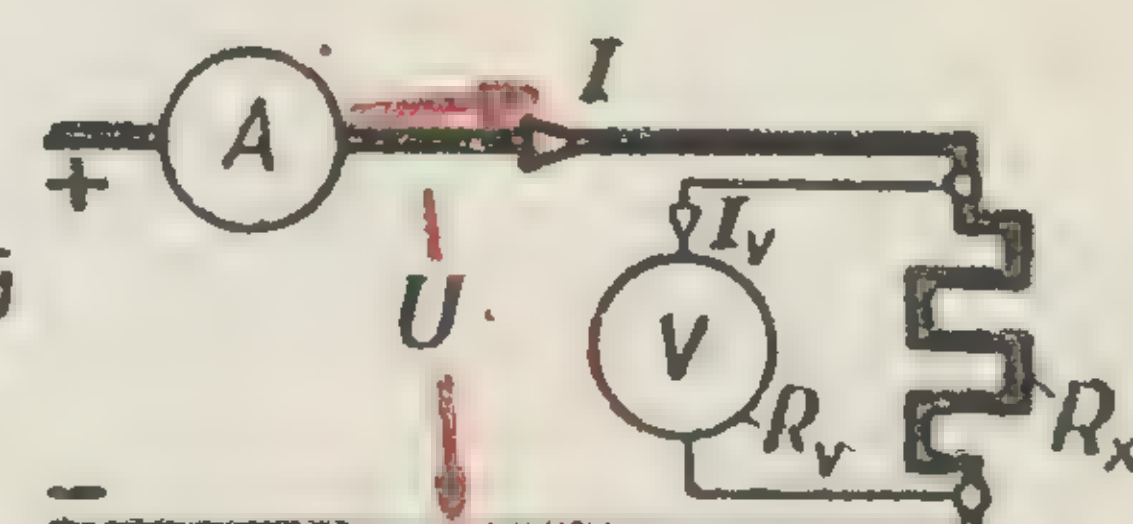
$$g_{изм} = \frac{I}{U} = g_x + g_V \text{ 1/Ом}$$

Измеренная проводимость

$$\Delta f = \frac{g_{изм} - g_x}{g_x} = \frac{R_x}{R_V}$$

Допущенная ошибка

Измерение малых сопротивлений

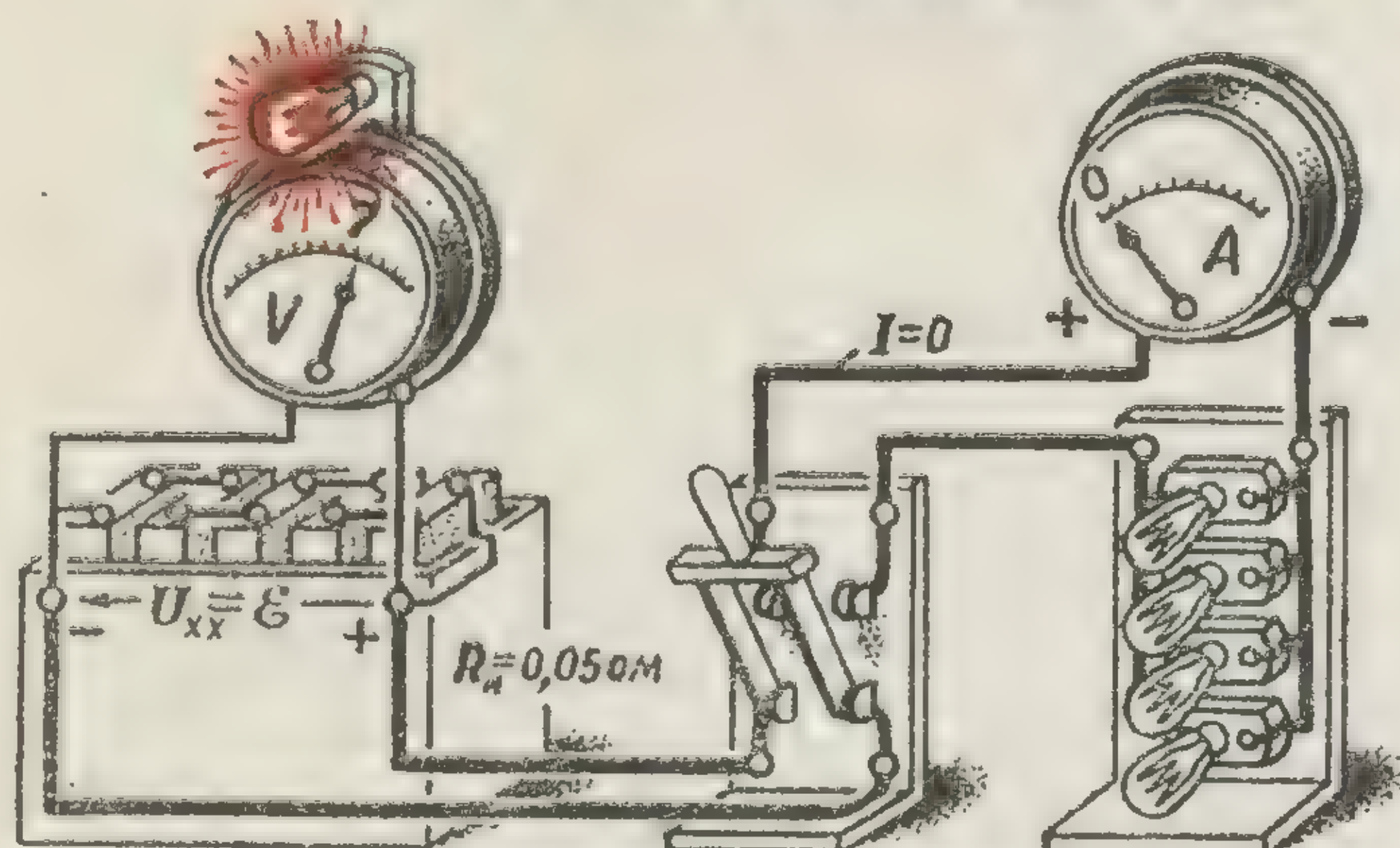


$$R_x = \frac{U}{I - U/R_V} \text{ Ом}$$

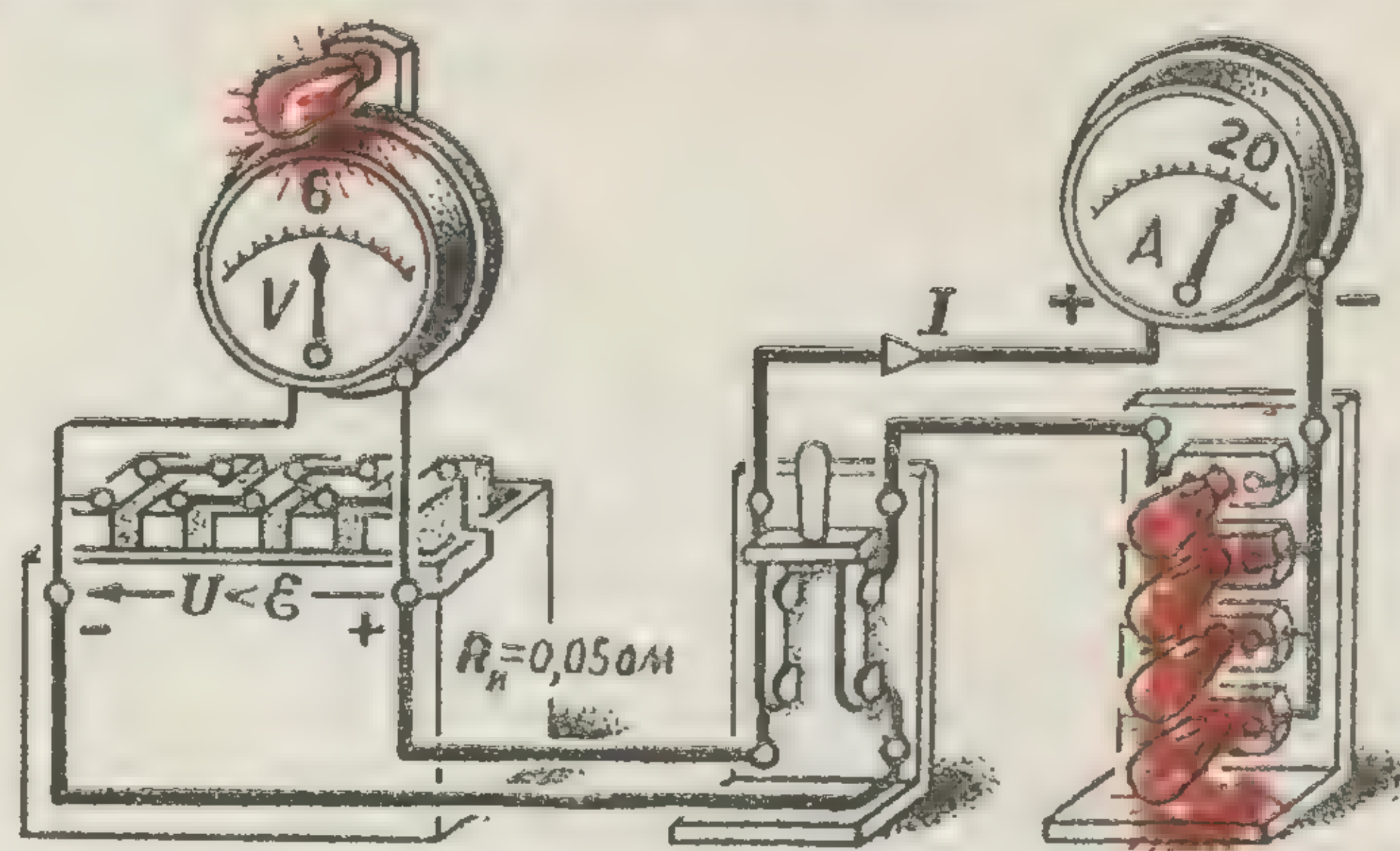
Расчет с поправкой на собственное потребление прибора

ИЗМЕРЕНИЕ СОПРОТИВЛЕНИЯ НА ОСНОВании ЗАКОНА ОМА

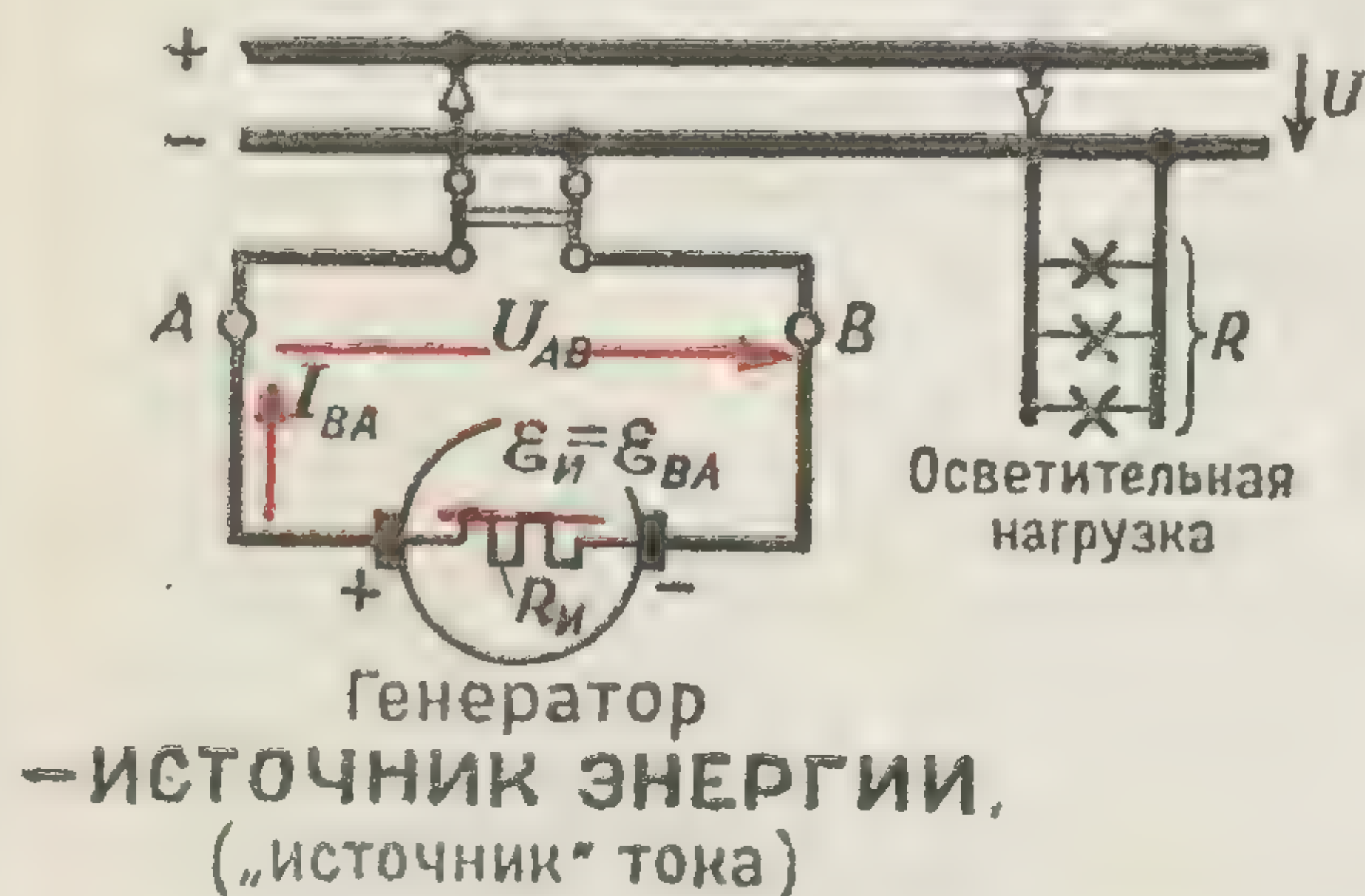
ЭЛЕКТРОДВИЖУЩАЯ СИЛА ИСТОЧНИКА И НАПРЯЖЕНИЕ НА ЕГО ЗАЖИМАХ



Напряжение на зажимах аккумулятора при холостом ходе: $U_{xх} = \epsilon$

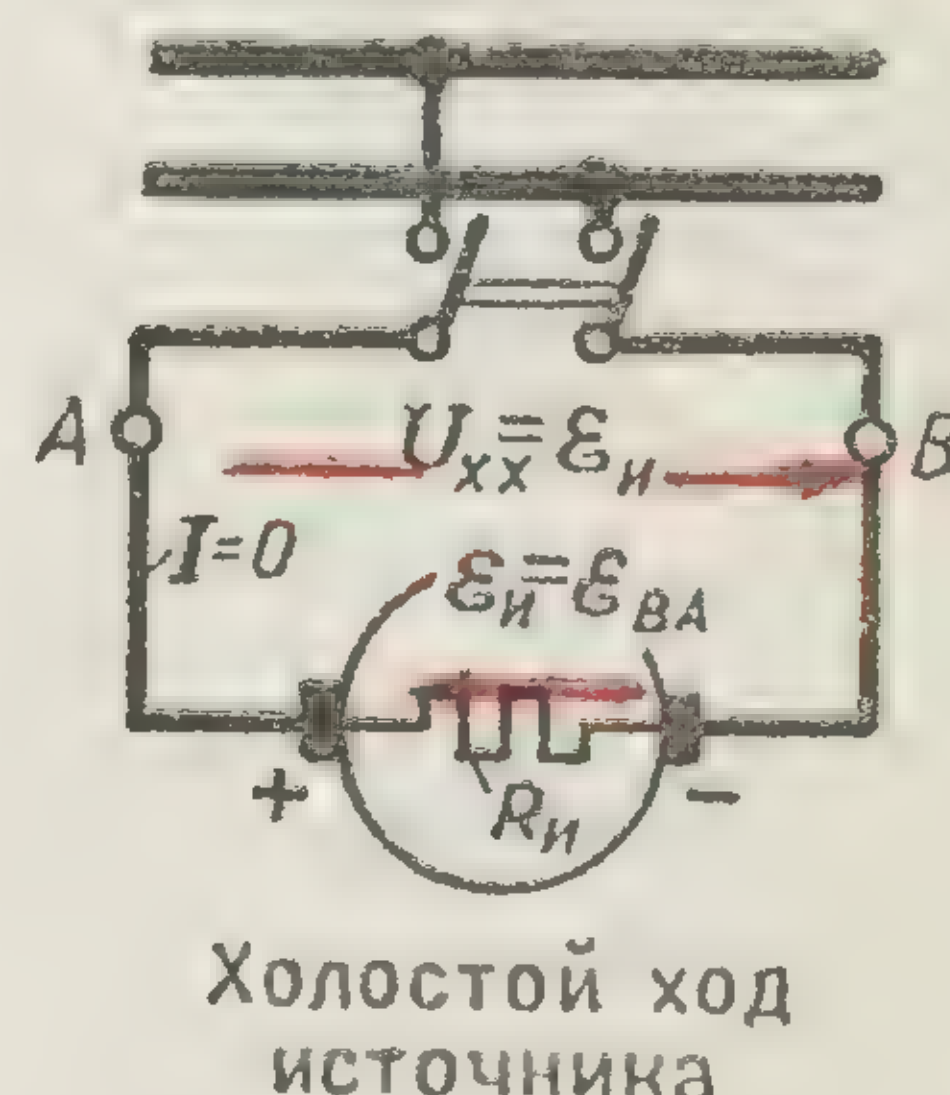


Напряжение на зажимах аккумулятора при разряде: $U = \epsilon - IR_{и}$



$$U_{AB} = I_{AB} R_{и} - \epsilon_{AB} = \epsilon_{BA} - I_{BA} R_{и} \quad \text{В}$$

ЗАКОН ОМА
для участка цепи
с одним источником
(ср. табл. 13)



$$U = \epsilon_{и} - IR_{и} \quad \text{В}$$

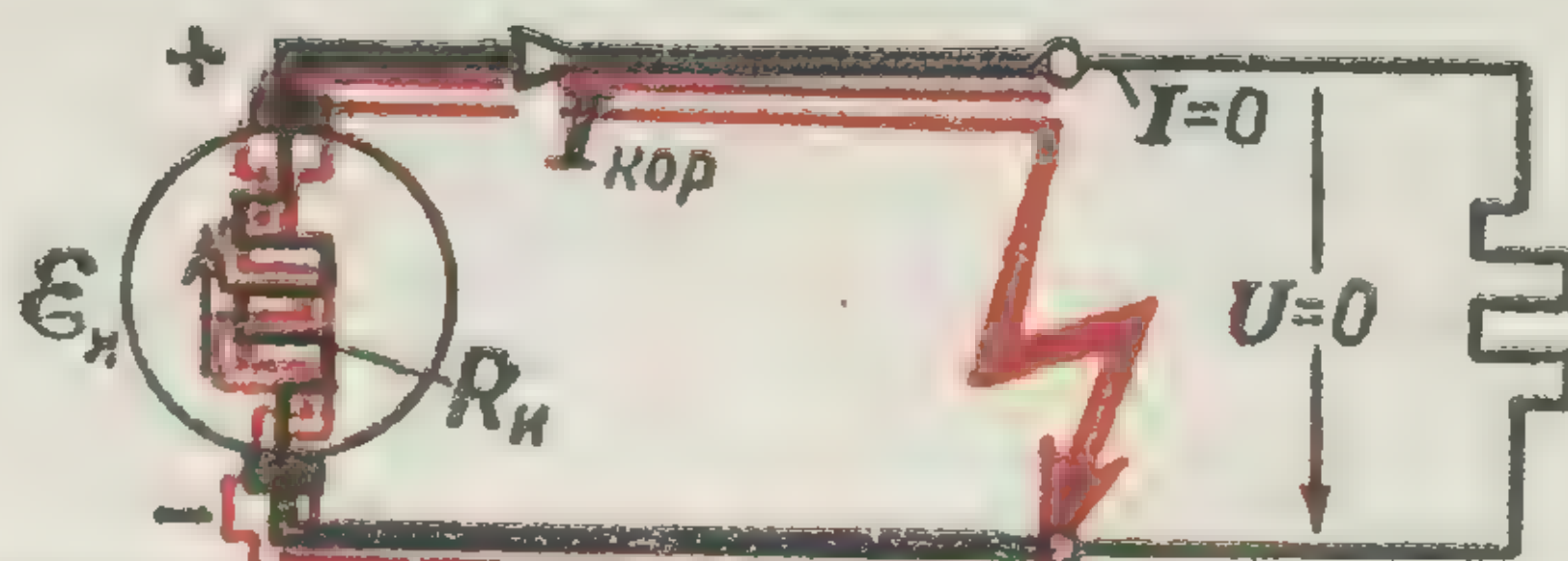
$$UI = \epsilon_{и} I - I^2 R_{и} \quad \text{Вт}$$

Напряжение на зажимах источника меньше его э.д.с. на величину внутреннего падения напряжения

Мощность, отдаваемая источником, меньше развиваемой им мощности на величину внутренней потери мощности

$$I_{и} = \frac{U}{R} = \frac{\epsilon_{и} U}{R_{и} U} = \frac{\epsilon_{и}}{R_{и} + R} \quad \text{А}$$

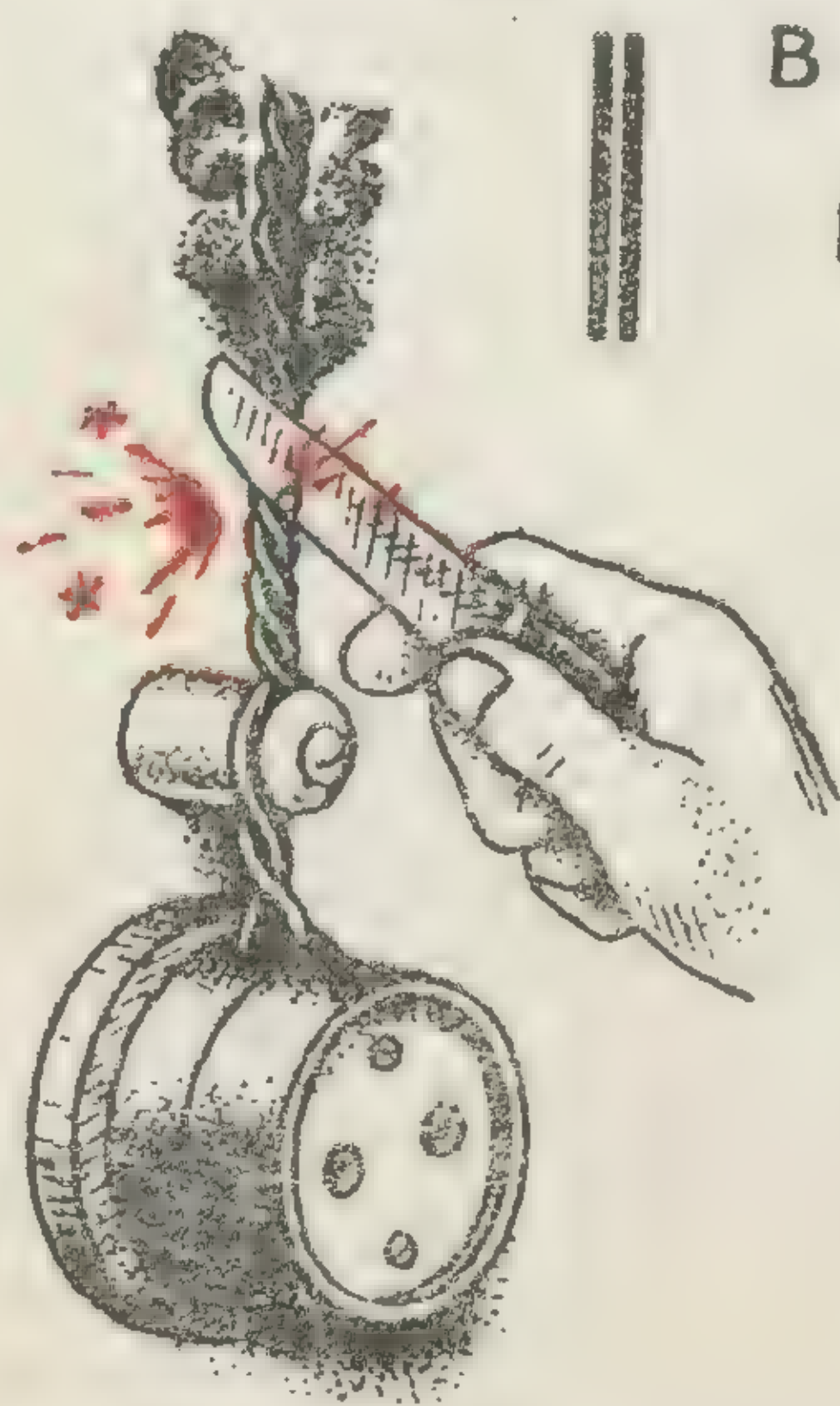
Ток, „отдаваемый“ источником
(зависит от сопротивления потребителя)



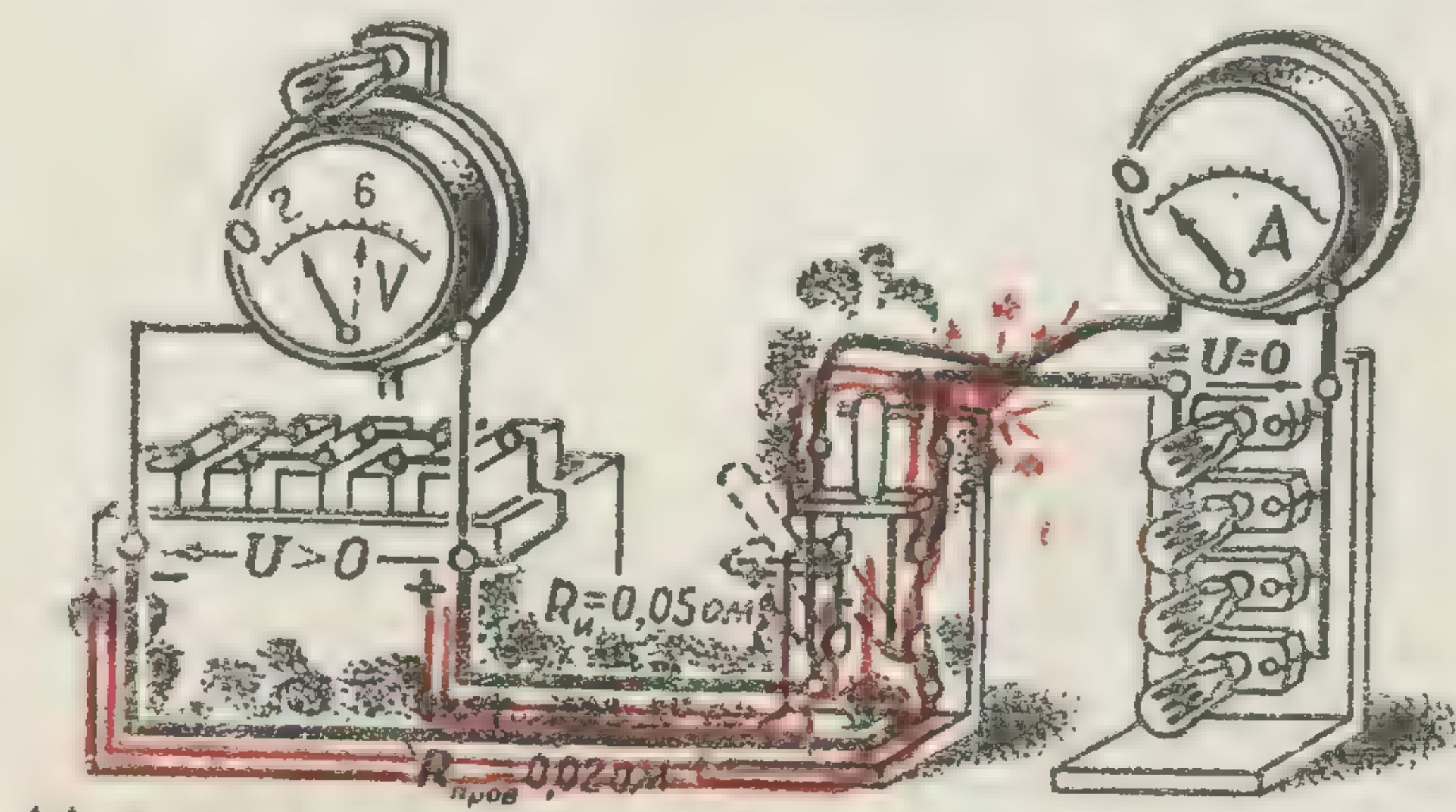
Короткое замыкание на зажимах источника ($R=0$)

$$I_{кор} = \frac{\epsilon_{и}}{R_{и}} \quad \text{А}$$

Ток короткого замыкания
(аварийный режим)



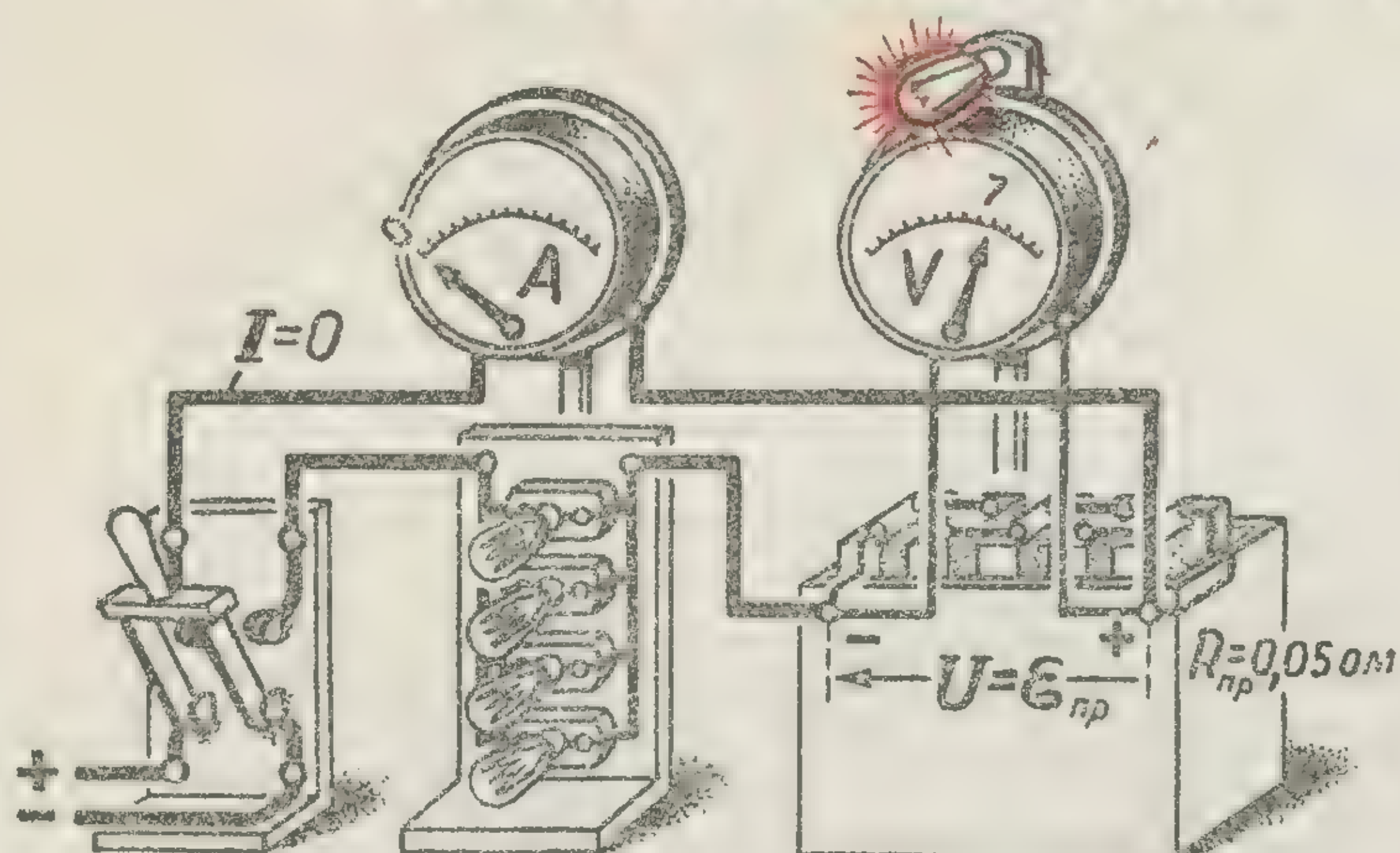
В источнике ток направлен от минуса (-) к плюсу (+) и совпадает по направлению с э.д.с.
Во внешней цепи ток направлен от плюса к минусу и совпадает с напряжением на зажимах



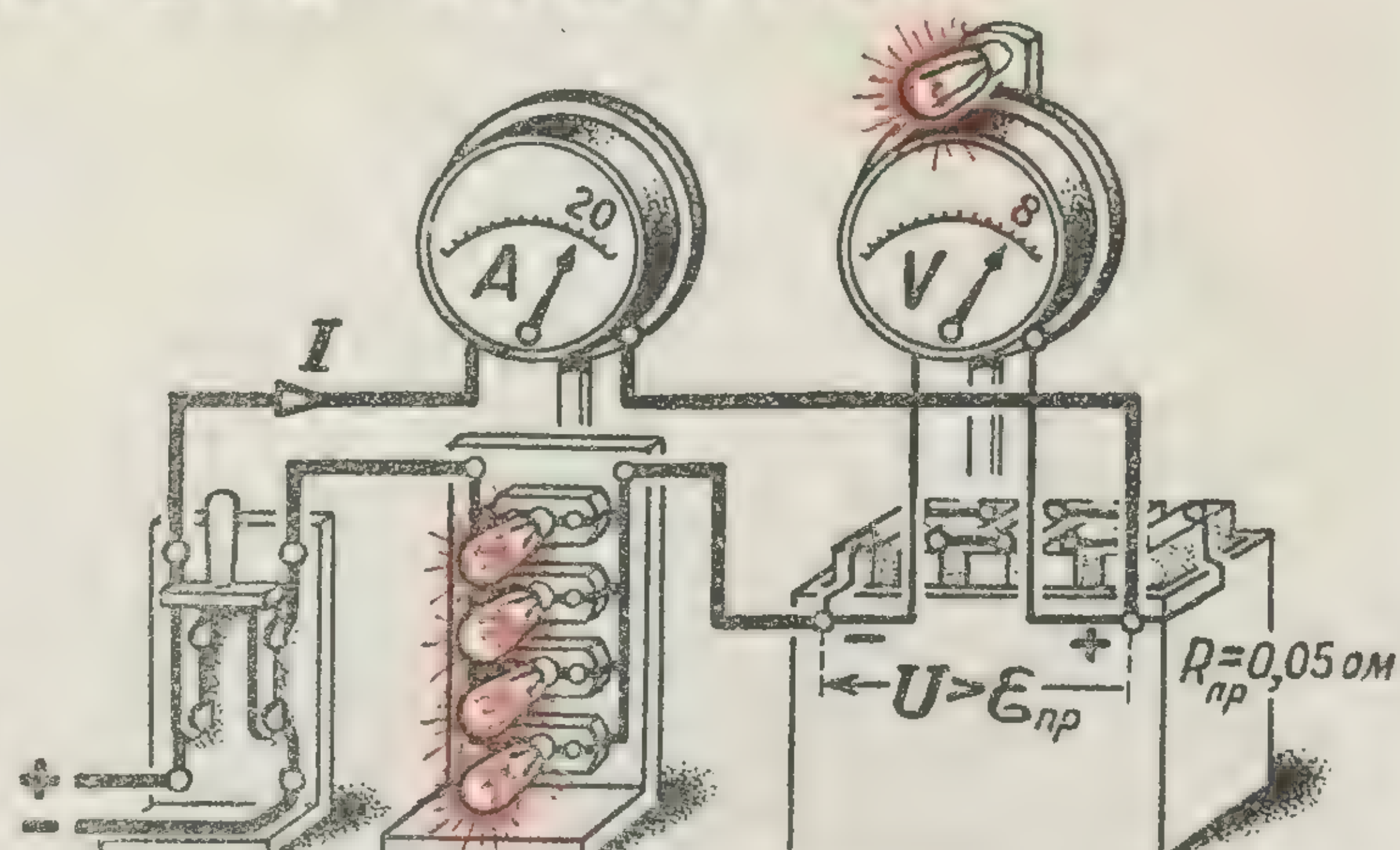
Короткое замыкание



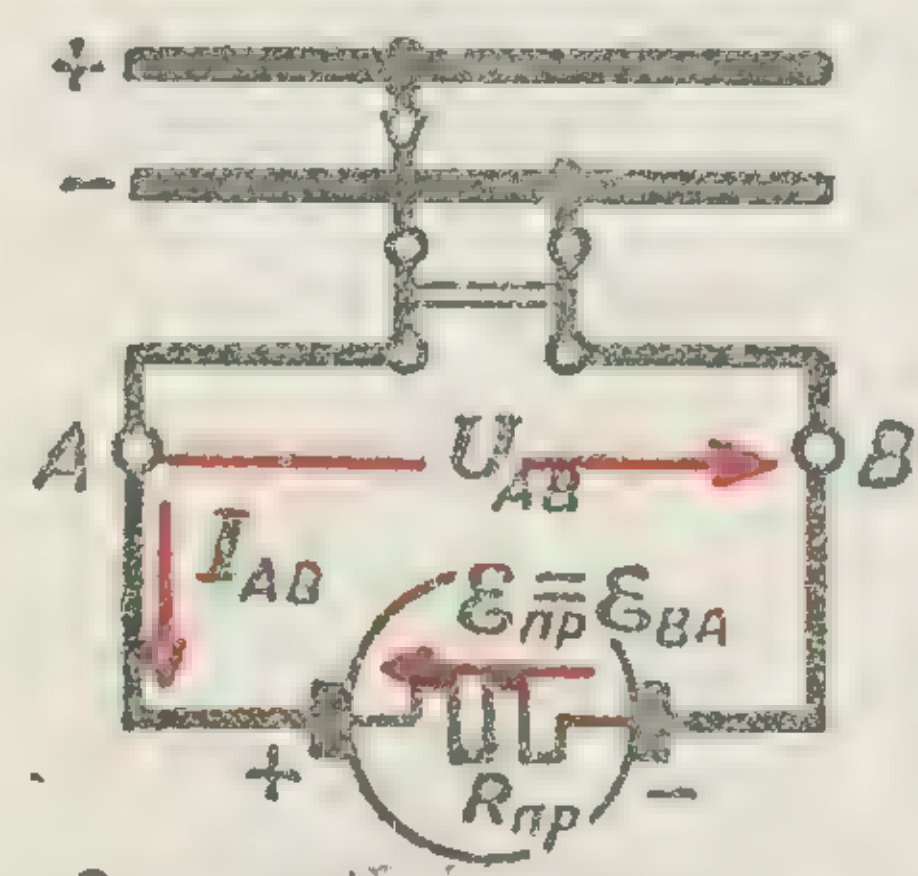
ЭЛЕКТРОДВИЖУЩАЯ СИЛА ПРИЁМНИКА И НАПРЯЖЕНИЕ НА ЕГО ЗАЖИМАХ



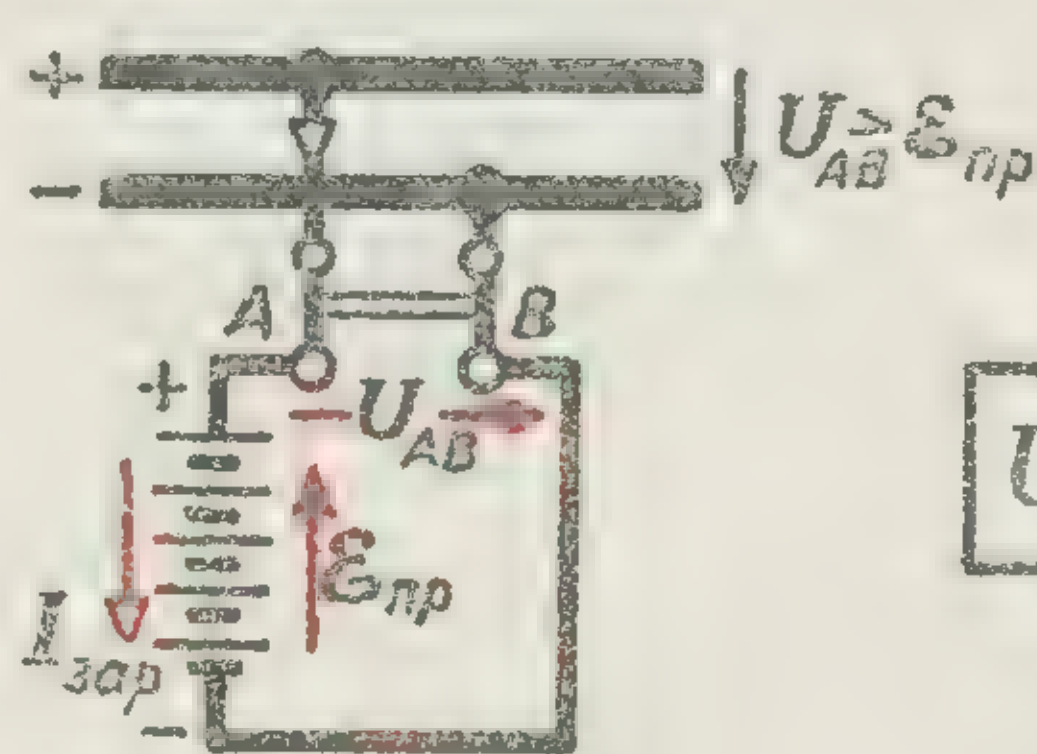
Напряжение на зажимах аккумулятора при разомкнутой цепи



Напряжение на зажимах заряжающегося аккумулятора



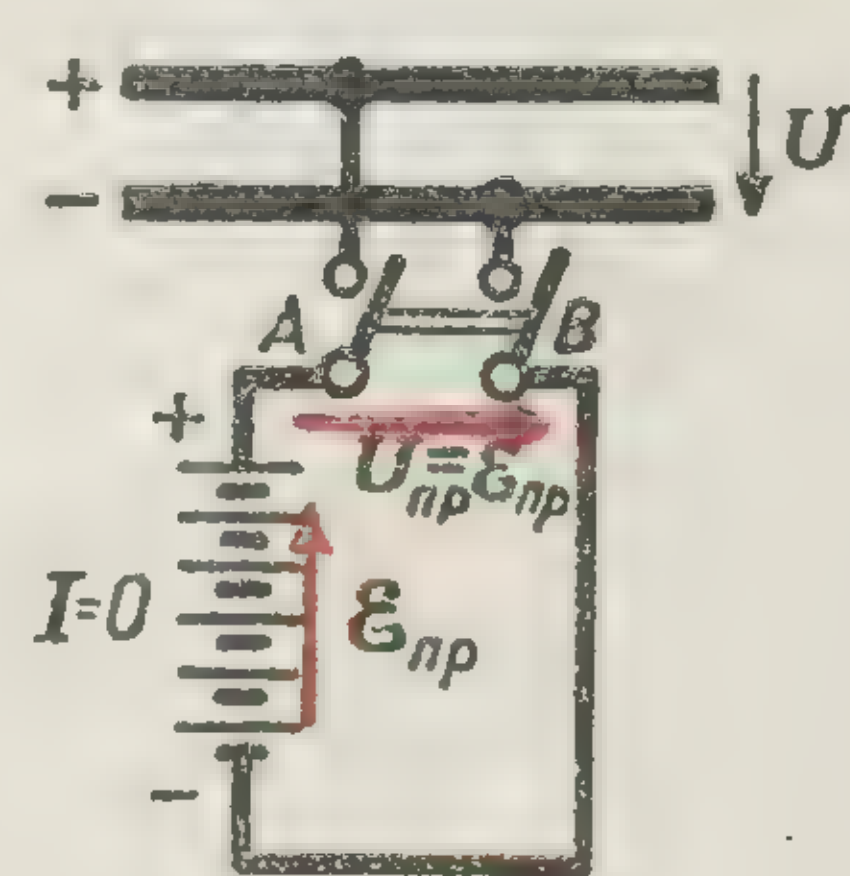
Электродвигатель (обращенный генератор)



Зарядка аккумуляторной батареи

$$U_{AB} = I_{AB} R_{пр} - \epsilon_{AB} = \epsilon_{BA} + I_{AB} R_{пр} \quad \text{В}$$

ЗАКОН ОМА
для участка цепи
с одним приемником
(ср. табл. 13)



Напряжение на зажимах отключенной батареи

ПРИЕМНИКИ ЭНЕРГИИ
(„потребители” тока)

$$U = \epsilon_{пр} + I R_{пр} \quad \text{В}$$

Напряжение на зажимах приемника больше его э.д.с. на величину внутреннего падения напряжения

$$UI = \epsilon_{пр} I + I^2 R_{пр} \quad \text{Вт}$$

Мощность, потребляемая приемником, больше преобразуемой им мощности на величину внутренней потери мощности

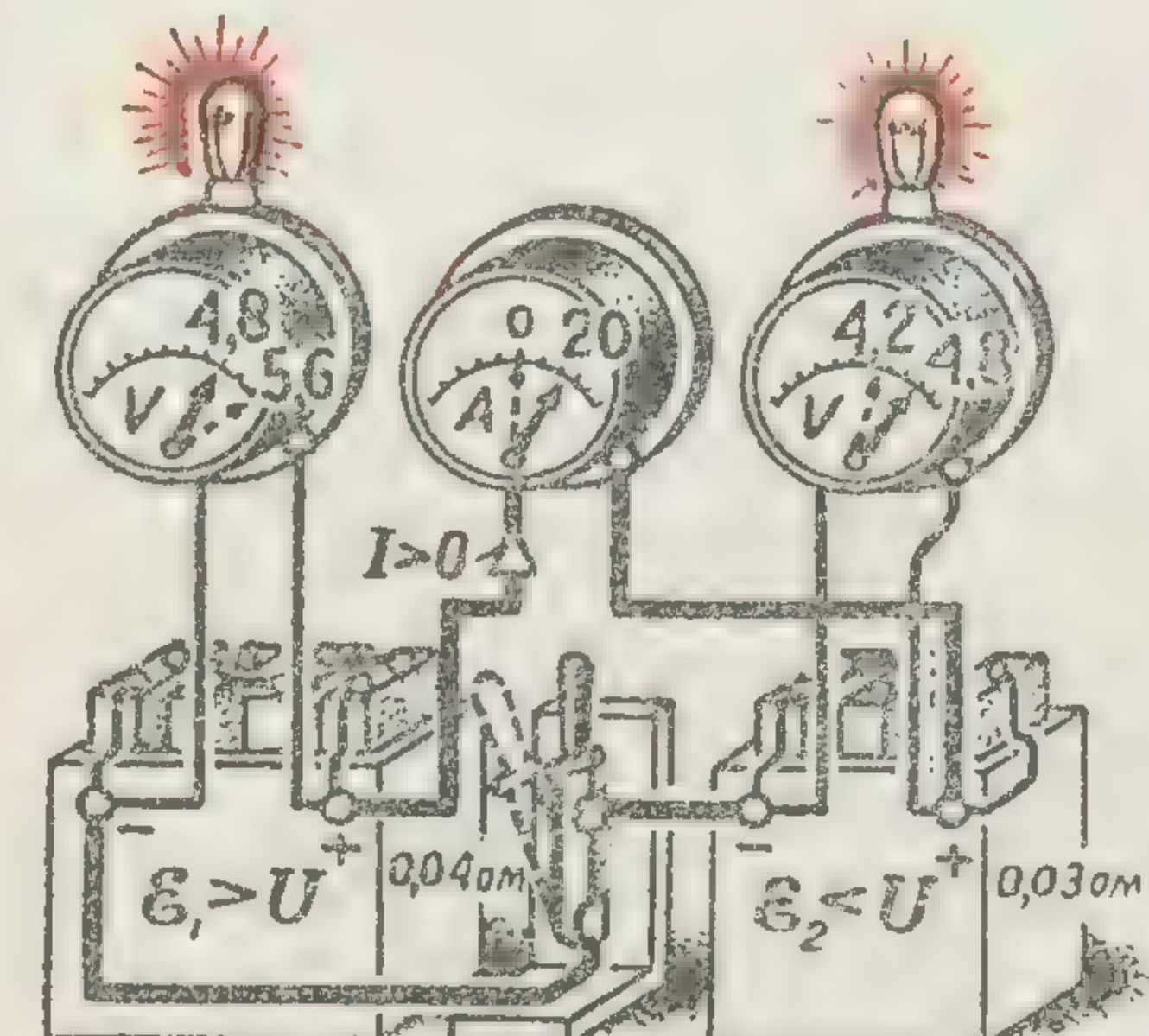
$$I_{пр} = \frac{U - \epsilon_{пр}}{R_{пр}} \quad \text{А}$$

Ток, „потребляемый” приемником

В приемнике ток направлен от плюса (+) к минусу (-) и совпадает с напряжением на зажимах. Э.д.с. же направлена от минуса (-) к плюсу (+) против тока (противо э.д.с.)

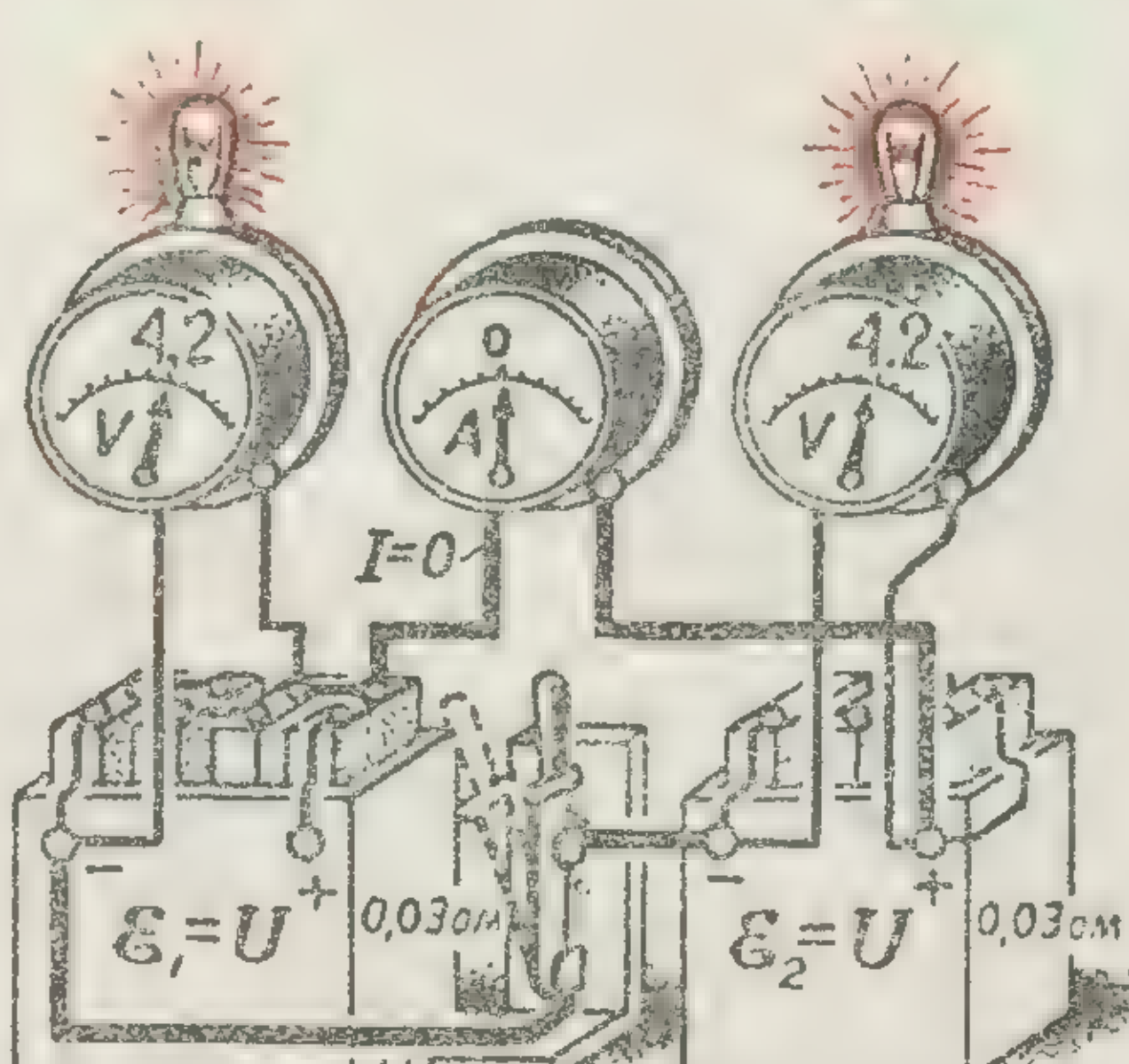
$$I_{пр} = \frac{U}{R_{пр}} \quad \text{А}$$

Ток приемника при отсутствии эдс

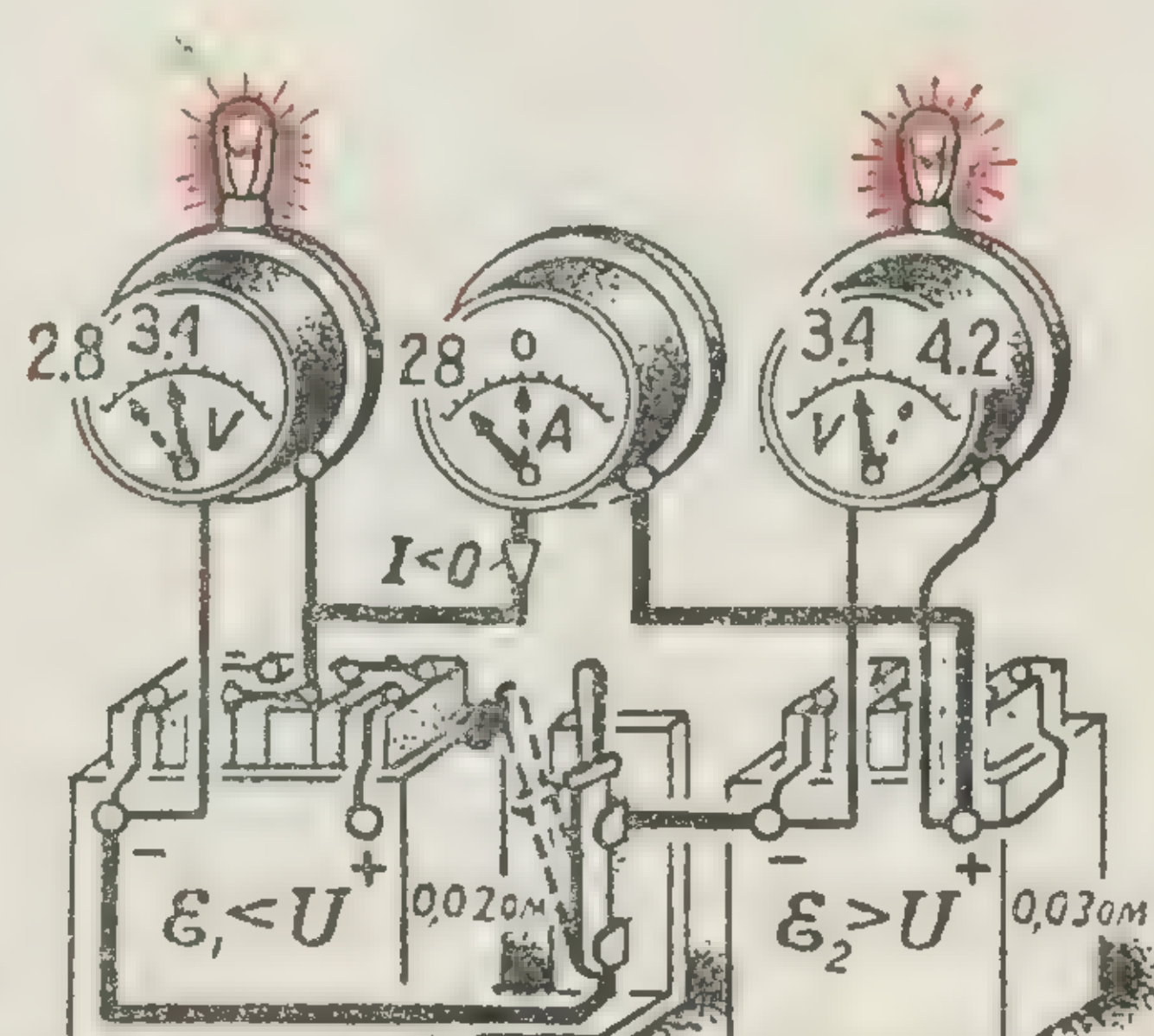


Источник (разрядка)

Приёмник (зарядка)



Встречное включение одинаковых э.д.с.



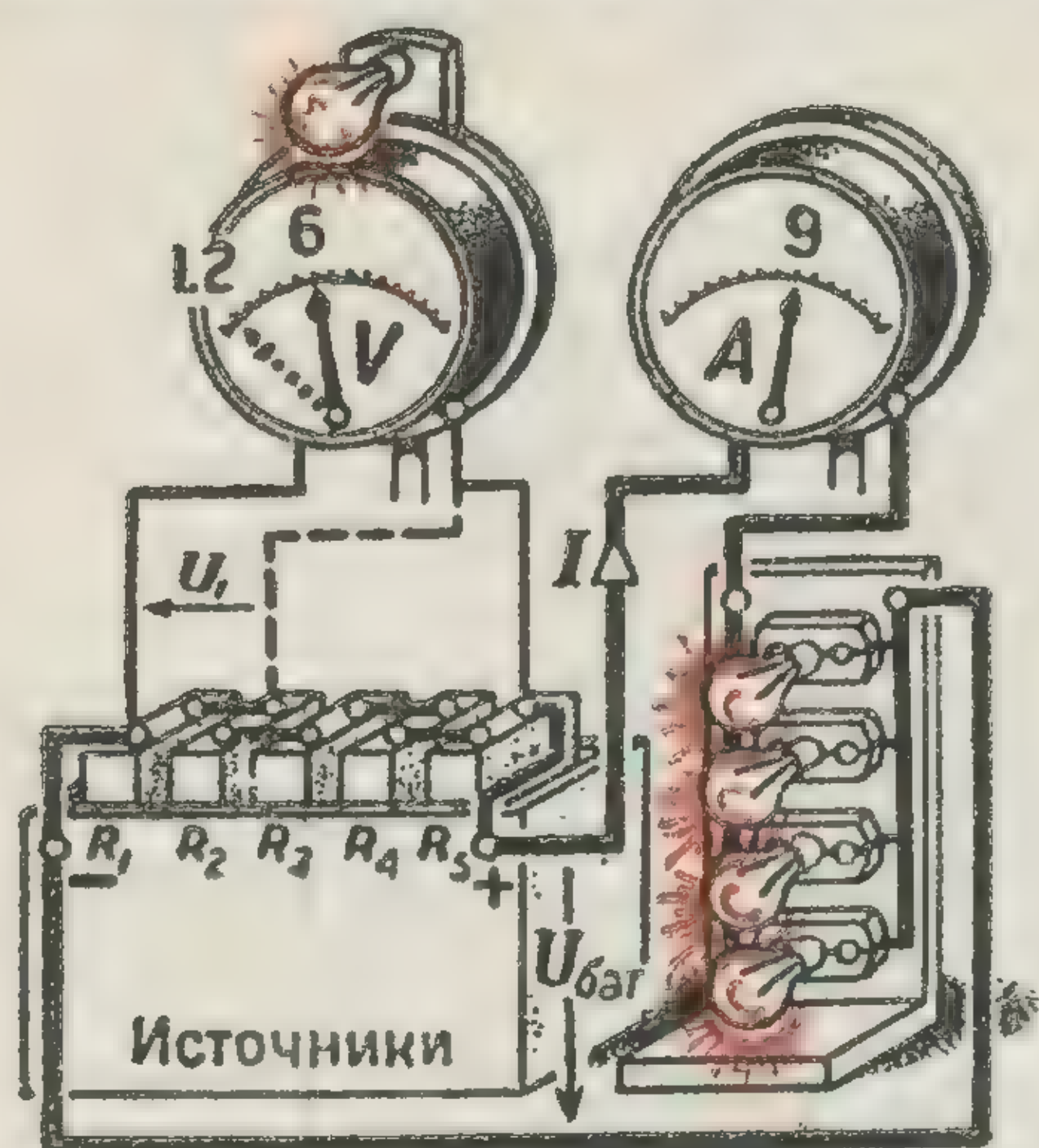
Приёмник (зарядка)

Источник (разрядка)

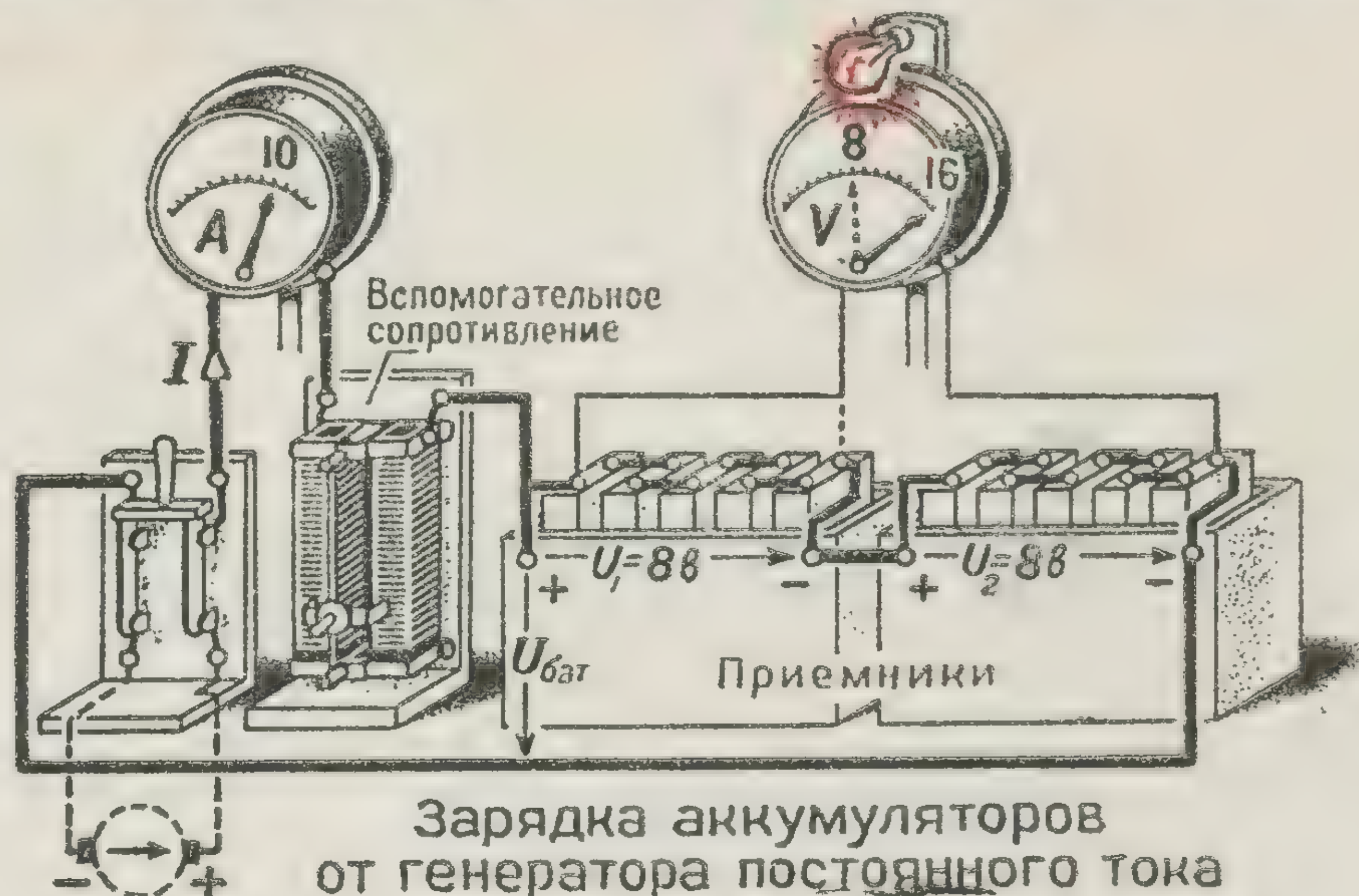
Принцип обратимости

Э.И. Расовский

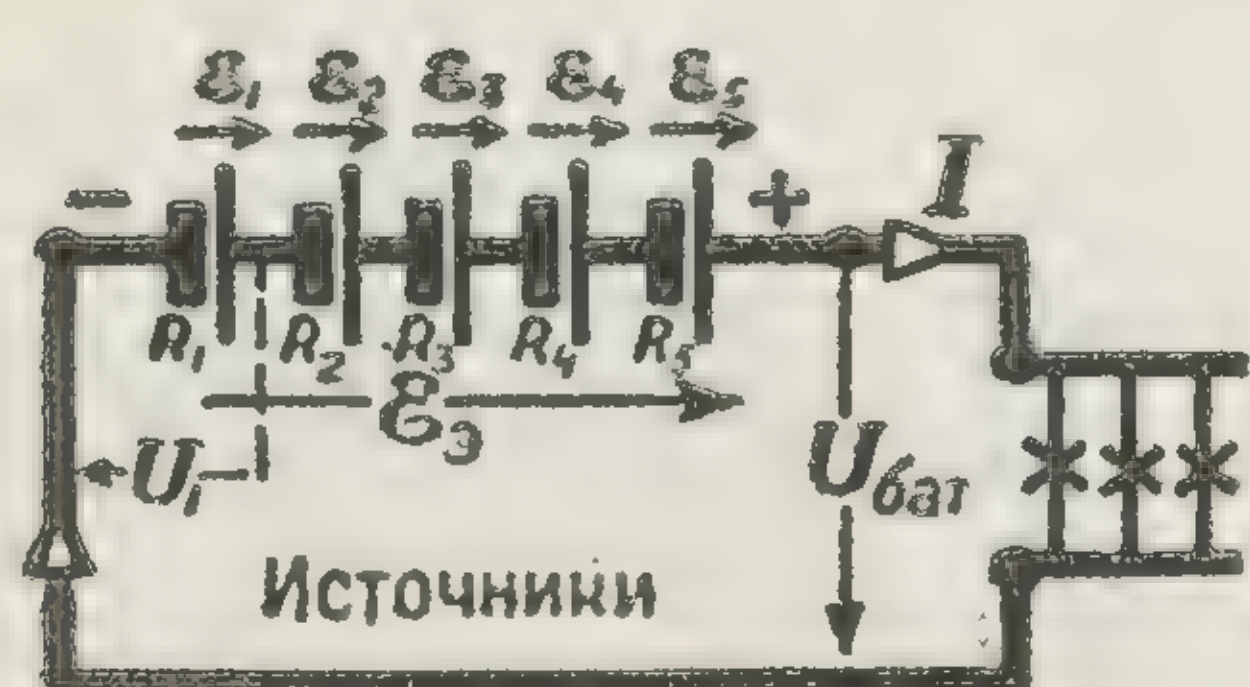
ПОСЛЕДОВАТЕЛЬНОЕ СОЕДИНЕНИЕ ИСТОЧНИКОВ И ПРИЕМНИКОВ



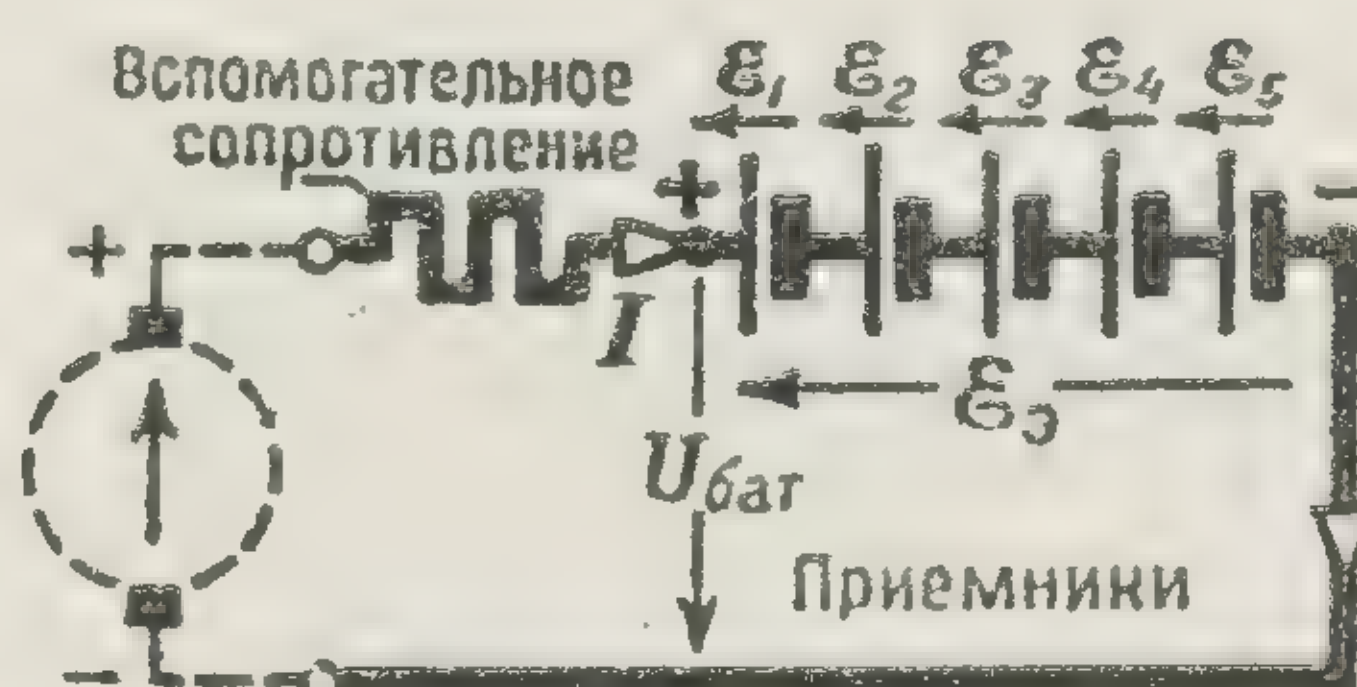
Питание низковольтных ламп от аккумуляторной батареи



Зарядка аккумуляторов от генератора постоянного тока

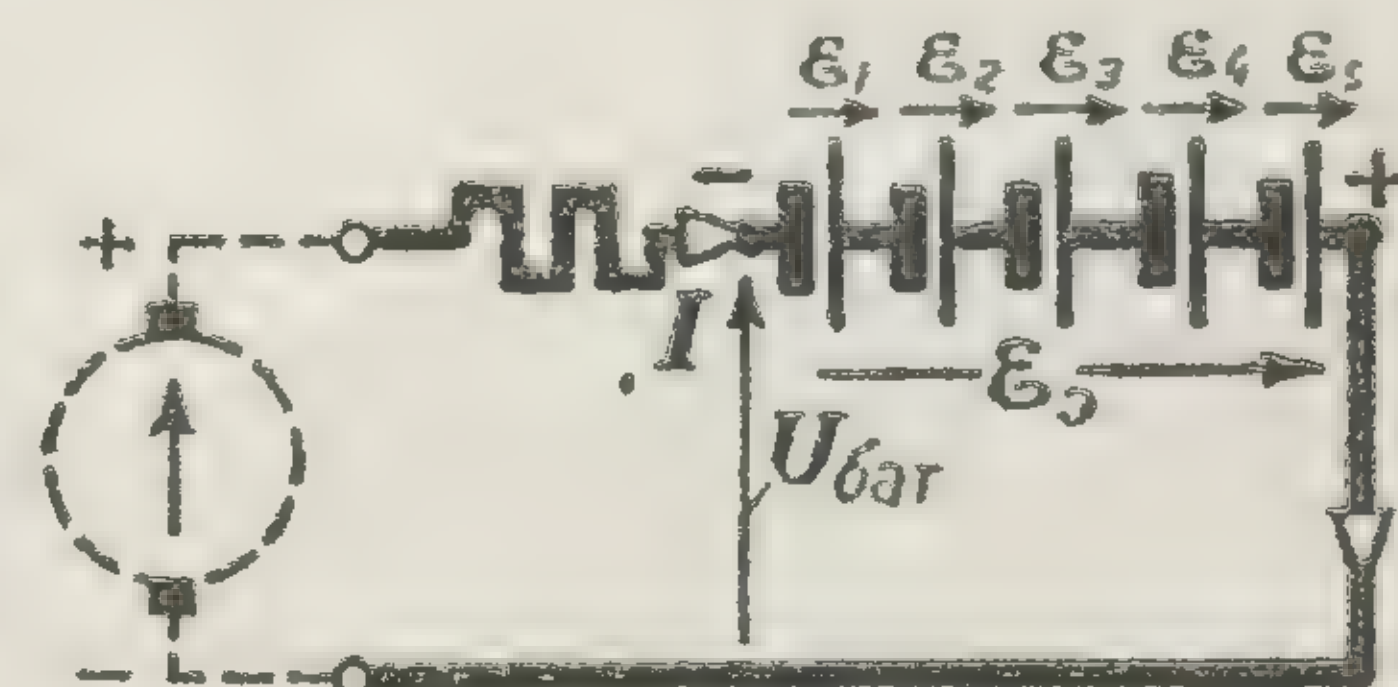


Разрядка батареи из последовательно включенных аккумуляторов



Правильное включение

Зарядка аккумуляторной батареи



Неправильное включение

$$U_{\text{бат}} = \sum U = \sum \mathcal{E} - I \sum R = \mathcal{E}_3 - I R_3 \quad \text{В}$$

Общее напряжение разряжаемой батареи

$$\mathcal{E}_3 = \sum \mathcal{E} \quad \text{В}$$

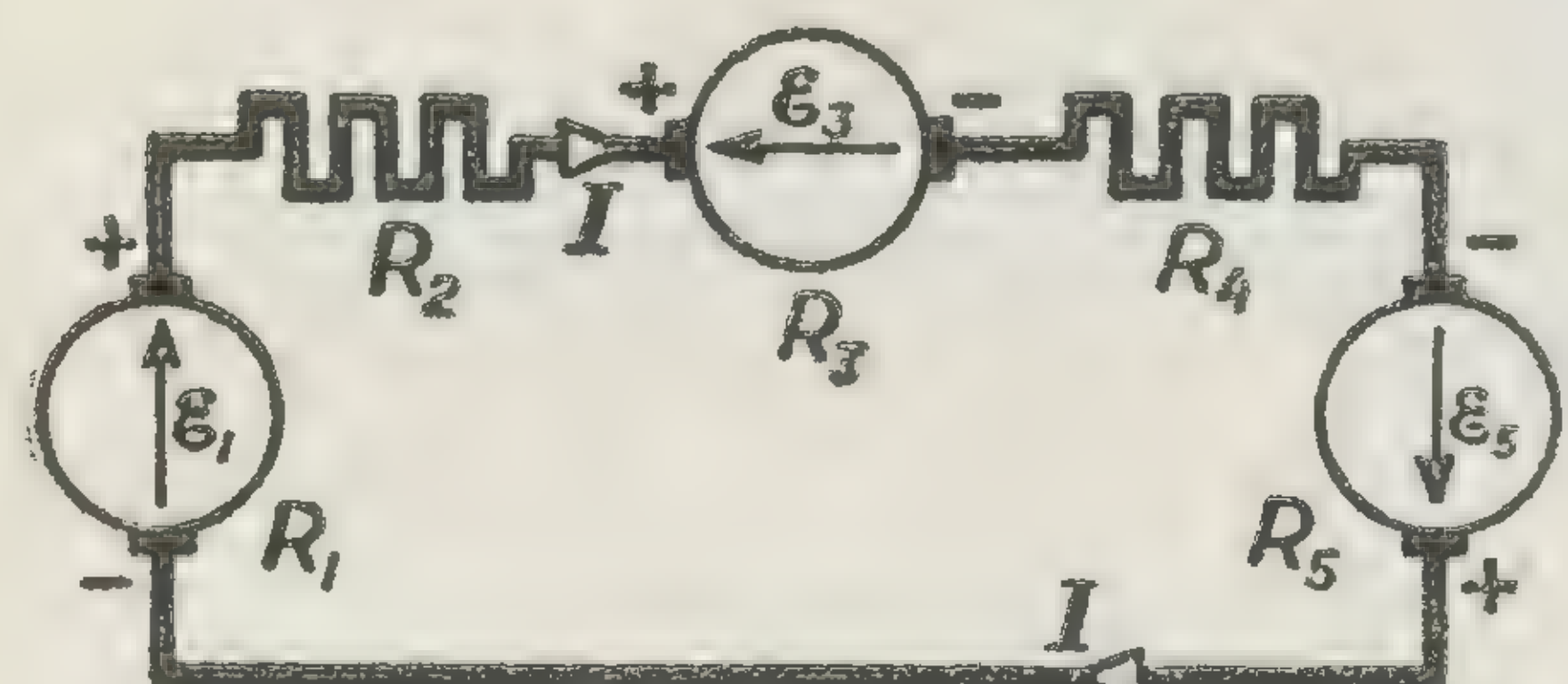
Эквивалентная э.д.с.

$$R_3 = \sum R \quad \text{Ом}$$

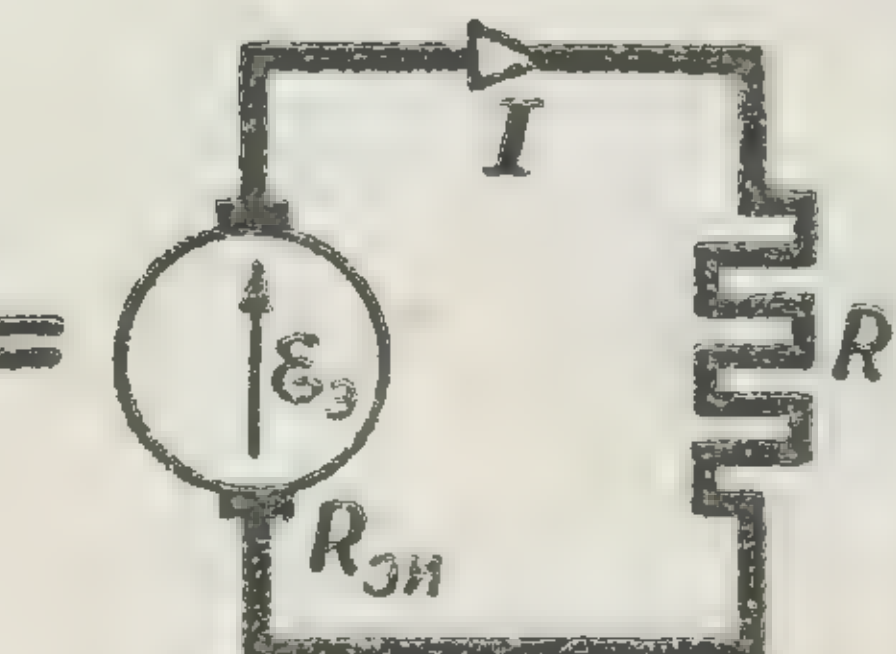
Эквивалентное сопротивление

$$U_{\text{бат}} = \sum U = \sum \mathcal{E} + I \sum R = \mathcal{E}_3 + I R_3 \quad \text{В}$$

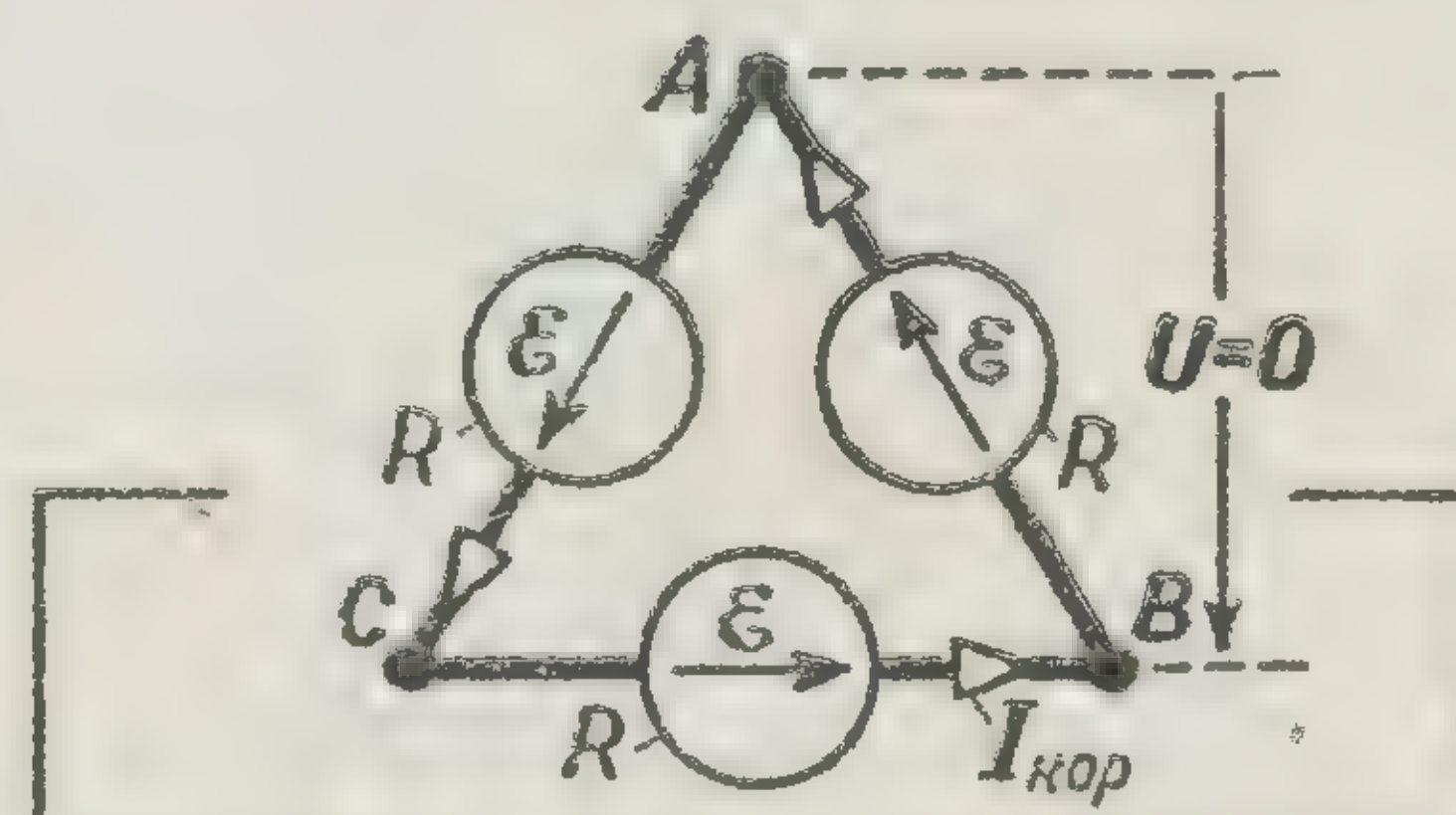
Общее напряжение заряжаемой батареи



Замкнутая последовательная цепь



Эквивалентная схема



Короткое замыкание трех источников

$$R_3 = R_1 + R_2 + \dots = \sum R_k \quad \text{Ом}$$

Общее (эквивалентное) сопротивление

$$\mathcal{E}_3 = \mathcal{E}_1 - \mathcal{E}_2 + \mathcal{E}_3 + \dots = \sum \mathcal{E}_k \quad \text{В}$$

Эквивалентная э.д.с.

$$I = \frac{\sum \mathcal{E}_k}{\sum R_k} = \frac{\mathcal{E}_3}{R_3 + R} \quad \text{А}$$

Закон Ома для замкнутой цепи

$$I_{\text{кор}} = \frac{\mathcal{E}}{R} \quad \text{А}$$

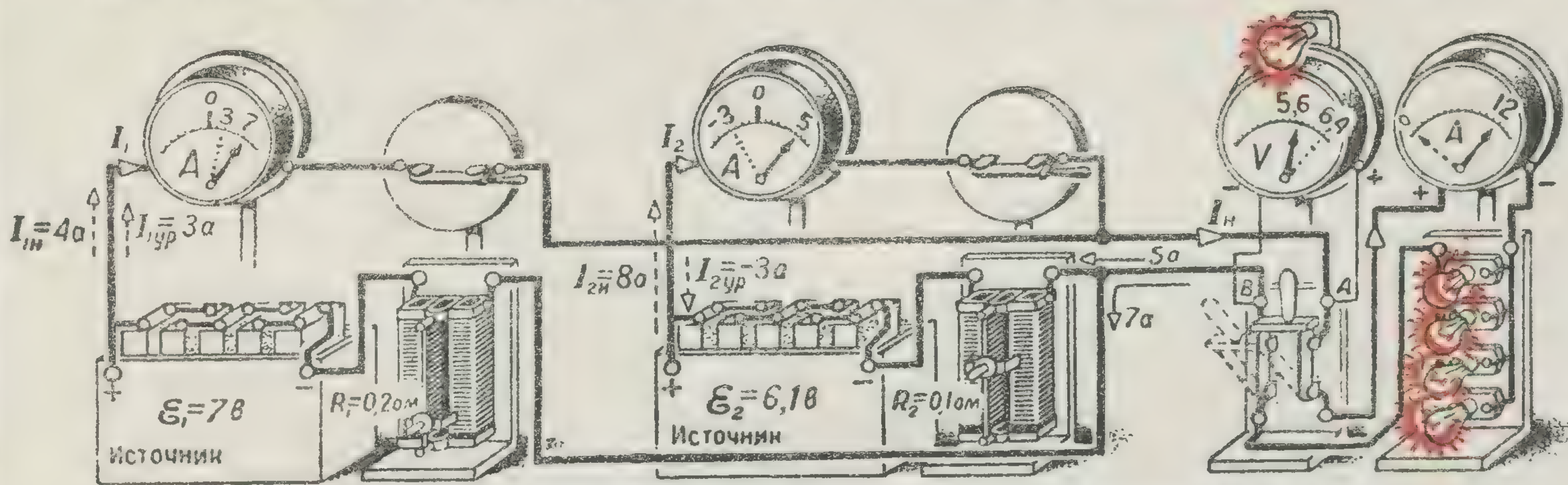
Ток короткого замыкания

$$U_{\text{AB}} = U_{\text{BC}} = U_{\text{CA}} = 0 \quad \text{В}$$

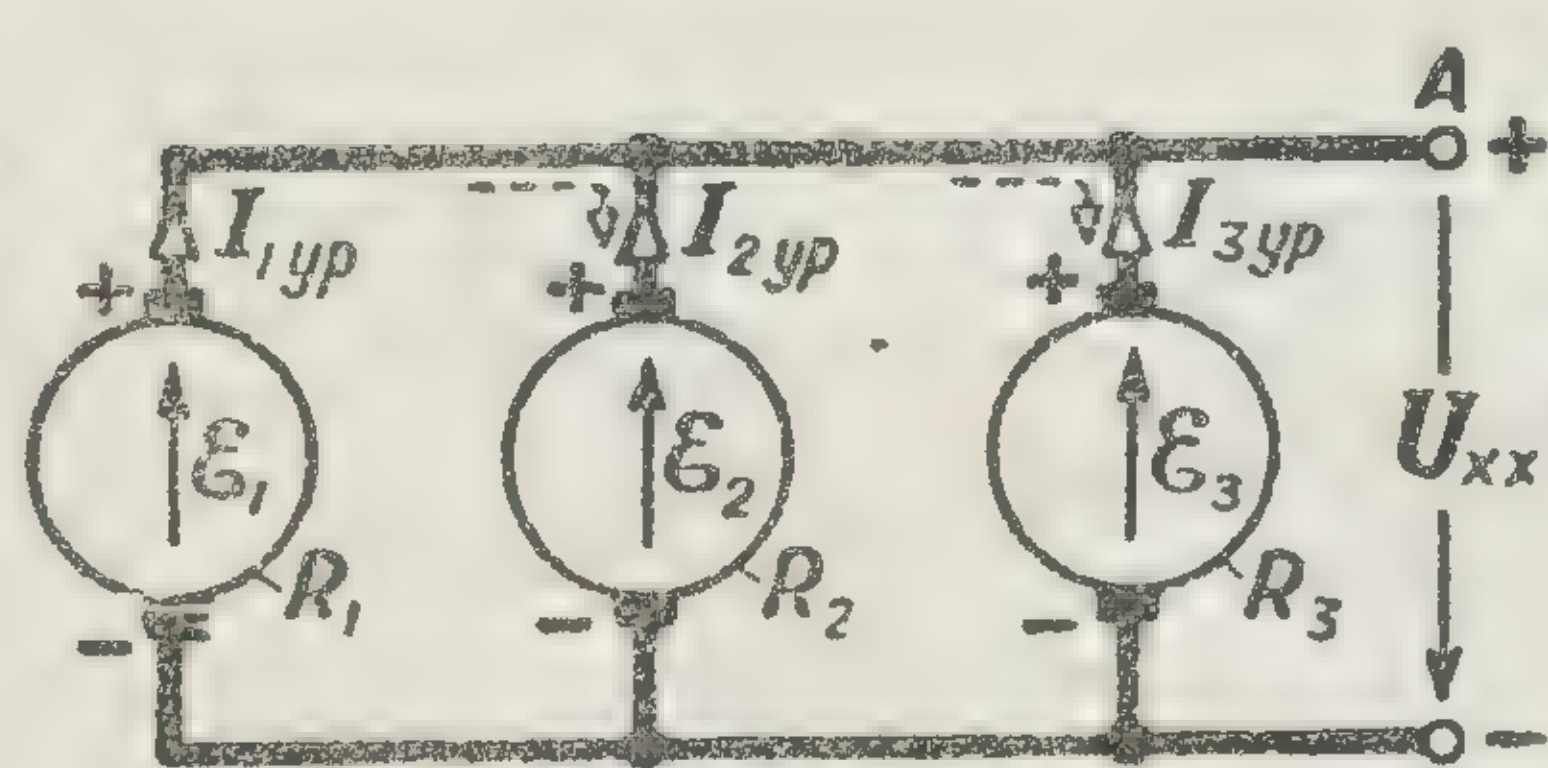
Напряжение на зажимах

В замкнутой неразветвленной электрической цепи общее сопротивление равно сумме сопротивлений отдельных участков. Эквивалентная э.д.с. равна алгебраической сумме отдельных э.д.с.

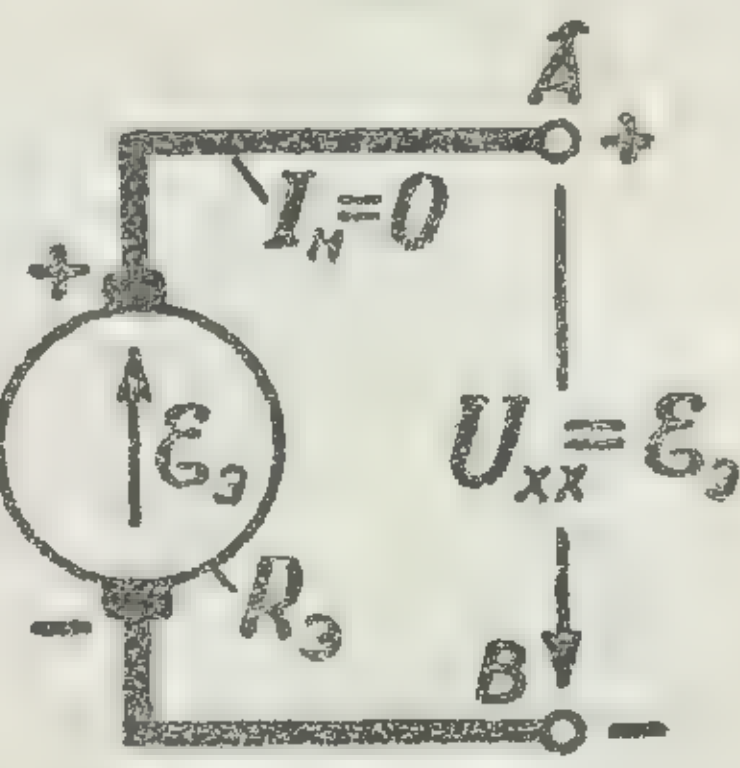
ПАРАЛЛЕЛЬНОЕ СОЕДИНЕНИЕ ИСТОЧНИКОВ ИЛИ ПРИЕМНИКОВ



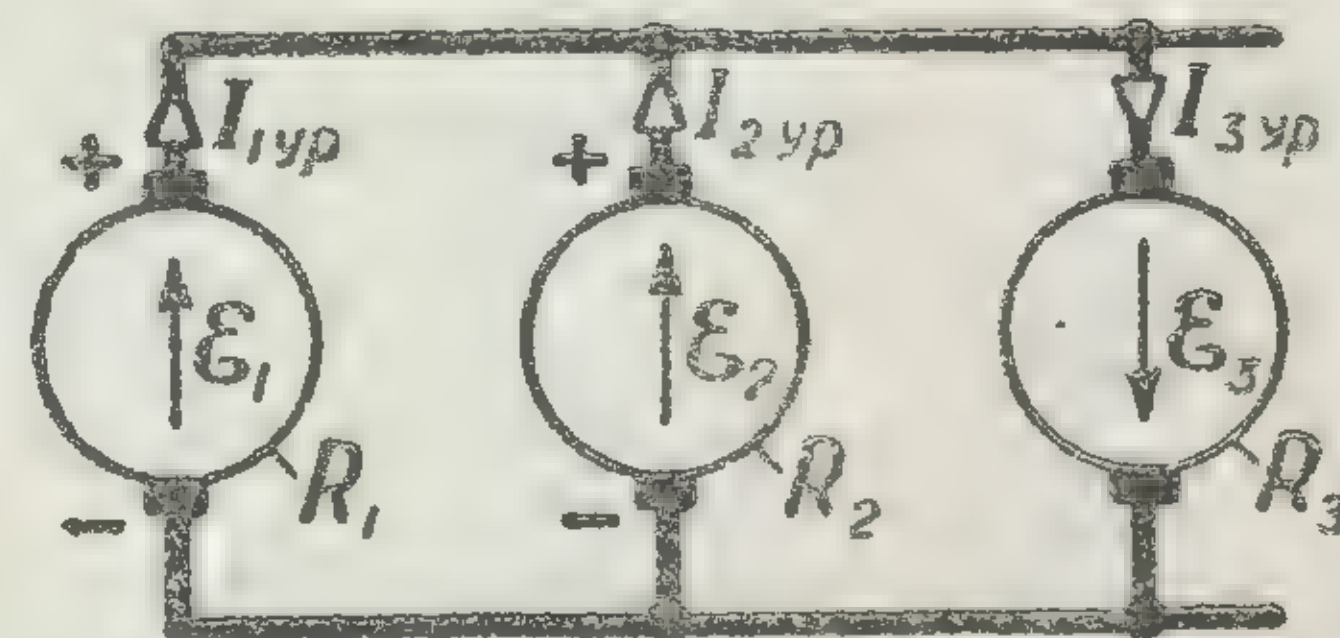
Питание осветительной нагрузки двумя параллельно соединенными аккумуляторами



Холостой ход
параллельно включенных источников



Эквивалентный
источник



НЕПРАВИЛЬНОЕ включение
третьего источника на параллельную работу

$$\frac{1}{R_3} = \frac{1}{R_1} + \frac{1}{R_2} + \frac{1}{R_3} = \sum \frac{1}{R_n} = \sum g_n \quad \frac{1}{\text{ОМ}}$$

Проводимость
эквивалентного источника

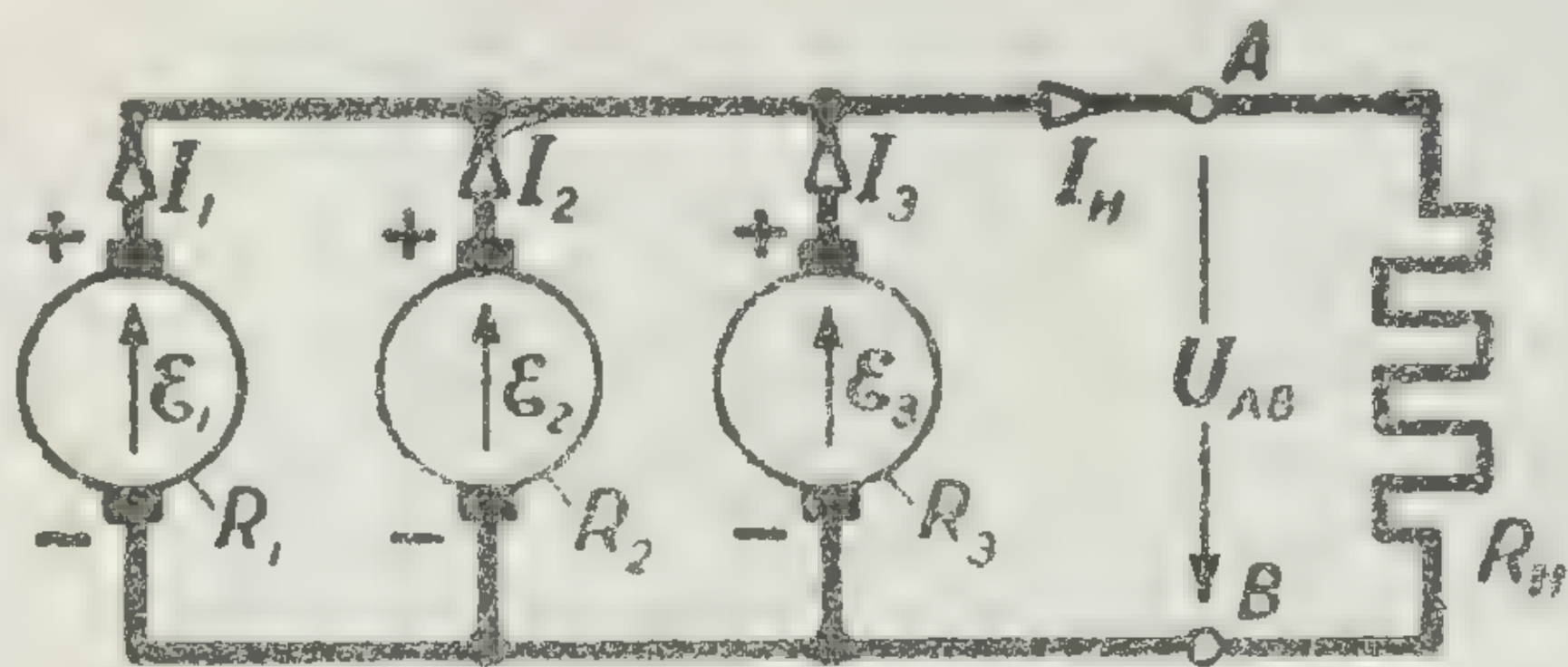
$$\varepsilon_3 = U_{xx} = R_3 \cdot \sum I_{кор} = R_3 \cdot \sum \frac{\varepsilon_n}{R_n} = \frac{\sum \varepsilon_n g_n}{\sum g_n} \text{ В}$$

Э.д.с. эквивалентного источника
(напряжение холостого хода)

$$I_{ур} = \frac{\varepsilon_1 - U_{xx}}{R_1} \text{ а}$$

Уравнительный ток
одного из источников
при холостом ходе

ХОЛОСТОЙ ХОД



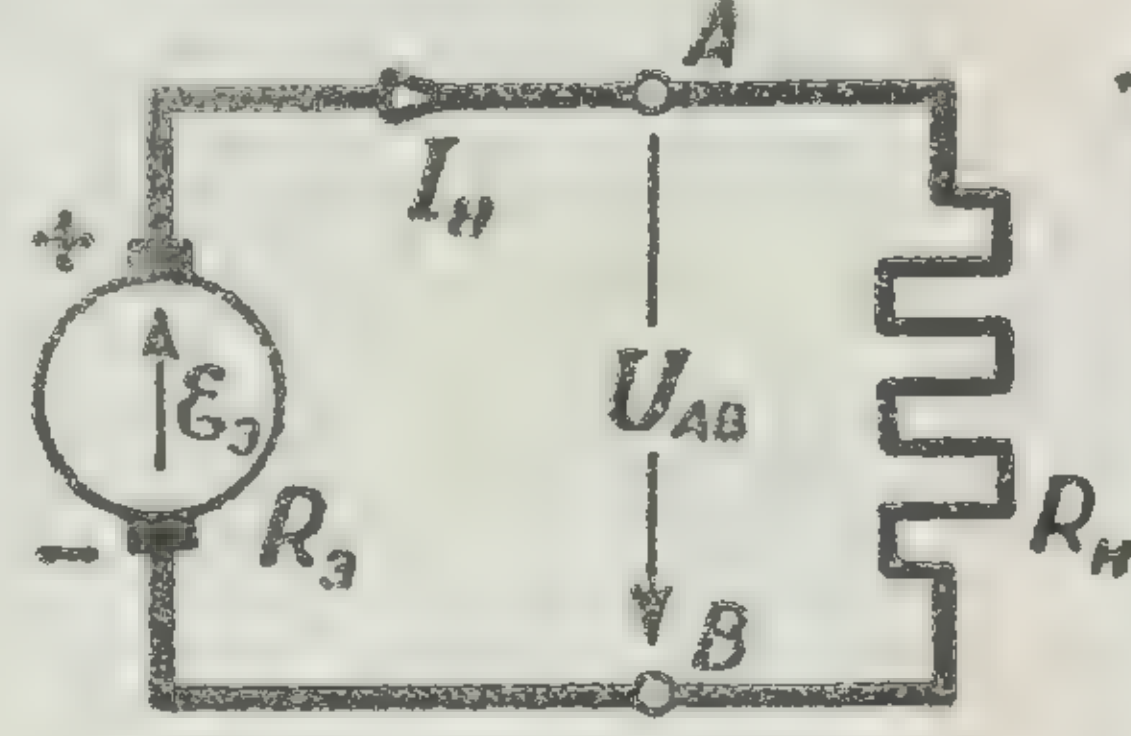
Нагрузка параллельно
соединенных источников

$$I_n = \frac{\varepsilon_3}{R_3 + R_n} = I_{1n} + I_{2n} + I_{3n} = I_1 + I_2 + I_3 \text{ а}$$

Общий ток нагрузки.

$$U_{ав} = \varepsilon_3 - I_n R_3 = I_n R_n \text{ В}$$

Общее напряжение



Эквивалентная
схема

$$I_{1n} : I_{2n} : I_{3n} = I_n \frac{R_3}{R_1} : I_n \frac{R_3}{R_2} : I_n \frac{R_3}{R_3} = \frac{1}{R_1} : \frac{1}{R_2} : \frac{1}{R_3}$$

Распределение тока нагрузки
между источниками

$$I_1 = I_{ур} + I_{1n} = \frac{\varepsilon_1 - U_{xx}}{R_1} + I_n \frac{R_3}{R_1} = \frac{\varepsilon_1 - U_{ав}}{R_1} \text{ а}$$

Ток одного из источников
при нагрузке

$$R_3 = \frac{R_1}{n}; \varepsilon_3 = \varepsilon_1; I_1 = \frac{I_n}{n}$$

Частный случай
n одинаковых источников

НАГРУЗКА

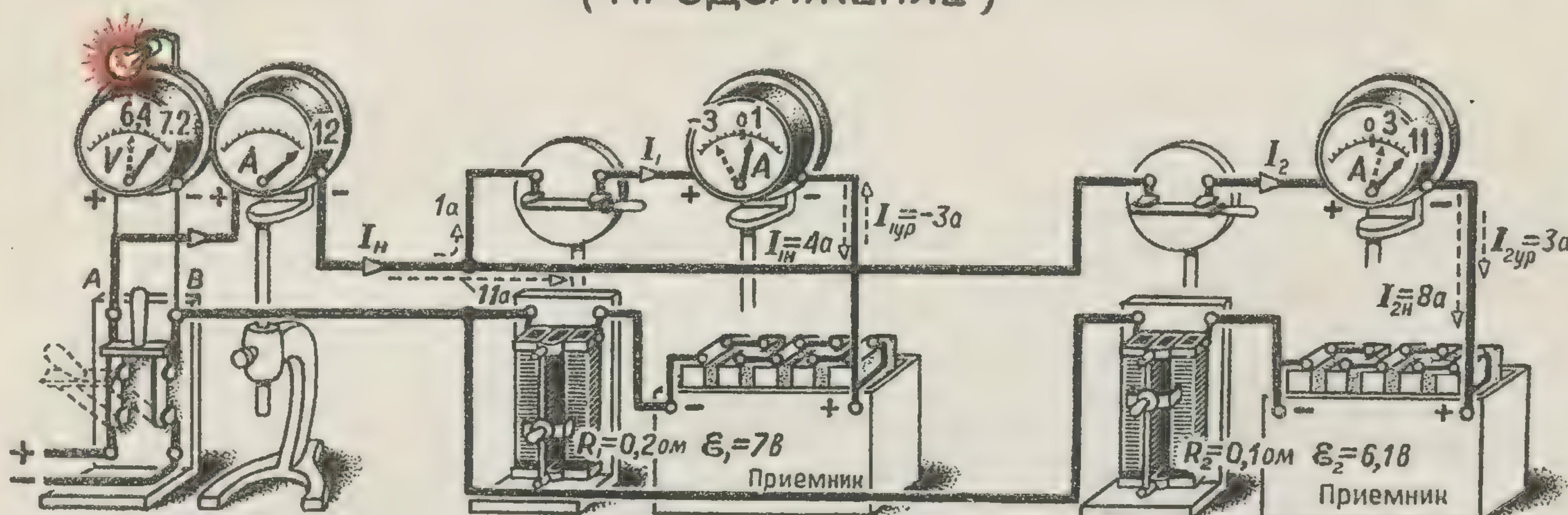
При параллельном соединении источников (или приемников)
проводимость эквивалентного источника (приемника),
равна сумме отдельных проводимостей

Эквивалентная э.д.с. равна общему току короткого замыкания источников (приемников),
помноженному на их эквивалентное сопротивление

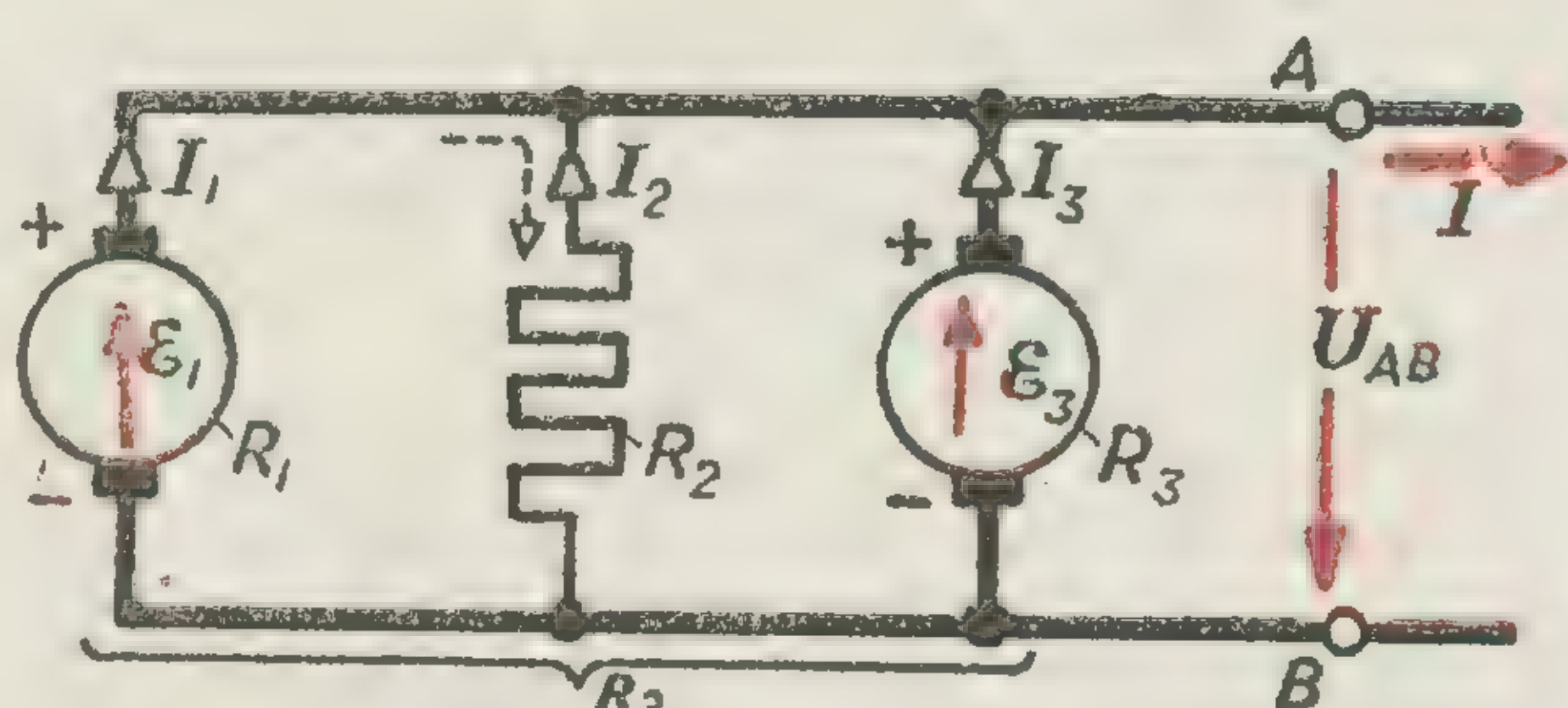
Общий ток нагрузки распределяется между отдельными источниками (приемниками)
обратно пропорционально их сопротивлениям

Ток каждого источника (приемника) состоит из его тока нагрузки
и уравнительного тока при холостом ходе

ПАРАЛЛЕЛЬНОЕ СОЕДИНЕНИЕ ИСТОЧНИКОВ ИЛИ ПРИЕМНИКОВ (ПРОДОЛЖЕНИЕ)



Зарядка параллельно включенных аккумуляторов



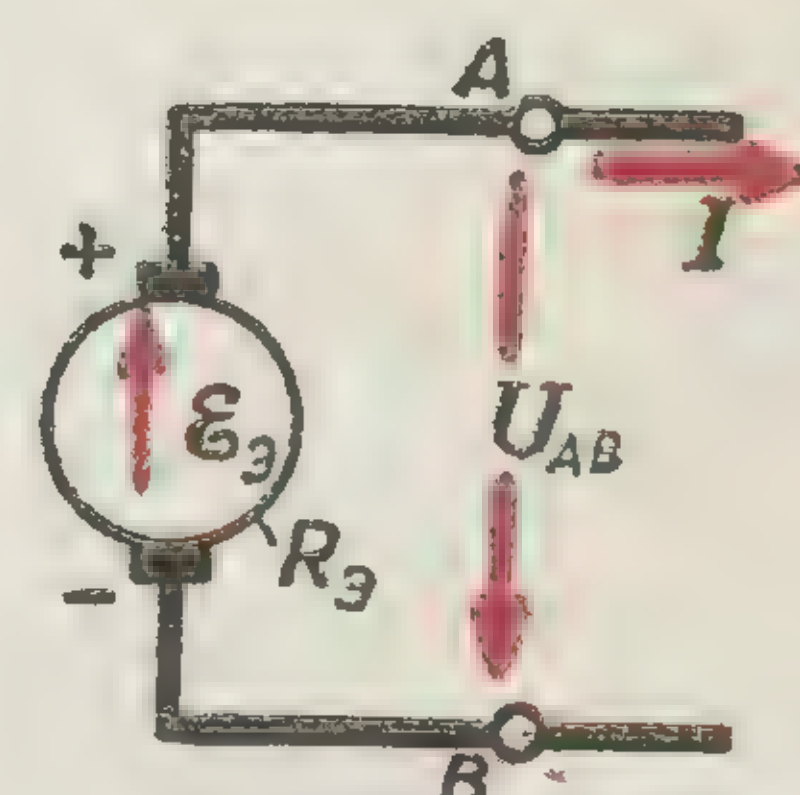
Исходная схема

$$\frac{1}{R_3} = \frac{1}{R_1} + \frac{1}{R_2} + \dots = \sum \frac{1}{R} \quad \frac{1}{\text{Ом}}$$

Проводимость эквивалентной ветви

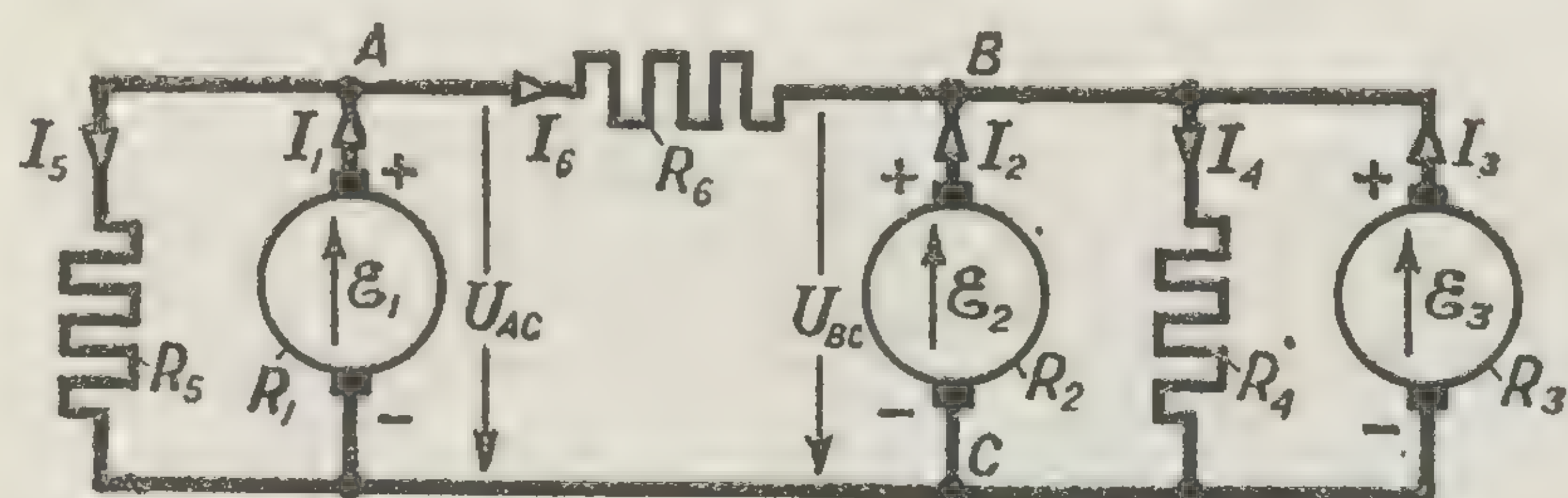
$$\mathcal{E}_3 = R_3 \cdot \sum I_{\text{кор}} = \frac{\sum \mathcal{E} g}{\sum g} \quad \text{В}$$

Эквивалентная э.д.с.

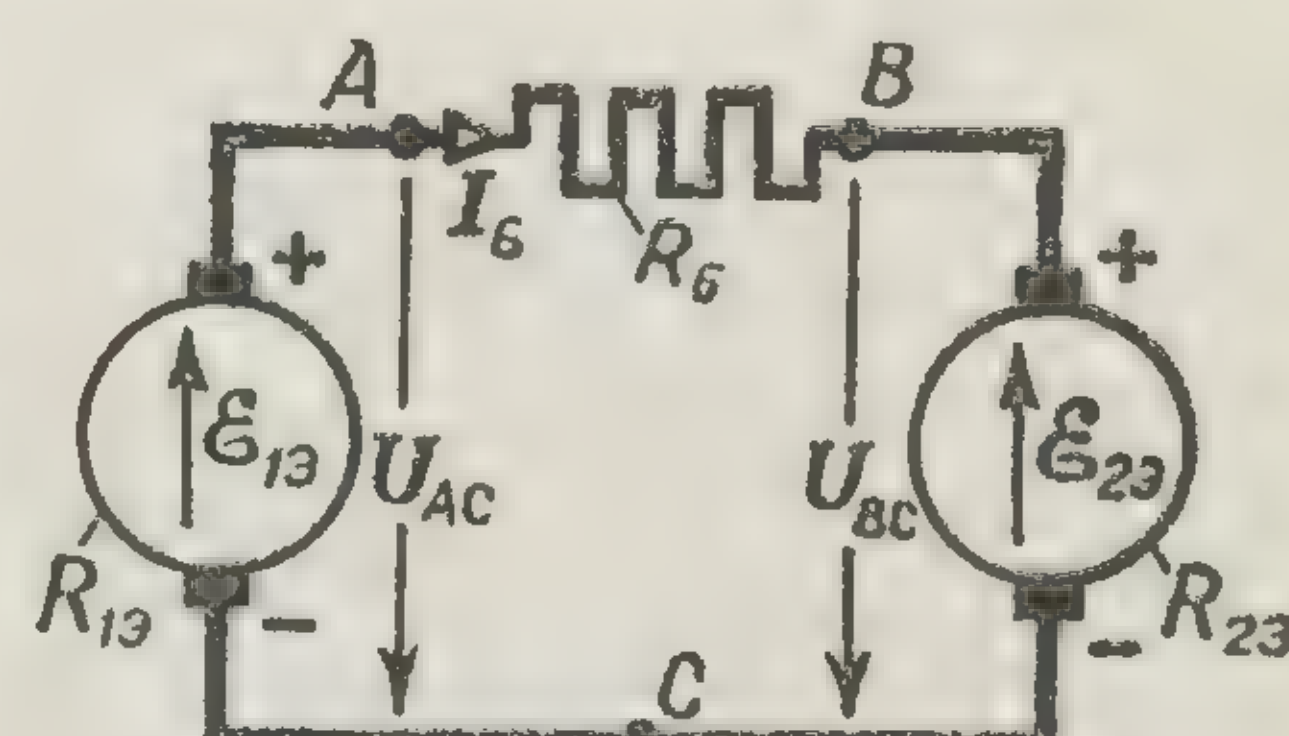


Эквивалентная ветвь

Общий случай параллельного соединения нескольких ветвей



Разветвленная цепь с несколькими источниками



Эквивалентная схема

$$R_{13} = \frac{R_1 R_5}{R_1 + R_5} \quad \text{Ом}$$

Сопротивления и э.д.с. эквивалентных источников

$$\mathcal{E}_{13} = R_{13} I_{\text{кор}} = R_{13} \frac{\mathcal{E}_1}{R_1} \quad \text{В}$$

$$I_{\text{уп}} = I_6 = \frac{\mathcal{E}_{13} - \mathcal{E}_{23}}{R_{13} + R_6 + R_{23}} \quad \text{А}$$

Уравнивающий ток в эквивалентной схеме

$$U_{AC} = \mathcal{E}_{13} - I_6 R_{13} \quad \text{В}$$

Напряжения и токи в исходной схеме

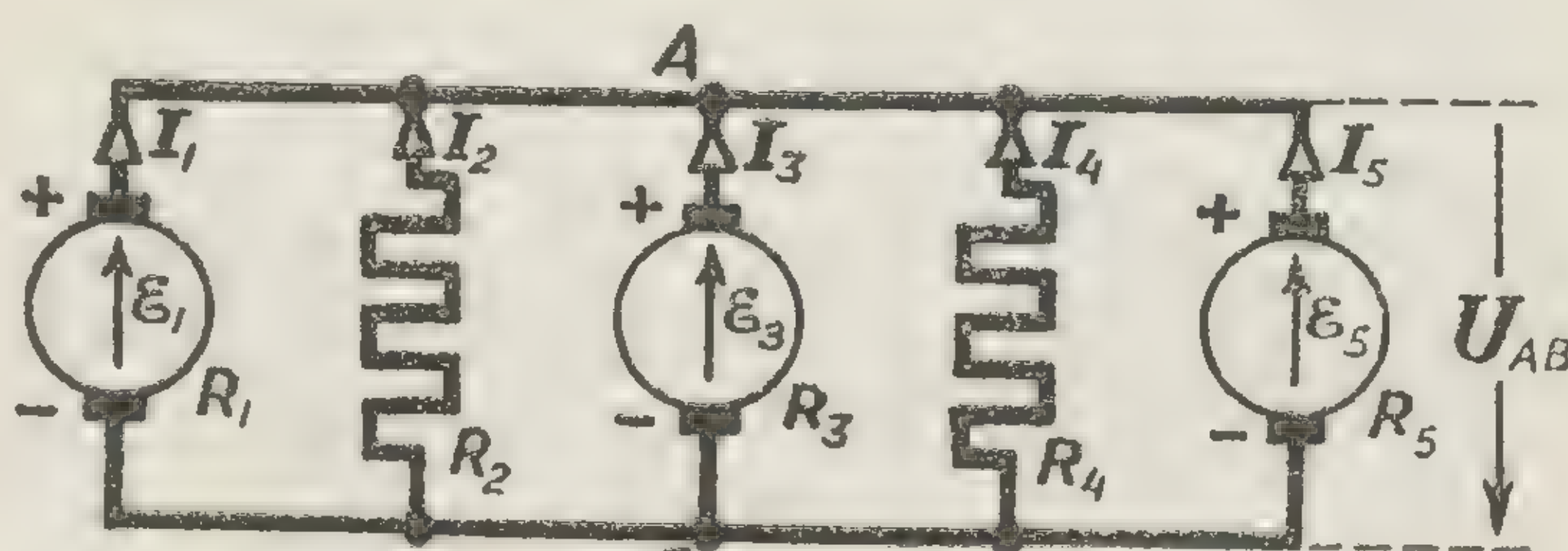
$$I_1 = \frac{\mathcal{E}_1 - U_{AC}}{R_1}; I_5 = \frac{U_{AC}}{R_5}$$

$$I_2 = \frac{\mathcal{E}_2 - U_{BC}}{R_2}; I_4 = \frac{U_{BC}}{R_4}; I_3 = \frac{\mathcal{E}_3 - U_{BC}}{R_3} \quad \text{А}$$

Пример расчета разветвленной цепи методом эквивалентной э.д.с.

$$U_{AB} = \frac{\sum \mathcal{E} g}{\sum g} \quad \text{В}$$

Узловое напряжение

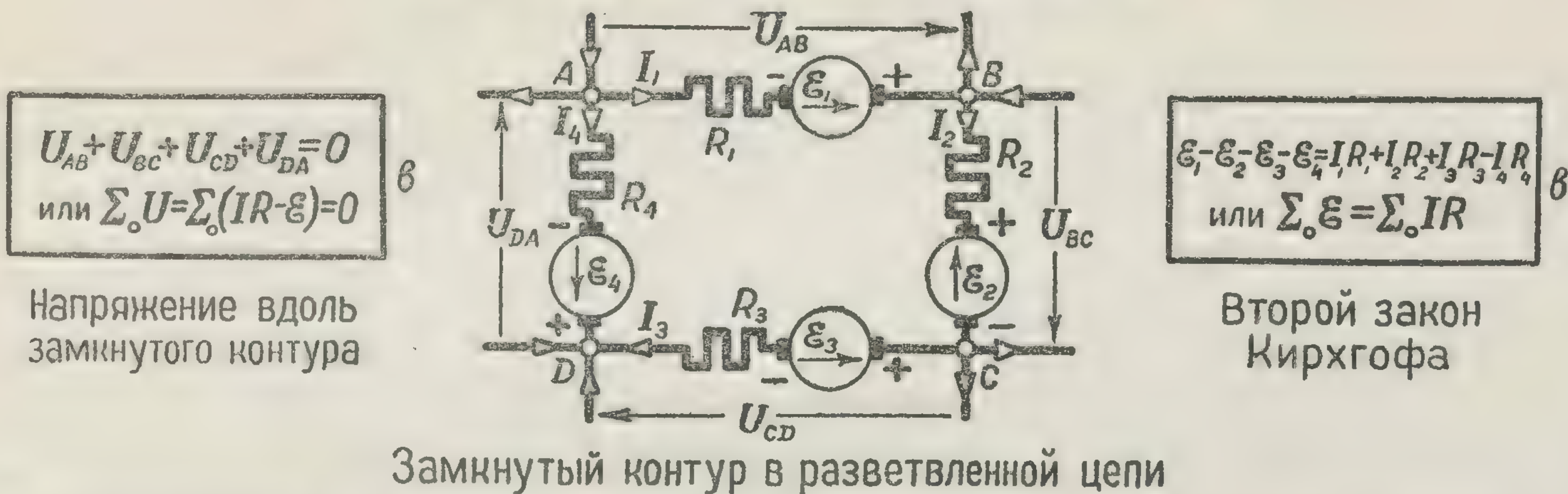


Частный случай цепи с двумя узлами

$$I_1 = \frac{\mathcal{E}_1 - U_{AB}}{R_1} \quad \text{А}$$

Ток в одной из ветвей

РАЗВЕТВЛЕННЫЕ ЦЕПИ



$$\sum_0 \mathcal{E} = \sum_0 IR$$

В замкнутом контуре алгебраическая сумма э.д.с. равна алгебраической сумме падений напряжения

Второй закон кирхгофа



$$R_{13} = \frac{R_1 R_2}{R_1 + R_2} \text{ Ом}$$

Сопротивление и э.д.с. эквивалентного источника

$$\mathcal{E}_{13} = \frac{\mathcal{E}_1 R_2}{R_1 + R_2} = R_{13} \cdot \frac{\mathcal{E}_1}{R_1}$$

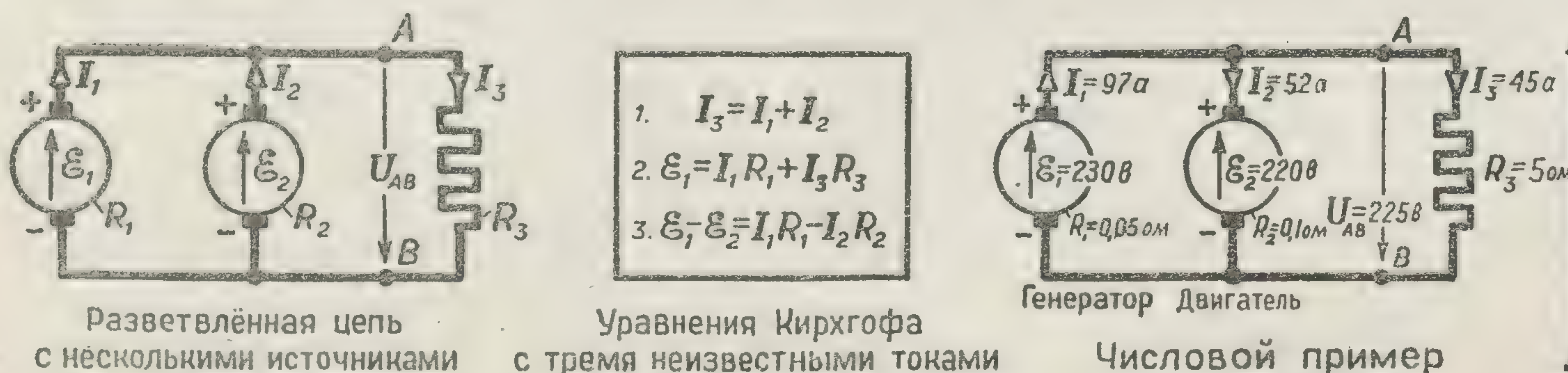
Уравнительный ток

$$I_{yp} = \frac{\mathcal{E}_{13} + \mathcal{E}_{23} + \mathcal{E}_{33}}{R_{13} + R_{23} + R_{33}}$$

Напряжения и токи в исходной схеме

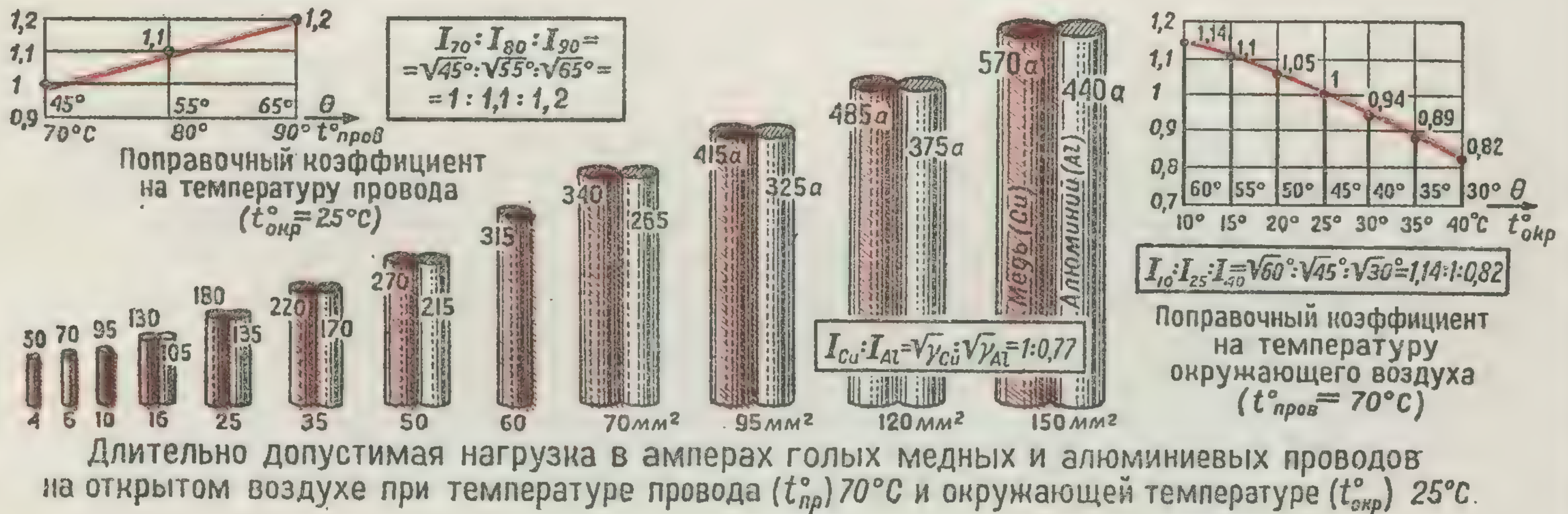
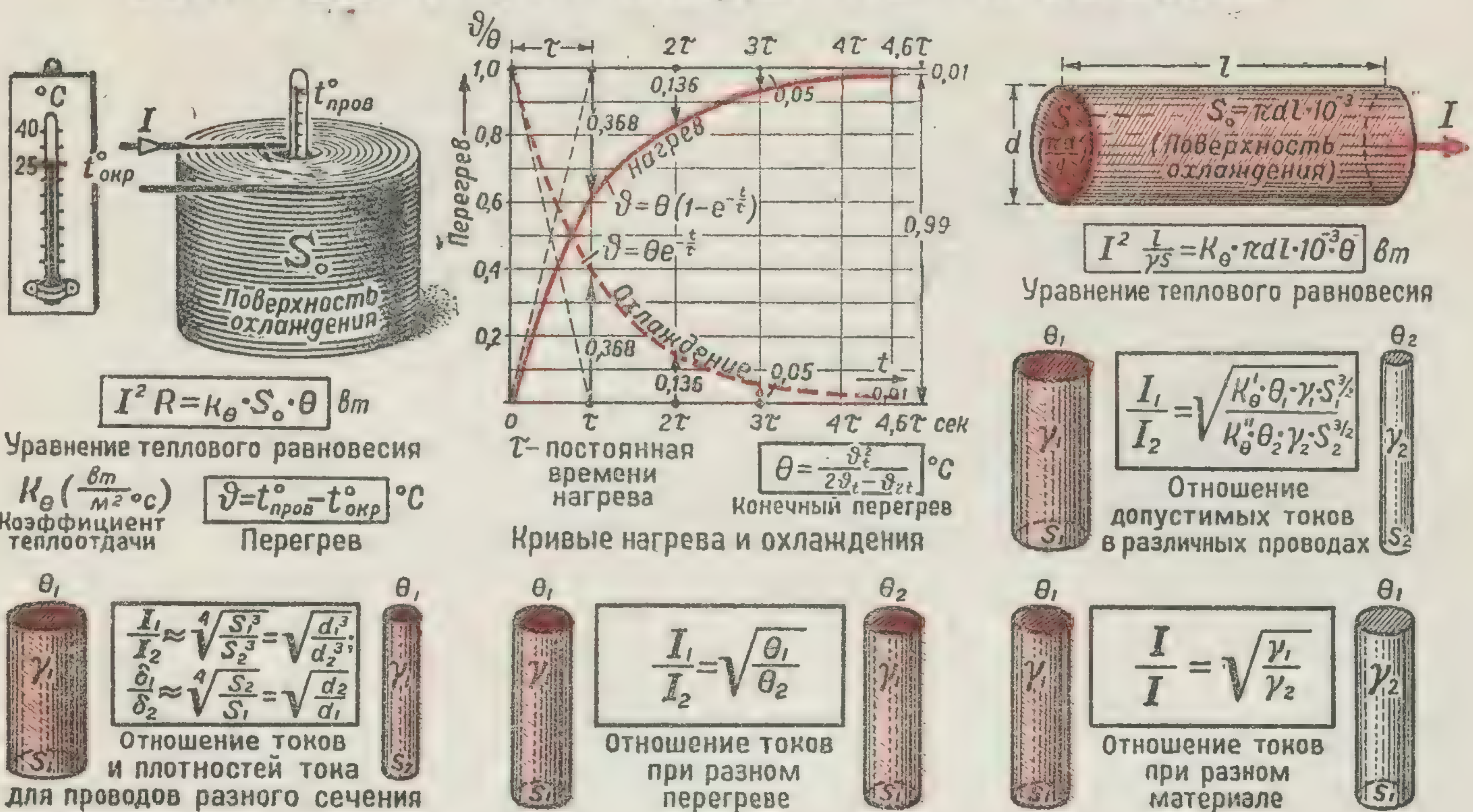


МЕТОД ЗАМЕНЫ НЕСКОЛЬКИХ ВЕТВЕЙ ОДНОЙ ЭКВИВАЛЕНТНОЙ



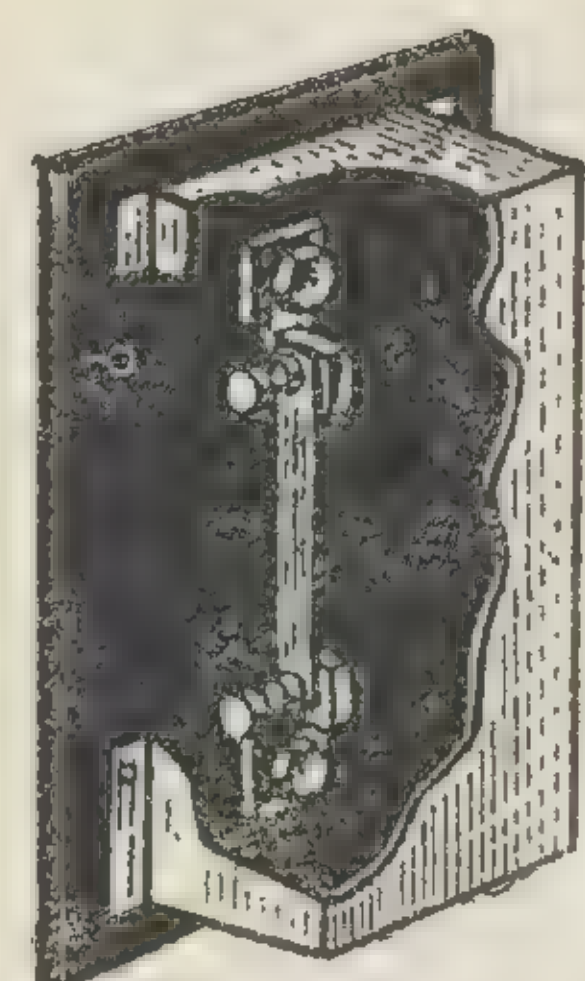
МЕТОД УРАВНЕНИЙ КИРХГОФА

НАГРЕВ И ОХЛАЖДЕНИЕ ПРОВОДОВ



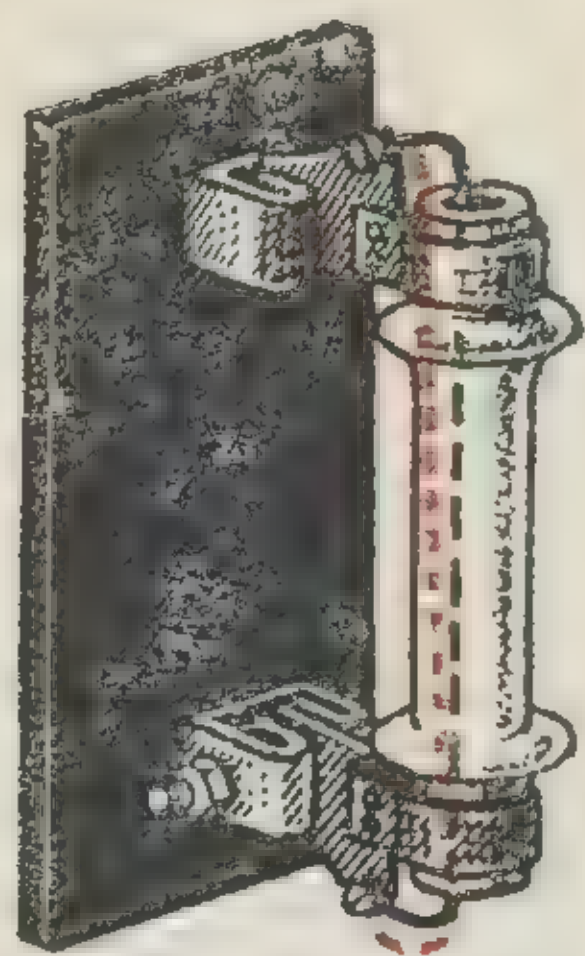
СЕЧЕНИЕ ПРОВОДОВ, ВЫБРАННЫХ ПО ДОПУСТИМОМУ НАГРЕВУ, ПРОВЕРЯЕТСЯ ЗАТЕМ НА ДОПУСТИМУЮ ПОТЕРЮ НАПРЯЖЕНИЯ

ПЛАВКИЕ ПРЕДОХРАНИТЕЛИ

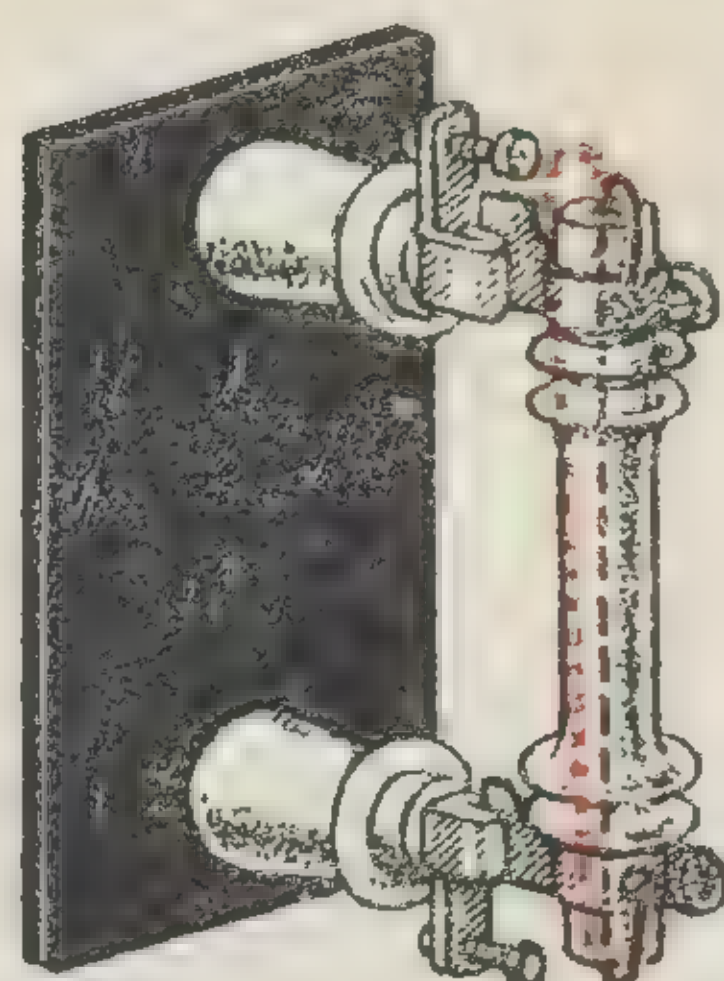


Плавкая вставка

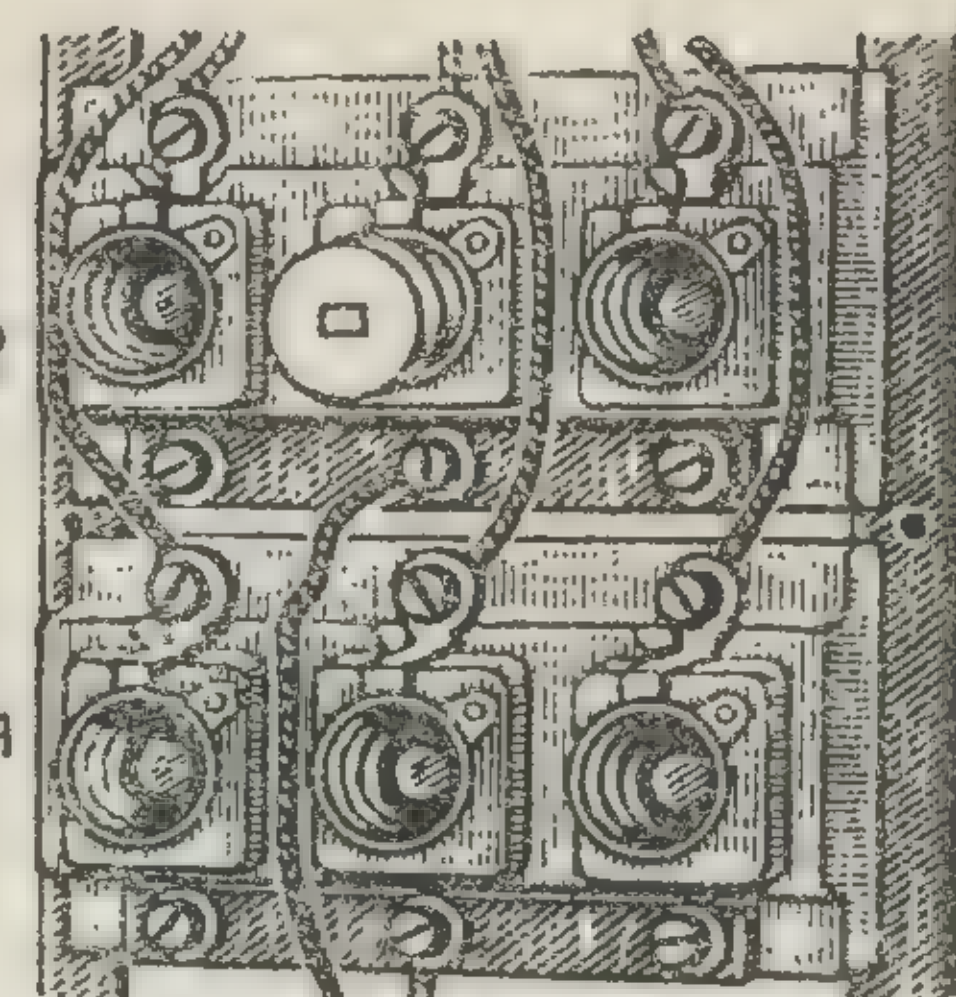
Пластиновый



Трубочатые

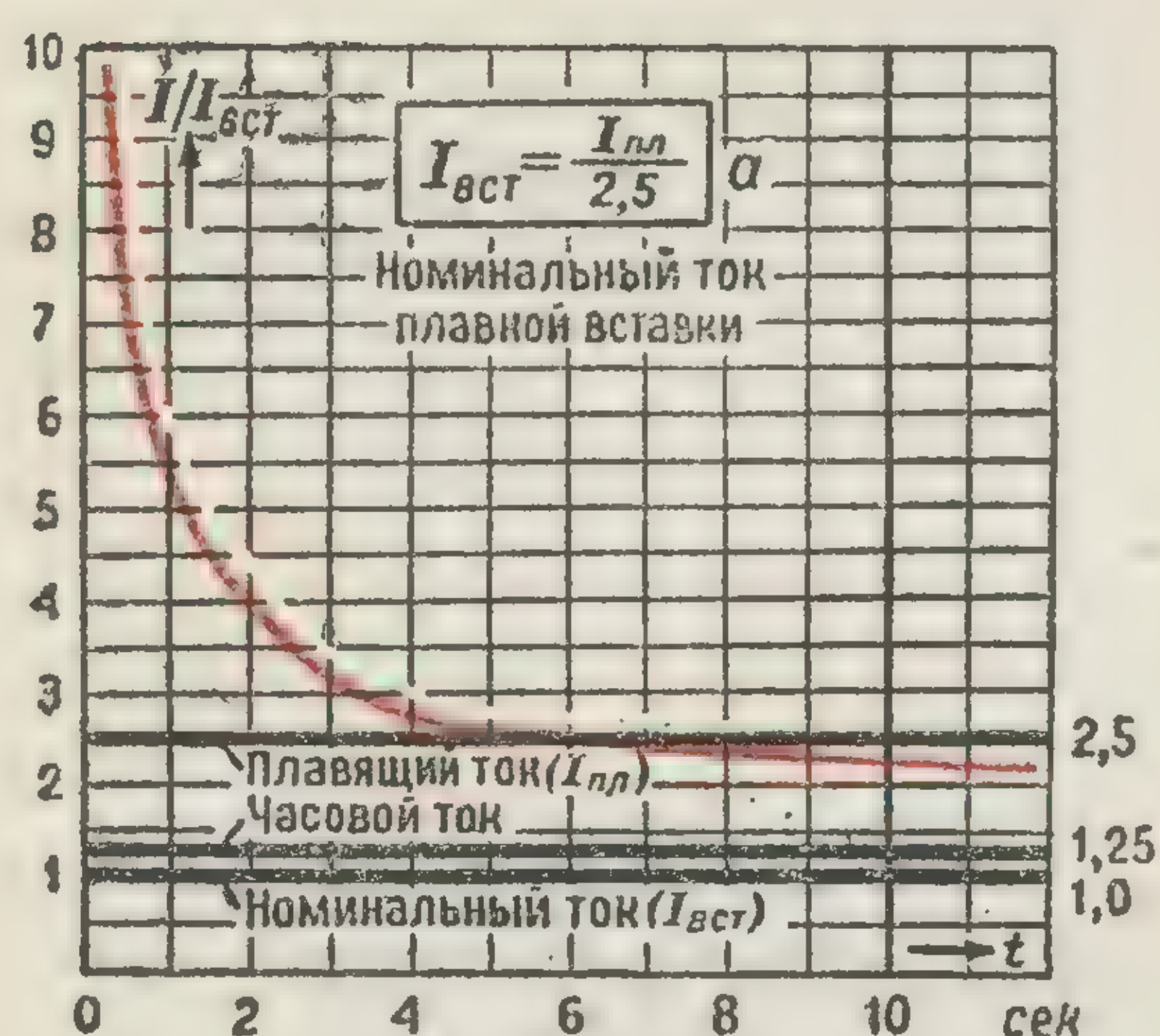


Вставка пробочного предохранителя

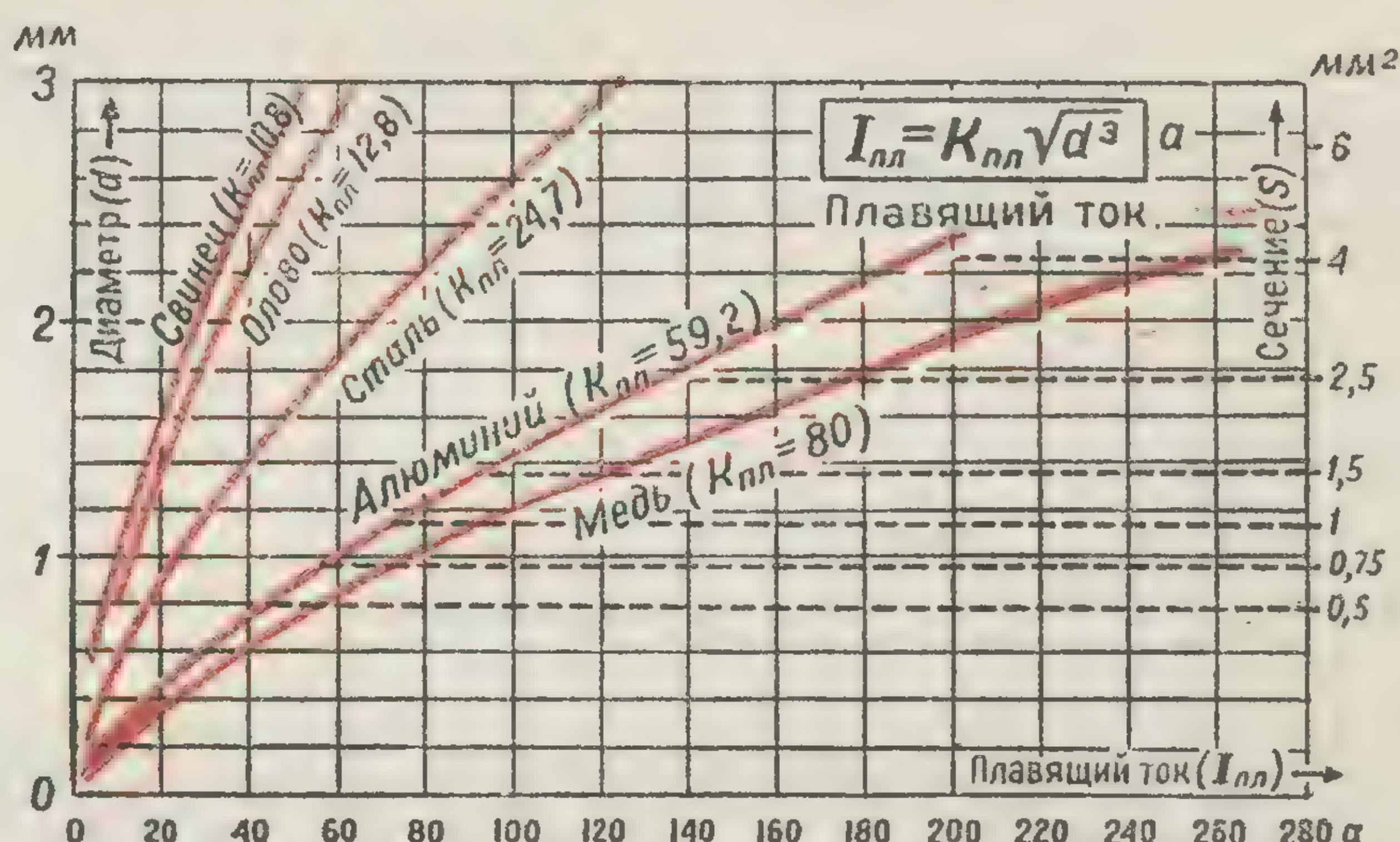


Групповой щиток пробочных предохранителей

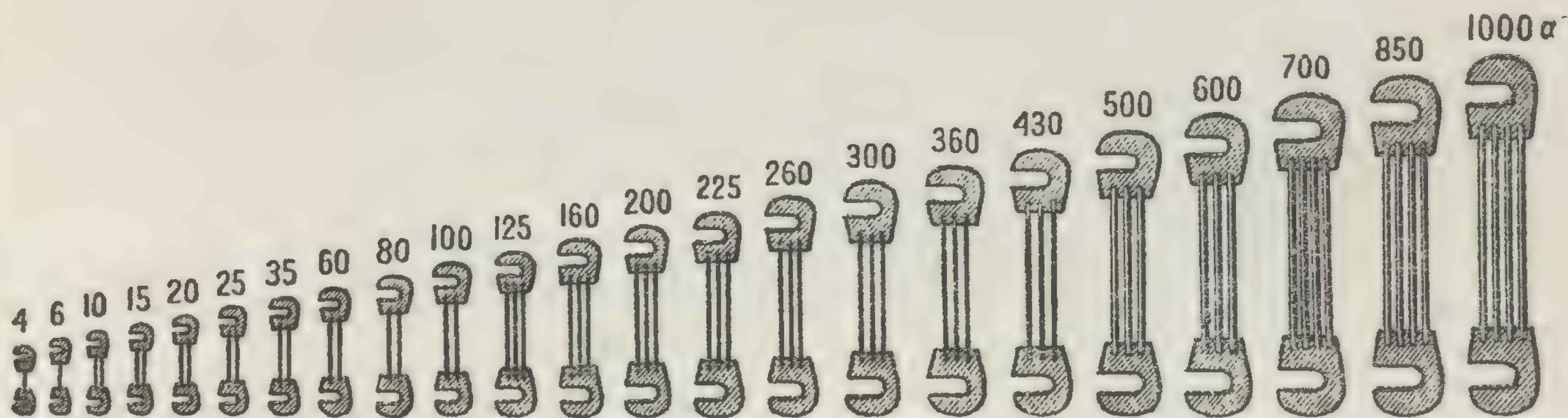
ПРЕДОХРАНИТЕЛИ



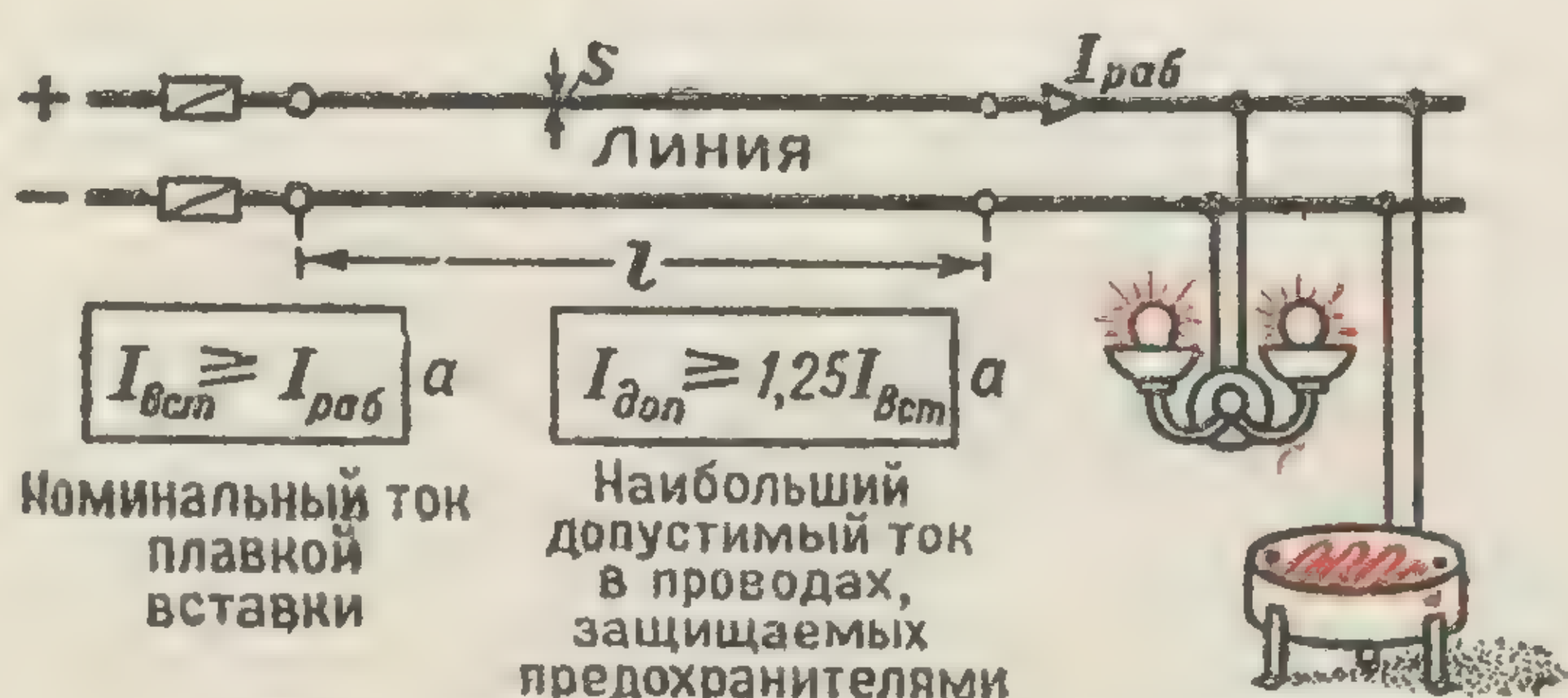
характеристика плавкого предохранителя



Величина плавящего тока для проволок различного диаметра из различных материалов

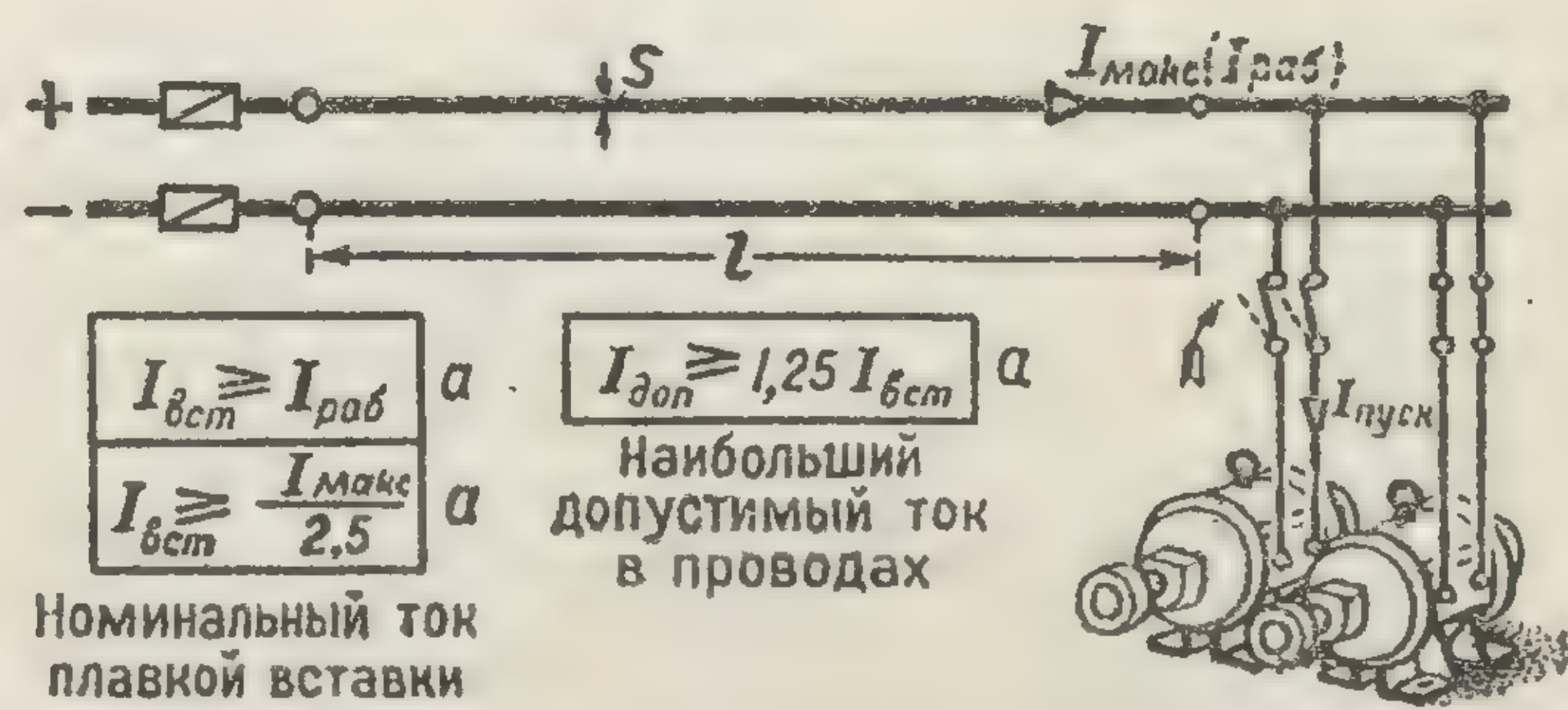


НОМИНАЛЬНЫЕ ТОКИ ПЛАВКИХ ВСТАВОК В АМПЕРАХ



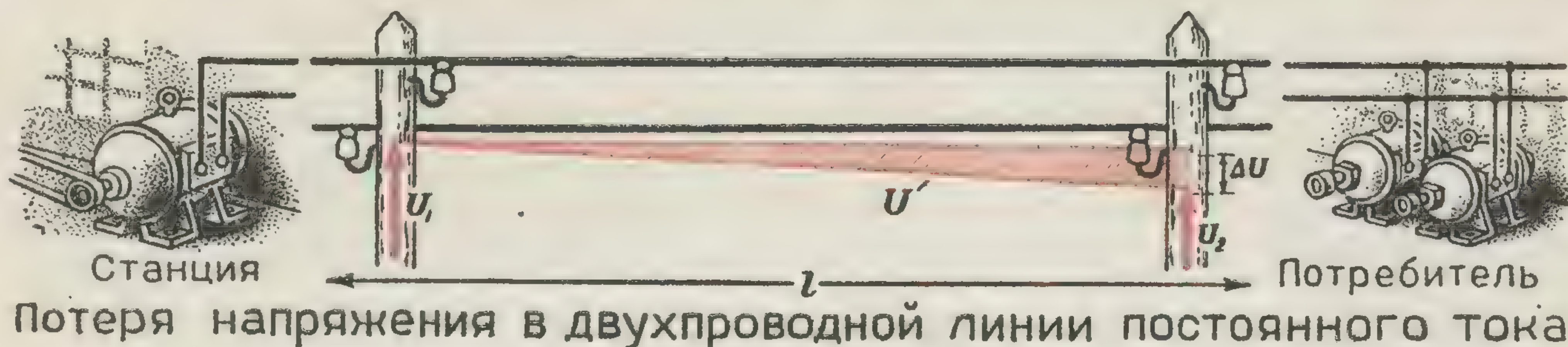
Спокойная нагрузка

ВЫБОР ПРЕДОХРАНИТЕЛЕЙ



Нагрузка, сопровождаемая толчками тока

ПОТЕРЯ НАПРЯЖЕНИЯ В ПРОВОДАХ



$$\Delta U = U_1 - U_2 = IR = I \frac{2l}{\gamma S}$$

Потеря напряжения

$$\Delta P = I^2 R = I^2 \frac{2l}{\gamma S}$$

Потеря мощности

$$\Delta U \% = \frac{U_1 - U_2}{U_1} 100 = \frac{200 Pl}{\gamma S U^2}$$

Потеря напряжения

$$\Delta P \% = \frac{I^2 R}{UI} 100 = \Delta U \%$$

Потеря мощности

$$S = \frac{2I \cdot l}{\gamma \cdot \Delta U}$$

Сечение проводов

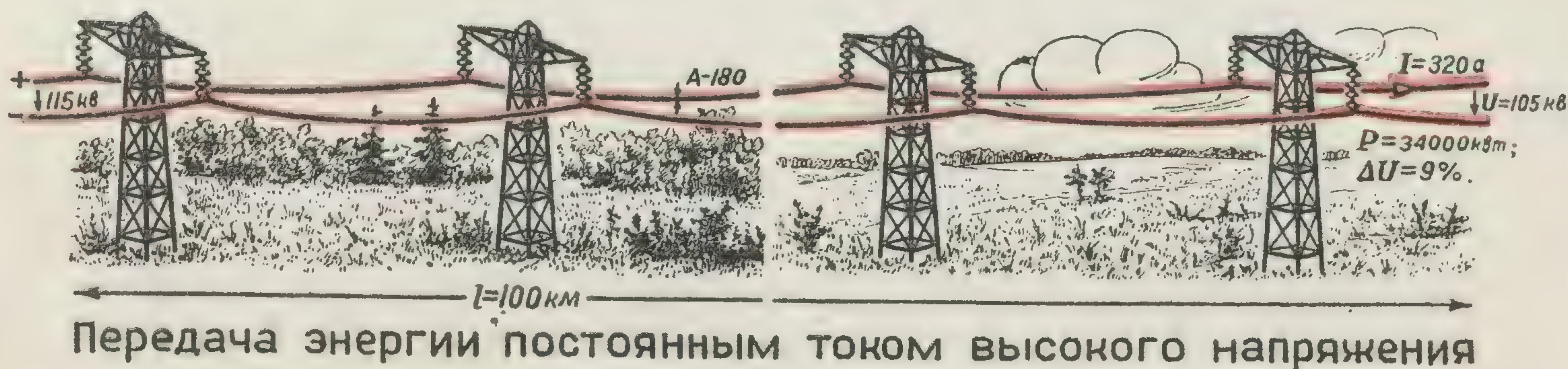
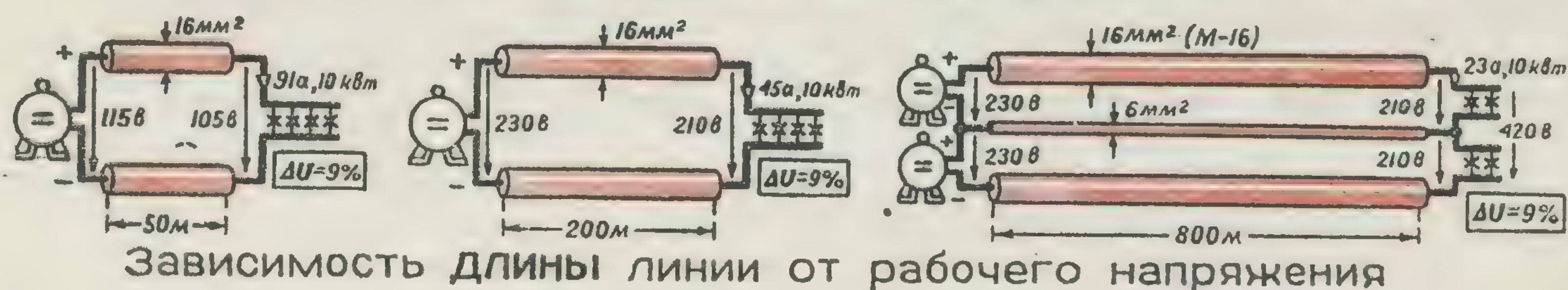
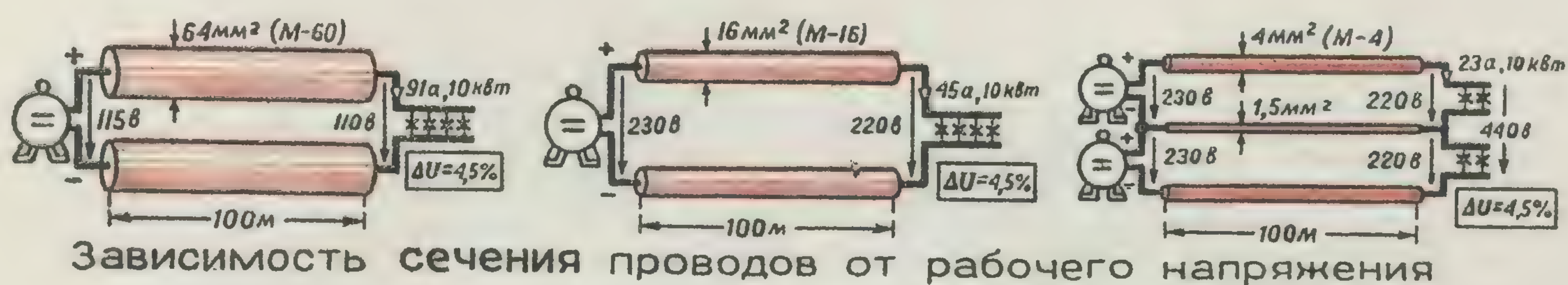
$$S_{Cu} : S_{Al} : S_{Fe} = \frac{1}{\gamma_{Cu}} : \frac{1}{\gamma_{Al}} : \frac{1}{\gamma_{Fe}} = 1 : 1,7 : 8$$

Отношение сечений медных, алюминиевых и стальных проводов при одинаковой потере напряжения

$$S = \frac{200 P \cdot l}{\gamma \cdot \Delta U \% \cdot U^2}$$

Сечение проводов

• ПОЛУЧЕННОЕ СЕЧЕНИЕ ПРОВЕРЯЕТСЯ ПО ТАБЛИЦАМ НА НАГРЕВ •

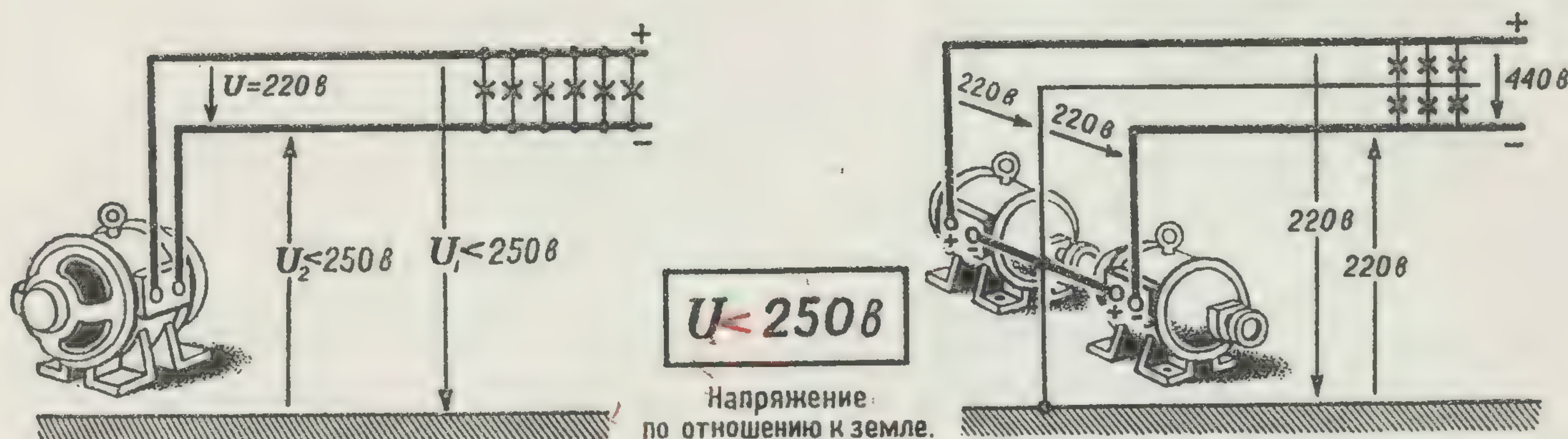


Э.И.Расовский.

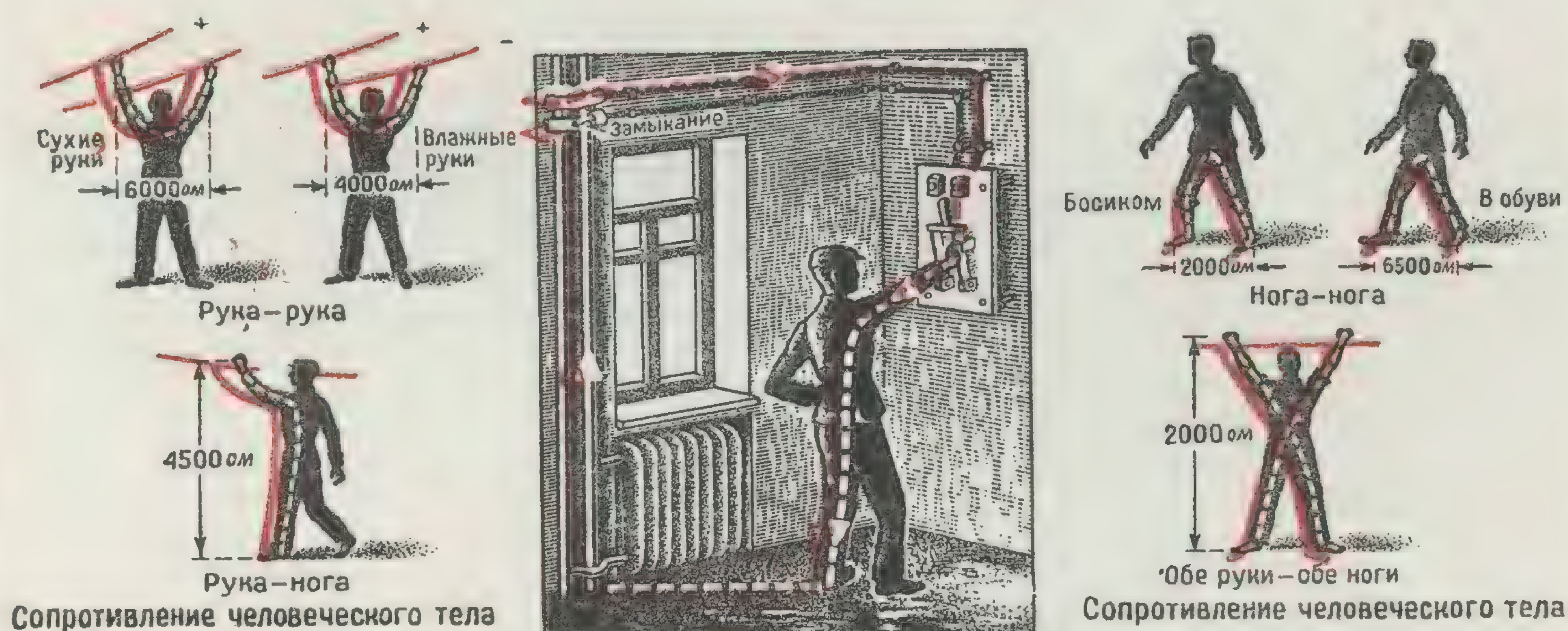
ВЫСОКОЕ И НИЗКОЕ НАПРЯЖЕНИЯ



УСТАНОВКИ ВЫСОКОГО НАПРЯЖЕНИЯ



УСТАНОВКИ НИЗКОГО НАПРЯЖЕНИЯ



$$I_{оп} \geq 50 \text{ ма}$$

Ток, опасный для жизни

Опасность прикосновения к токоведущим частям

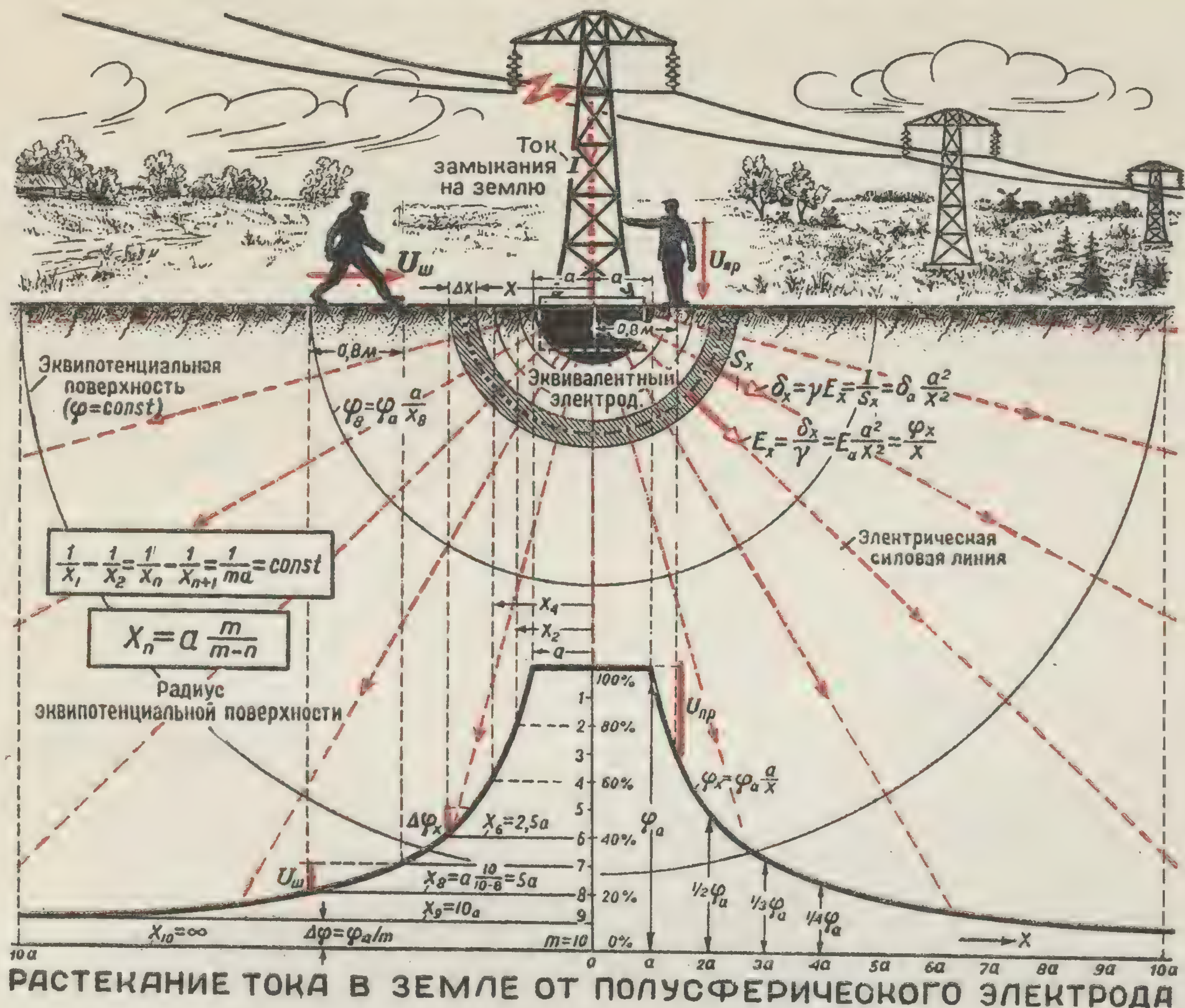
$$I_{см} \geq 100 \text{ ма}$$

Смертельный ток

80% поражений электрическим током приходится на установки низкого напряжения

ПОРАЖЕНИЕ ЭЛЕКТРИЧЕСКИМ ТОКОМ

ШАГОВОЕ НАПРЯЖЕНИЕ



$$\Delta R_x = \frac{\Delta x}{\gamma S_x} = \frac{\Delta x}{\gamma \cdot 2\pi(x + \frac{a}{2})^2} = \frac{1}{2\pi\gamma} \left(\frac{1}{x} - \frac{1}{x+\Delta x} \right)$$

Сопротивление полусферического слоя почвы.

$$R_0 = \sum_{a}^{\infty} \Delta R_x = \frac{1}{2\pi\gamma a} = \frac{a}{\gamma \cdot 2\pi a^2}$$

Сопротивление растеканию от полусферического электрода.



$$\Delta\varphi_x = E_x \cdot \Delta x = \frac{\delta_x}{\gamma} \cdot \Delta x = I \cdot \Delta R_x = \frac{1}{2\pi\gamma} \left(\frac{1}{x} - \frac{1}{x+\Delta x} \right)$$

Падение потенциала вдоль силовой линии

$$\varphi_a = \sum_{a}^{\infty} E_x \cdot \Delta x = \frac{I}{2\pi\gamma a} = I R_0$$

Потенциал заземлителя.

$$\varphi_x = \sum_{x}^{\infty} E_x \cdot \Delta x = \varphi_a \frac{a}{x}$$

Потенциал произвольной точки.

$$U_{ш} = \frac{I}{2\pi\gamma} \left(\frac{1}{x} - \frac{1}{x+0,8} \right)$$

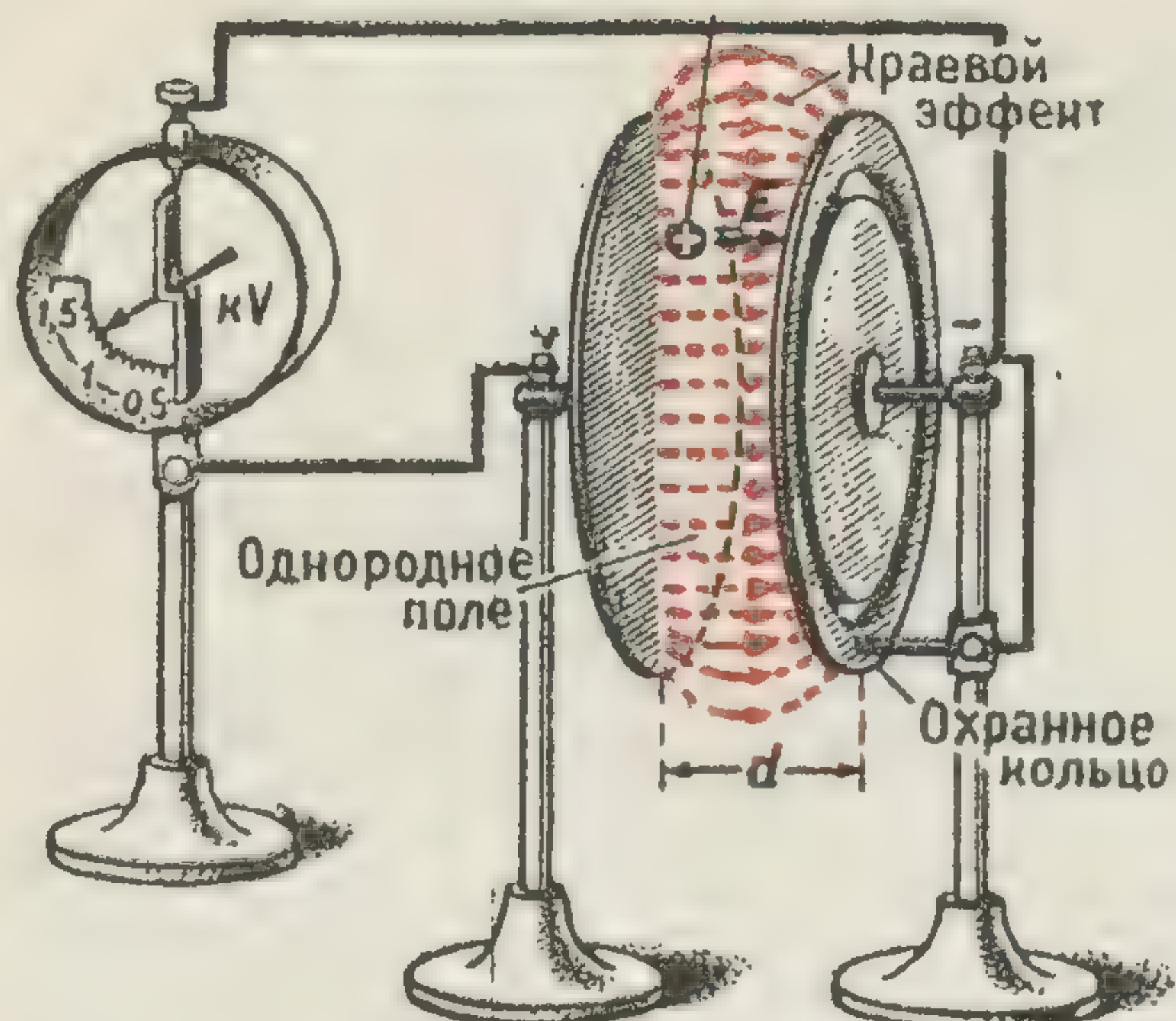
Шаговое напряжение

$$U_{пр} = \frac{I}{2\pi\gamma} \left(\frac{1}{a} - \frac{1}{0,8} \right) = \varphi_a \left(1 - \frac{a}{0,8} \right)$$

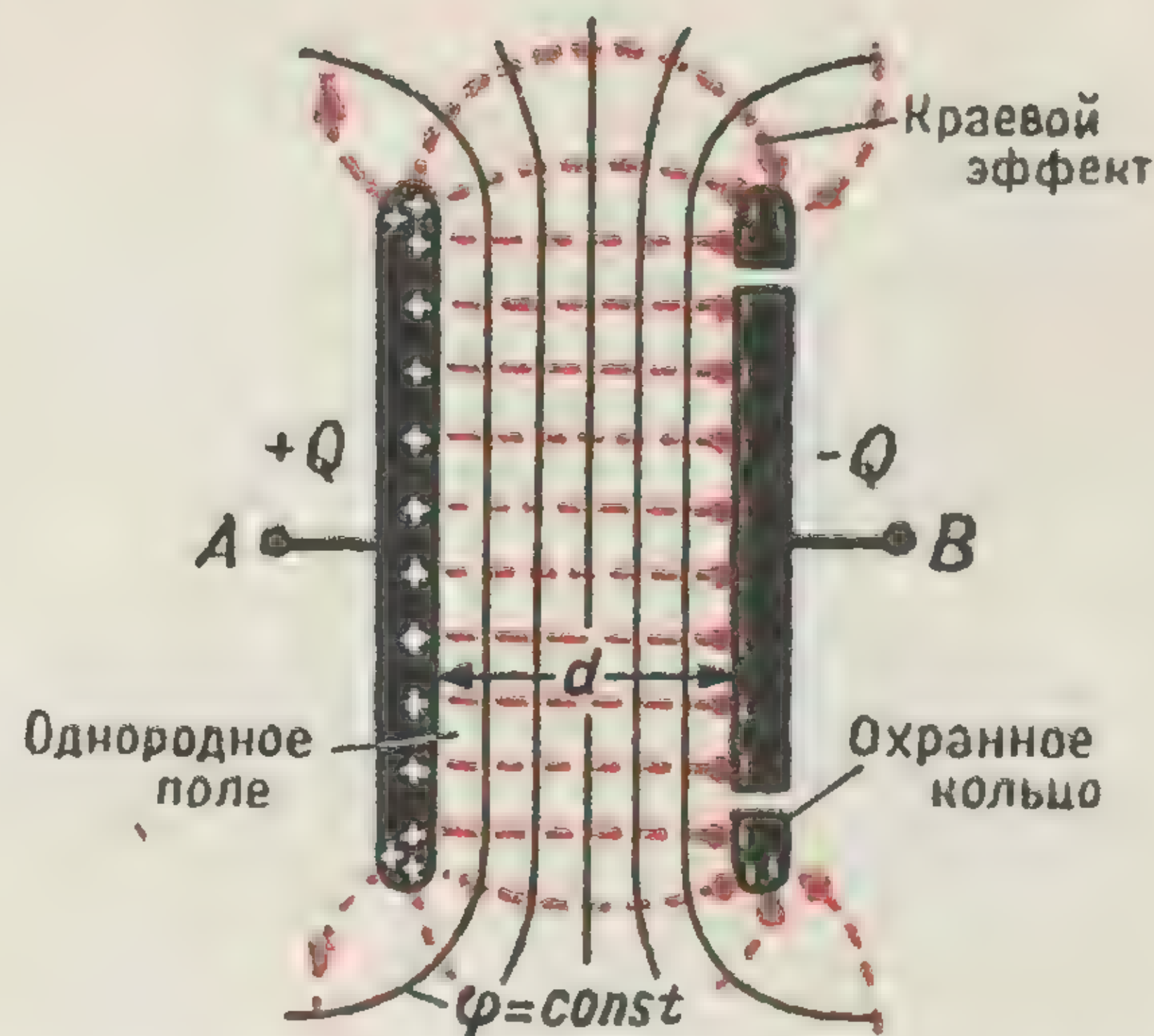
Напряжение прикосновения

заземляющие устройства должны быть рассчитаны на допустимое шаговое напряжение и напряжение прикосновения

ОДНОРОДНОЕ ЭЛЕКТРИЧЕСКОЕ ПОЛЕ

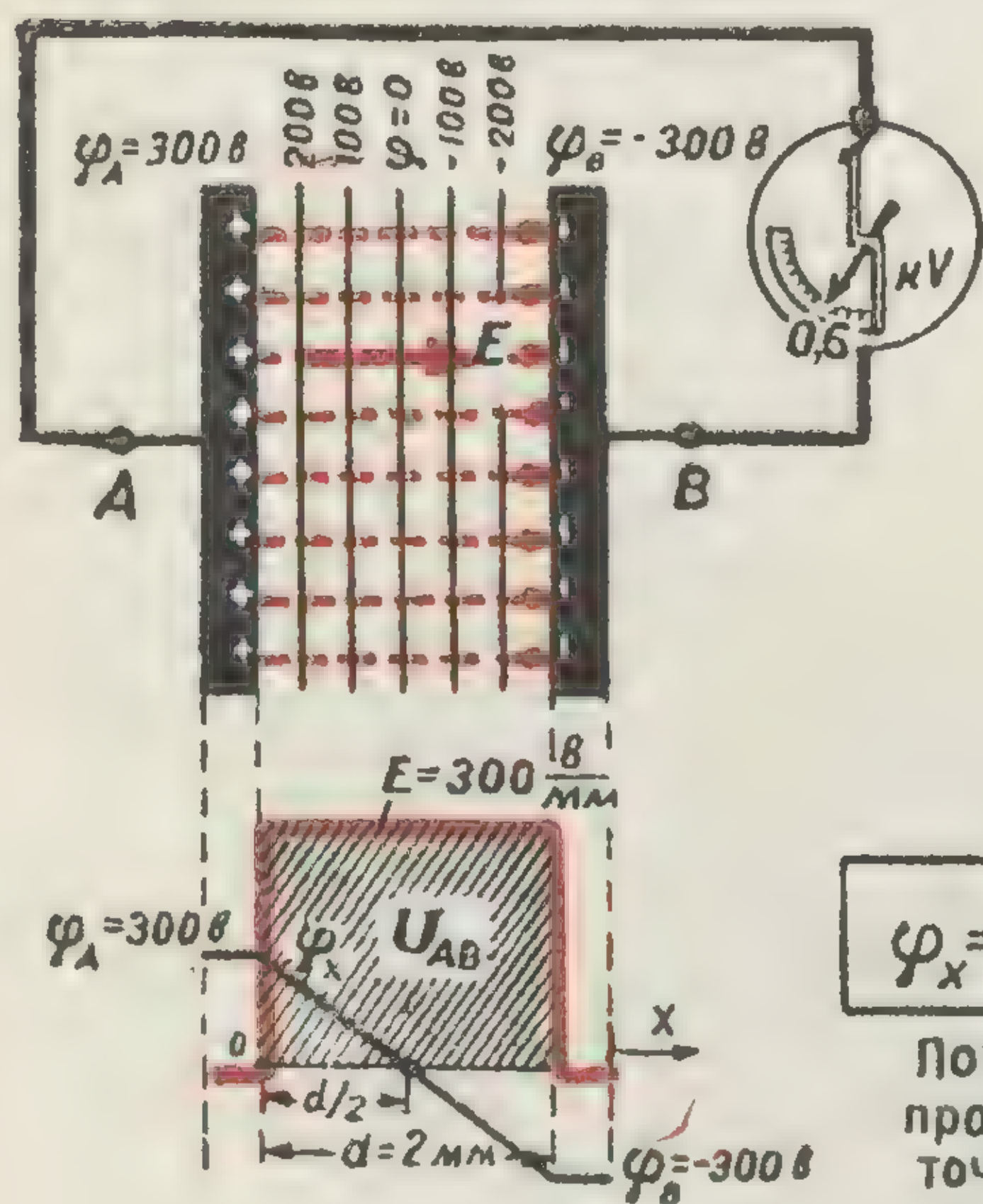


Плоский воздушный конденсатор



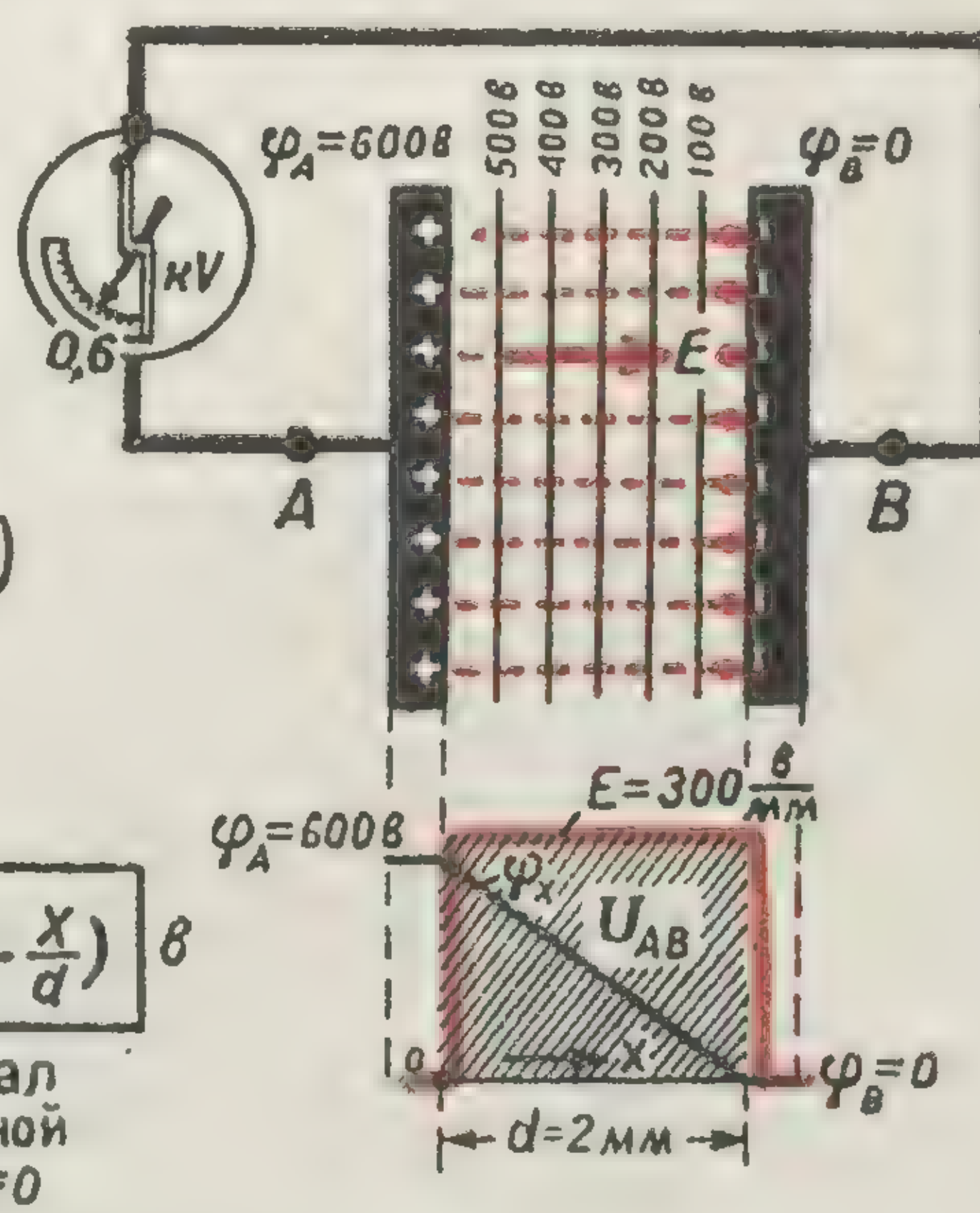
Поле плоского конденсатора с охранным кольцом

Конденсатор — совокупность двух проводников, разделенных диэлектриком и заряжаемых равными и противоположными по знаку электрическими зарядами



$$E = \frac{U_{AB}}{d} = \text{const} \quad \frac{\text{В}}{\text{мм}} \left(\frac{\text{В}}{\text{мм}} \right)$$

Напряженность поля



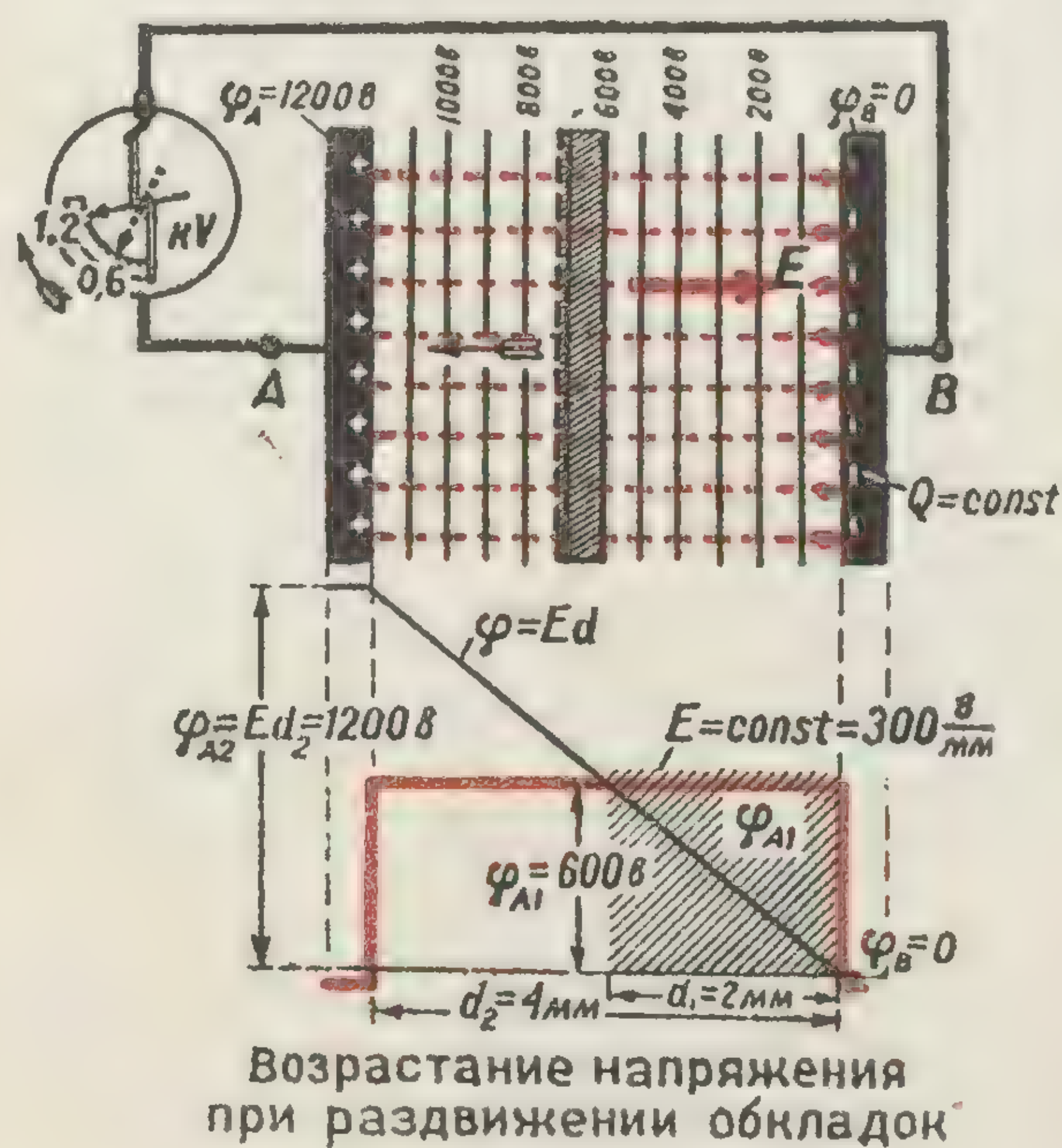
$$\varphi_x = \frac{U_{AB}}{2} \left(1 - \frac{2x}{d} \right) \text{ В}$$

Потенциал произвольной точки, $\varphi_{d/2} = 0$

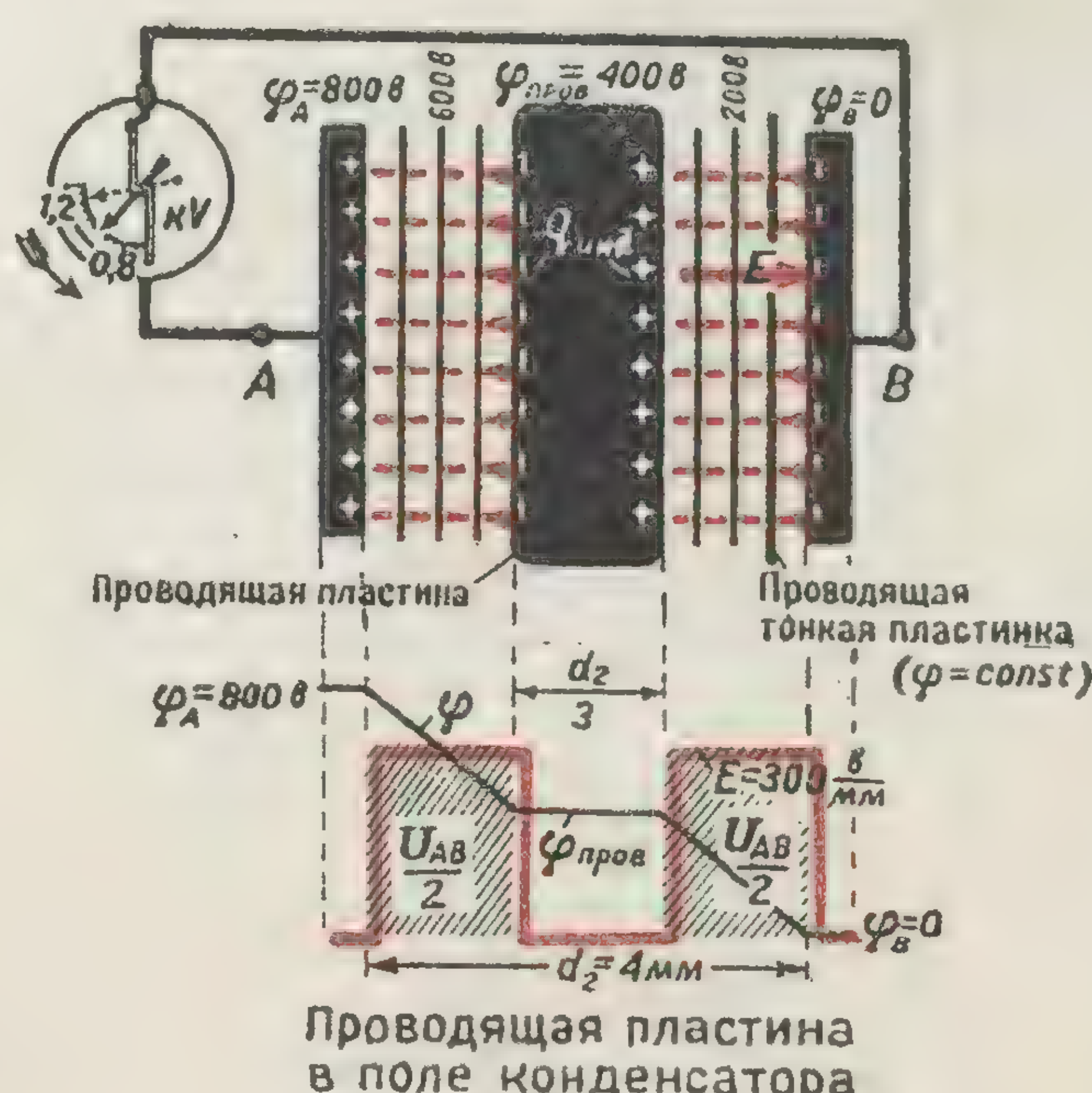
$$\varphi_x = U_{AB} \left(1 - \frac{x}{d} \right) \text{ В}$$

Потенциал произвольной точки, $\varphi_B = 0$

Однородное поле плоского конденсатора



Возрастание напряжения при раздвижении обкладок



Проводящая пластина в поле конденсатора

Э.И.Расовский

ПОЛЯРИЗАЦИЯ ДИЭЛЕКТРИКОВ

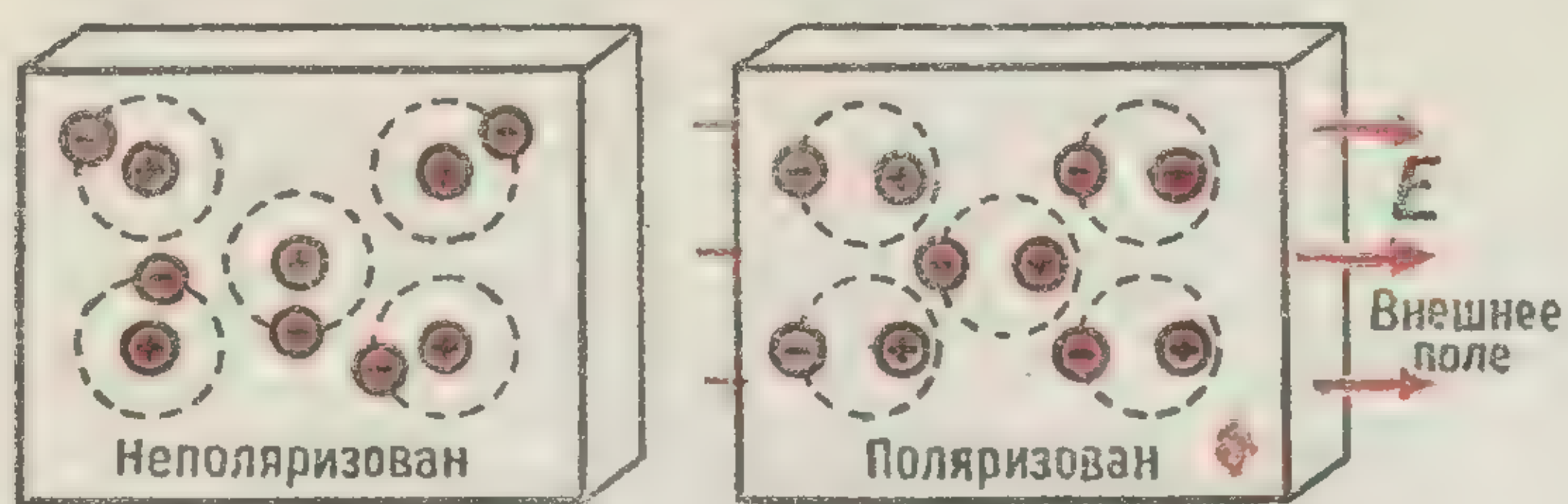


Схема диэлектрика с упругими диполями

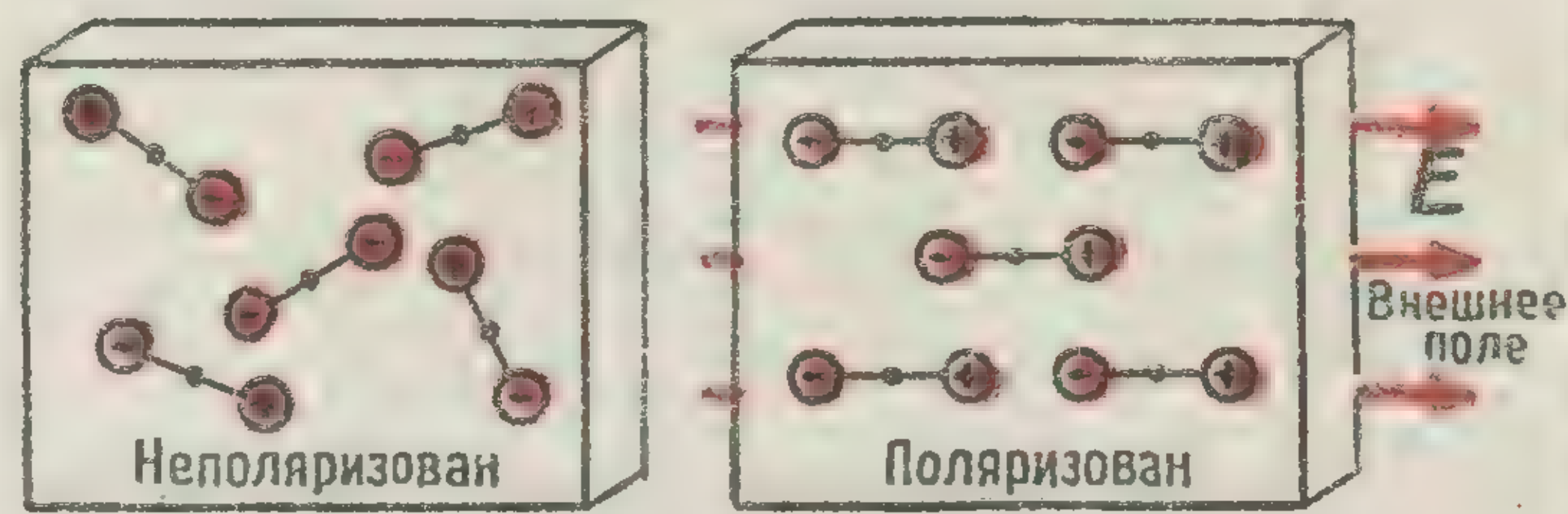


Схема диэлектрика с твердыми диполями

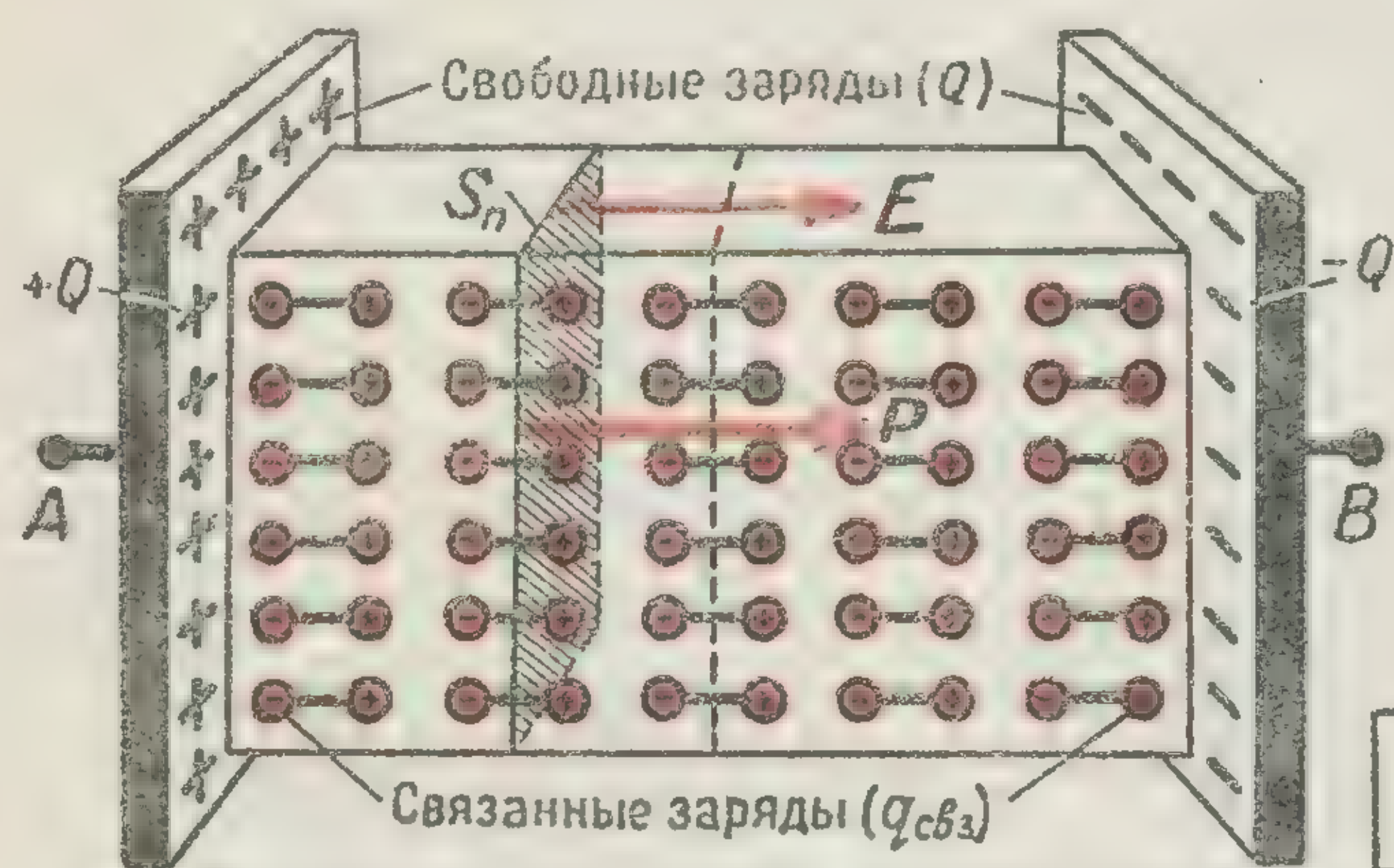


Схема поляризации диэлектрика в однородном поле

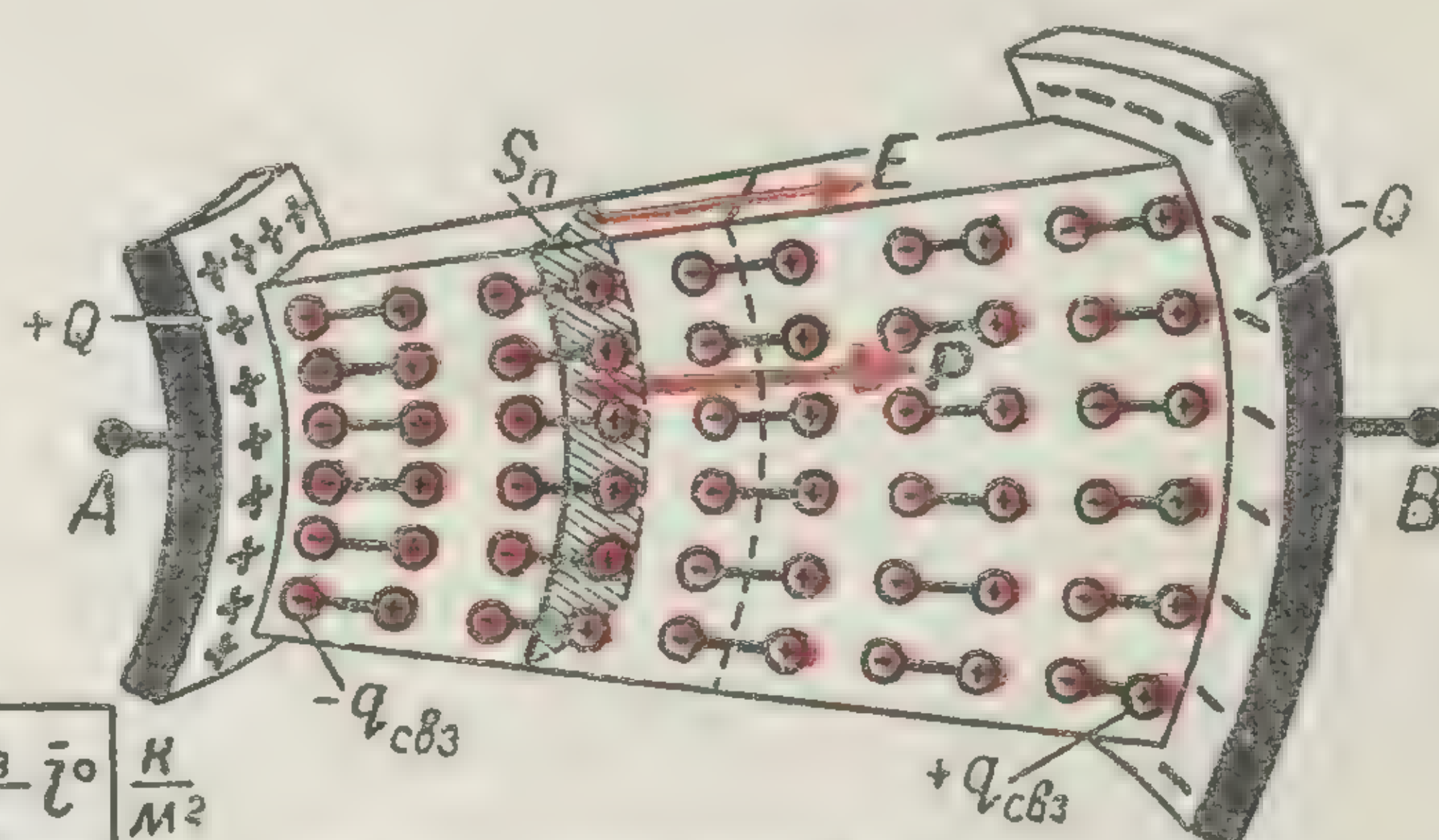


Схема поляризации диэлектрика в сферическом поле

$$\vec{P} = \frac{q_{свз}}{S_n} \vec{e}_0 \quad \frac{\text{К}}{\text{М}^2}$$

Вектор поляризации

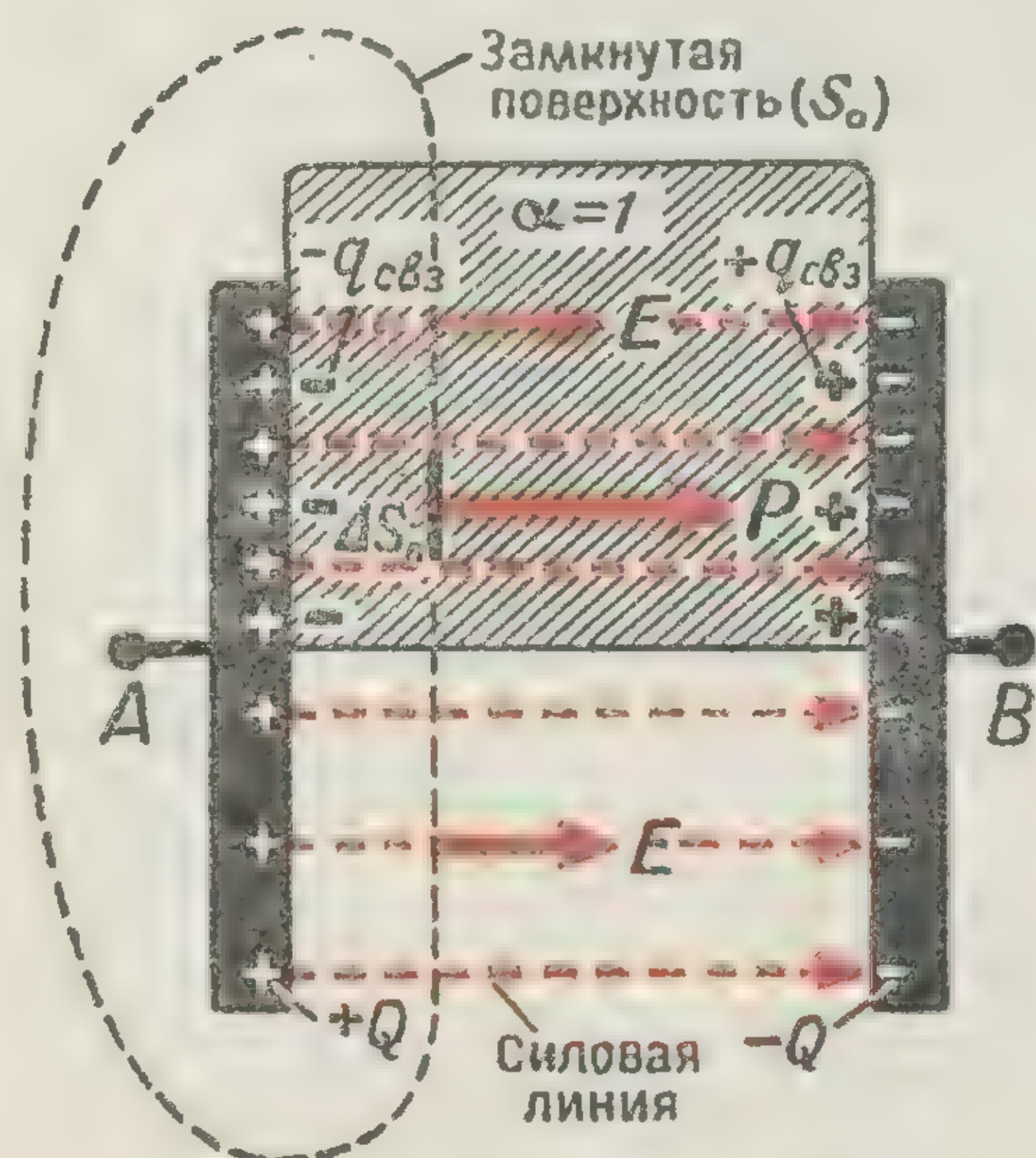
$$\vec{P} = \alpha \epsilon_0 \vec{E} \quad \frac{\text{К}}{\text{М}^2}$$

Зависимость поляризации от напряженности поля

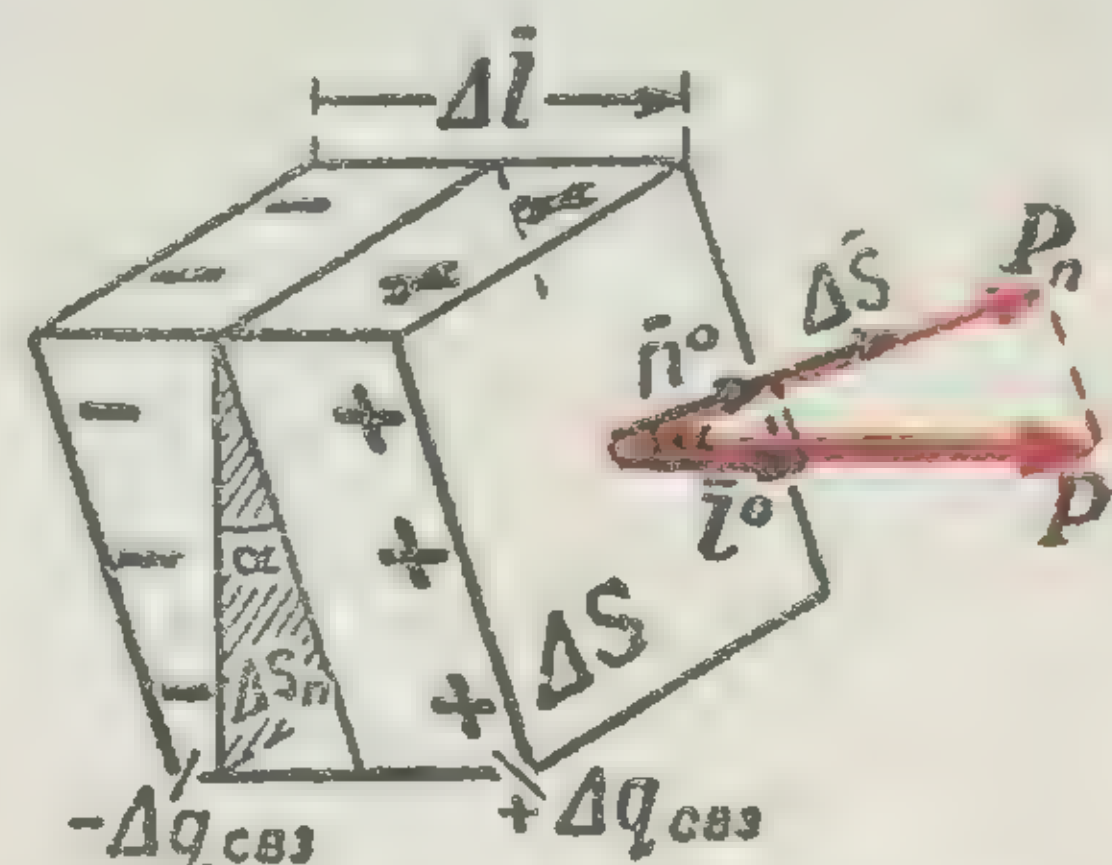
Вектор поляризации характеризует изменения, происходящие в диэлектрике под влиянием внешнего электрического поля, и представляет собою перемещенный связанный заряд, отнесенный к единице поверхности, нормальной к этому перемещению

$$\alpha = \frac{\vec{P}}{\epsilon_0 \vec{E}}$$

Коэффициент поляризации (поляризуемость) диэлектрика

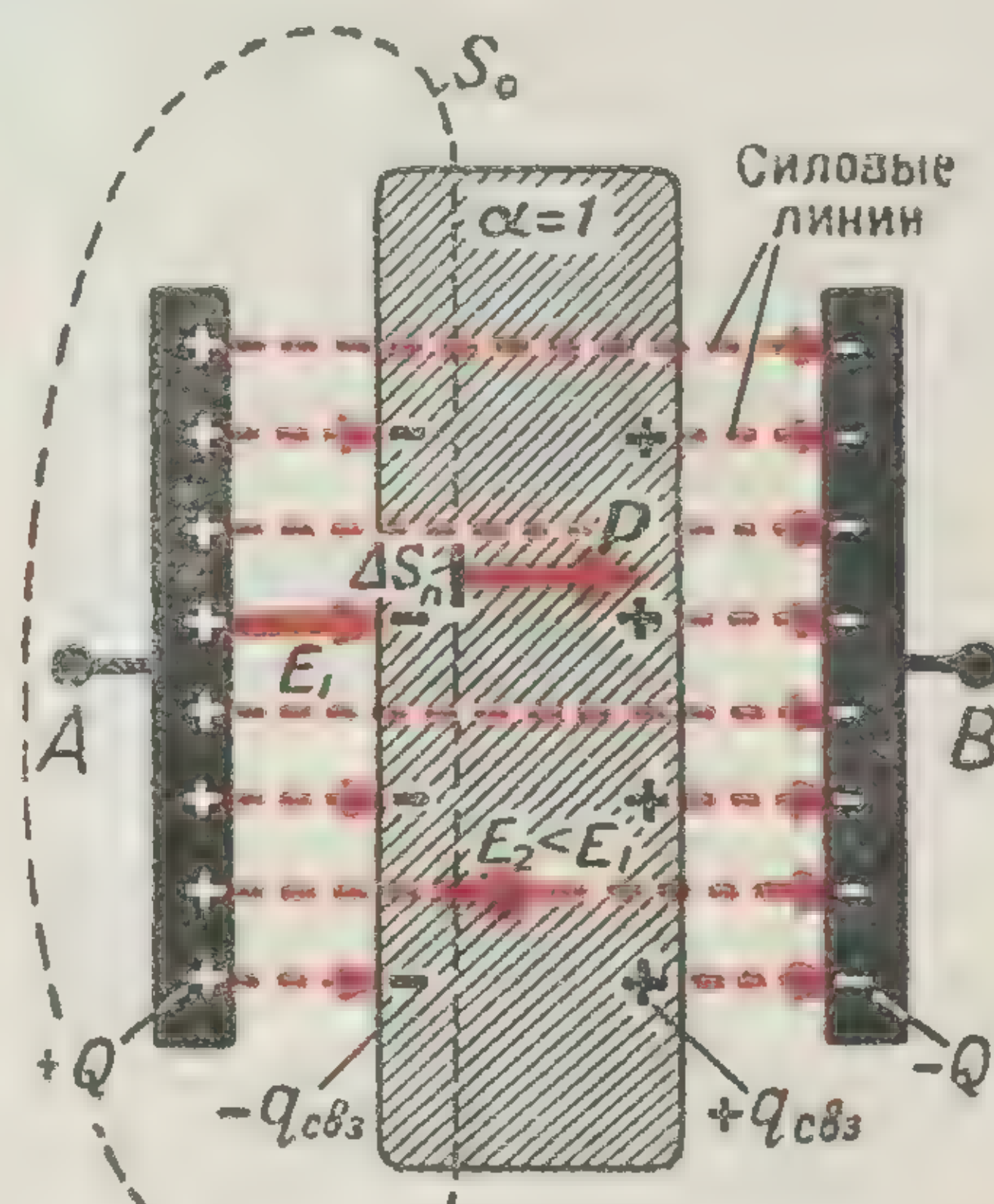


Многослойный диэлектрик в однородном поле, $U_{AB} = \text{Const}$ (параллельное соединение слоев) Сравни табл. 3



$$\vec{P} \cdot \Delta \vec{S} = P_n \Delta S = P \Delta S_n \quad \text{К}$$

Поток вектора поляризации сквозь элементарную поверхность



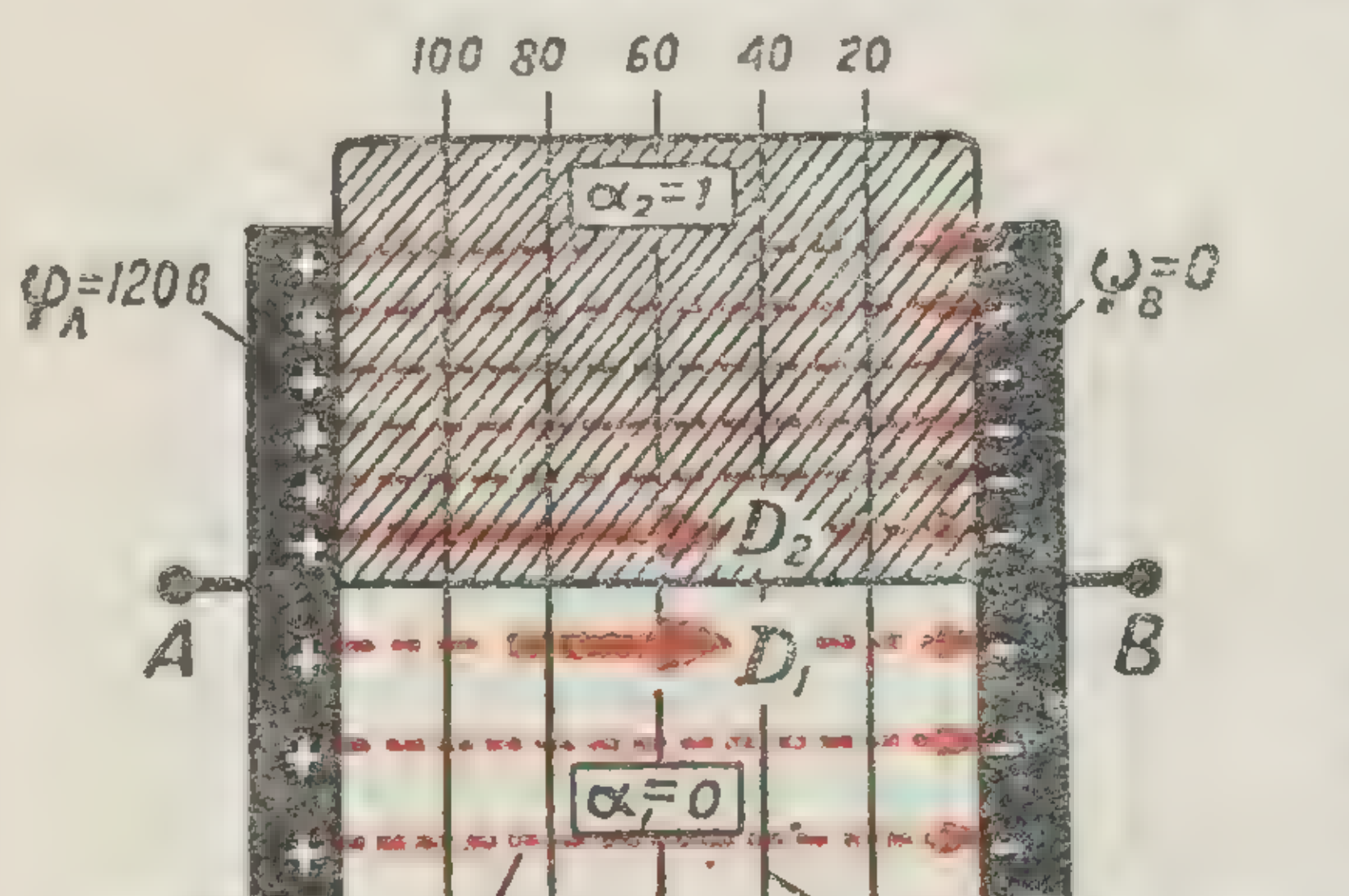
Многослойный диэлектрик в однородном поле, $U_{AB} = \text{Const}$ (последовательное соединение слоев) Сравни табл. 3

$$\sum_o \vec{P} \cdot \Delta \vec{S} = -\sum_o q_{свз} \quad \text{К}$$

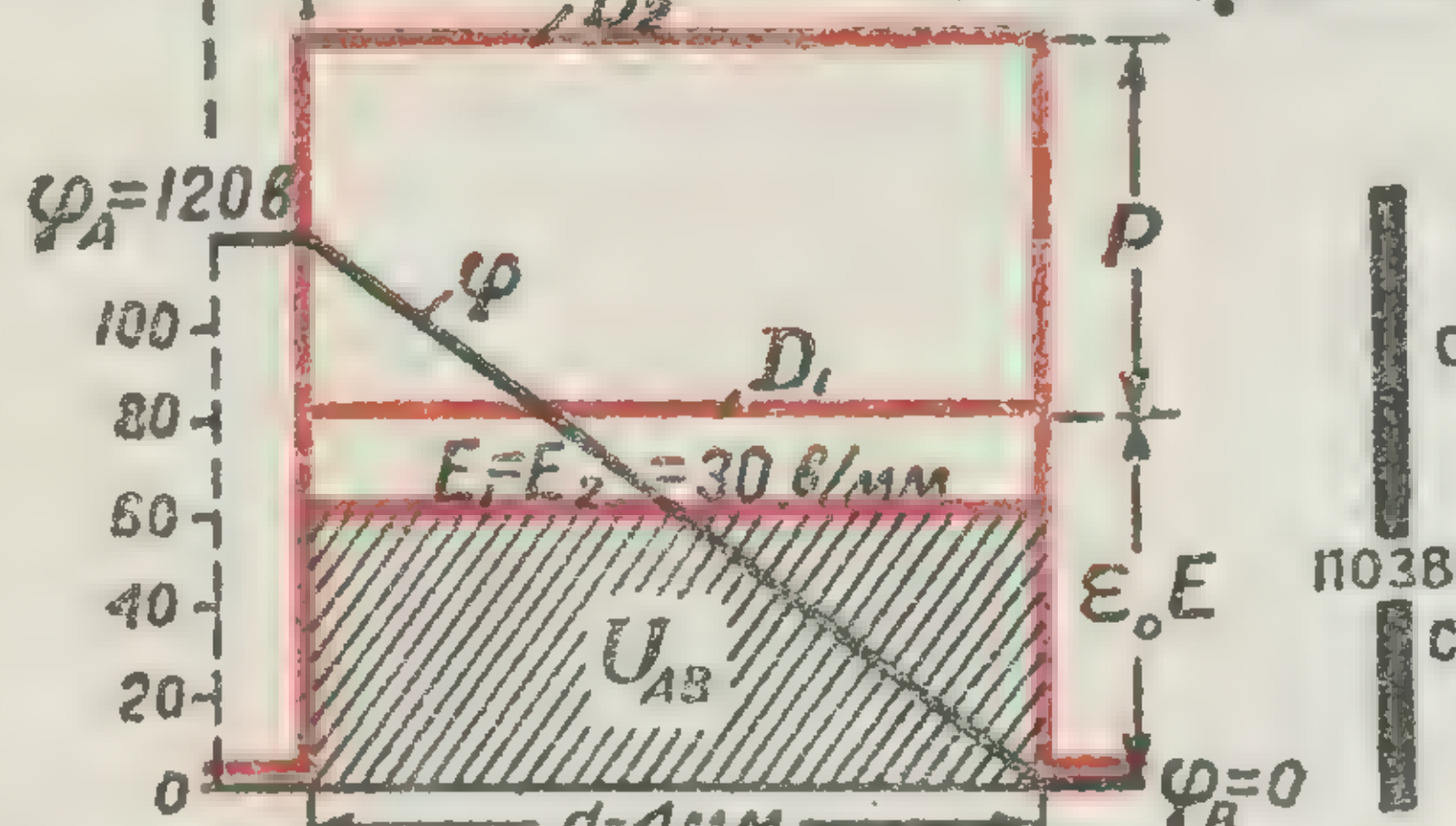
Поток вектора поляризации сквозь замкнутую поверхность

Поток вектора поляризации сквозь произвольную замкнутую поверхность равен алгебраической сумме связанных зарядов, заключенных внутри этой поверхности

ЭЛЕКТРИЧЕСКОЕ СМЕЩЕНИЕ



Линия смещения
Эквипотенциальная поверхность ($\varphi = \text{const}$)



Многослойный диэлектрик в однородном поле (параллельное соединение слоев)
Ср. табл. 2

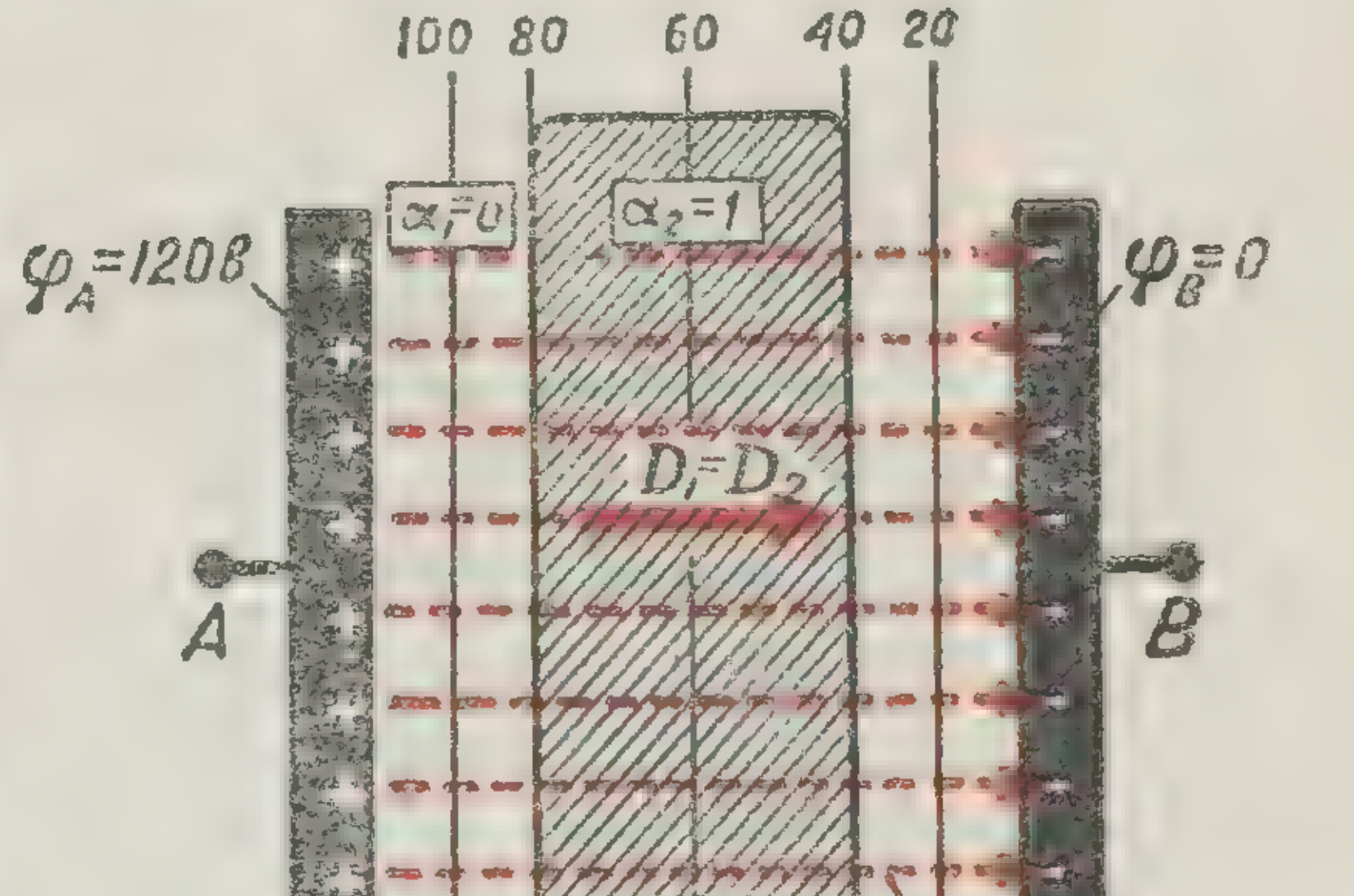
$$\sum \epsilon_0 \vec{E} \cdot \Delta \vec{S} = \sum (q + q_{\text{св}}) \quad \text{или} \quad \sum (\epsilon_0 \vec{E} + \vec{P}) \Delta \vec{S} = \sum Q$$

Теорема
Остроградского — Гаусса
при наличии диэлектриков

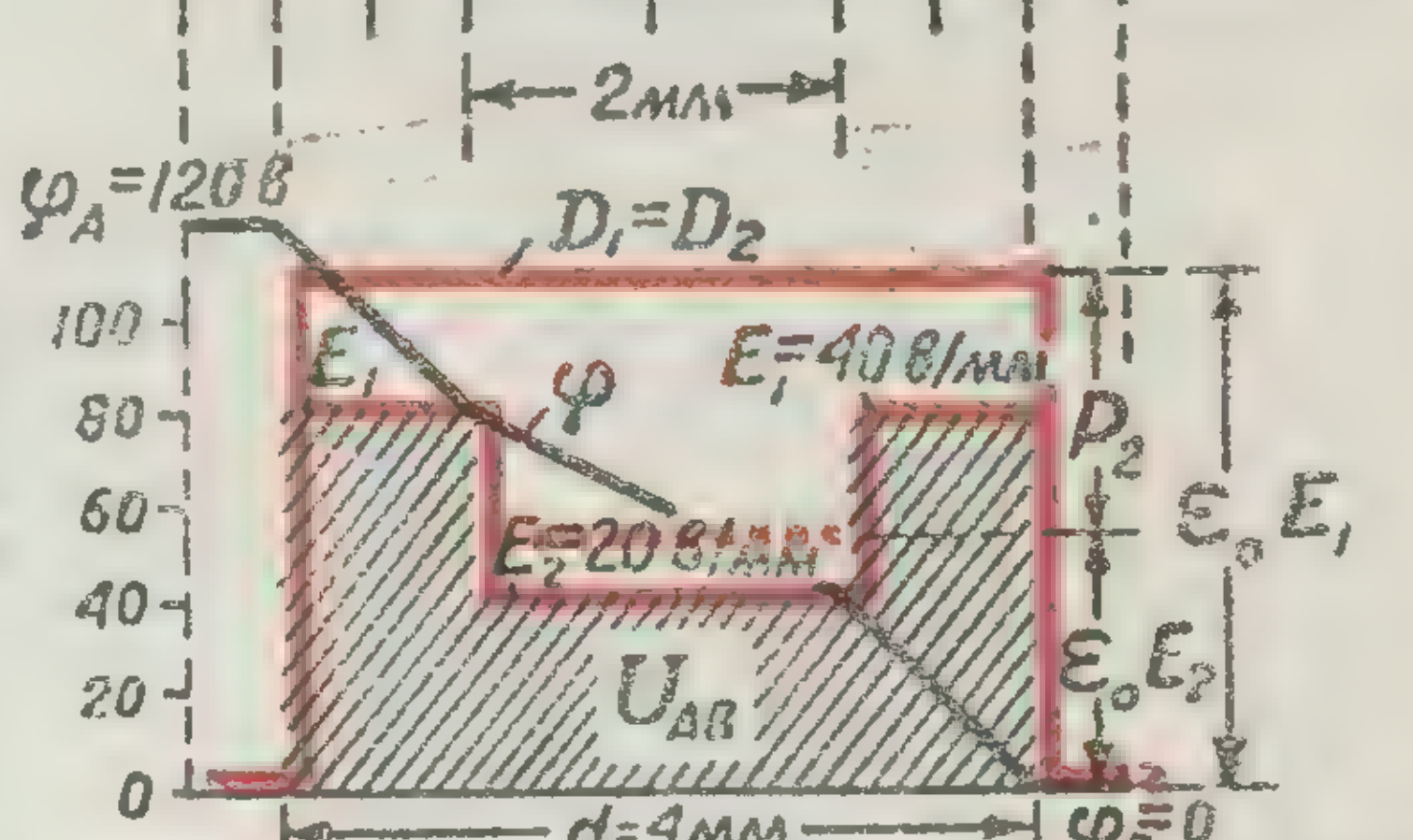
$$\vec{D} = \epsilon_0 \vec{E} + \vec{P} \quad \frac{\text{Кл}}{\text{м}^2}$$

Вектор смещения

Введение вектора смещения, поток которого сквозь замкнутую поверхность непосредственно связан со свободными зарядами, позволяет не учитывать в явной форме связанных зарядов диэлектрика, расчеты с которыми затруднительны.

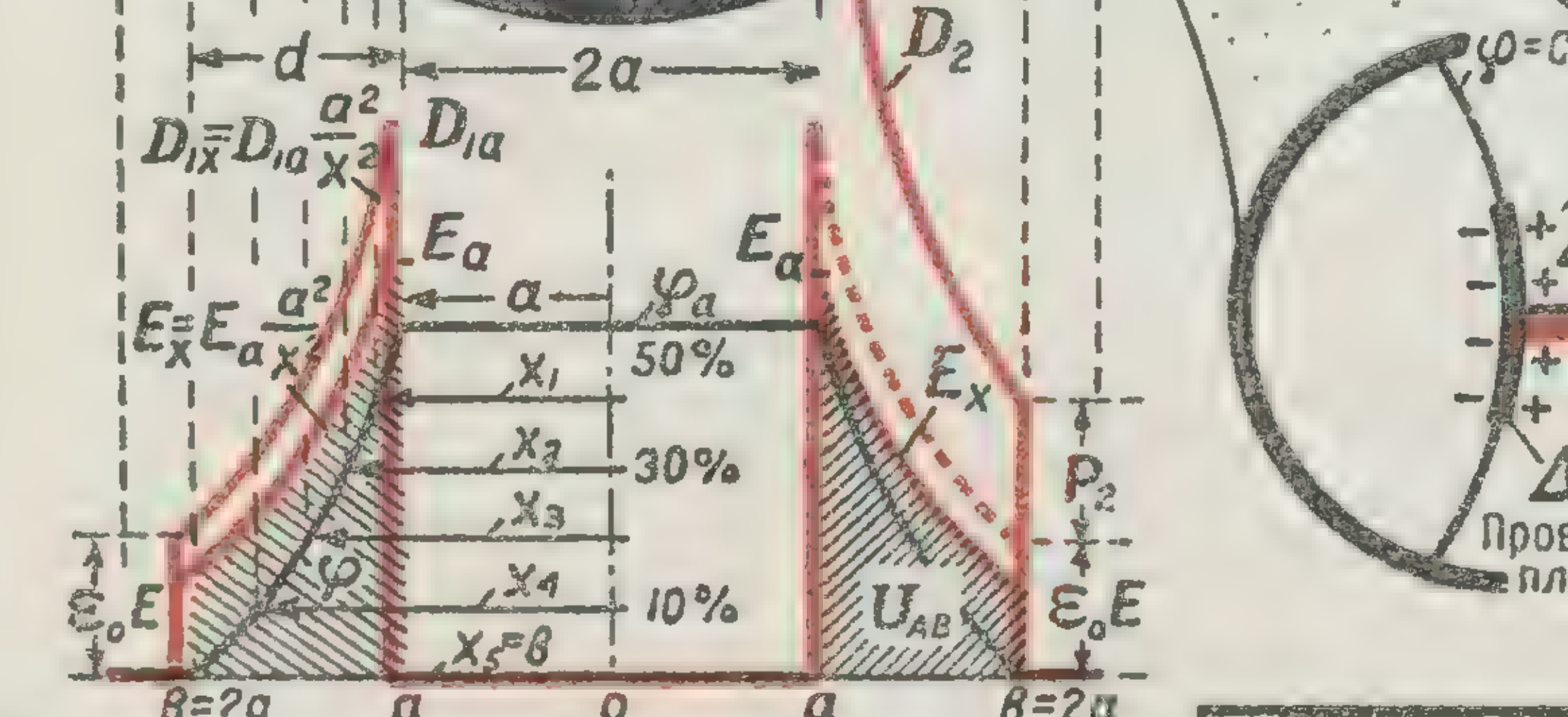
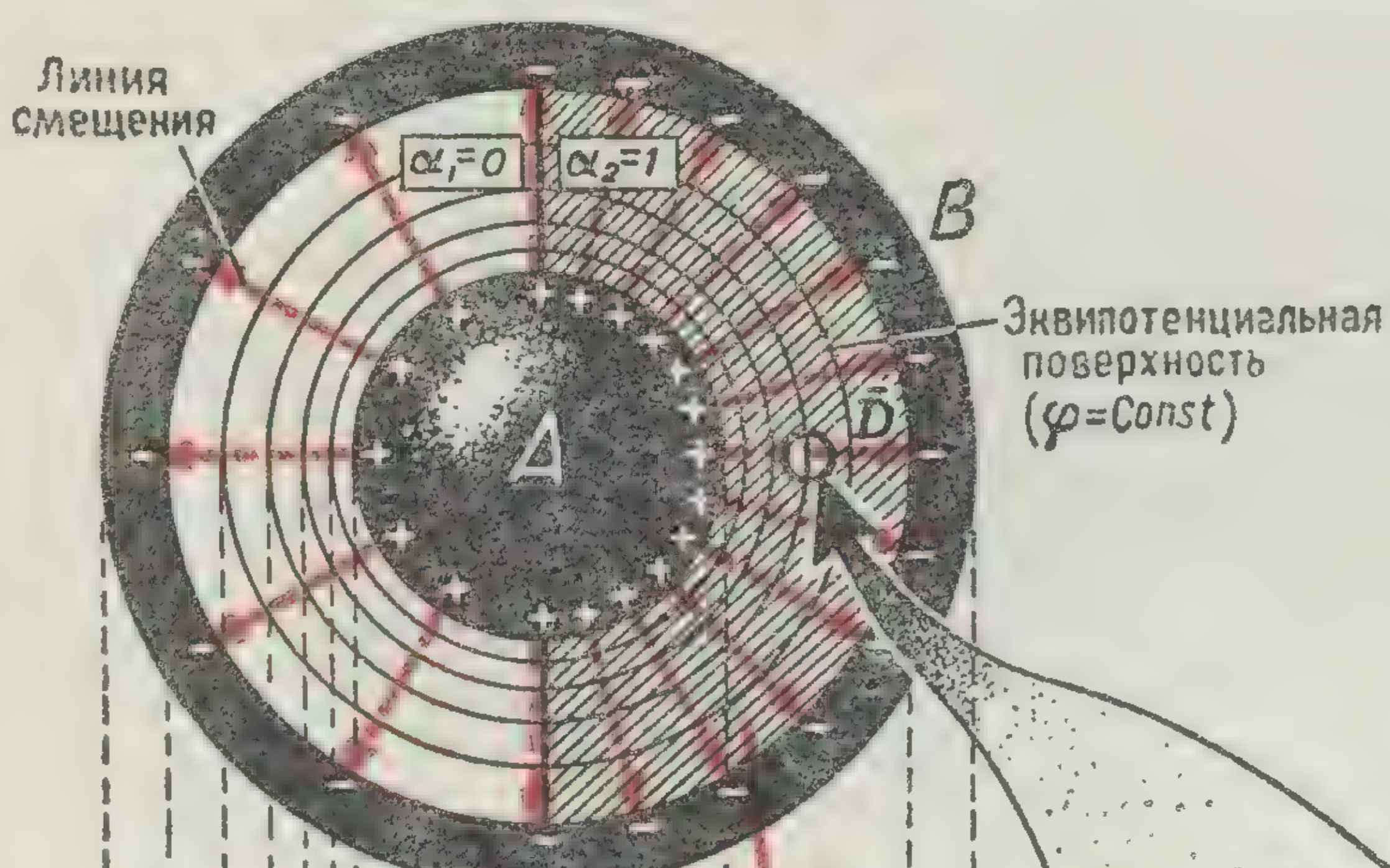


Линия смещения

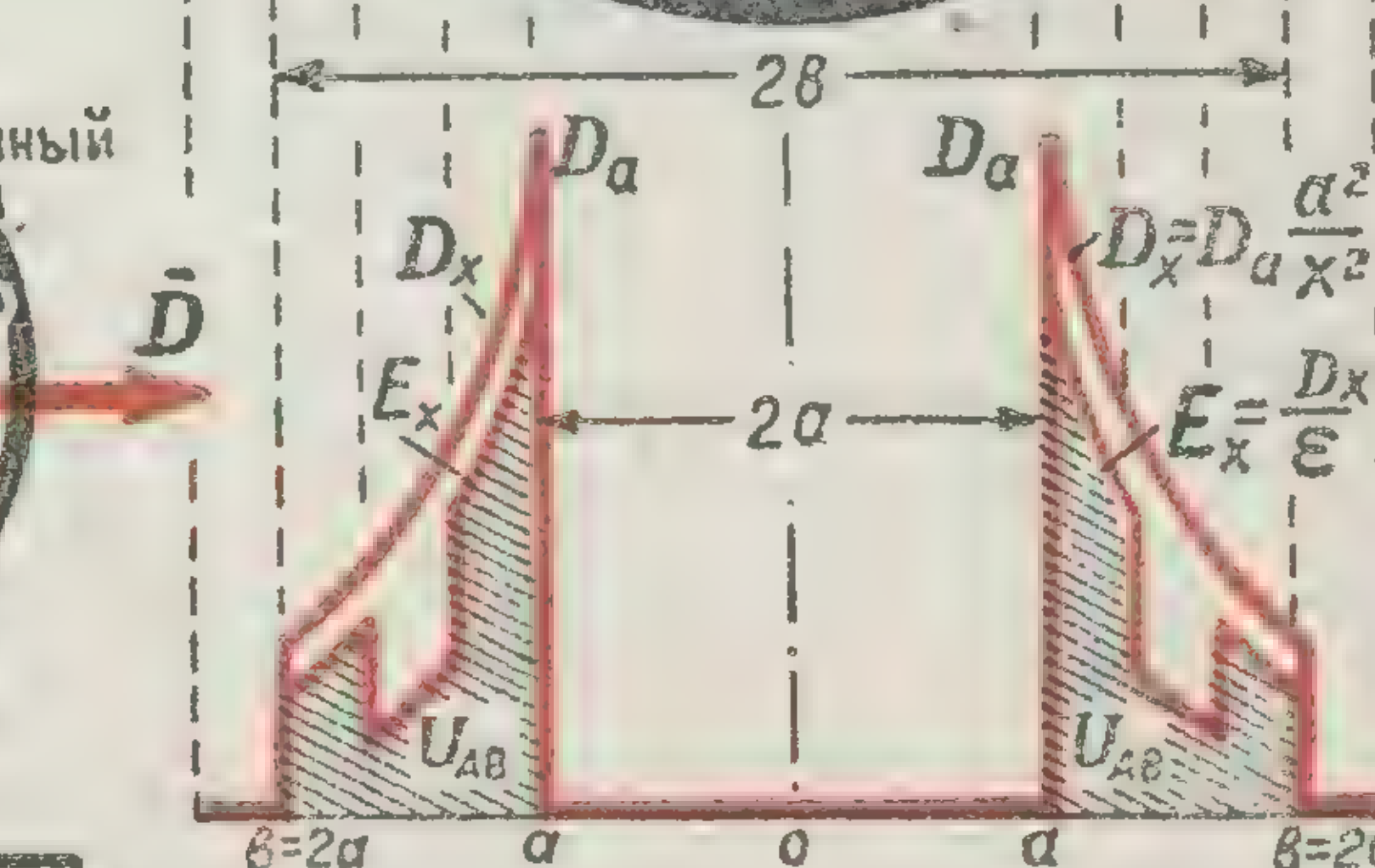
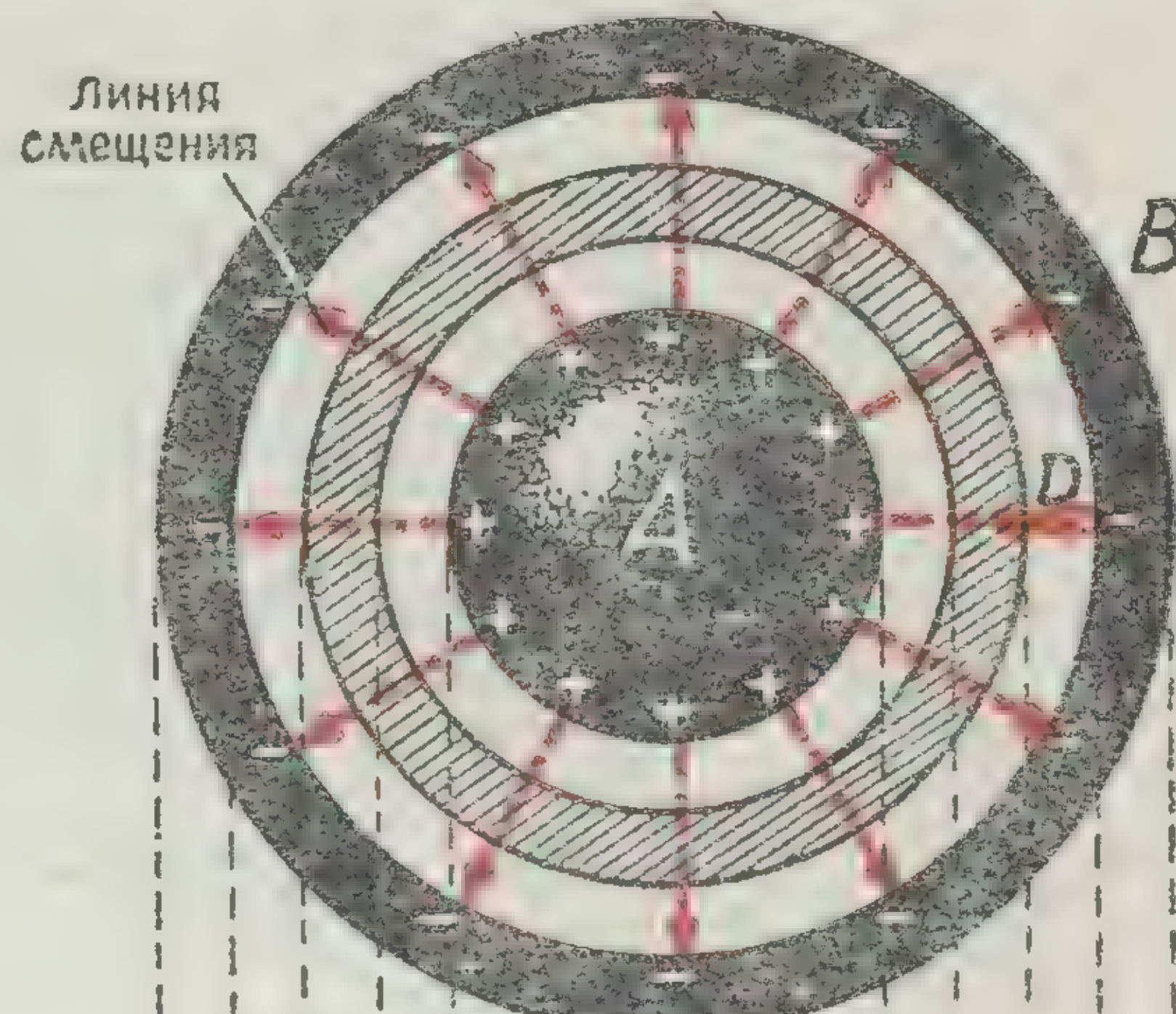


Многослойный диэлектрик в однородном поле (последовательное соединение слоев)
Ср. табл. 2

Вектор смещения является вспомогательной величиной, равной, в определенной системе единиц, сумме векторов напряженности и поляризации



Многослойный диэлектрик в сферическом поле (параллельное соединение слоев)
Ср. табл. 6, гл. 1



Многослойный диэлектрик в сферическом поле (последовательное соединение слоев)

$$\vec{D} = \frac{\Delta Q_{\text{пров}}}{\Delta S_n} \vec{n} = \epsilon_{\text{пров}} \vec{E} \quad \frac{\text{Кл}}{\text{м}^2}$$

Вектор смещения измеряется поверхностной плотностью заряда, наведенного на бесконечно тонкой проводящей пластинке, совмещенной в рассматриваемой точке с эквипотенциальной поверхностью

$$N_D = \sum \vec{D} \cdot \Delta \vec{S} = \sum Q \quad \text{Кл}$$

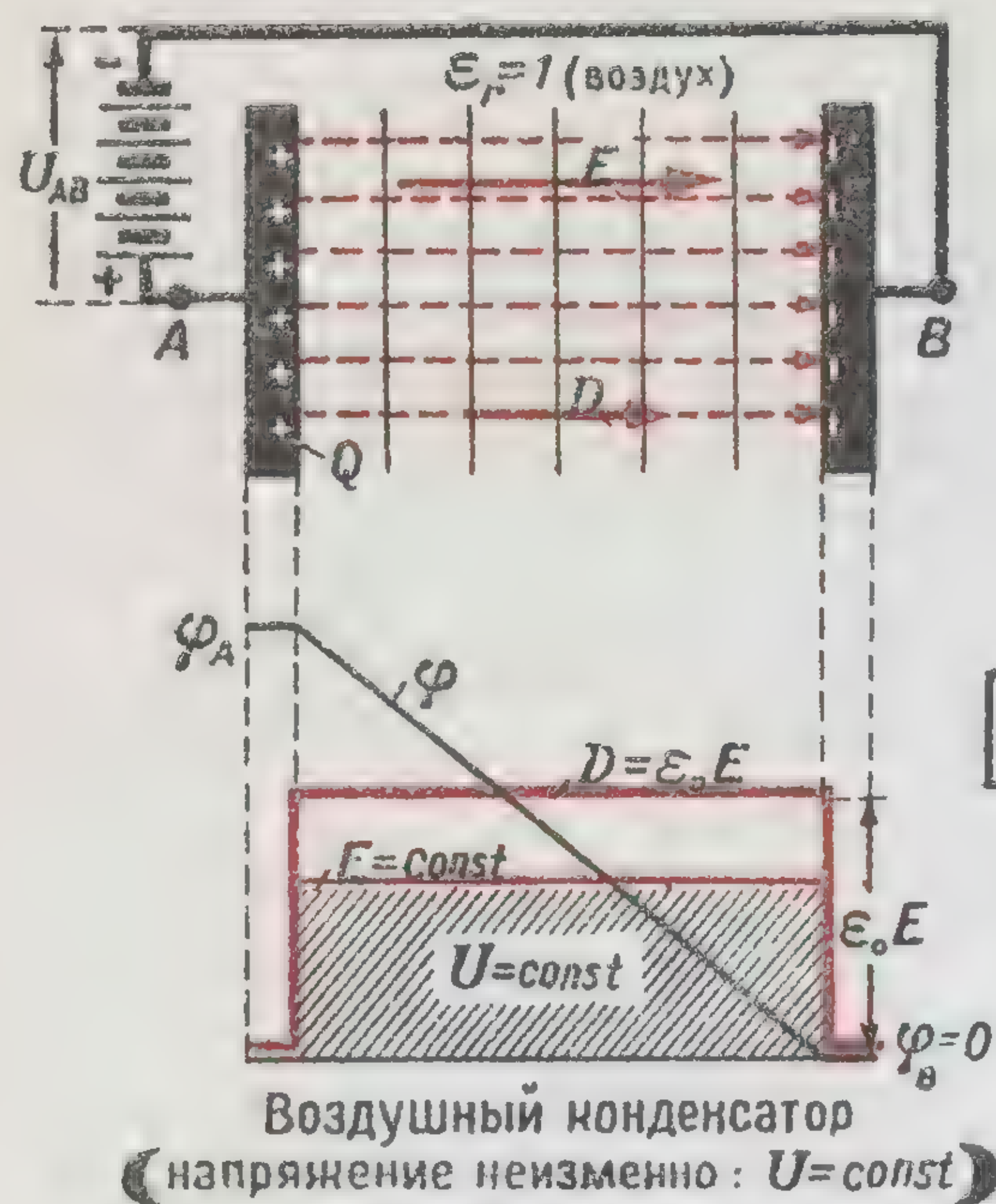
Поток вектора смещения сквозь произвольную замкнутую поверхность равен свободному заряду, заключенному внутри этой поверхности

$$\vec{D} = \frac{\Delta N_D}{\Delta S_n} \vec{n} = \frac{\text{Кл}}{\text{м}^2}$$

Вектор смещения равен плотности потока смещения

Теорема Остроградского — Гаусса при наличии диэлектриков

ЭЛЕКТРИЧЕСКАЯ ПРОНИЦАЕМОСТЬ



$$\alpha = \frac{\vec{P}}{\epsilon_0 \vec{E}} = \frac{\vec{D} - \epsilon_0 \vec{E}}{\epsilon_0 \vec{E}}$$

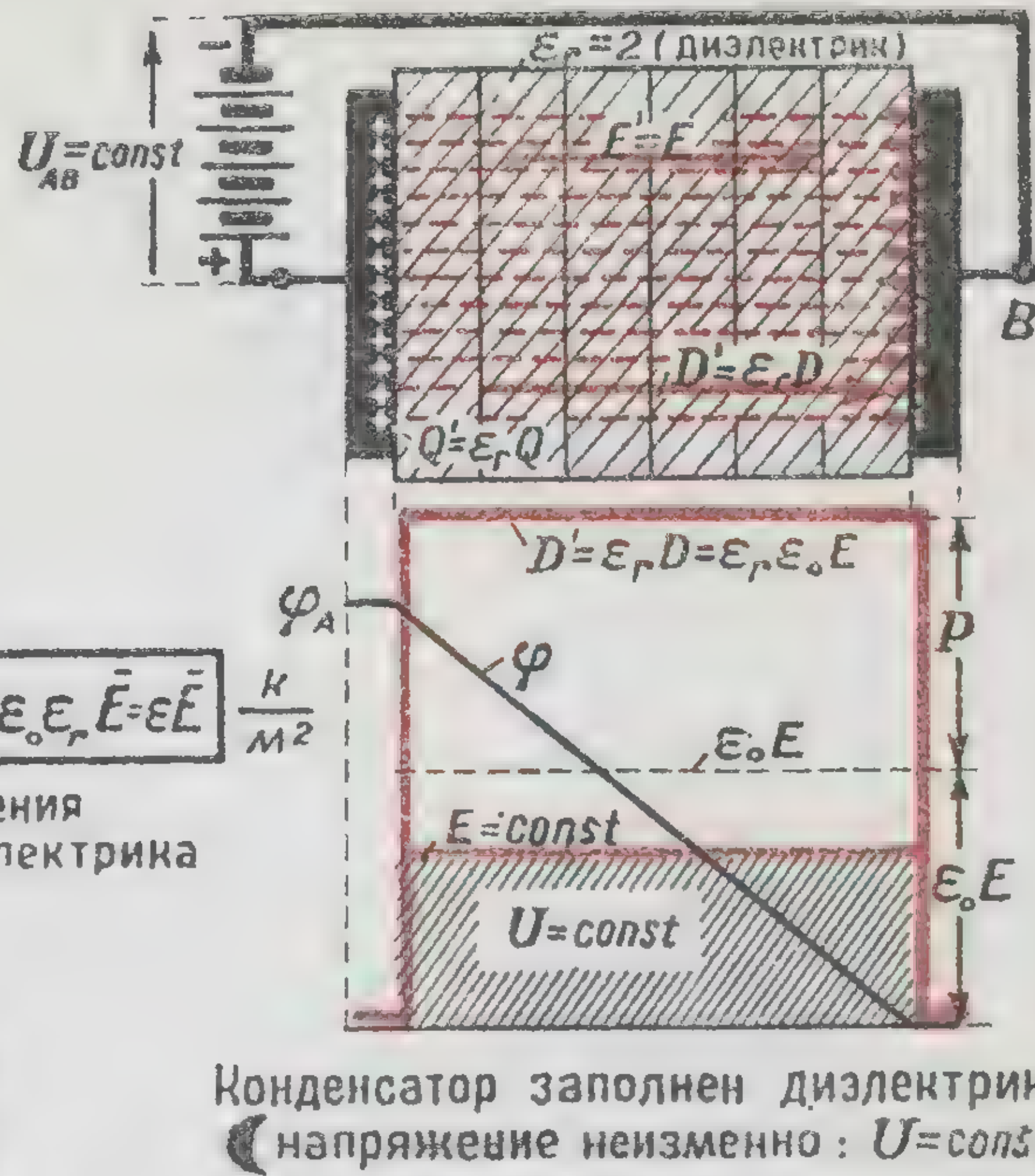
Поляризуемость
диэлектрика

$$\vec{D} = \epsilon_0 \vec{E} + \vec{P} = \epsilon_0 (1 + \alpha) \vec{E} = \epsilon_0 \epsilon_r \vec{E} = \epsilon \vec{E}$$

Величина смещения
после внесения диэлектрика

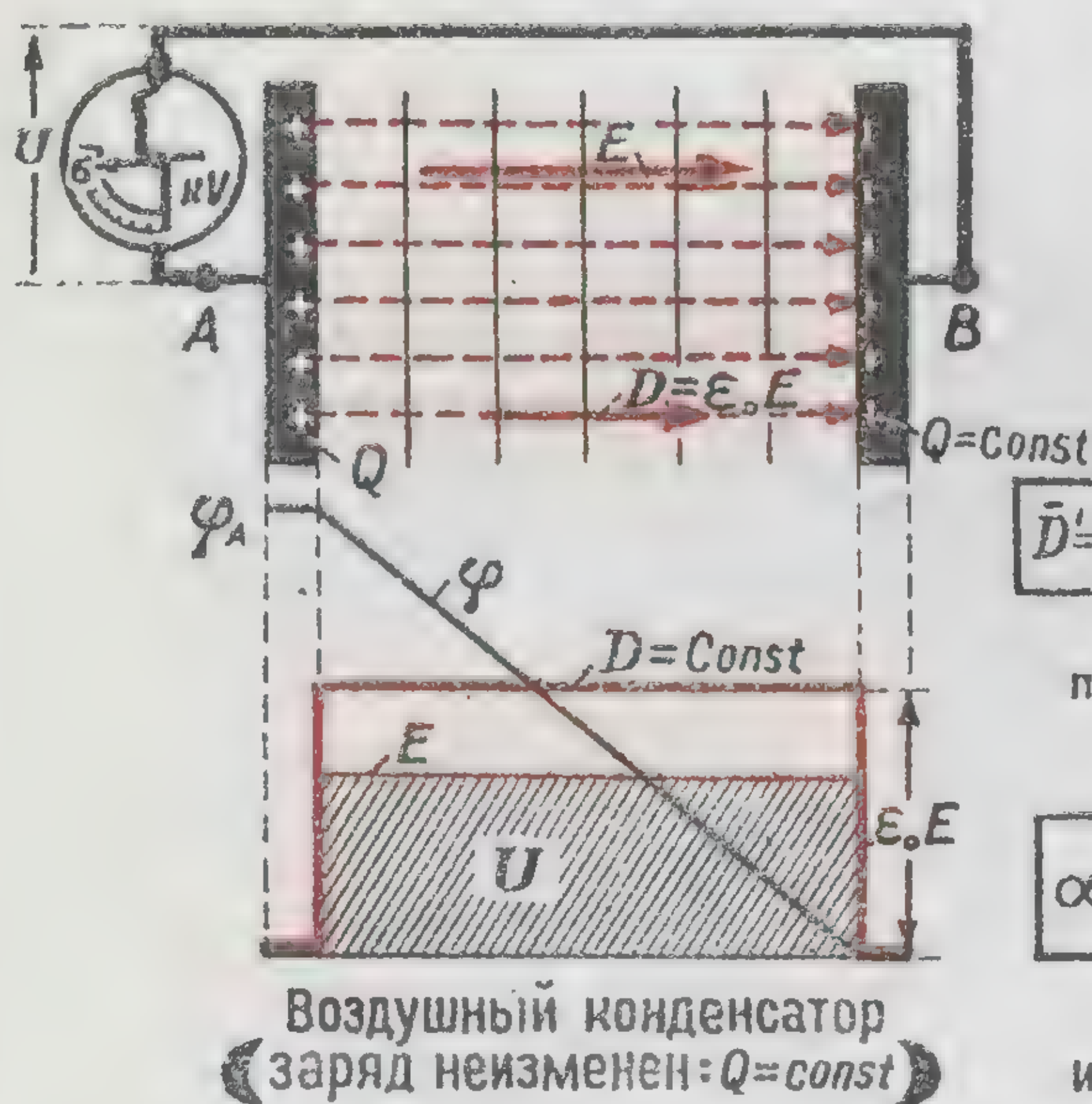
$$\epsilon_r = 1 + \alpha = \frac{\vec{D}}{\epsilon_0 \vec{E}}$$

Относительная
электрическая
проницаемость



$$\epsilon = \epsilon_r \epsilon_0 = \frac{\vec{D}}{\vec{E}} \quad \frac{\Phi}{M}$$

Абсолютная
проницаемость



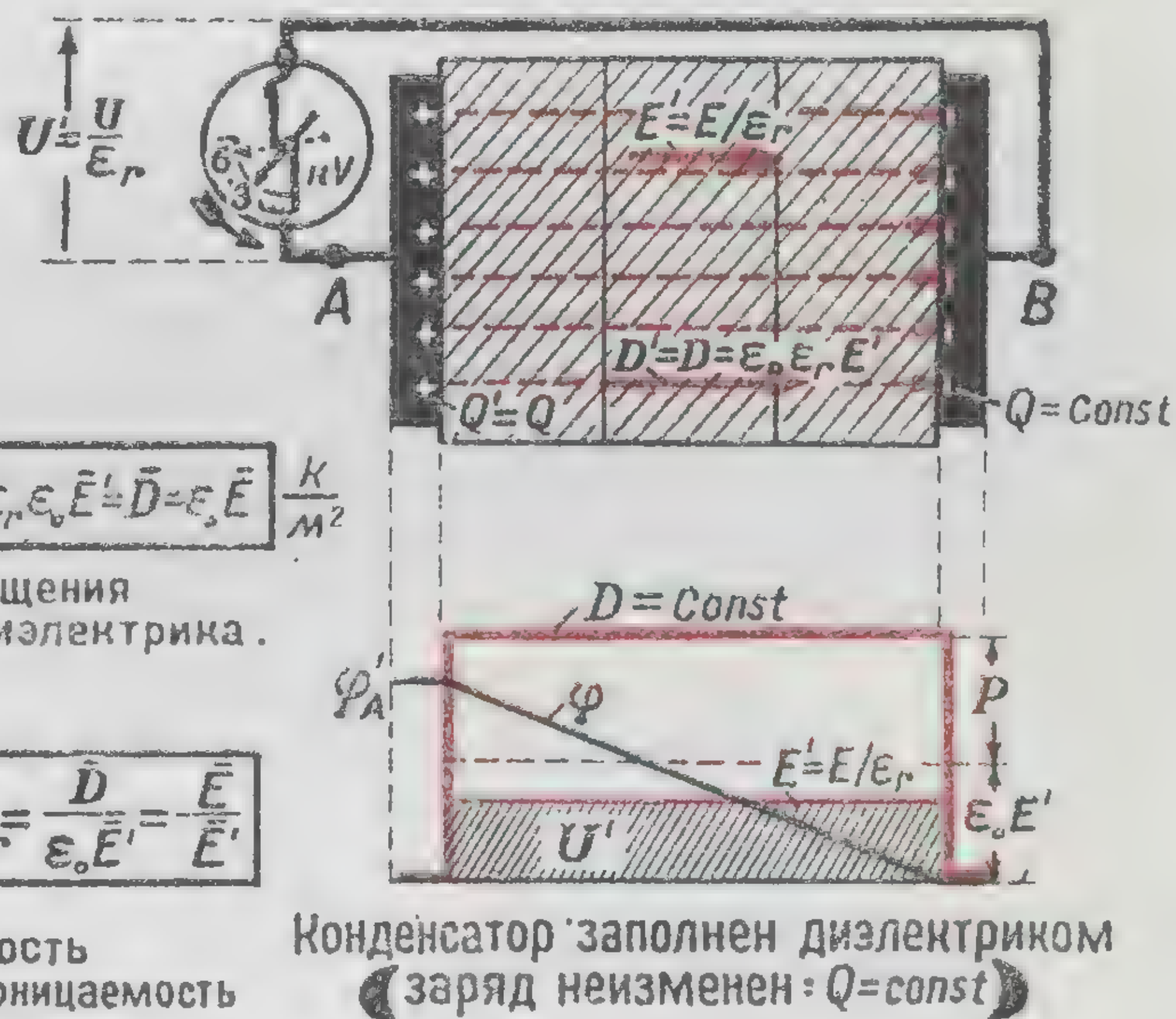
$$\vec{D}' = \epsilon_0 \vec{E}' + \vec{P} = \epsilon_0 (1 + \alpha) \vec{E}' = \epsilon_r \epsilon_0 \vec{E}' = \vec{D} = \epsilon_0 \vec{E}$$

Величина смещения
после внеоения диэлектрика.

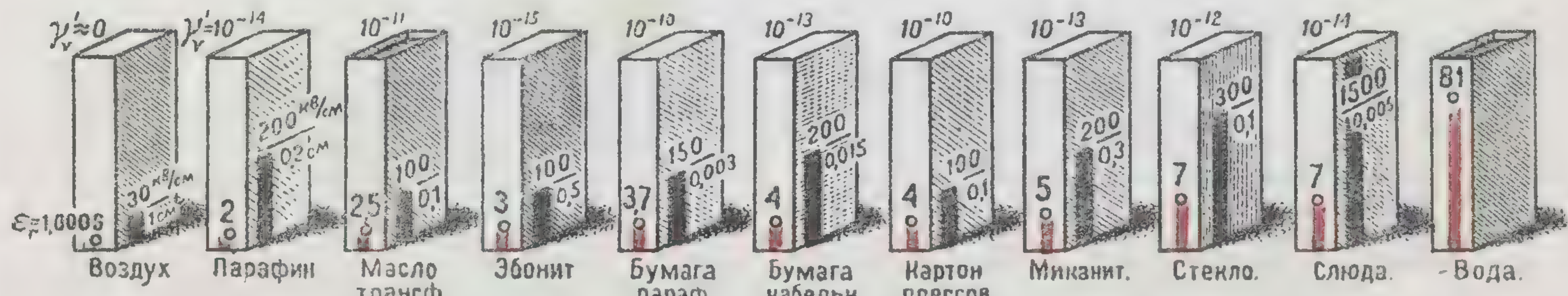
$$\alpha = \frac{\vec{P}}{\epsilon_0 \vec{E}'} = \frac{\vec{E} - \vec{E}'}{\vec{E}'}$$

$$\epsilon_r = \frac{\vec{D}}{\epsilon_0 \vec{E}'} = \frac{\vec{E}}{\vec{E}'}$$

Поляризуемость
и относительная проницаемость



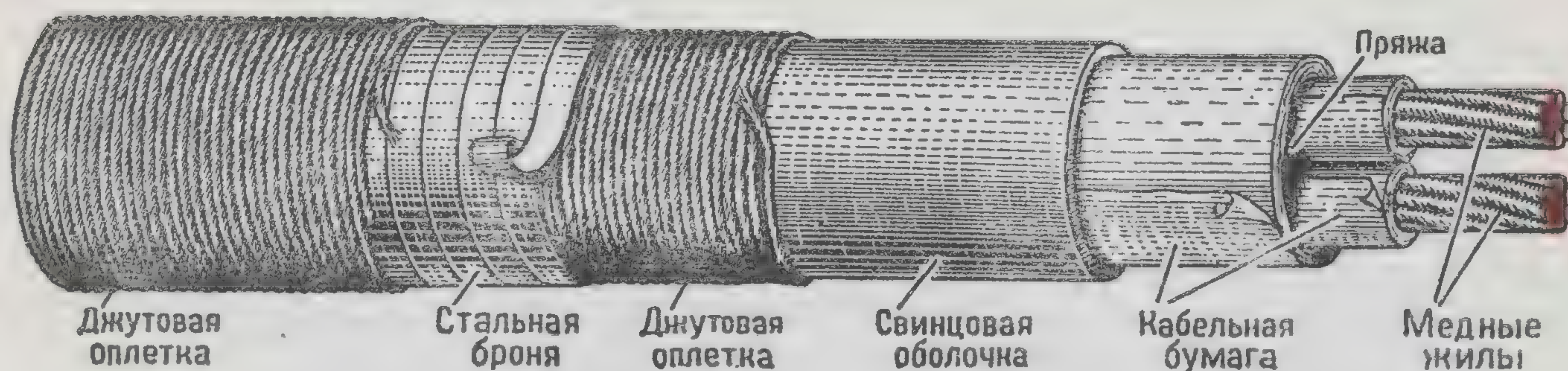
При постоянной напряженности поля
ОТНОСИТЕЛЬНАЯ ЭЛЕКТРИЧЕСКАЯ ПРОНИЦАЕМОСТЬ вещества
(диэлектрический коэффициент)
показывает **ВО СКОЛЬКО РАЗ** возрастает величина смещения,
а **ПОЛЯРИЗУЕМОСТЬ** — **НА СКОЛЬКО**, в относительных единицах,
возрастает величина смещения при замене вакуума данным веществом



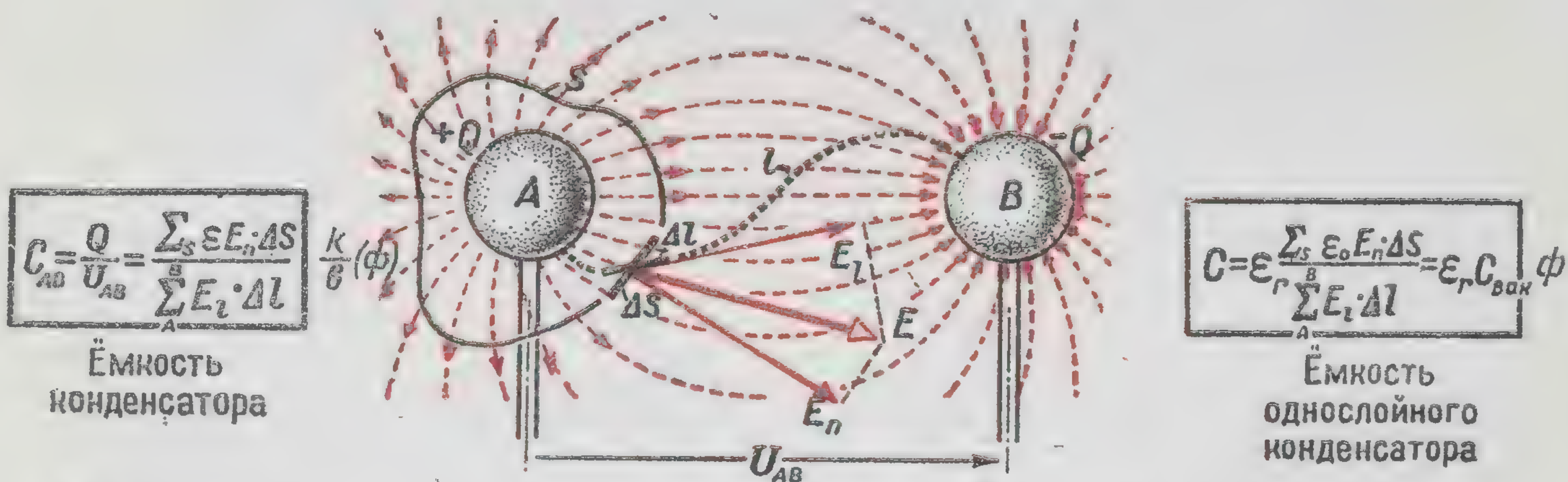
ОТНОСИТЕЛЬНАЯ ПРОНИЦАЕМОСТЬ ϵ_r , ЭЛЕКТРИЧЕСКАЯ ПРОЧНОСТЬ $E_{\text{проб}}$ (кВ/см) при толщине d (см)
и УДЕЛЬНАЯ ОБЪЕМНАЯ ПРОВОДИМОСТЬ γ_v (1/ом·м) НЕКОТОРЫХ ДИЭЛЕКТРИКОВ
(см. также таблицу 14 „Пробой диэлектрика”)

Э.И.Расовский.

ЕМКОСТЬ



ДВУХЖИЛЬНЫЙ КАБЕЛЬ КАК КОНДЕНСАТОР.



Ёмкость конденсатора, измеряемая отношением его заряда к напряжению между обкладками, является характеристикой конденсатора, зависящей от его геометрических размеров, т. е. от конфигурации поля, и от свойств изолирующей среды

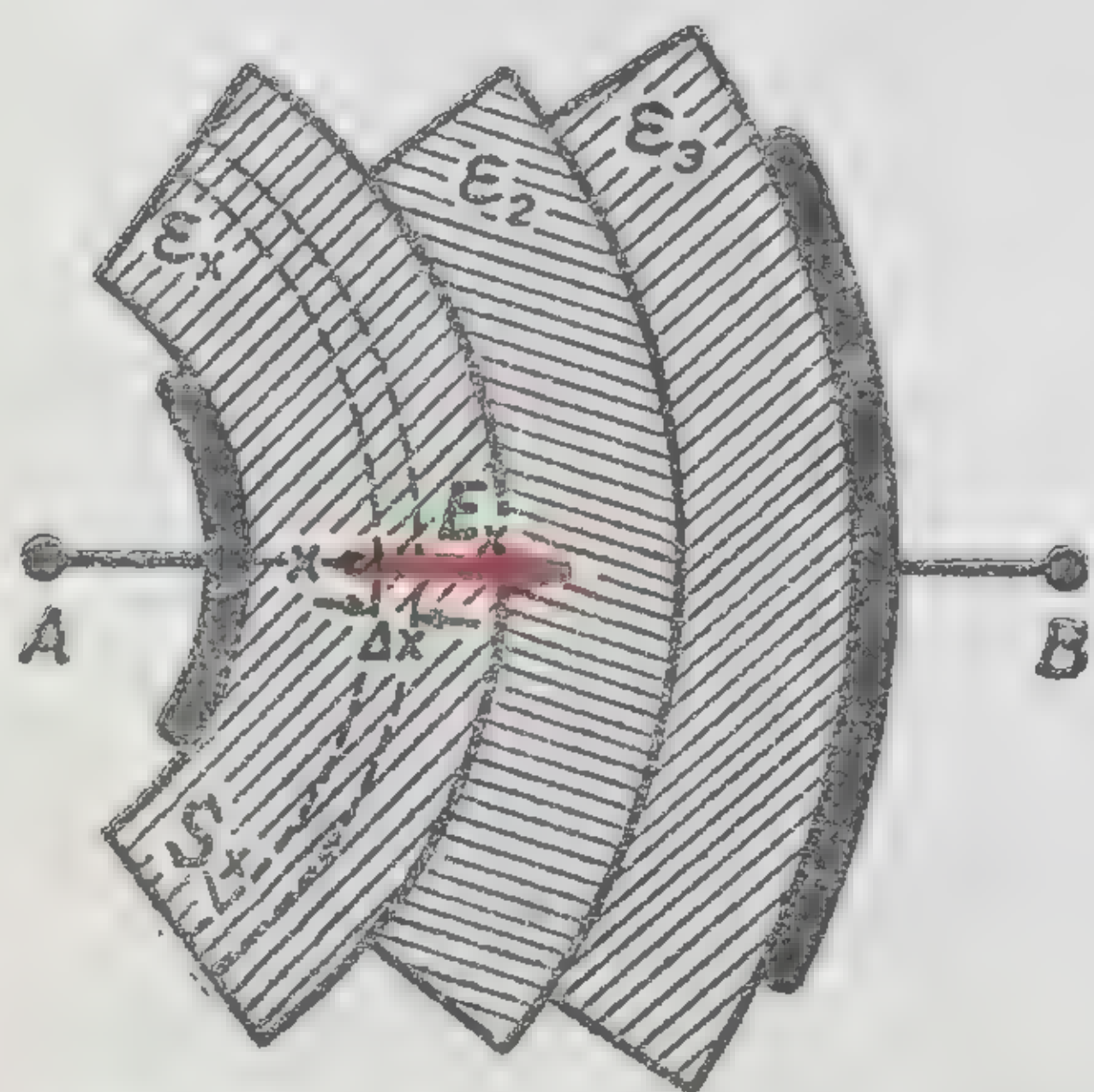
$$\epsilon_r = \frac{C}{C_{\text{вак}}}$$

Относительная проницаемость

ОТНОСИТЕЛЬНАЯ ПРОНИЦАЕМОСТЬ диэлектрика показывает во сколько раз возрастает ёмкость конденсатора, а ПОЛЯРИЗУЕМОСТЬ — на сколько, в относительных единицах, возрастает ёмкость конденсатора при замене в нем вакуума рассматриваемым диэлектриком

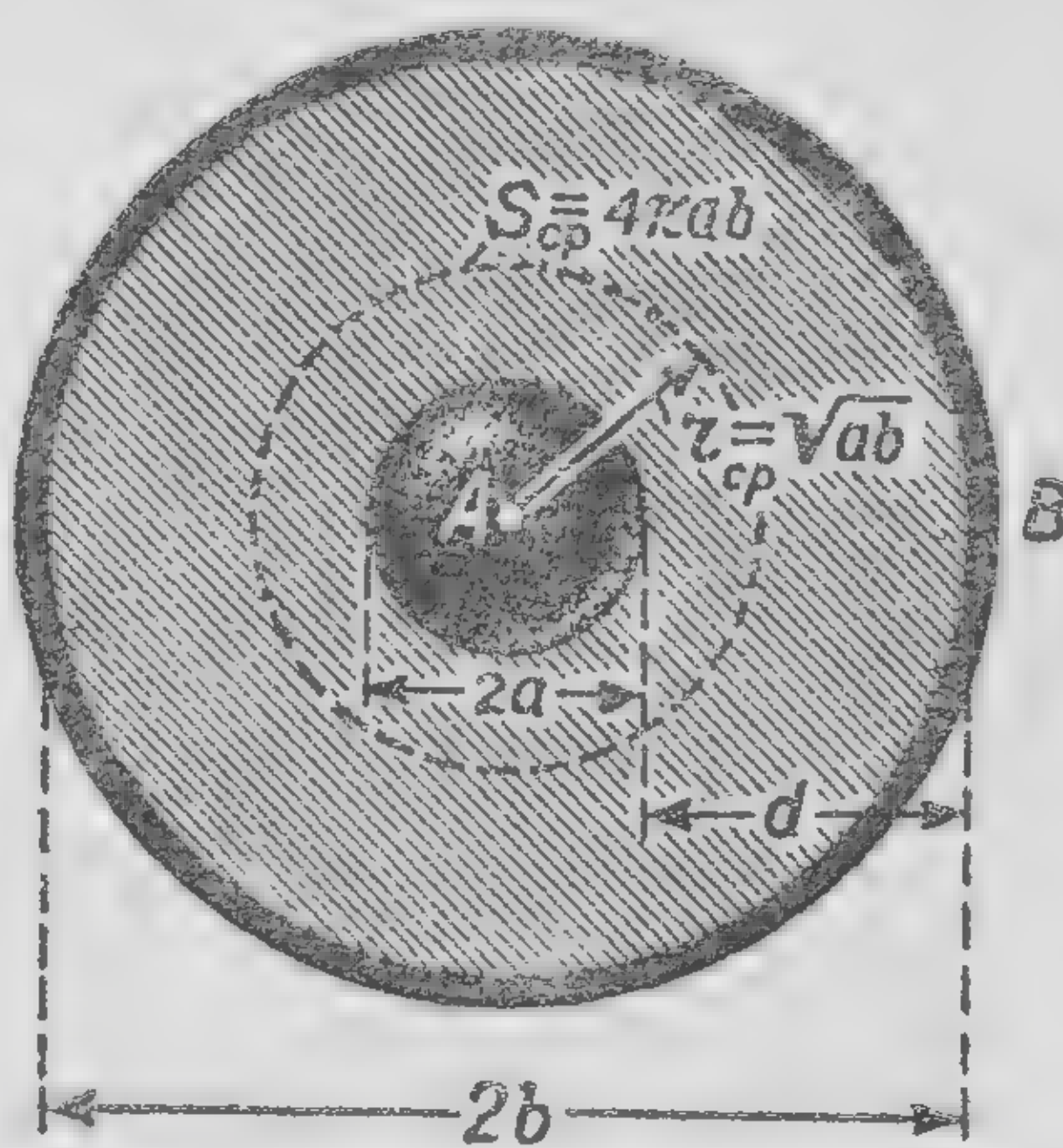
$$\alpha = \frac{C - C_{\text{вак}}}{C_{\text{вак}}}$$

Поляризуемость



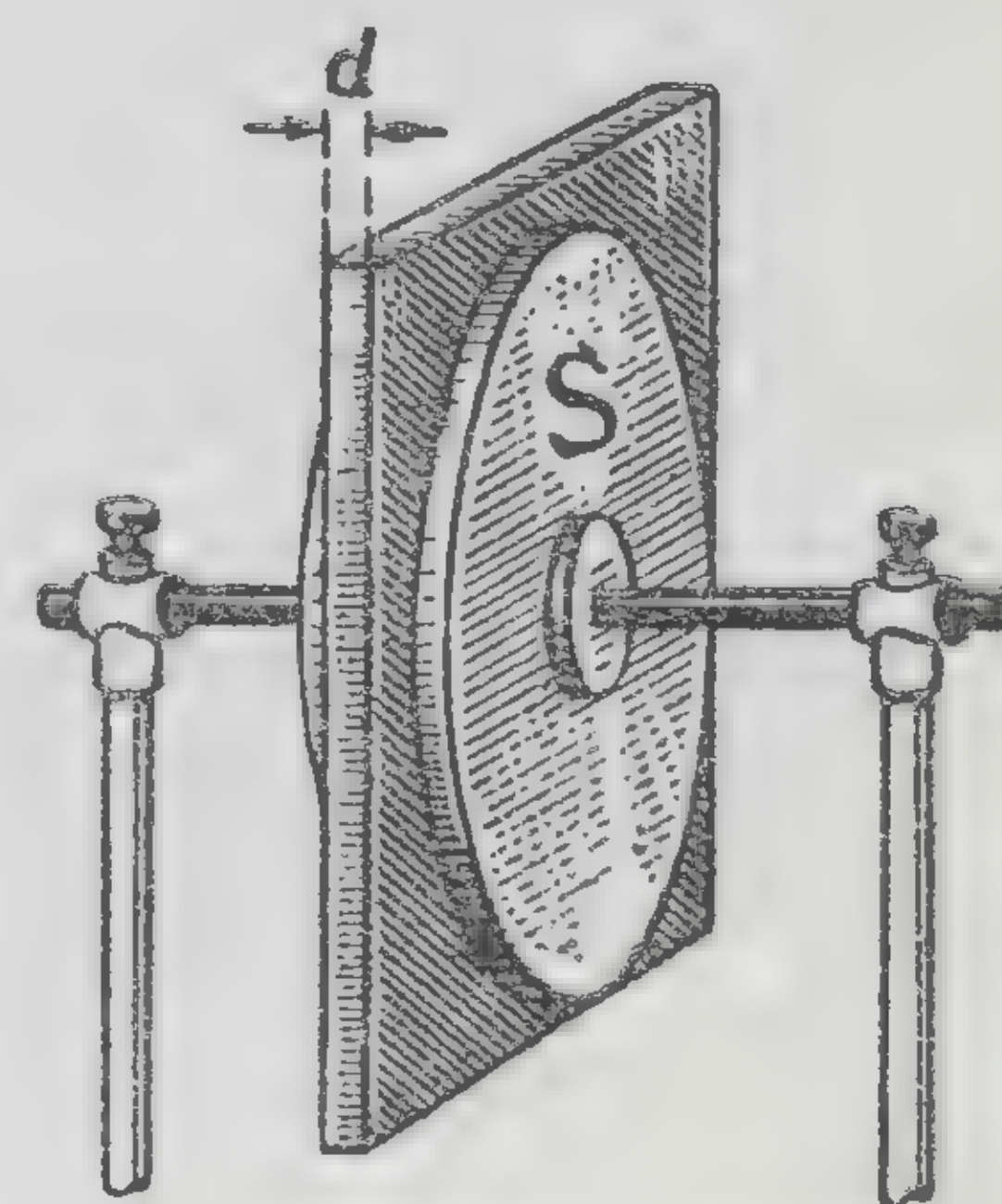
$$\frac{1}{C} = \frac{U_{AB}}{Q} = \sum_A^B \frac{E_x \Delta x}{\epsilon_x E_x S_x} = \sum_A^B \frac{\Delta x}{\epsilon_x S_x} \quad \frac{1}{\phi}$$

Вычисление ёмкости симметричного конденсатора



$$C = \epsilon \frac{S_{cp}}{d} = \epsilon \frac{4\pi ab}{b-a} \quad \phi$$

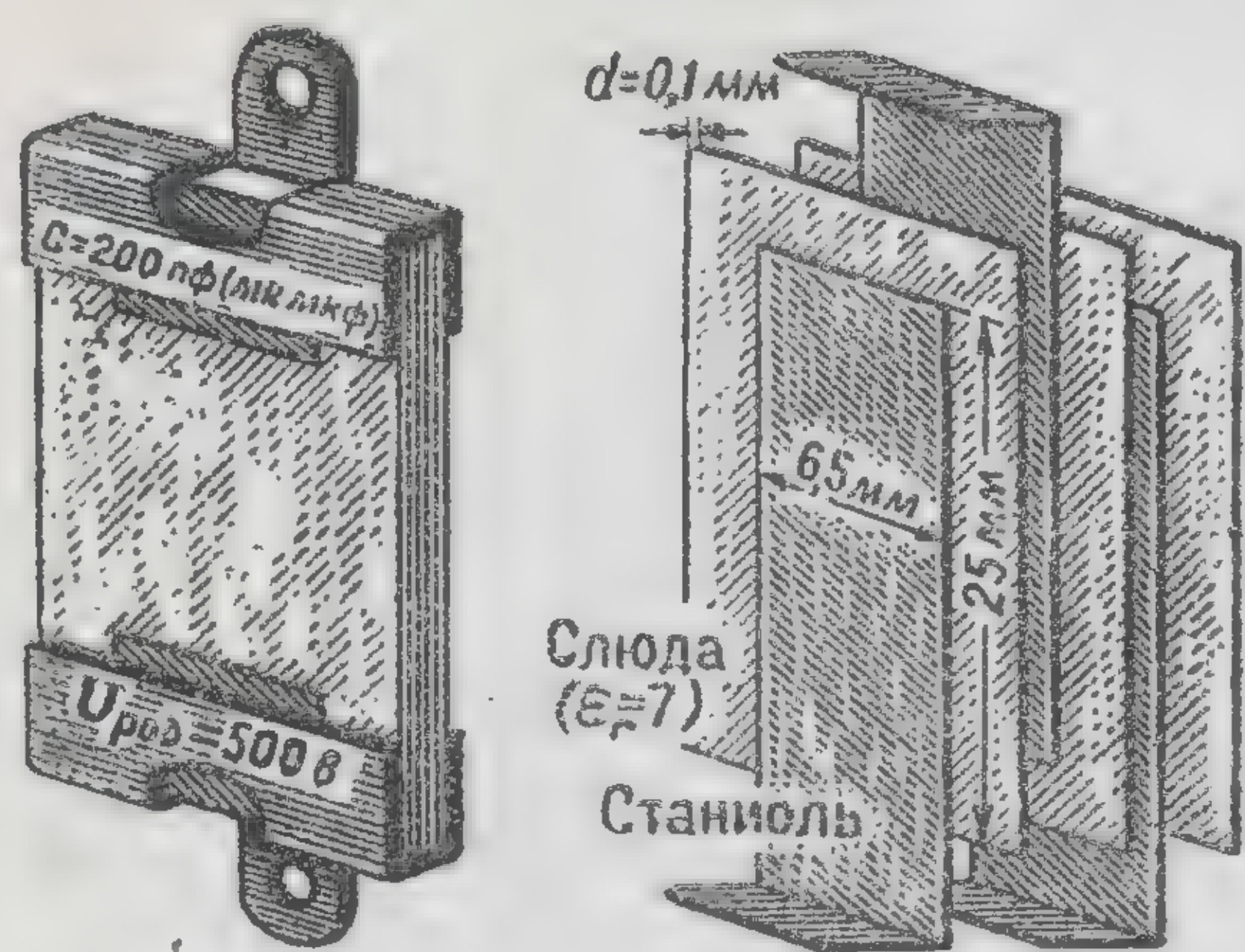
Ёмкость сферического конденсатора



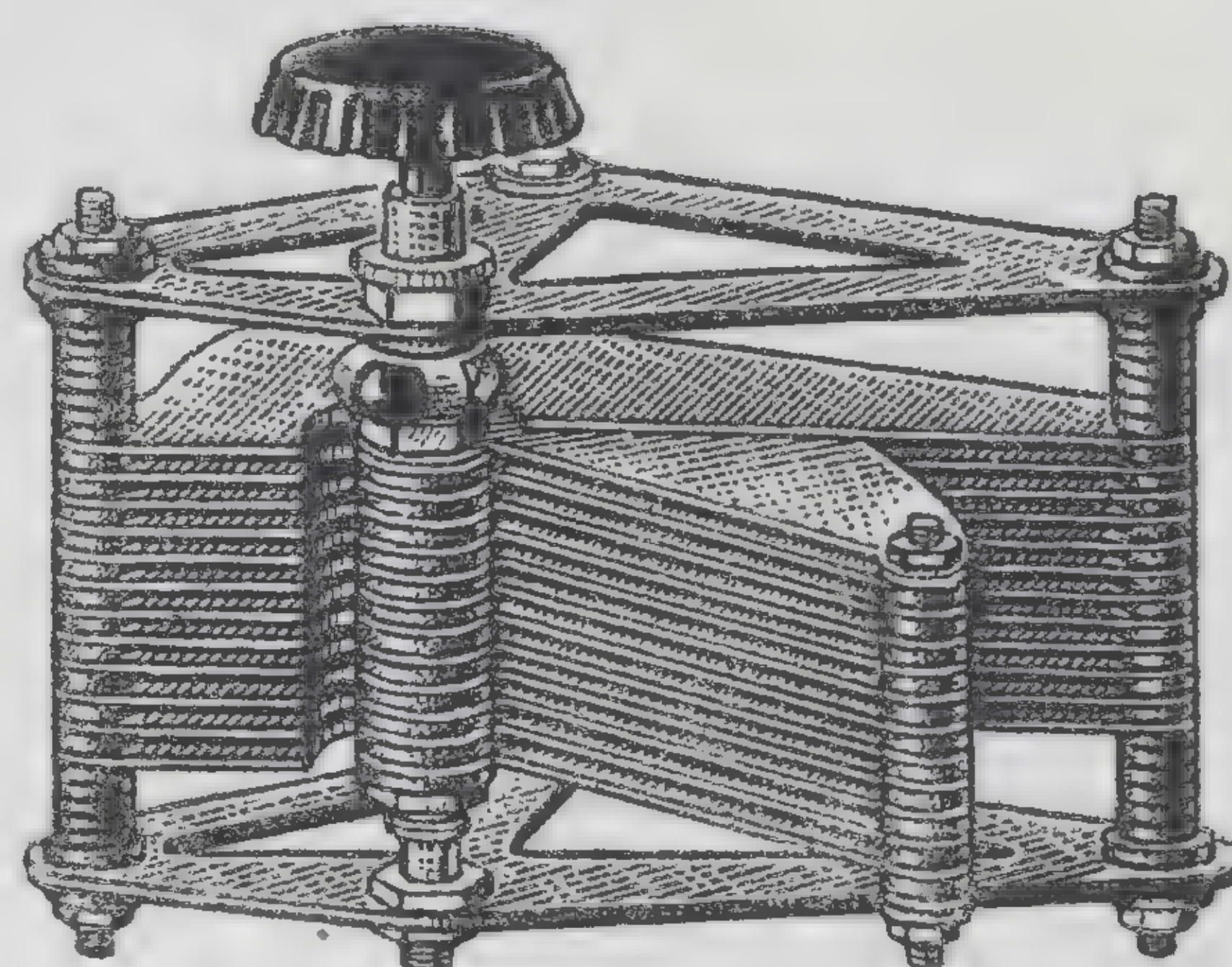
$$C = \epsilon \frac{S}{d} \quad \phi$$

Ёмкость плоского конденсатора

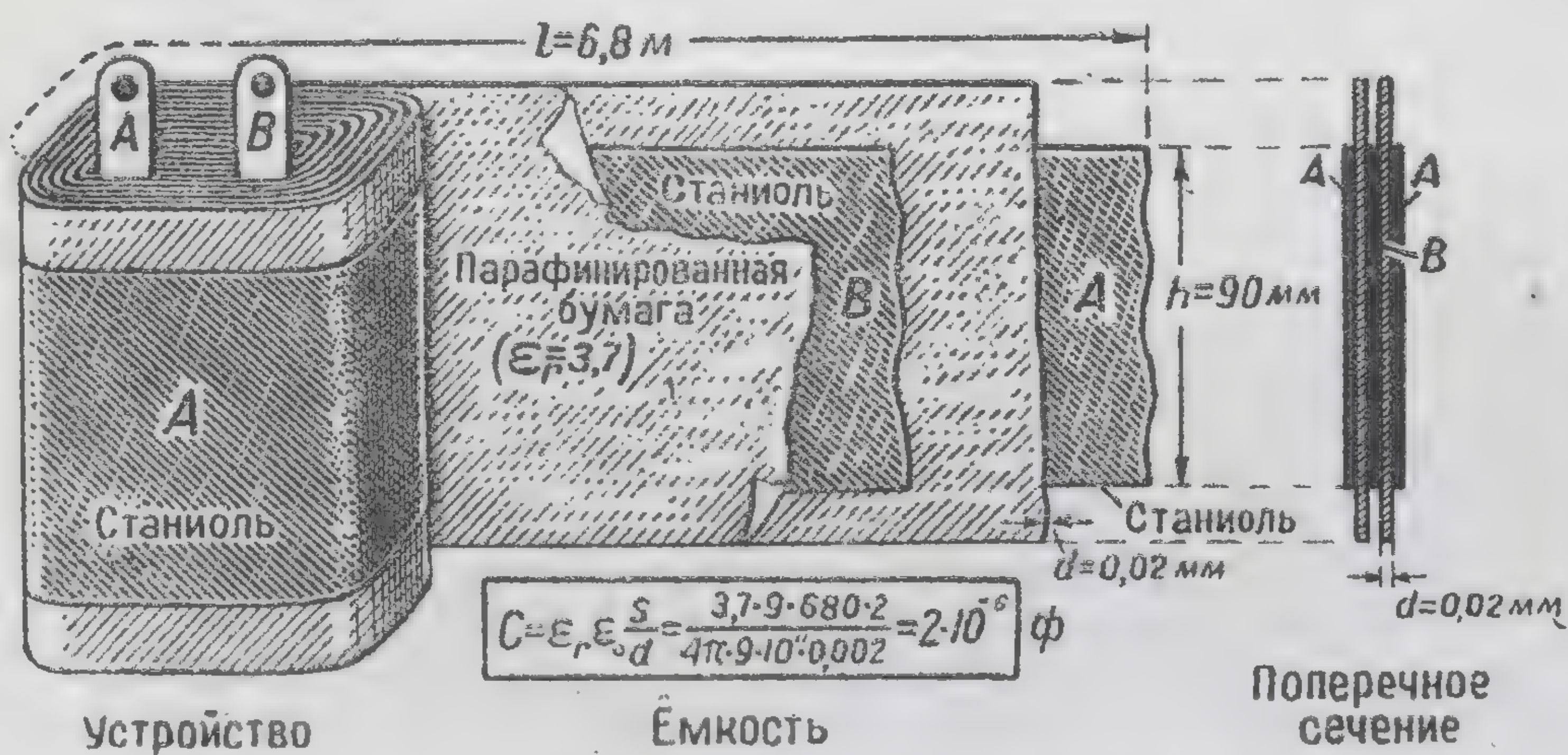
КОНДЕНСАТОРЫ



Общий вид
Слюдяной конденсатор



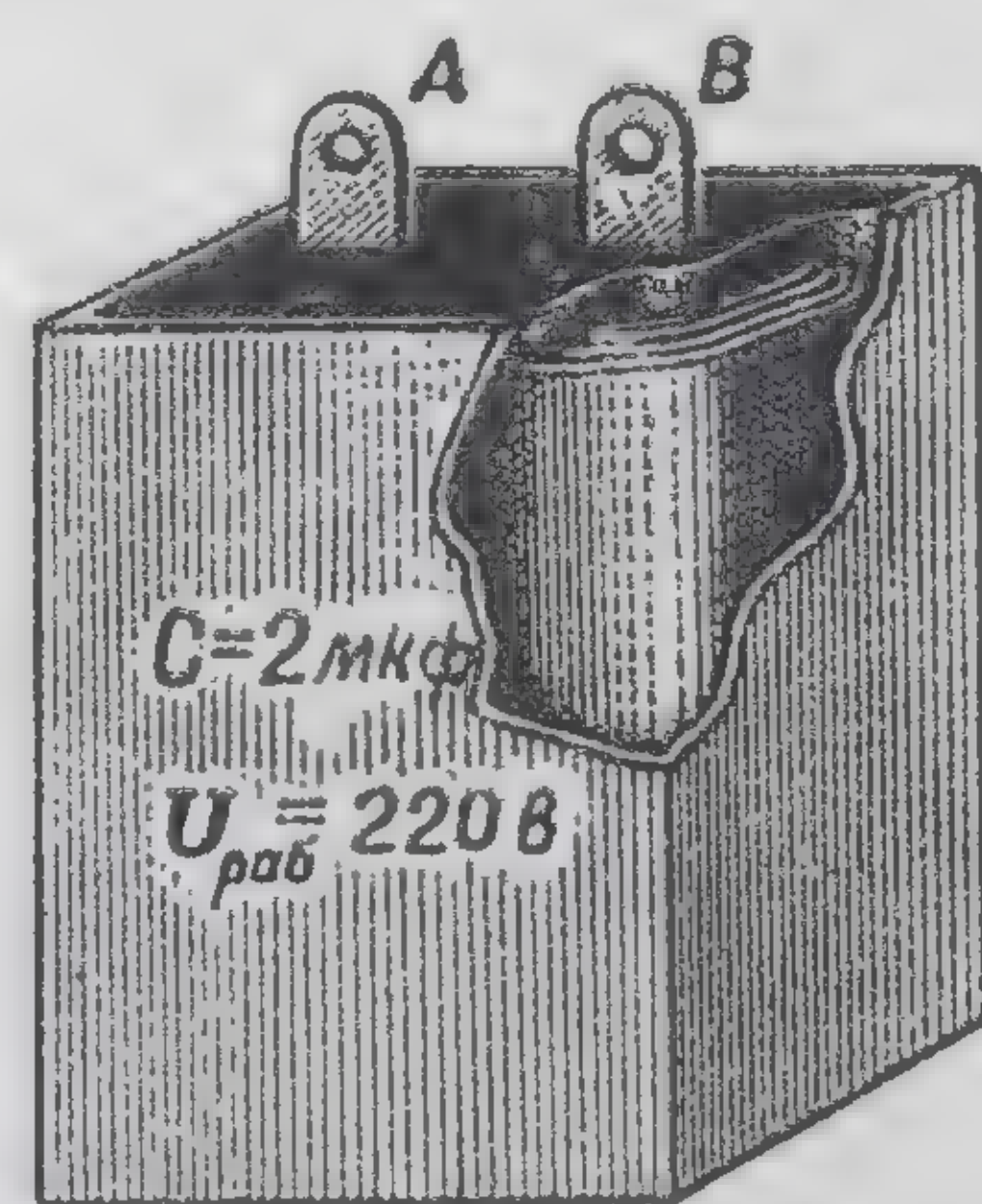
Воздушный конденсатор
переменной ёмкости



Устройство

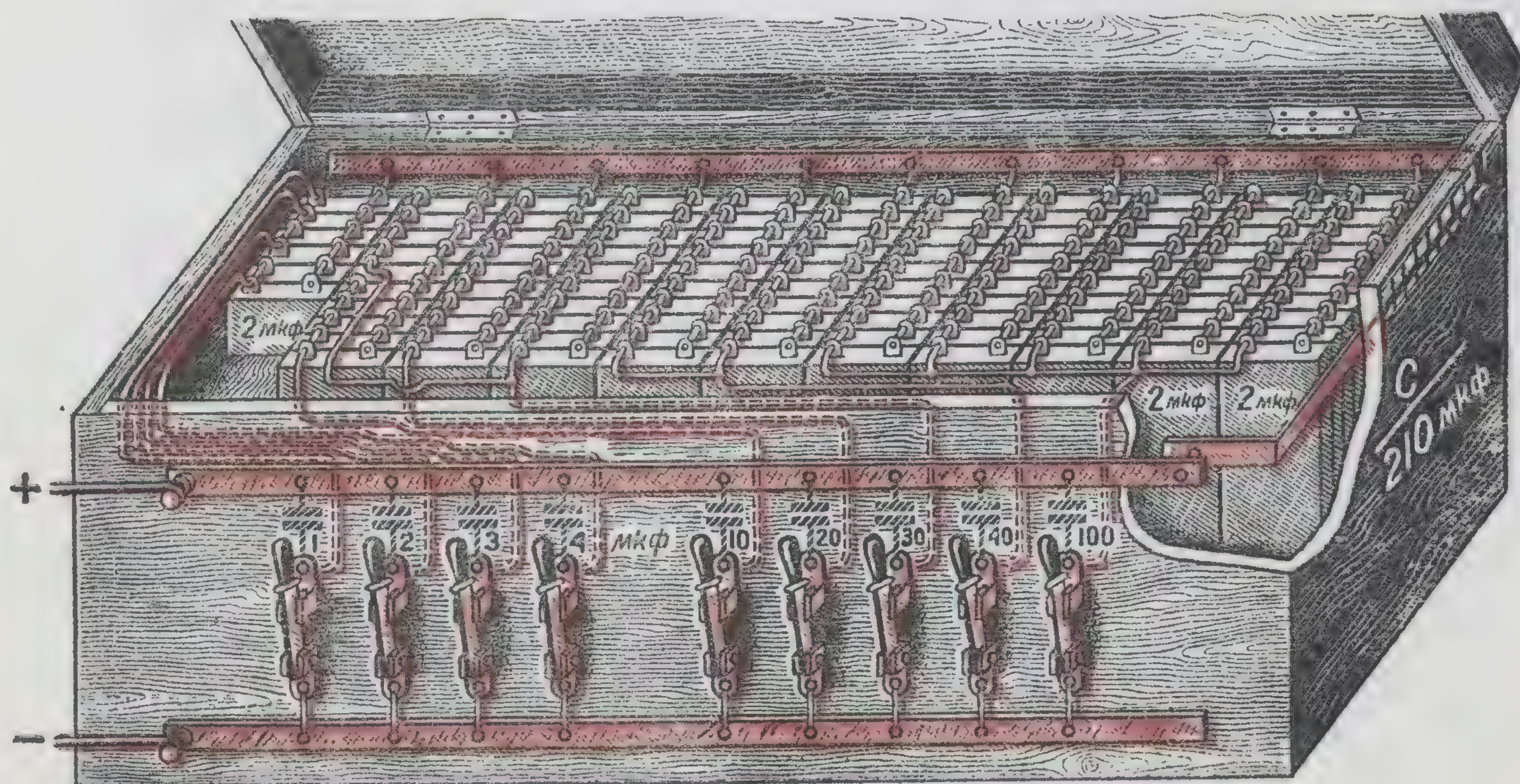
Ёмкость

Поперечное
сечение



Общий вид

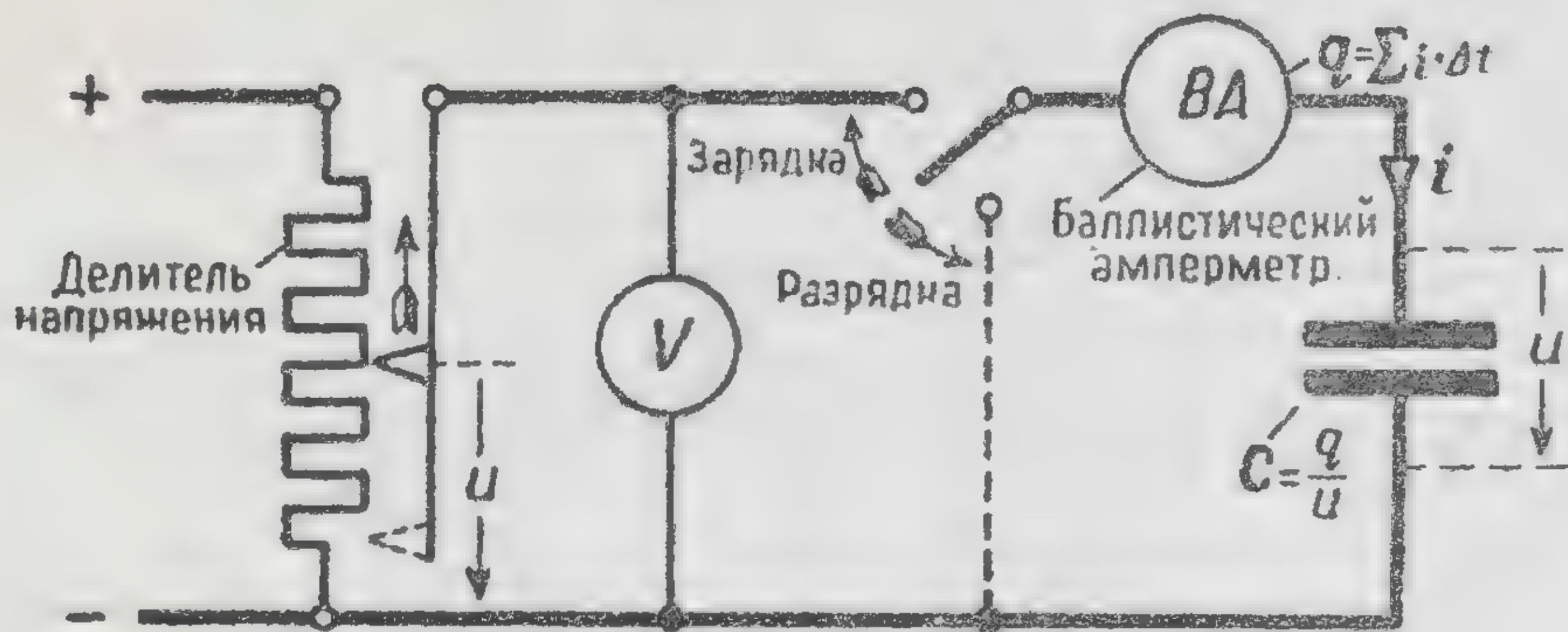
КОНДЕНСАТОР С БУМАЖНОЙ ИЗОЛЯЦИЕЙ



КОНДЕНСАТОРНЫЙ ЯЩИК

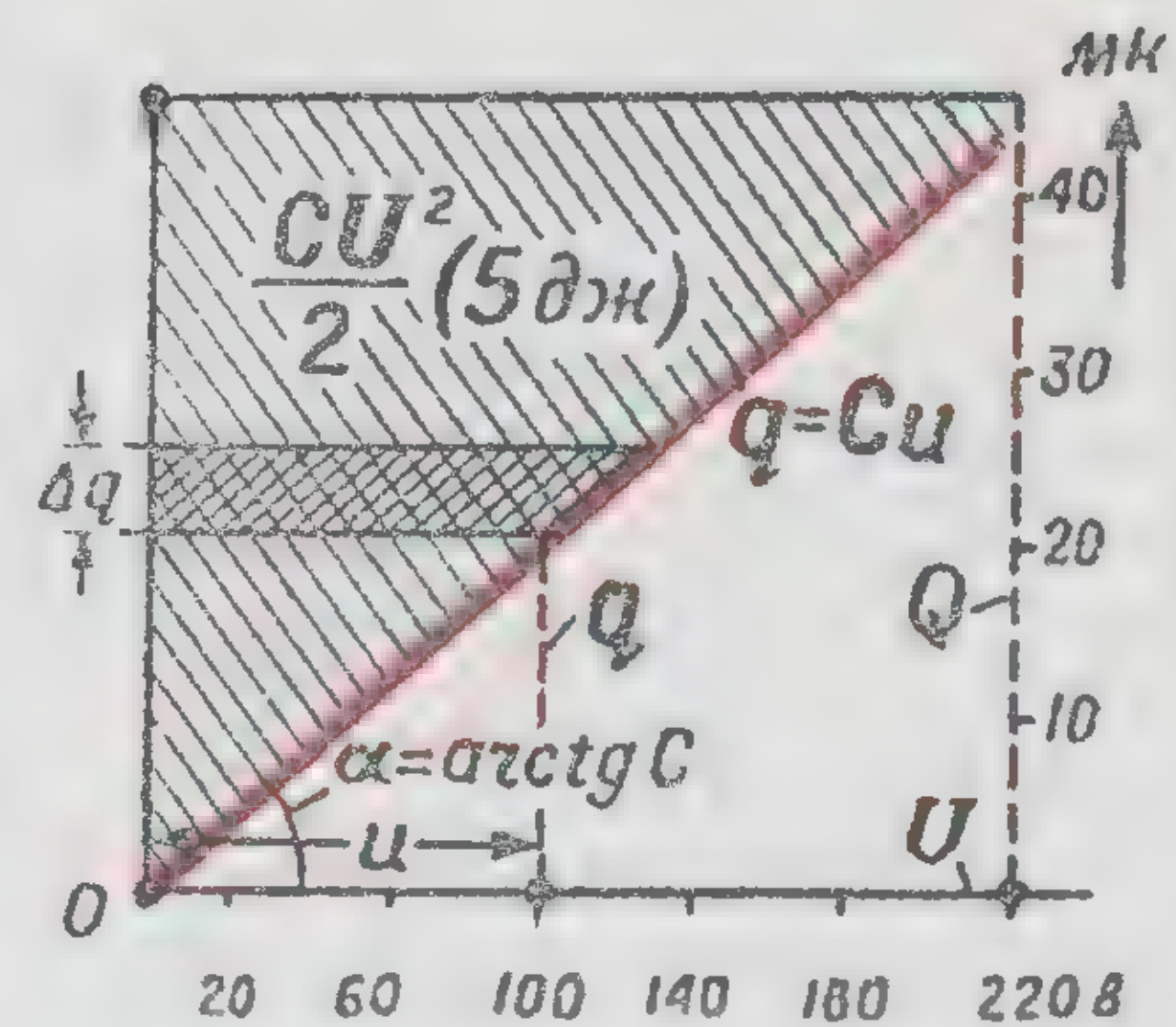
Э.И.Расовский

ЗАРЯДКА И РАЗРЯДКА КОНДЕНСАТОРА



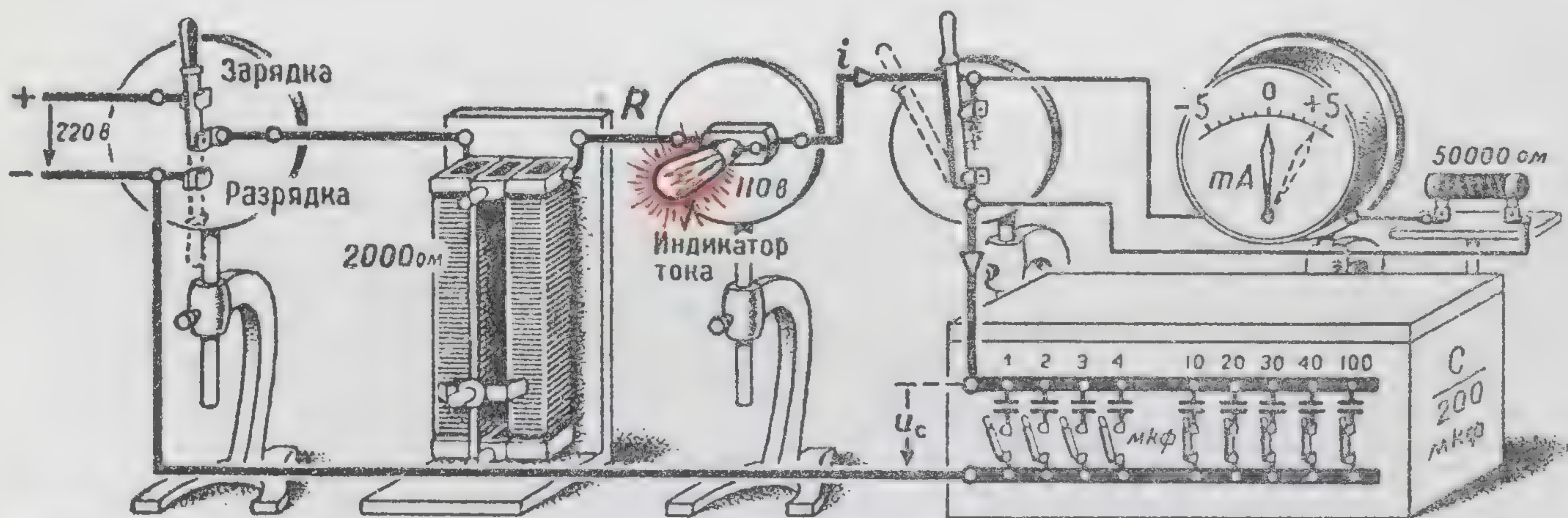
$$W_c = \sum_0^Q u \cdot \Delta q = \frac{QU}{2} = \frac{CU^2}{2} = \frac{Q^2}{2C} \text{ дж}$$

Энергия заряженного конденсатора

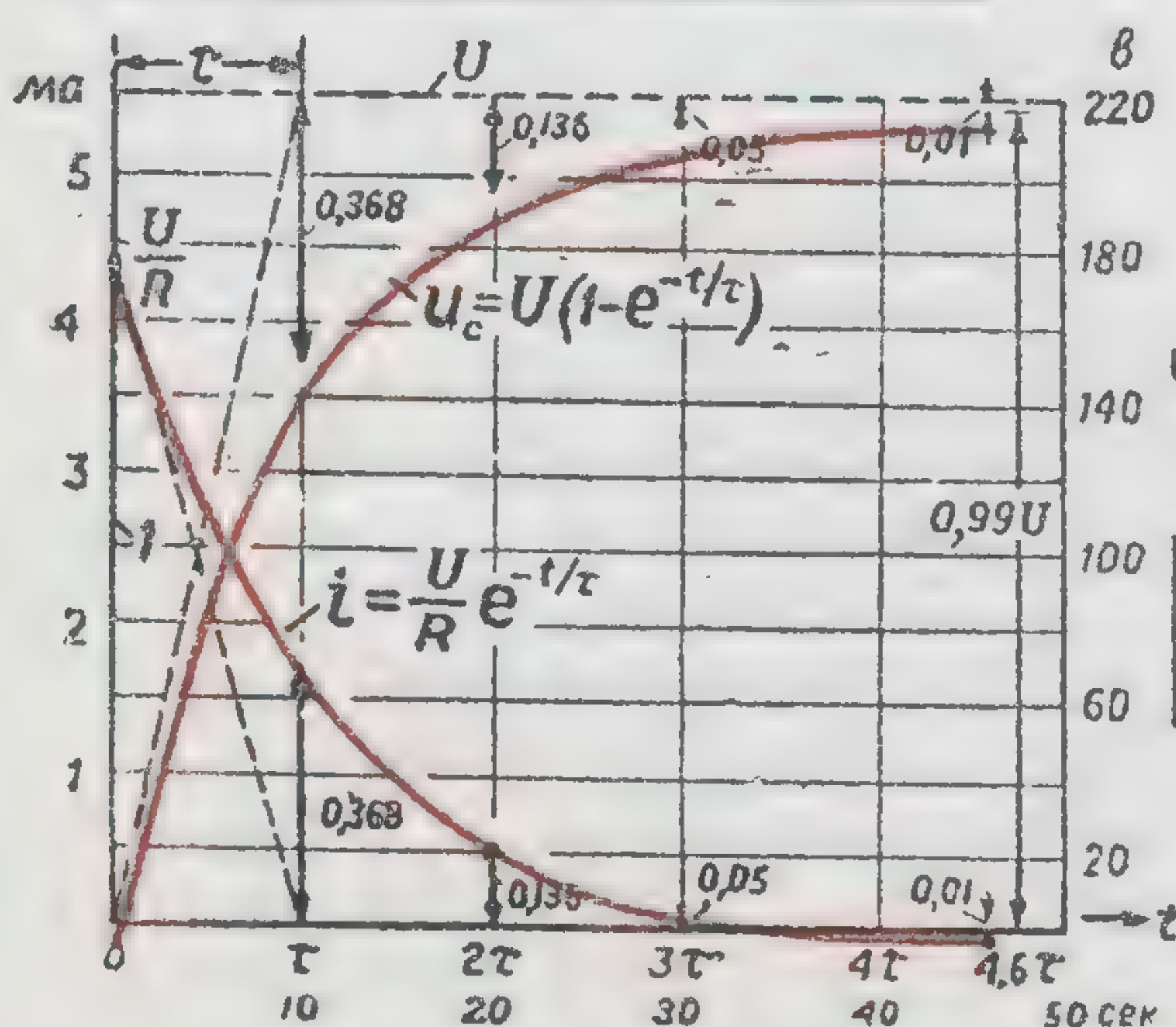
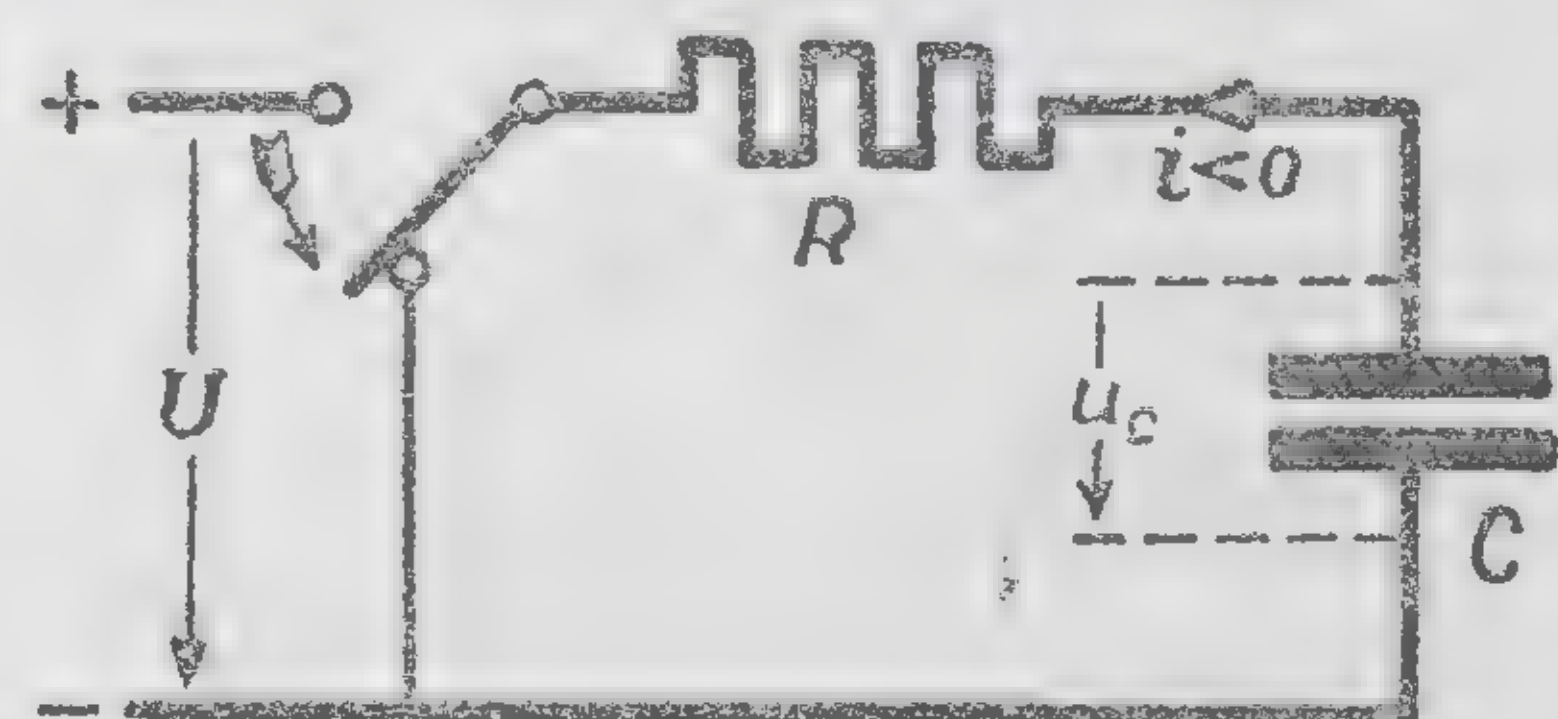
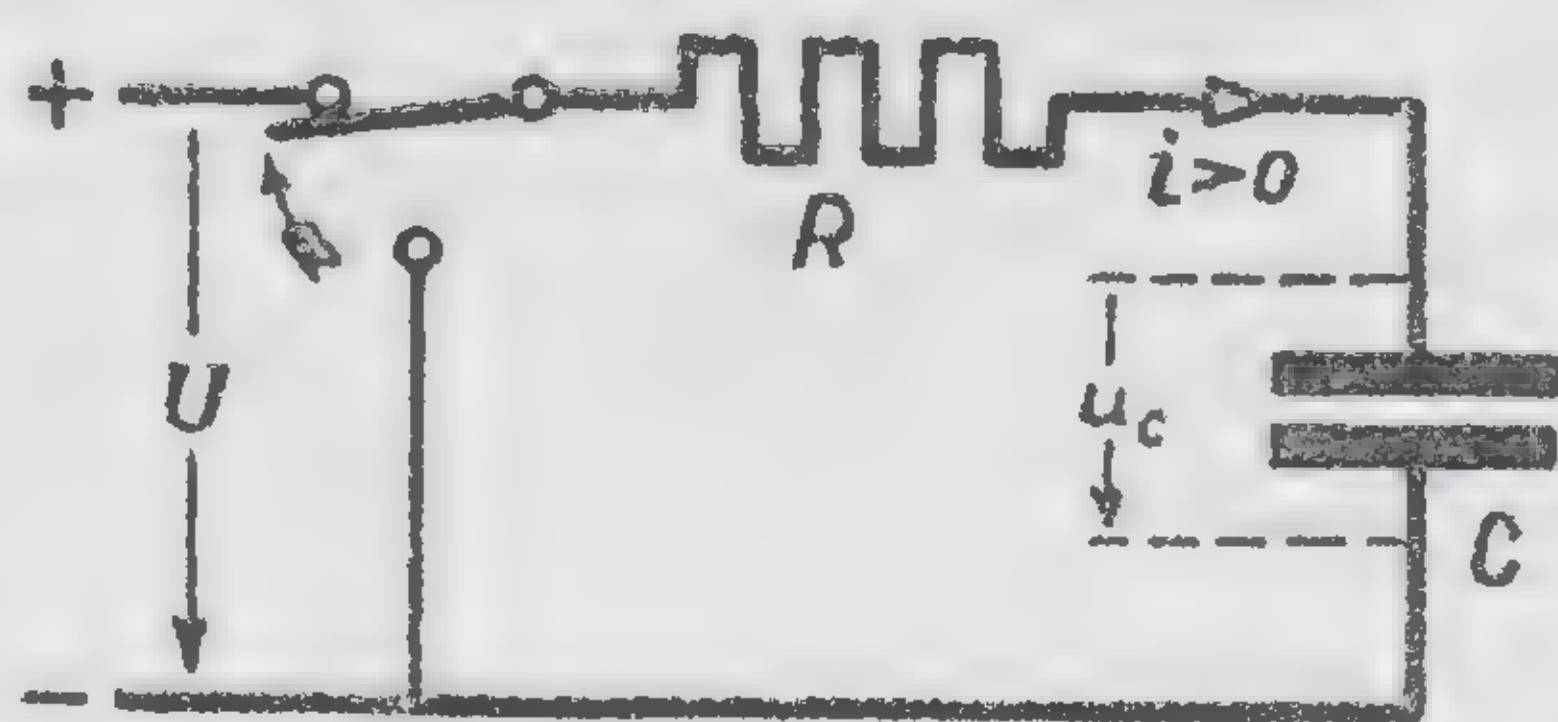


Характеристика конденсатора

НАПРЯЖЕНИЕ, ЗАРЯД И ЭНЕРГИЯ КОНДЕНСАТОРА.



ЗАРЯДКА И РАЗРЯДКА КОНДЕНСАТОРА, ВКЛЮЧЕННОГО ПОСЛЕДОВАТЕЛЬНО С СОПРОТИВЛЕНИЕМ



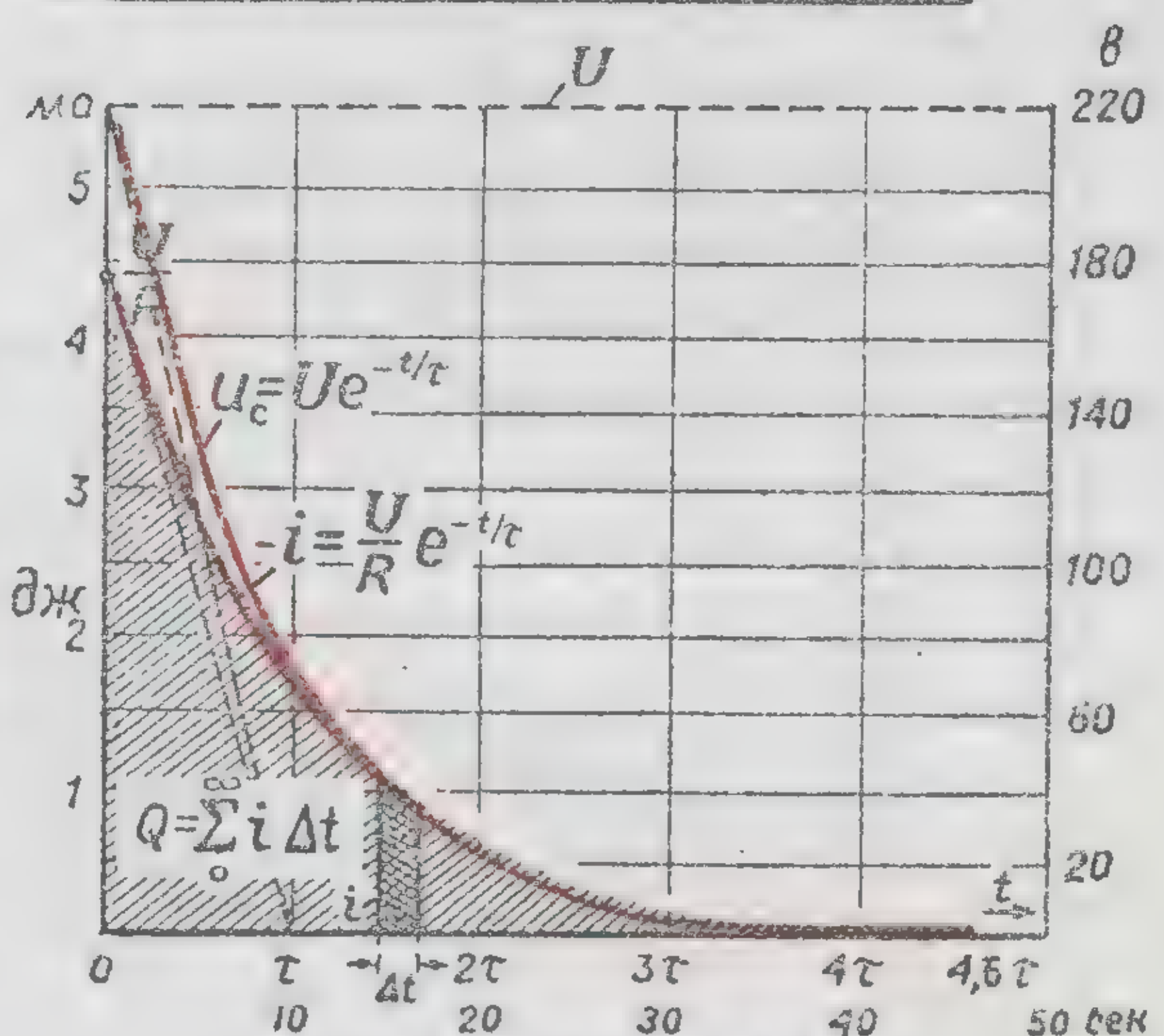
ЗАРЯДКА

$$\tau = RC \text{ сек}$$

Постоянная времени цепи с сопротивлением и ёмкостью

$$W_R = \sum_0^\infty i^2 R \cdot \Delta t = \frac{CU^2}{2}$$

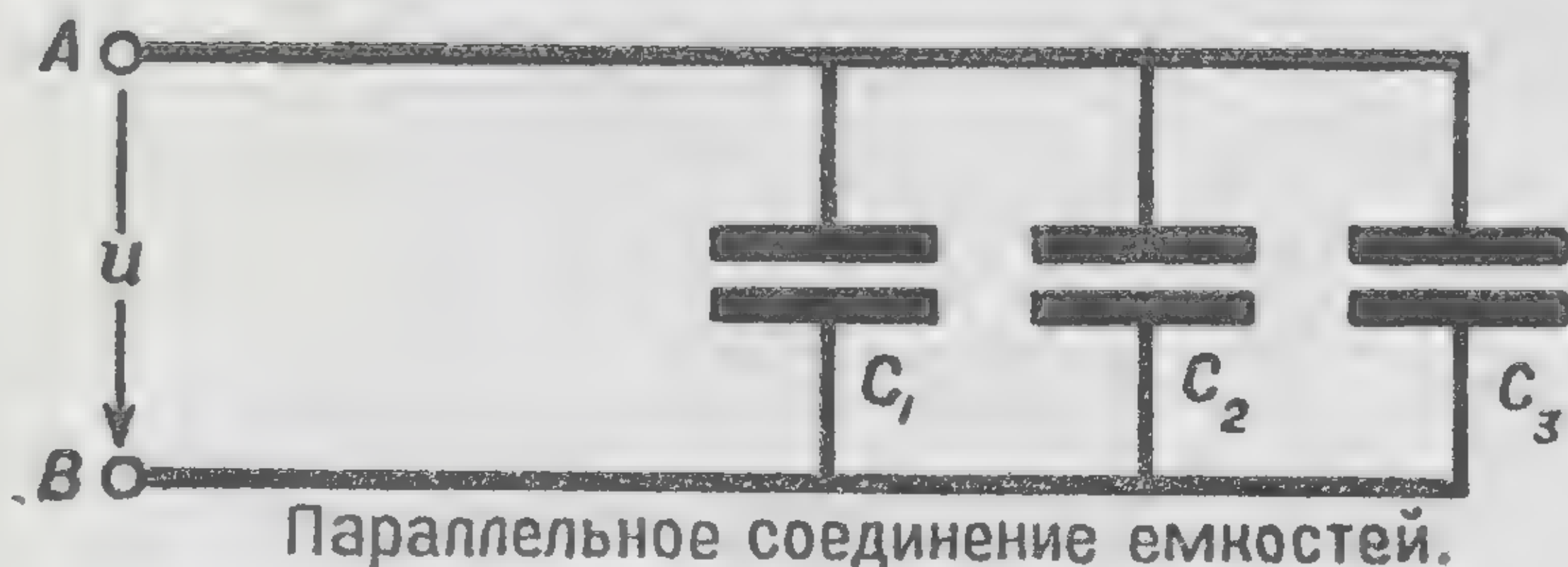
Тепловые потери в цепи при зарядке или разрядке



РАЗРЯДКА

Э.И.Расовский

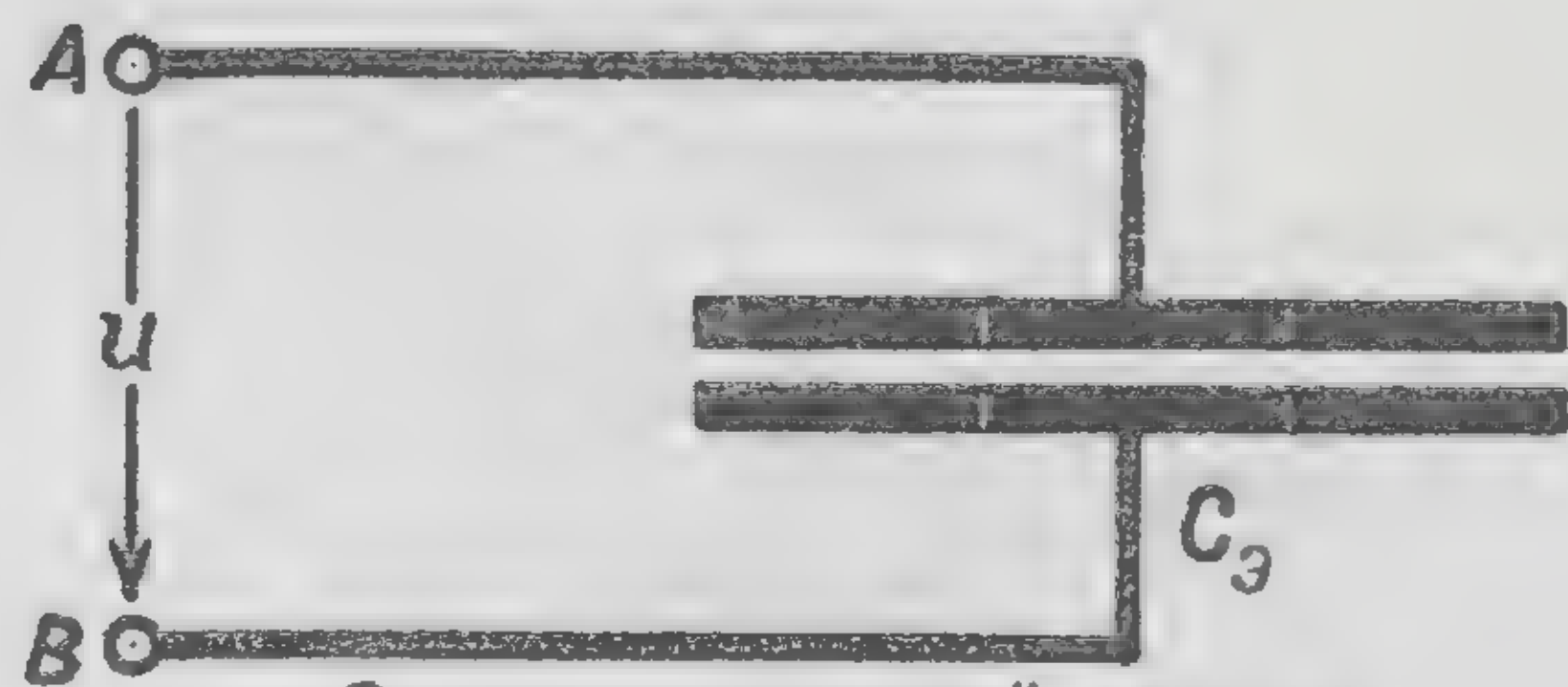
ПАРАЛЛЕЛЬНОЕ И ПОСЛЕДОВАТЕЛЬНОЕ СОЕДИНЕНИЕ КОНДЕНСАТОРОВ



Параллельное соединение емкостей.

$$C_3 = C_1 + C_2 + \dots = \sum C \quad \phi$$

Эквивалентная (общая)
ёмкость.

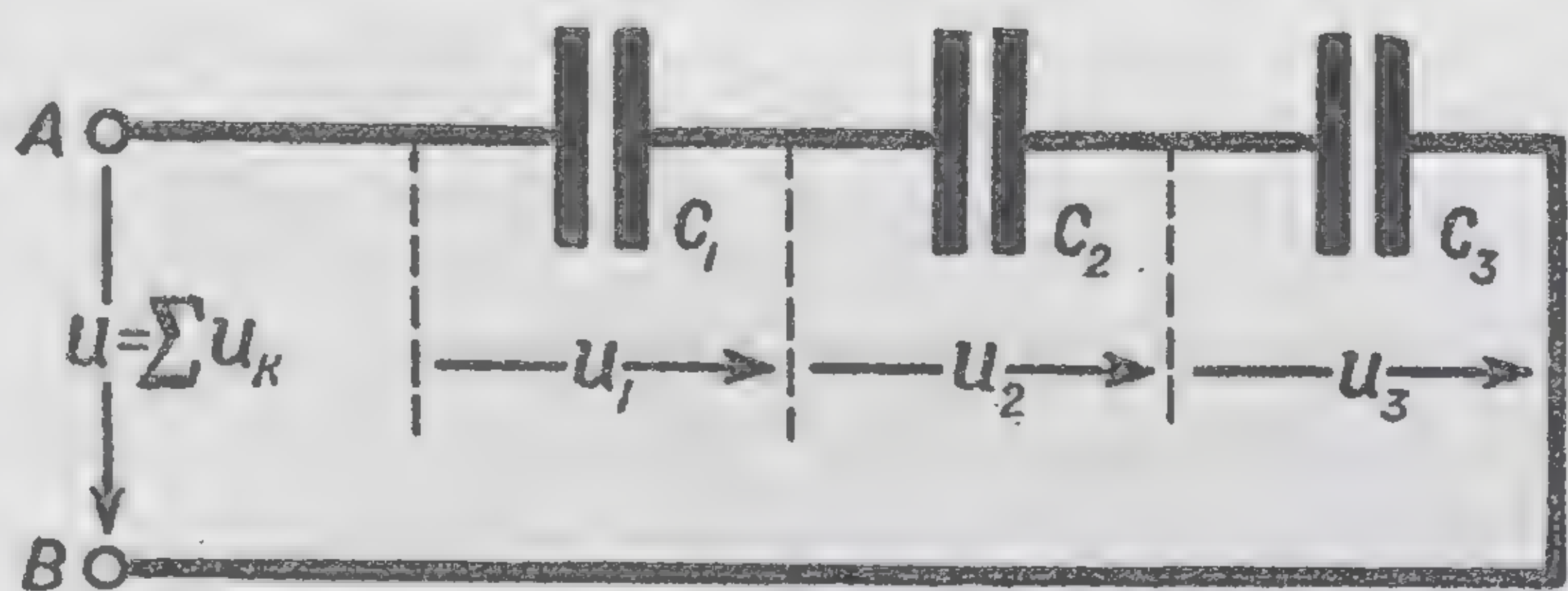


Эквивалентная ёмкость.

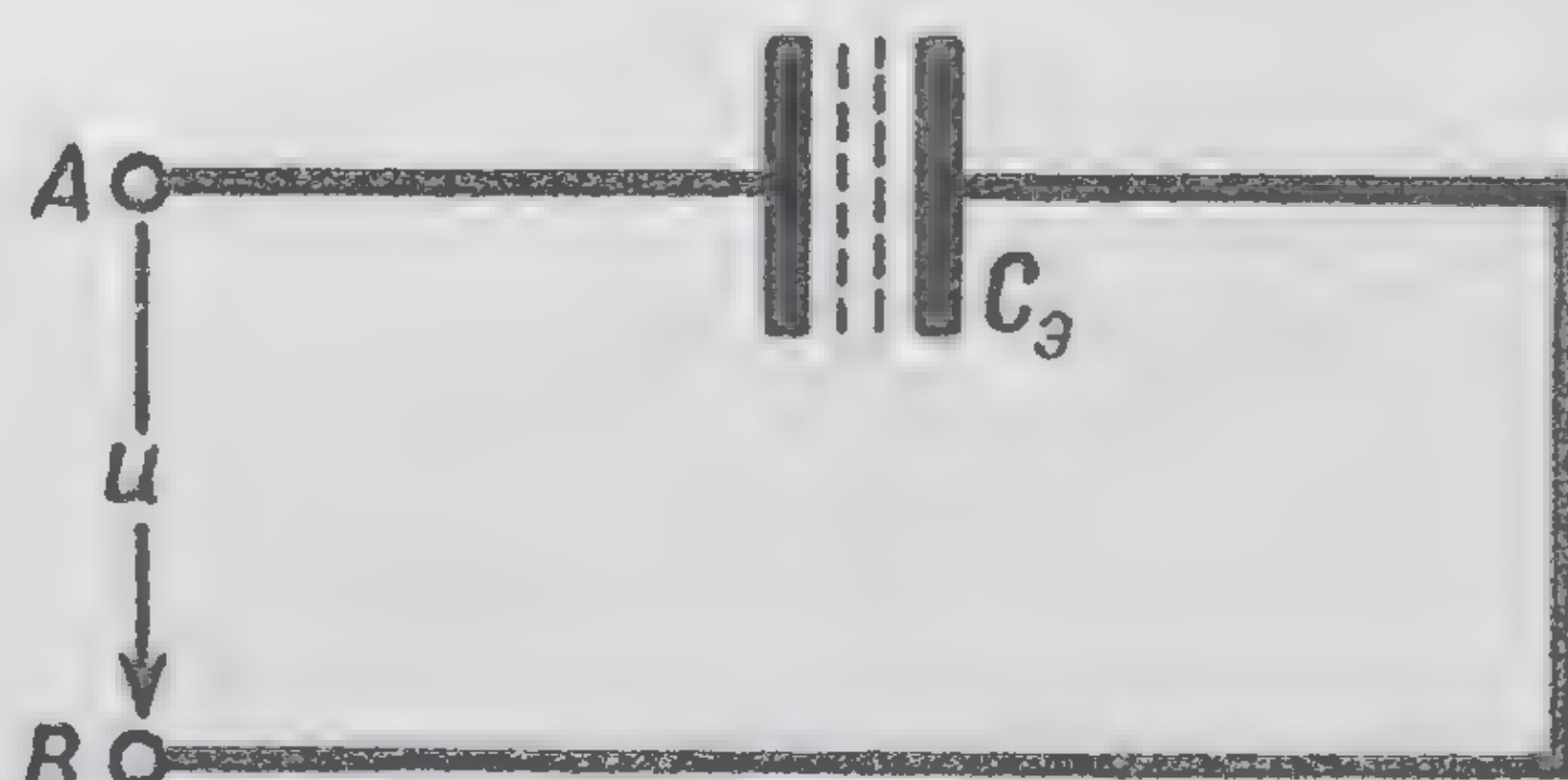
$$C_3 = nC \quad \phi$$

Частный случай
 n одинаковых емкостей.

При параллельном соединении конденсаторов их ёмкости складываются



Последовательное соединение емкостей.



Эквивалентная ёмкость.

$$\frac{1}{C_3} = \frac{1}{C_1} + \frac{1}{C_2} + \dots = \sum \frac{1}{C} \quad \phi$$

Величина, обратная
эквивалентной ёмкости

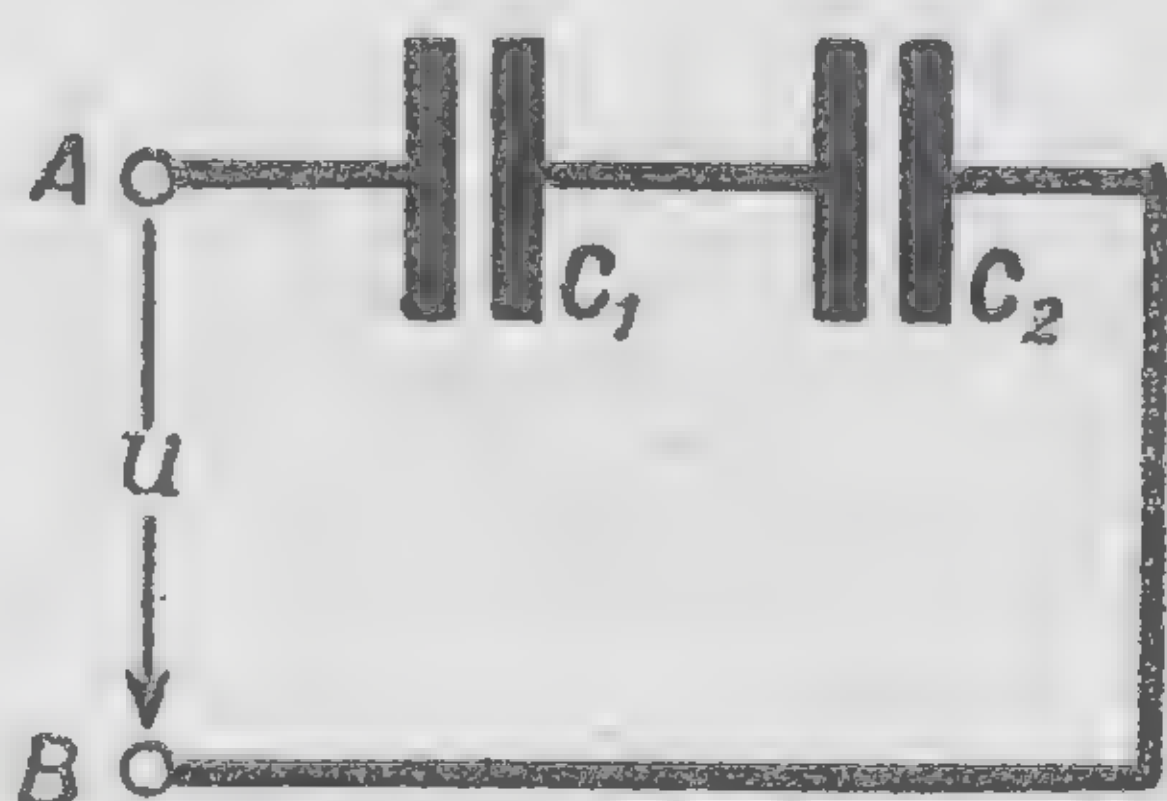
$$U_1 : U_2 : U_3 = \frac{1}{C_1} : \frac{1}{C_2} : \frac{1}{C_3}$$

Отношение
частичных напряжений.

$$C_3 = \frac{C_1}{n} \quad \phi \quad U_1 = \frac{U}{n} \quad \phi$$

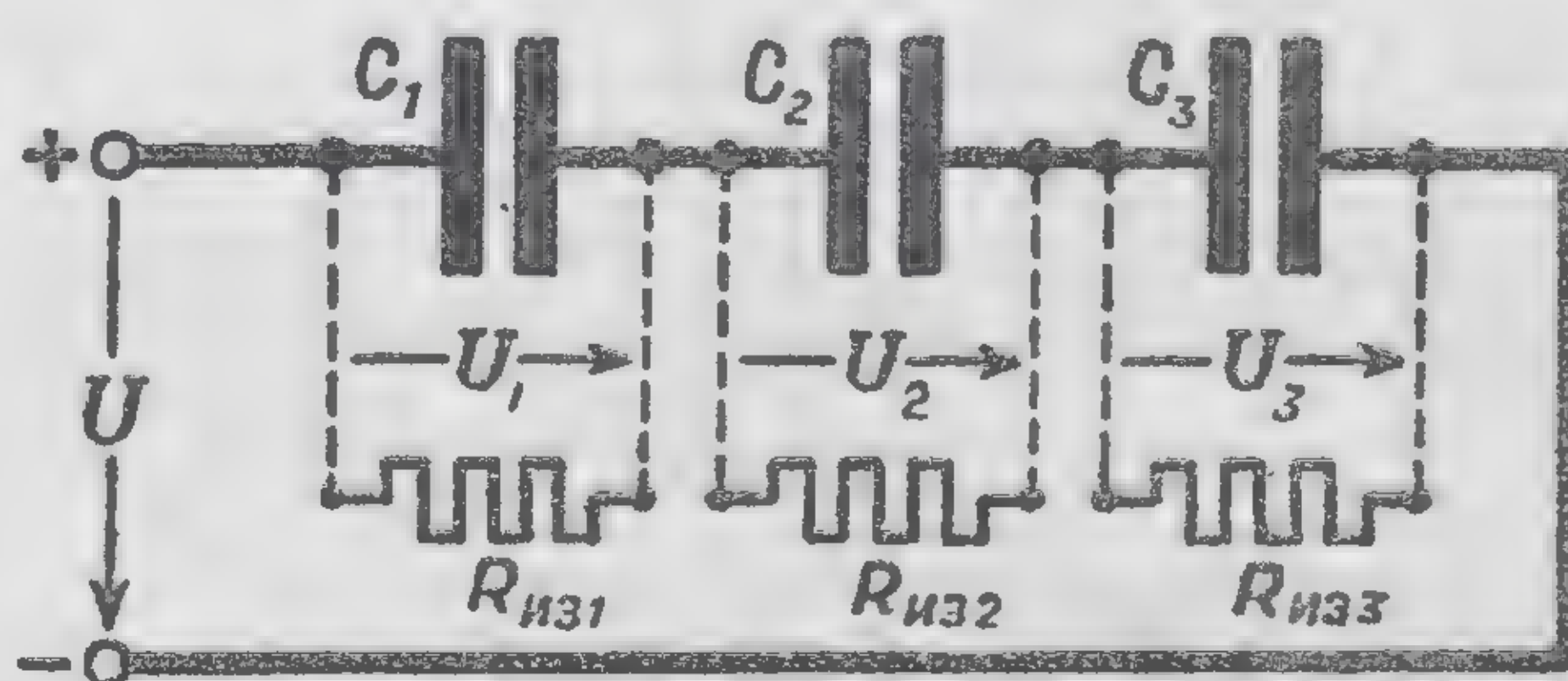
Частный случай
 n одинаковых емкостей.

При последовательном соединении конденсаторов складываются величины, обратные их ёмкостям (диэлектрические сопротивления).
Напряжения отдельных конденсаторов относятся между собою
обратно пропорционально их ёмкостям.



$$C_3 = \frac{C_1 \cdot C_2}{C_1 + C_2} \quad \phi$$

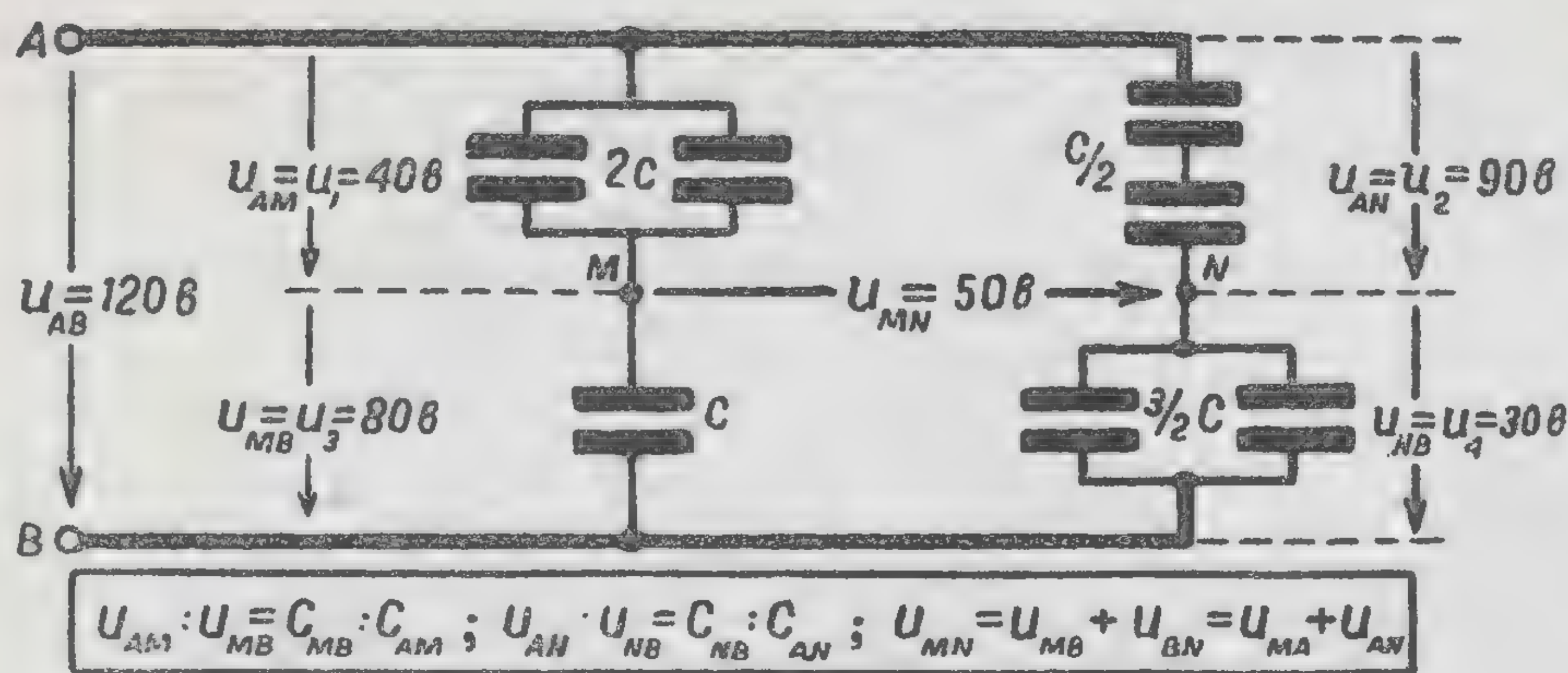
Частный случай
двух последовательно соединенных
конденсаторов.



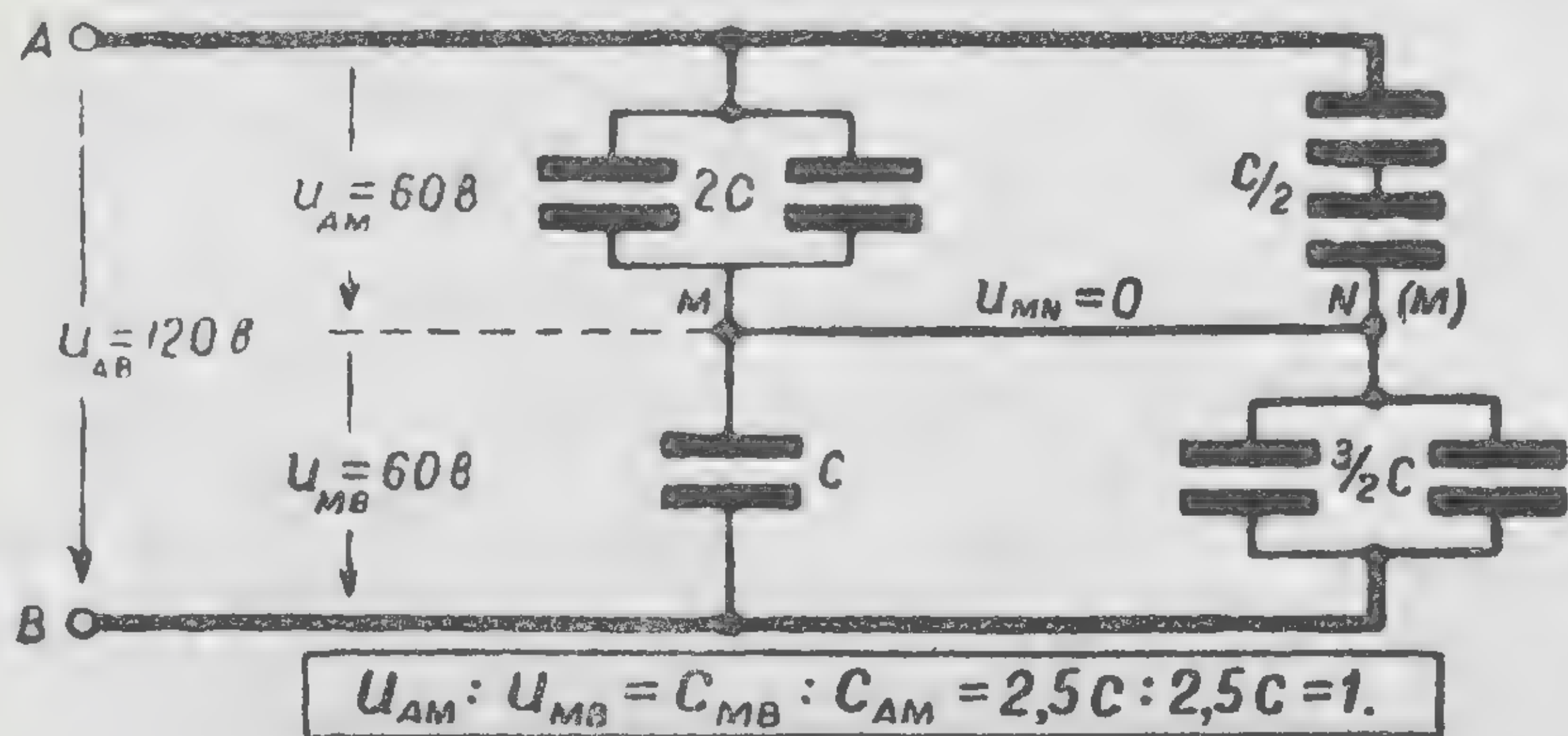
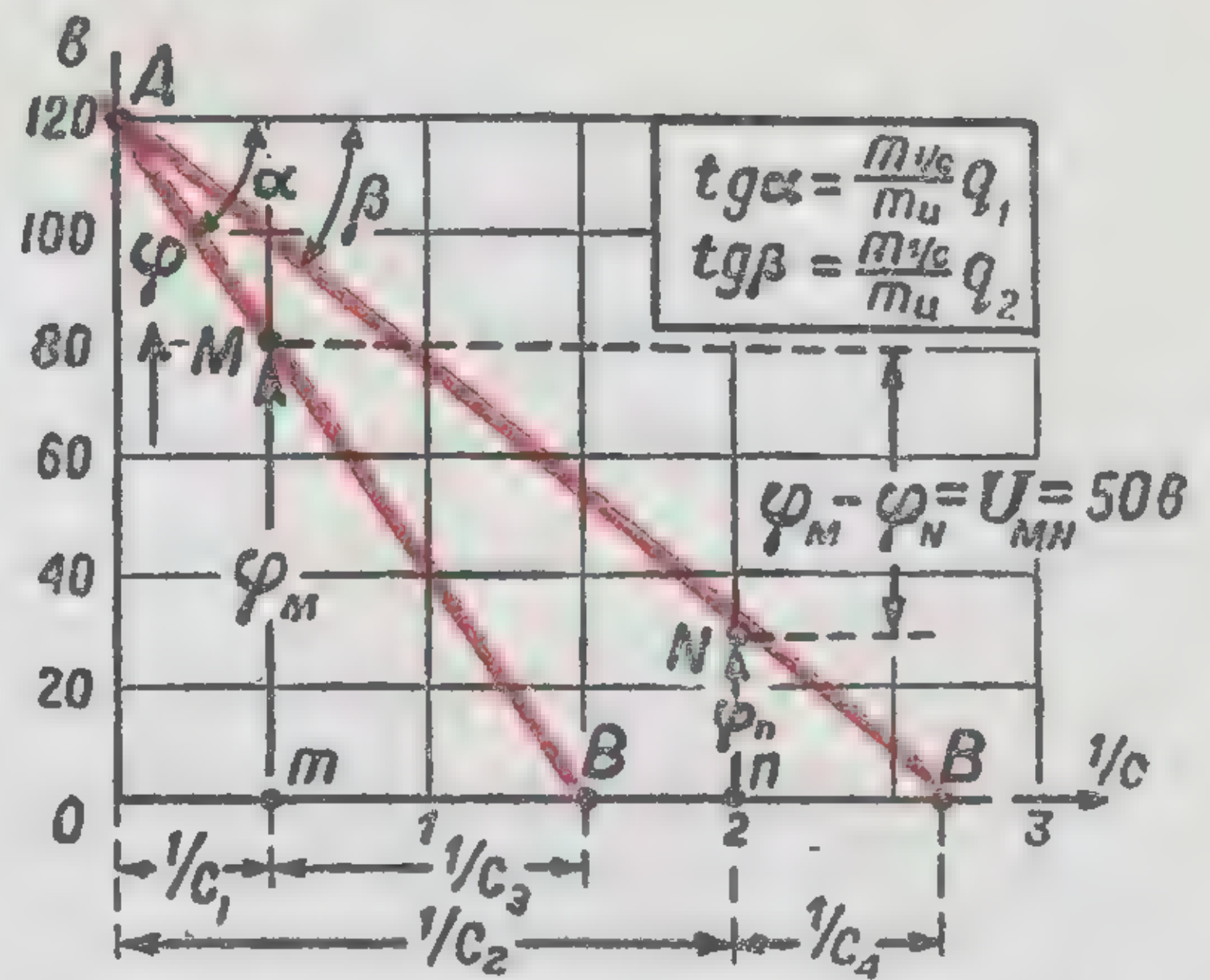
$$U_1 : U_2 : U_3 = R_{из1} : R_{из2} : R_{из3}$$

Влияние изоляции конденсаторов
на распределение между ними
постоянного напряжения.

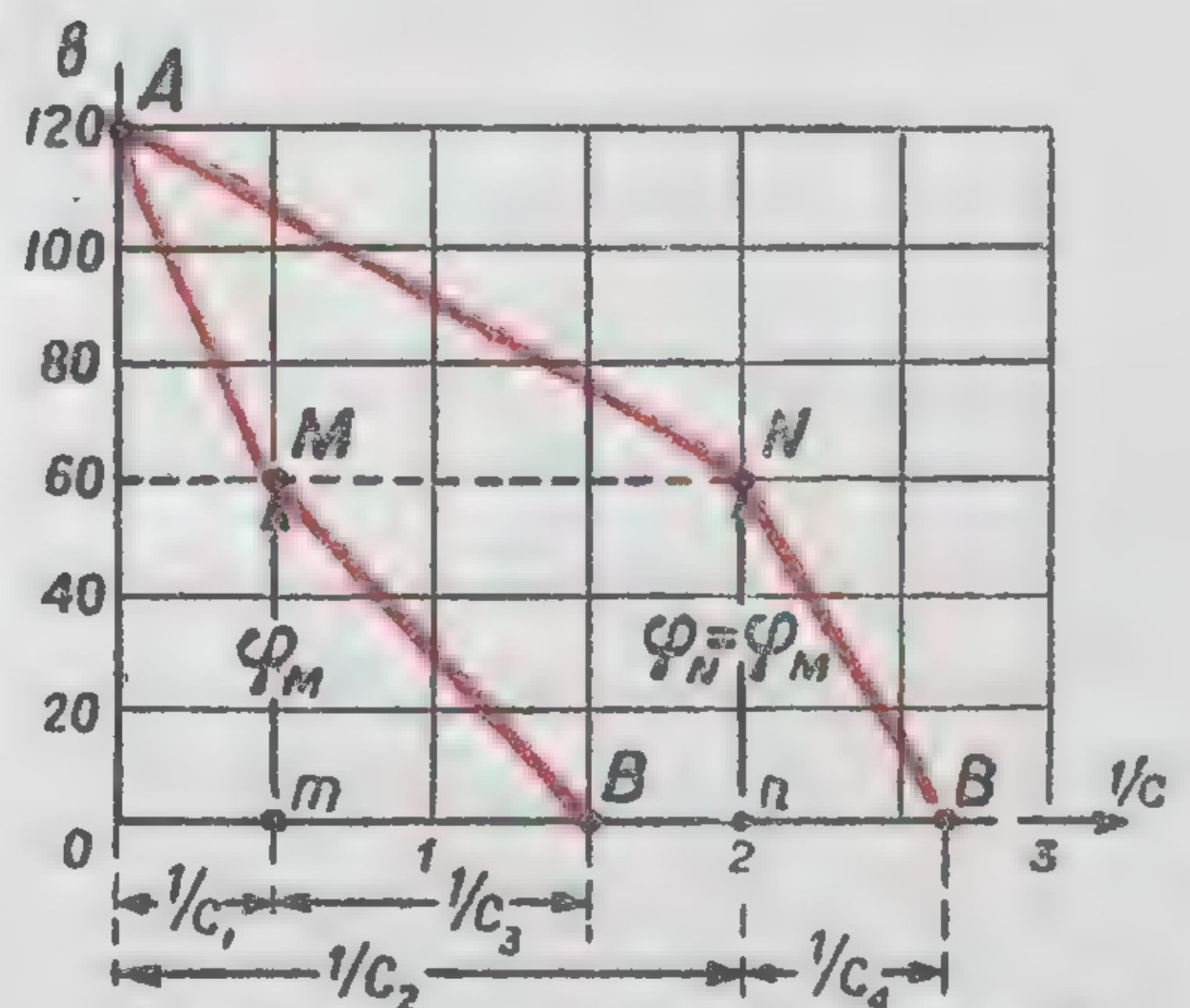
ДИЭЛЕКТРИЧЕСКИЕ ЦЕПИ



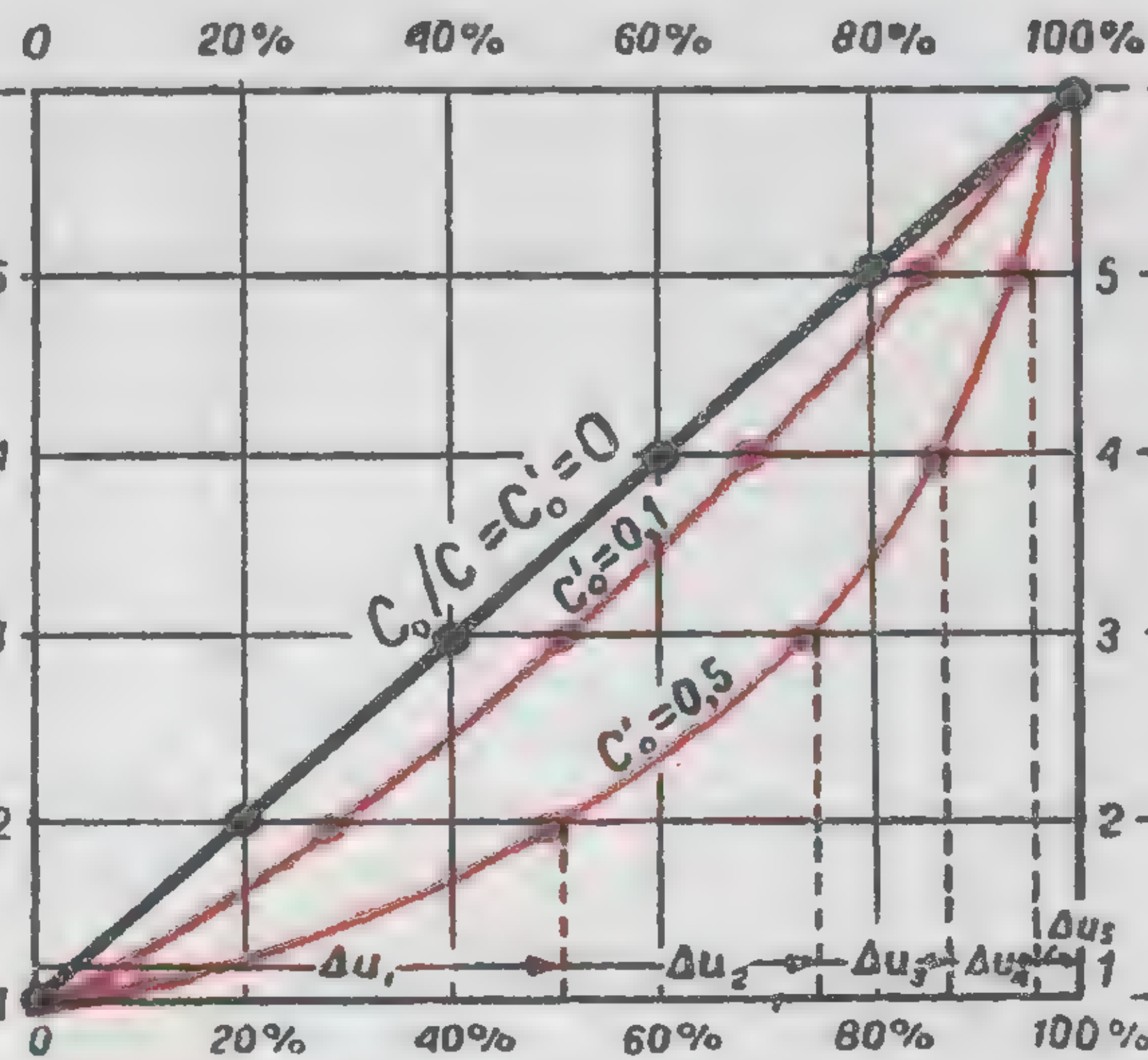
Параллельное соединение двух ветвей



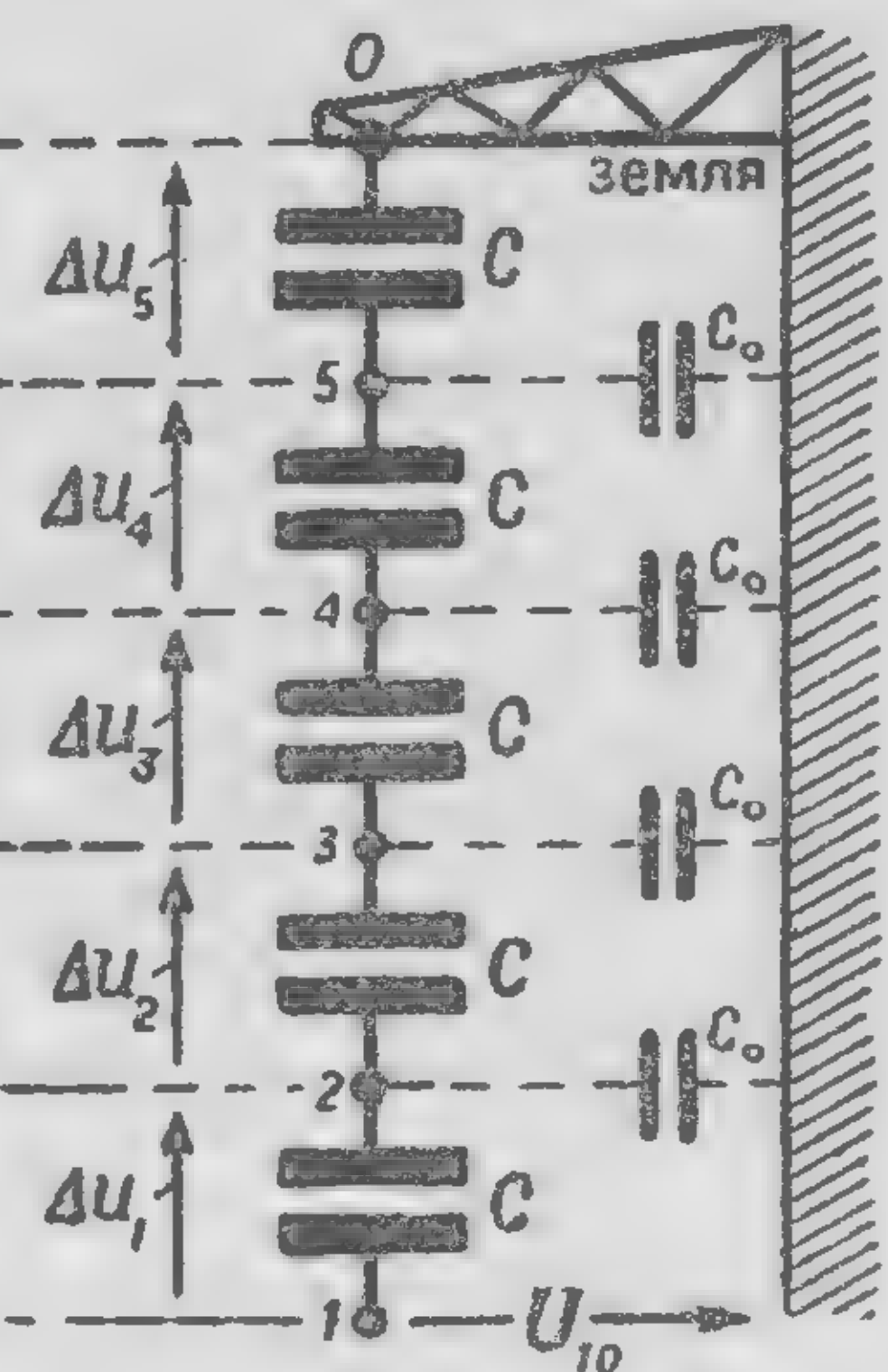
Последовательное соединение двух разветвлённых участков



Гирлянда подвесных изоляторов



Кривые распределения напряжений вдоль гирлянды



Приближенная схема замещения

$$C_{50} = C + C_0 ; C_{40} = \frac{C_{50} \cdot C}{C_{50} + C} + C_0 ; C_{20} = \frac{C_{50} \cdot C}{C_{50} + C} + C_0$$

В относительных единицах ($C'_0 = C_0/C$):

$$C'_{50} = \frac{C_{50}}{C} = 1 + C'_0 ; C'_{40} = \frac{C'_{50}}{C'_{50} + 1} + C'_0 ; C'_{20} = \frac{C'_{30}}{C'_{30} + 1} + C'_0$$

Расчет емкостей

$$\frac{U_{12}}{U_{20}} = \frac{C_{20}}{C} = C'_{20} ; \frac{U_{23}}{U_{30}} = C'_{30} ; \frac{U_{34}}{U_{40}} = C'_{40} ; \frac{U_{45}}{U_{50}} = C'_{50}$$

Следовательно

$$\Delta U_1 = U_{12} = U_{10} \frac{C'_{20}}{C'_{20} + 1} ; U_{20} = U_{10} - \Delta U_1 ; \Delta U_2 = U_{23} = U_{20} \frac{C'_{30}}{C'_{30} + 1} \text{ и т.д.}$$

Расчет напряжений

НЕРАВНОМЕРНОЕ РАСПРЕДЕЛЕНИЕ НАПРЯЖЕНИЙ ВДОЛЬ ГИРЛЯНДЫ ПОДВЕСНЫХ ИЗОЛЯТОРОВ

ЦИЛИНДРИЧЕСКИЙ КОНДЕНСАТОР



Коаксиальный кабель

$$E_x = \frac{D_x}{\epsilon} = \frac{Q}{2\pi\epsilon x l} \quad \frac{\text{В}}{\text{СМ}}$$

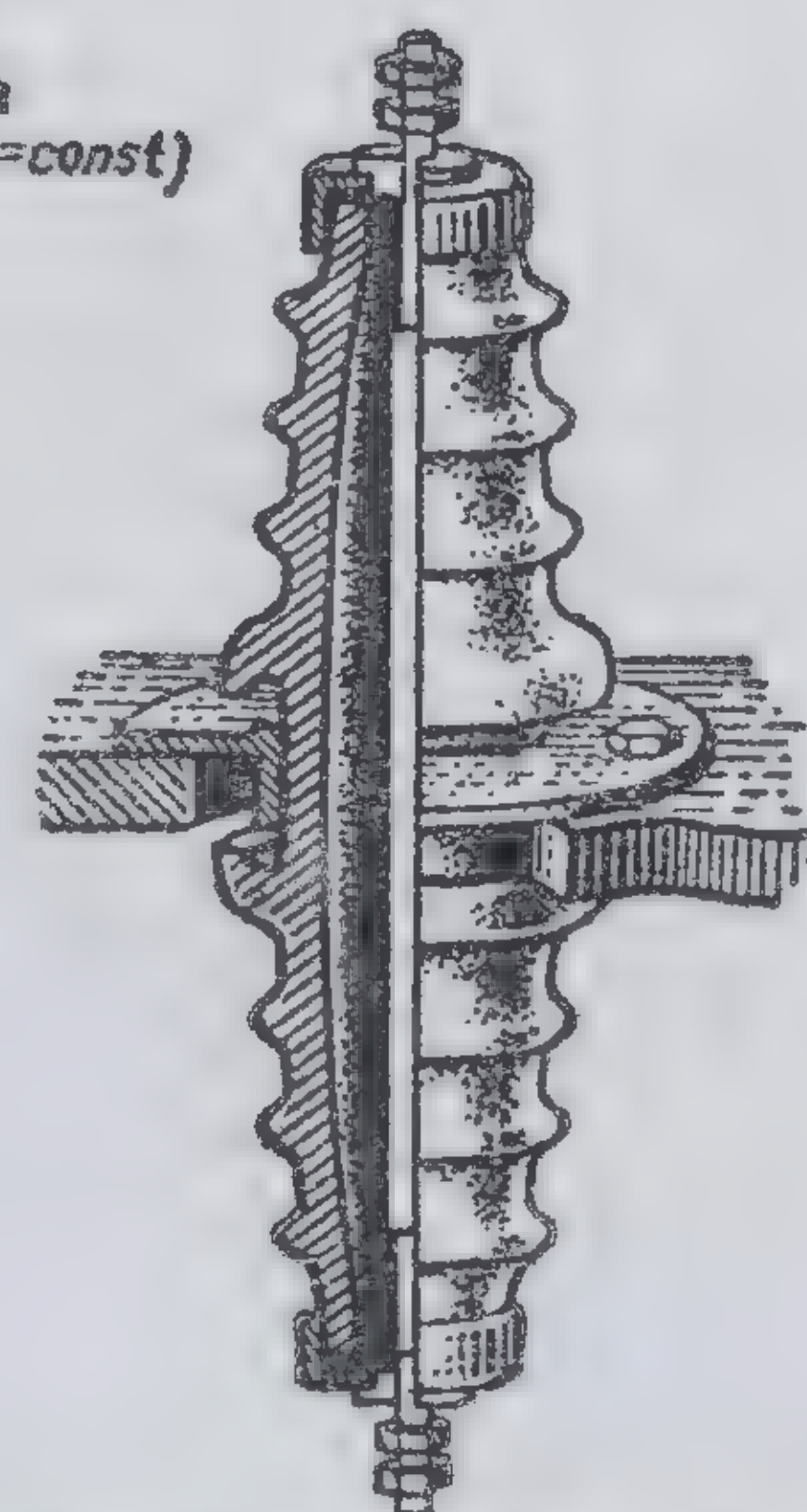
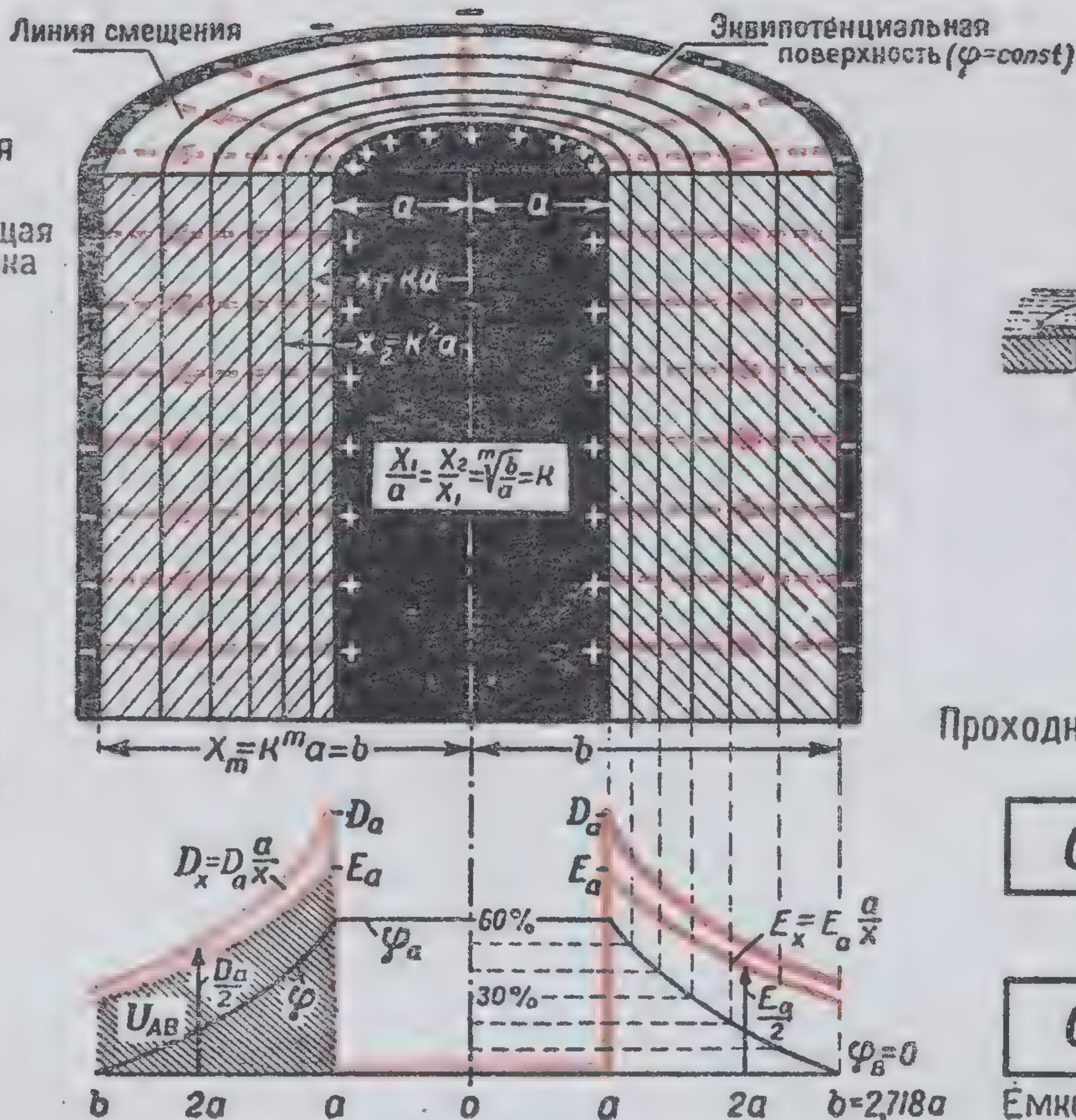
или

$$E_x = \frac{U_{AB}}{x \ln \frac{b}{a}} = E_a \frac{a}{x}$$

Напряженность электрического поля

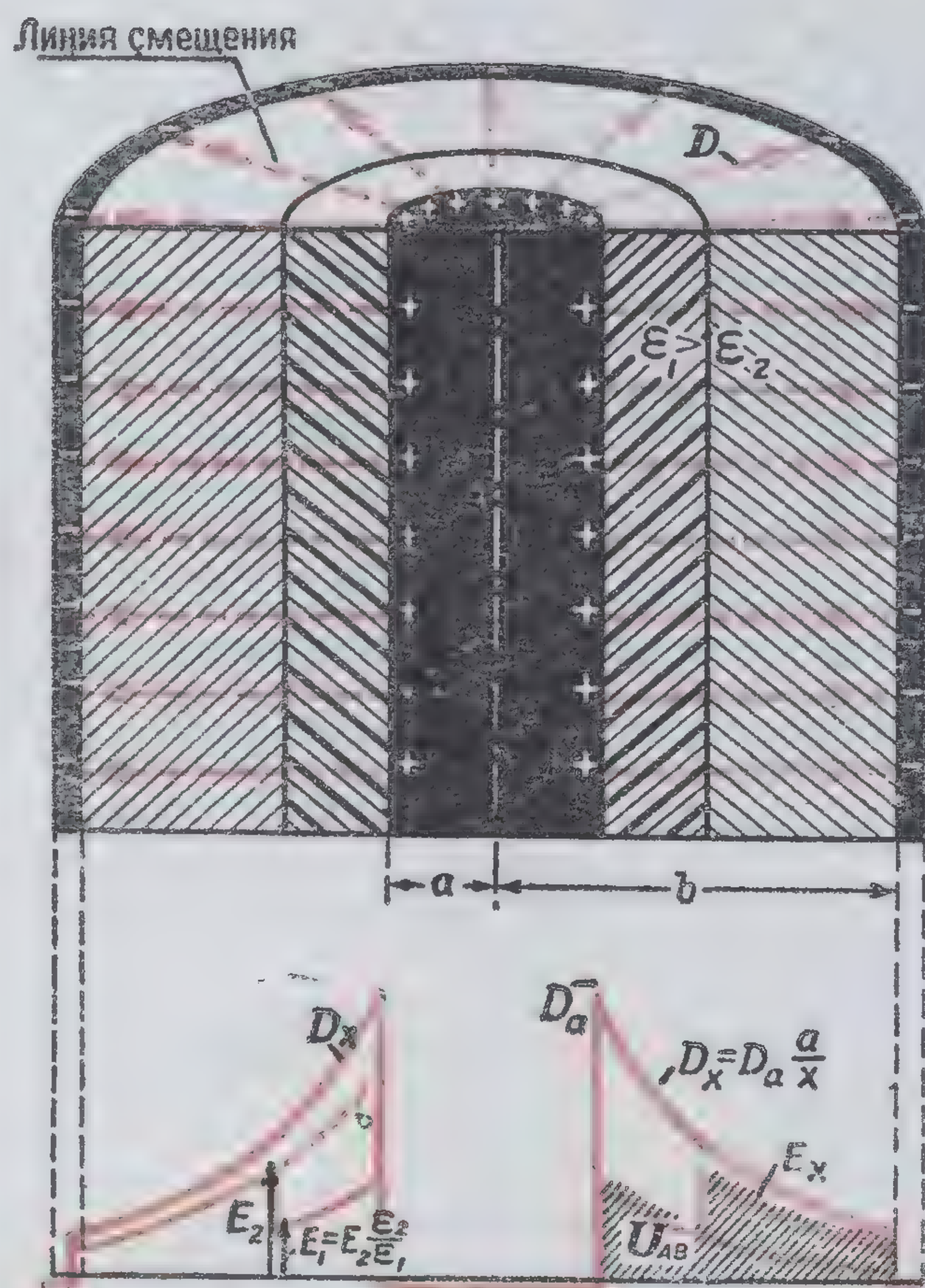
$$U_{\text{проб}} = E_{\text{проб}} \cdot a \ln \frac{b}{a} \quad \text{В}$$

Пробивное напряжение

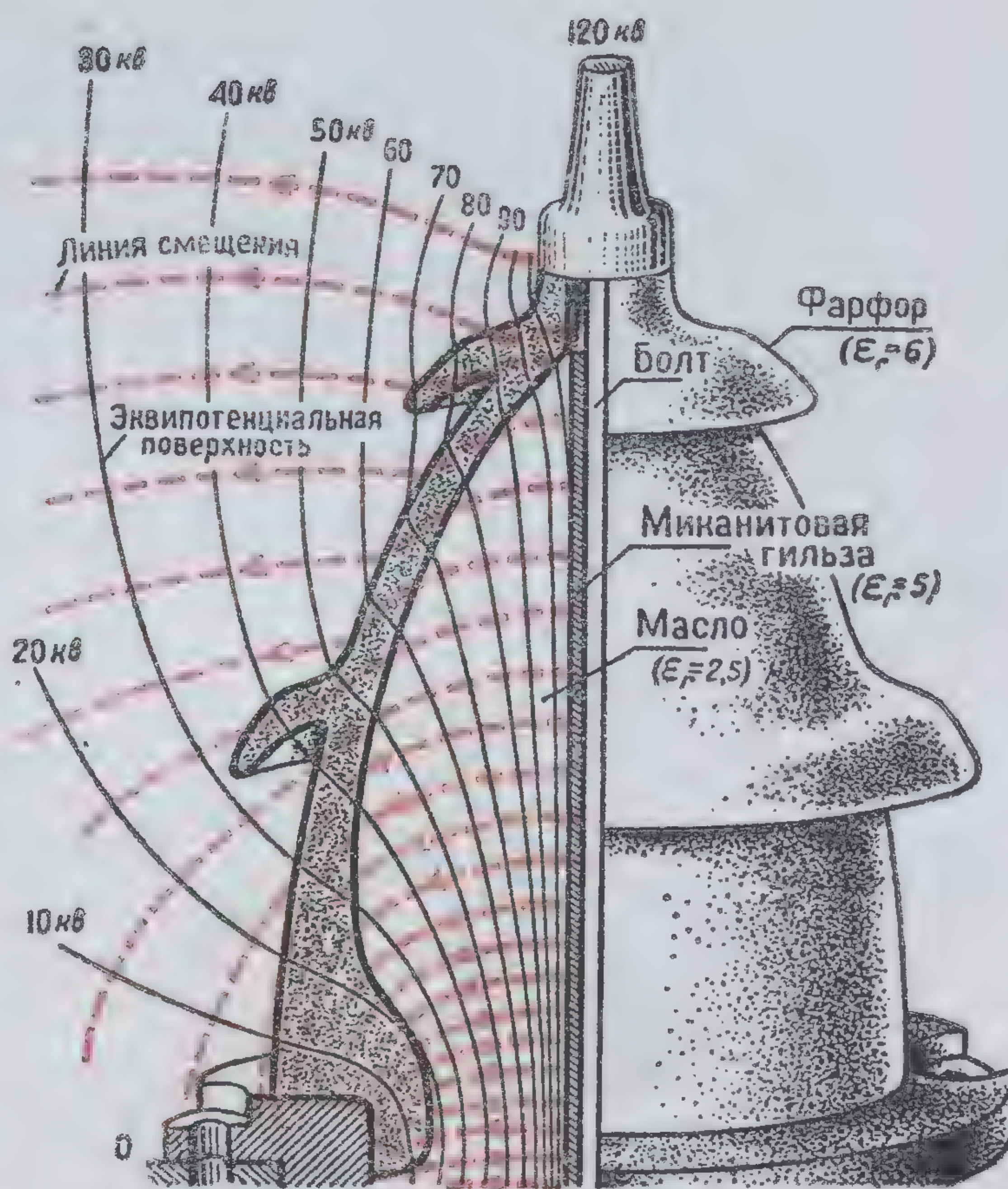


Проходной изолятор на 30 кВ

ПОЛЕ И ЕМКОСТЬ ЦИЛИНДРИЧЕСКОГО КОНДЕНСАТОРА



ДВУХСЛОЙНЫЙ КОНДЕНСАТОР
(разгрузка внутренних слоёв диэлектрика: $\epsilon_1 > \epsilon_2$).



МАСЛОПОЛНЕННЫЙ
ПРОХОДНОЙ ИЗОЛЯТОР

Э.И.Расовский.

Наложение линий смещений.

Наложение эквипотенциальных поверхностей.

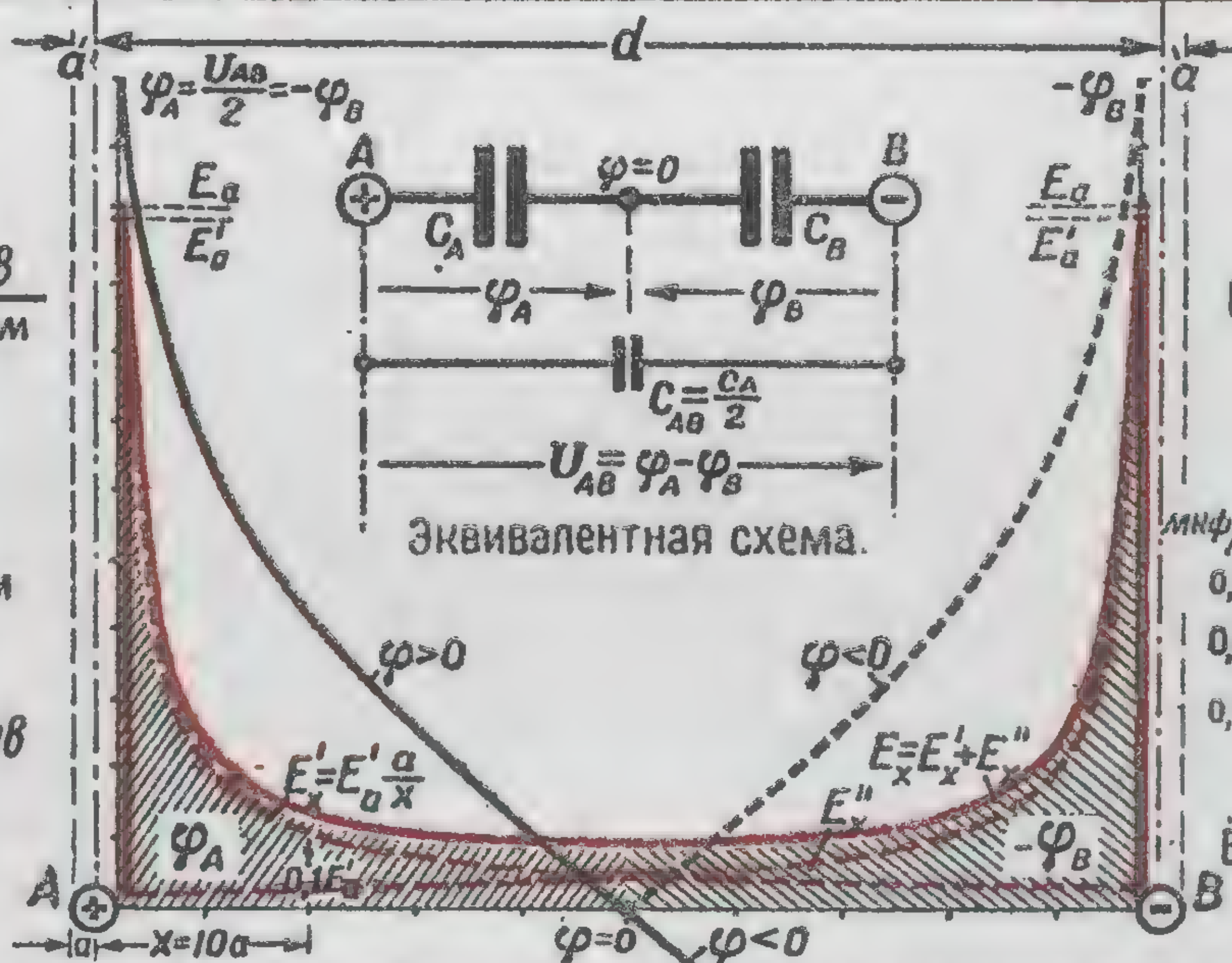
Результирующее поле.

$$E_x = E_x' + E_x'' = \frac{Q}{2\pi\epsilon l} \left(\frac{1}{x} + \frac{1}{d-x} \right)$$

или

$$E_x = \frac{U_{AB}}{2l \ln \frac{d-a}{a}} \left(\frac{1}{x} + \frac{1}{d-x} \right)$$

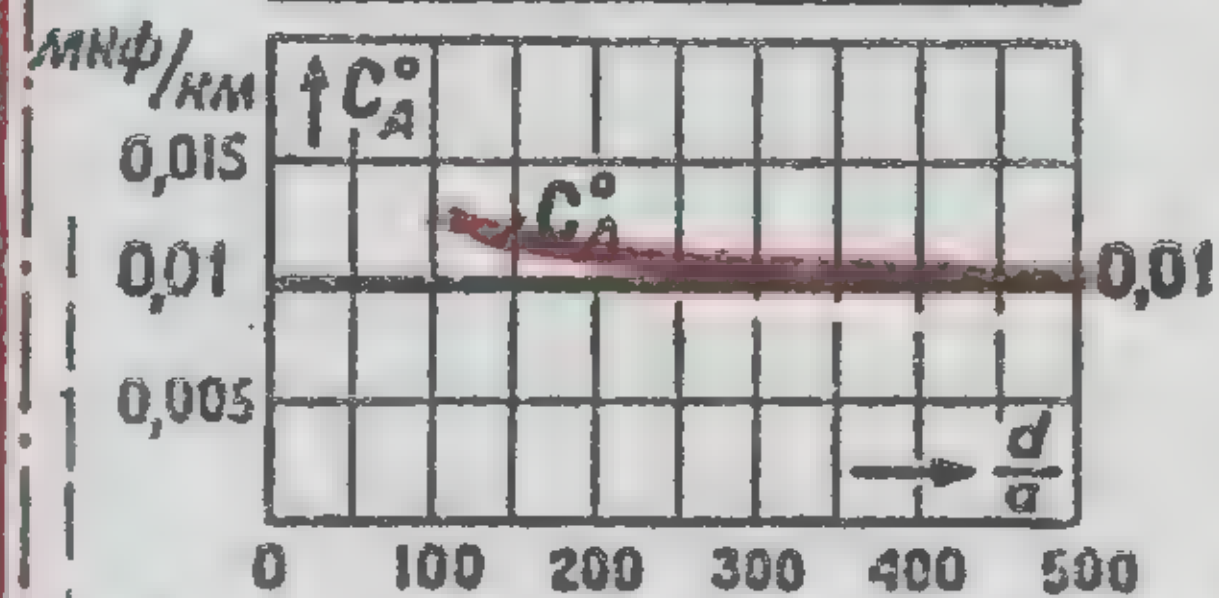
$\frac{B}{\text{см}}$

$$U_{\text{кор}} \approx E_{\text{проб}} \cdot 2a \ln \frac{d}{a} \quad \text{кВ}$$


$$C_{AB} = \frac{Q}{U_{AB}} = \frac{\pi \epsilon l}{\ln \frac{d-a}{a}} \quad \phi$$

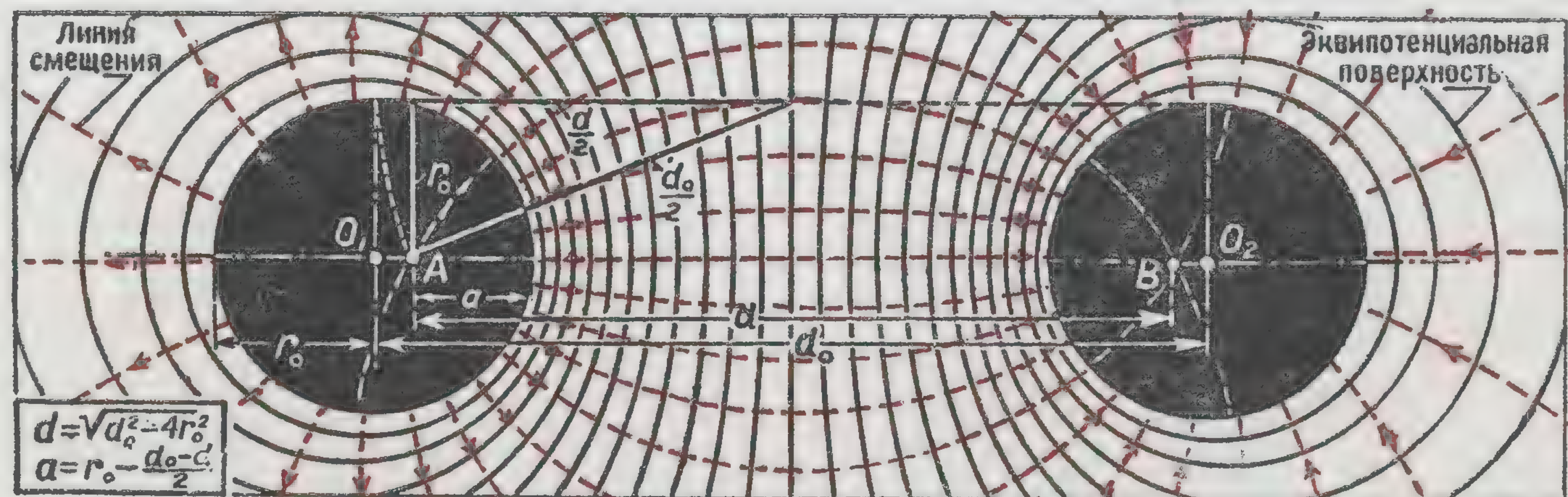
Ёмкость двухпроводной линии

$$C_A^0 = \frac{Q_A^0}{\varphi_A} = \frac{1}{187n \frac{d-a}{a}} \frac{\text{МКФ}}{\text{КМ}}$$



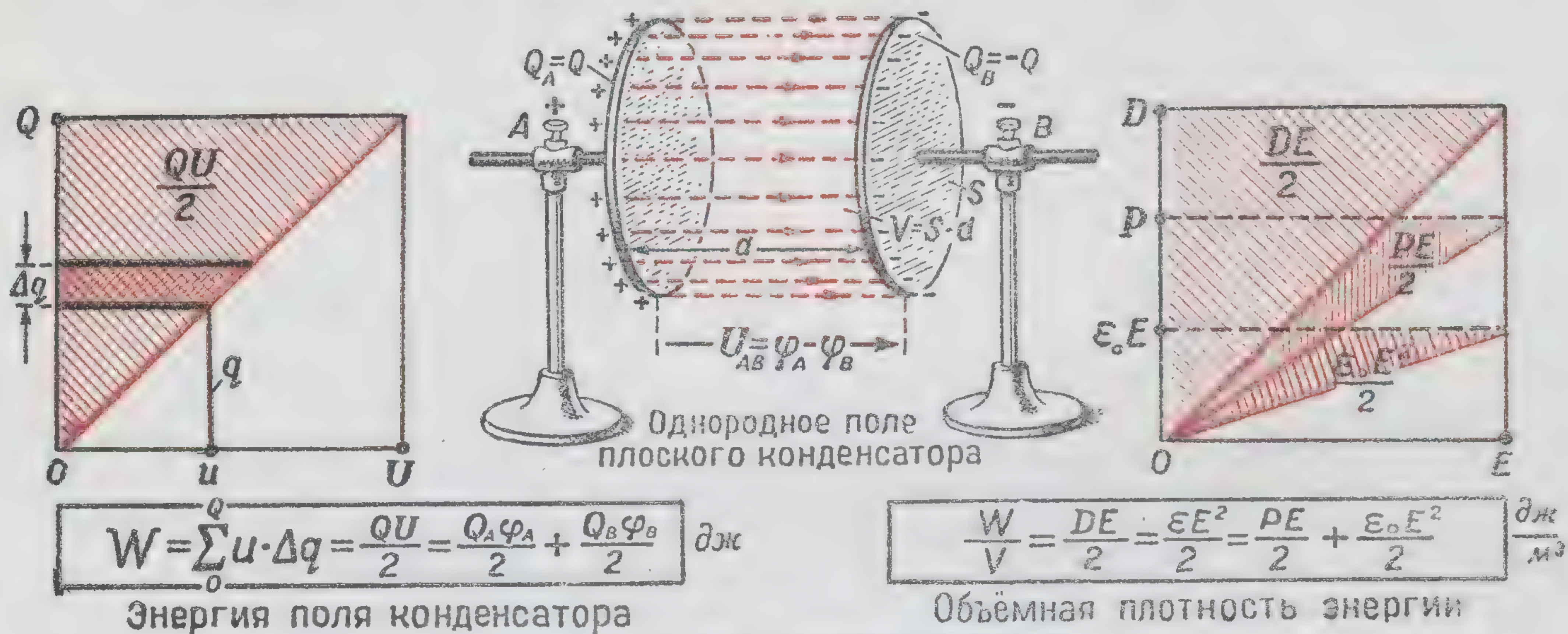
Ёмкость одного провода
на километр

ЭЛЕКТРИЧЕСКОЕ ПОЛЕ ДВУХПРОВОДНОЙ ЛИНИИ
КАК РЕЗУЛЬТАТ НАЛОЖЕНИЯ ЦИЛИНДРИЧЕСКИХ ПОЛЕЙ ОБОИХ ПРОВОДОВ



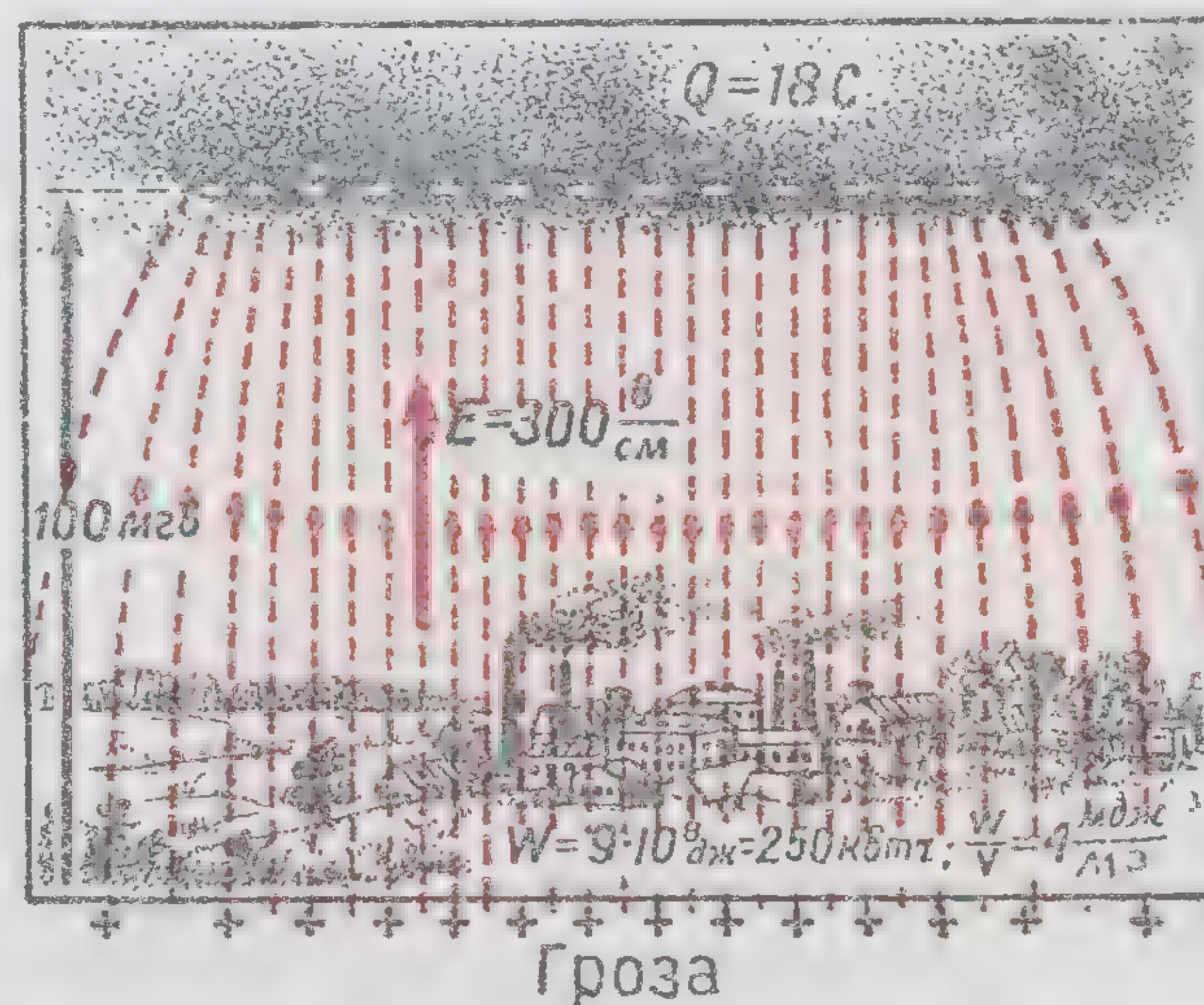
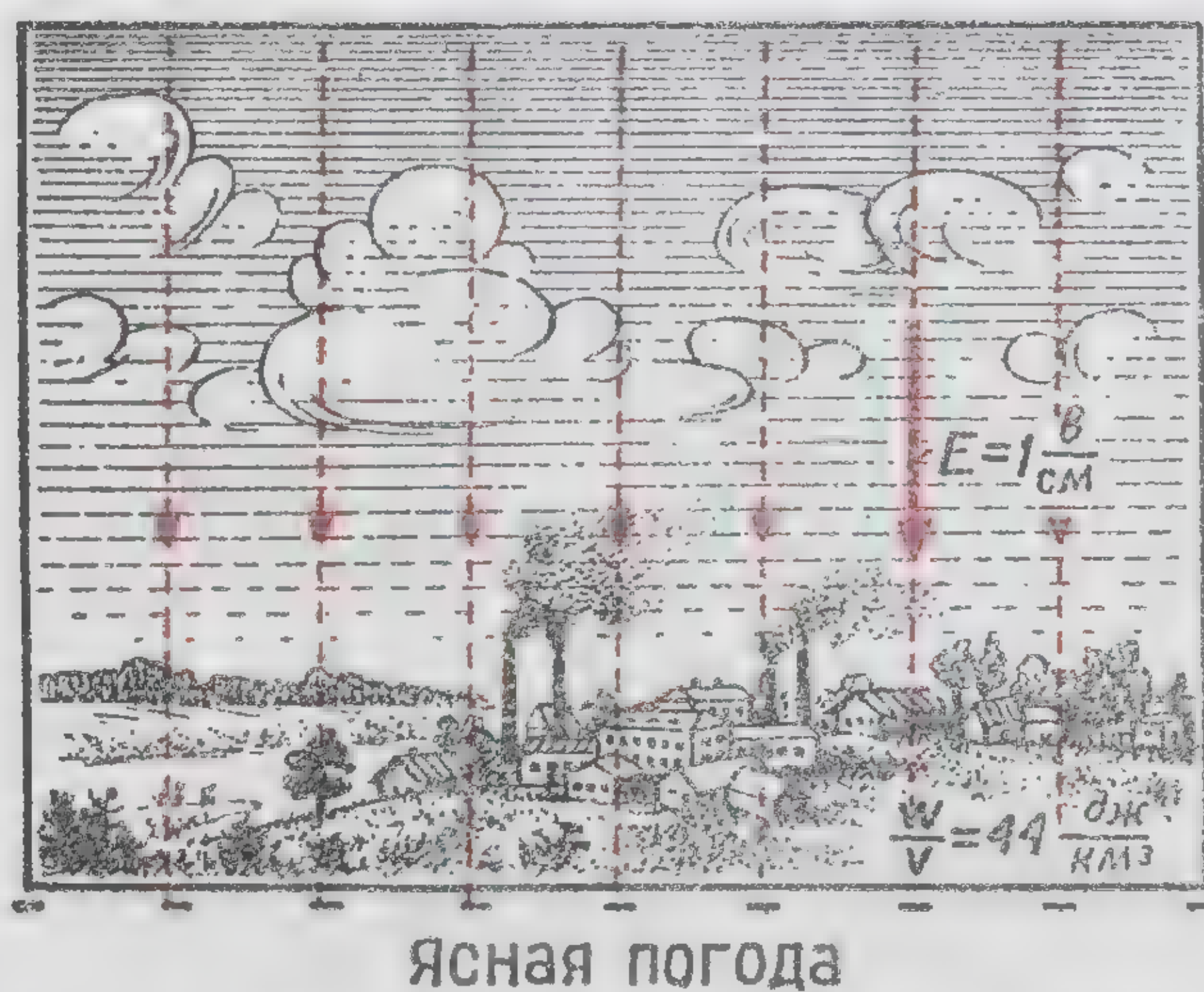
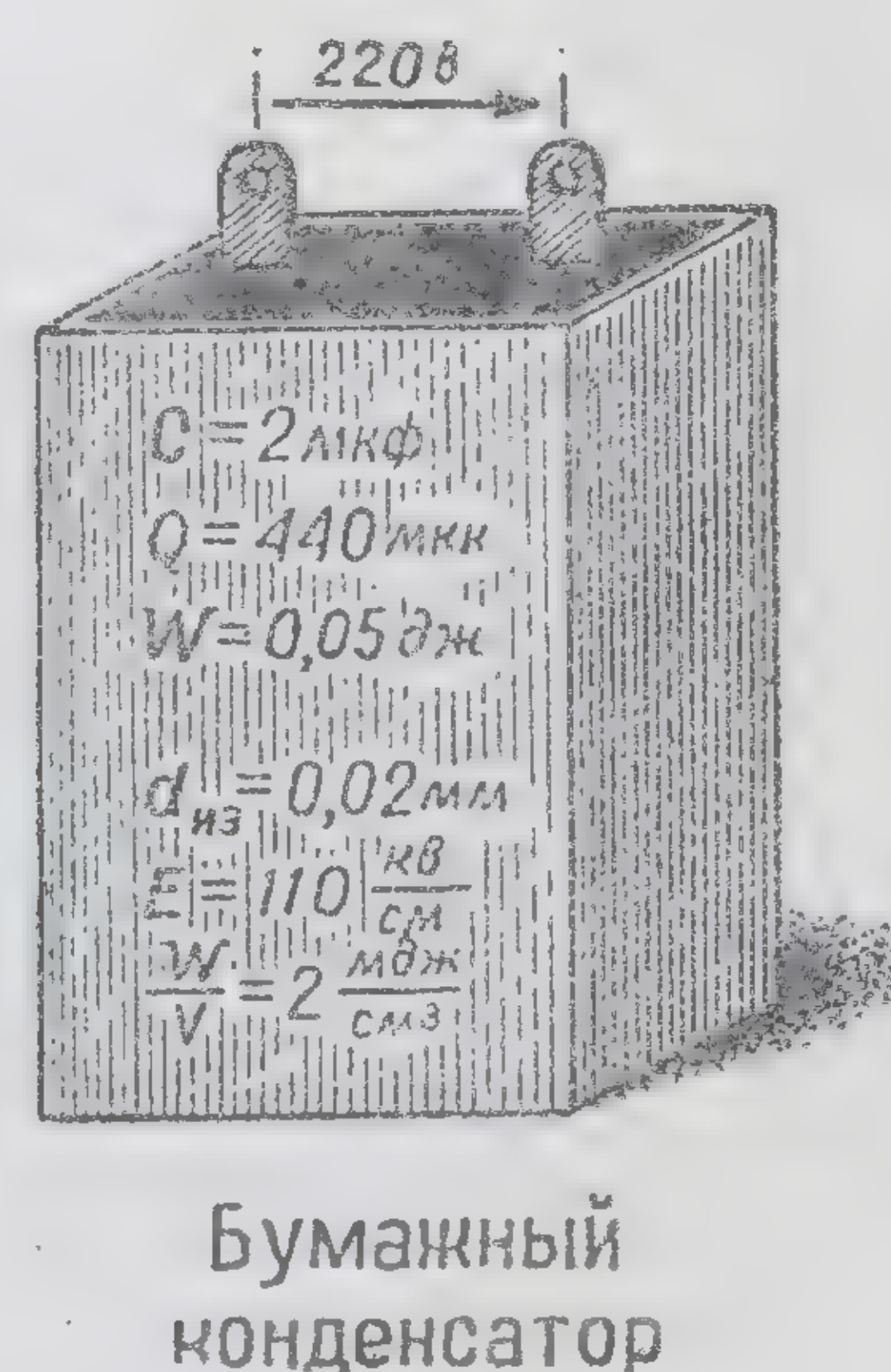
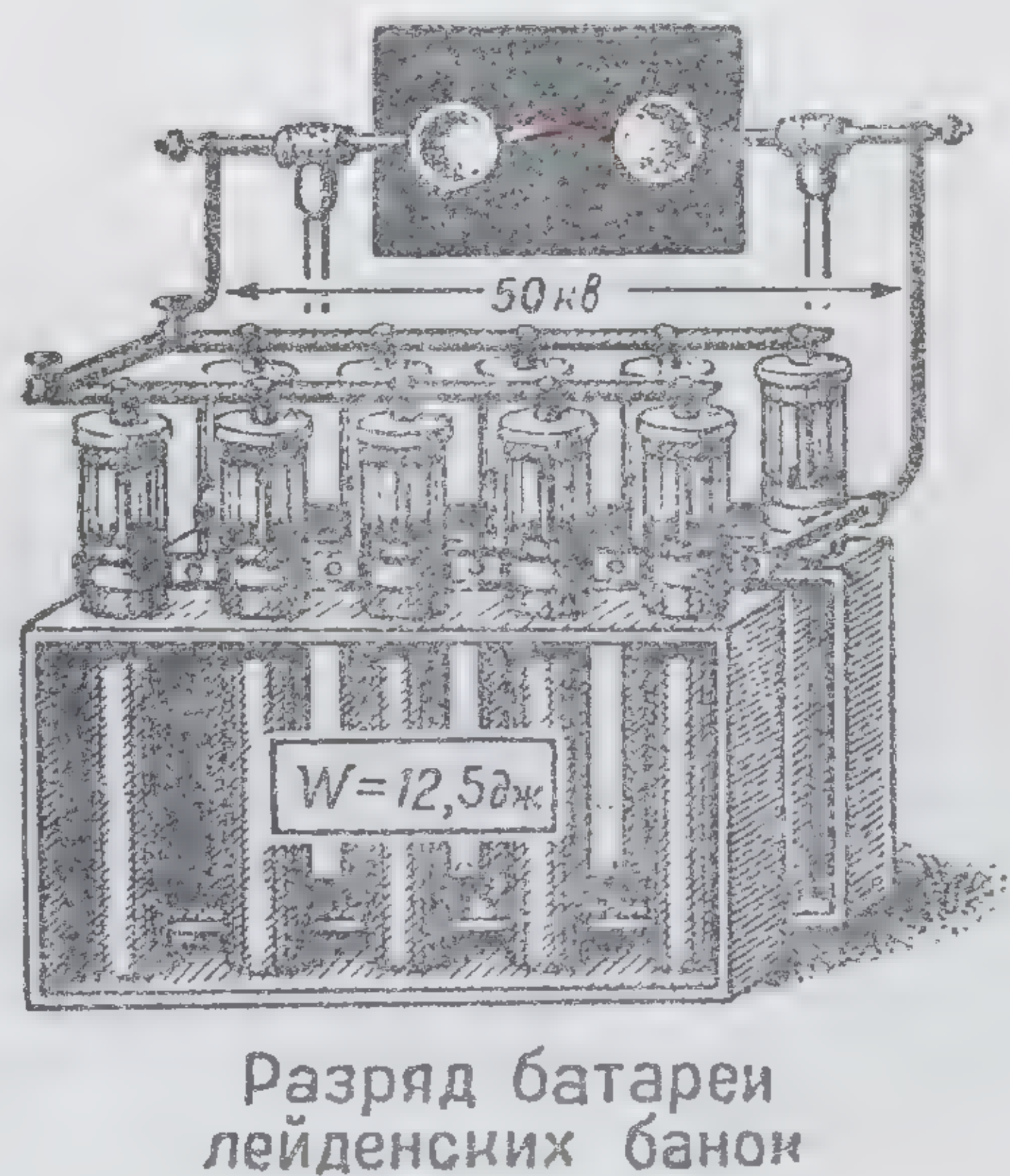
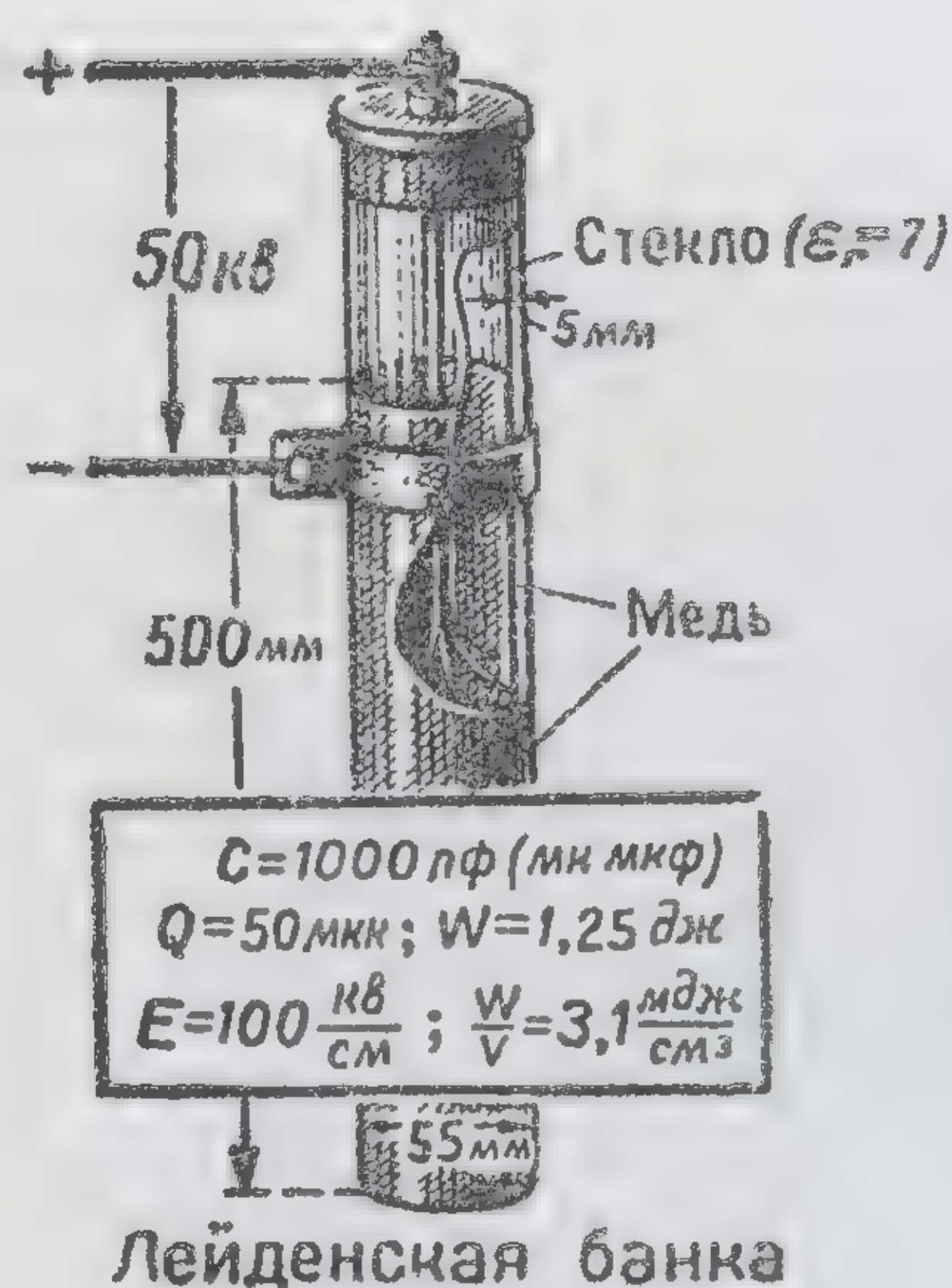
ЭЛЕКТРИЧЕСКОЕ ПОЛЕ ДВУХ ПАРАЛЛЕЛЬНЫХ ЦИЛИНДРОВ

ЭНЕРГИЯ ЭЛЕКТРИЧЕСКОГО ПОЛЯ



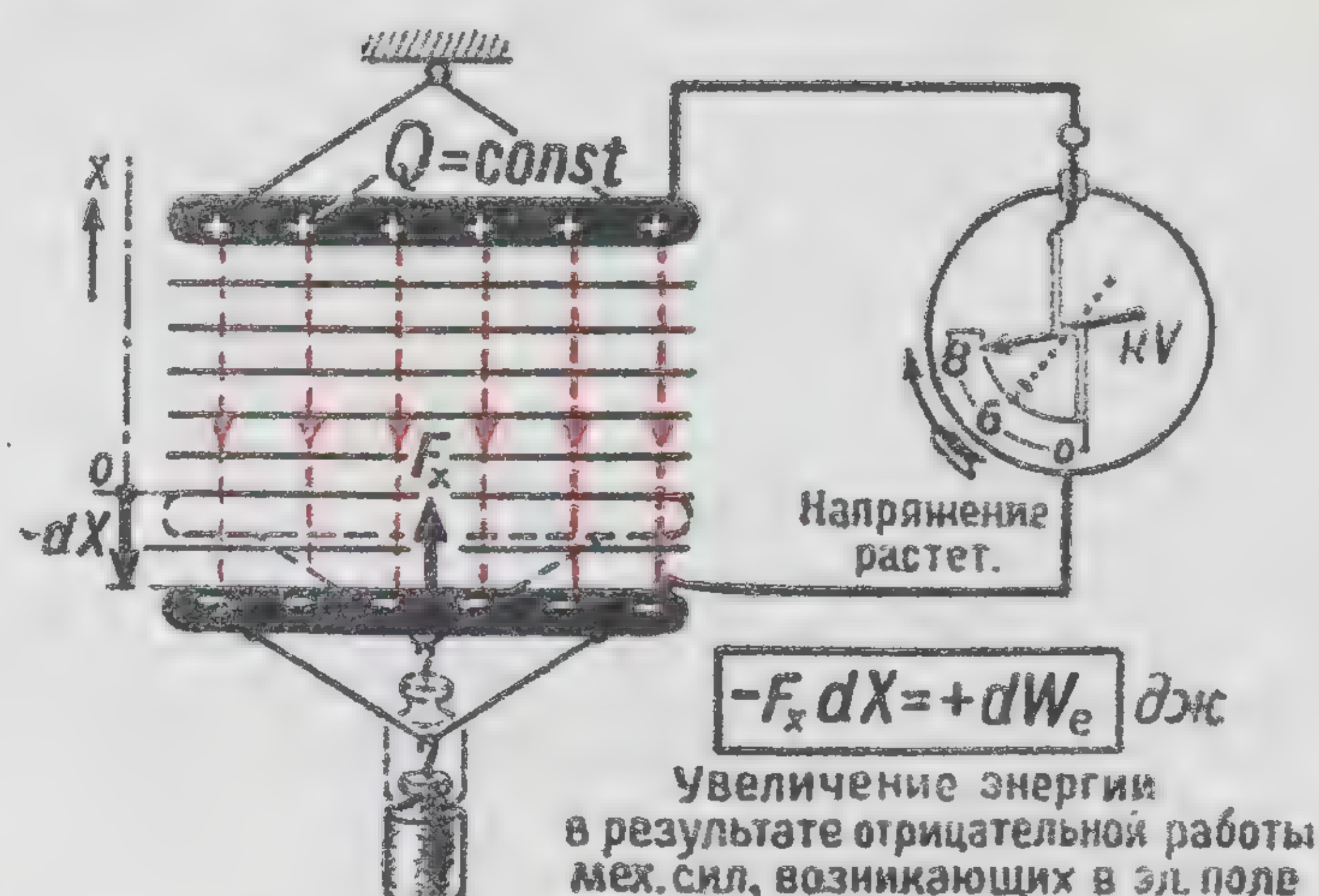
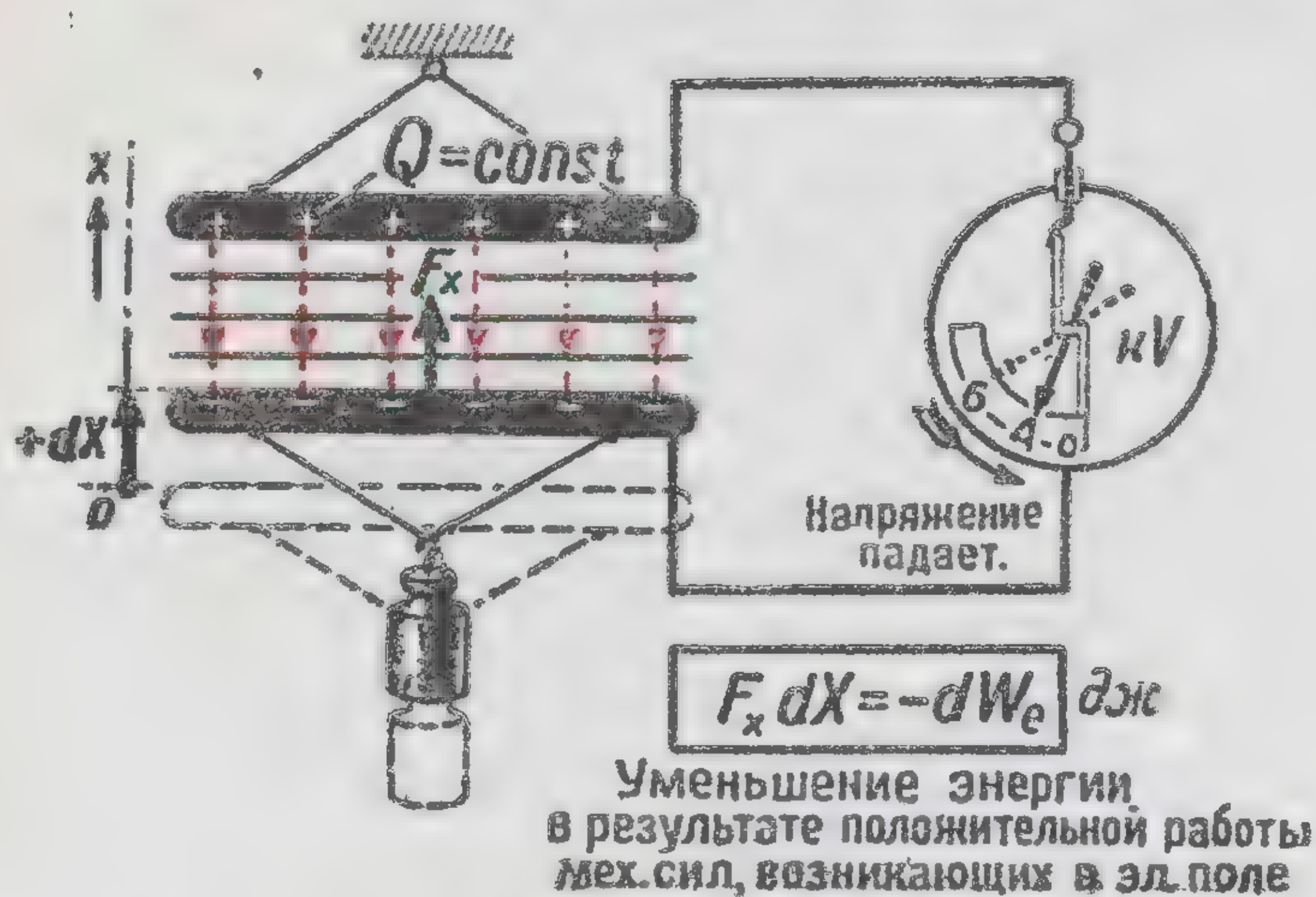
$$W_e = \sum \frac{Q \varphi}{2} = \sum \frac{DE}{2} \Delta V \quad \text{дж}$$

ЭНЕРГИЯ ЭЛЕКТРИЧЕСКОГО ПОЛЯ



ЭЛЕКТРИЧЕСКОЕ ПОЛЕ НАД ПОВЕРХНОСТЬЮ ЗЕМЛИ

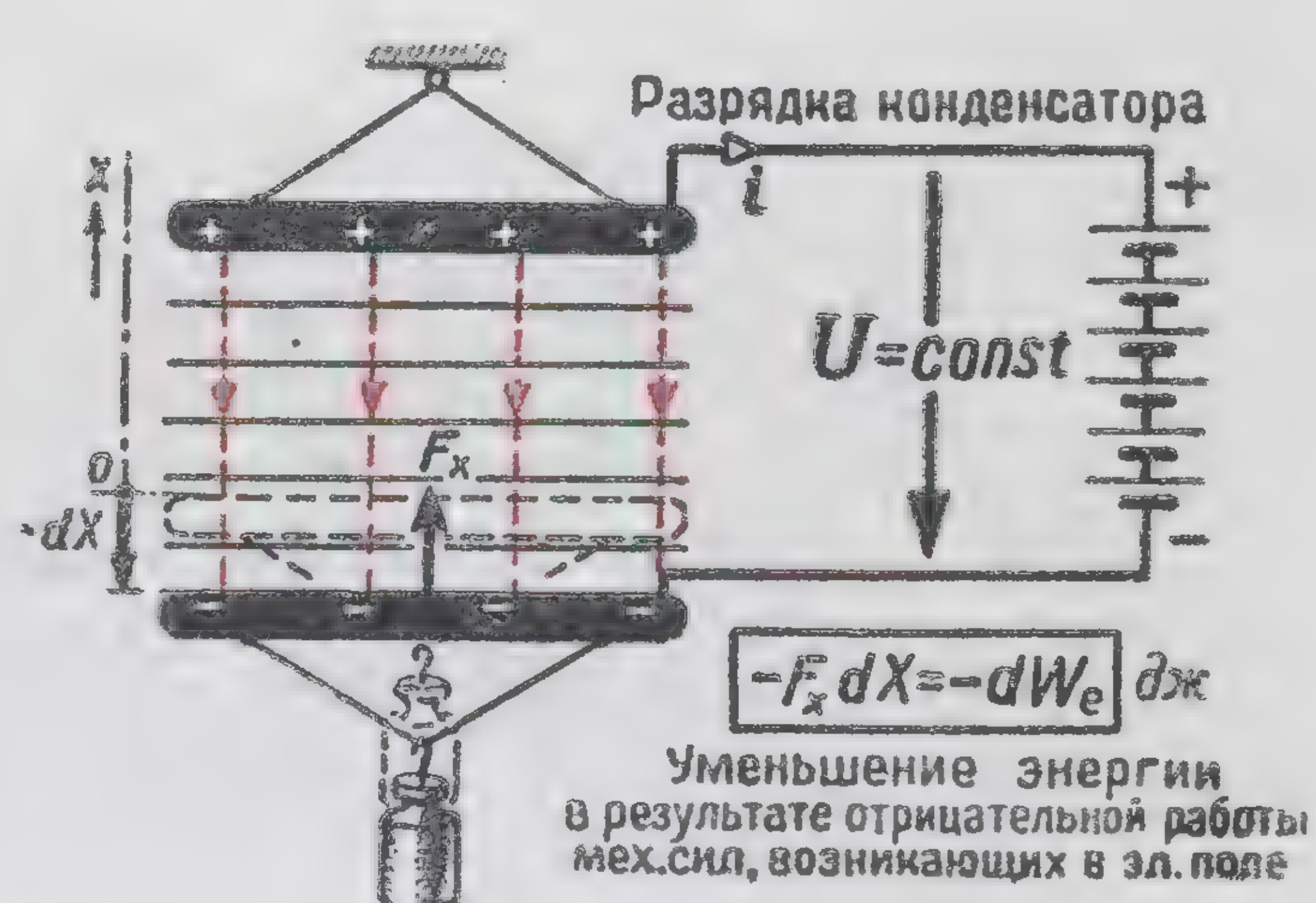
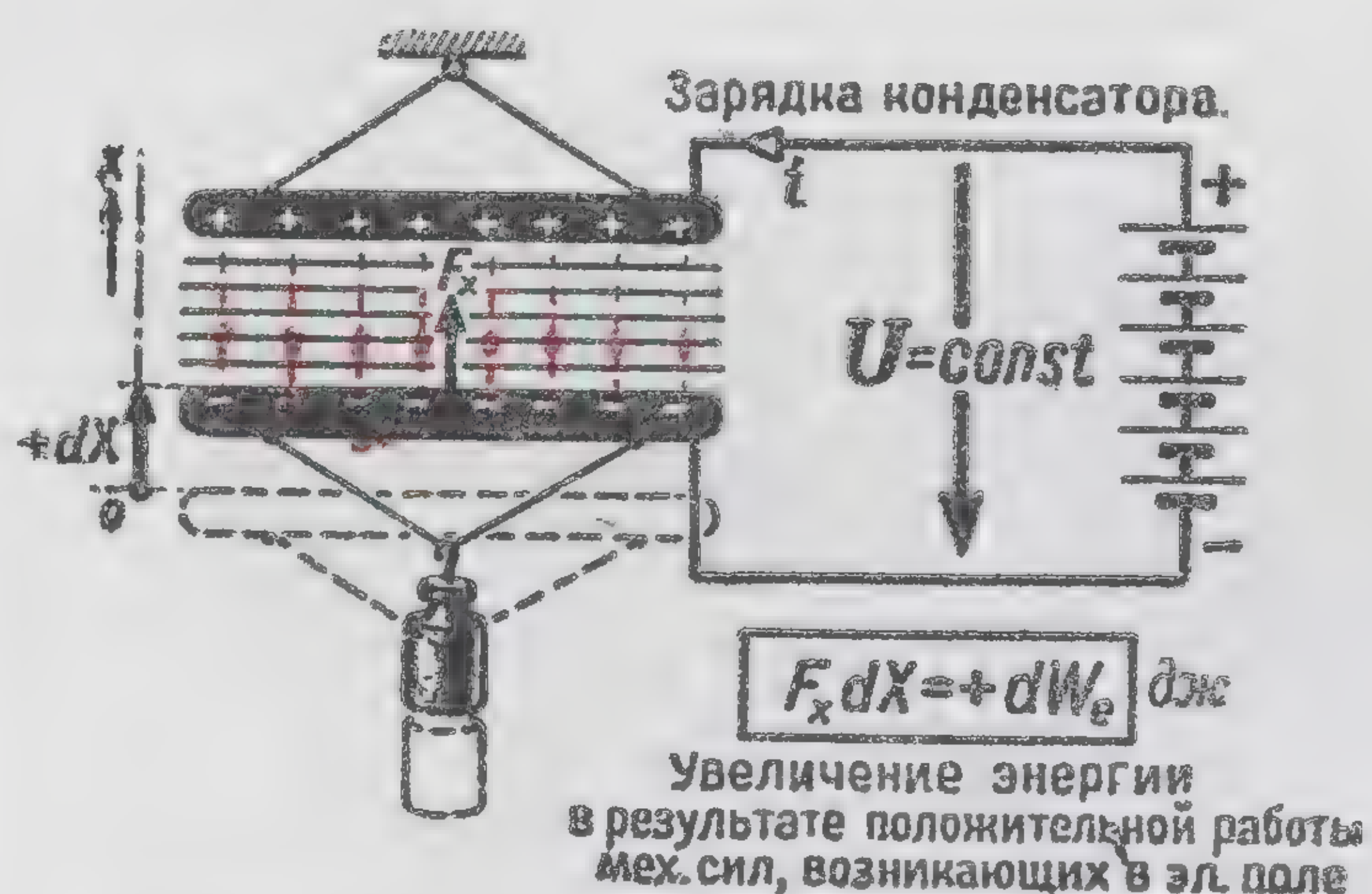
МЕХАНИЧЕСКИЕ СИЛЫ В ЭЛЕКТРИЧЕСКОМ ПОЛЕ



$dA = F_x dx = -dW_e$ Дж Работа механических сил равна УБЫЛИ энергии электрического поля системы

$F_x = -\frac{dW_e}{dx}$ Дж/м Механическая сила „стремится“ УМЕНЬШИТЬ энергию электрического поля системы

СИСТЕМА С ОТКЛЮЧЕННЫМИ ИСТОЧНИКАМИ ($Q = \text{const}$)



$dA = F_x dx = +dW_e$ Дж Работа механических сил равна ПРИРАЩЕНИЮ энергии электрического поля системы

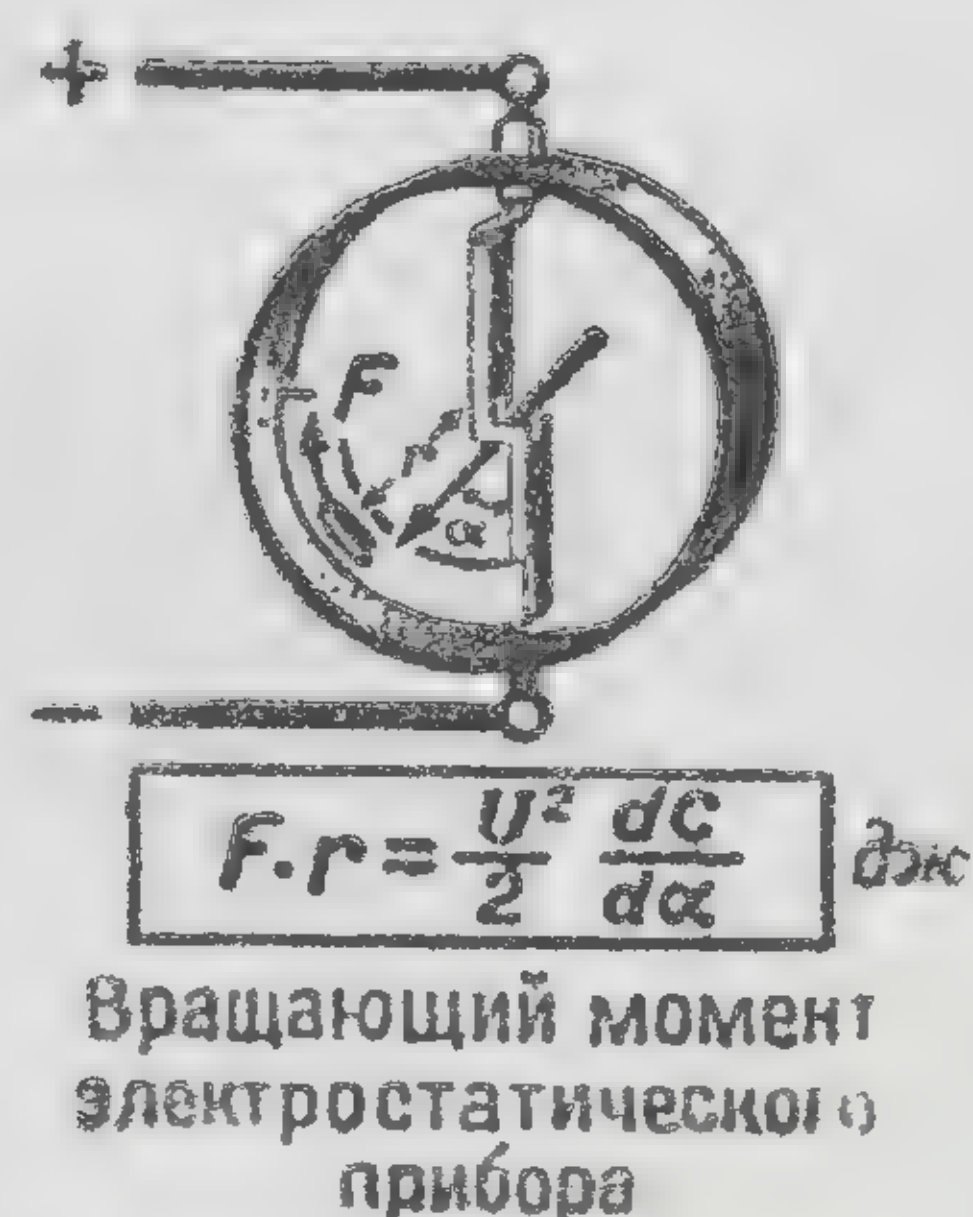
$F_x = +\frac{dW_e}{dx}$ Дж/м Механическая сила „стремится“ УВЕЛИЧИТЬ энергию электрического поля системы

СИСТЕМА С ПРИКЛЮЧЕННЫМИ ИСТОЧНИКАМИ ($\varphi = \text{const}$)

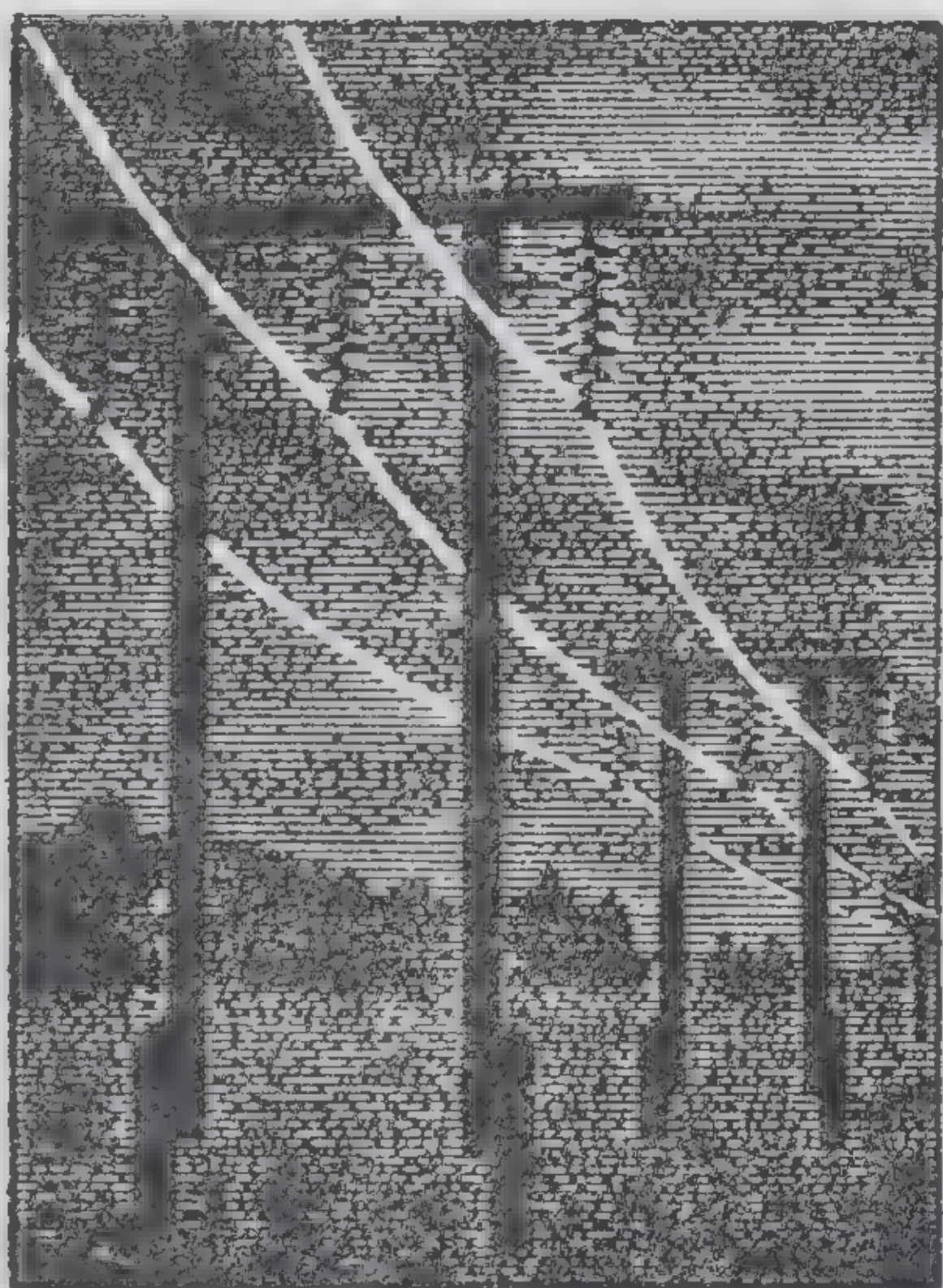


$$\frac{F}{S} = \frac{DE}{2} \frac{\text{дж/м}}{\text{м}^2} \left(\frac{\text{дж}}{\text{м}^3} \right)$$

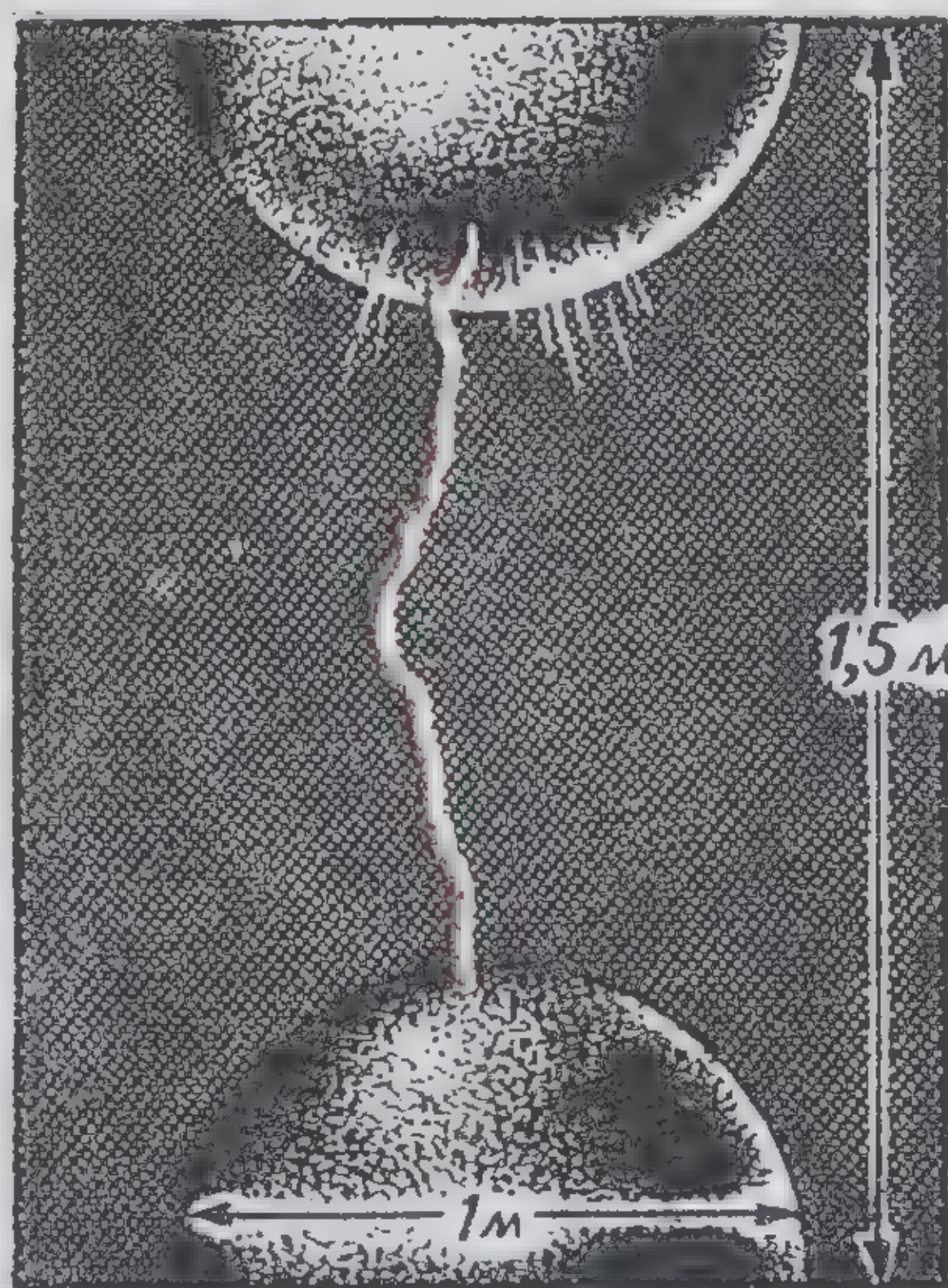
Сила тяжения, приходящаяся на единицу поверхности, равна объёмной плотности энергии



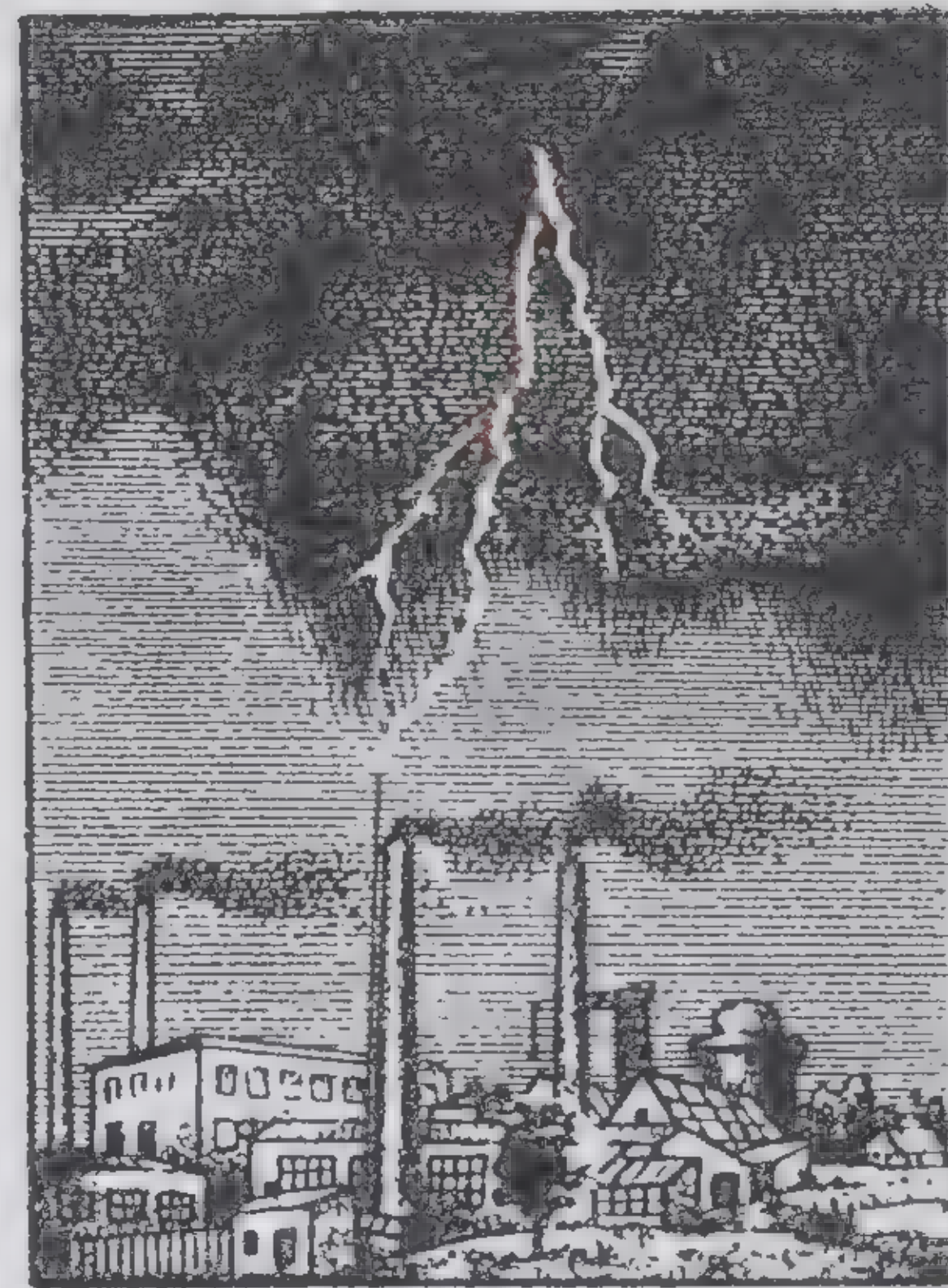
ПРОБОЙ ДИЭЛЕКТРИКА



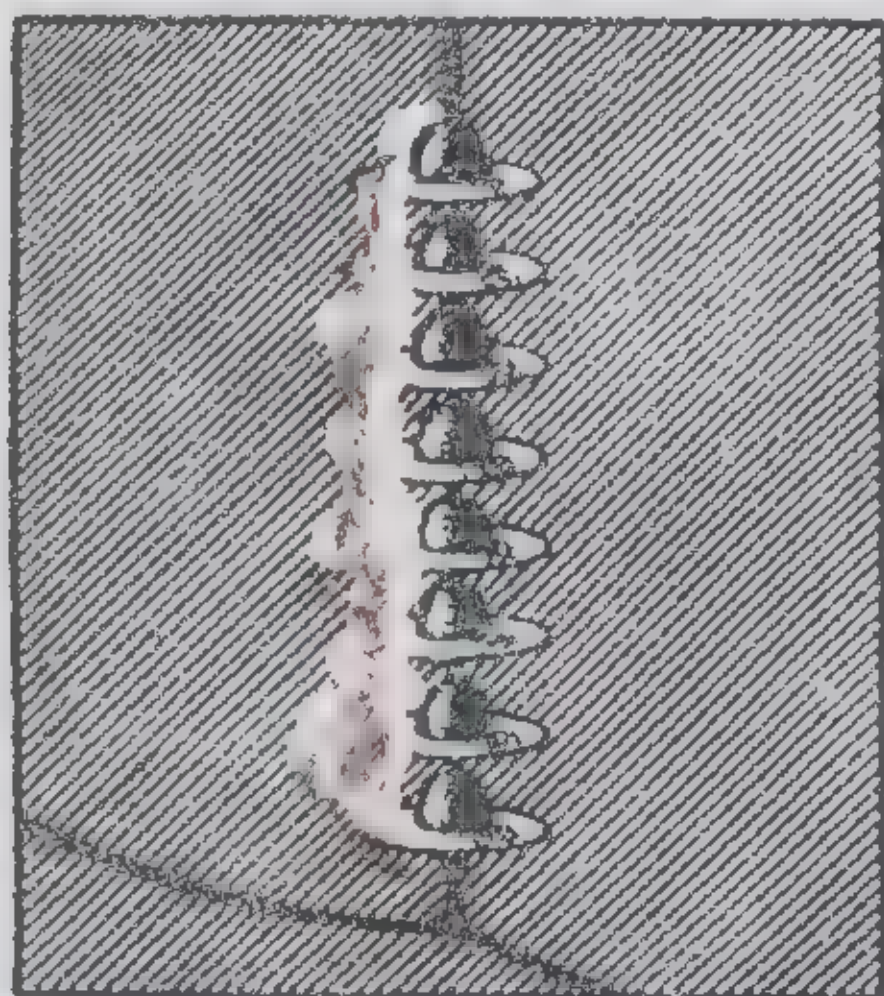
Корона на проводах высоковольтной линии



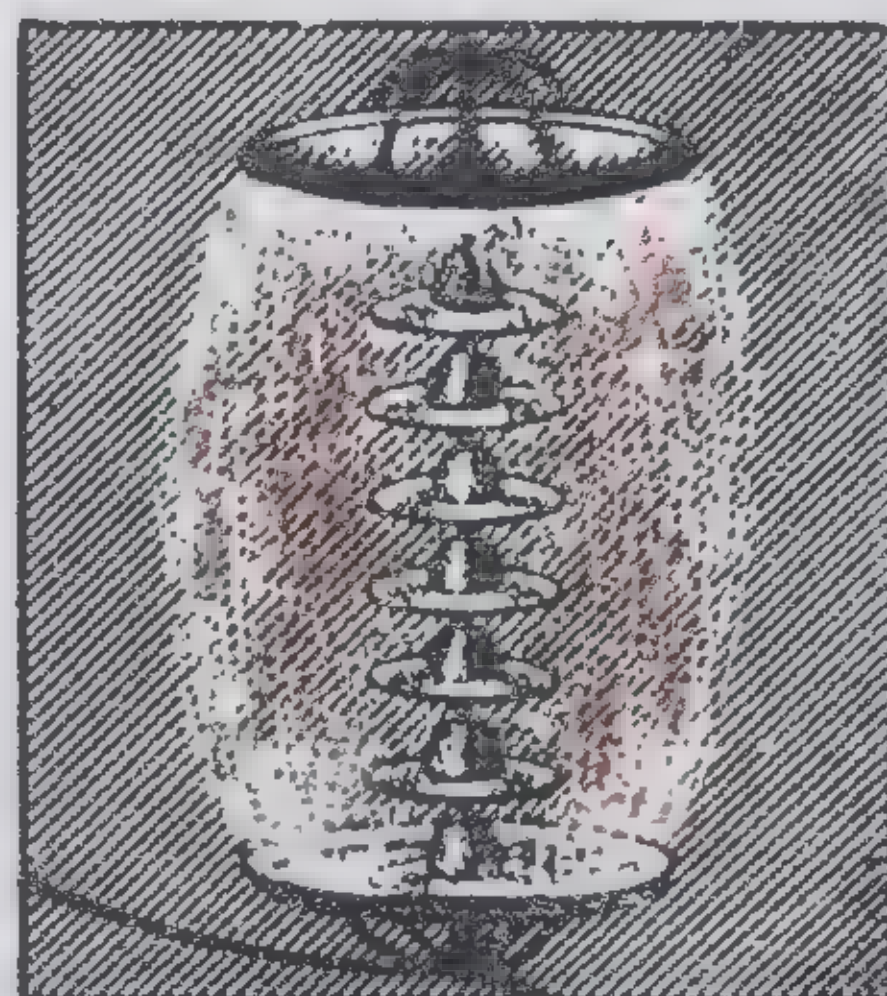
Искровое перекрытие между шарами



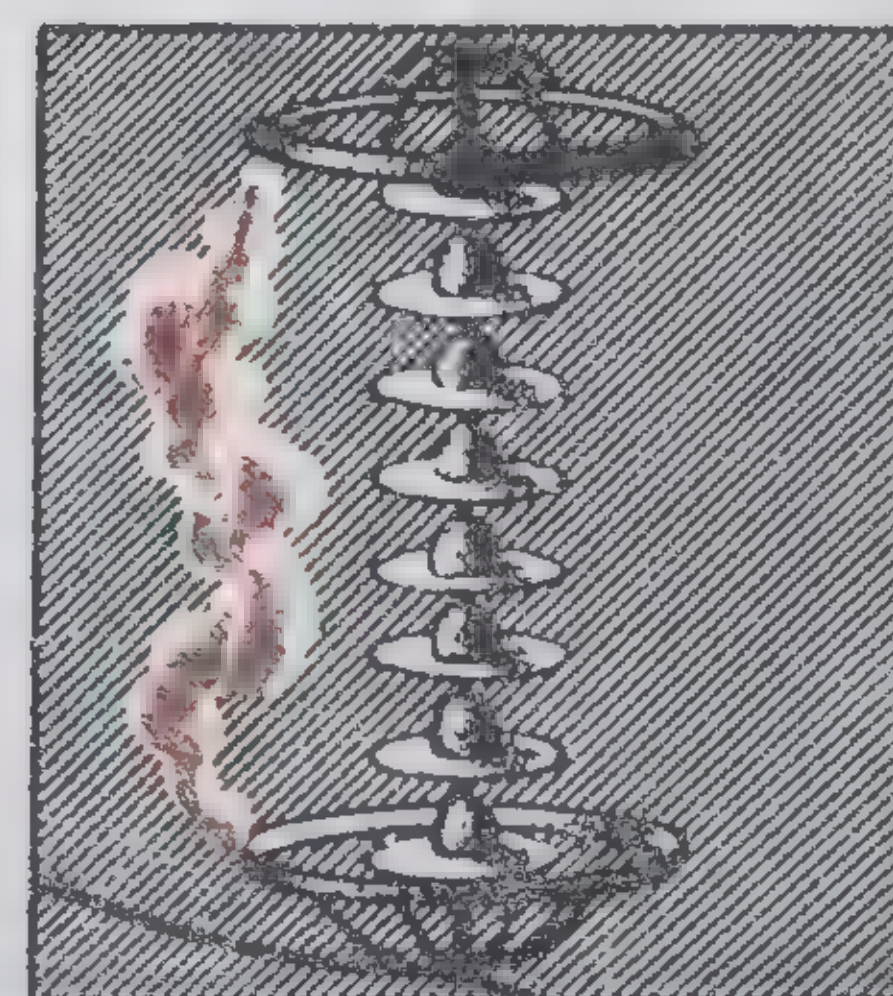
Молния
($U=100 \text{ мкв}$; $I=10000 \text{ а}$)



Поверхностный разряд по гирлянде подвесных изоляторов

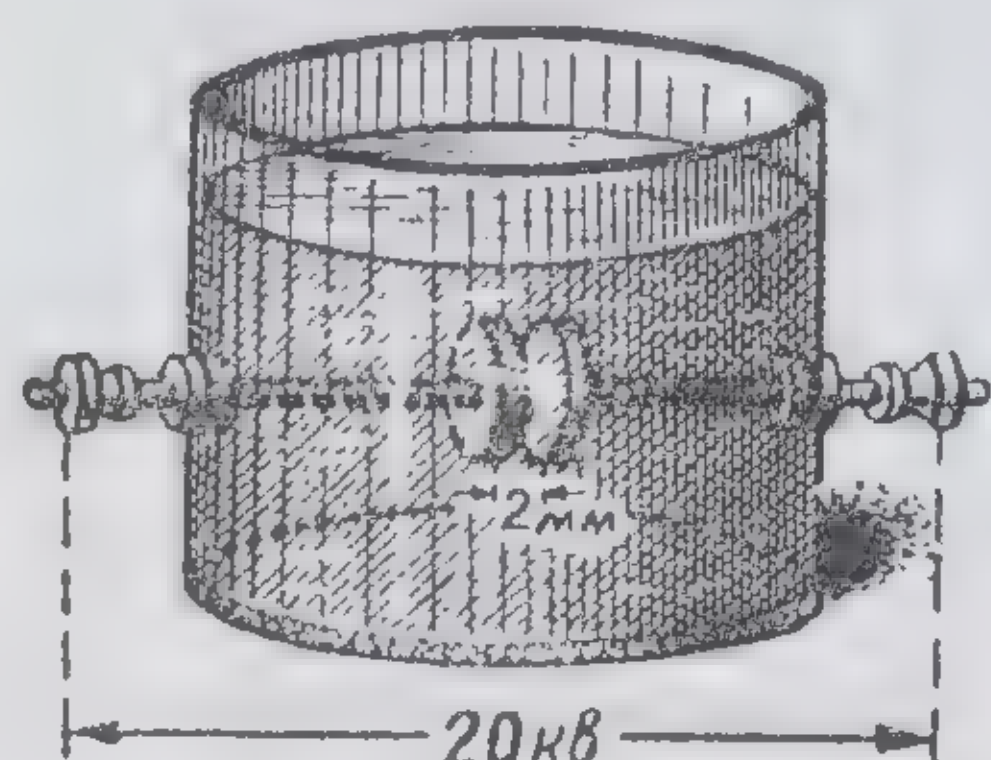


Корона на гирлянде с защитными кольцами

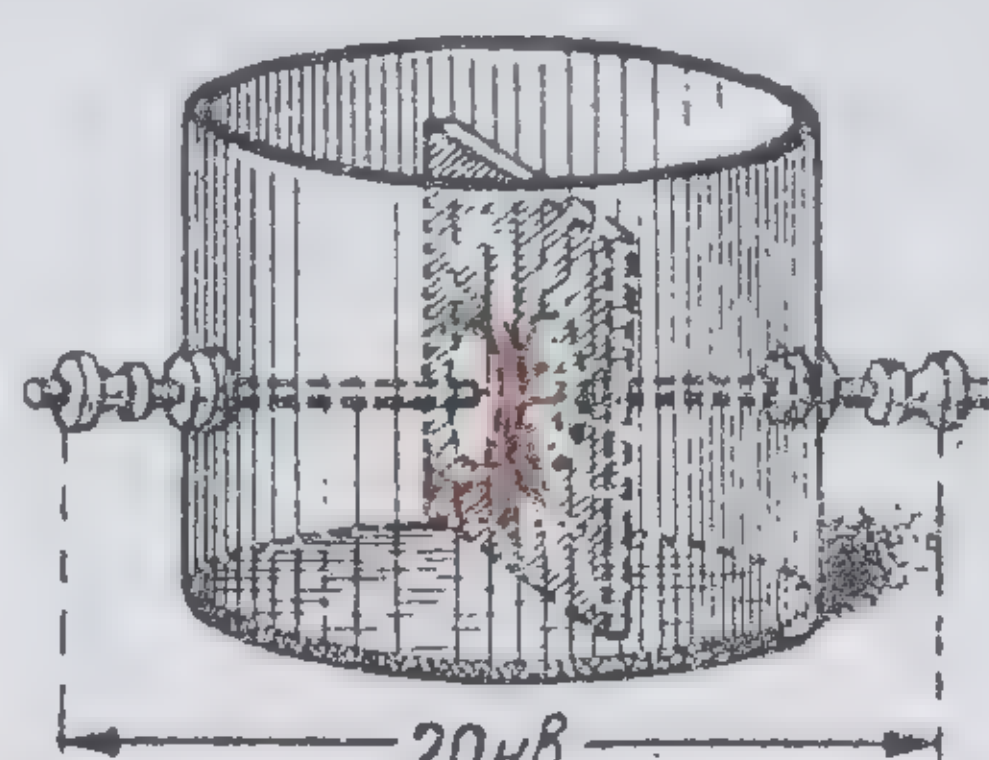


Разряд по гирлянде с защитными кольцами

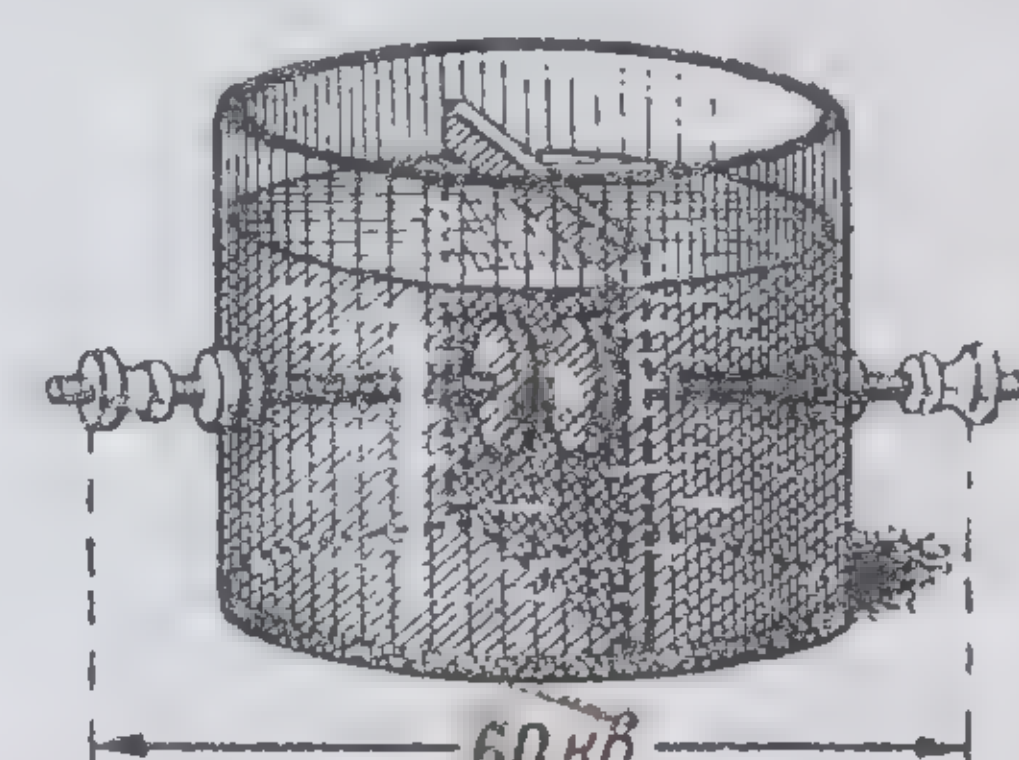
Электрической прочностью (пробивной напряженностью $E_{\text{проб}}$) диэлектрика называют напряженность электрического поля, при которой происходит пробой диэлектрика



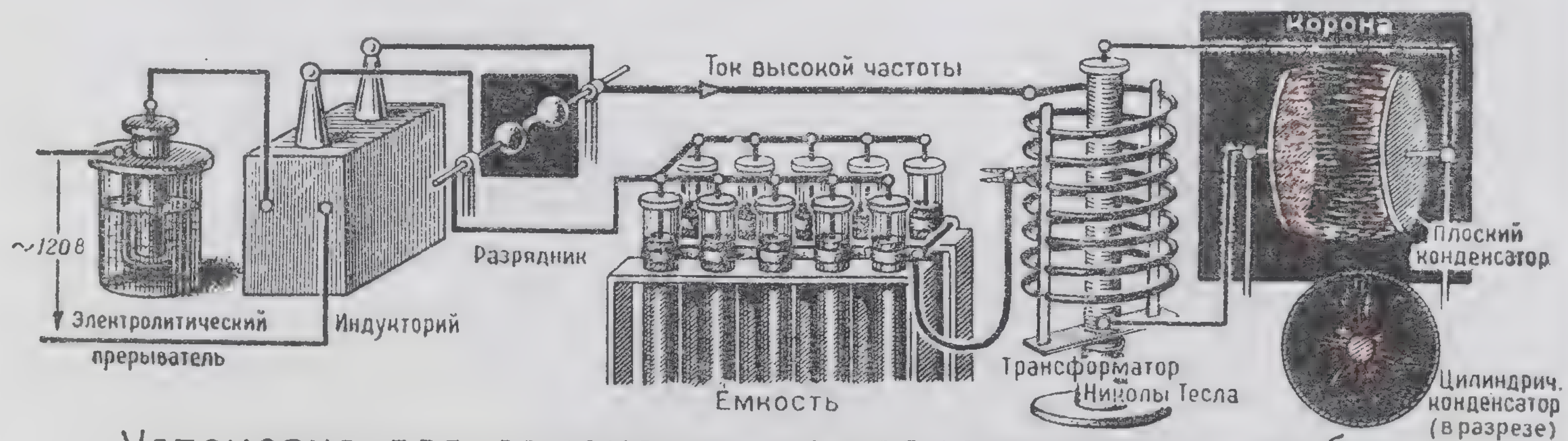
Пробой масла
($E_{\text{проб}}=10 \text{ кВ/мм}$)



Разряд по поверхности стеклянной пластинки в воздухе



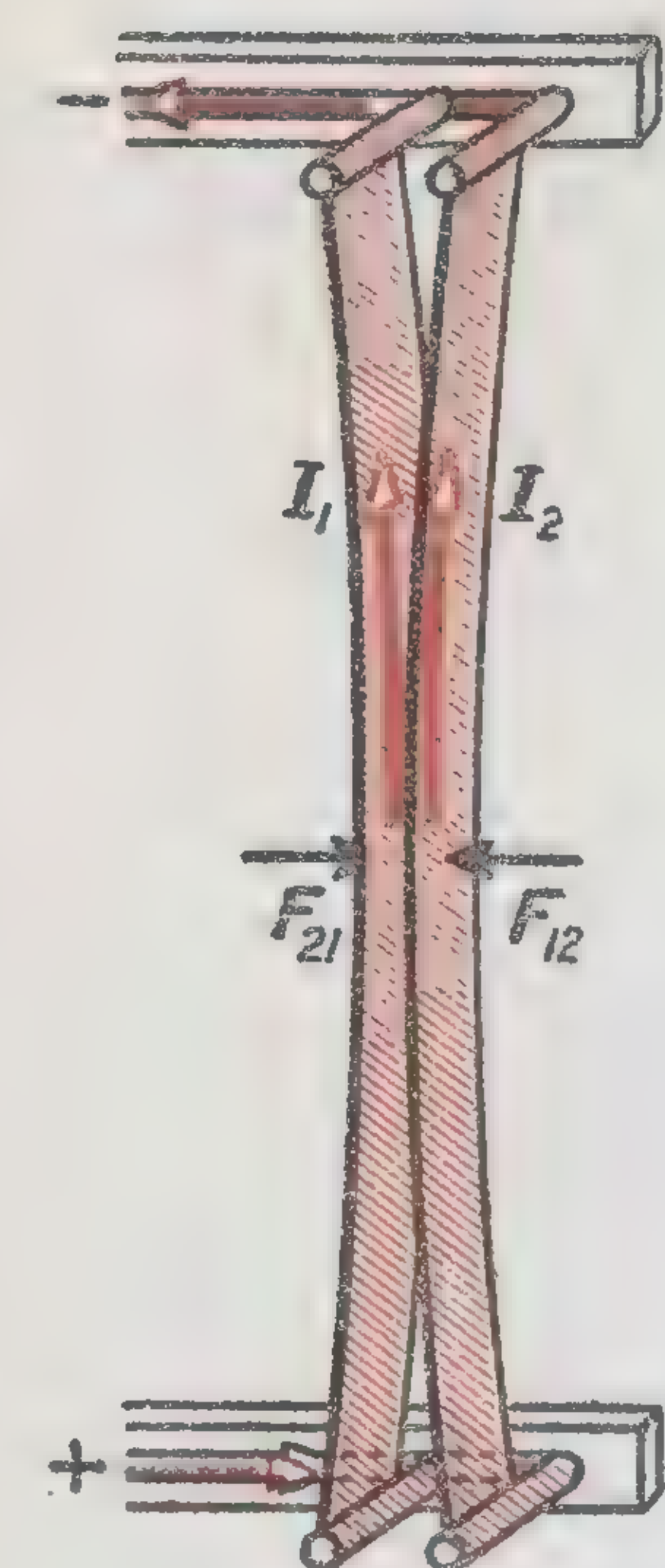
Пробой стеклянной пластинки под маслом ($E_{\text{проб}}=30 \text{ кВ/мм}$)



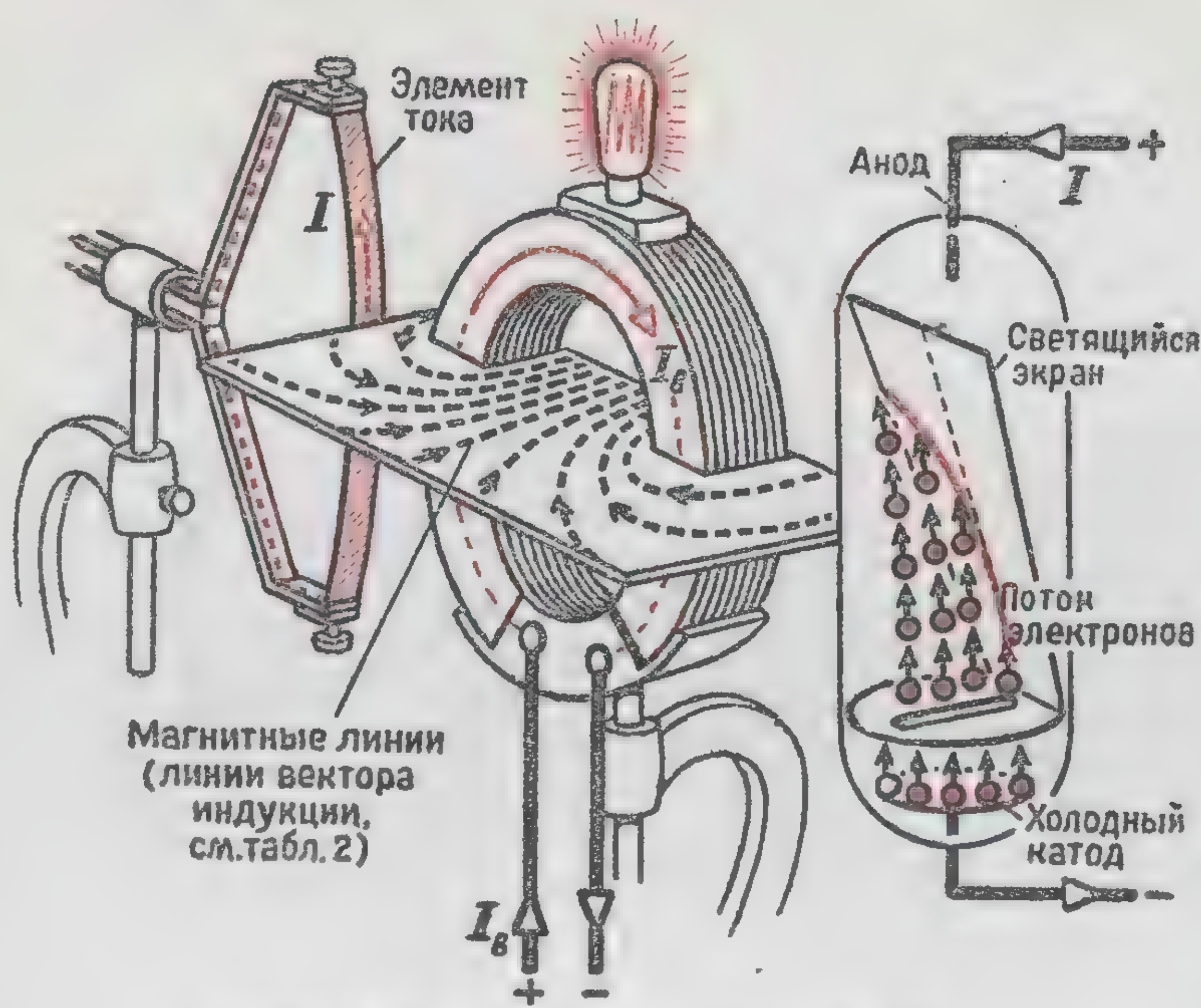
Установка для демонстрации электрического пробоя

Э.И.Расовский

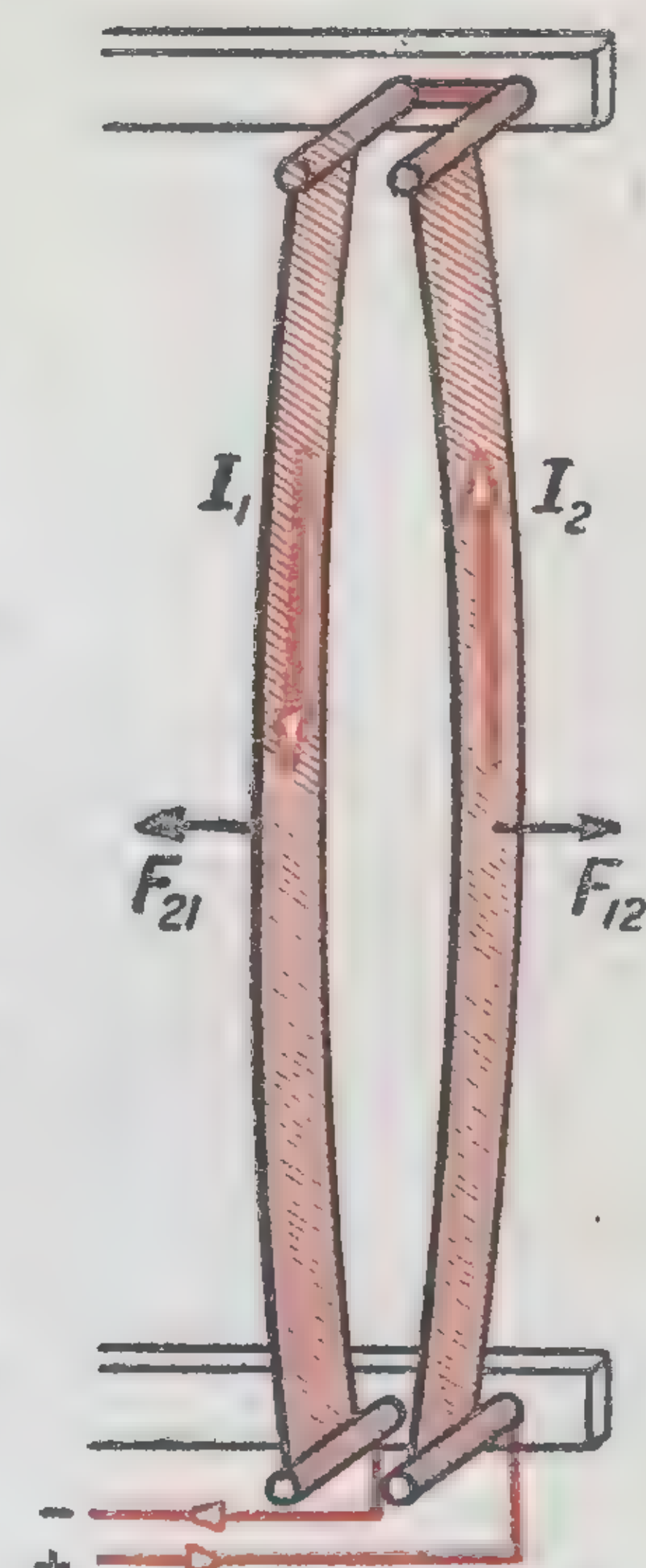
МАГНИТНОЕ ПОЛЕ



ВЗАИМОДЕЙСТВИЕ
(притяжение)
одинаково направленных
параллельных токов

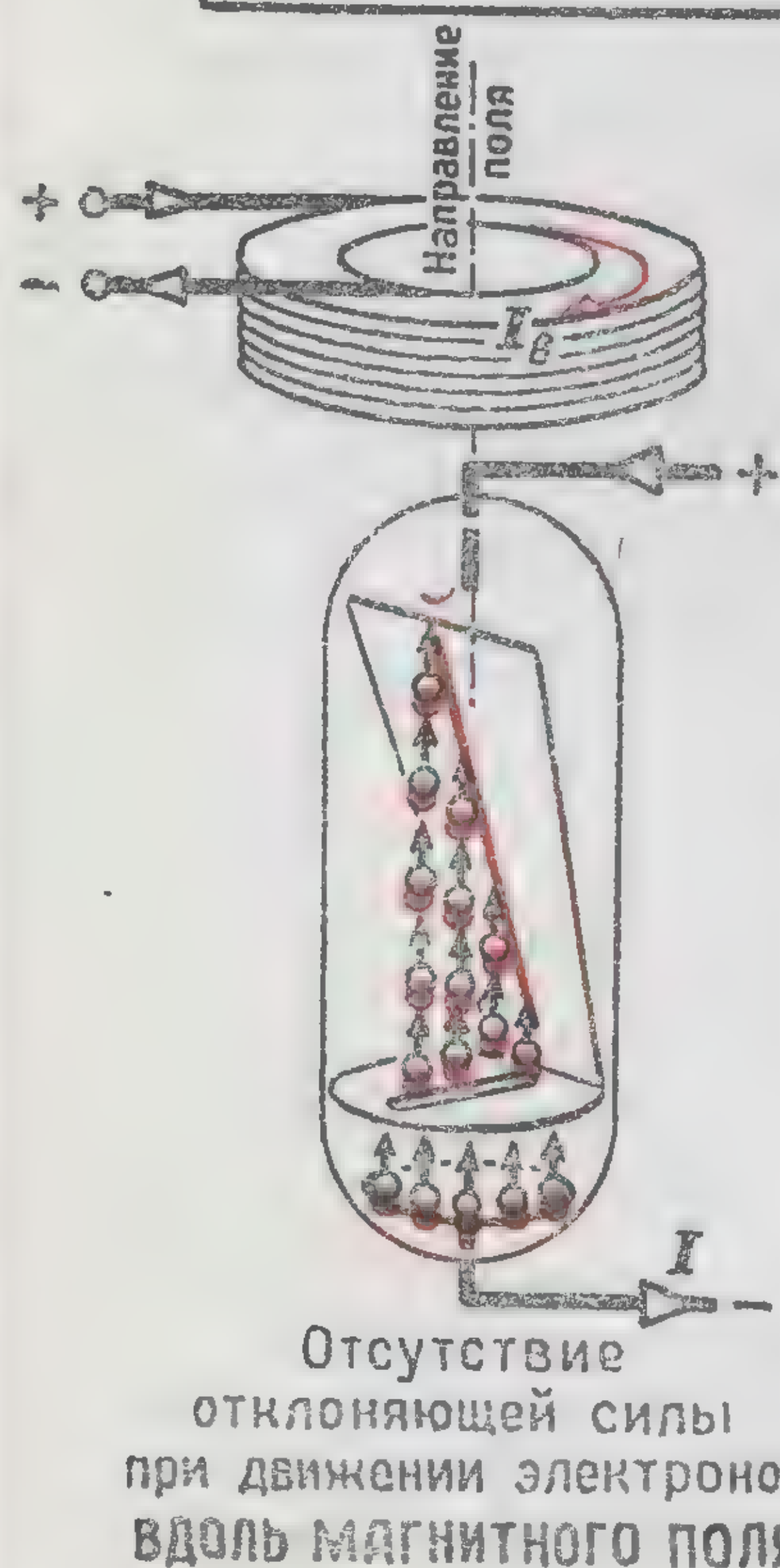


ДЕЙСТВИЕ МАГНИТНОГО ПОЛЯ
катушки на элемент тока
и на поток электронов



ВЗАИМОДЕЙСТВИЕ
(отталкивание)
противоположно направленных
параллельных токов

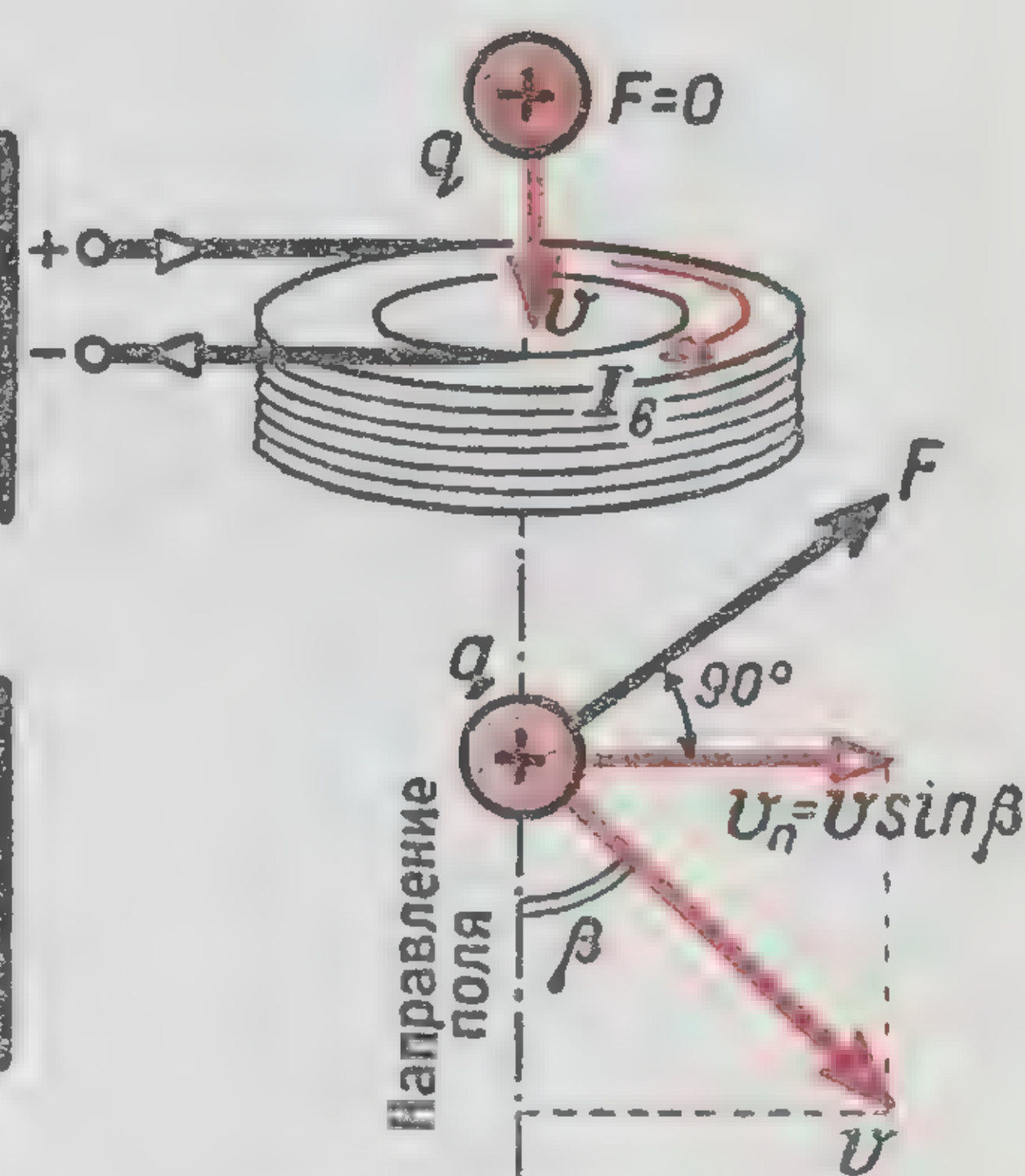
МАГНИТНЫМ ПОЛЕМ называется особая форма движения материи в некоторой области пространства, в каждой точке которого проявляются силы, действующие на движущиеся электрические заряды (электрические токи) в направлении, перпендикулярном к их движению



Направление, вдоль которого движущийся заряд (электрический ток) не испытывает воздействия со стороны поля, принимается за **НАПРАВЛЕНИЕ МАГНИТНОГО ПОЛЯ**

При движении пробного заряда под углом к направлению поля отклоняющая сила перпендикулярна к скорости движения и к направлению поля

Величина отклоняющей силы F пропорциональна произведению движущегося заряда q на проекцию U_n скорости движения в направлении, нормальном к полю



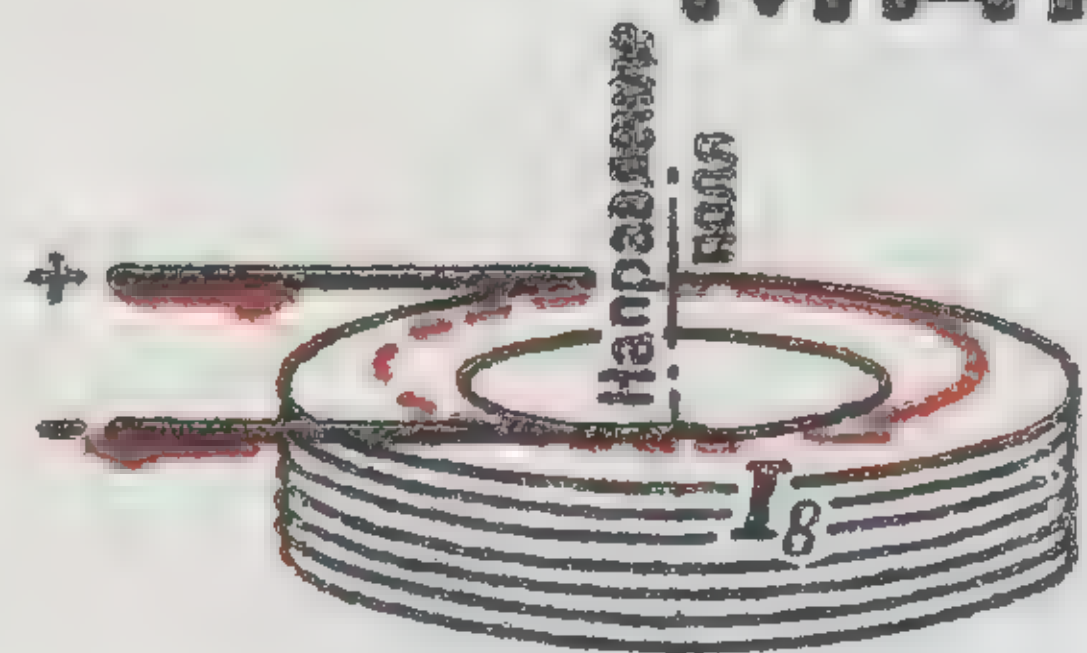
$$F \equiv q \cdot U \sin \beta \quad \text{Н} \left(\frac{\text{дж}}{\text{м}} \right)$$

Величина отклоняющей силы при движении пробного заряда под углом β направлению магнитного поля

$$\frac{F}{q \cdot U_n} = \text{const} \quad \frac{\text{в} \cdot \text{сек}}{\text{м}^2}$$

Для произвольной точки магнитного поля отношение отклоняющей силы к произведению пробного заряда на нормальную составляющую его скорости к полю является постоянной величиной и может служить мерой интенсивности магнитного поля

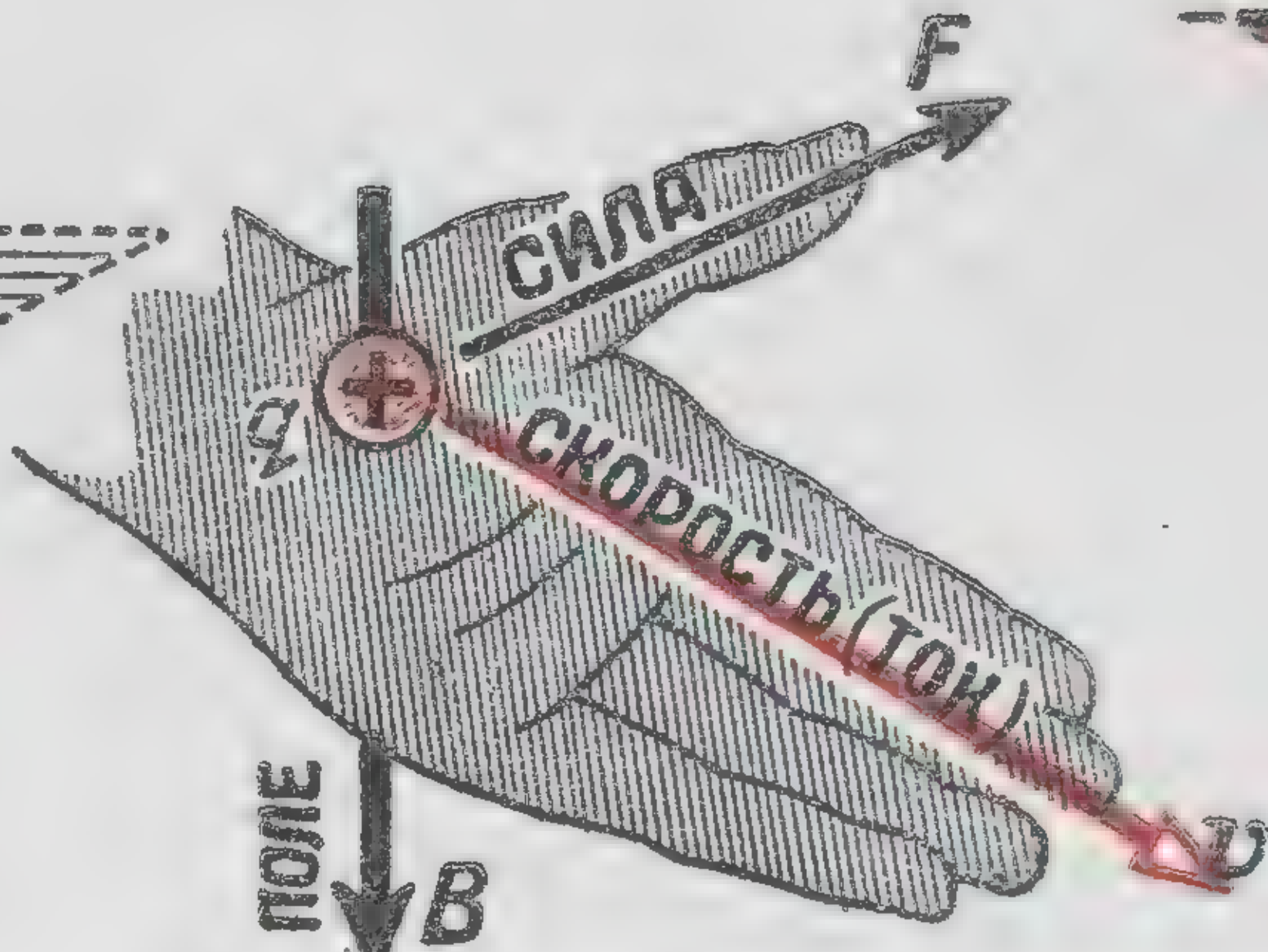
МАГНИТНАЯ ИНДУКЦИЯ



Движение пробного заряда под углом к магнитному полю

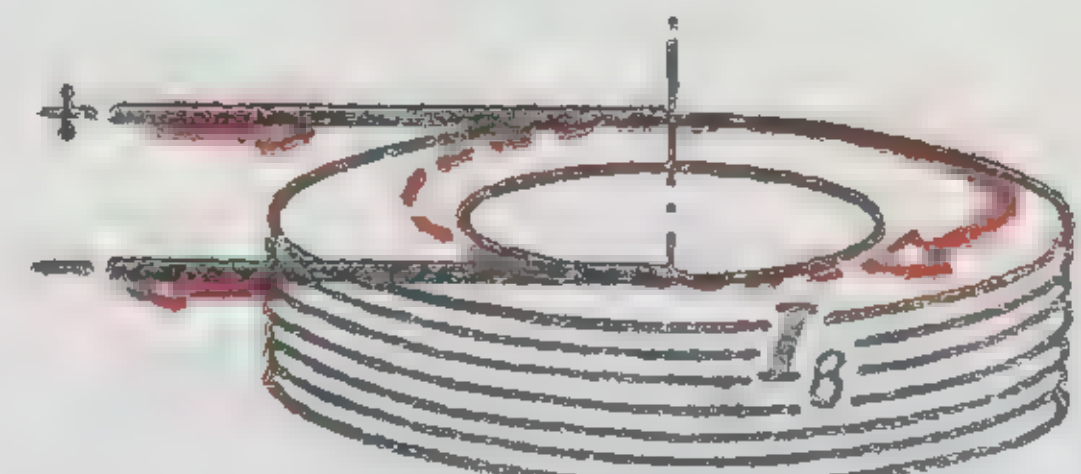
$$\frac{F}{q \cdot v \cdot \sin \beta} = \frac{F}{q \cdot v_n} = B \quad \frac{\text{В} \cdot \text{сек}}{\text{М}^2}$$

Магнитная индукция



Определение положительного направления магнитного поля по правилу левой руки

$$1 \frac{\text{В} \cdot \text{сек}}{\text{М}^2} = 10^9 \frac{\text{В} \cdot \text{сек}}{\text{СМ}^2} = 10^8 \text{ ГС}$$



Движение пробного заряда нормально к магнитному полю

$$\vec{B} = \frac{[\vec{F} \cdot \vec{v}_n]}{q \cdot v_n} \quad \frac{\text{В} \cdot \text{сек}}{\text{М}^2}$$

Магнитная индукция (ВЕКТОР ИНДУКЦИИ)

МАГНИТНАЯ ИНДУКЦИЯ есть основная физическая величина, характеризующая интенсивность магнитного поля в каждой его точке, численно равная отклоняющей силе, отнесенной к единице пробного заряда, движущегося с единичной скоростью в направлении, перпендикулярном к полю

• МАГНИТНАЯ ИНДУКЦИЯ является направленной величиной (вектор), перпендикулярной к отклоняющей силе •

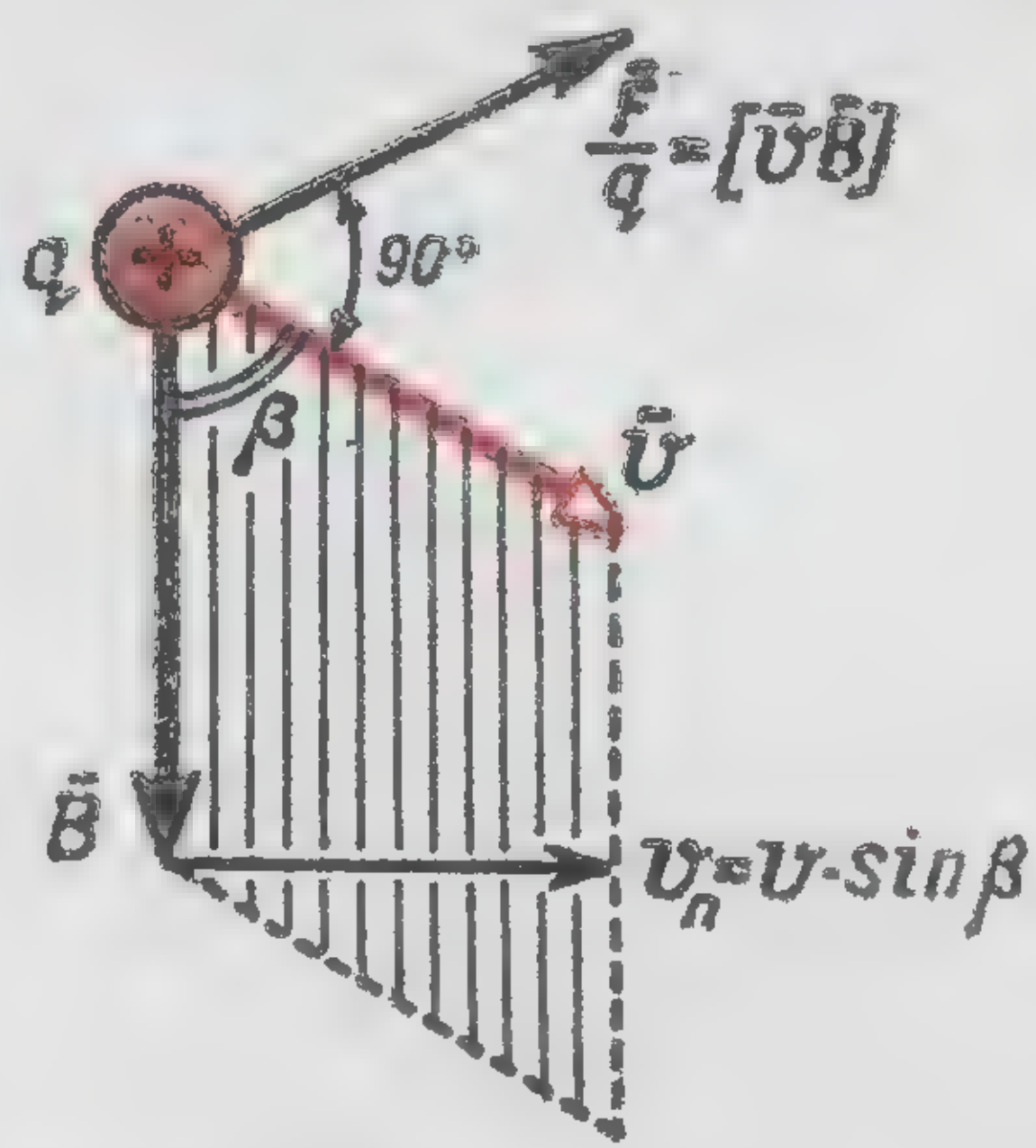
$$q \cdot \vec{v} = \rho V \cdot \vec{v} = \delta \cdot V = \delta \cdot S \vec{l} = I \cdot \vec{l} \quad \text{А} \cdot \text{М}$$

Движущийся пробный заряд эквивалентен элементу тока.
 $\delta \cdot V$ — элемент объемного тока,
 $I \cdot l$ — элемент линейного тока

$$F = qvB \sin \beta = \delta V B \sin \beta = I l B \sin \beta$$

или в векторной форме
 $\vec{F} = q[\vec{v} \vec{B}] = V[\delta \vec{B}] = I[\vec{l} \vec{B}] \quad \text{Н} \left(\frac{\text{ДЖ}}{\text{М}} \right)$

Величина отклоняющей силы

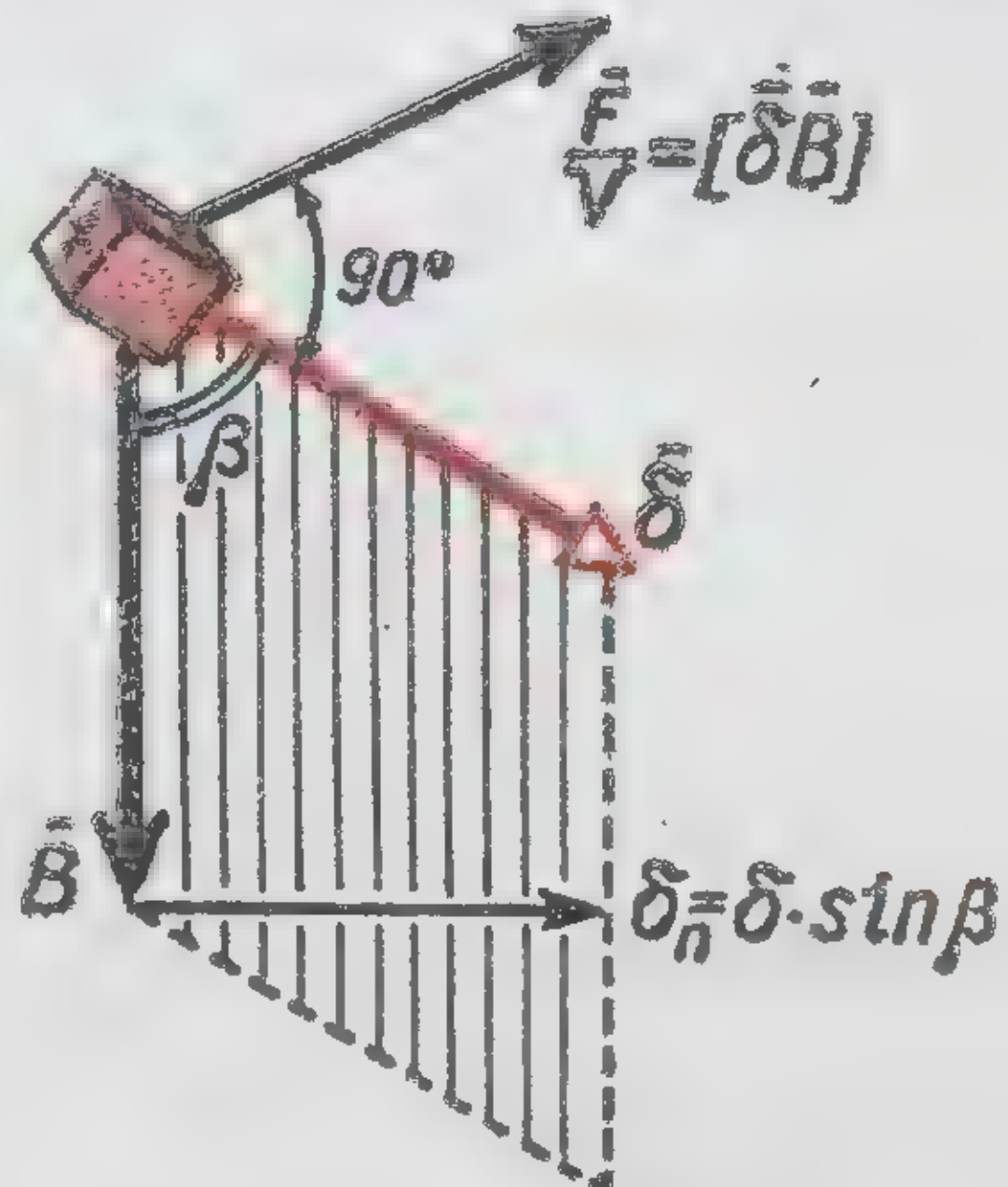


Отклоняющая сила, отнесенная к единице движущегося заряда (сравни табл. 19)

$$B = 1 \frac{\text{В} \cdot \text{сек}}{\text{М}^2}; v_n = 30000 \frac{\text{КМ}}{\text{СЕК}} = 3 \cdot 10^7 \frac{\text{М}}{\text{СЕК}}$$

$$F/q = v_n B = 30 \cdot 10^6 \frac{\text{В}}{\text{М}} = 300 \frac{\text{В}}{\text{СМ}}$$

Пример

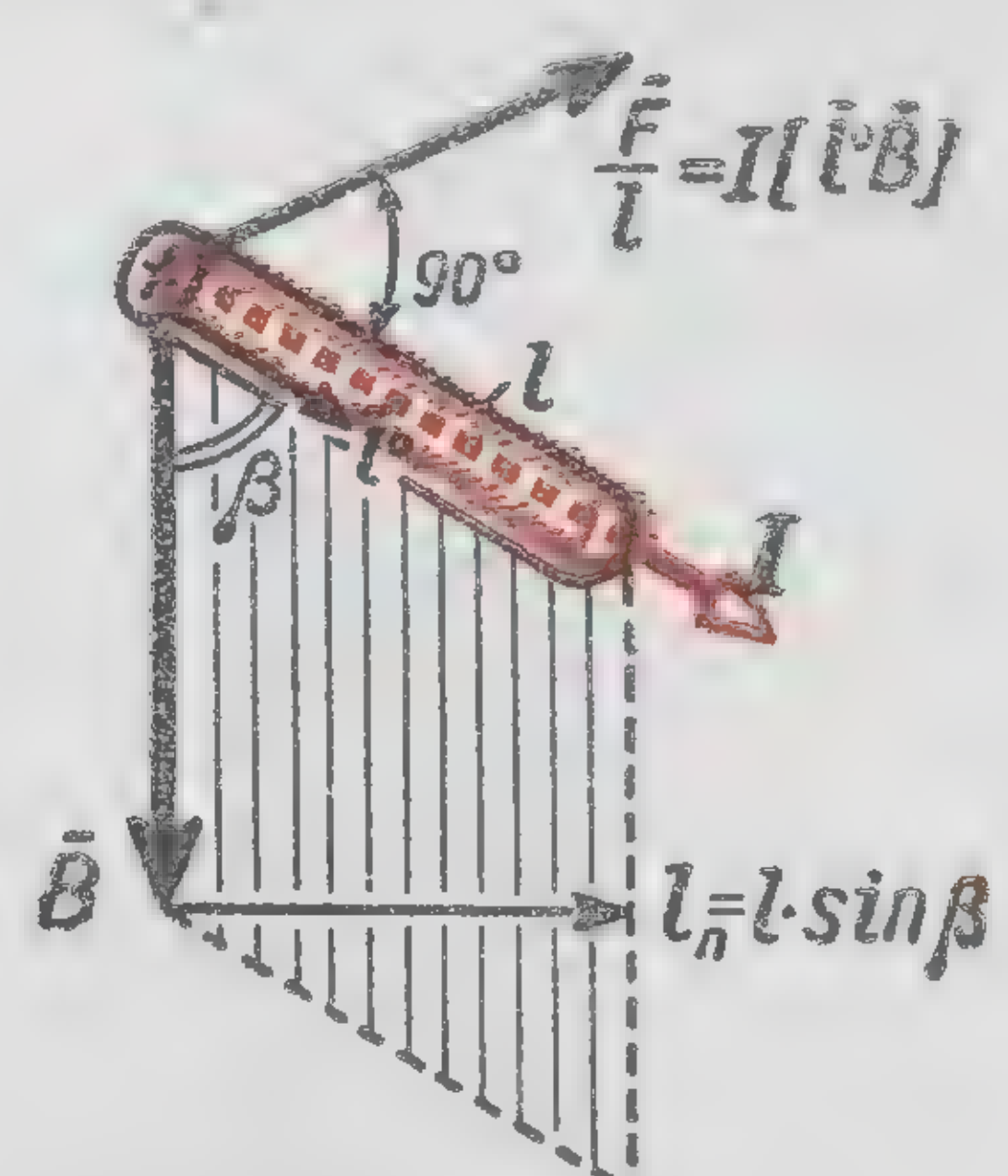


Отклоняющая сила, отнесенная к единице объема проводника с током

$$B = 1,2 \frac{\text{В} \cdot \text{сек}}{\text{М}^2}; \delta = 5 \frac{\text{А}}{\text{ММ}^3} = 5 \cdot 10^6 \frac{\text{А}}{\text{М}^3}$$

$$F/V = \delta_n B = 6 \cdot 10^6 \frac{\text{Н}}{\text{М}^3} = 0,612 \frac{\text{КГ}}{\text{СМ}^3}$$

Пример



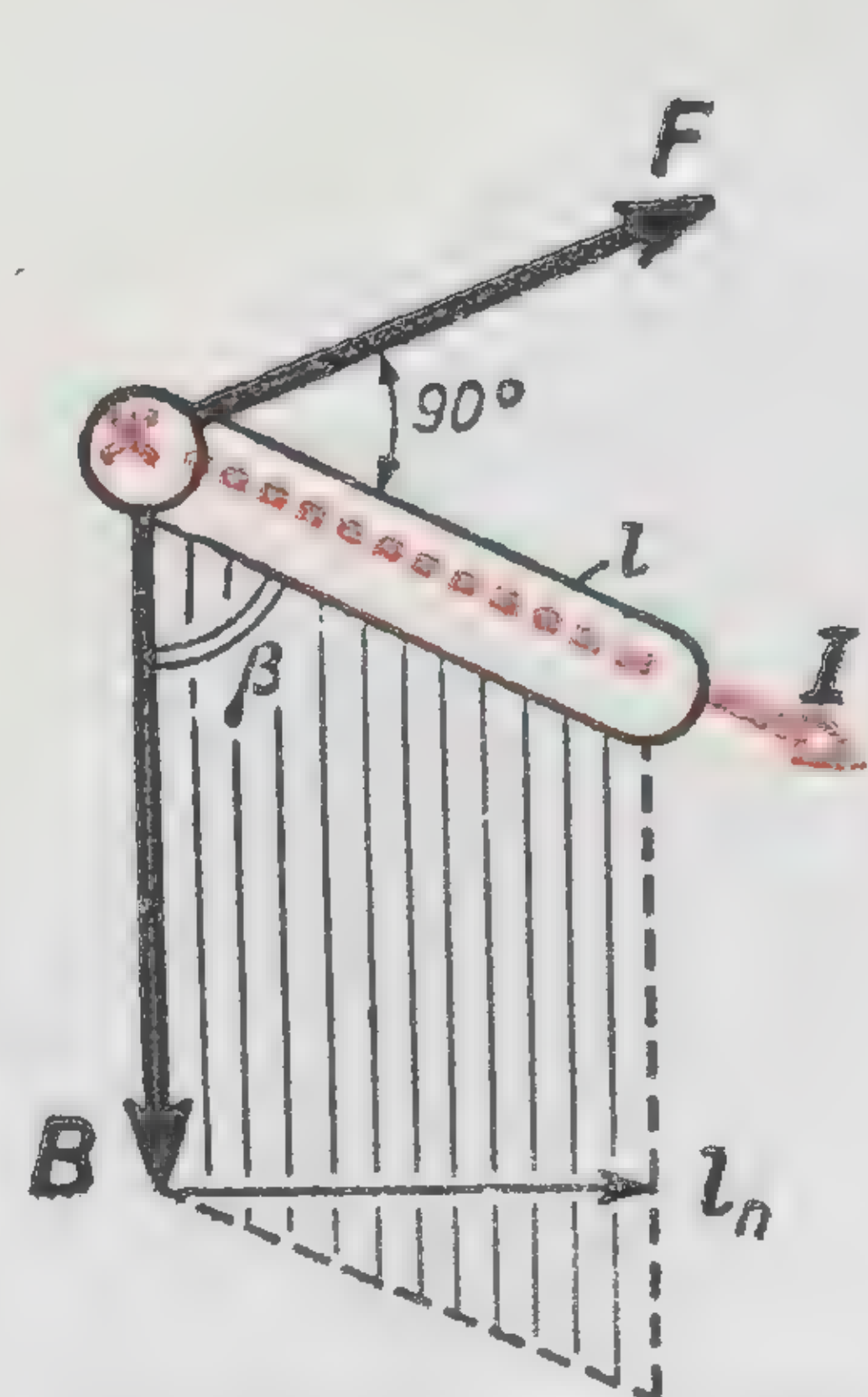
Отклоняющая сила, отнесенная к единице длины проводника с током (сравни табл. 3)

$$B = 1,5 \frac{\text{В} \cdot \text{сек}}{\text{М}^2}; I = 50 \text{ А}$$

$$F/l_n = B I = 75 \frac{\text{Н}}{\text{М}} = 7,65 \frac{\text{КГ}}{\text{М}}$$

Пример

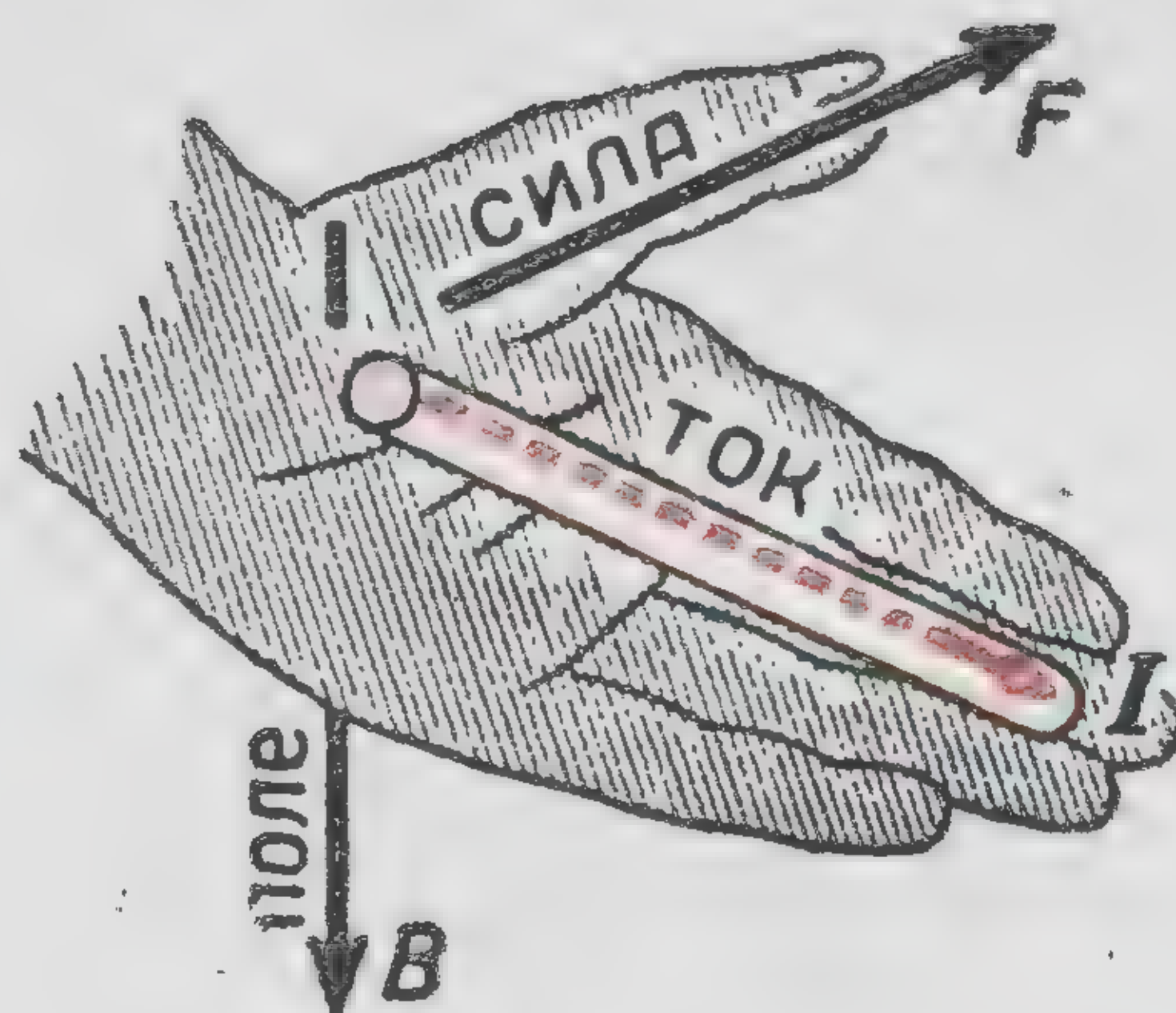
ПРАВИЛО ЛЕВОЙ РУКИ



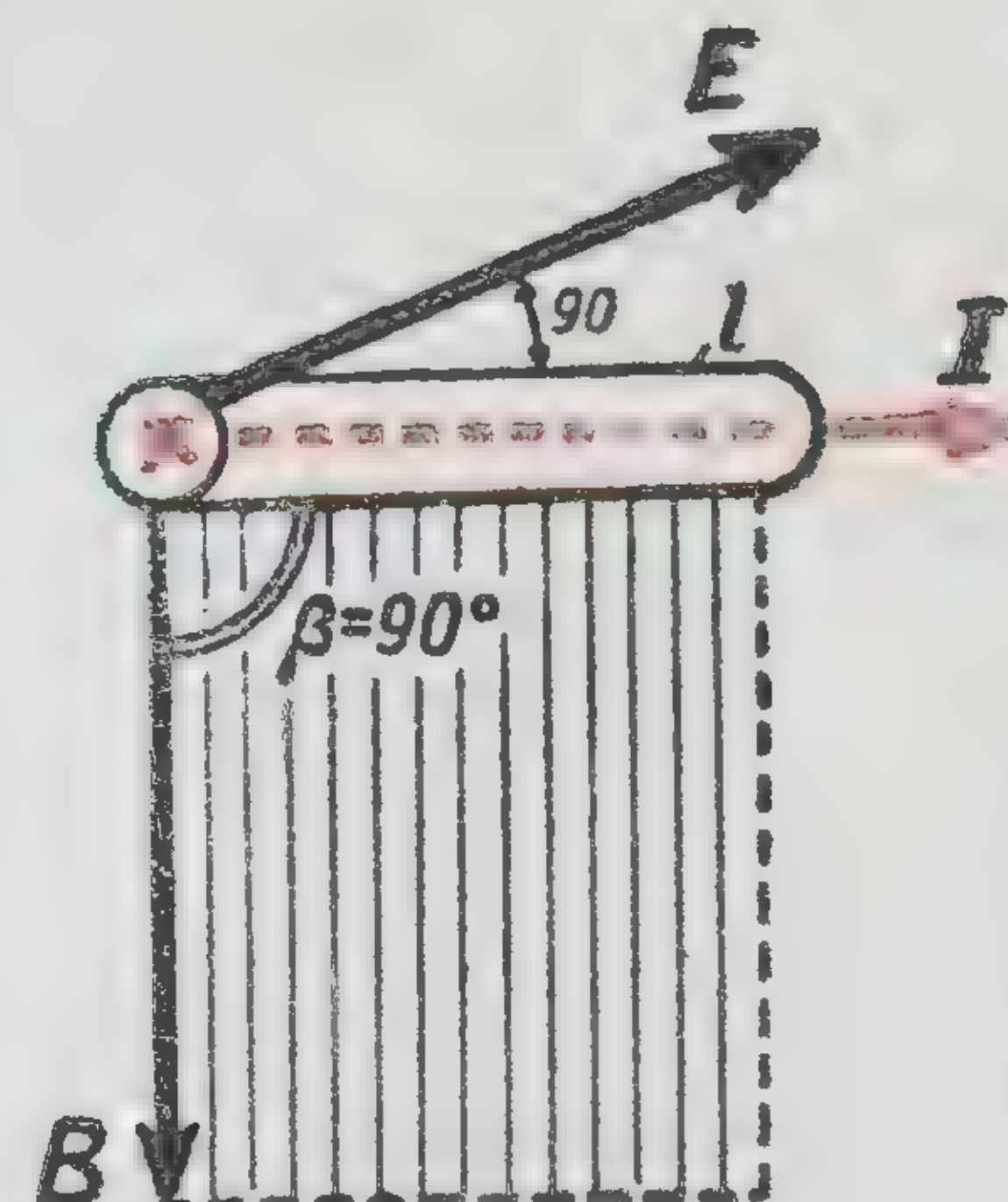
$$F = BIl \sin \beta = BIl_n$$

$$\vec{F} = I[\vec{l} \vec{B}]$$

Механическая (электромагнитная) сила, действующая на отрезок проводника с током ($\beta \leq 90^\circ$)



Определение направления механической силы по правилу левой руки



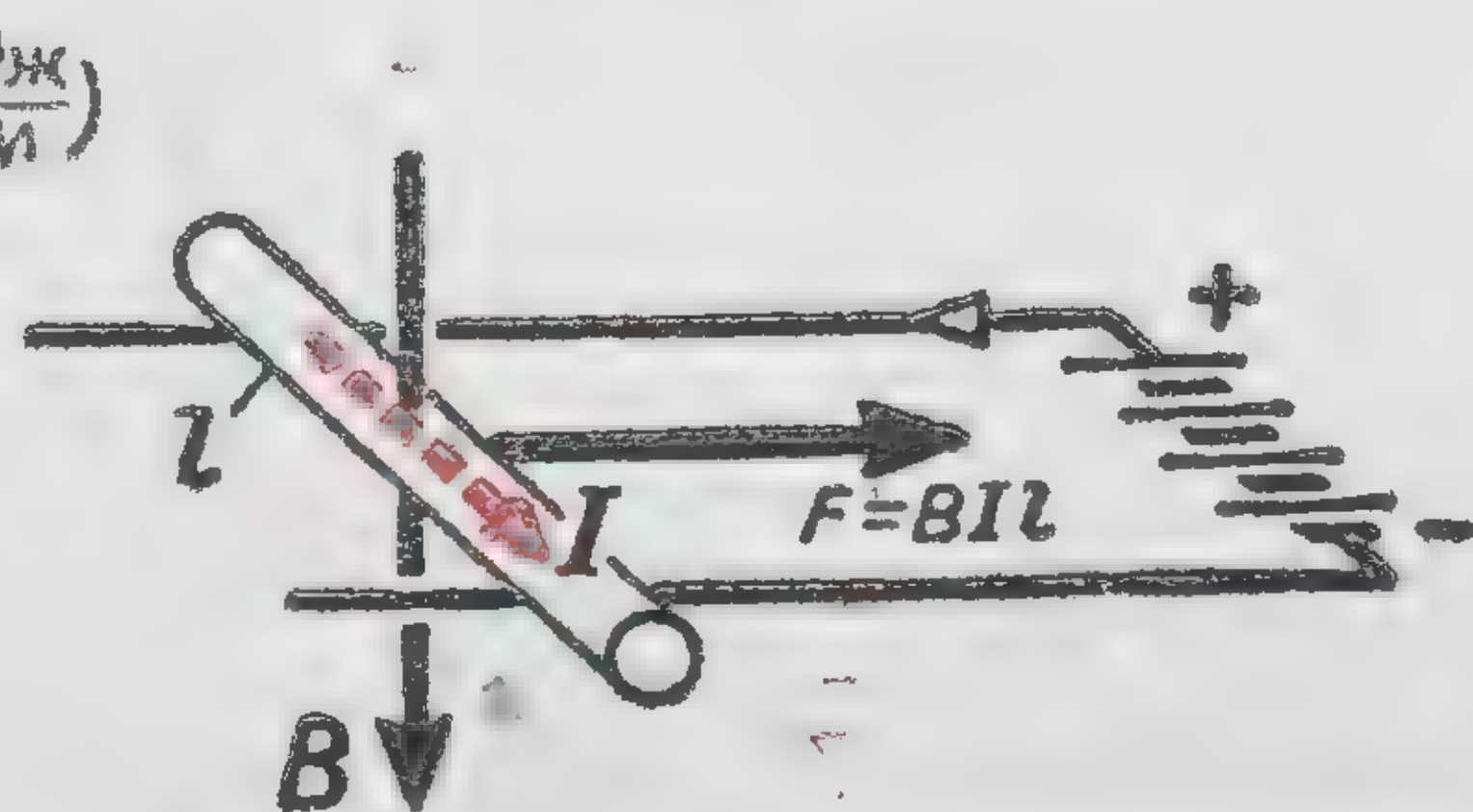
$$F = BIl$$

Электромагнитная сила ($\beta = 90^\circ$)

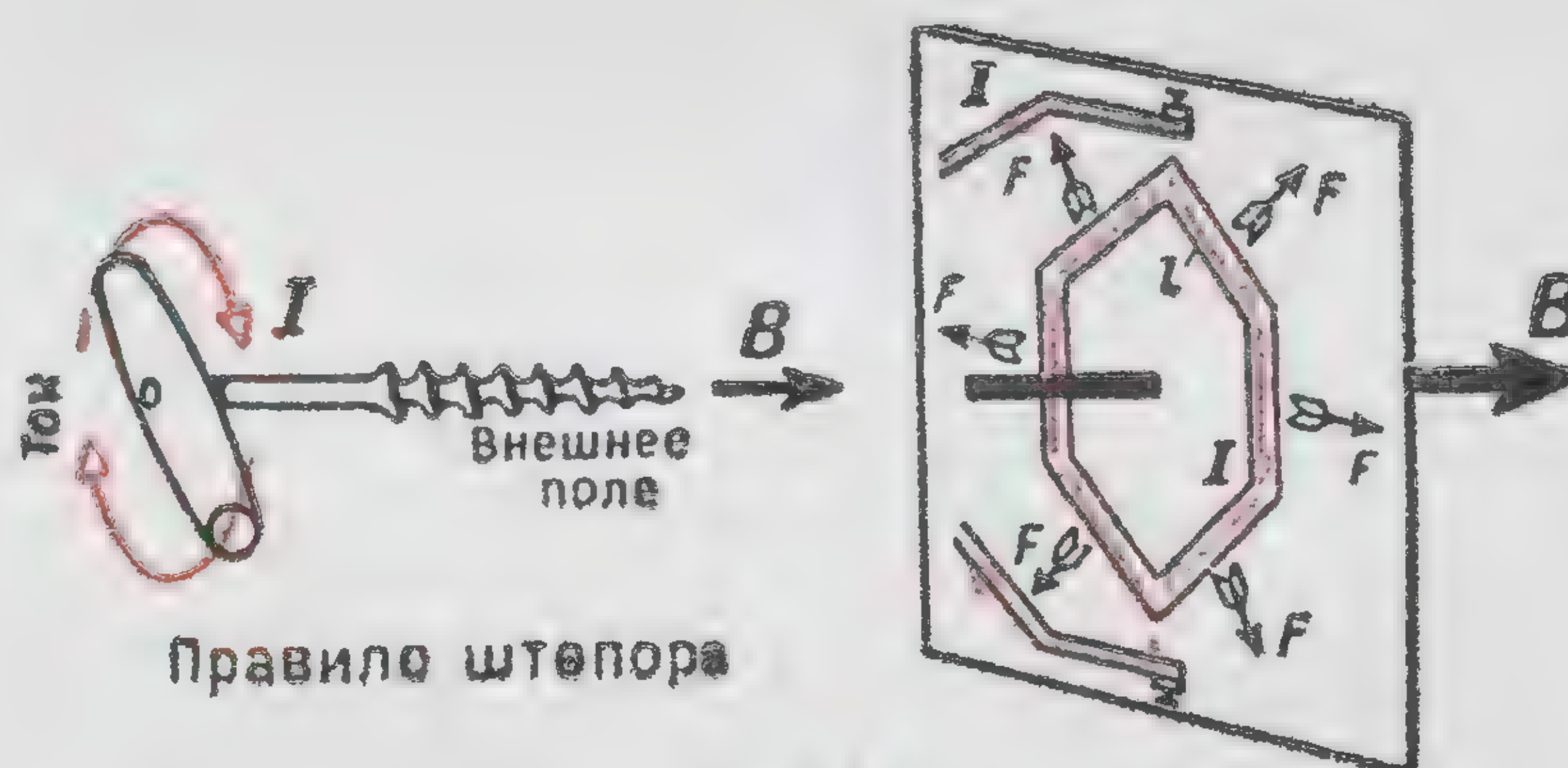
$B = 1,5 \frac{\text{В} \cdot \text{сек}}{\text{м}^2}; I = 50 \text{ а}; l = 0,4 \text{ м}$

$$F = BIl = 30 \text{ Н} = 3,06 \text{ кг}$$

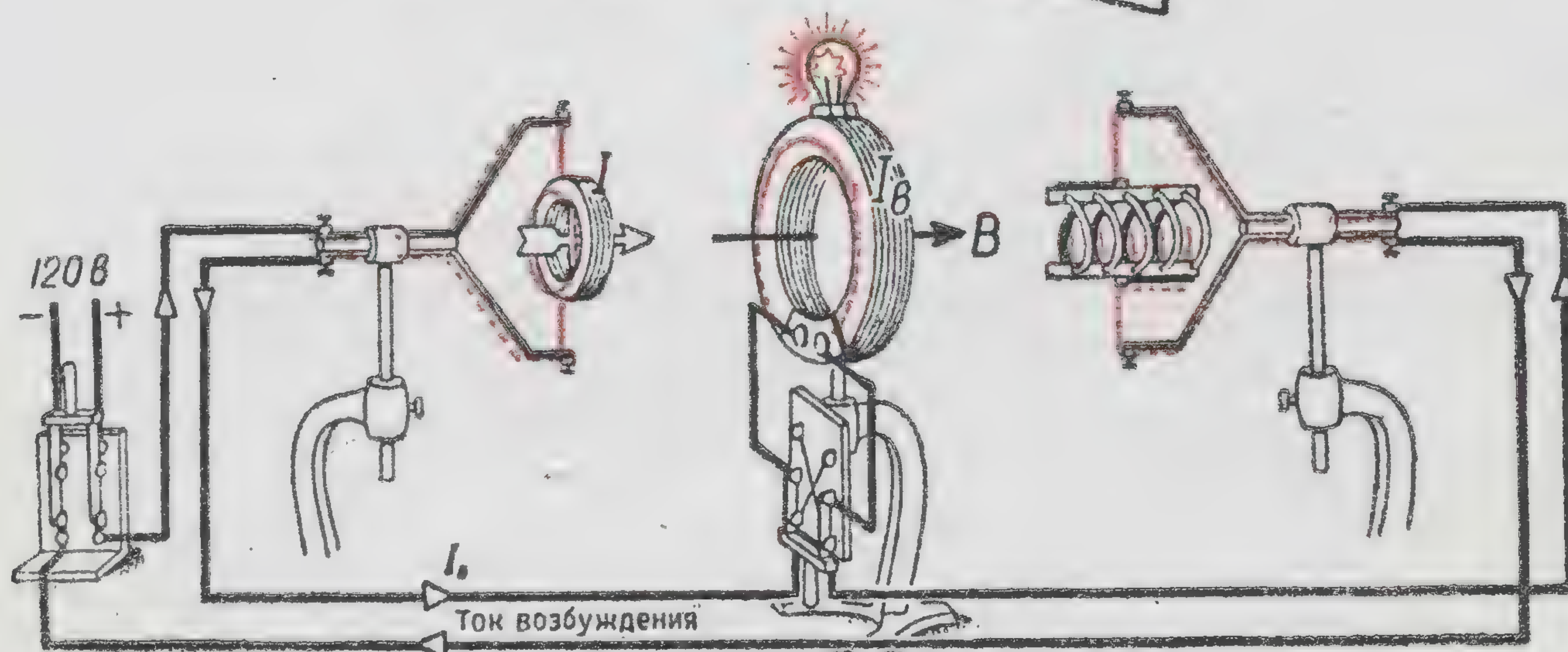
Пример



Сила, действующая на проводник с током

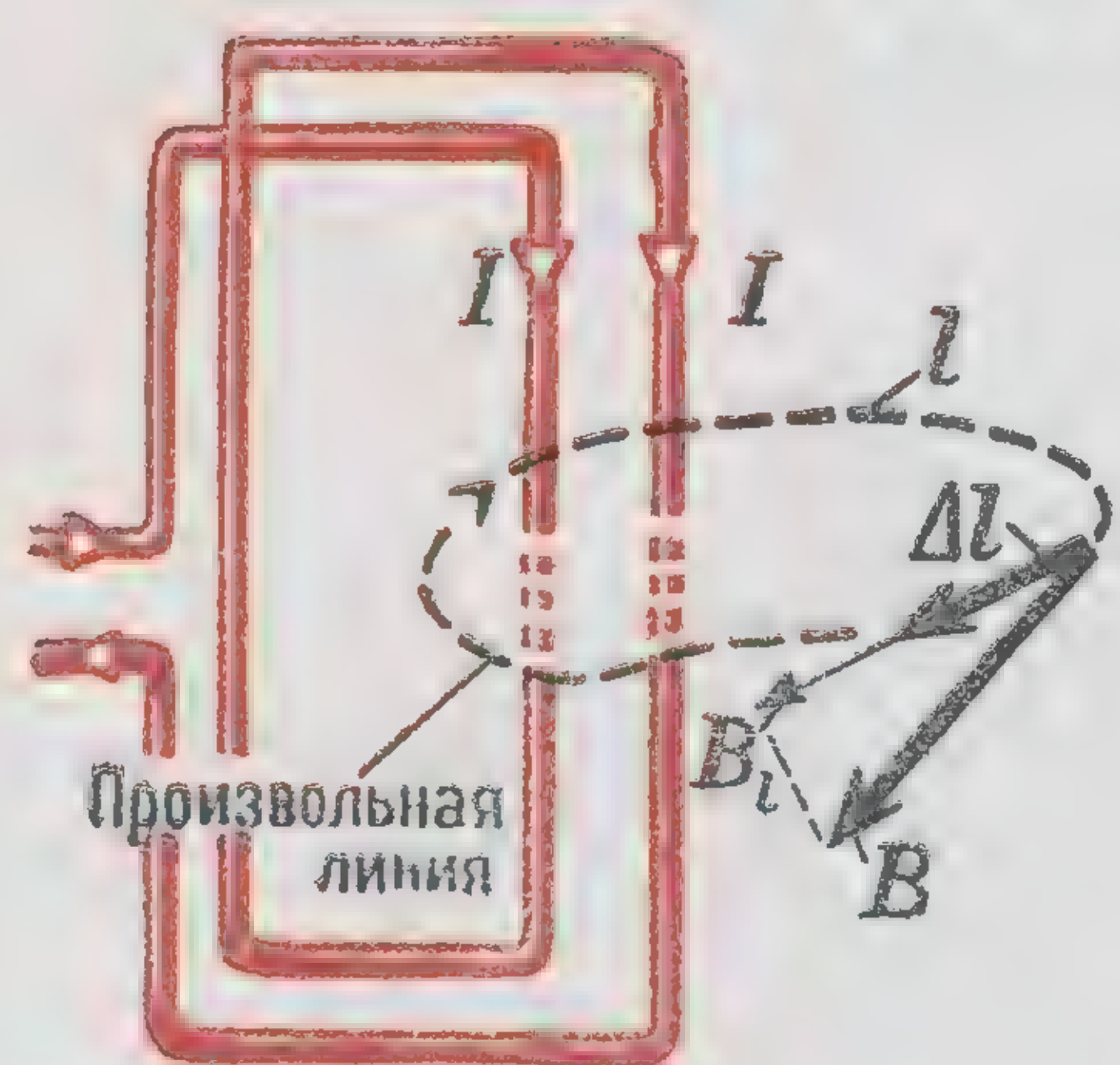


Правило штепора



Ориентировка кругового тока I во внешнем магнитном поле по ПРАВИЛУ ШТЕПОРА

ЗАКОН ПОЛНОГО ТОКА

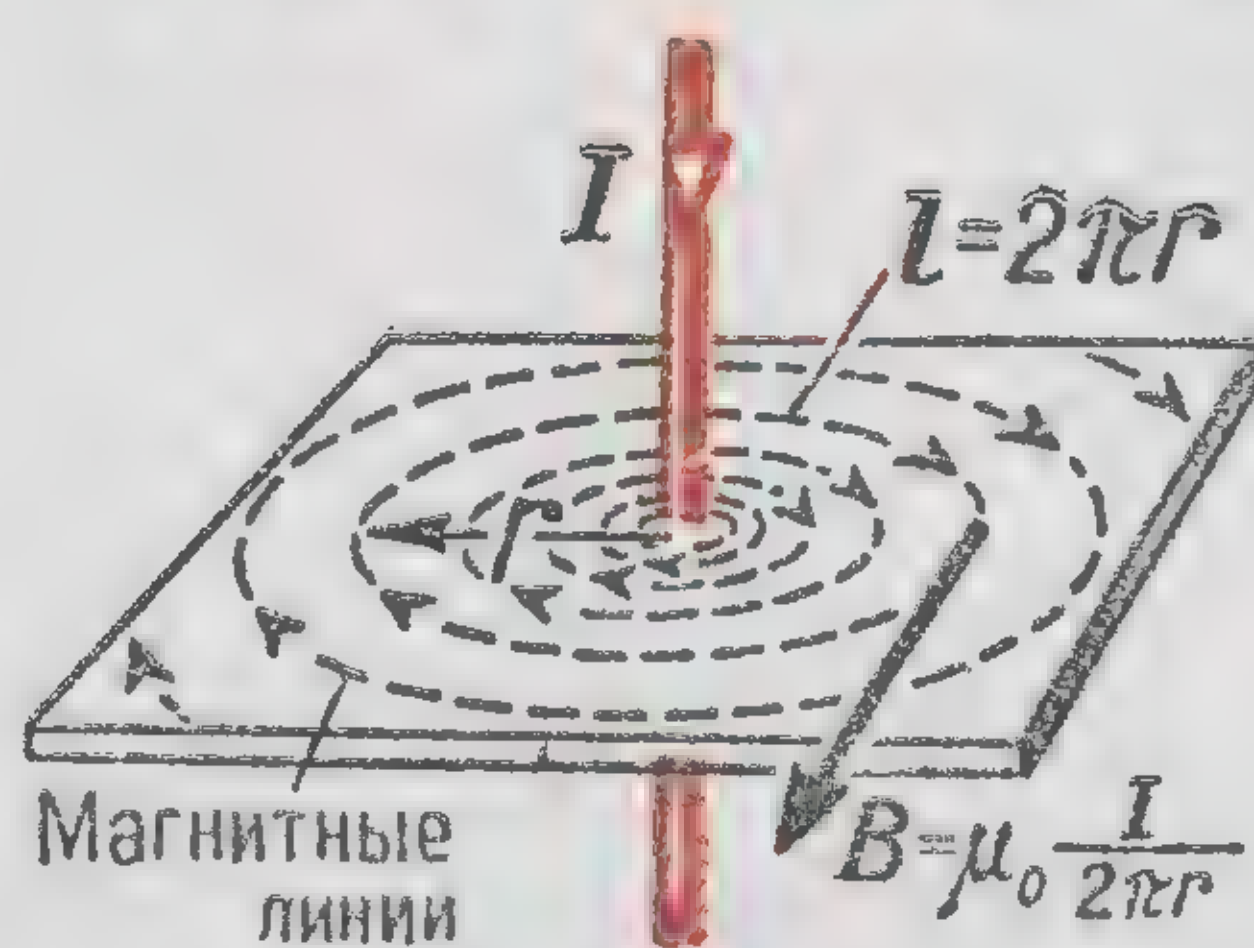


$$\frac{1}{\mu_0} \sum B_l \Delta l = \sum I$$

Закон полного тока
для вакуума

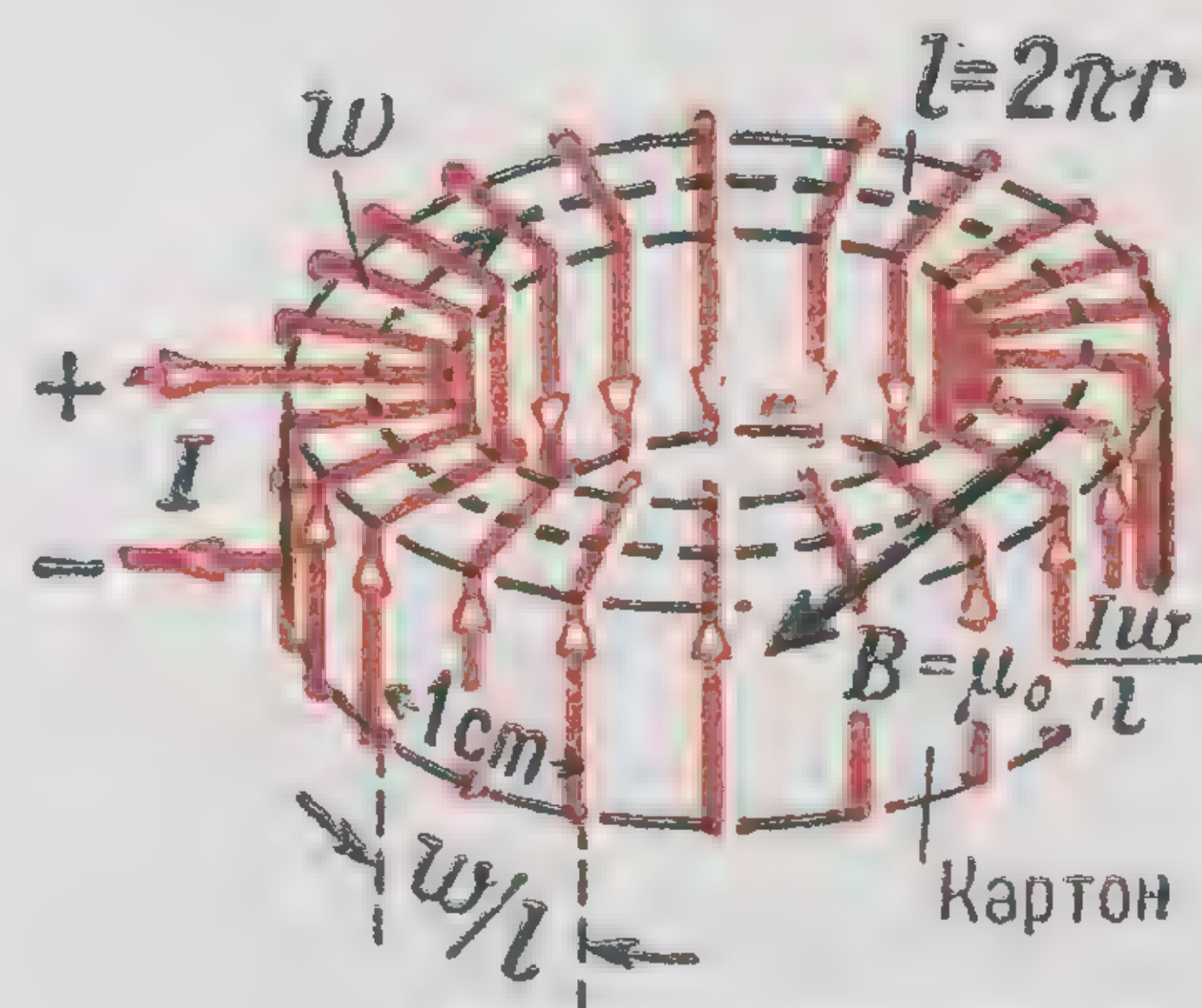
$$\mu_0 = 0,4\pi \cdot 10^{-6} \frac{\text{В} \cdot \text{сек}}{\text{А} \cdot \text{м}}$$

Магнитная
постоянная



$$\frac{1}{\mu_0} B l = I$$

Магнитное поле
прямолинейного
тока



$$\frac{1}{\mu_0} B l = I N$$

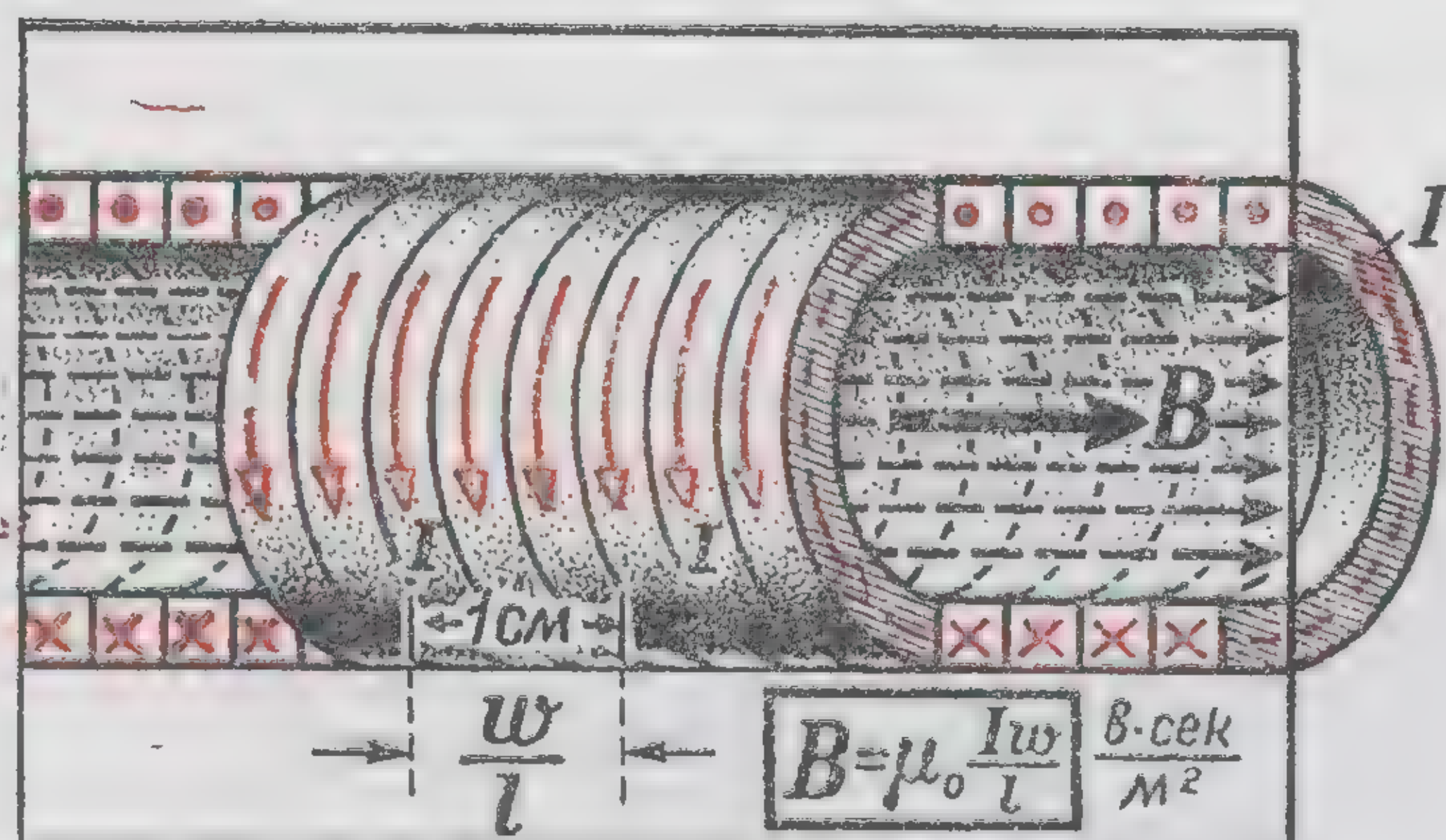
Магнитное поле
кольцевой катушки (тороида)

$$I = 5 \text{ А}; w/l = 800 \frac{\text{ВТК}}{\text{М}} = 8 \frac{\text{ВТК}}{\text{СМ}}$$

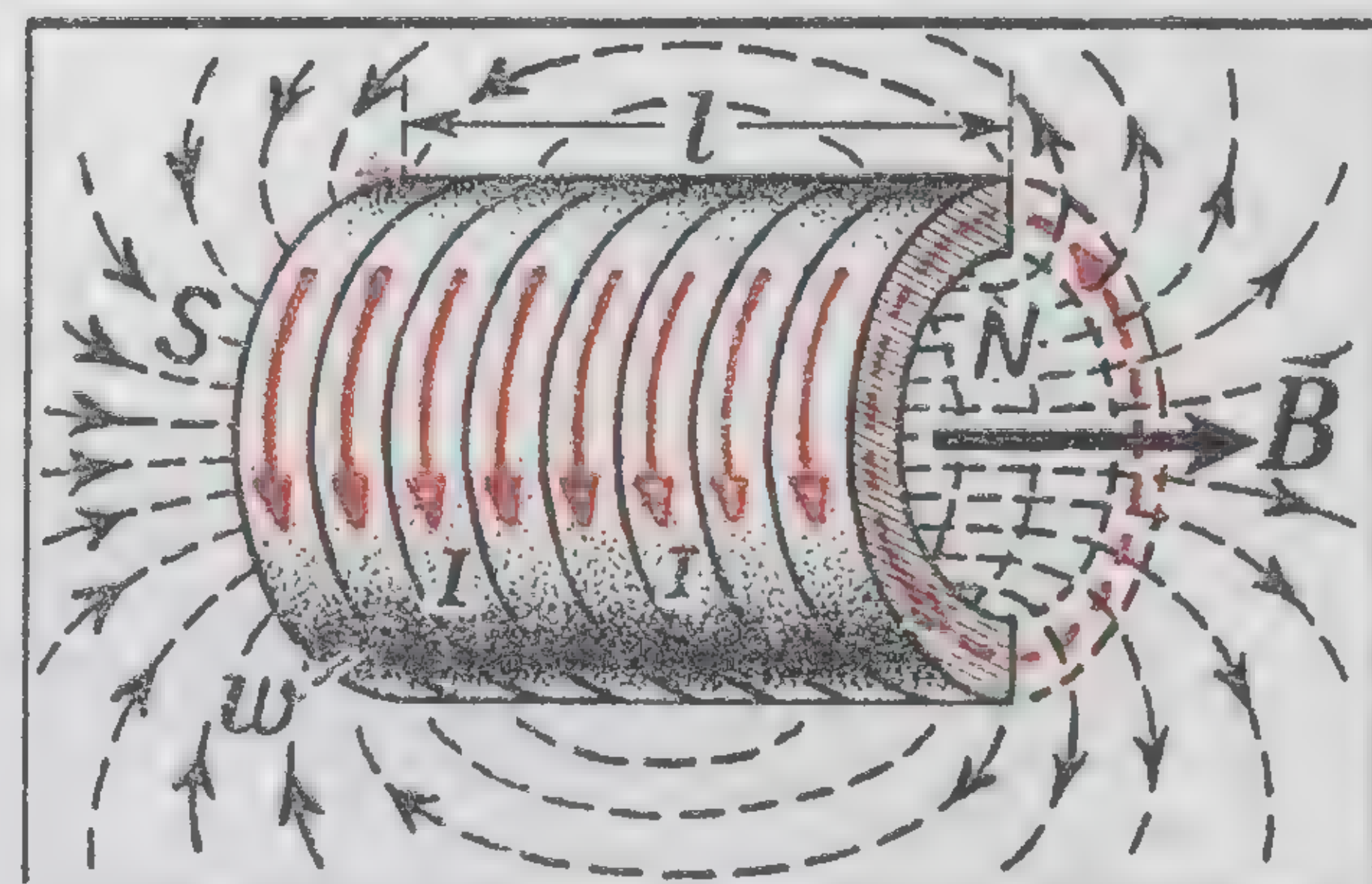
$$\frac{B}{\mu_0} = \frac{I w}{l} = 4000 \frac{\text{А}}{\text{М}} = 40 \frac{\text{А}}{\text{СМ}};$$

$$B = 50 \cdot 10^{-4} \frac{\text{В} \cdot \text{сек}}{\text{М}^2} = 50 \text{ Гс}$$

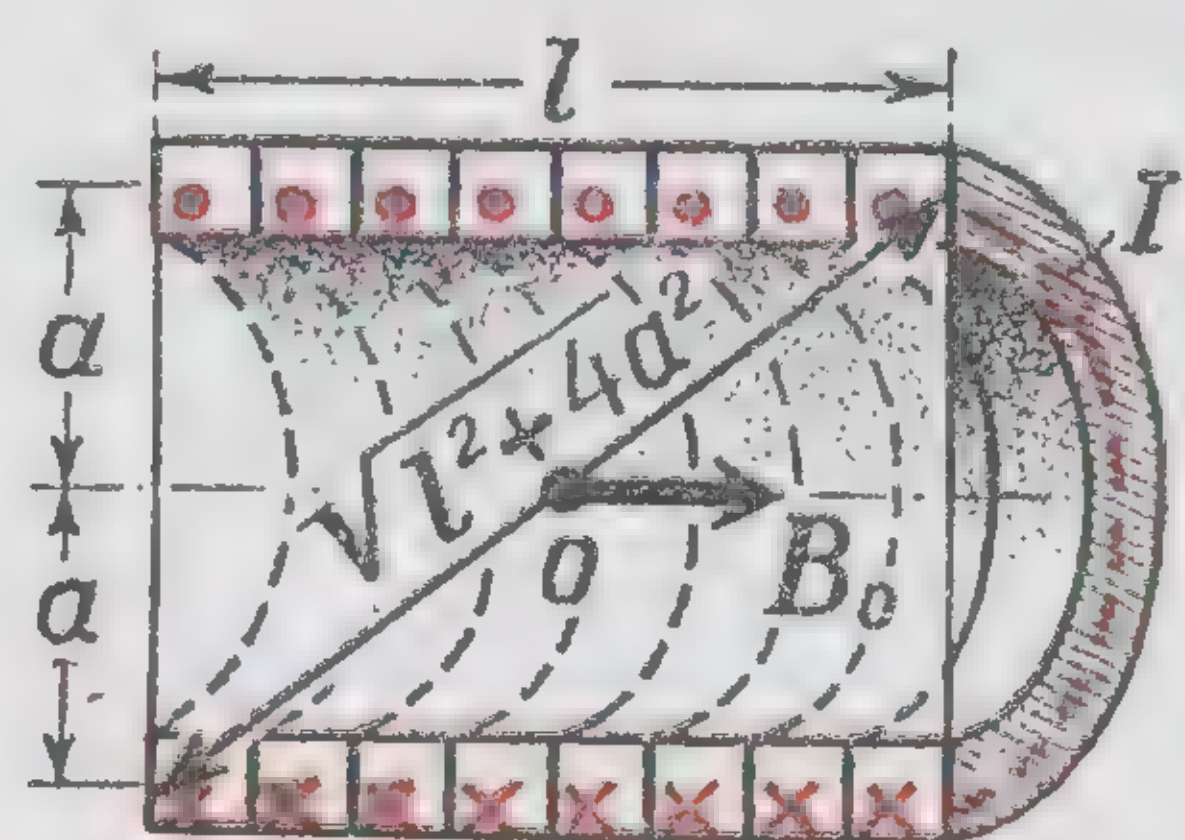
пример



Однородное магнитное поле
бесконечно длинной катушки

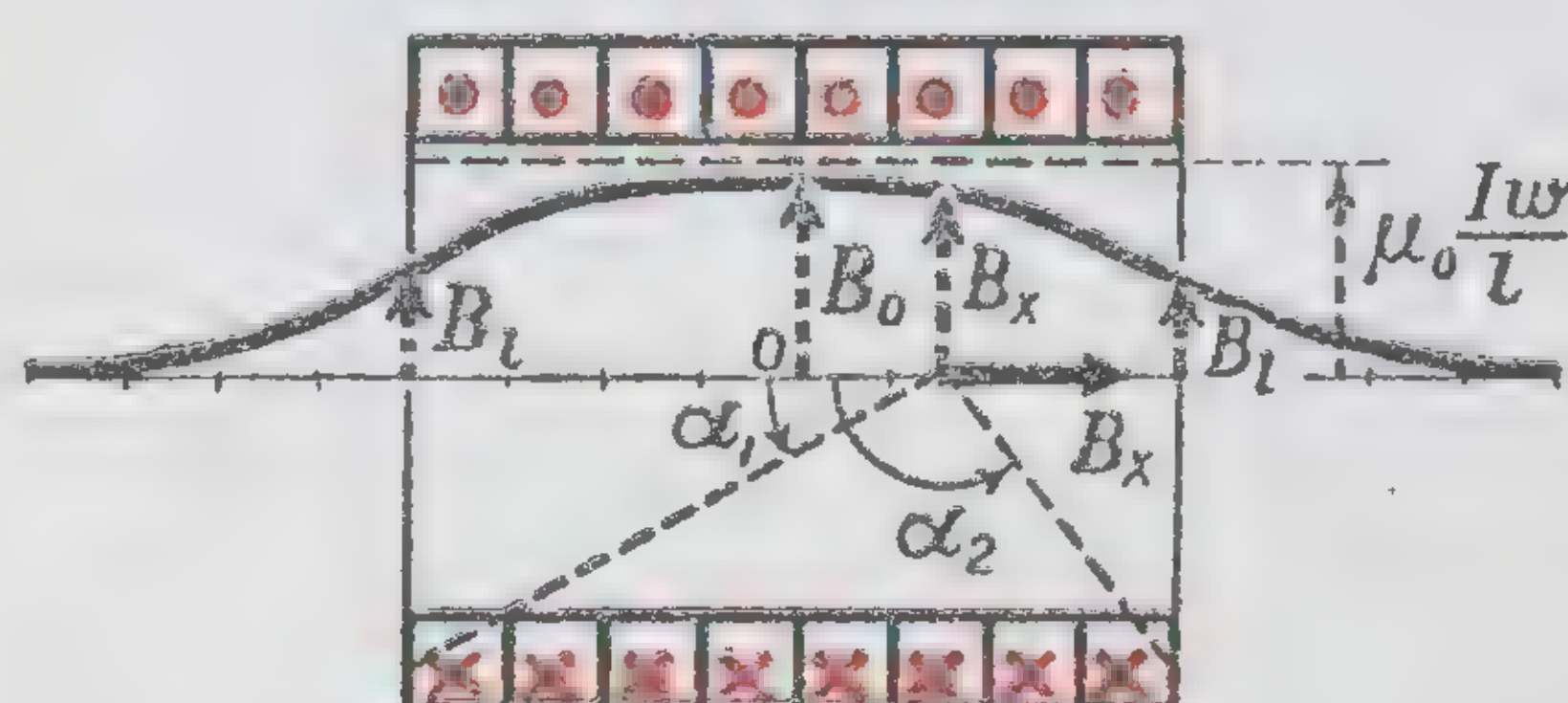


Магнитное поле
прямой катушки (соленоида)



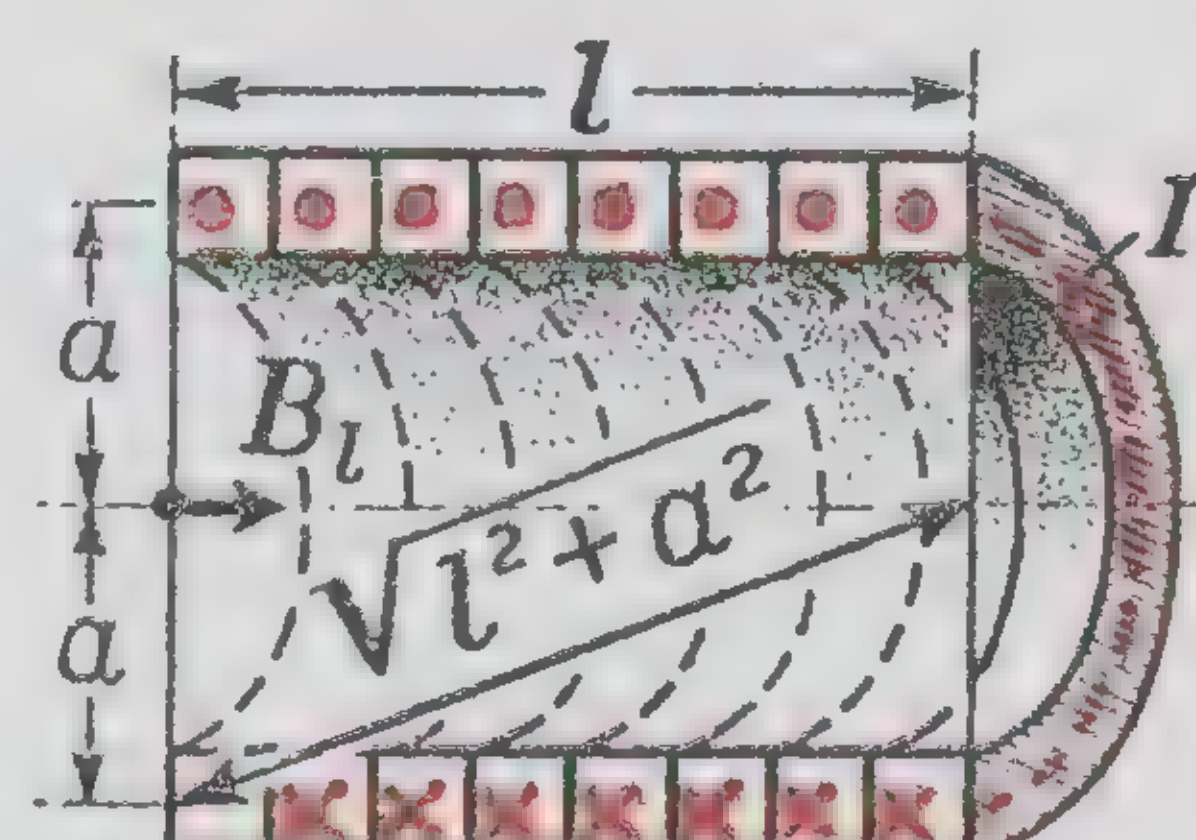
$$B_0 = \mu_0 \frac{I w}{l^2 + 4a^2}$$

Магнитная индукция
в центре катушки



$$B_x = \mu_0 \frac{I w}{l} \frac{\cos \alpha_1 - \cos \alpha_2}{2}$$

Магнитная индукция
на оси катушки



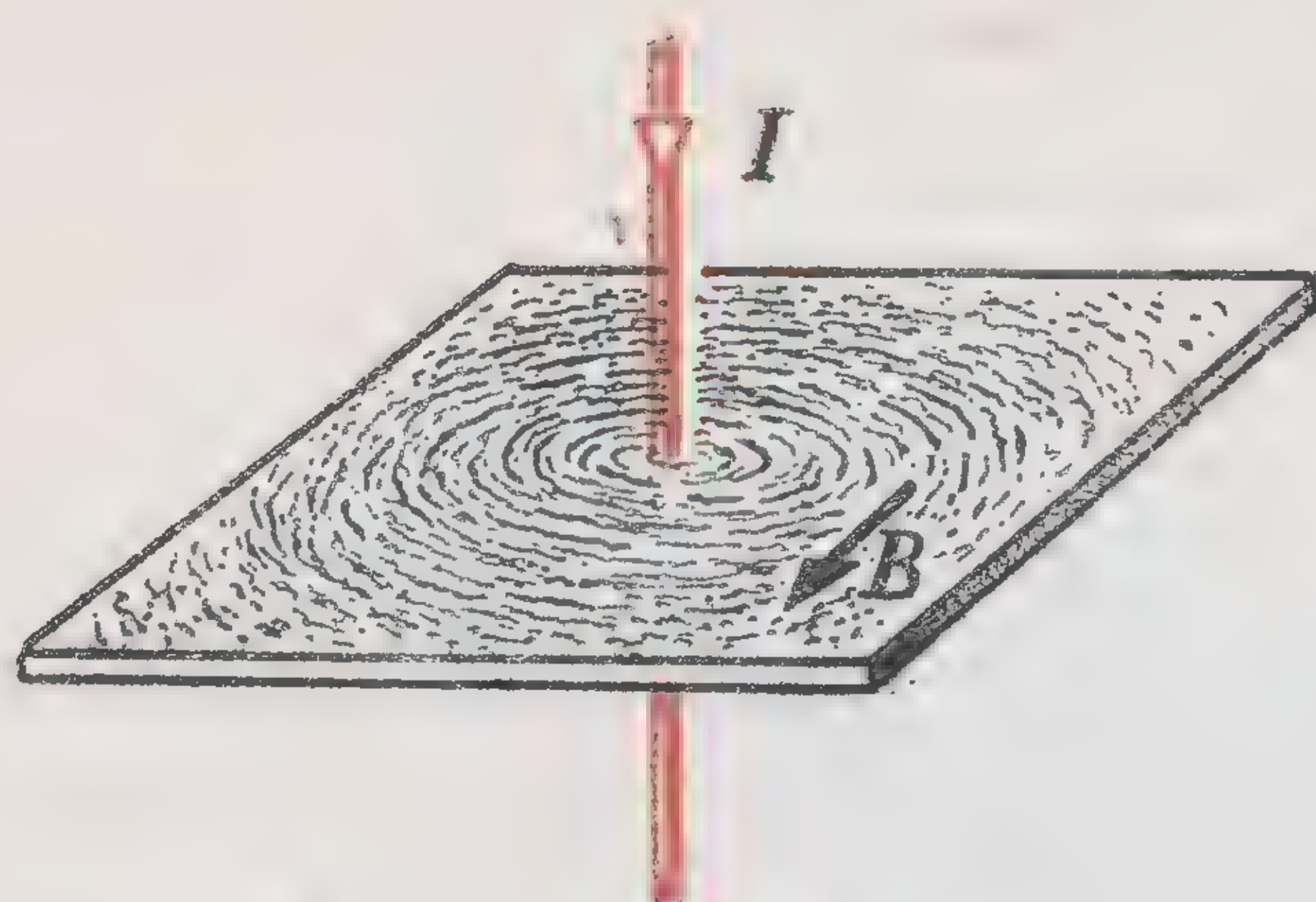
$$B_l = \frac{1}{2} \mu_0 \frac{I w}{l^2 + a^2}$$

Магнитная индукция
у края катушки

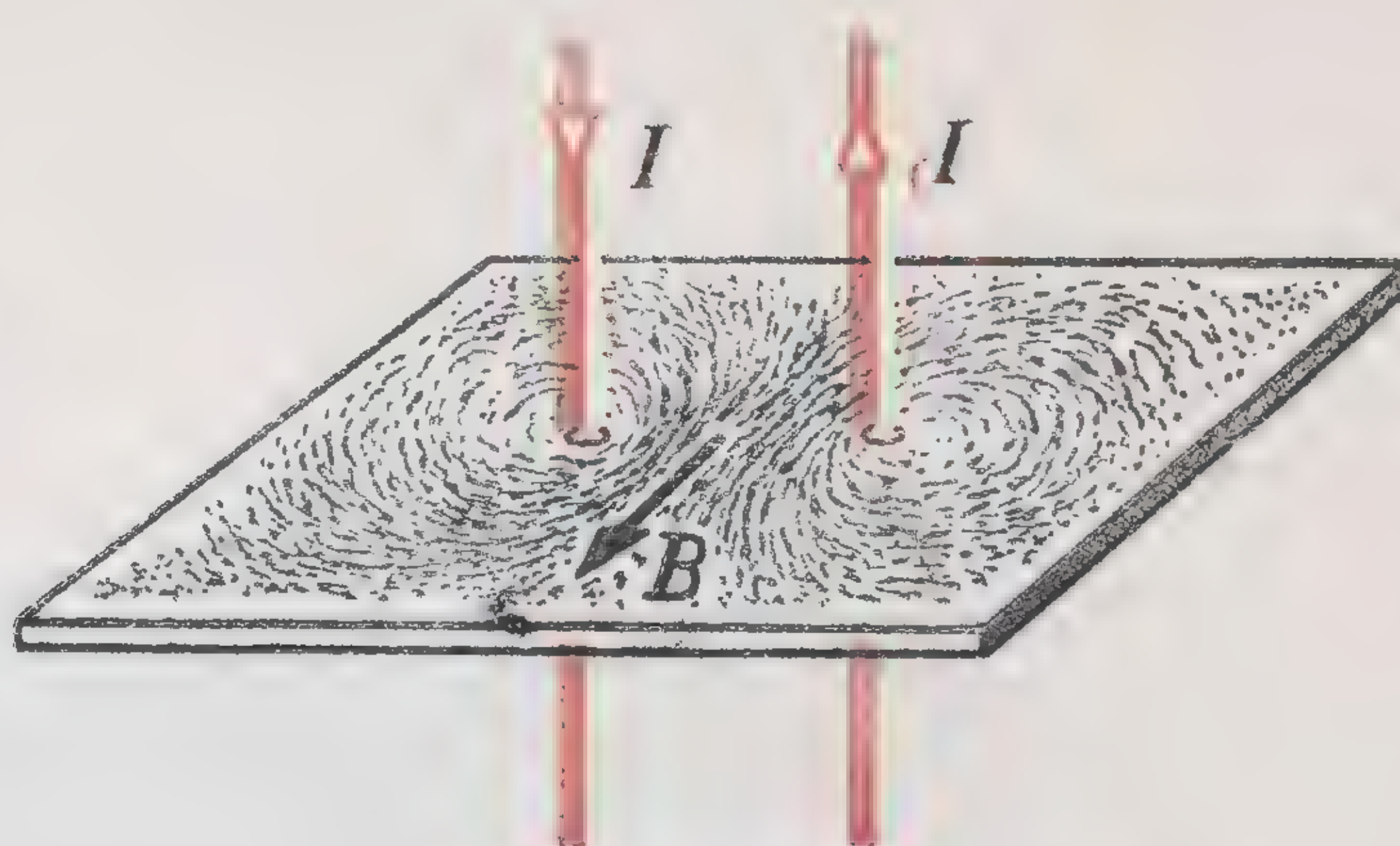
Линейная сумма вектора индукции
вдоль произвольного замкнутого контура
пропорциональна полному току (ампервиткам),
охватываемому этим контуром

Закон полного тока для вакуума

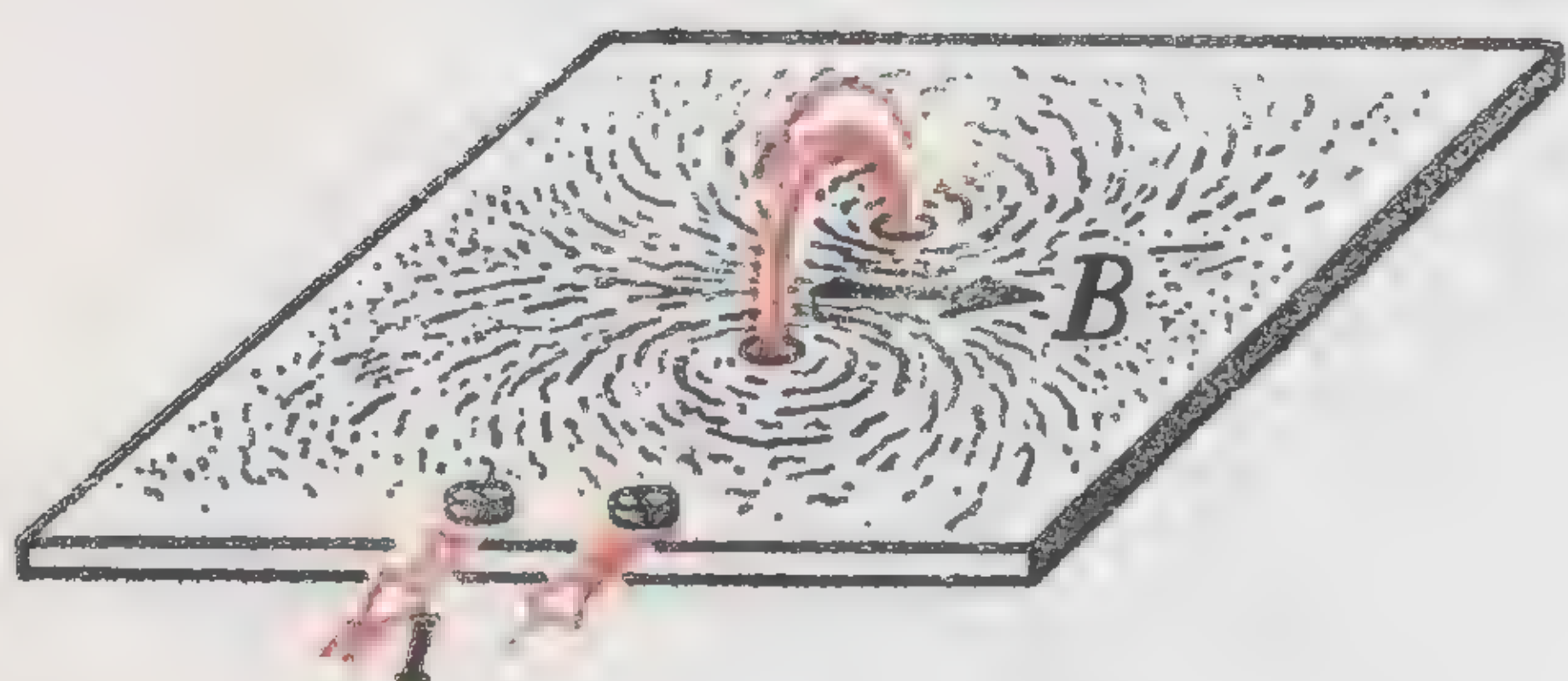
ПРАВИЛО ШТОПОРА



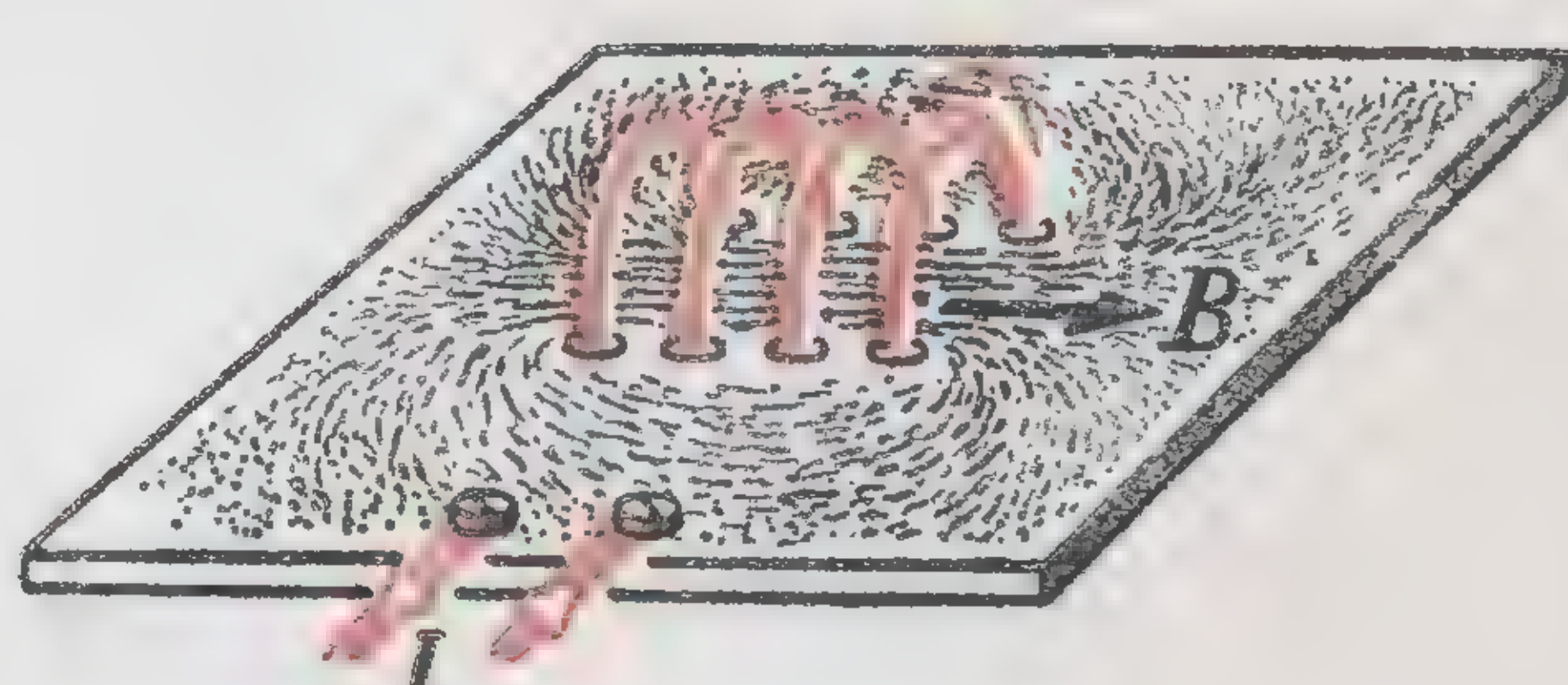
Прямолинейный ток



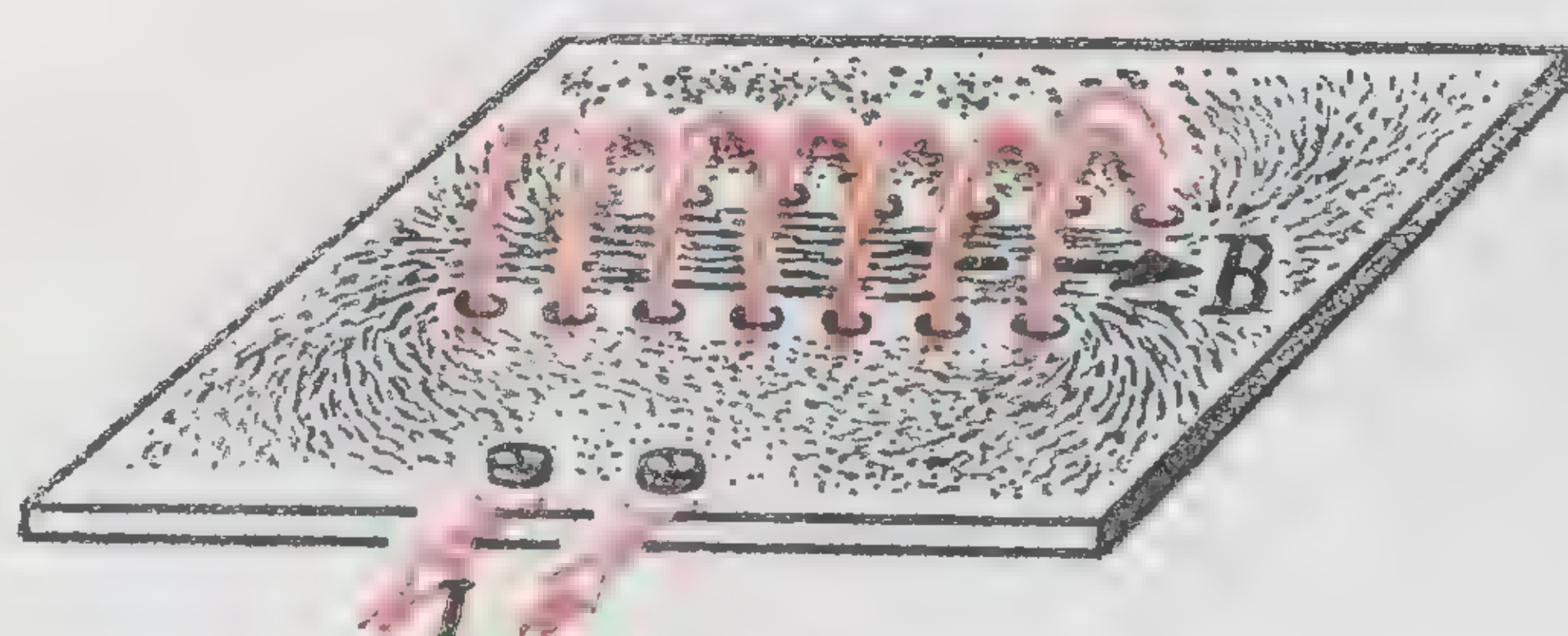
Параллельные токи



Виток с током



Короткая катушка

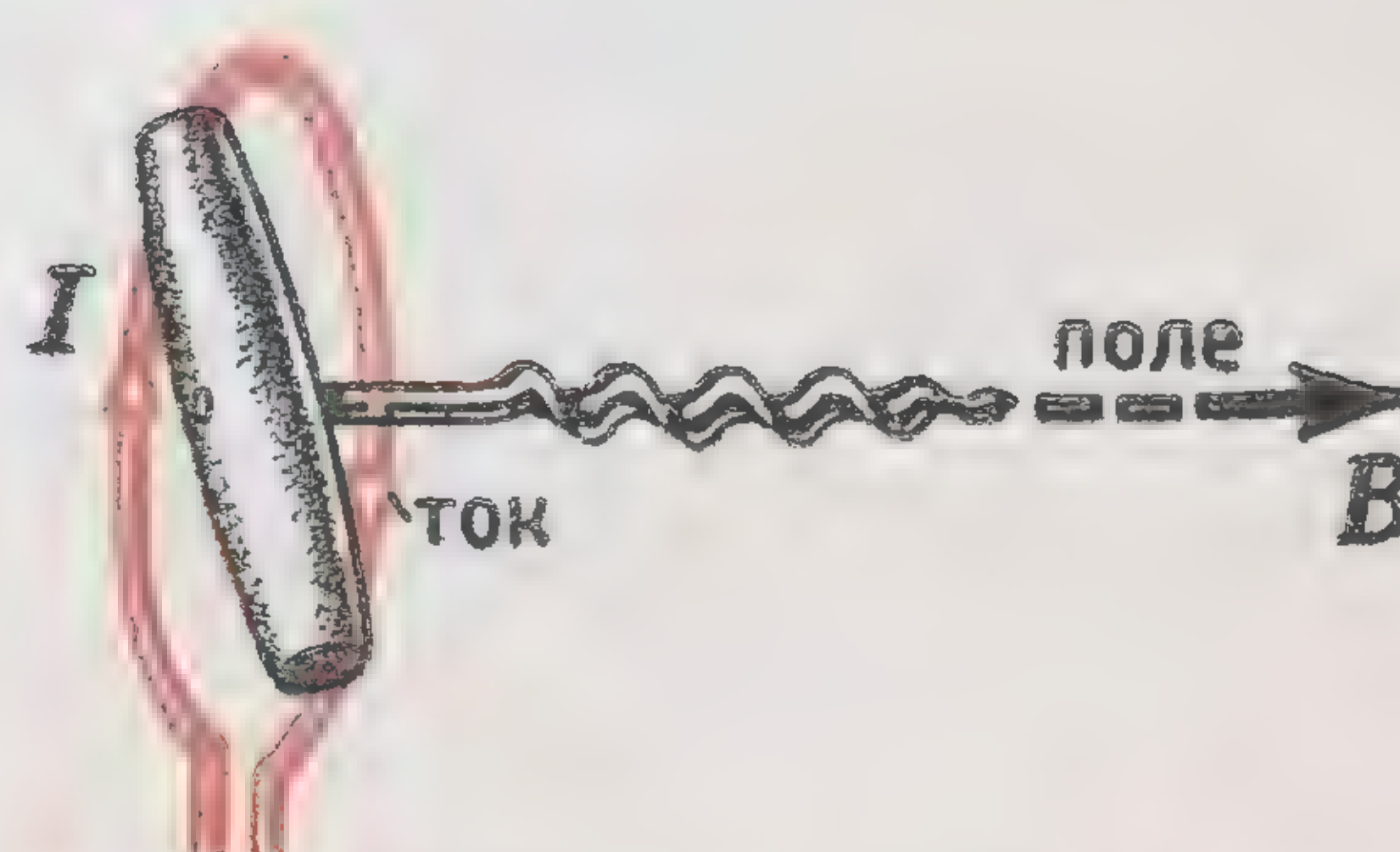
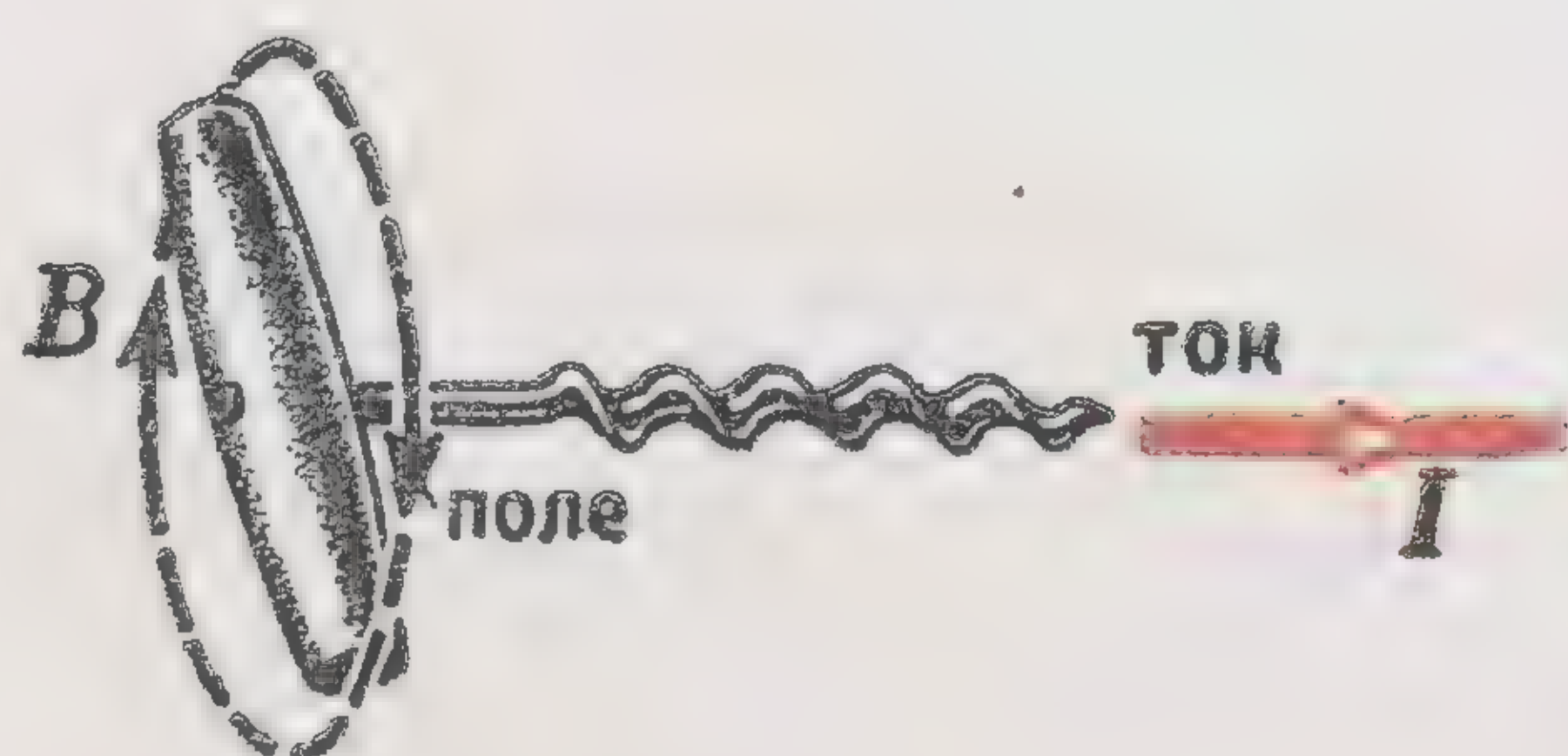


Длинная катушка



Кольцевая катушка

Магнитные спектры



Взаимное направление тока и его магнитного поля связано правилом штопора

МАГНИТНЫЙ ПОТОК

$$\Phi = \vec{B} \vec{S} = B_n S = B S_n \quad \text{в сек}$$

Магнитный поток
(поток вектора индукции)

$1 \text{ в-сек} = 10^9 \text{ мкс}$

$$B = \frac{\Phi}{S_n} \quad \frac{\text{в-сек}}{\text{м}^2}$$

Магнитная индукция
— мера плотности
магнитного потока

Магнитный поток через поверхность

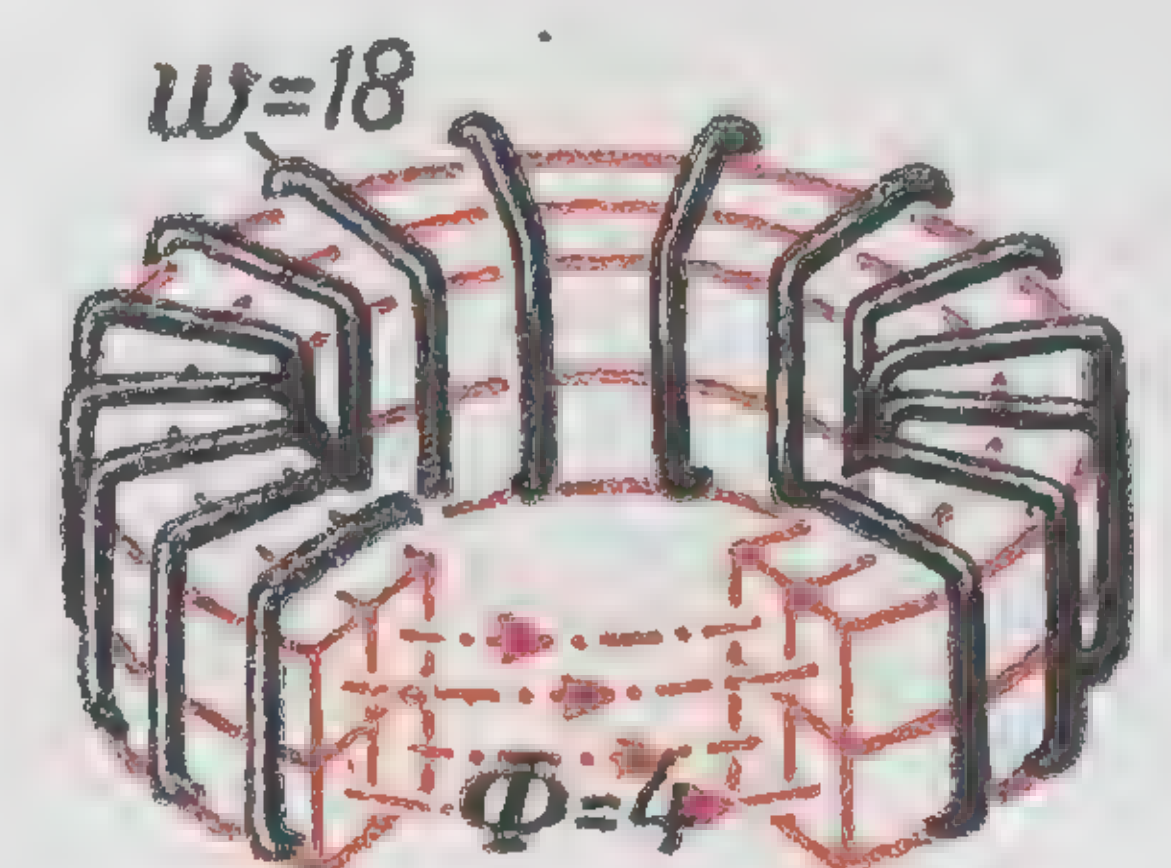
Магнитная трубка
постоянного сечения

Магнитные трубки
в поле двухпроводной линии

Магнитный поток измеряется
числом единичных трубок
(линий) индукции

$$\Phi_{tp} = B_1 S_1 = B_2 S_2 = \text{const} \quad \text{в сек}$$

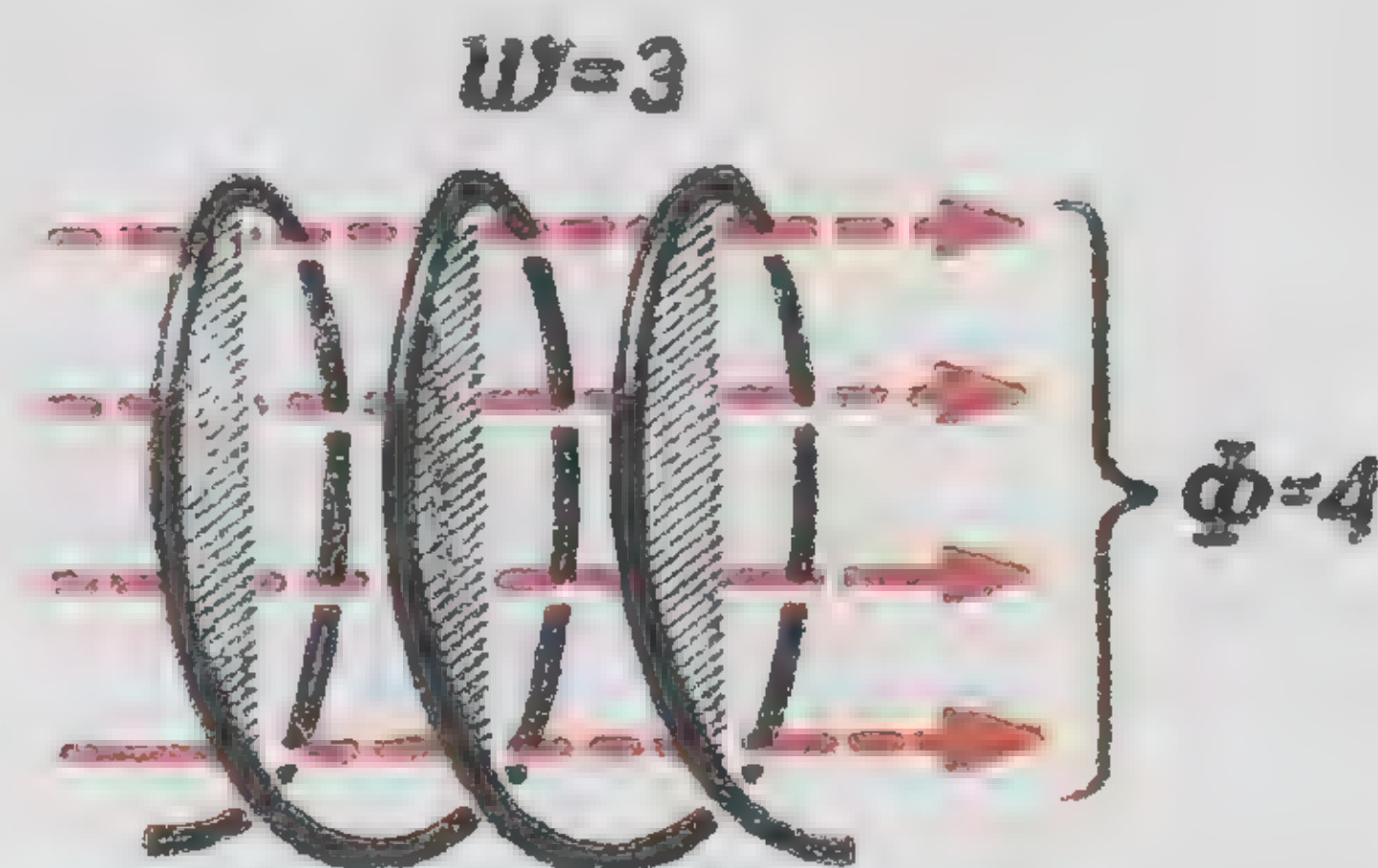
Поток магнитной трубки
постоянен



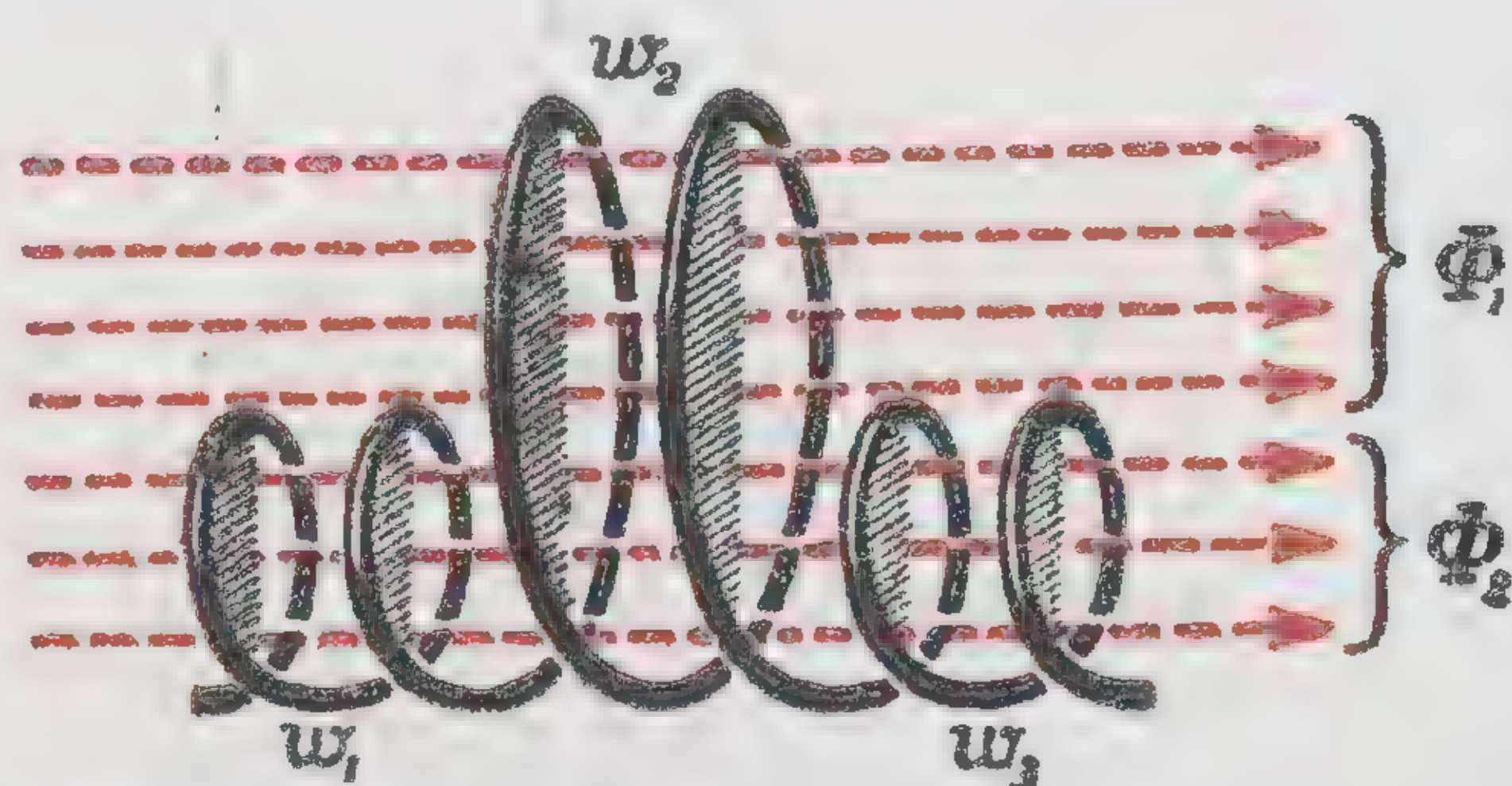
$\Psi = \sum w \Phi = w \Phi = 18 \cdot 4 = 72$
Потокоосцепление тороида

$$\Psi = \sum w \Phi \quad \text{в-сек}$$

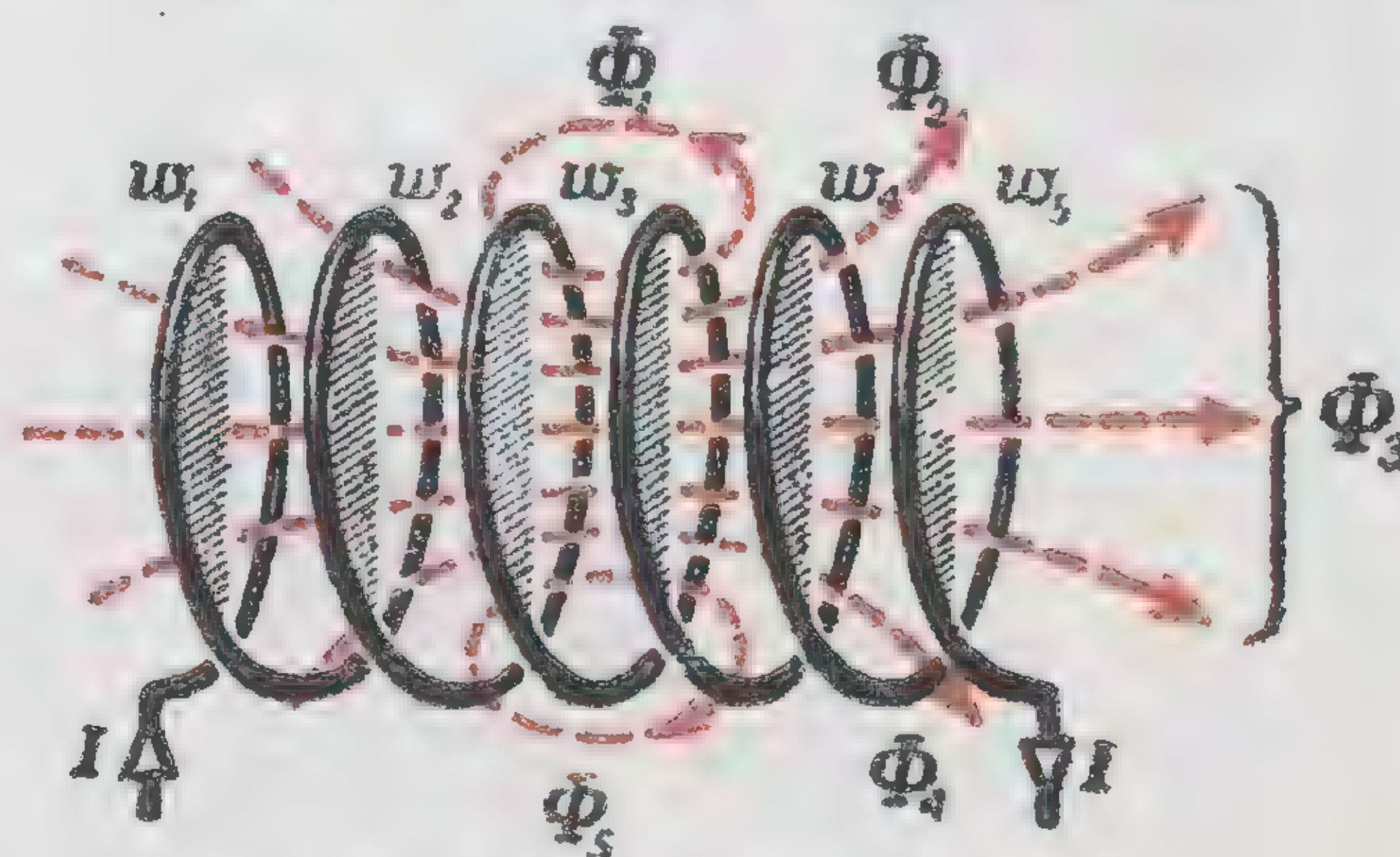
Потокоосцепление
обмотки



$\Psi = \sum w \Phi = w \Phi = 3 \cdot 4 = 12$
Потокоосцепление прямой катушки



$\Psi = \sum w_k \Phi_{wk} = w_1 \Phi_1 + w_2 (\Phi_1 + \Phi_2) + w_3 \Phi_2 = 2 \cdot 3 + 2 \cdot 7 + 2 \cdot 3 = 26$
или $\Psi = \sum \Phi_k w_{\Phi k} = \Phi_1 w_1 + \Phi_2 (w_1 + w_2 + w_3) = 4 \cdot 2 + 3 \cdot 6 = 26$
Потокоосцепление фасонной катушки,
расположенной во внешнем магнитном поле



$\Psi = \sum w_k \Phi_{wk} = 3 + 5 + 2 \cdot 7 + 5 + 3 = 30$
или $\Psi = \sum \Phi_k w_{\Phi k} = 2 + 4 + 3 \cdot 6 + 4 + 2 = 30$
Потокоосцепление катушки,
обтекаемой током

ФЕРРОМАГНЕТИЗМ



Вращение электрона
вокруг ядра атома



Вращение электрона
вокруг своей оси (спин)

Молекулярный круговой ток

|| Ферромагнетизм обусловлен спином электронов ||

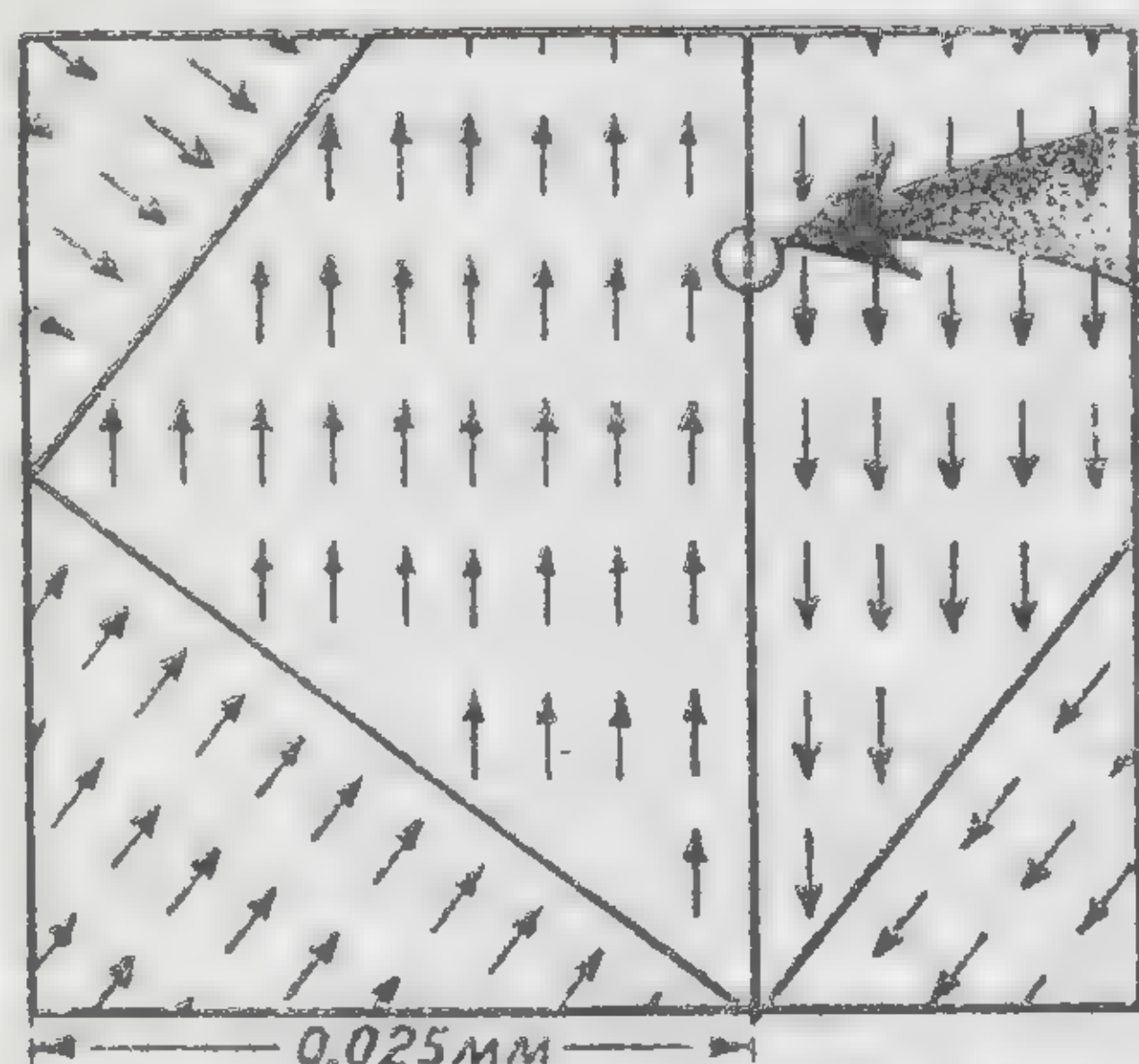
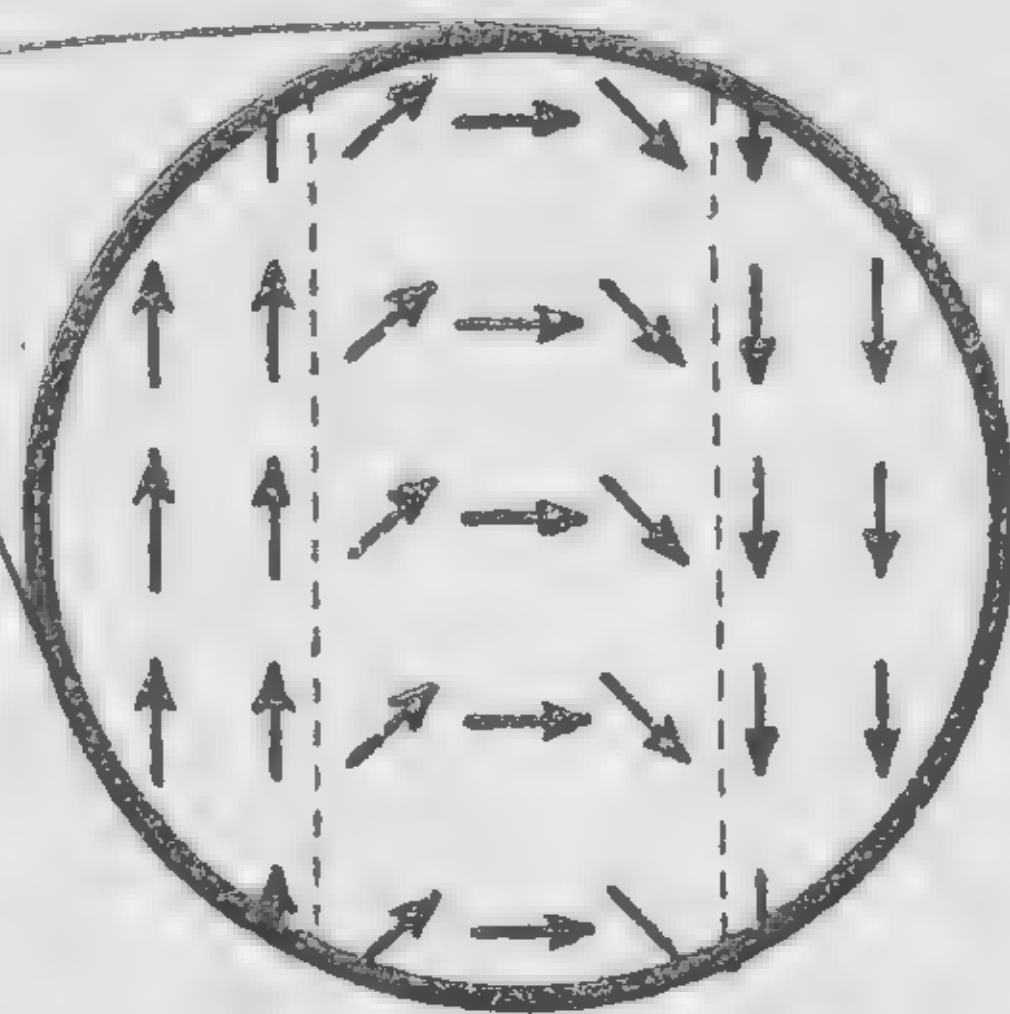
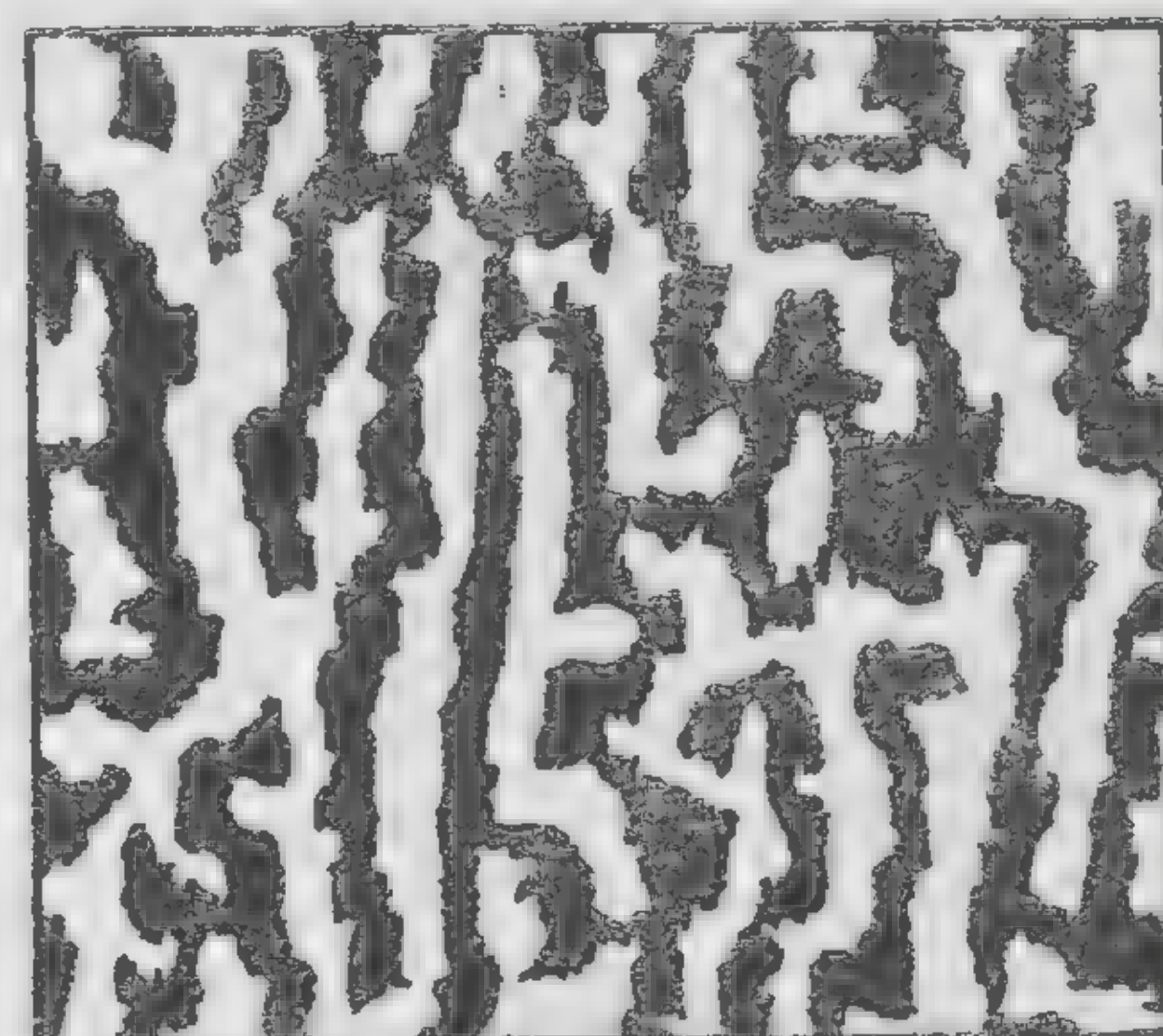


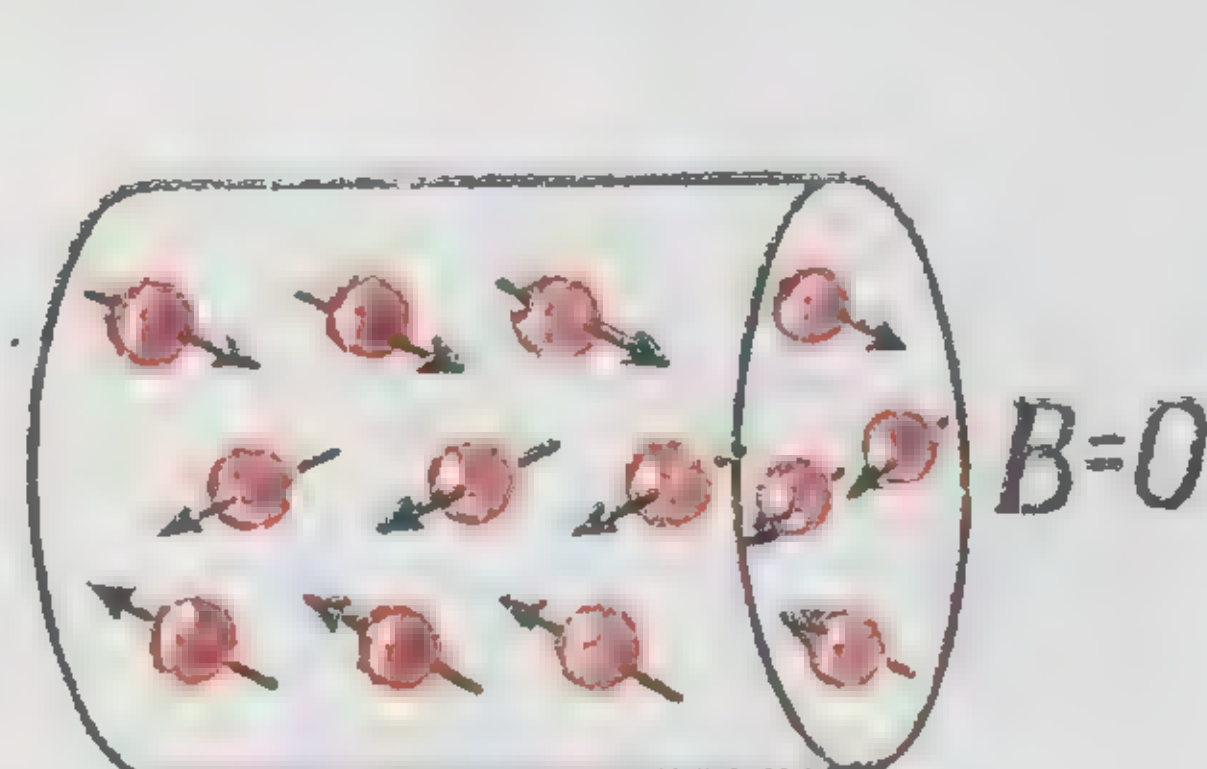
Схема одинаковой ориентировки спинов
в областях самопроизвольного (спонтанного)
намагничивания ферромагнитного тела



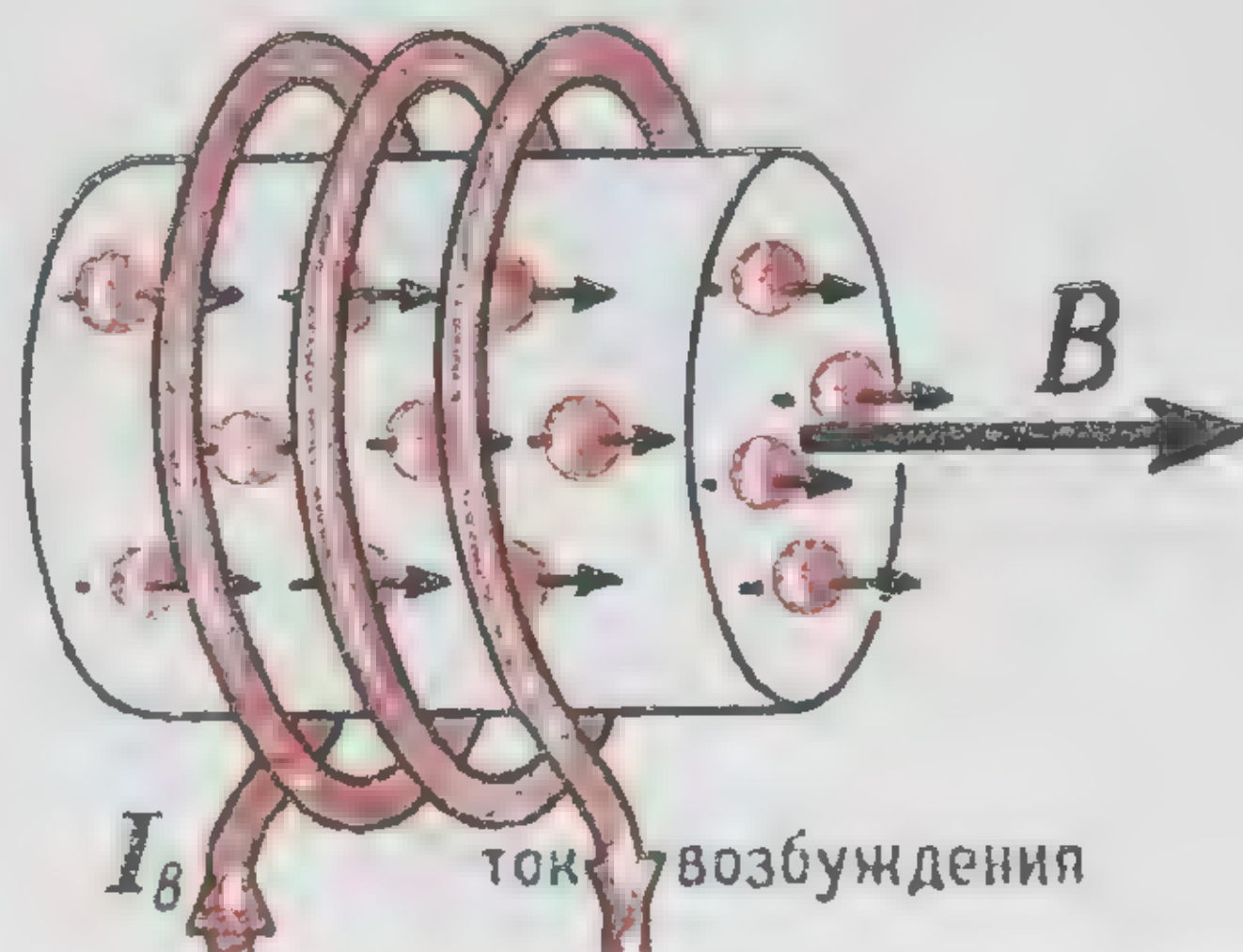
Граница
между двумя областями
самопроизвольного
намагничивания



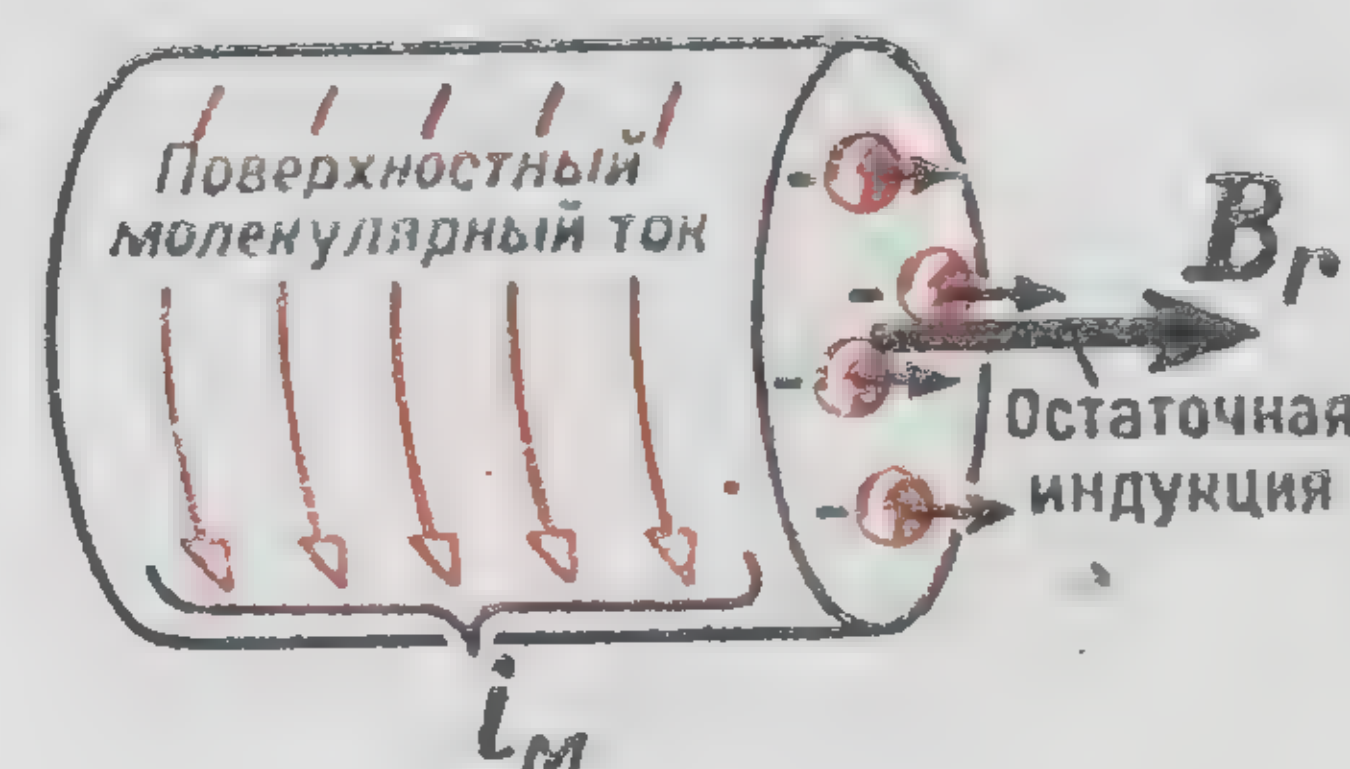
Области самопроизвольного намагничивания
(фигуры, получающиеся при осаждении
ферромагнитного порошка на поверхности
шлифованной стали по методу И.С.Акулова и М.В.Дехтяр)



Беспорядочное направление
молекулярных токов
в ненамагниченном стержне

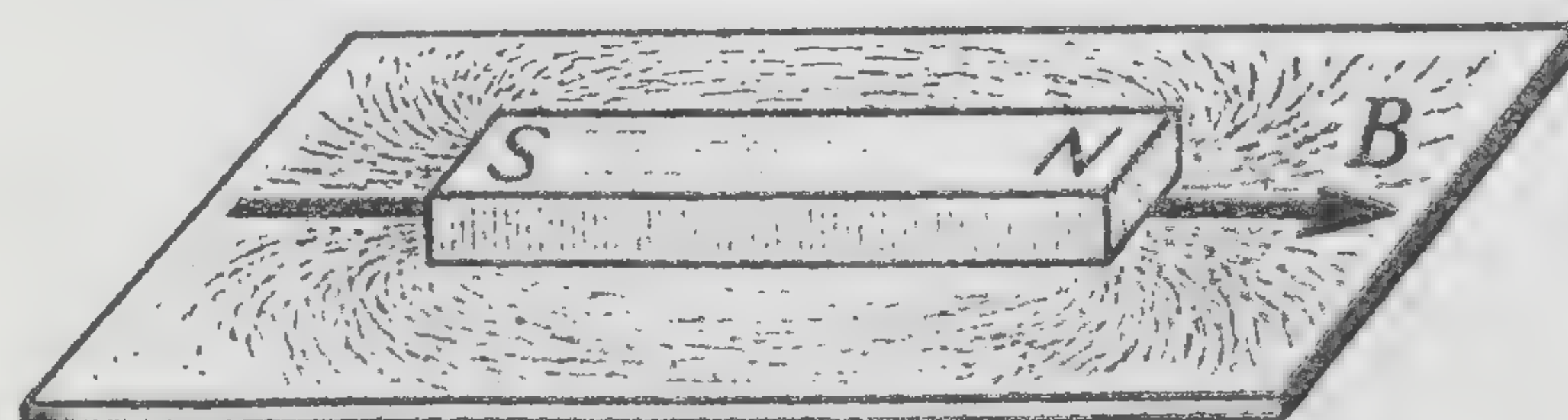


Ориентировка молекулярных токов
во внешнем магнитном поле



Намагниченный
стержень

Упрощенная модель ферромагнитного тела

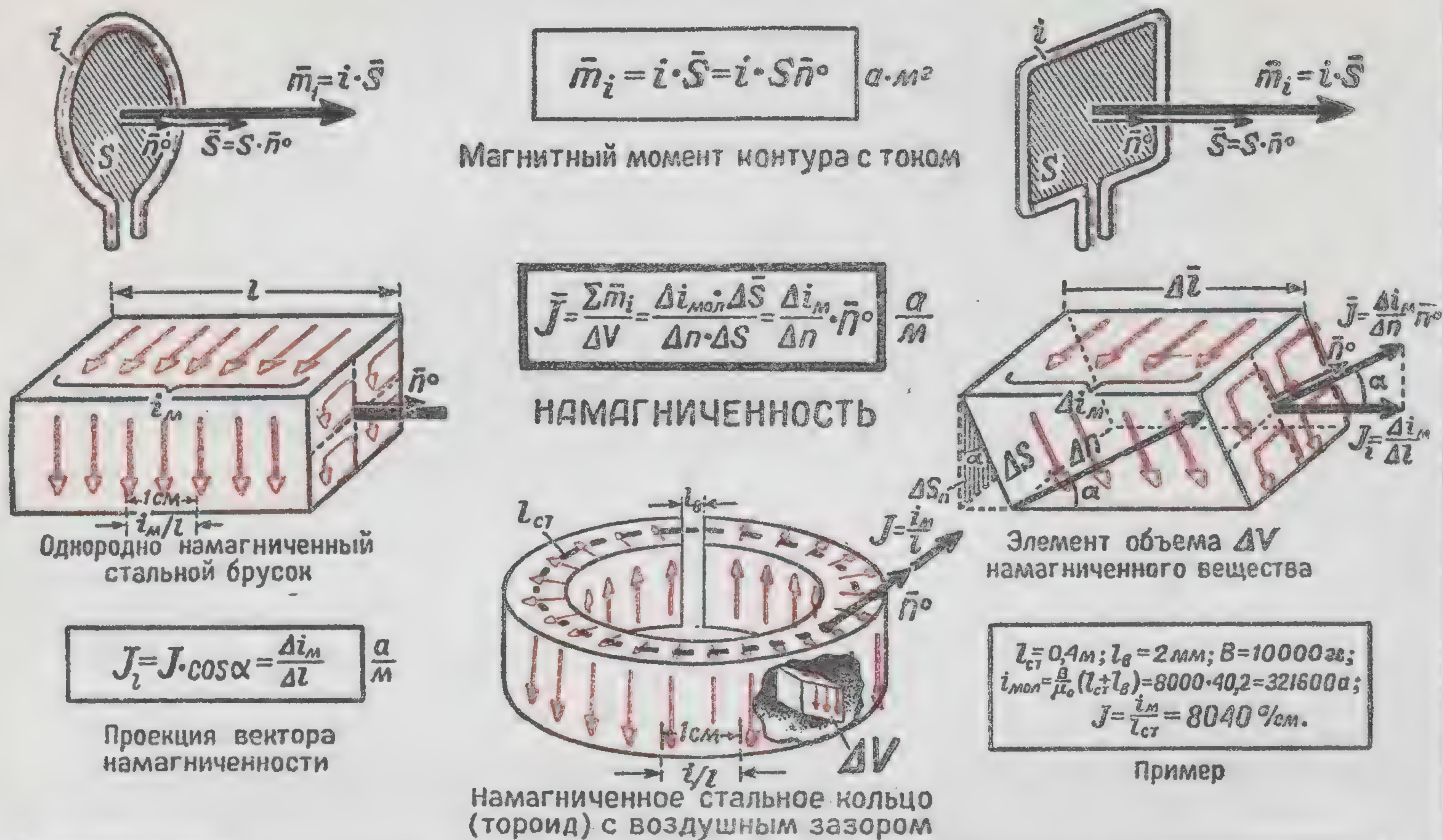


Спектр прямого магнита

Первое исследование процесса намагничивания стали произведено А.Г.Столетовым (1872 г.).
Выдающаяся роль в области теоретических и практических исследований
ферромагнетизма принадлежит советским ученым В.К.Аркадьеву, Н.С.Акулову и др.

Э.И.Расовский

НАМАГНИЧЕННОСТЬ



НАМАГНИЧЕННОСТЬ (вектор намагниченности) есть физическая величина, характеризующая в произвольной точке вещества степень согласованной ориентировки молекулярных токов, и представляет собою геометрическую сумму магнитных моментов молекулярных токов, отнесенную к единице объема вещества

НАМАГНИЧЕННОСТЬ измеряется поверхностным молекулярным током, отнесенным к единице длины в направлении согласованной ориентировки молекулярных токов

$$\sum \vec{J} \cdot \Delta \vec{l} = \sum J_z \cdot \Delta l = \sum i_{\text{мол}}$$

Линейная сумма вектора намагниченности вдоль произвольного замкнутого контура равна молекулярному току, охватываемому этим контуром



$$B = B_{\text{ст}} = B_{\text{в}} = 1,5 \frac{\text{в} \cdot \text{сн}}{\text{м}^2} = 15000 \text{ гс}; \frac{B}{\mu_0} = 0,8 \cdot 10^6 \cdot 1,5 = 1,2 \cdot 10^6 \frac{\text{а}}{\text{м}} = 12000 \frac{\text{а}}{\text{см}}; l_{\text{ст}} = 0,4 \text{ м}; l_{\text{в}} = 2 \text{ мм}; Iw = 3400 \text{ а};$$

$$i_{\text{мол}} = \frac{B}{\mu_0} (l_{\text{ст}} + l_{\text{в}}) - Iw = 479000 \text{ а}; J_{\text{ст}} = \frac{i_{\text{м}}}{l_{\text{ст}}} = 11975 \frac{\text{а}}{\text{см}}; B_0 = \frac{Iw}{l_{\text{ст}} + l_{\text{в}}} = 84 \frac{\text{а}}{\text{см}}; B_J = \frac{i_{\text{мол}}}{l_{\text{ст}}} = 11916 \frac{\text{а}}{\text{см}}; B_1 = 0,01 \frac{\text{в} \cdot \text{сн}}{\text{м}^2} = 100 \text{ гс}; B_J = 14,9 \frac{\text{в} \cdot \text{сн}}{\text{м}^2} = 14900 \text{ гс}$$

Пример

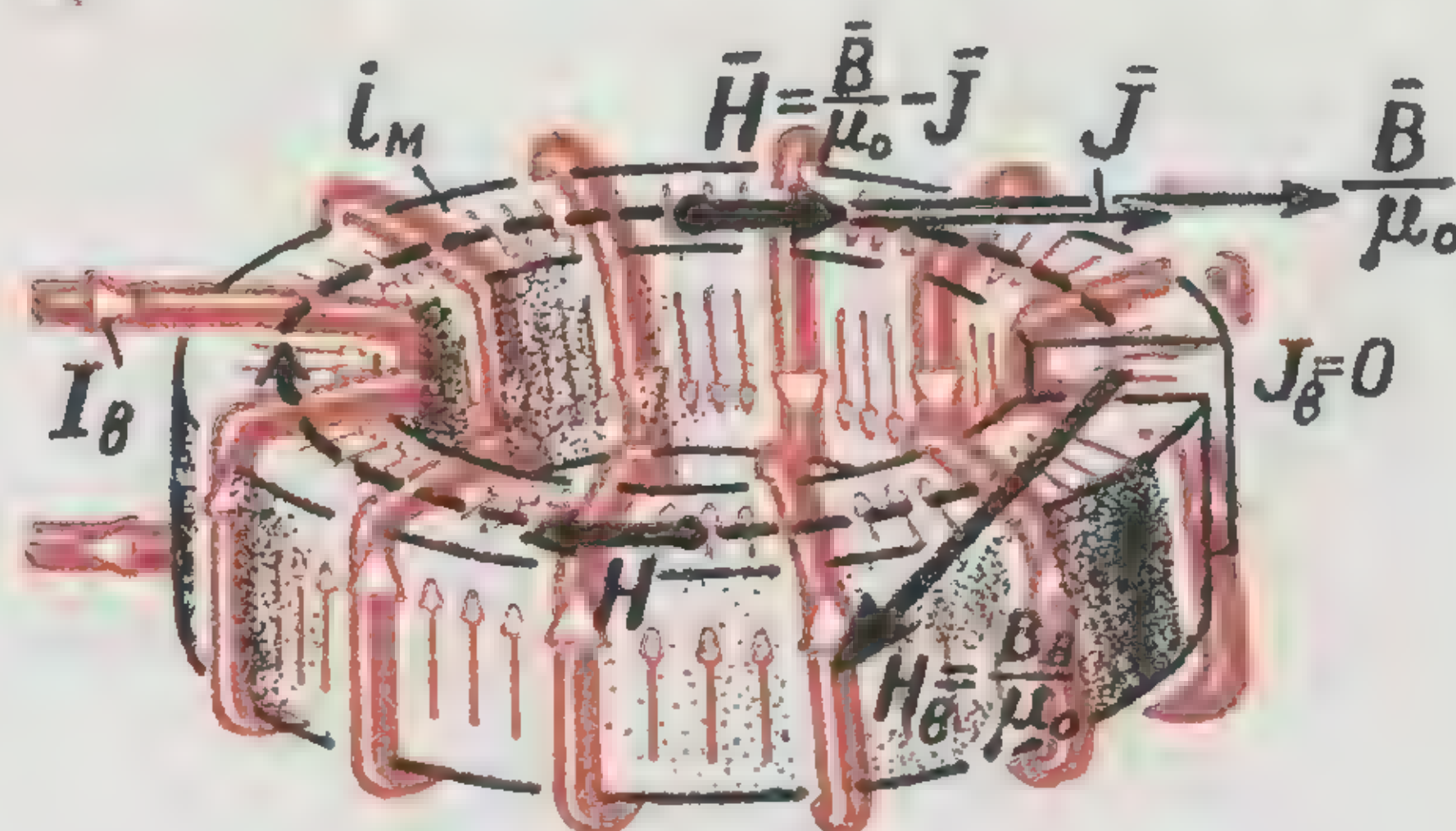
Разложение магнитного поля кольцевого электромагнита с воздушным зазором на его физические составляющие: поле тока возбуждения и поле молекулярных токов

НАПРЯЖЕННОСТЬ МАГНИТНОГО ПОЛЯ

$$\sum_0 \frac{\vec{B}}{\mu_0} \Delta \vec{l} = \sum_0 (I_s + i_m) = \sum_0 I + \sum_0 \vec{J} \cdot \Delta \vec{l}$$

$$\sum_0 (\frac{\vec{B}}{\mu_0} - \vec{J}) \Delta \vec{l} = \sum_0 I$$

Закон полного тока
при наличии вещества



Кольцевой электромагнит
с воздушным зазором

$$\vec{H} = \frac{\vec{B}}{\mu_0} - \vec{J} \quad \frac{a}{m}$$

НАПРЯЖЕННОСТЬ
МАГНИТНОГО ПОЛЯ

$$\vec{H} \cdot \Delta \vec{l} \quad a$$

Магнитное напряжение

Введение вектора напряженности магнитного поля, линейная сумма которого по замкнутому контуру непосредственно связана со „свободными“ токами (токами возбуждения), позволяет не учитывать в явной форме молекулярных токов вещества, расчеты с которыми затруднительны

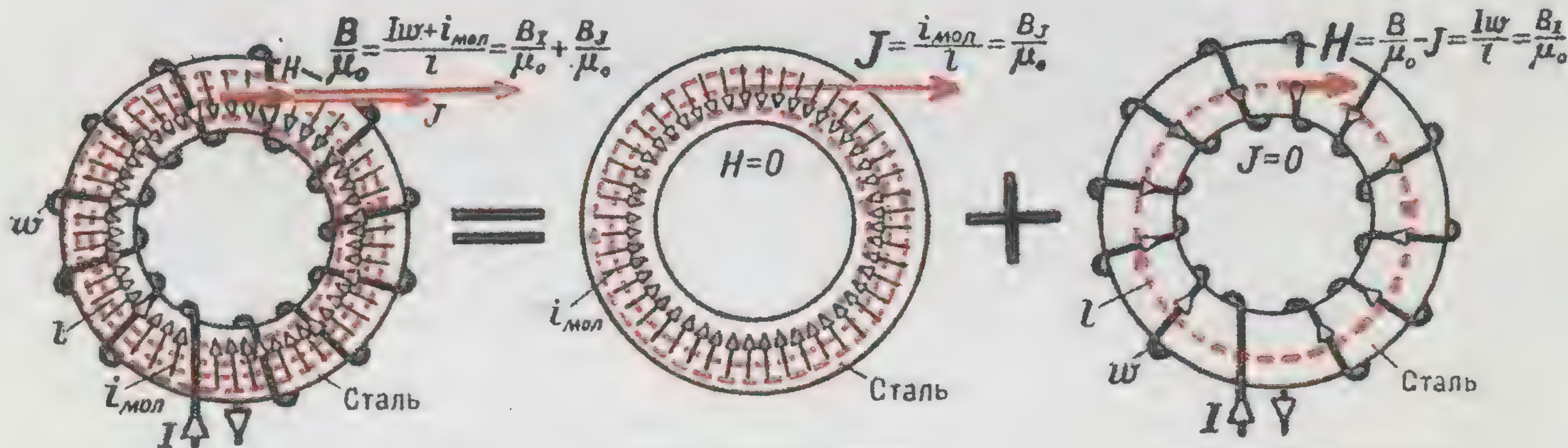
НАПРЯЖЕННОСТЬ МАГНИТНОГО ПОЛЯ является вспомогательной величиной, равной, в определенной системе единиц, разности векторов магнитной индукции и намагниченности

• В вакууме напряженность поля тождественно совпадает с магнитной индукцией •

$$\sum_0 \vec{H} \cdot \Delta \vec{l} = \sum_0 I \quad a$$

ЗАКОН
ПОЛНОГО ТОКА

МАГНИТНОЕ НАПРЯЖЕНИЕ вдоль произвольного замкнутого контура равно полному току (общему числу ампервитков), охватываемому этим контуром



$$B = 15000 \text{ гс}; \frac{B}{\mu_0} = 12000 \frac{a}{cm}$$

$$l_{ст} = 40 \text{ см}; Iw = 1000 \text{ а}; i_m = \frac{B}{\mu_0} l - Iw = 479000 \text{ а}$$

$$J = \frac{i_m}{l} = 11975 \frac{a}{cm}$$

$$\mu_0 J = B_J = 14969 \text{ гс}$$

$$H = \frac{Iw}{l} = 25 \frac{a}{cm}$$

$$\mu_0 H = B_H = 312 \text{ гс}$$

РАЗЛОЖЕНИЕ ВЕКТОРА ИНДУКЦИИ B ОДНОРОДНОГО МАГНИТНОГО ПОЛЯ НА СОСТАВЛЯЮЩИЕ:
НАМАГНИЧЕННОСТЬ $\mu_0 J$ И НАПРЯЖЕННОСТЬ ПОЛЯ $\mu_0 H$
(совпадает с его физическими составляющими B_J и B_H , ср. табл. 8)

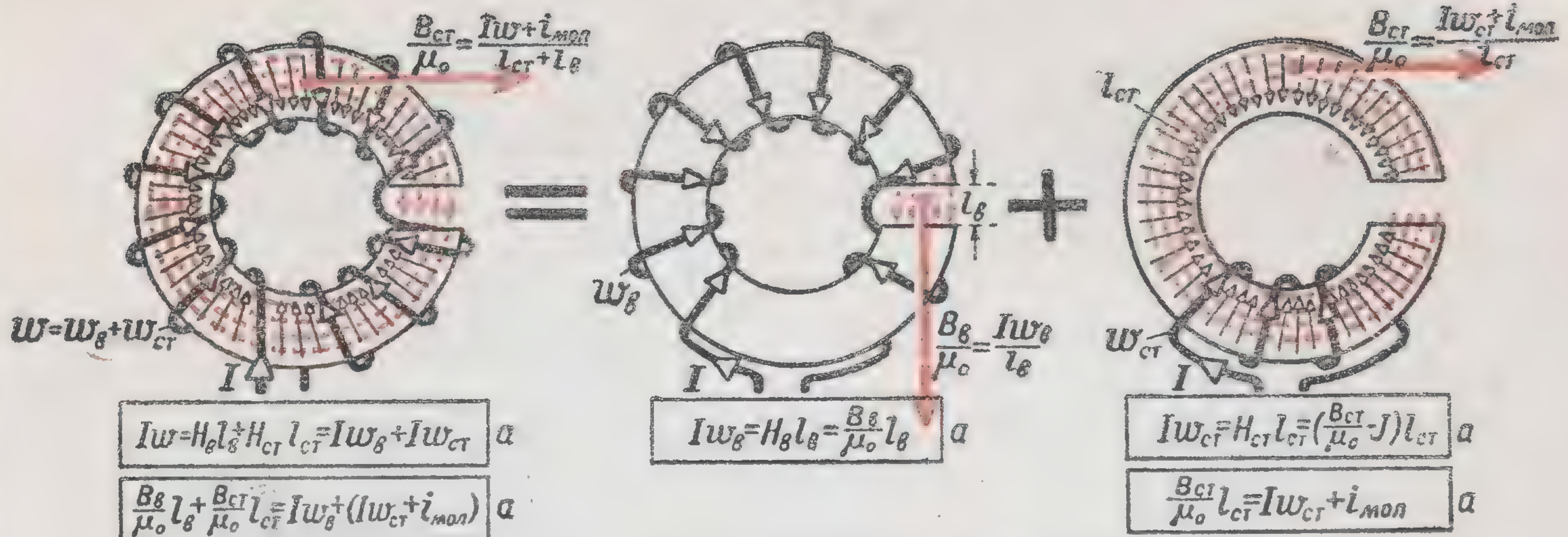
$$H = \frac{Iw}{l} \quad \frac{a}{m}$$

Напряженность
однородного
магнитного поля

НАПРЯЖЕННОСТЬ ОДНОРОДНОГО МАГНИТНОГО ПОЛЯ
равна числу ампервитков обмотки возбуждения,
приходящемуся на единицу длины магнитной линии
(УДЕЛЬНЫЕ АМПЕРВИТКИ)

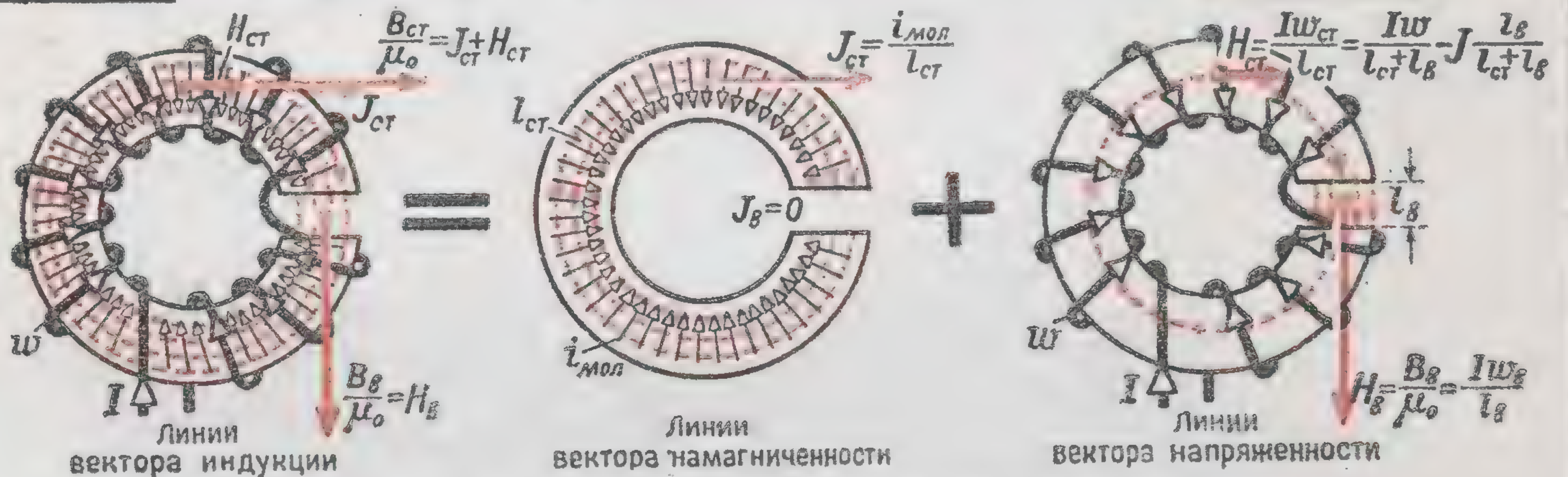
Замкнутый сердечник с однородным полем широко применяется
при исследовании магнитных свойств ферромагнитных материалов
(см. табл. 11)

НАПРЯЖЕННОСТЬ МАГНИТНОГО ПОЛЯ (ПРОДОЛЖЕНИЕ)



РАЗЛОЖЕНИЕ ОБЩЕГО ЧИСЛА АМПЕРВИТКОВ ОБМОТКИ ВОЗБУЖДЕНИЯ
НА АМПЕРВИТКИ ВОЗДУХА И АМПЕРВИТКИ СТАЛИ

Такое ИСКУССТВЕННОЕ разложение позволяет при расчетах магнитных цепей (табл.15)
не учитывать в явной форме молекулярных токов намагниченного сердечника

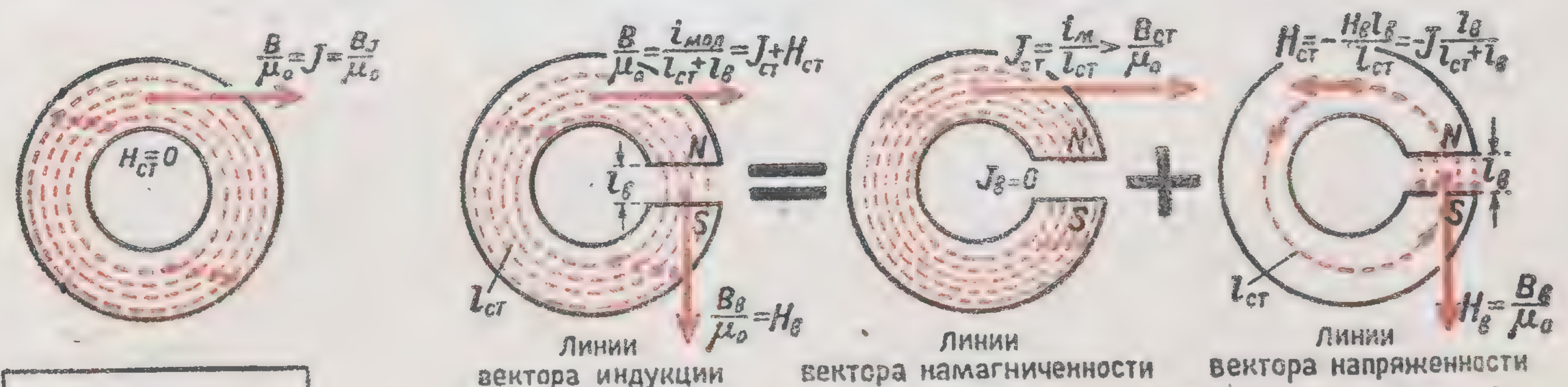


РАЗЛОЖЕНИЕ ВЕКТОРА ИНДУКЦИИ НА СОСТАВЛЯЮЩИЕ:
НАМАГНИЧЕННОСТЬ И НАПРЯЖЕННОСТЬ МАГНИТНОГО ПОЛЯ

Разложение вектора индукции B на составляющие $\mu_0 J$ и $\mu_0 H$ отлично
от разложения на его физические составляющие B_J и B_H (табл.8) и является ФОРМАЛЬНЫМ.
Это разложение применяется для возможности расчетов магнитных полей и магнитных цепей
методами расчета электрических полей и электрических цепей (см.табл.15)

$B = 1,5 \frac{В \cdot сек}{М^2} = 15000 \text{ Гс}; l_{ст} = 0,4 \text{ м}; l_{\delta} = 2 \text{ мм}; H_{\delta} = \frac{B_{\delta}}{\mu_0} = 12000 \frac{А}{см}; H_{ст} = f(B_{ст}) = f(15000) = 25 \frac{А}{см}$ (по кривой намагничивания, табл.12).
 $Iw_{\delta} = H_{\delta} l_{\delta} = 2400 \text{ А}; Iw_{ст} = H_{ст} l_{ст} = 1000 \text{ А}; Iw = Iw_{\delta} + Iw_{ст} = 3400 \text{ А}; J_{ст} = \frac{B_{ст}}{\mu_0} - H_{ст} = 11975 \frac{А}{см}.$
 Пример (сравни табл.8)

МАГНИТНОЕ ПОЛЕ КОЛЬЦЕВОГО ЭЛЕКТРОМАГНИТА С ВОЗДУШНЫМ ЗАЗОРОМ



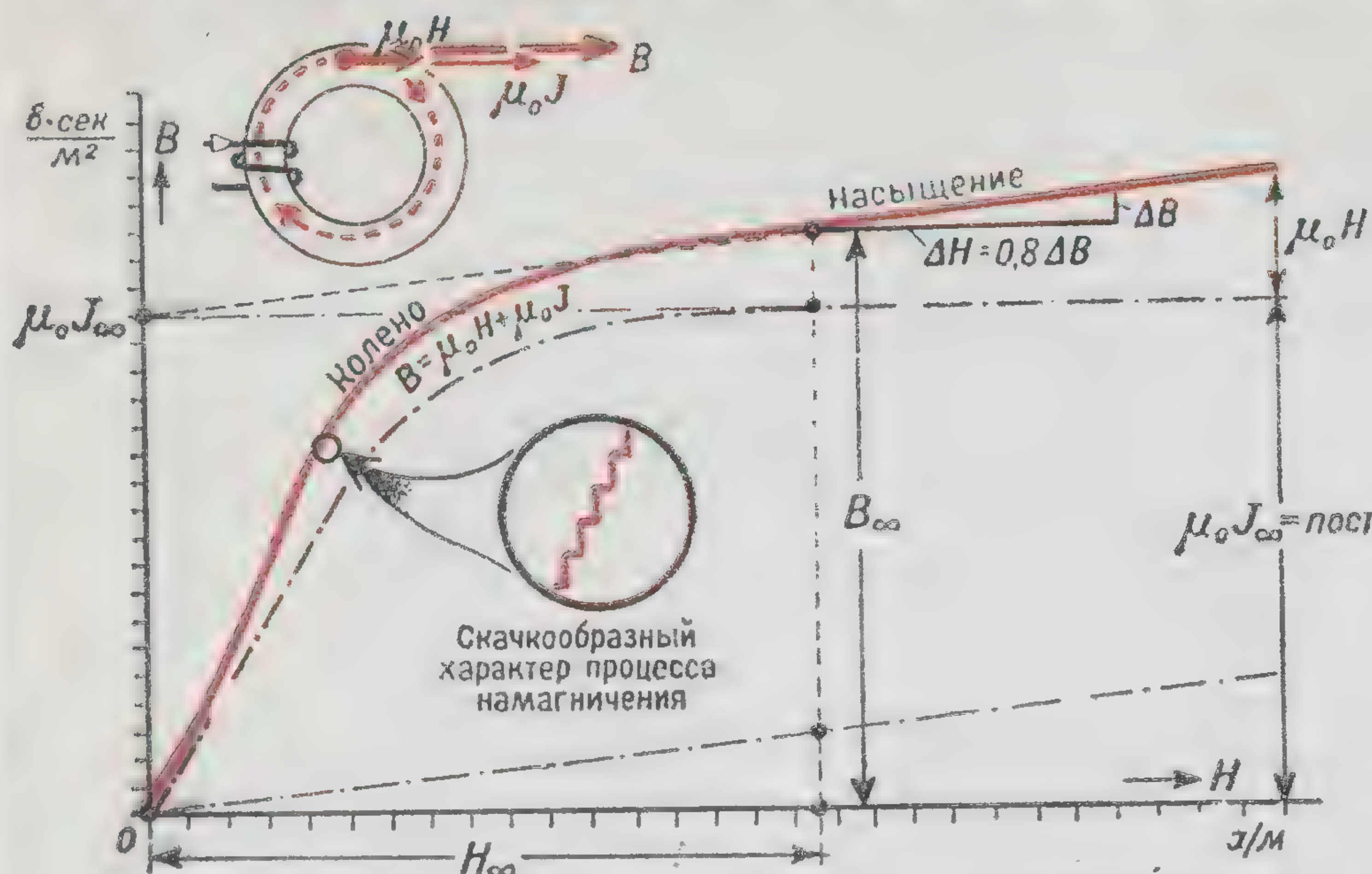
РАЗЛОЖЕНИЕ ВЕКТОРА ИНДУКЦИИ НА СОСТАВЛЯЮЩИЕ: $\mu_0 J$ и $\mu_0 H$

$B = B_{ст} = B_{\delta} = 1 \frac{В \cdot сек}{М^2} = 10000 \text{ Гс}; l_{ст} = 0,4 \text{ м}; l_{\delta} = 2 \text{ мм};$
 $H_{\delta} = \frac{B_{\delta}}{\mu_0} = 8000 \frac{А}{см}; H_{ст} = - \frac{H_{\delta} l_{\delta}}{l_{ст}} = -40 \frac{А}{см}; J_{ст} = \frac{B_{ст}}{\mu_0} - H_{ст} = 8040 \frac{А}{см}$
 Пример (сравни табл.8)

МАГНИТНОЕ ПОЛЕ КОЛЬЦЕВОГО МАГНИТА С ВОЗДУШНЫМ ЗАЗОРОМ

$B = 10000 \text{ Гс}$
 $\frac{B}{\mu_0} = J = 8000 \frac{А}{см}$
 МАГНИТНОЕ ПОЛЕ
СПЛОШНОГО
СТАЛЬНОГО КОЛЬЦА

КРИВАЯ НАМАГНИЧЕНИЯ И ПЕТЛЯ ГИСТЕРЕЗИСА



$$B = \mu_0 J_{\infty} + 1,256 \cdot 10^{-6} H_{a/m} \quad \frac{B \cdot \text{сек}}{M^2}$$

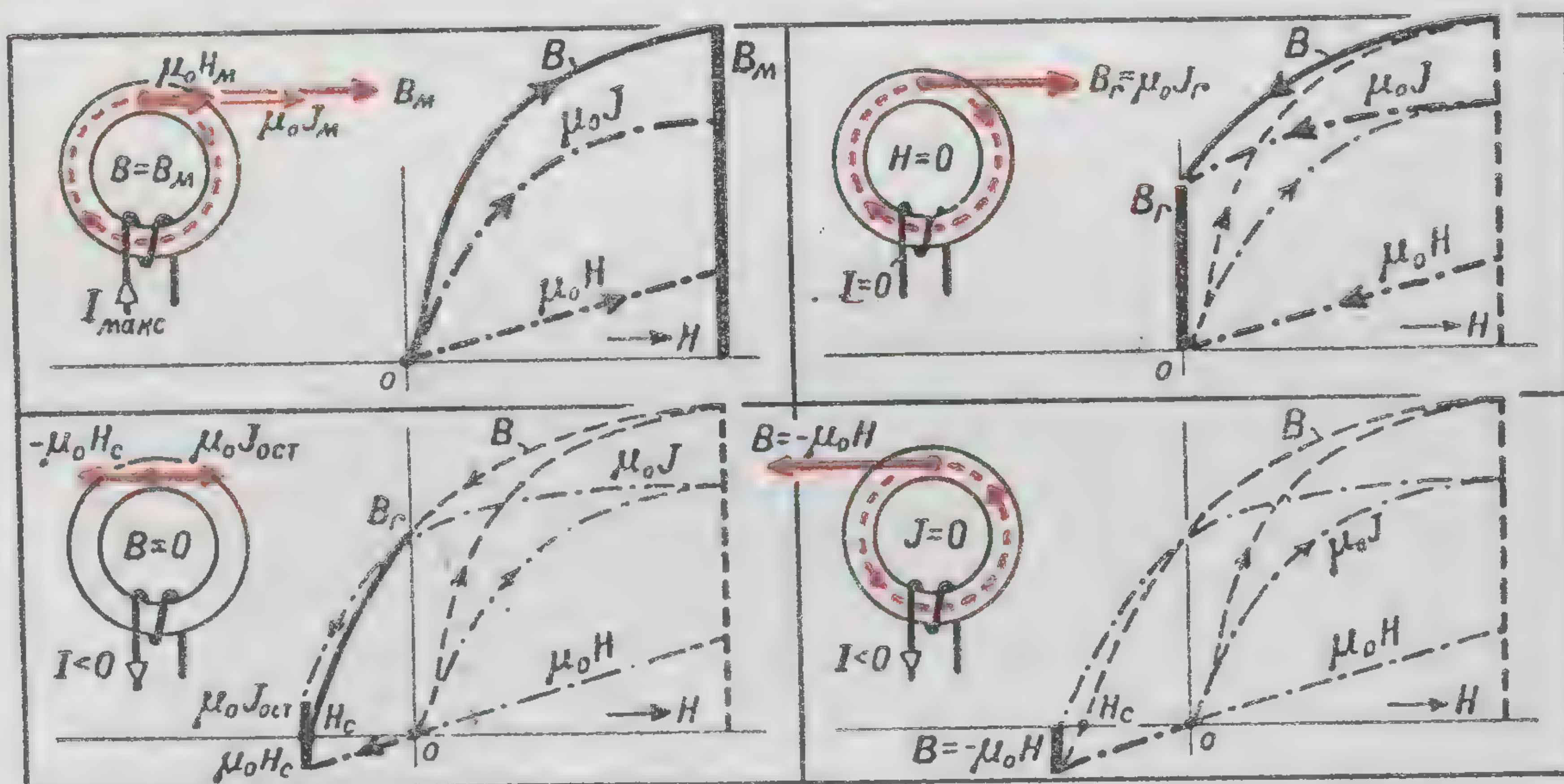
или

$$B = \mu_0 J_{\infty} + 1,256 H_{a/cm} \quad \frac{B \cdot \text{сек}}{M^2}$$

$$H = 0,8 (B_{\text{зс}} - \mu_0 J_{\infty}) \quad \frac{a}{\text{см}}$$

Вычисление индукции и напряженности поля за пределом насыщения

Первоначальная кривая намагничения
(Впервые исследована А.Г.Столетовым в 1872 г.)



РАЗМАГНИЧИВАНИЕ ИСПЫТУЕМОГО ОБРАЗЦА

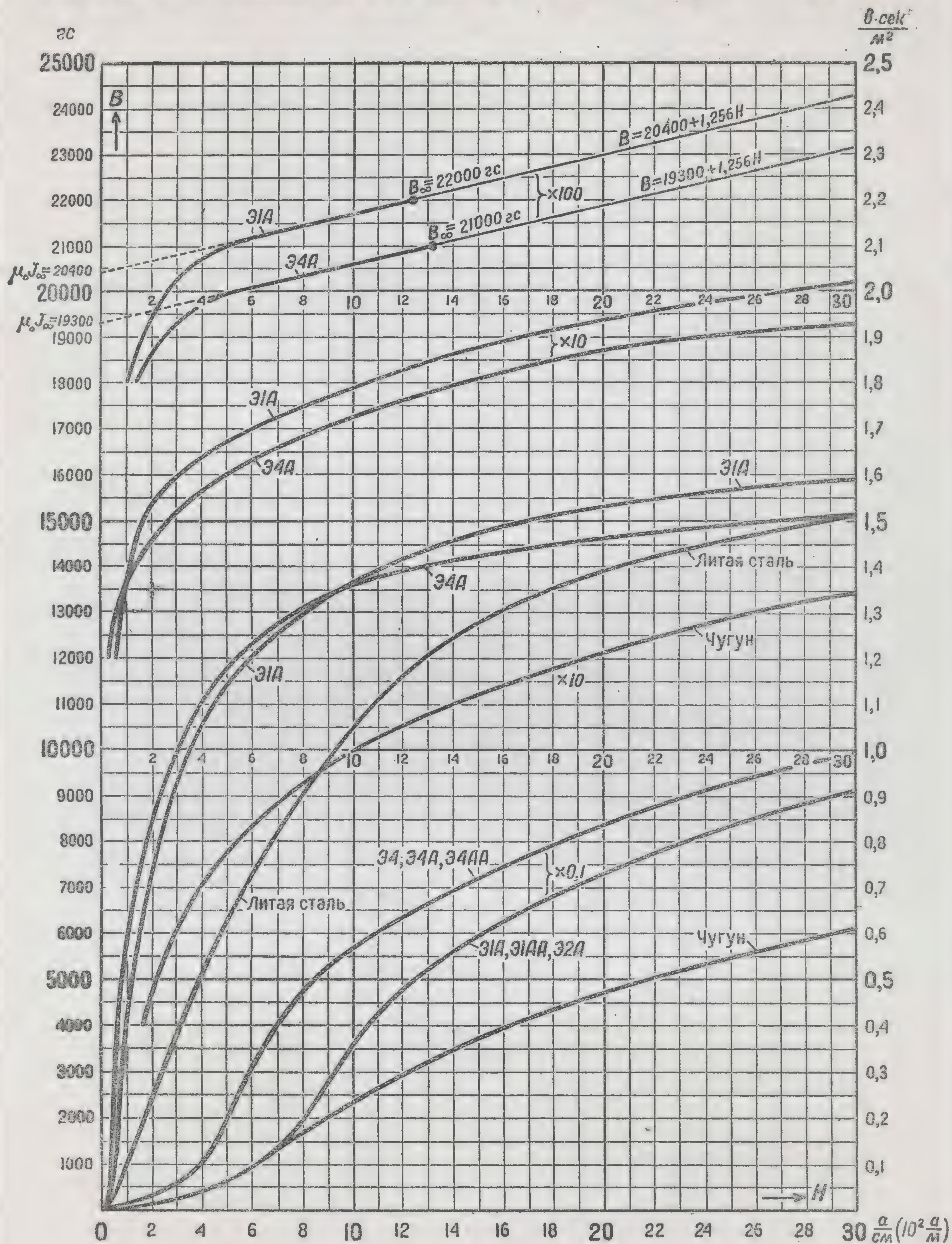


ПЕТЛЯ ГИСТЕРЕЗИСА



— геометрическое место вершин петель гистерезиса

КРИВЫЕ НАМАГНИЧЕНИЯ СТАЛИ И ЧУГУНА

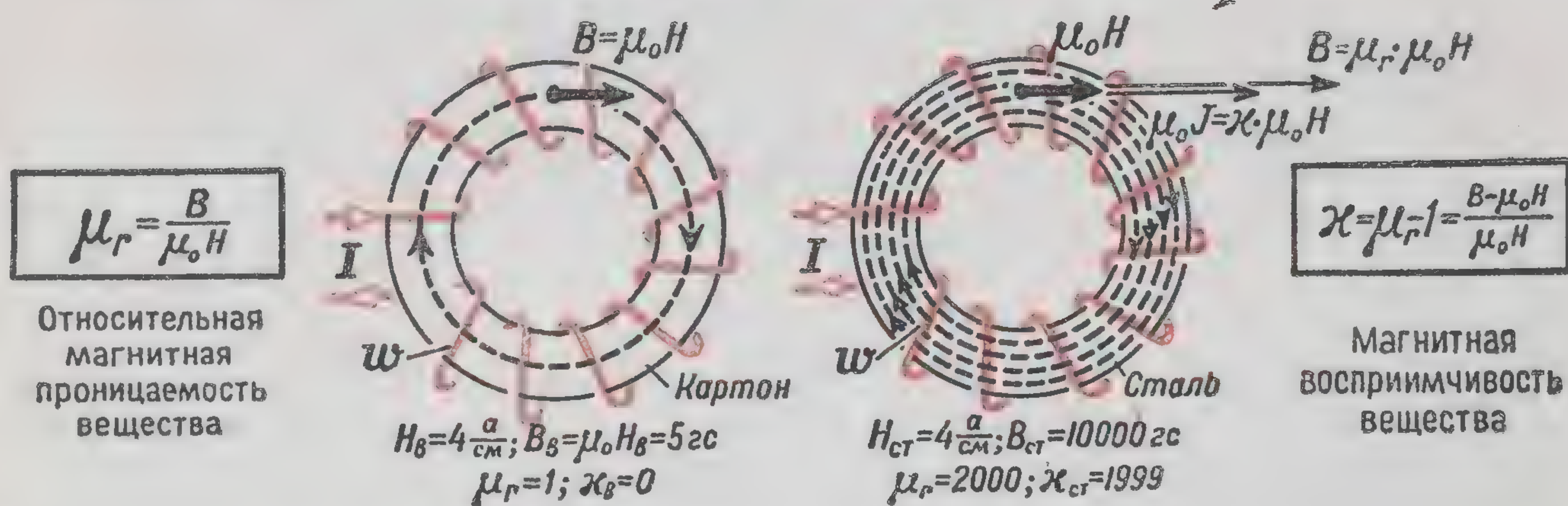


31, 32, 34 — листовая электротехническая сталь, содержащая 1-4% кремния

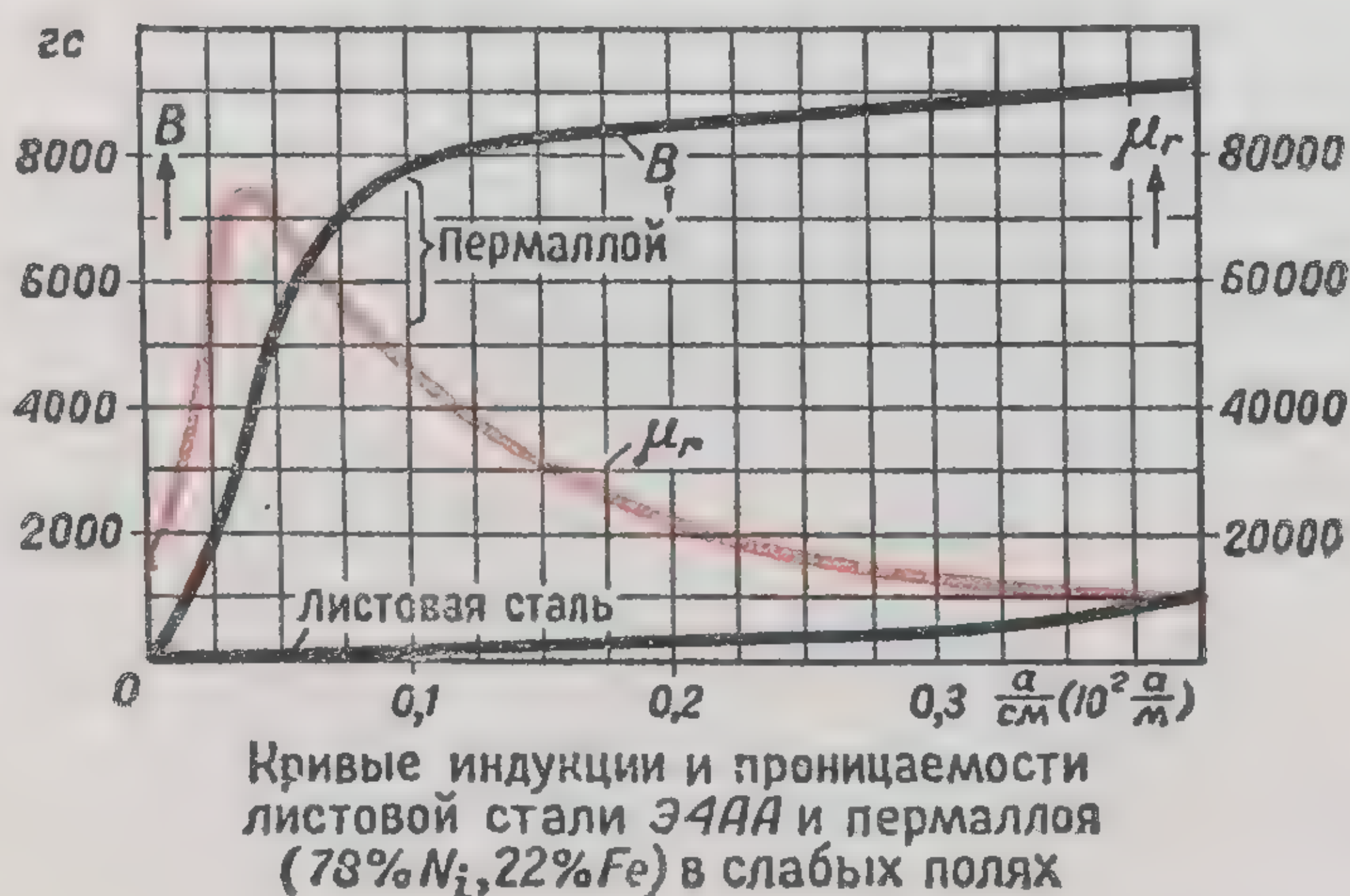
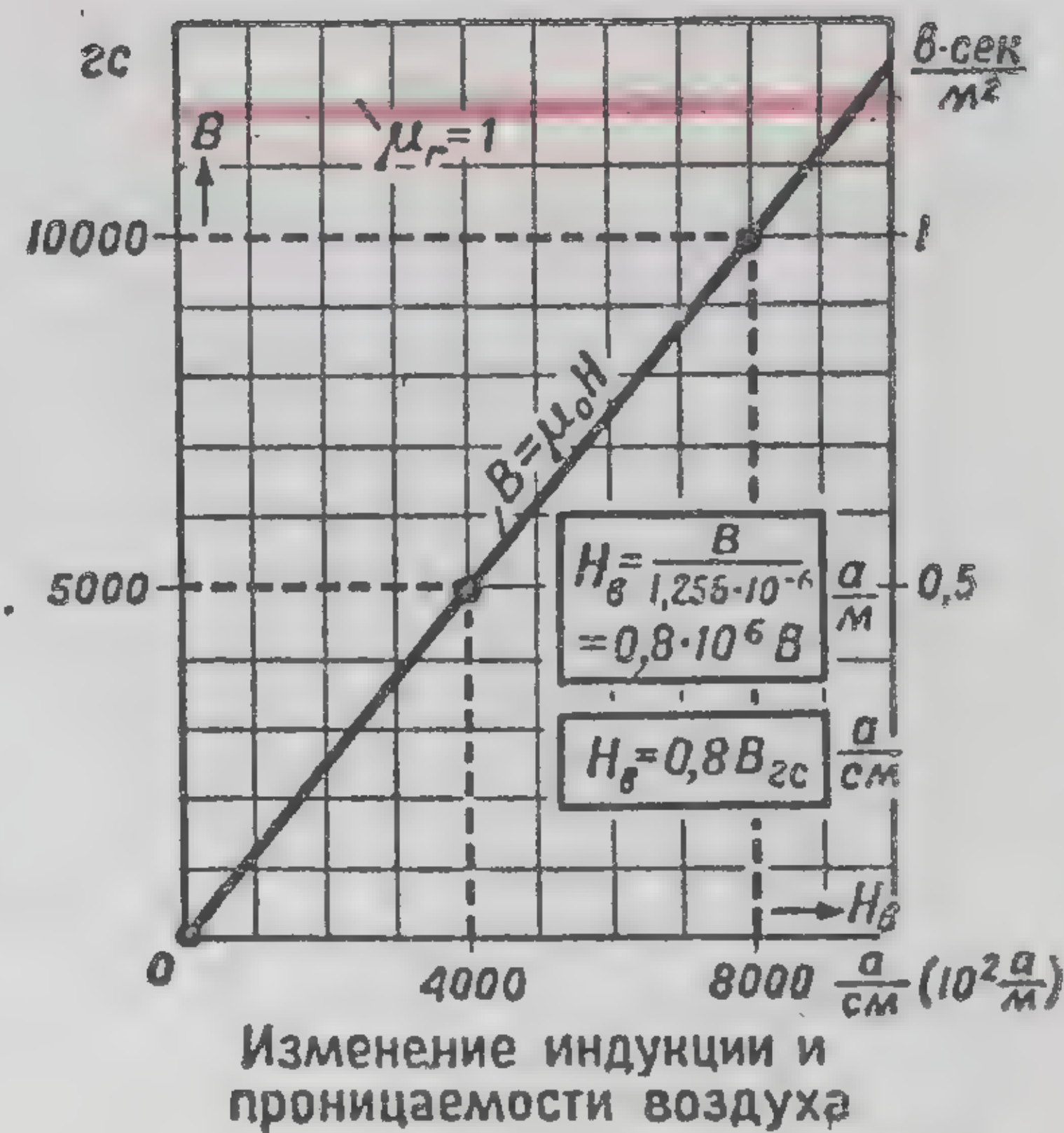
x0,1; x10; x100 — множители масштаба напряженности поля H

Э.И.Расовский

МАГНИТНАЯ ПРОНИЦАЕМОСТЬ

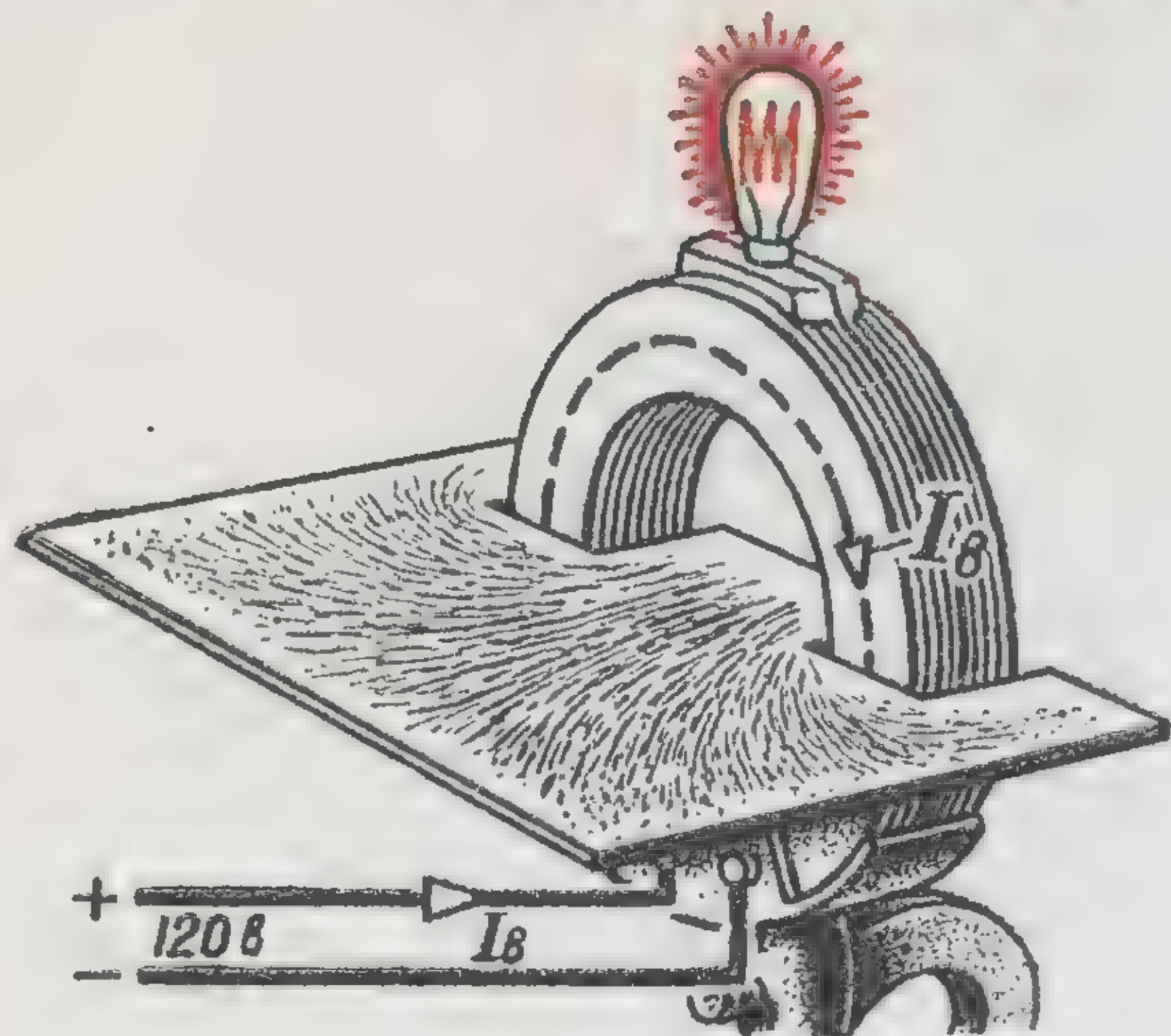


При постоянной напряженности однородного магнитного поля относительная магнитная проницаемость вещества показывает, во сколько раз возрастает магнитная индукция, а магнитная восприимчивость — на сколько, в относительных единицах, возрастает магнитная индукция при замене вакуума данным веществом

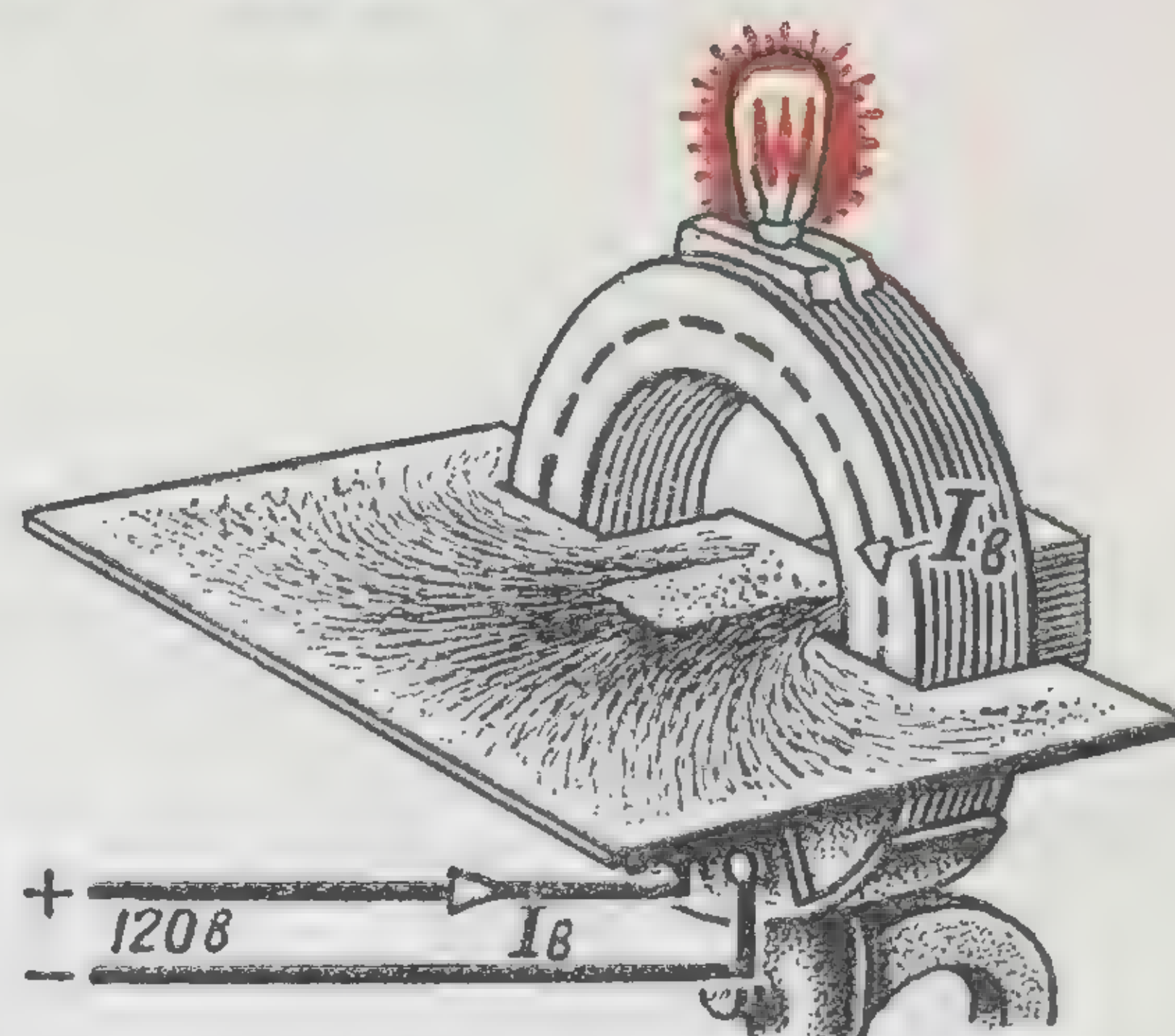


З.И.Расовский

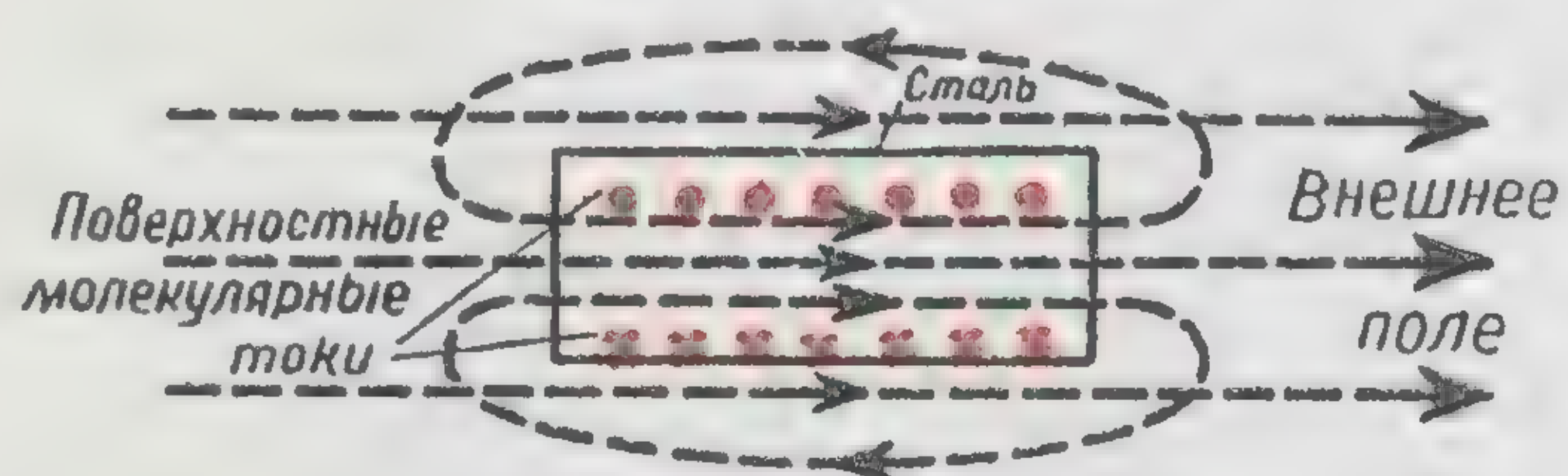
МАГНИТНАЯ ЦЕПЬ



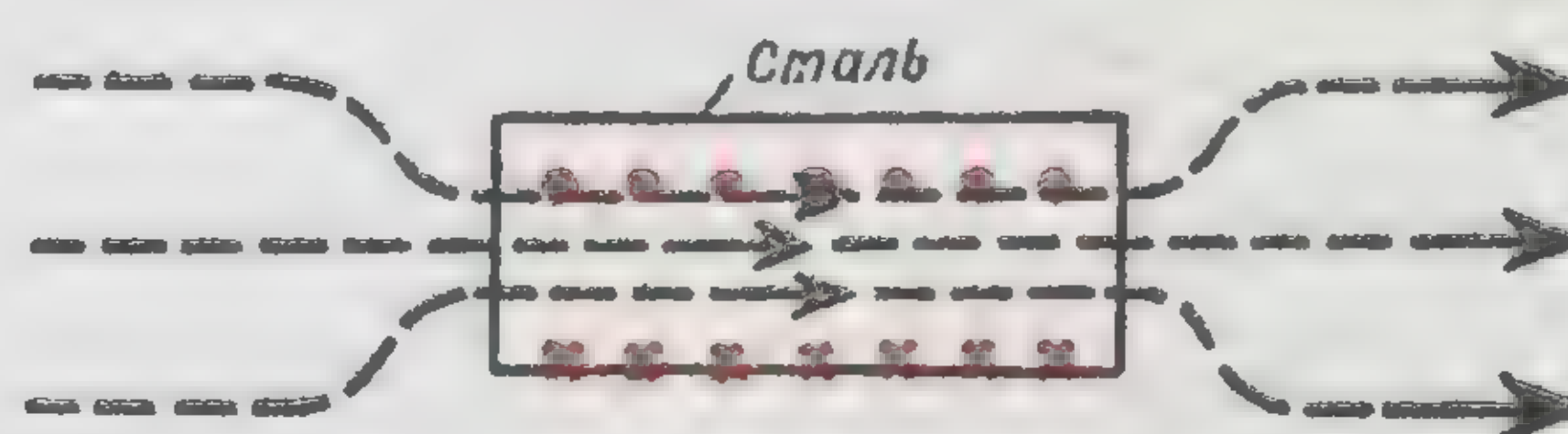
Магнитное поле катушки с током



Изменение („сгущение“) поля стальным сердечником

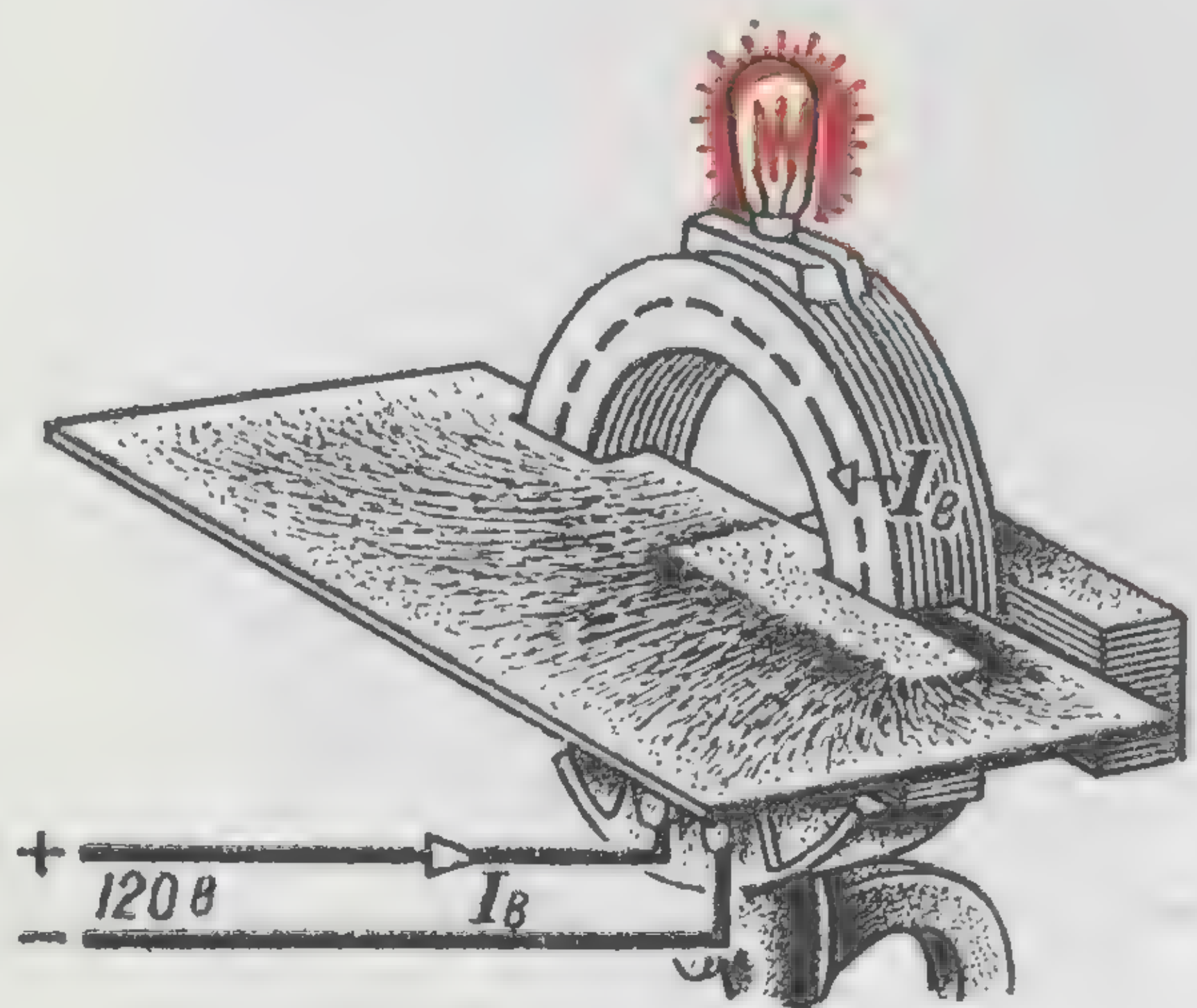


Наложение полей: внешнего и от молекулярных токов

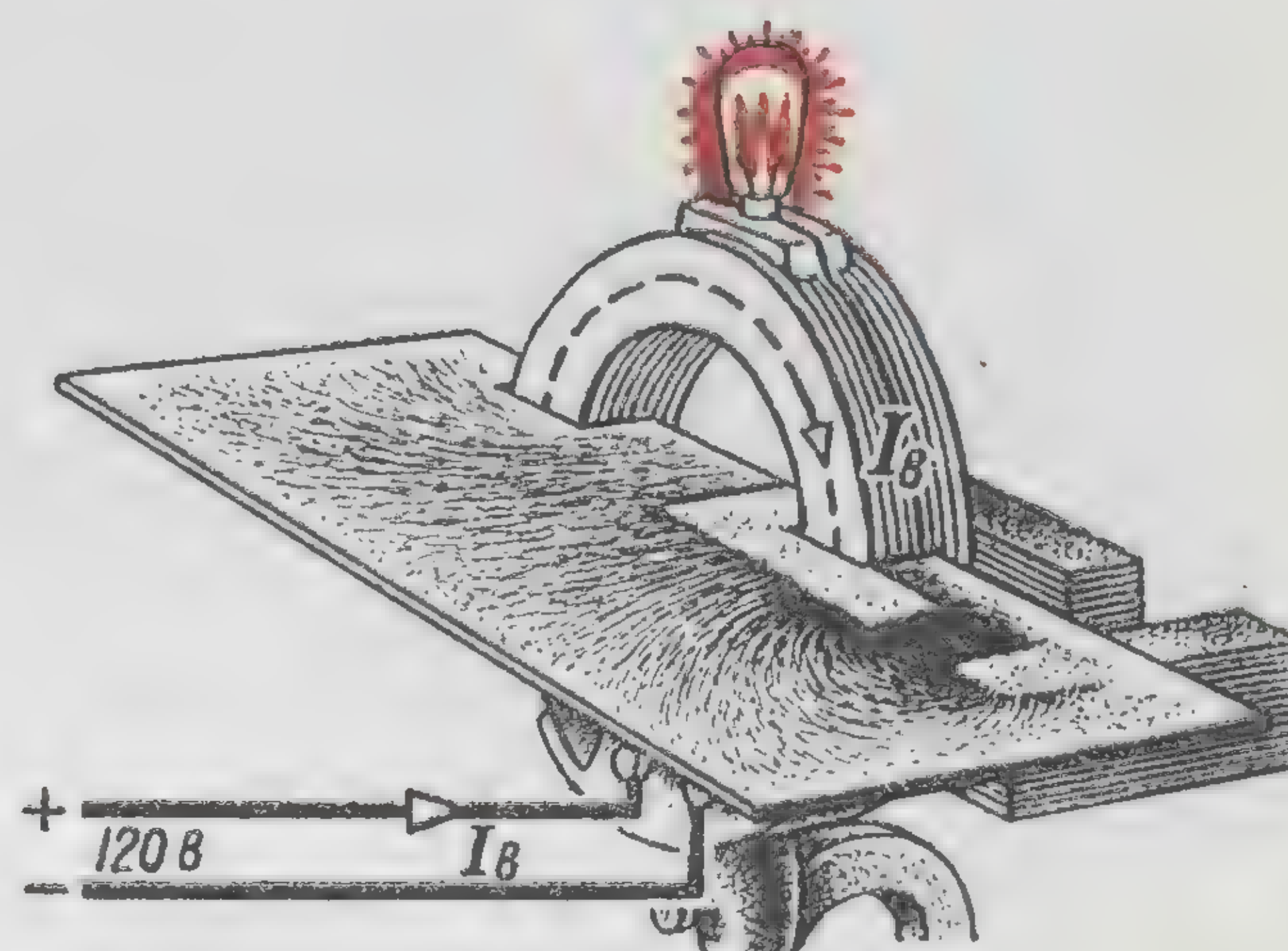


Результирующее поле

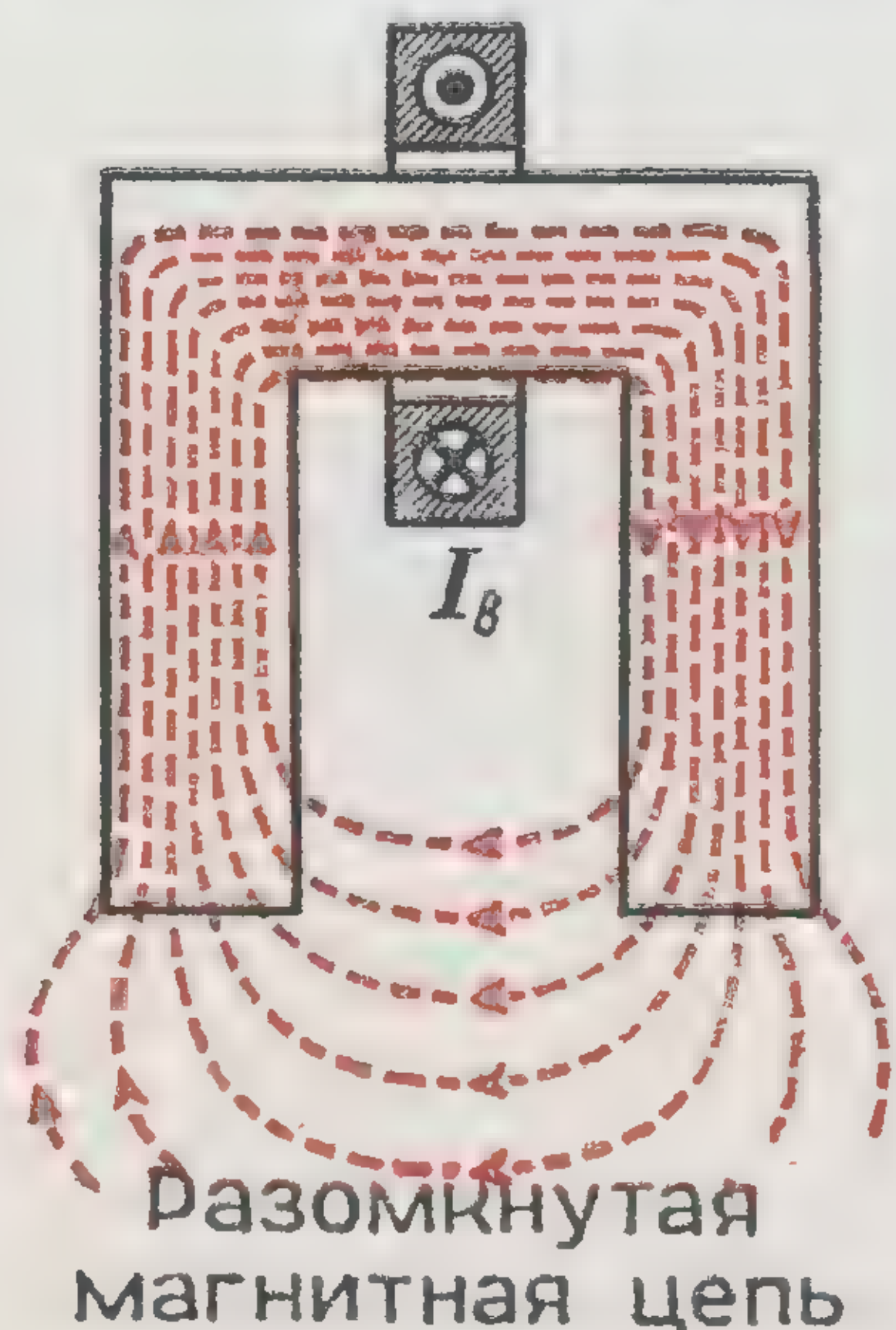
Изменение магнитного поля под влиянием молекулярных токов в стали



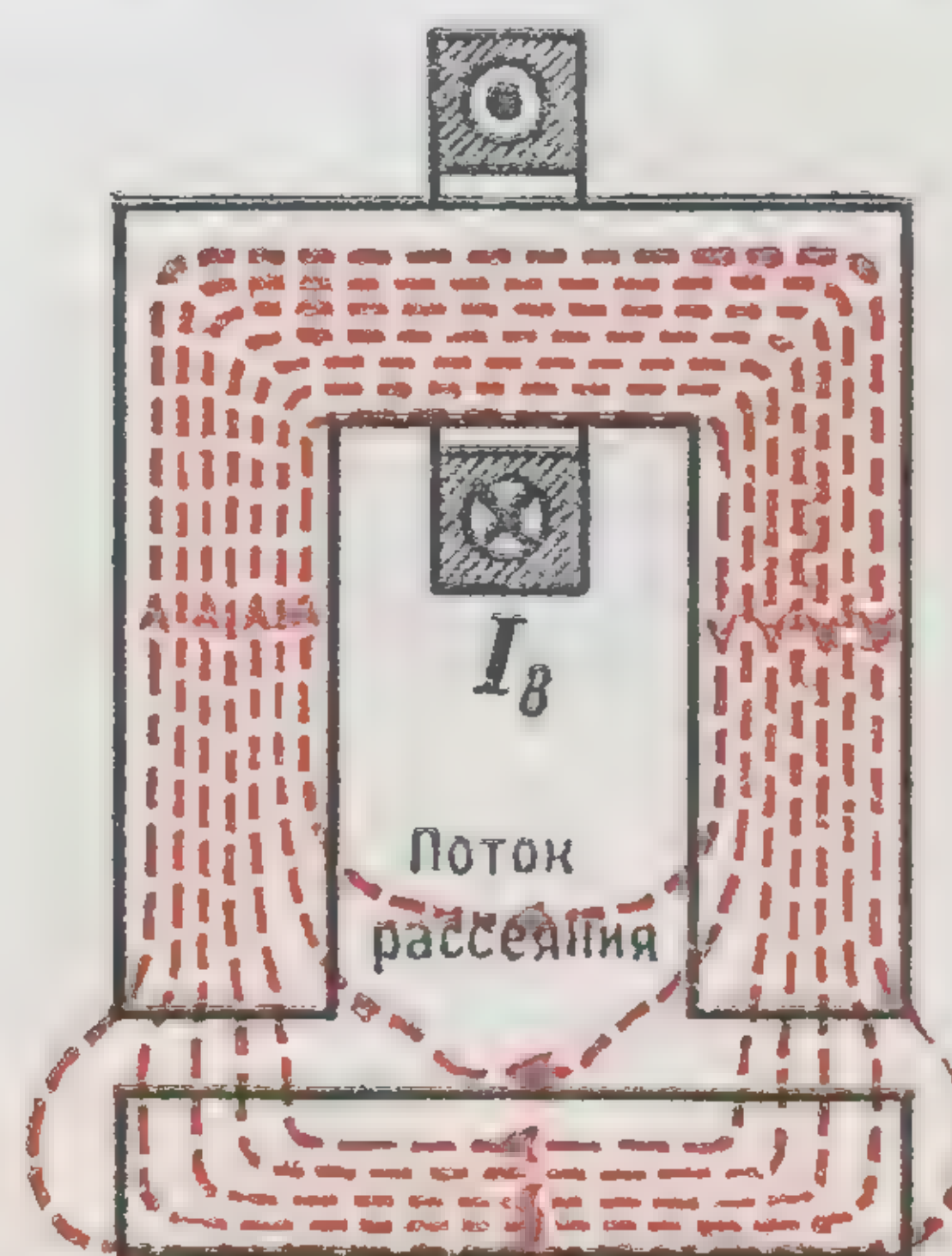
Поле катушки с П-образным сердечником



Поле катушки с замкнутым стальным сердечником



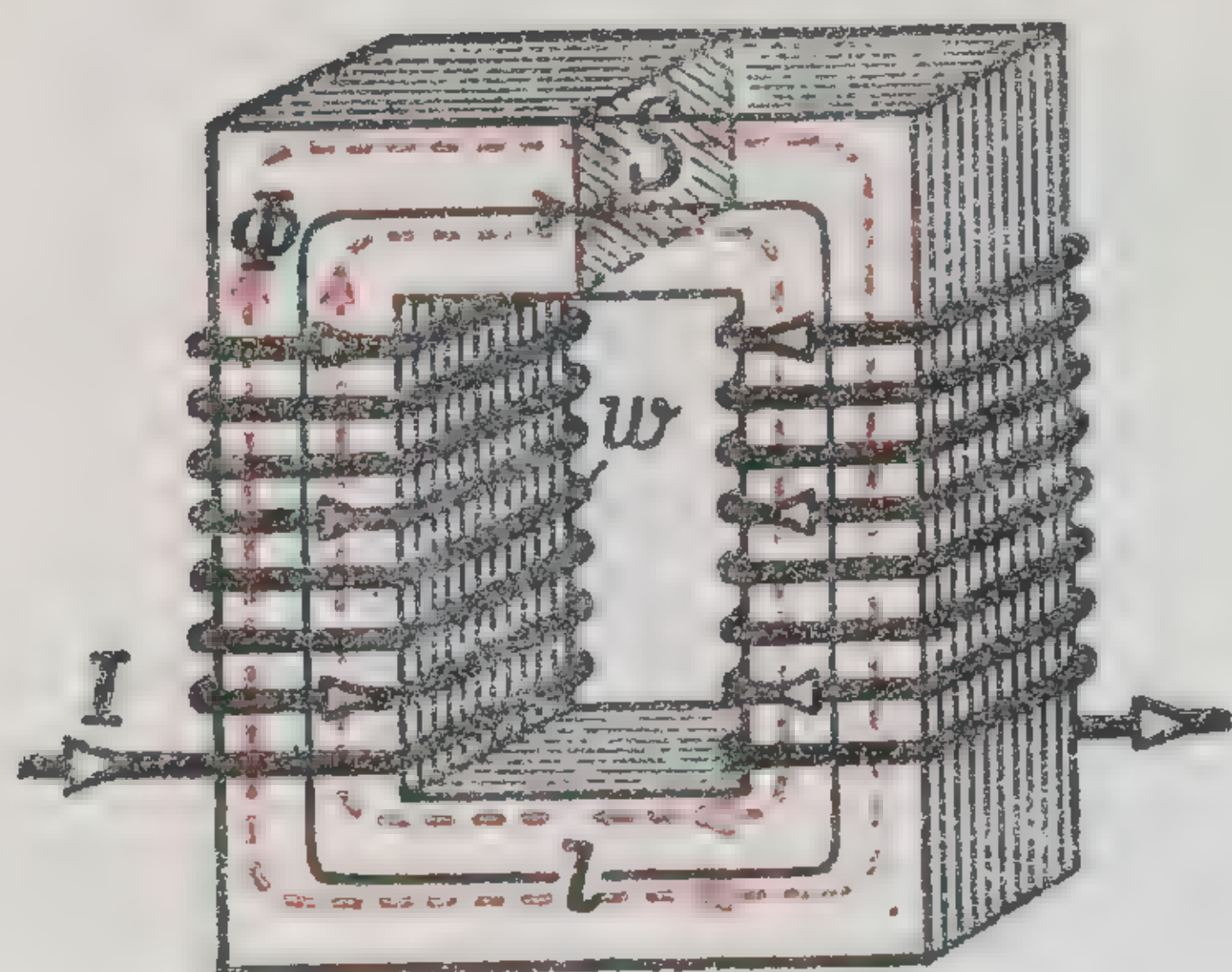
Разомкнутая магнитная цепь



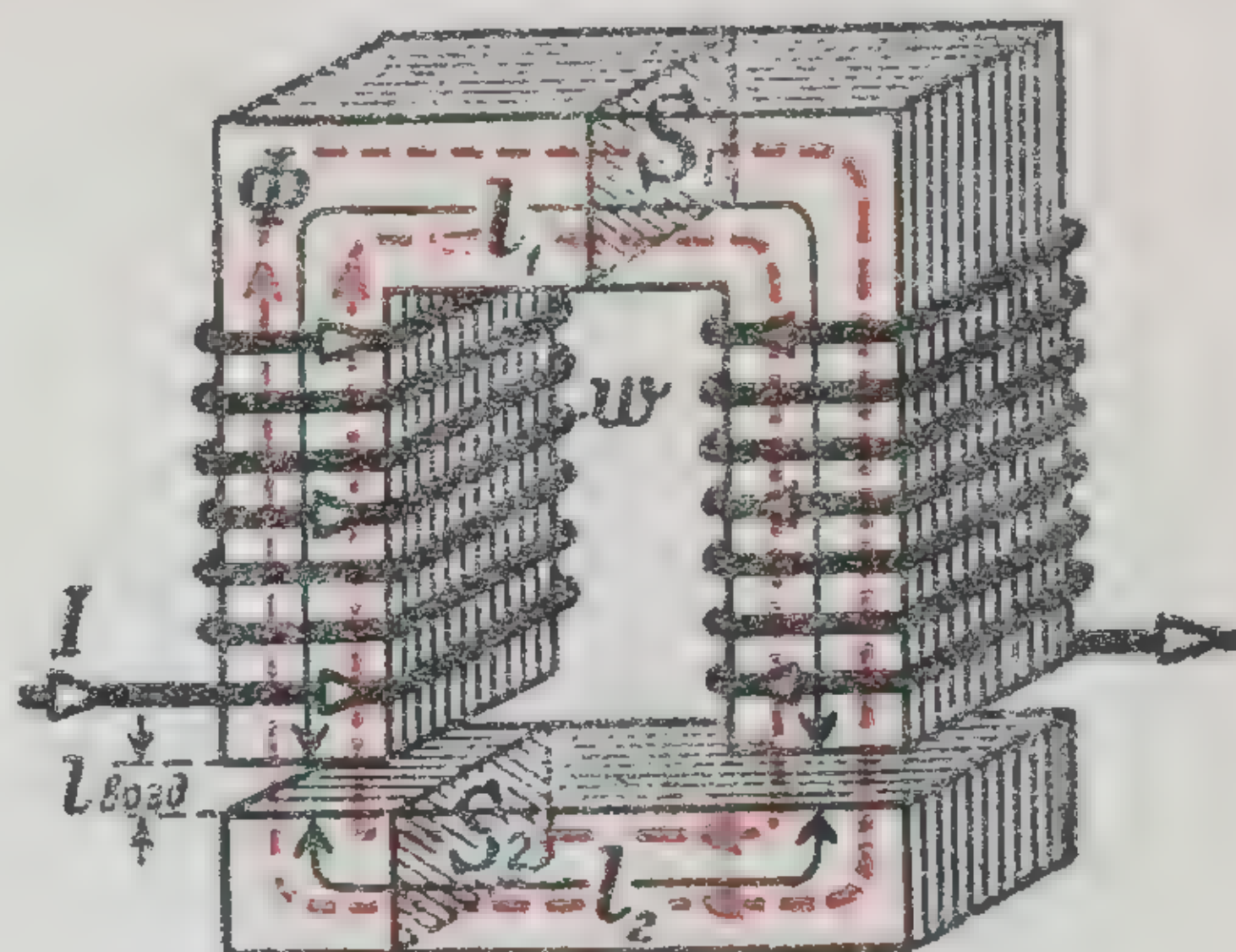
Замкнутая цепь с магнитным рассеянием

Э.И. Расовский.

РАСЧЕТ МАГНИТНОЙ ЦЕПИ



Простейшая замкнутая цепь



Цепь с воздушным зазором без рассеяния

$$Iw = H_1 l_1 + H_2 l_2 + \dots = \Phi \left(\frac{l_1}{\mu_1 S_1} + \frac{l_2}{\mu_2 S_2} + \dots \right) = \Phi R_m \quad \text{а}$$

Полный ток (ампервитки) обмотки возбуждения

$$\Phi = \frac{Iw}{R_m} \quad \text{в-сек}$$

Закон Ома для магнитной цепи

$$R_m = \frac{l_1}{\mu_1 S_1} + \frac{l_2}{\mu_2 S_2} + \dots \quad \frac{\text{а}}{\text{в-сек}}$$

Магнитное сопротивление

Расчет магнитной цепи производится по закону полного тока и при помощи кривых намагничивания

$l_1 + l_2 = 1,2 \text{ м}$ (сталь 34АА); $2l_g = 2 \text{ мм}$; $S_1 = S_2 = S_g = 40 \text{ см}^2$; $B_{ct} = B_g = 1 \frac{\text{в-сек}}{\text{м}^2} = 10000 \text{ гс}$; $\Phi = BS = 0,004 \text{ в-сек}$.

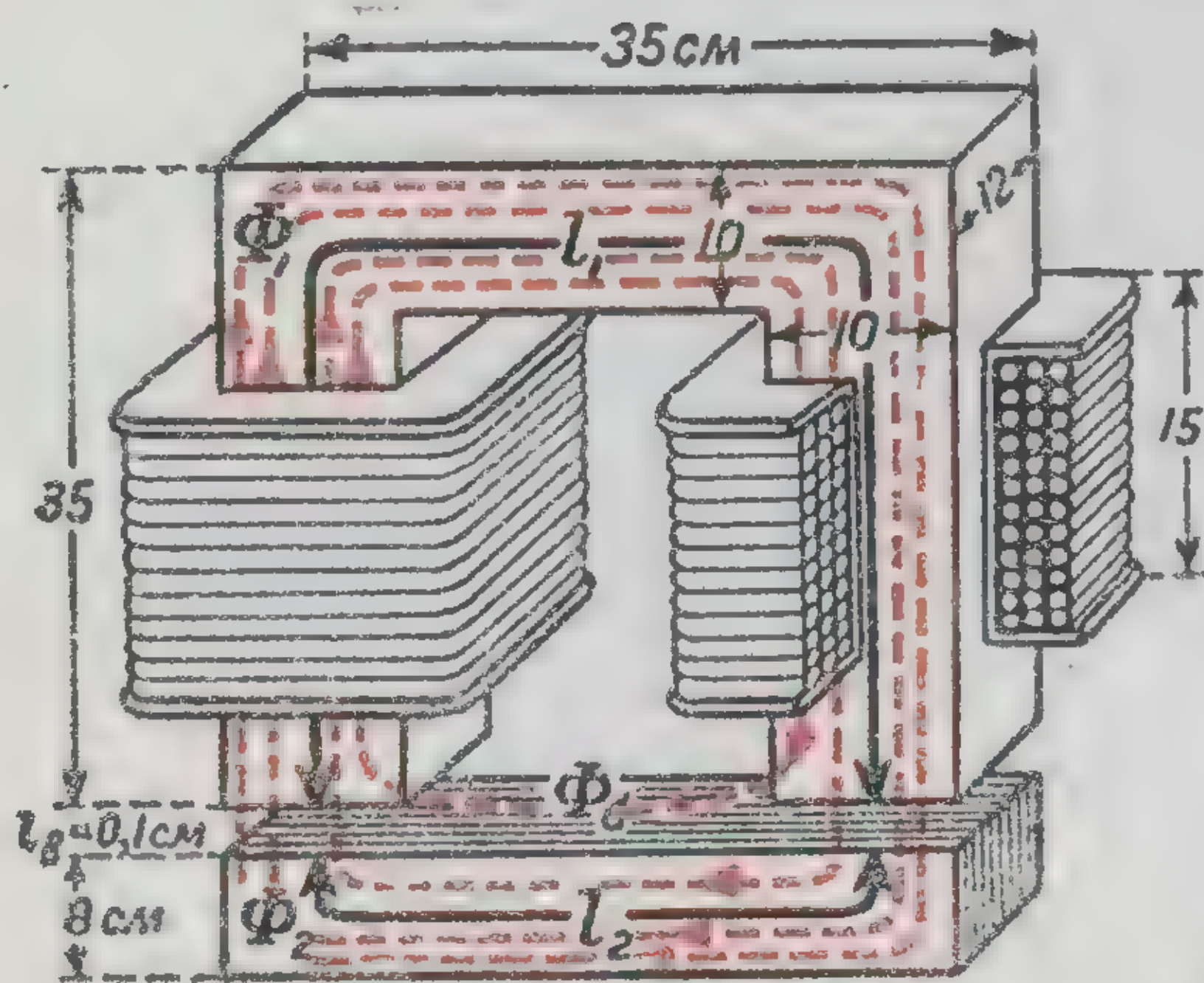
По кривой намагничивания (табл.12): $H_{ct} = f(B_{ct}) = f(10000) = 3 \frac{\text{а}}{\text{см}}$;

$H_g = 0,8 \text{ в-сек} = 8000 \frac{\text{а}}{\text{см}}$; $Iw = \sum Hl = H_{ct} l_{ct} + H_g 2l_g = 360 + 1600 = 1960 \text{ а}$.

При тех же ампервитках и отсутствии воздушного зазора: $H_{ct} = \frac{Iw}{l_{ct}} = \frac{1960}{120} = 16,3 \frac{\text{а}}{\text{см}}$; $B_{ct} = f(16,3) = 14350 \text{ гс}$

Пример

ЦЕПИ БЕЗ МАГНИТНОГО РАССЕЯНИЯ



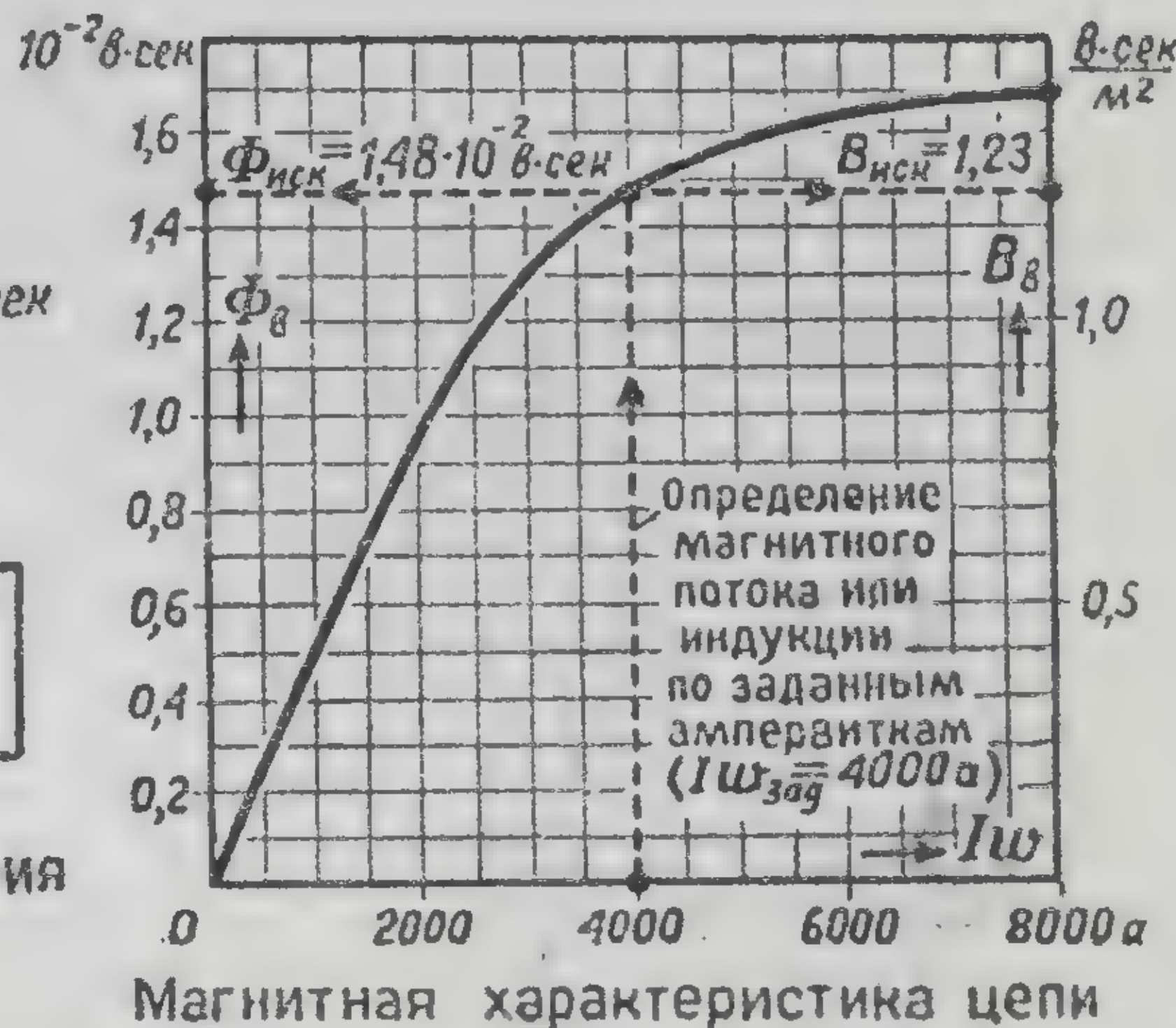
Неразветвленная цепь с магнитным рассеянием

$$\Phi_g = \Phi_1 - \Phi_2 \quad \text{в-сек}$$

Поток рассеяния

$$\sigma_{12} = \frac{\Phi_1}{\Phi_2} = 1 + \frac{\Phi_g}{\Phi_2}$$

Коэффициент магнитного рассеяния



Полный ток по заданному магнитному потоку (или индукции) определяется при помощи кривых намагничивания. Магнитный поток по заданным ампервиткам определяется из построенной для цепи магнитной характеристики

ПРИМЕР (см. рисунок): $l_1 = 25 \cdot 2 + 15 + \pi \cdot 5 = 80 \text{ см}$ (литая сталь); $S_1 = S_g = 10 \cdot 12 = 120 \text{ см}^2$; $l_2 = 15 + \pi \cdot 4 = 28 \text{ см}$ (сталь 31А); $S_2 = 8 \cdot 12 = 96 \text{ см}^2$; $2l_g = 0,2 \text{ см}$; $Iw = 4000 \text{ а}$.

Для ряда значений индукции B_g в воздушном зазоре определяют нужную величину полного тока:

$\Phi_2 = \Phi_g = B_g S_g$; $\Phi_1 = \Phi_2 \sigma_{12}$; $B_2 = \frac{\Phi_2}{S_2}$; $B_1 = \frac{\Phi_1}{S_1}$; $H_1 = f(B_1)$; $H_2 = f(B_2)$; $H_g = 0,8 B_g$; $Iw = \sum Hl = H_1 l_1 + H_2 l_2 + H_g \cdot 2l_g$.

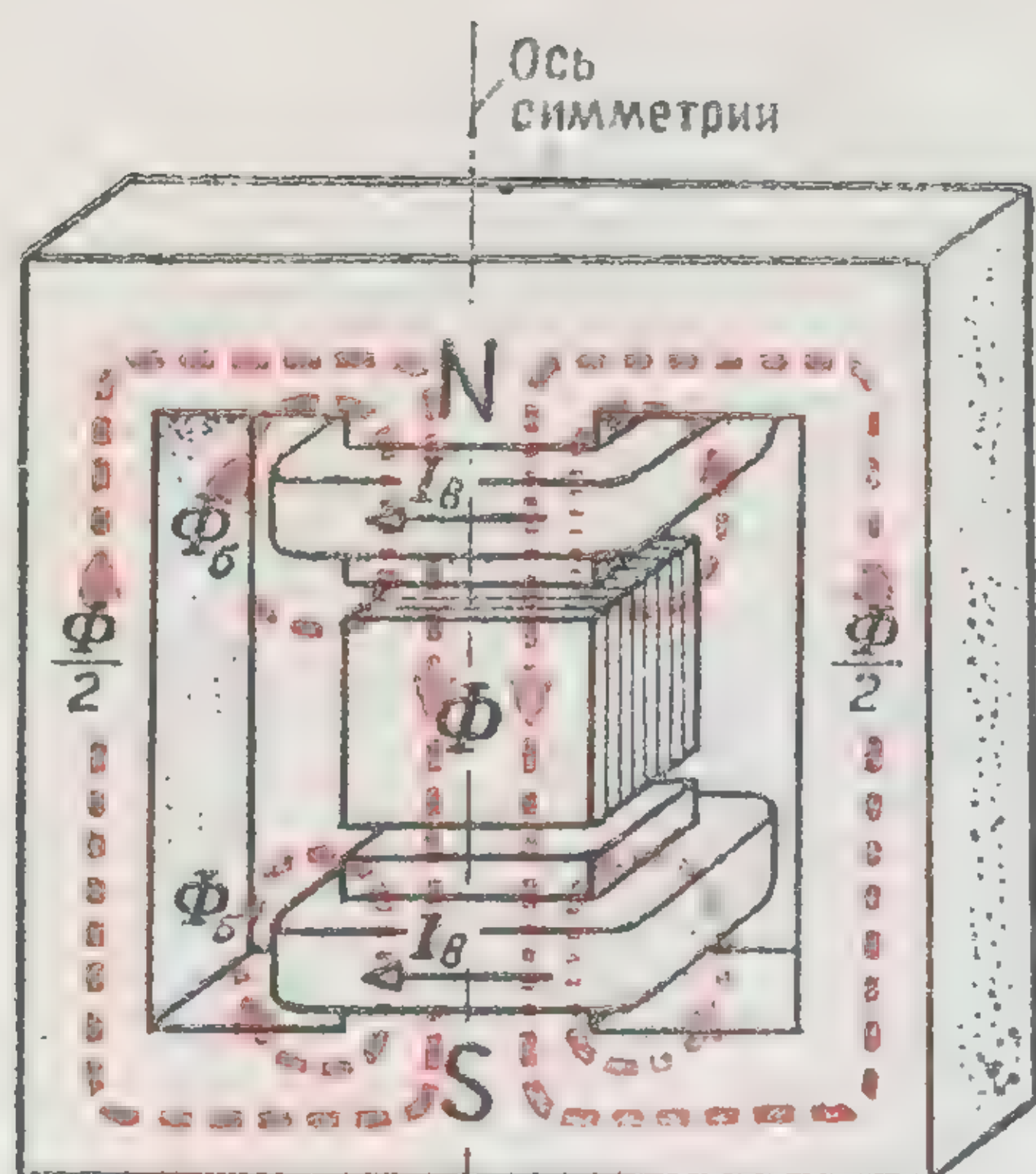
По результатам вычислений (см. таблицу) строят магнитную характеристику цепи.

№	Φ_1 в-сек	$\Phi_2 = \Phi_g$ в-сек	B_1 в-сек/м ²	B_2 в-сек/м ²	B_g в-сек/м ²	H_1 а/см	H_2 а/см	H_g а/см	$H_1 l_1$ а	$H_2 l_2$ а	$H_g 2l_g$ а	Iw а
1	$0,79 \cdot 10^{-2}$	$0,72 \cdot 10^{-2}$	0,66	0,75	0,6	5,44	2,09	4800	440	58,5	960	1458
2	$1,06 \cdot 10^{-2}$	$0,96 \cdot 10^{-2}$	0,88	1,0	0,8	7,76	4,08	6400	625	114	1280	2020
3	$1,32 \cdot 10^{-2}$	$1,2 \cdot 10^{-2}$	1,1	1,25	1,0	10,9	7,03	8000	880	198	1600	2680
4	$1,58 \cdot 10^{-2}$	$1,44 \cdot 10^{-2}$	1,32	1,5	1,2	16,7	17,3	9600	1350	485	1920	3755
5	$1,85 \cdot 10^{-2}$	$1,68 \cdot 10^{-2}$	1,54	1,75	1,4	33,2	82	11200	2700	2300	2240	7240

ЦЕПИ С МАГНИТНЫМ РАССЕЯНИЕМ

З.И.Расовский

РАЗВЕТВЛЕННАЯ МАГНИТНАЯ ЦЕПЬ

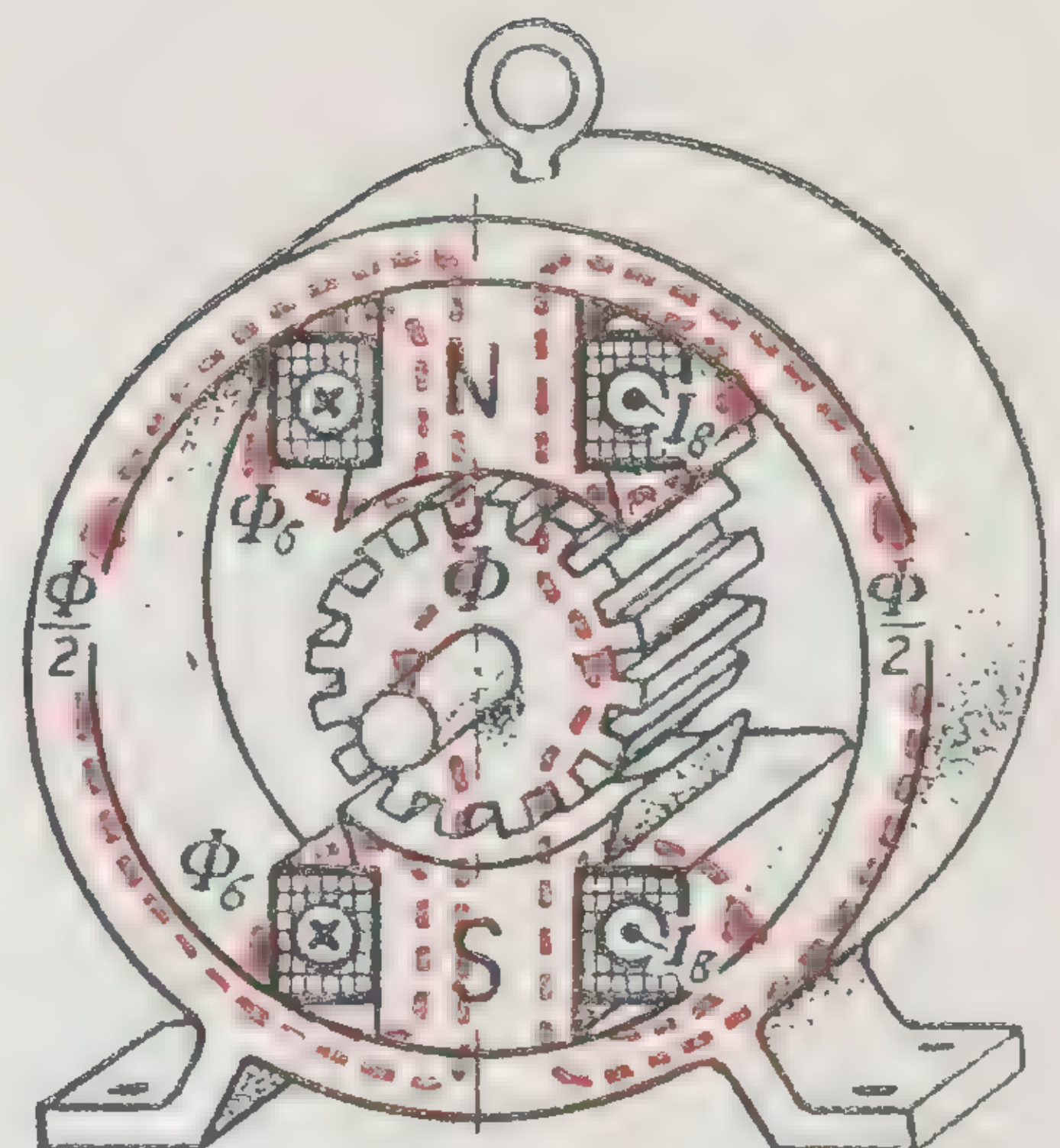


Разветвленная симметричная цепь

$$\sum_o \Phi = 0 \quad \text{в-сек}$$

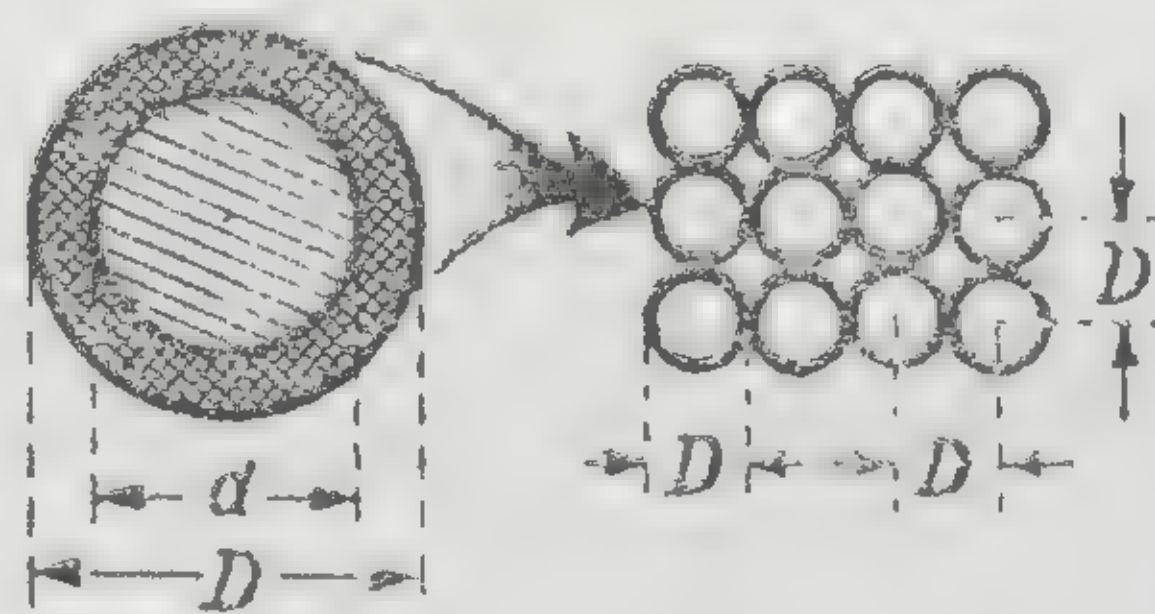
$$\sum_o Iw = \sum_o \Phi R_m \quad \alpha$$

Законы Кирхгофа для магнитной цепи



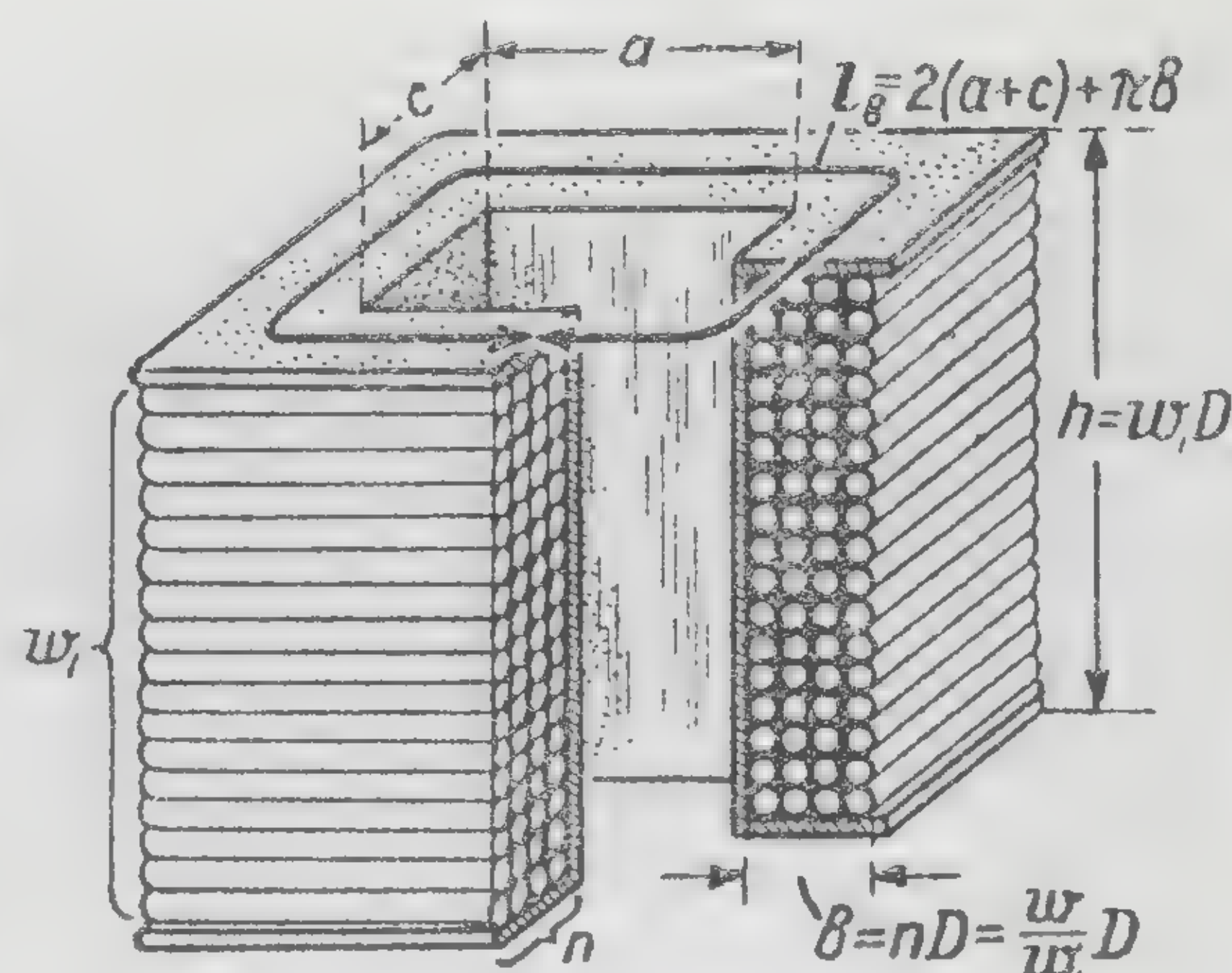
Разветвленная цепь двухполюсной машины

|| РАСЧЕТ СИММЕТРИЧНОЙ РАЗВЕТВЛЕННОЙ ЦЕПИ ||
|| ПРОИЗВОДЯТ ДЛЯ ОДНОЙ ИЗ ПАРАЛЛЕЛЬНЫХ ВЕТВЕЙ ||

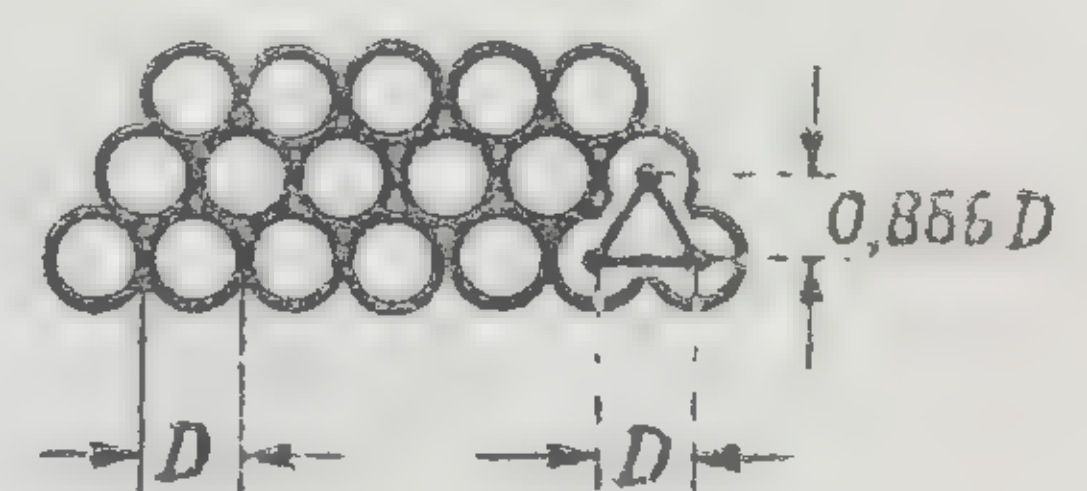


$$K_z = \frac{S_m}{S_{обм}} = \frac{\pi d^2 w}{4 \cdot w D^2} = 0,782 \left(\frac{d}{D} \right)^2$$

Коэффициент заполнения обмотки медью при ШАГОВОЙ НАМОТКЕ



О Б М О Т К А



$$K_z = \frac{0,782}{0,866} \left(\frac{d}{D} \right)^2 = 0,9 \left(\frac{d}{D} \right)^2$$

Коэффициент заполнения обмотки медью при ШАХМАТНОЙ НАМОТКЕ

$$l_{пр} = \frac{U}{E} = \frac{U}{\delta \gamma} \quad \text{м}$$

Длина обмоточного провода

$$\delta = \frac{S_{обм}}{h} = \frac{S_m}{h \cdot K_z} = \frac{Iw}{\delta \cdot K_z \cdot h} \quad \text{мм}$$

Толщина обмотки

$$w = \frac{l_{пр}}{l_g} = \frac{l_{пр}}{2(a+c) + \pi \delta} \quad \text{витков}$$

Общее число витков

$$S_{пр} = \frac{I}{\delta} = \frac{Iw}{w \cdot \delta} \quad \text{мм}^2$$

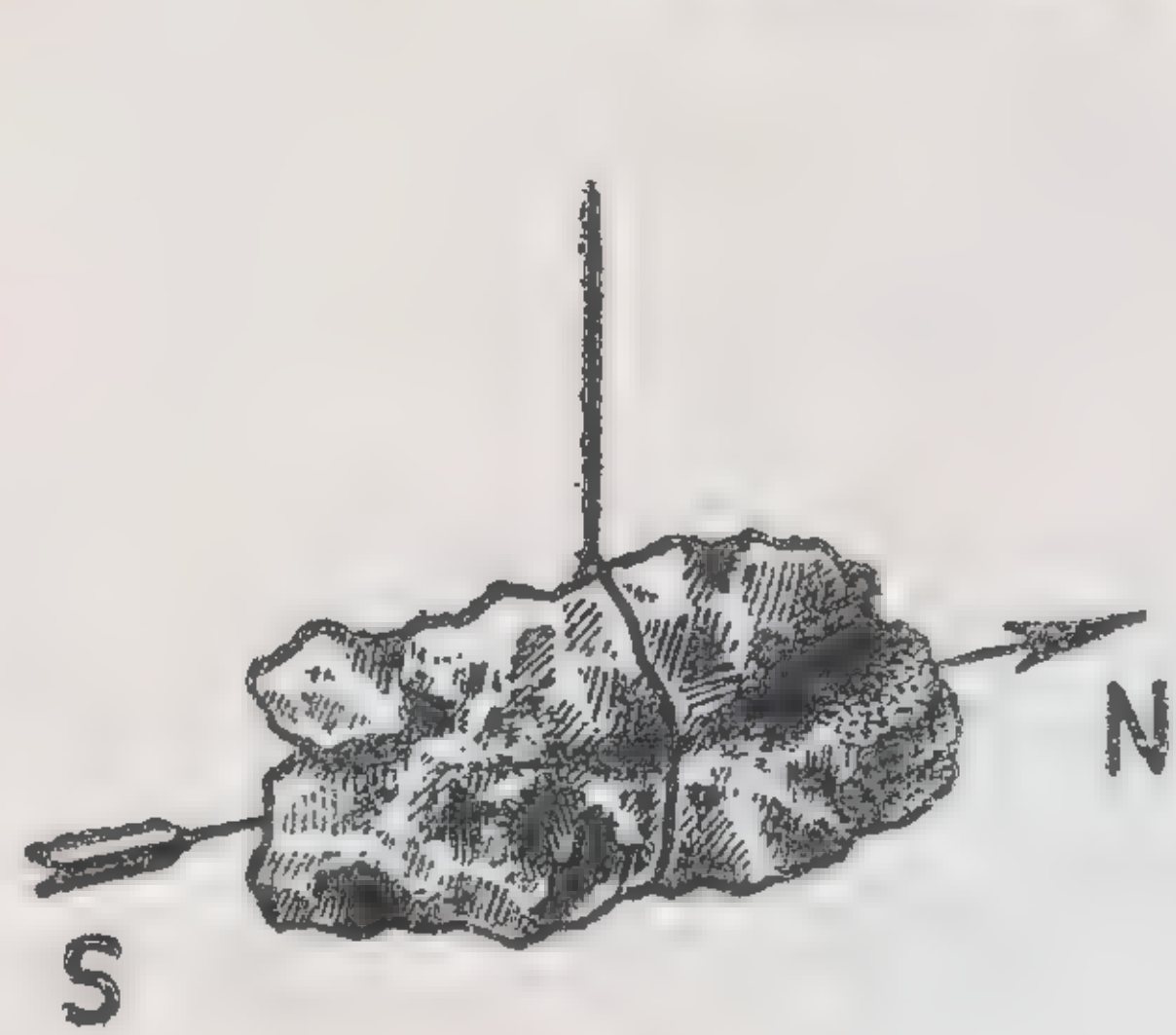
Сечение обмоточного провода

$Iw = 4000 \text{ а}; U = \frac{110}{2} = 55 \text{ в}; h = 15 \text{ см}; a = 10,5 \text{ см}; c = 12,5 \text{ см (ср. табл 15)}; \gamma = 57 \frac{\text{ом} \cdot \text{мм}^2}{\text{м}}.$
Задаваясь плотностью тока $\delta = 3 \frac{\text{а}}{\text{мм}^2}$ и коэффициентом заполнения обмотки $K_z = 0,5$ (шаговая намотка), получают:
 $l_{пр} = \frac{U}{\delta \gamma} = \frac{55 \cdot 57}{3} = 1045 \text{ м}; S_{обм} = \frac{S_m}{K_z} = \frac{Iw}{\delta \cdot K_z} = 26,7 \text{ см}^2; \delta = \frac{S_{обм}}{h} = 1,78 \text{ см}; l_g = 2(a+c) + \pi \delta = 0,516 \text{ м}; w = \frac{l_{пр}}{l_g} = 2020 \text{ витков};$
 $I = \frac{Iw}{w} = 1,98 \text{ а}; S_{пр} = \frac{I}{\delta} = 0,66 \text{ мм}^2.$ По стандарту: $S_{пр} = 0,679 \text{ мм}^2; d = 0,93 \text{ мм}; D = 0,93 + 0,12 = 1,05 \text{ мм (п50)}.$
УТОЧНЕНИЕ δ и K_z : $w = \frac{h}{\delta} = 143 \text{ витка}; \pi = \frac{w}{l_g} = 14 \text{ слоев}; \delta = \pi D = 1,48 \text{ см}; l_g = 2(a+c) + \pi \delta = 0,5065 \text{ м}; l_{пр} = l_g \cdot w = 1023 \text{ м};$
 $\delta = \frac{U}{l_{пр} \gamma} = 3,08 \frac{\text{а}}{\text{мм}^2}; I = \delta S = 2,1 \text{ а}; P = UI = 115 \text{ Вт}; K_z = \frac{Iw \cdot S_{пр}}{h \cdot \delta} = 0,6$

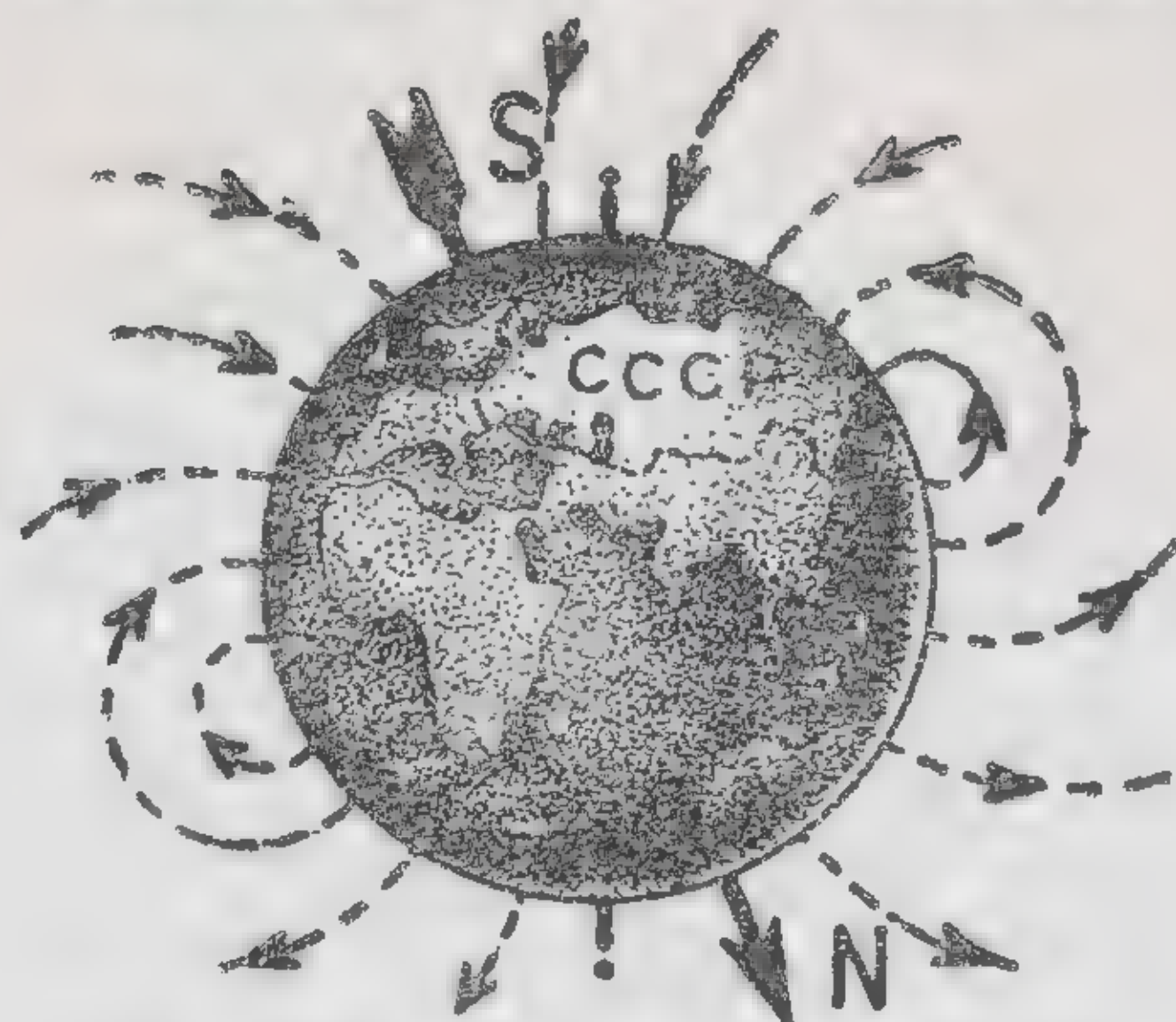
Пример

РАСЧЕТ ОБМОТКИ

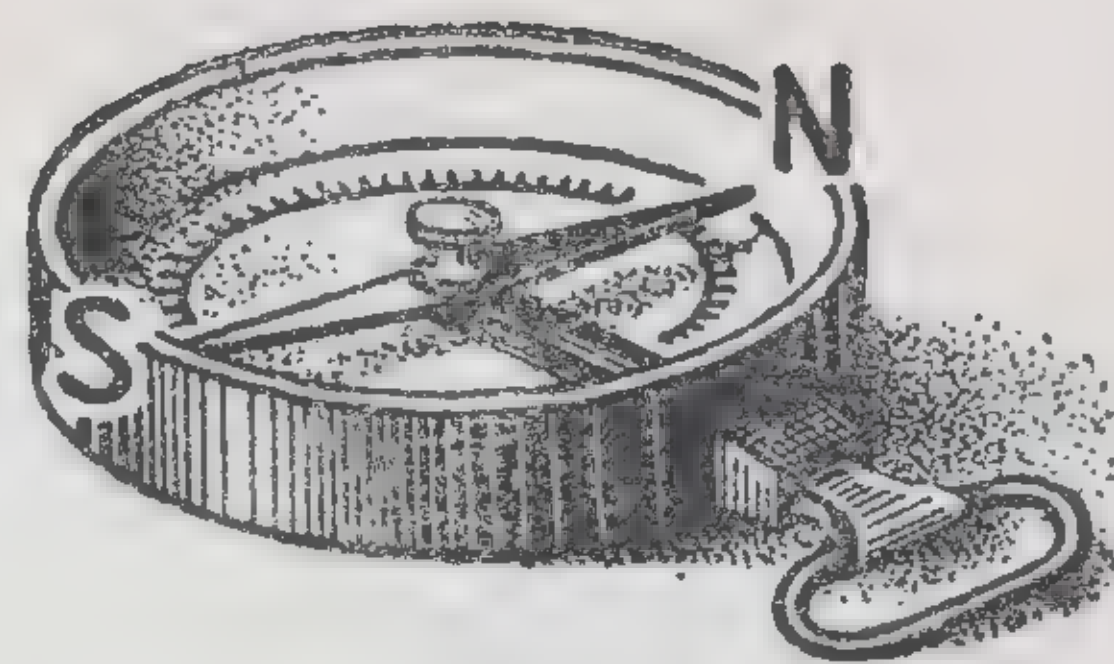
ПОСТОЯННЫЕ МАГНИТЫ



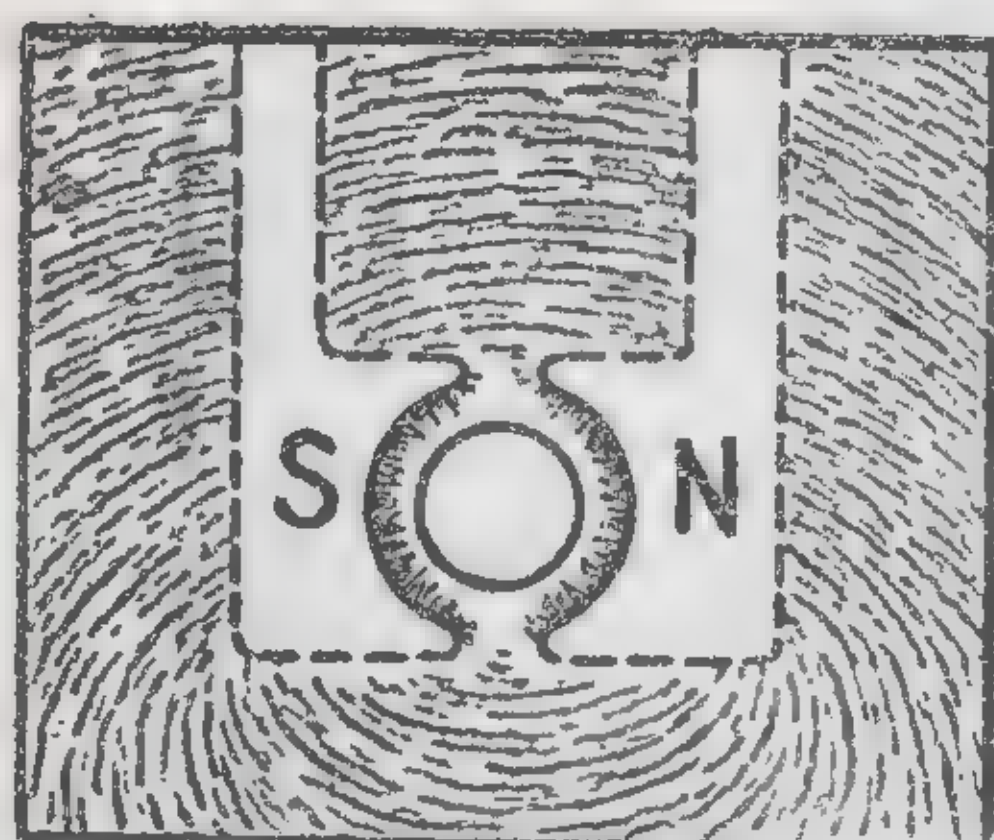
Магнитный железняк



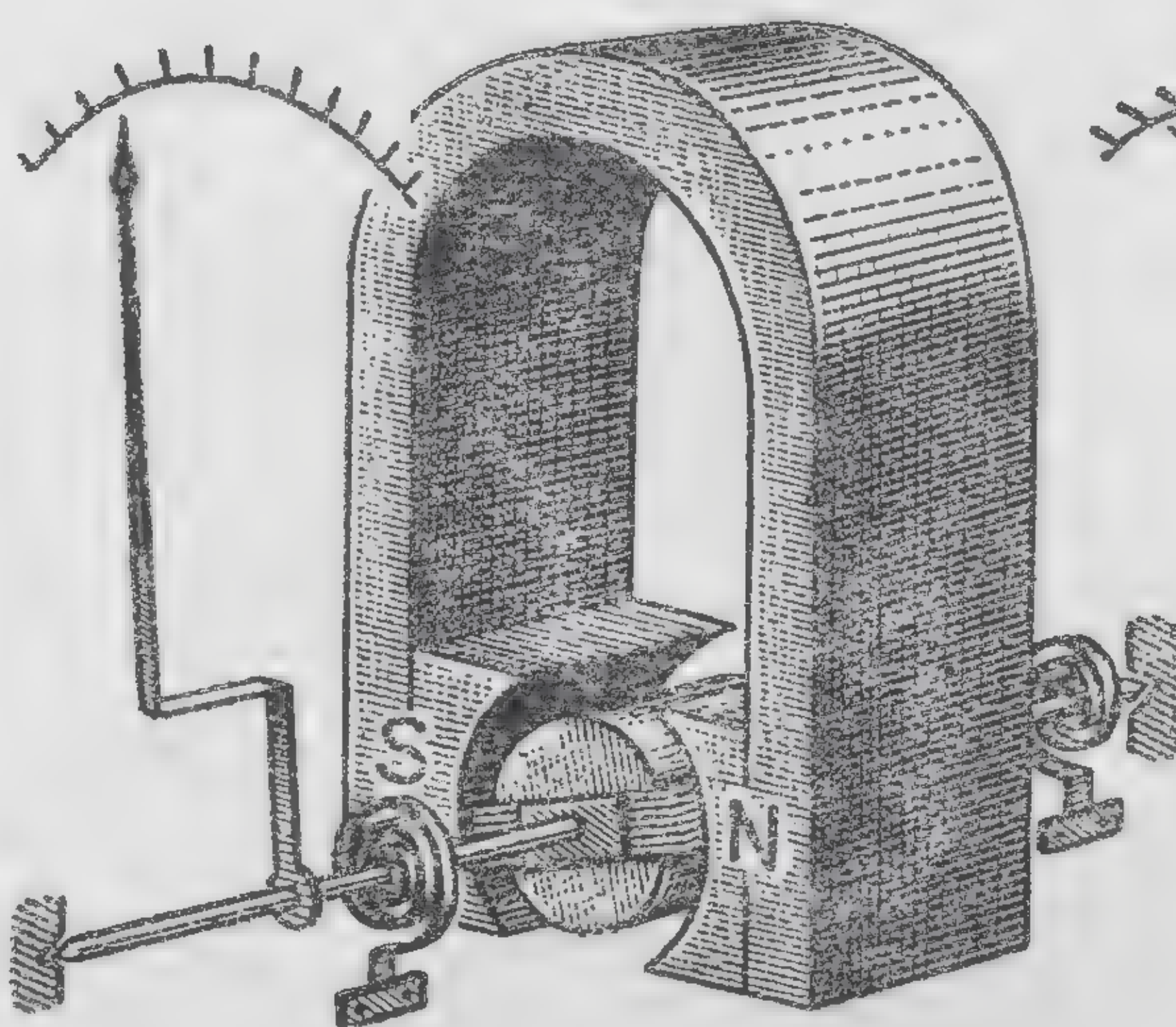
Магнитное поле земли



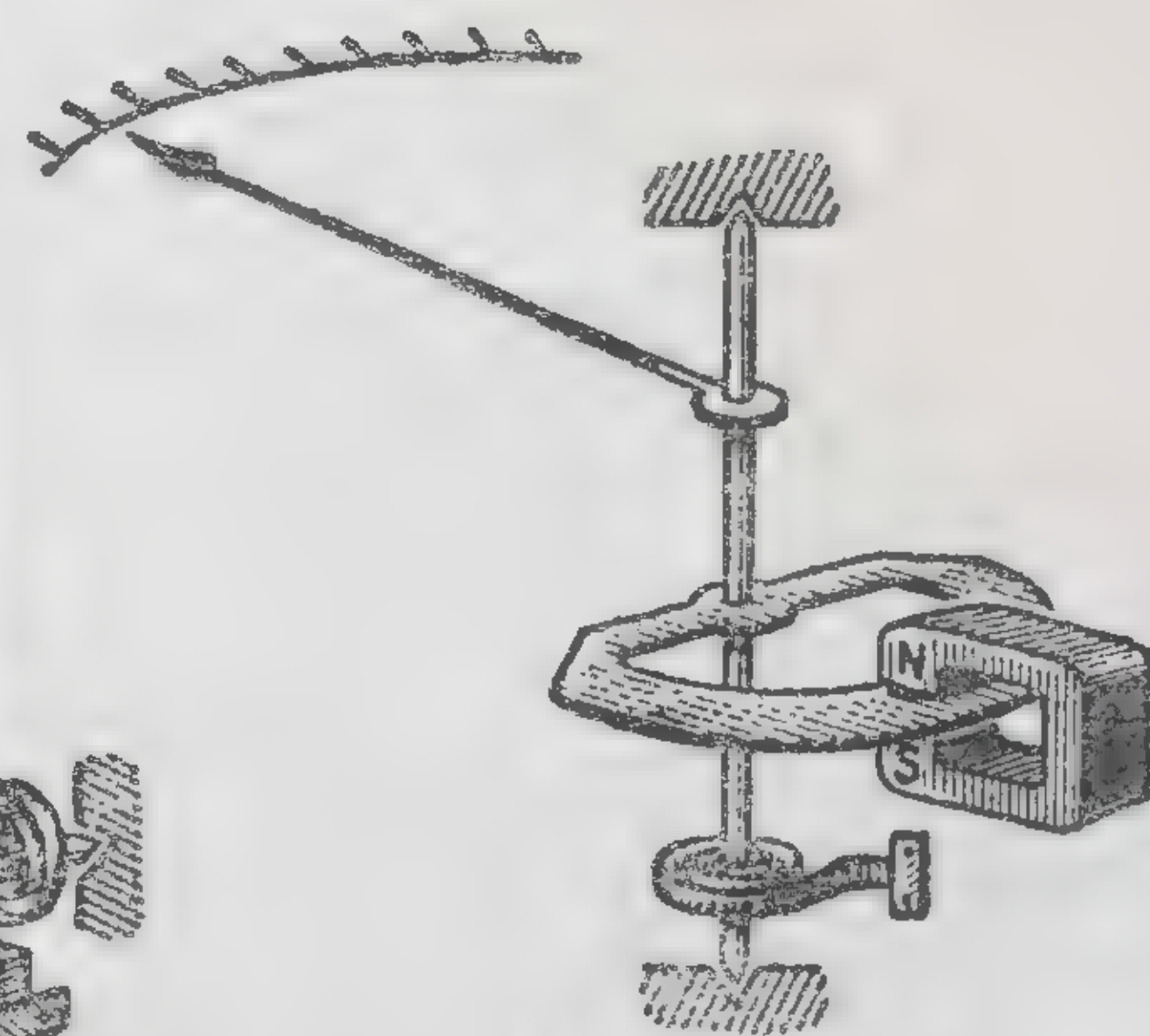
Компас



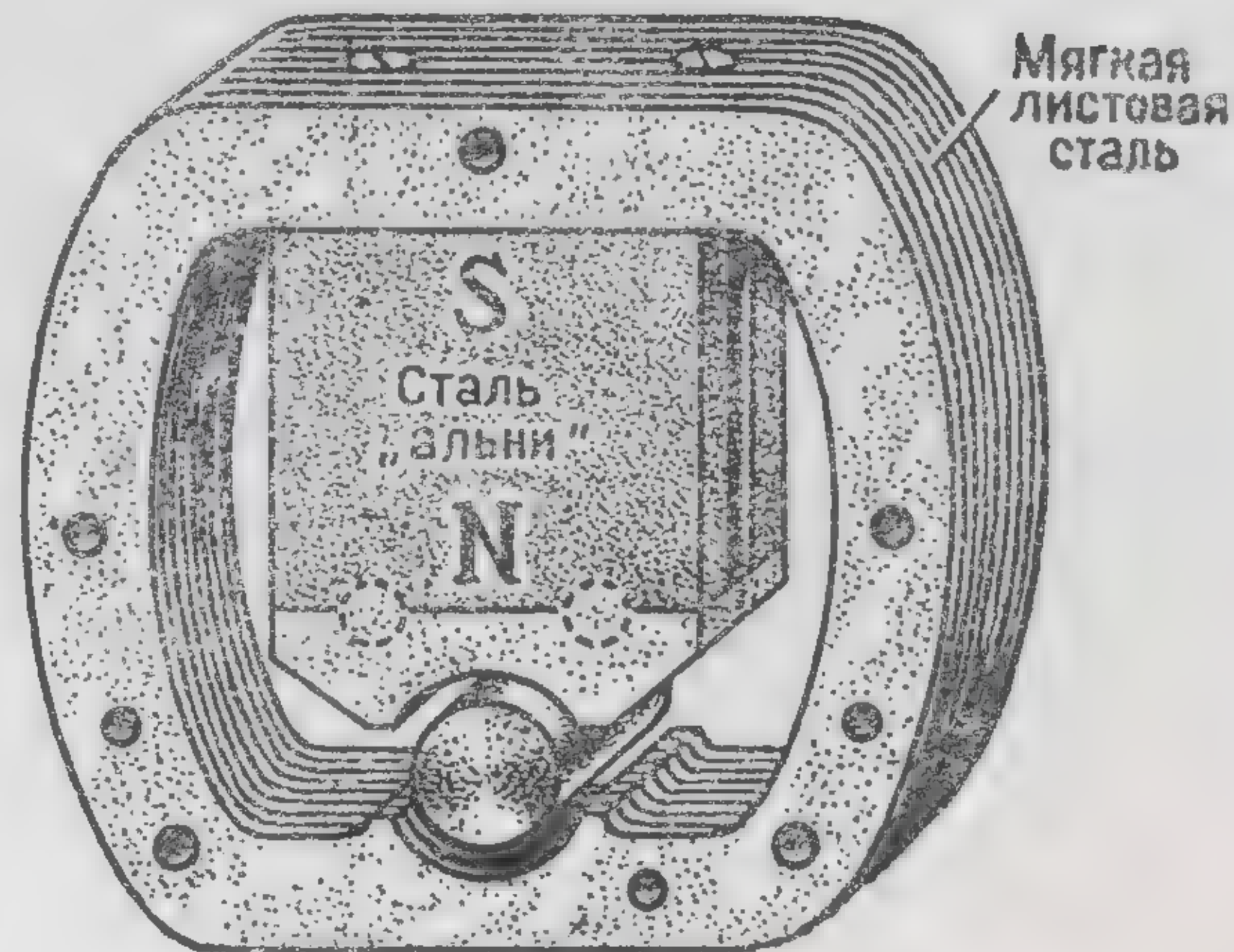
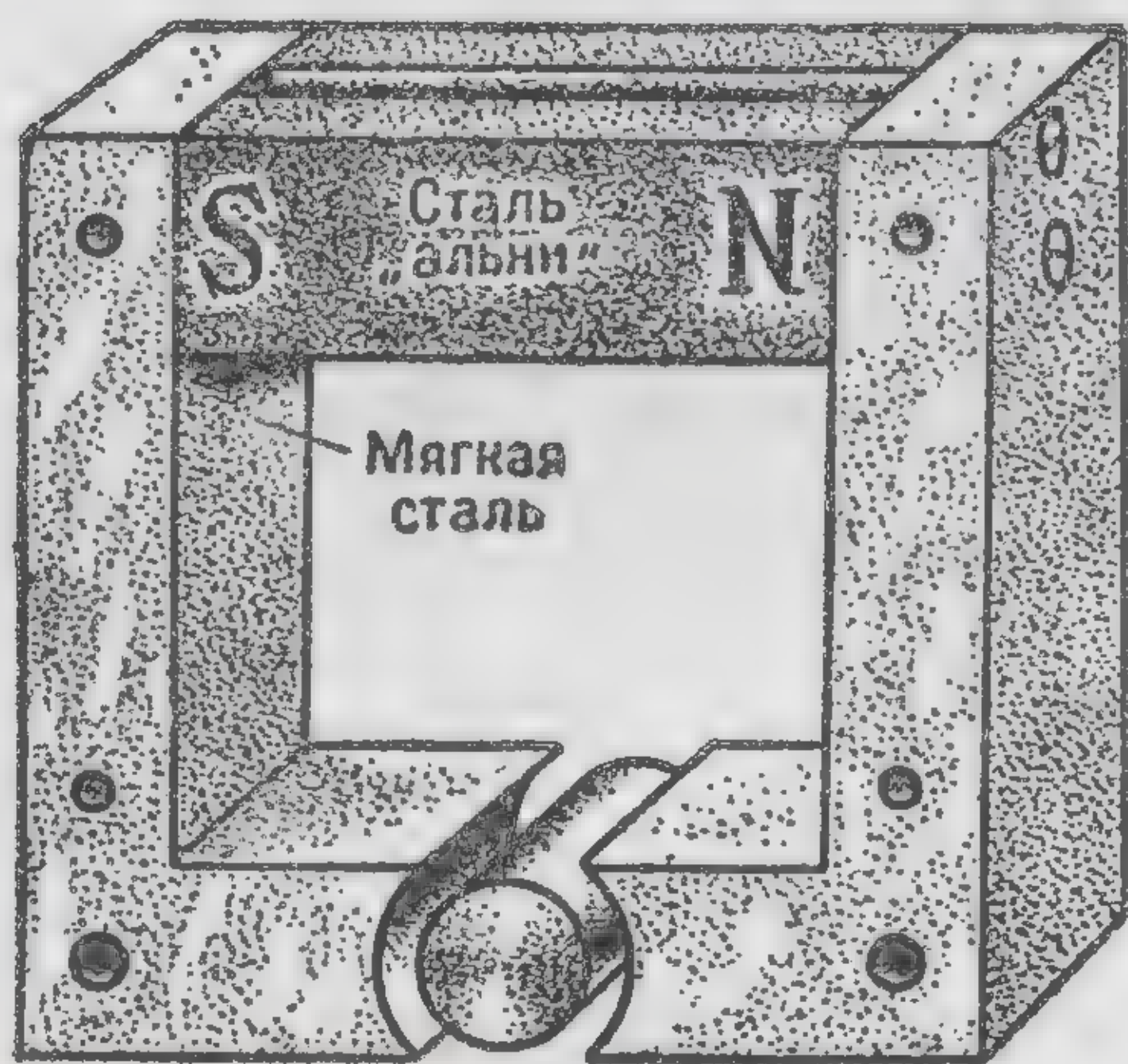
Спектр подковообразного магнита



Магнитоэлектрический измерительный прибор с подковообразным магнитом из хромистой стали



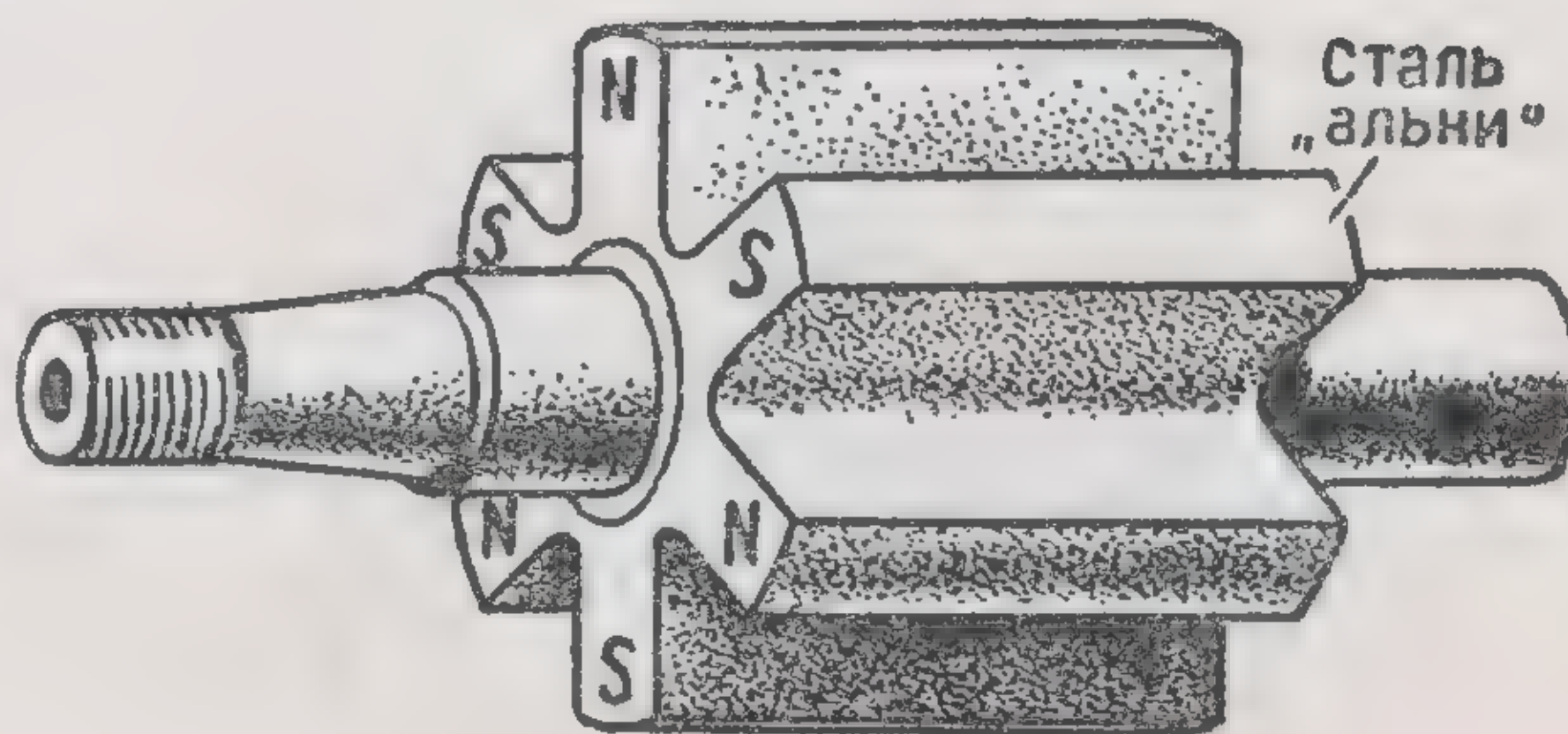
Магнитное успокоение



Магнитные системы магнитоэлектрических приборов с коротким магнитом



Двухполюсный ротор тракторного магнето СС-4



Шестиполюсный ротор от тракторного генератора переменного тока Г-30 на 60 вт

Э.И.Расовский

РАСЧЕТ ПОСТОЯННЫХ МАГНИТОВ



$l_b = 0,25 \text{ см}; \Phi_b = \Phi_{ct} = 1,4 \cdot 10^{-4} \text{ вб-сек}$

Сталь-магнито

$$\left[\begin{aligned} \left(\frac{BH}{2} \right)_{\text{макс}} &= \left(\frac{1,1 \cdot 34500}{2} \right) = 19000 \frac{\text{дж}}{\text{м}^3}; \\ l_{ct} &= l_b \frac{H_b}{H_{ct}} = 0,25 \frac{0,8 \cdot 10^6 \cdot 1,1}{34500} = 6,4 \text{ см}; \\ S_{ct} &= \frac{\Phi}{B_m} = 1,27 \text{ см}^2; V_{ct} = Sl = 8,14 \text{ см}^3 \end{aligned} \right]$$

Вольфрамовая сталь

$$\left[\begin{aligned} \left(\frac{BH}{2} \right)_{\text{макс}} &= \left(\frac{0,64 \cdot 3670}{2} \right) = 1175 \frac{\text{дж}}{\text{м}^3}; \\ l_{ct} &= 0,25 \frac{0,8 \cdot 10^6 \cdot 0,64}{3670} = 35 \text{ см}; \\ S_{ct} &= \frac{1,4 \cdot 10^{-4}}{0,64} = 2,19 \text{ см}^2; V_{ct} = 76,5 \text{ см}^3 \end{aligned} \right]$$

Пример

Определение размеров магнита по заданному магнитному потоку



$$H_{ct} = -H_b \frac{l_b}{l_{ct}} = -B_{ct} \frac{l_b}{\mu_0 l_{ct}} = -NB_{ct} \quad \frac{\text{а}}{\text{м}}$$

Напряженность поля в стали

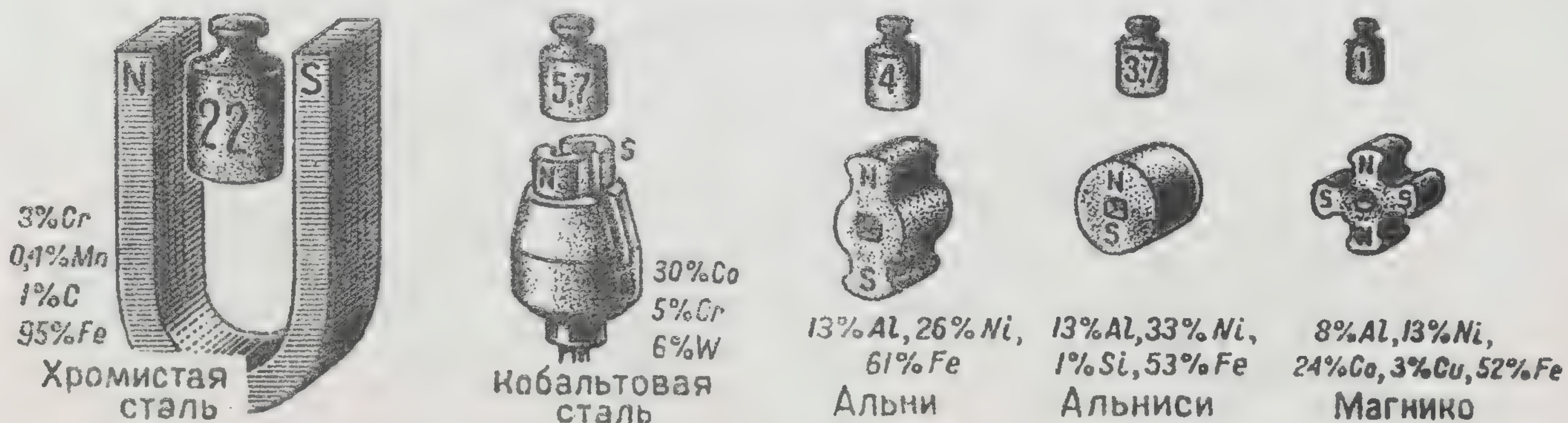
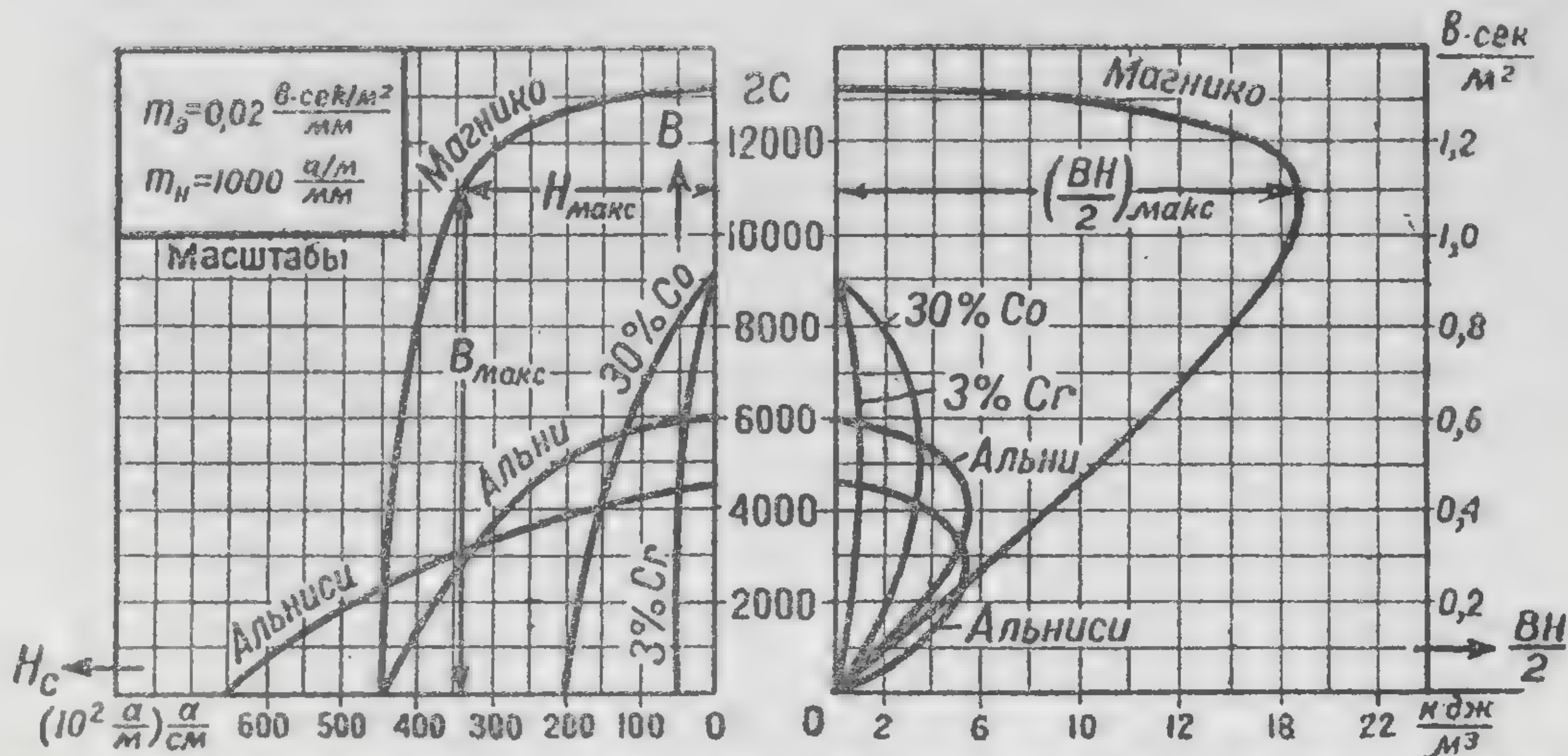
$$N_{ct} = \frac{H_{ct}}{B_{ct}} = \text{tg} \psi \frac{m_H}{m_b} \quad \frac{\text{а} \cdot \text{м}}{\text{вб-сек}}$$

Коэффициент размагничивания

$l_b = 0,25 \text{ см}; l_{ct} = 40 \text{ см}; B_r = 0,9 \frac{\text{вб-сек}}{\text{м}^2}; H_c = 4600 \frac{\text{а}}{\text{м}}$
(хромистая сталь, см. кривую).
 $N = \frac{l_b}{\mu_0 l_{ct}} = \frac{0,25 \cdot 10^6}{1,256 \cdot 40} = 5000; \text{tg} \psi = N \frac{m_b}{m_H} = 1; \psi = 45^\circ$
По кривой размагничивания: $B_{ct} = 0,6 \frac{\text{вб-сек}}{\text{м}^2}; H = 30 \frac{\text{а}}{\text{см}}$

Пример

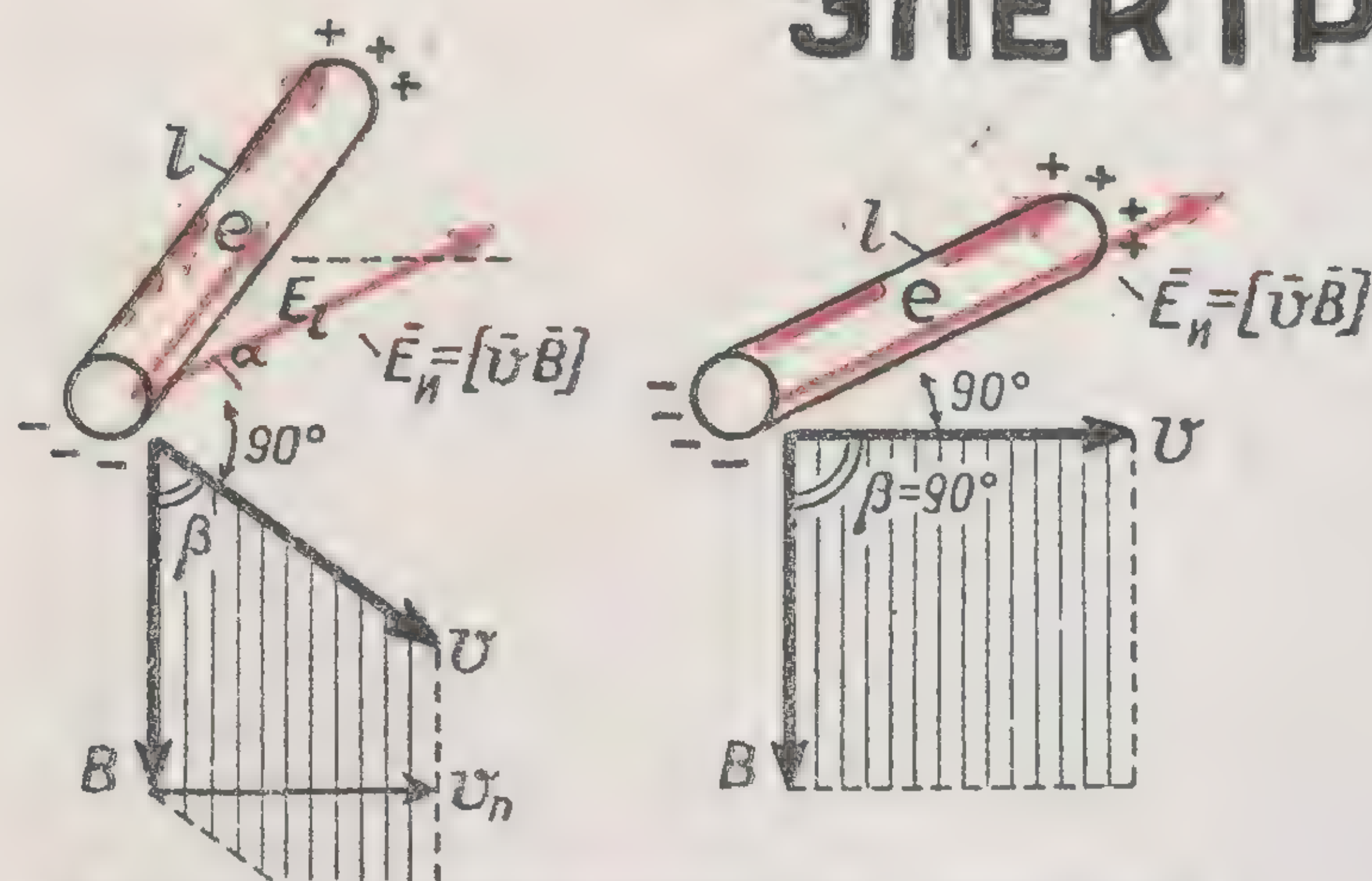
Определение магнитной индукции по заданным размерам магнита



Сравнительный вес постоянных магнитов из различных сплавов

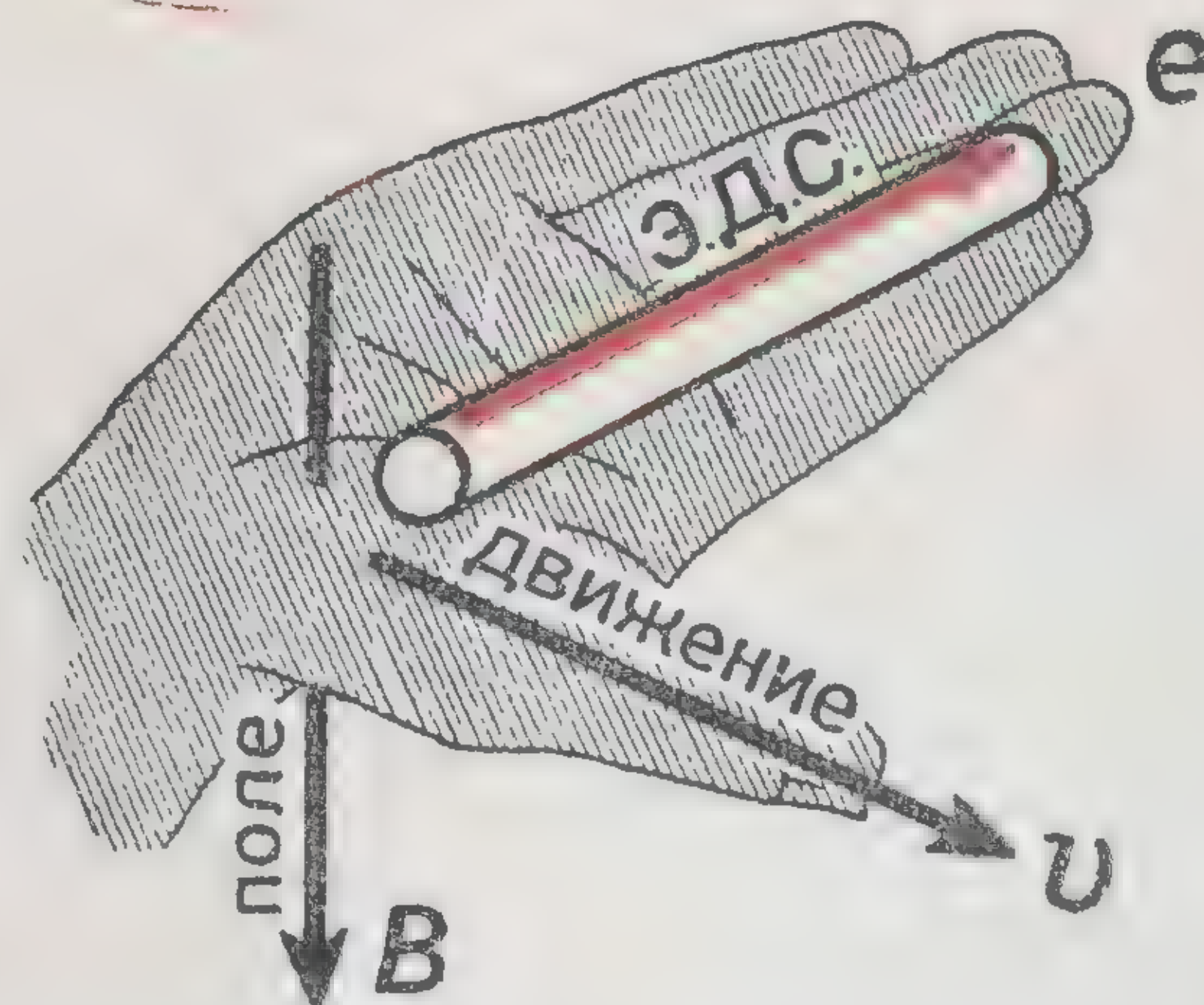
Э И Расовский

ЭЛЕКТРОМАГНИТНАЯ ИНДУКЦИЯ

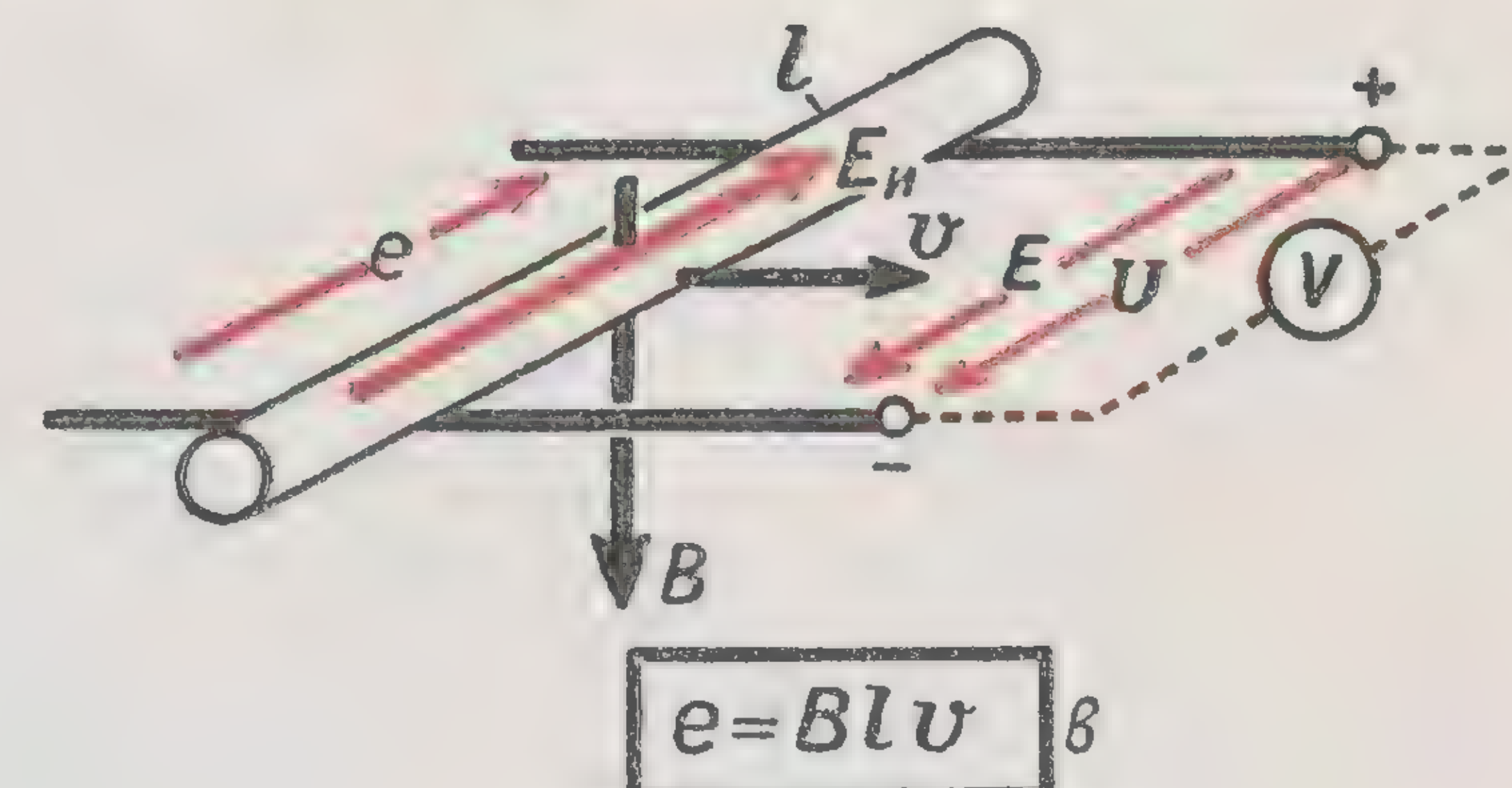


$$e = vB \sin \beta \cdot l \cos \alpha = E_n \cdot l \cos \alpha = E_i \cdot l; e = [\vec{v}\vec{B}] \vec{l} \quad \text{В}$$

Электродвижущая сила (э.д.с.), индуцируемая в отрезке проводника, движущегося в магнитном поле



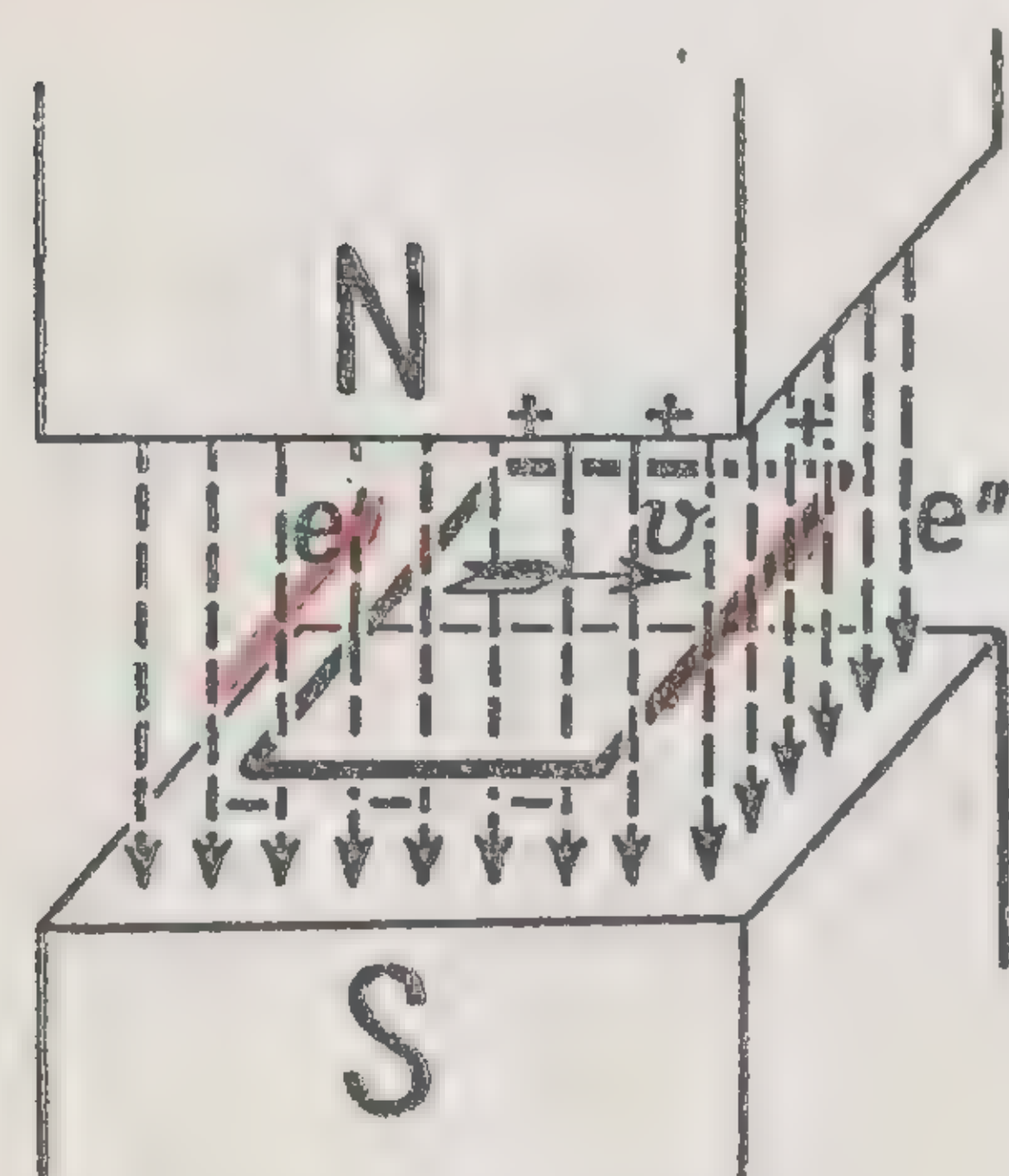
Определение направления индуцируемой э.д.с. по правилу ПРАВОЙ РУКИ



Индуктируемая э.д.с. ($\beta = 90^\circ; \alpha = 0$)

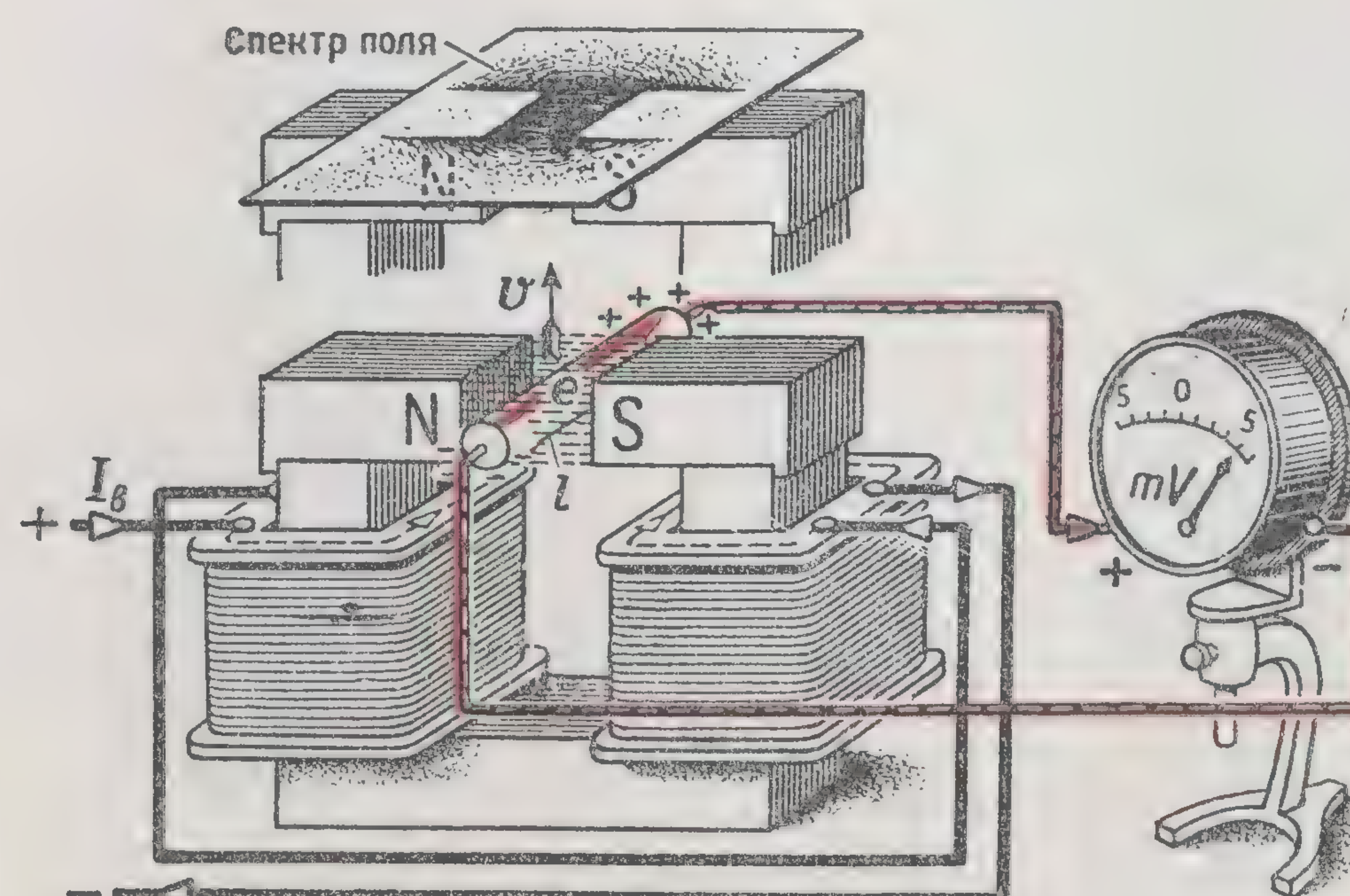
$$B = 1 \frac{\text{В} \cdot \text{сек}}{\text{М}^2}; v = 10 \frac{\text{М}}{\text{сек}}; l = 0,5 \text{ м}; e = Blv = 5 \text{ В}$$

Пример



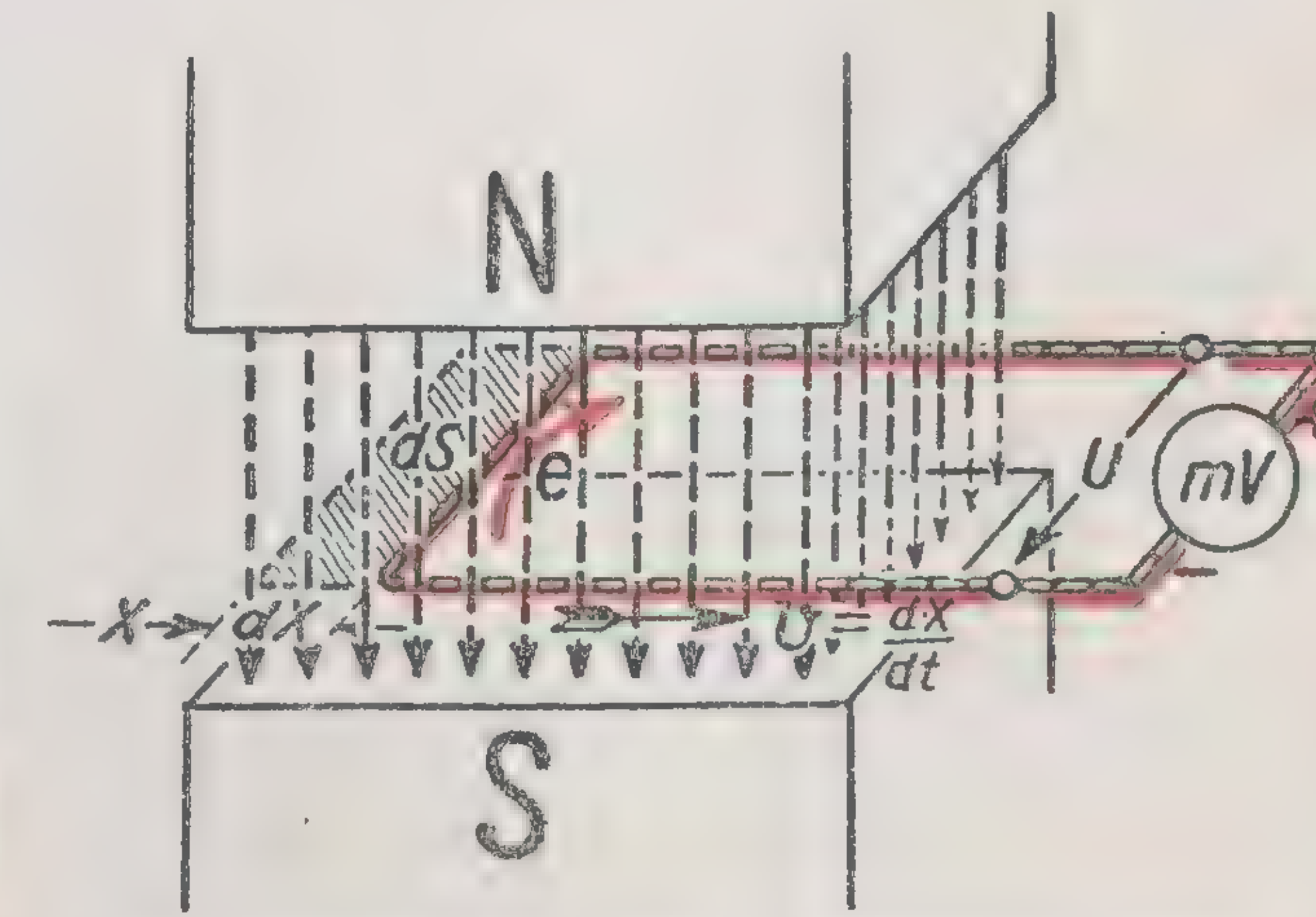
$$e' - e'' = 0 \quad \text{В}$$

Э.д.с., индуцируемая в движущемся контуре, охватывающем неизменный магнитный поток, равна нулю



Наведение э.д.с. в прямолинейном проводнике

Явление электромагнитной индукции открыто М.Фарадеем в 1831 г.

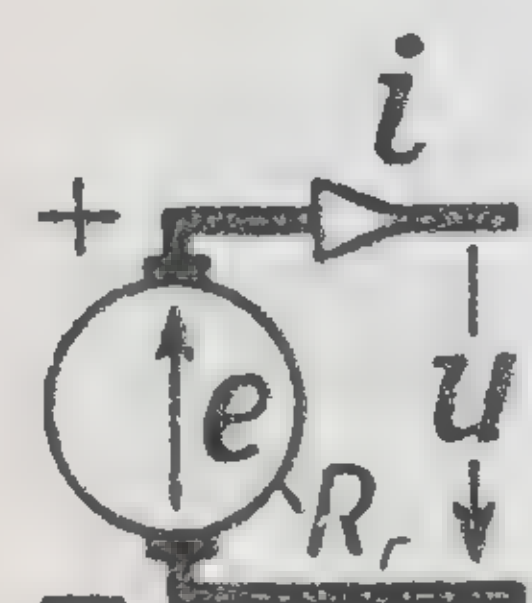
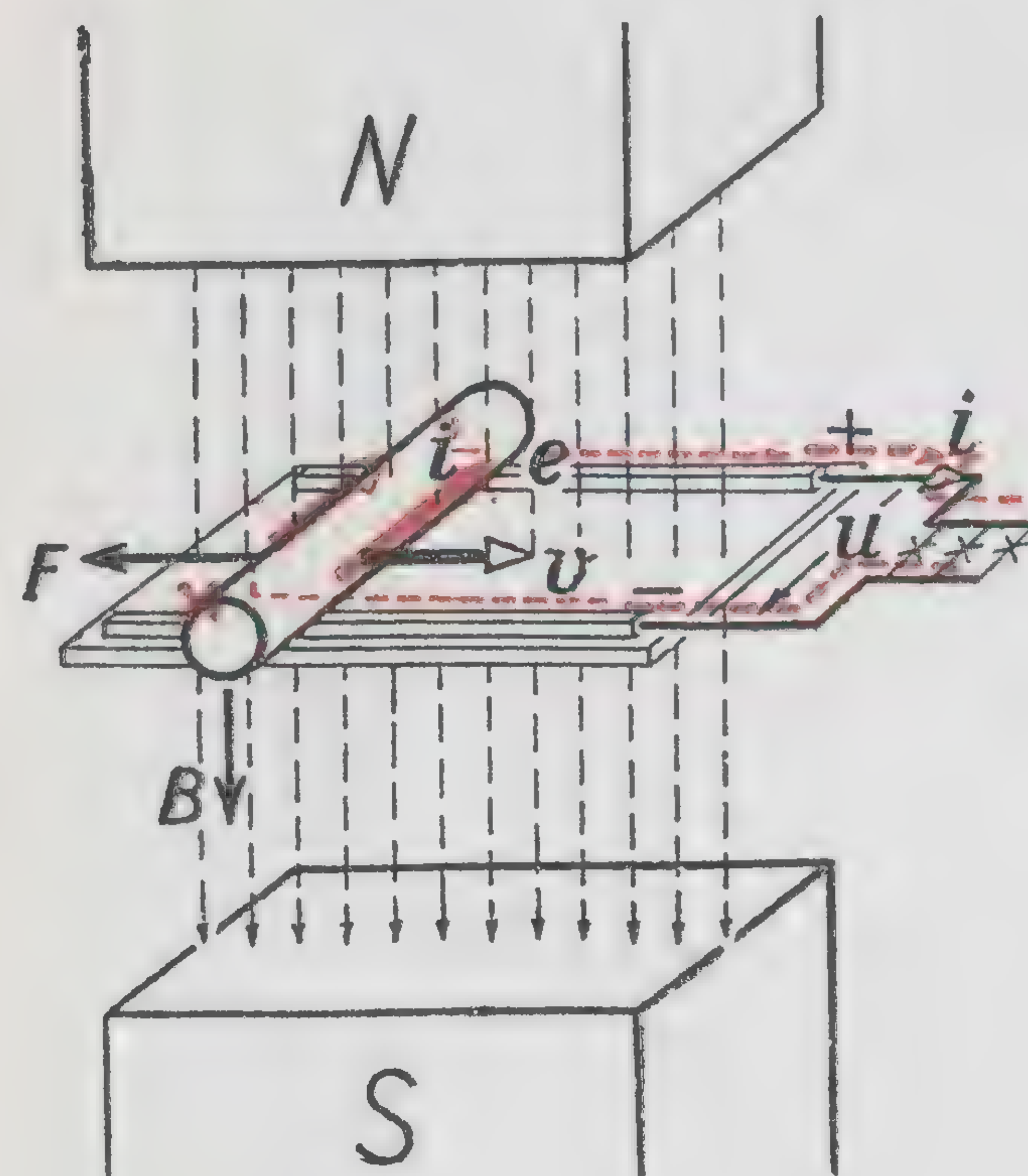


$$e = Blv = Bl \frac{dx}{dt} = B \frac{dS}{dt} = \frac{d\Phi}{dt} \quad \text{В}$$

Индуктируемая э.д.с. равна скорости пересечения (изменения) магнитного потока, охватываемого контуром

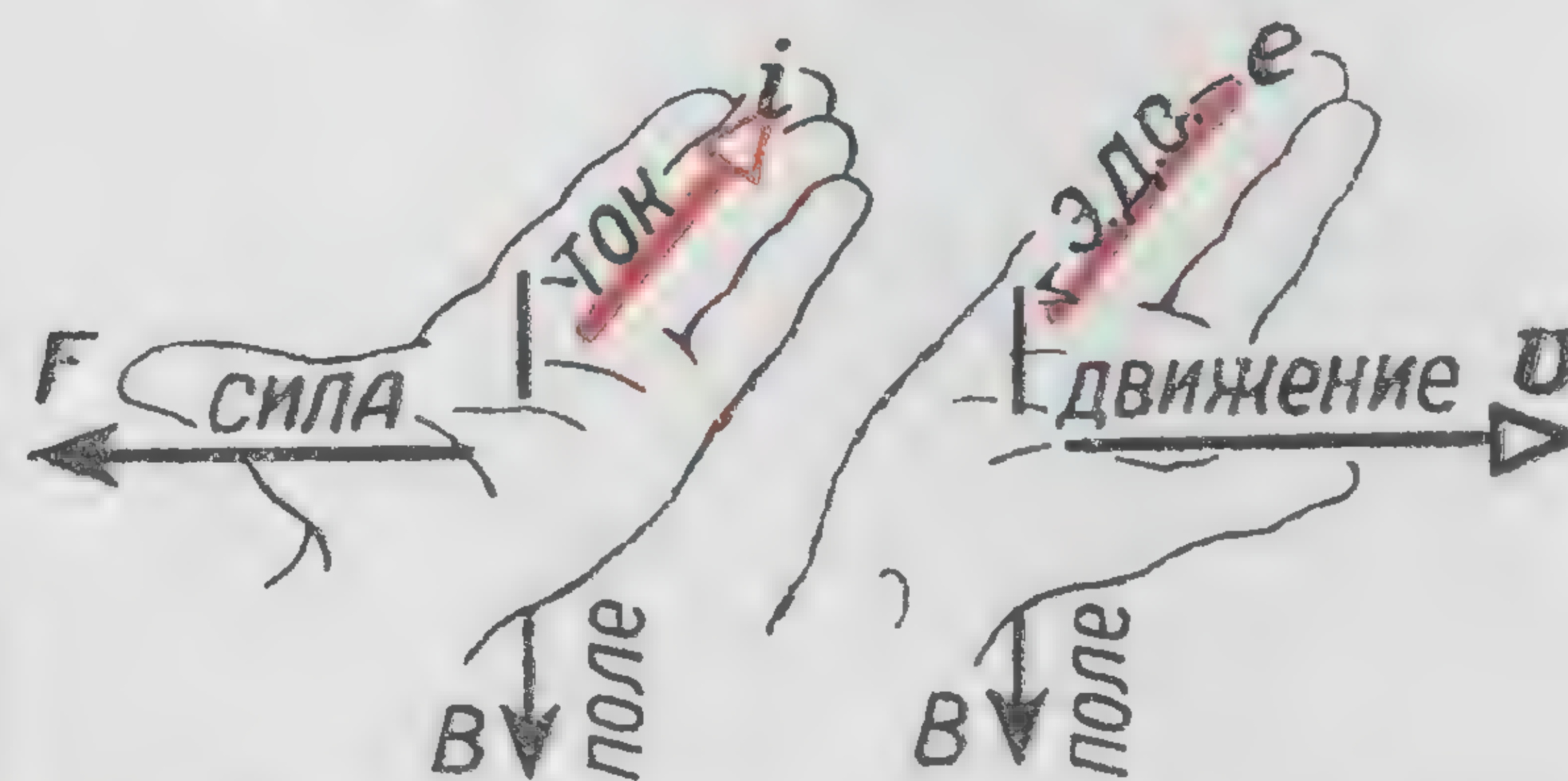
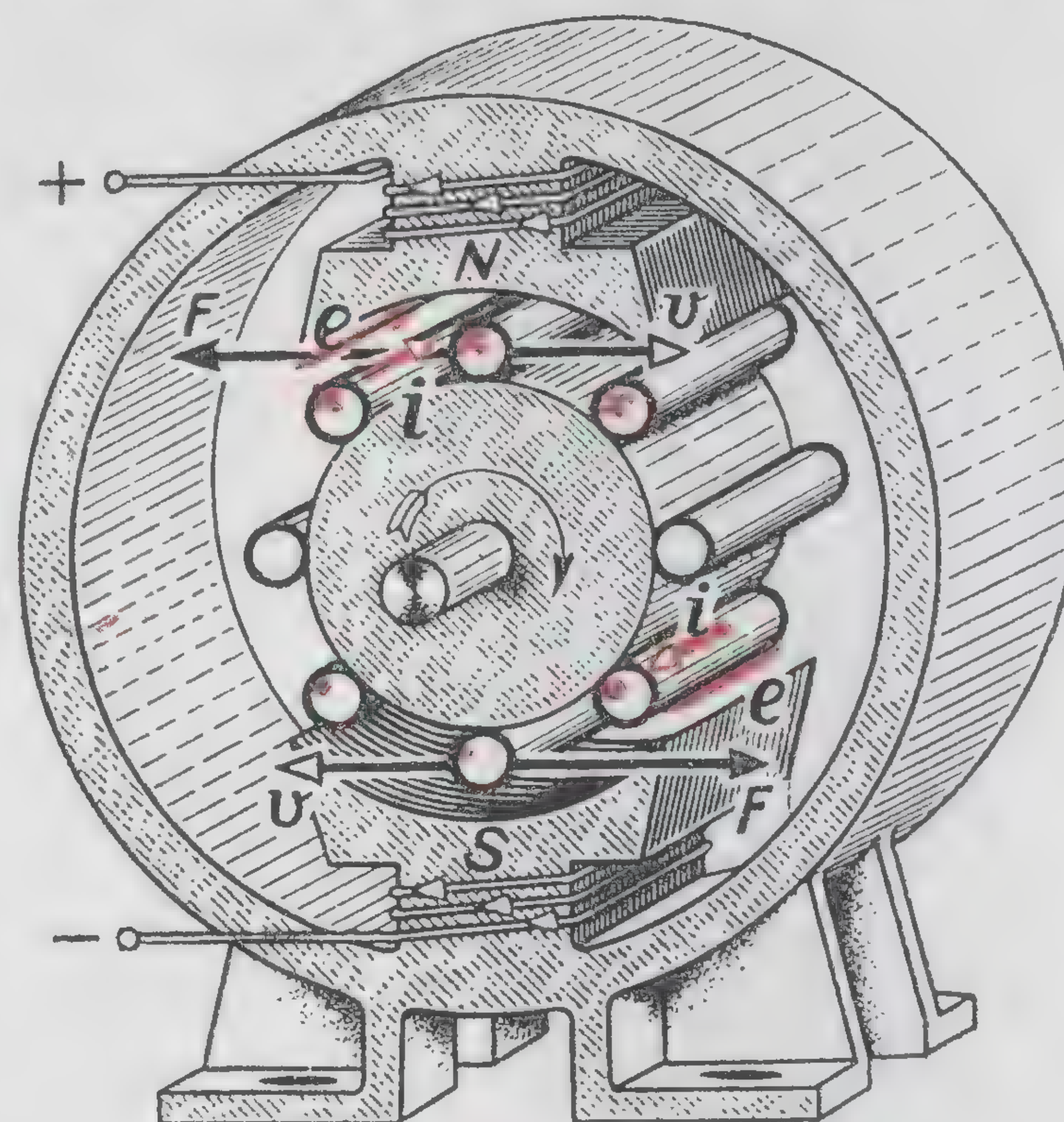
Э.И.Расовский.

ПРЕОБРАЗОВАНИЕ ЭНЕРГИИ В ЭЛЕКТРИЧЕСКОМ ГЕНЕРАТОРЕ

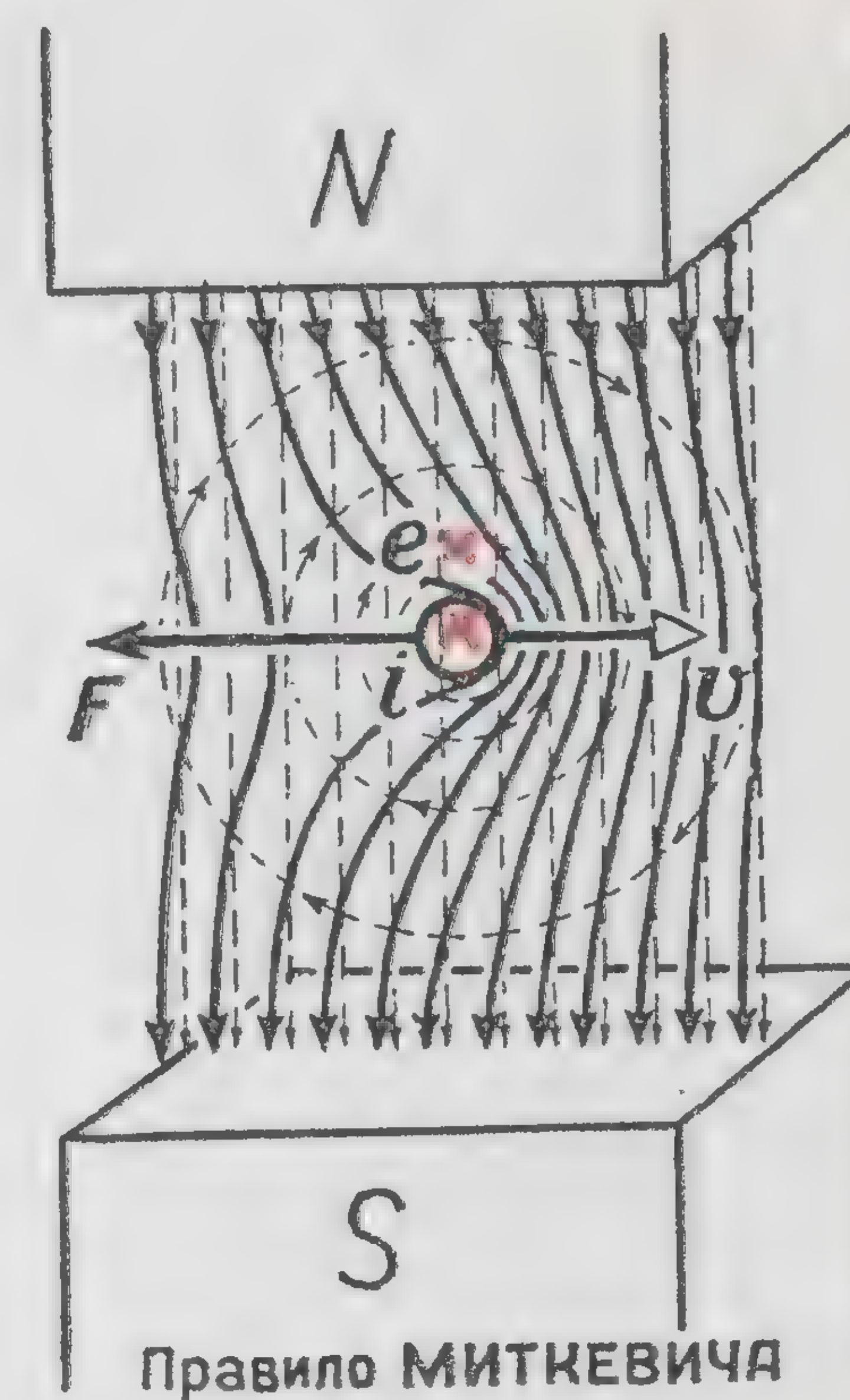


$$u = e_r - iR_r \quad \text{В}$$

Напряжение на зажимах генератора меньше развиваемой им э.д.с. на величину падения напряжения в его сопротивлении



Применение правил правой и левой руки к работе генератора

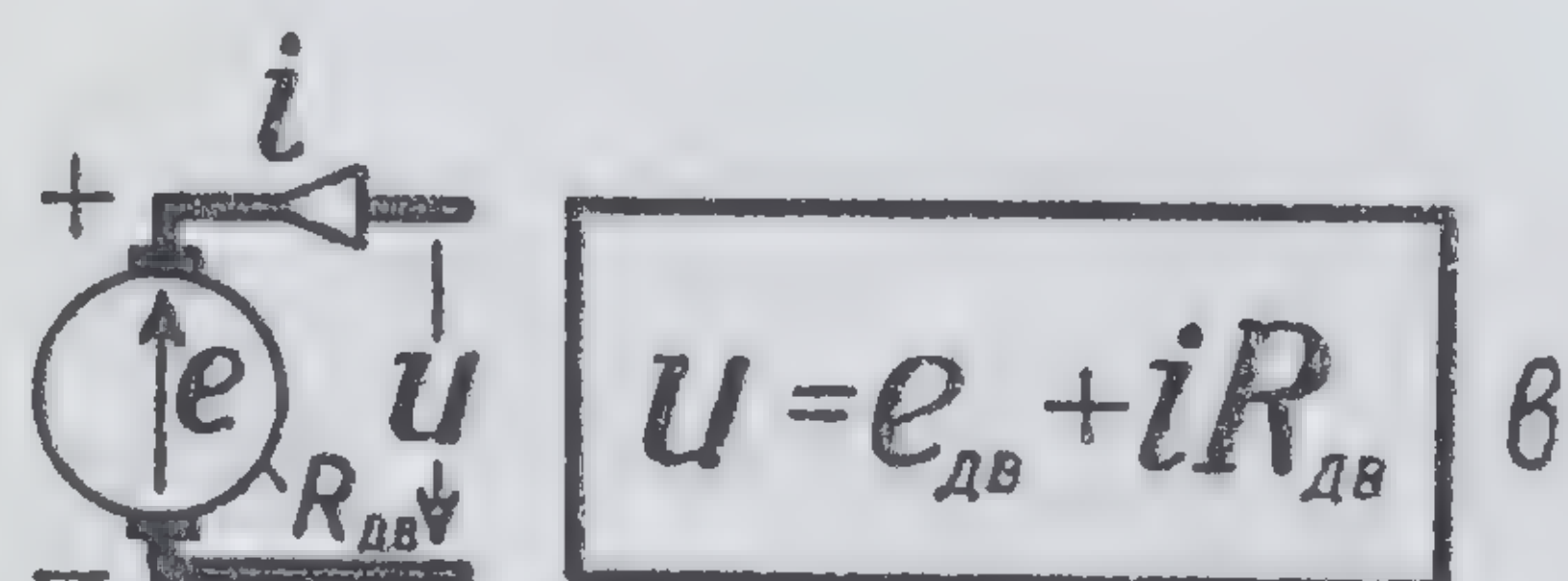
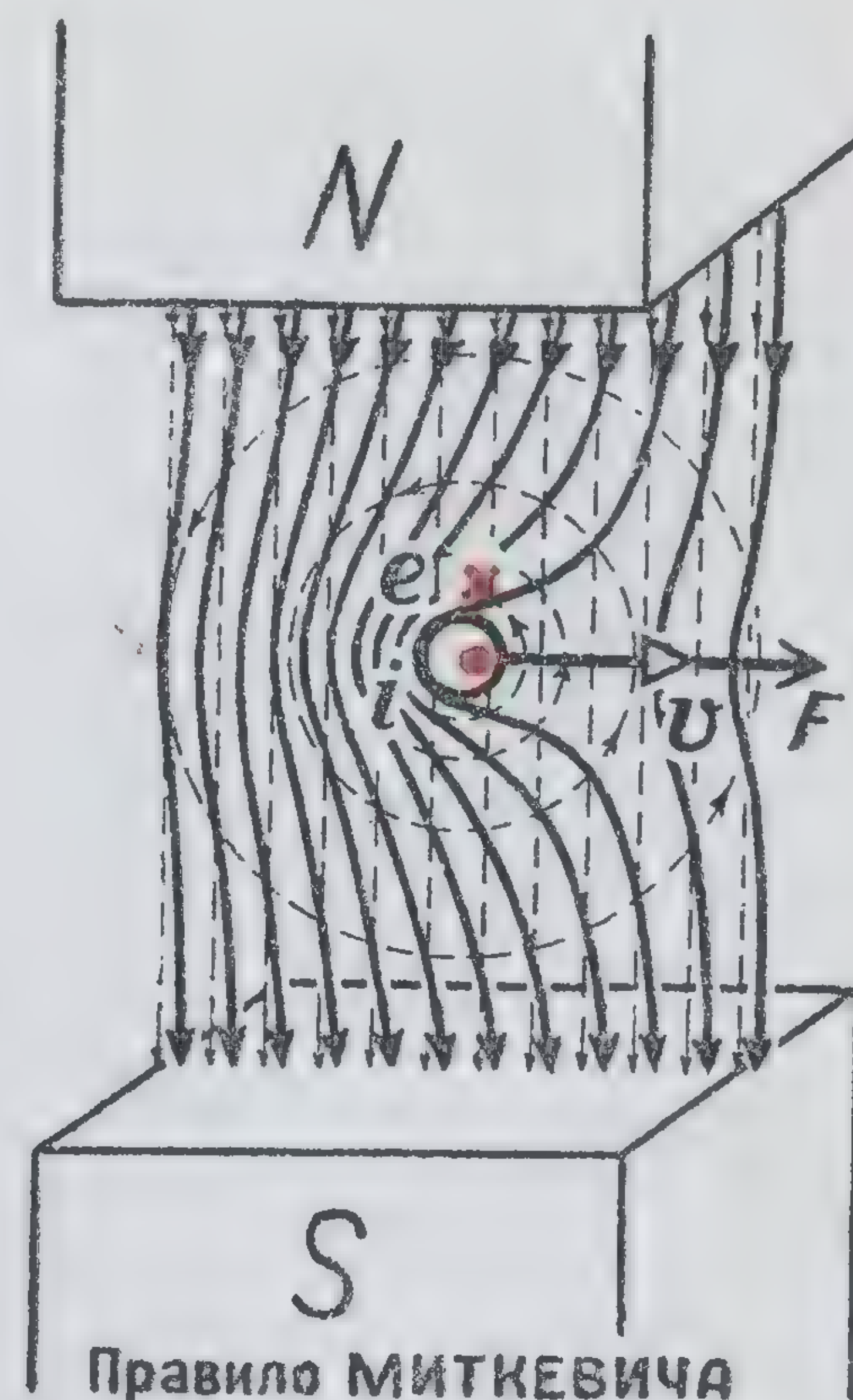
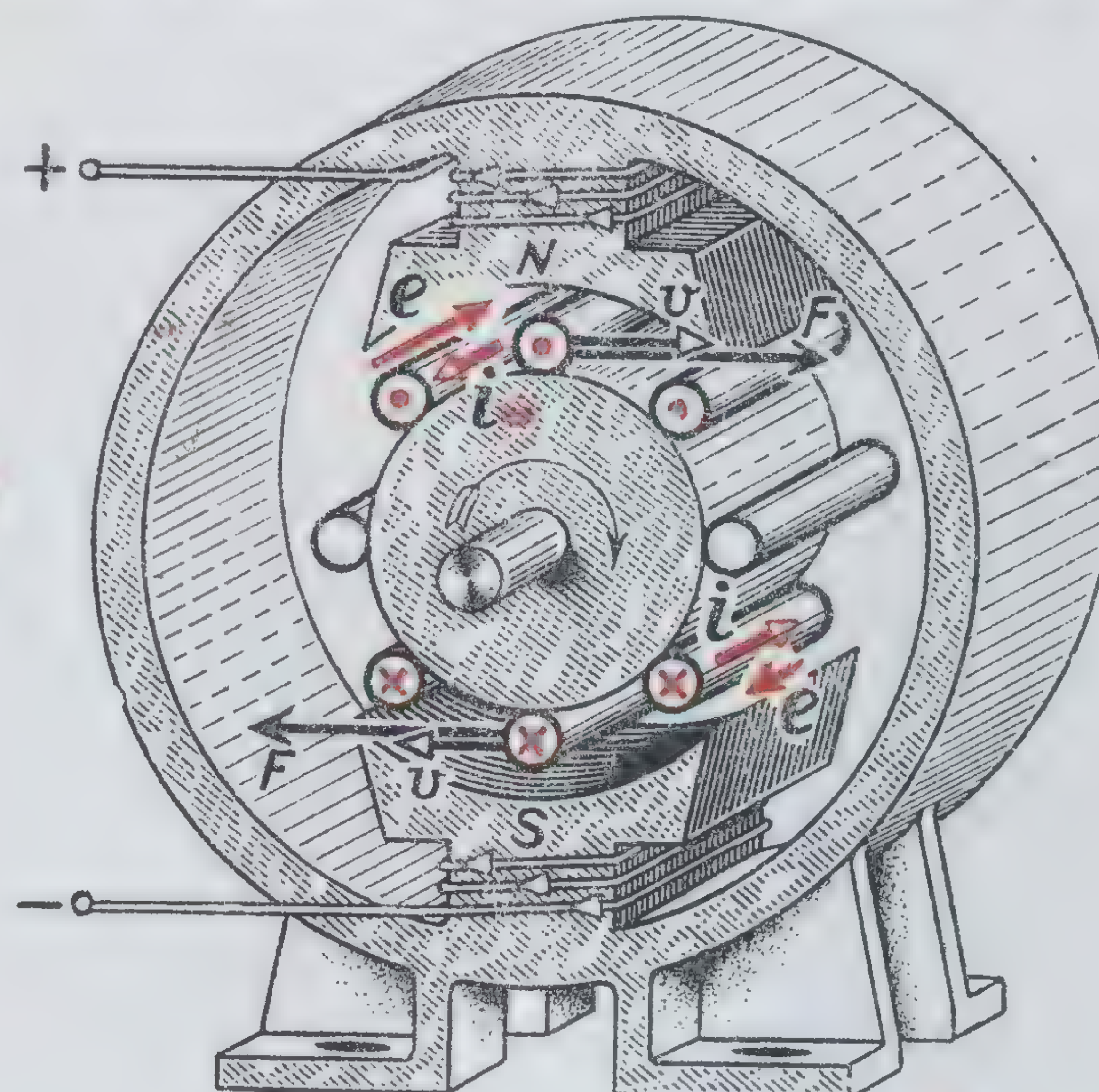
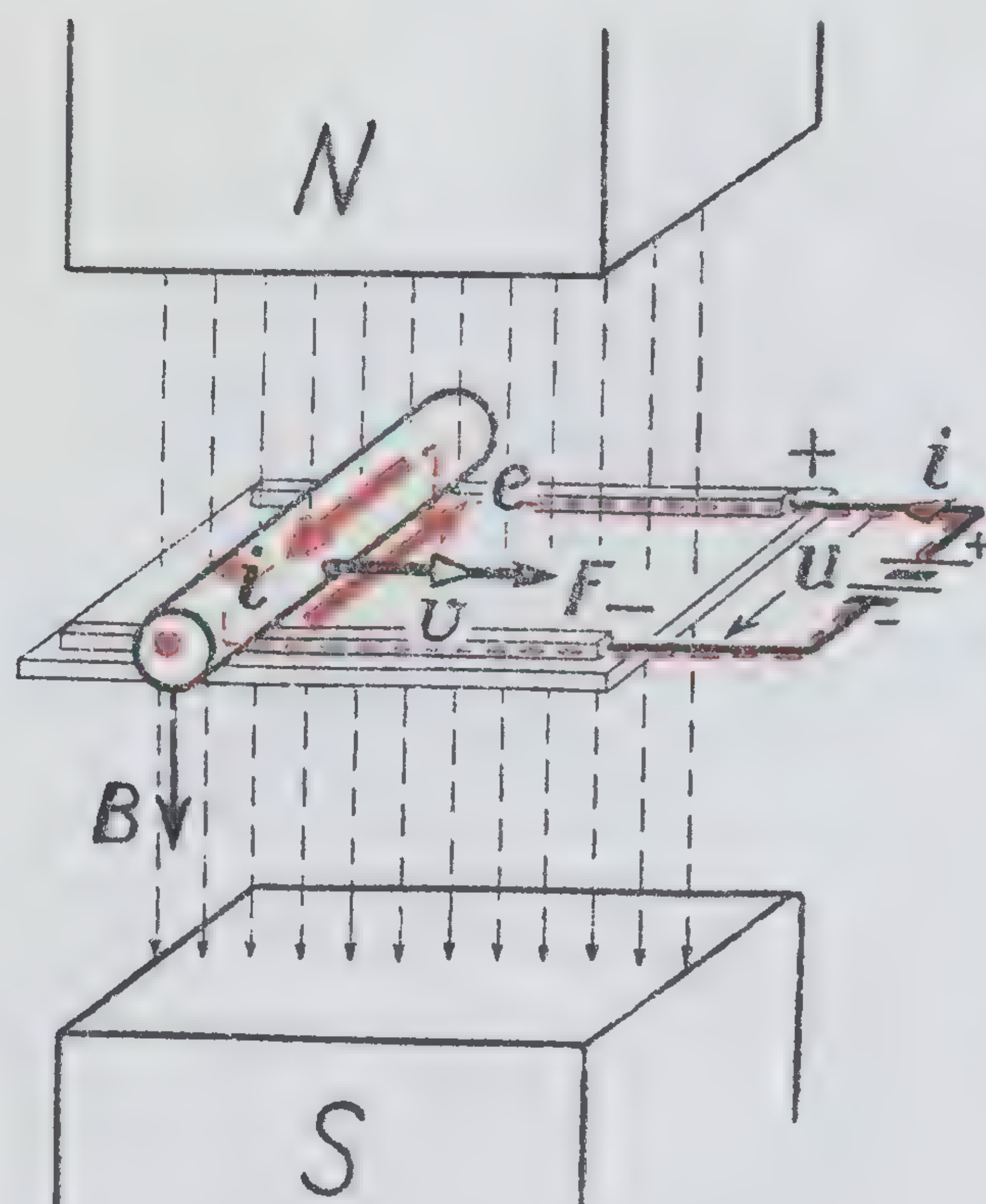


$$P_{эл} = ei = Blv \cdot i = Bli \cdot v = Fv = P_{мех} \quad \text{Вт}$$

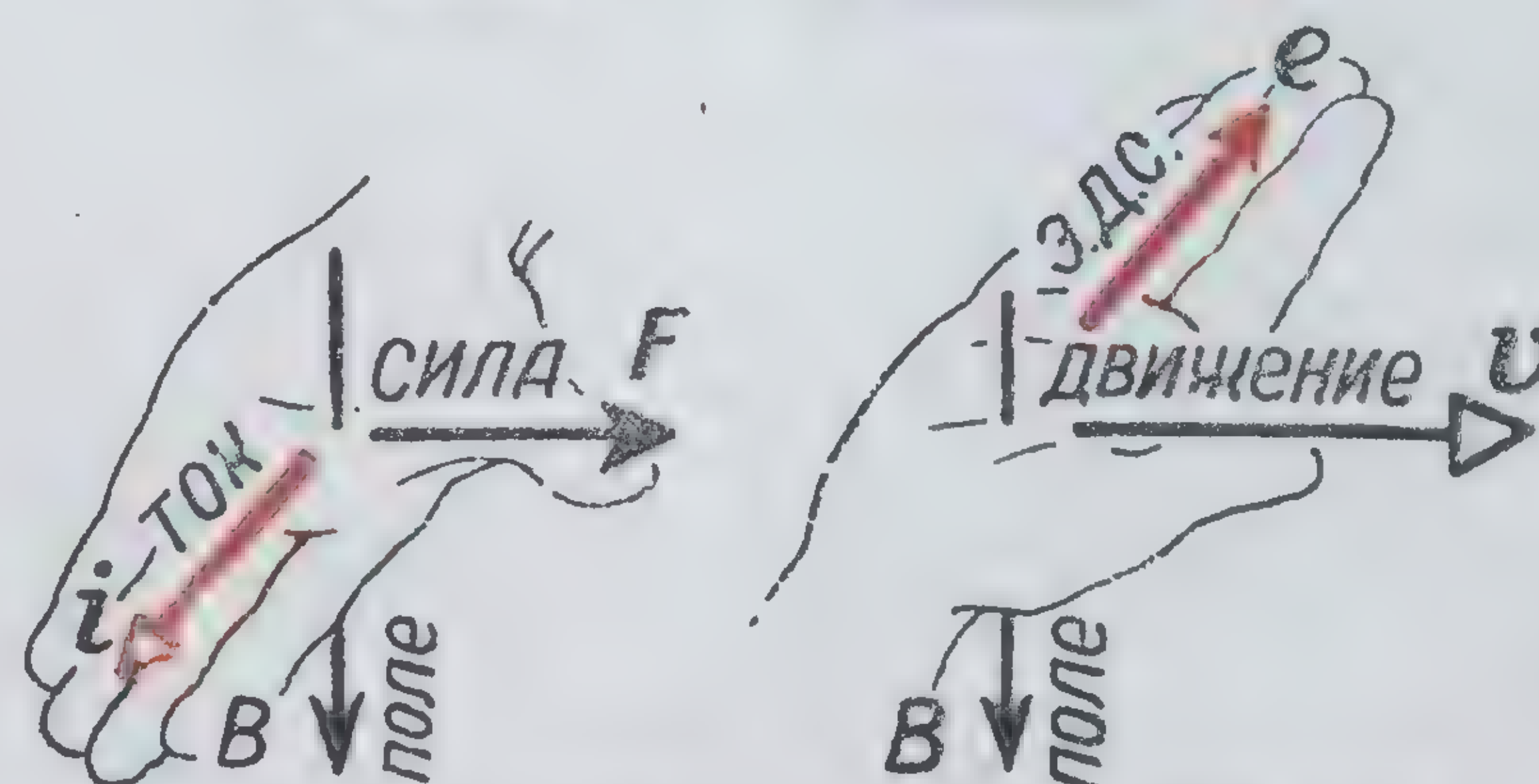
Развиваемая генератором электрическая мощность равна преобразуемой механической мощности

ПРЕОБРАЗОВАНИЕ ЭНЕРГИИ В ЭЛЕКТРОДВИГАТЕЛЕ

(Первый электромагнитный двигатель с вращательным движением построен Б.С.Якоби в 1874 г.)



Напряжение на зажимах двигателя больше его противо-э.д.с. на величину падения напряжения в его сопротивлении



Применение правил правой и левой руки к работе электродвигателя (обращенного генератора)

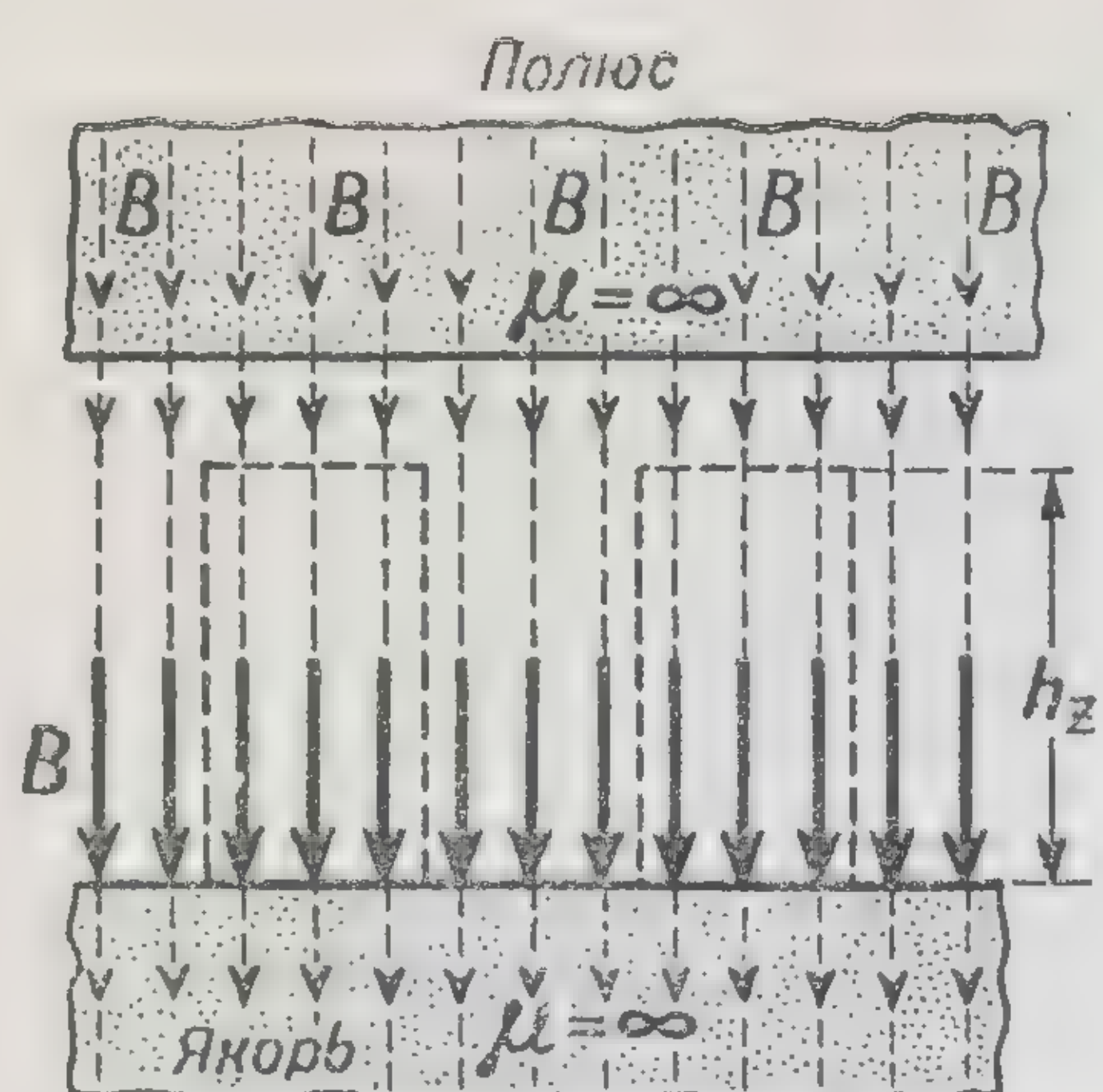
$$P_{мех} = Fu = Bli \cdot v = Blv \cdot i = ei = P_{эл} \quad \text{Вт}$$

Развиваемая двигателем механическая мощность равна преобразуемой электрической мощности

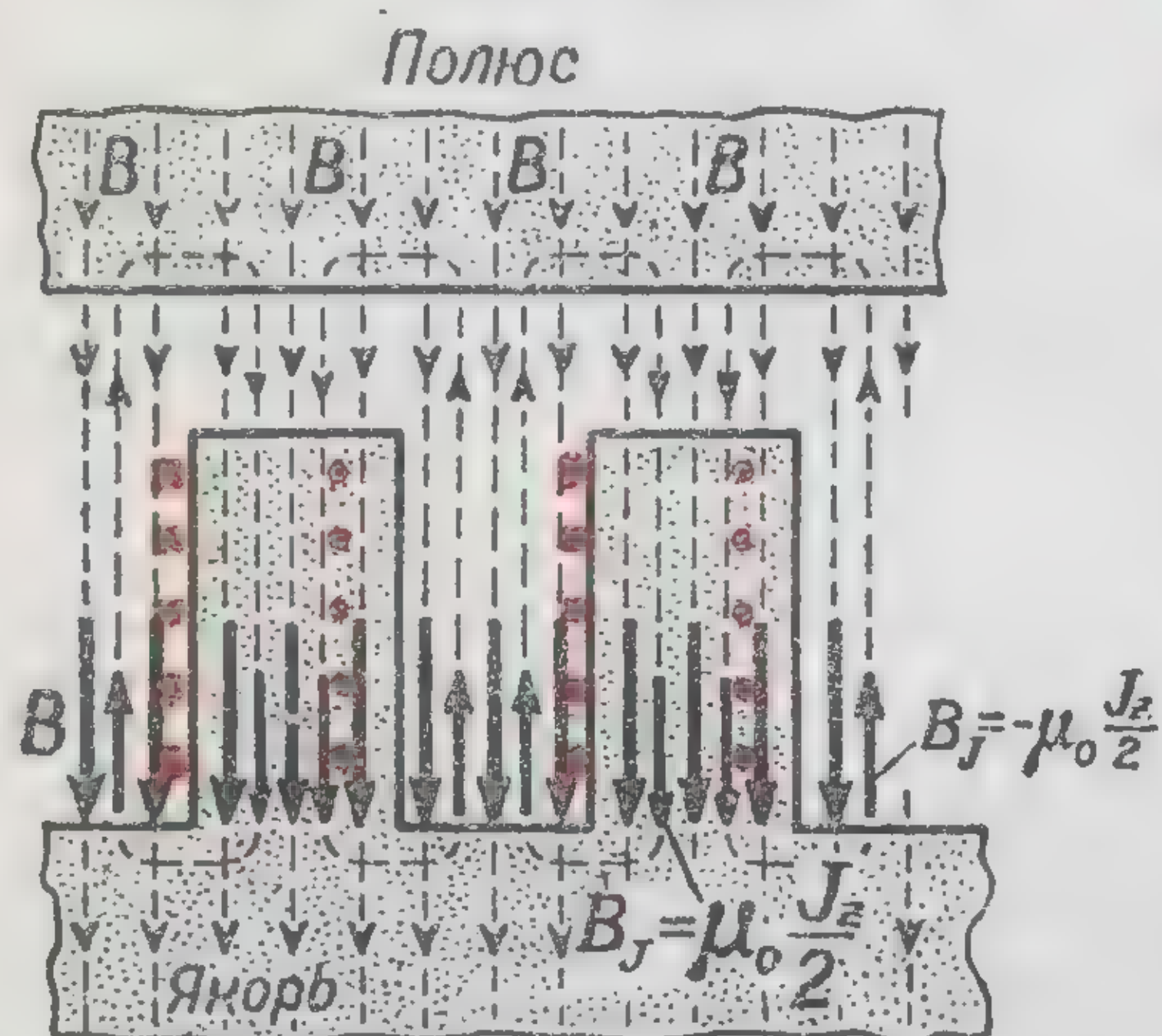
• Принцип обратимости электрических машин впервые сформулирован Э.Х.Ленцем и Б.С.Якоби •

Э.И. Расовский.

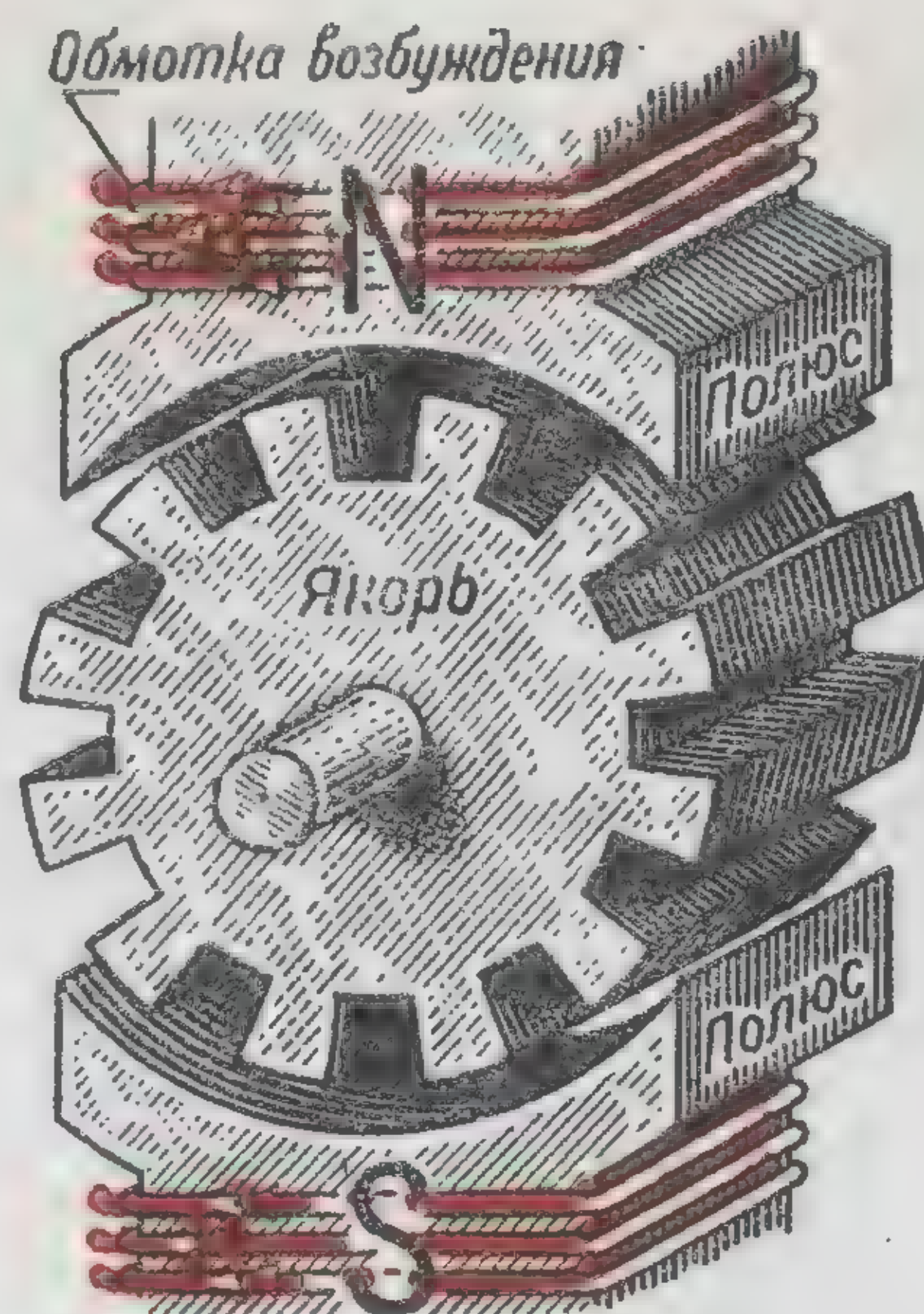
ЗУБЧАТЫЙ ЯКОРЬ



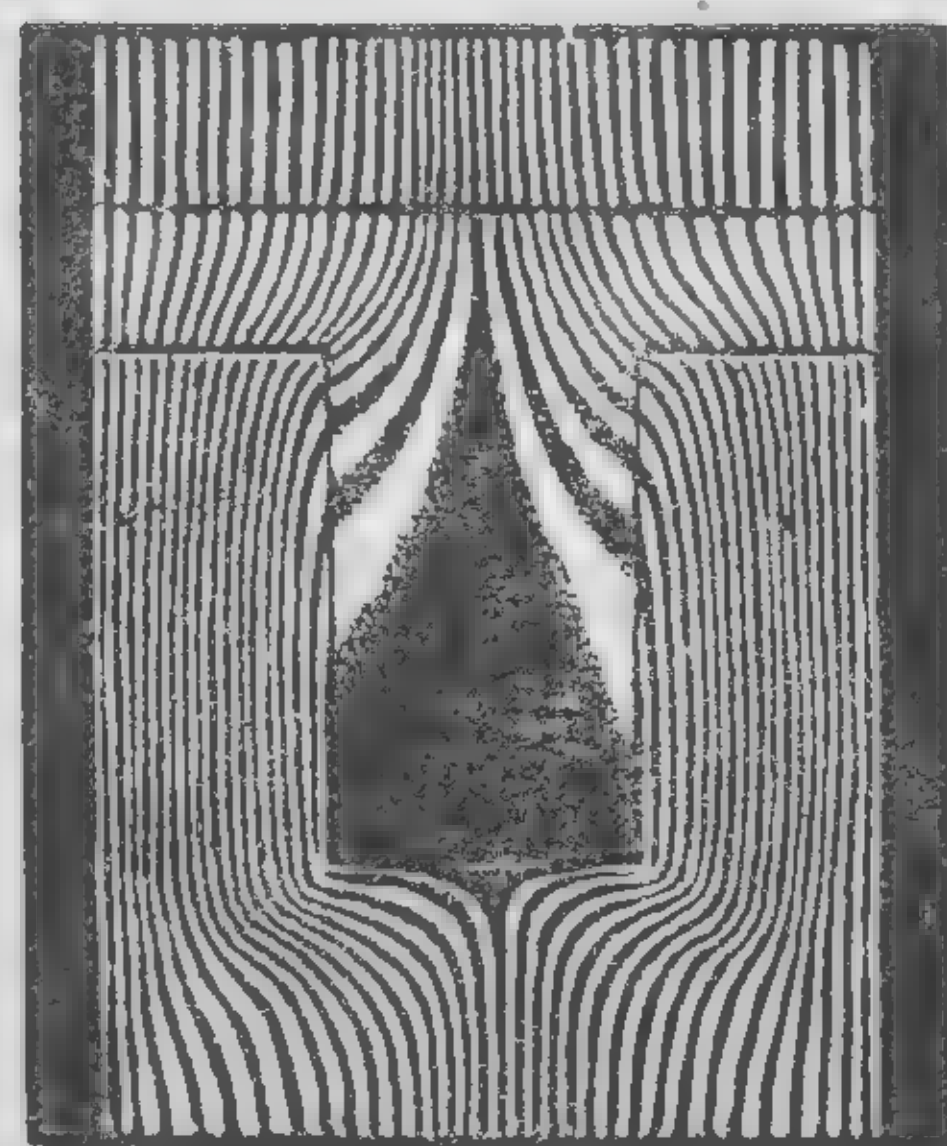
Однородное поле B обмотки возбуждения



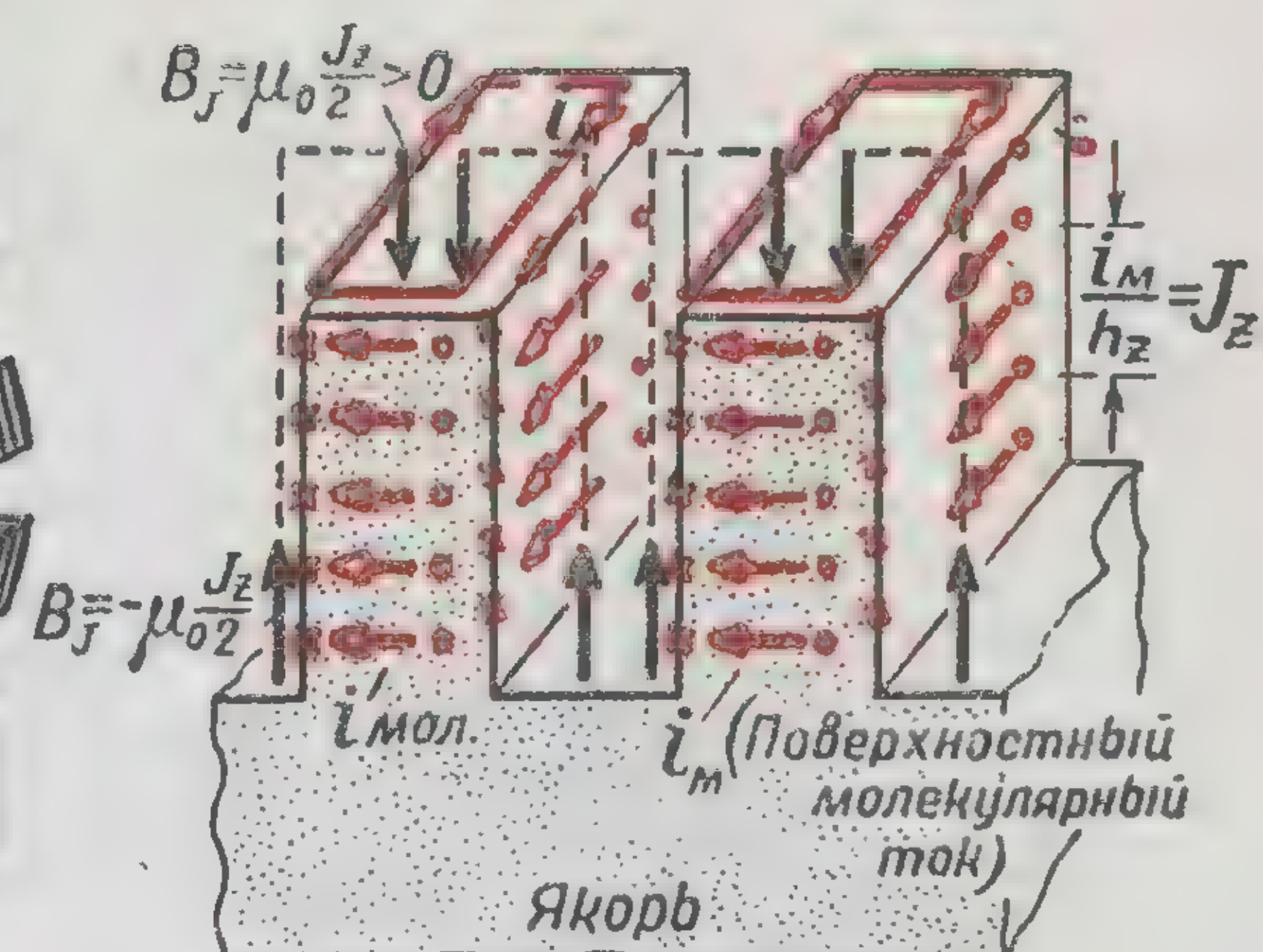
Наложение поля B индуктора на поле B_J намагнитченных зубцов



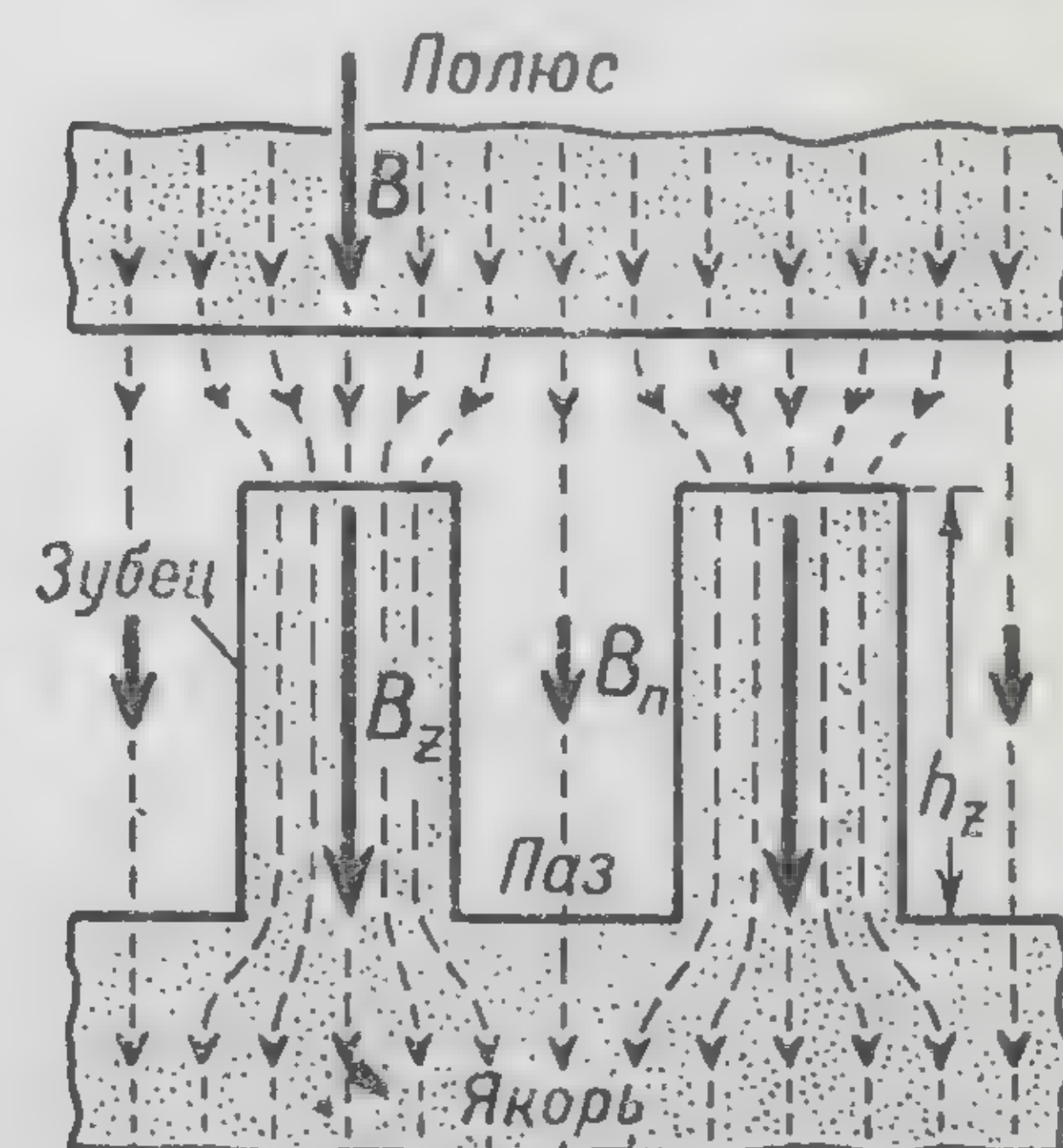
Зубчатый якорь электрической машины



Магнитное экранирование паза зубцами

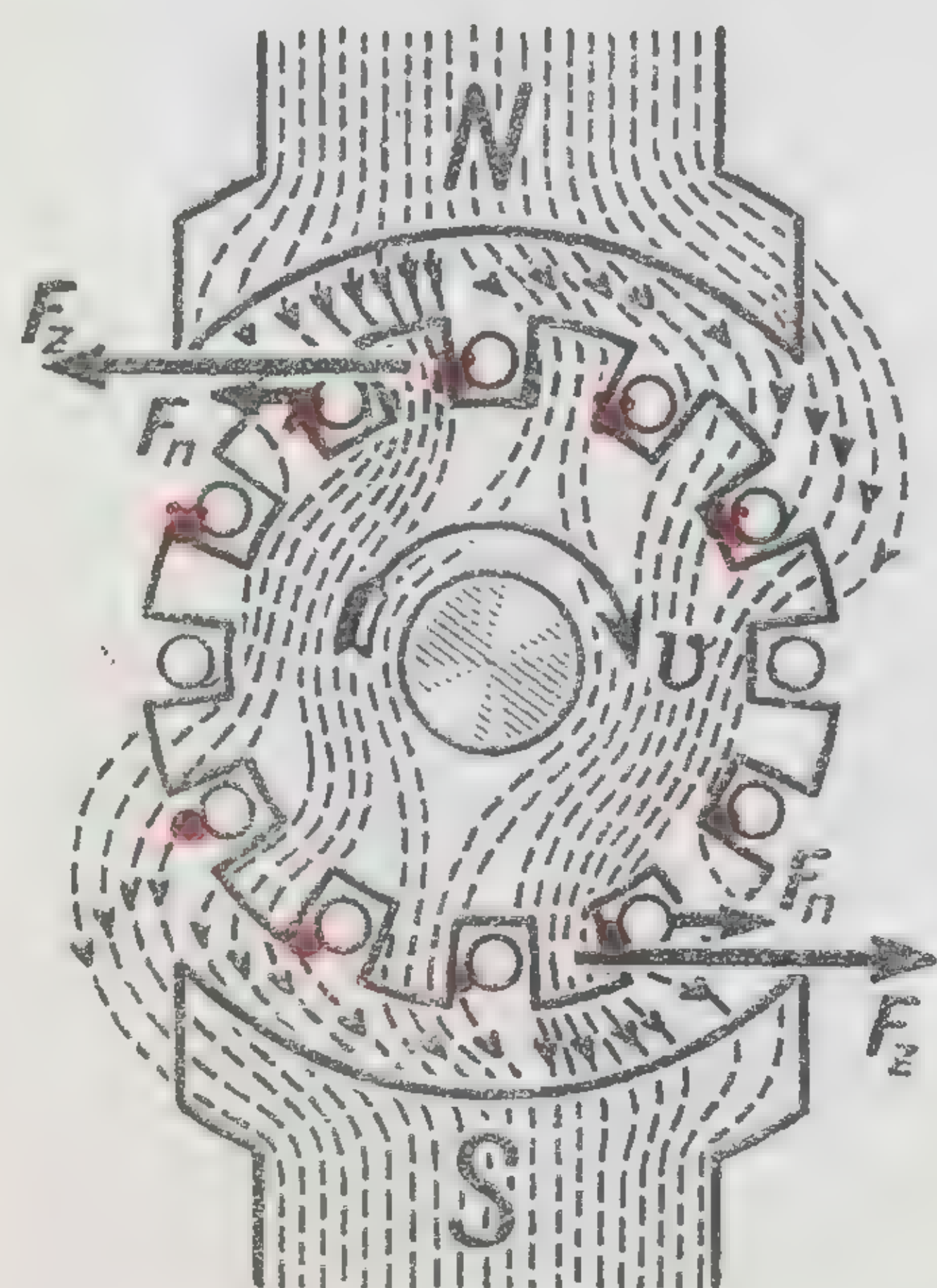


Поле B_J равномерно намагнитченных зубцов



Результатирующее поле

Неравномерное распределение магнитного поля в зубцовом слое электрической машины



Генератор

Разгрузка обмотки якоря от механических усилий

$$F_n = \mu_0 H I l \quad \frac{\partial \mathcal{H}}{\partial m}$$

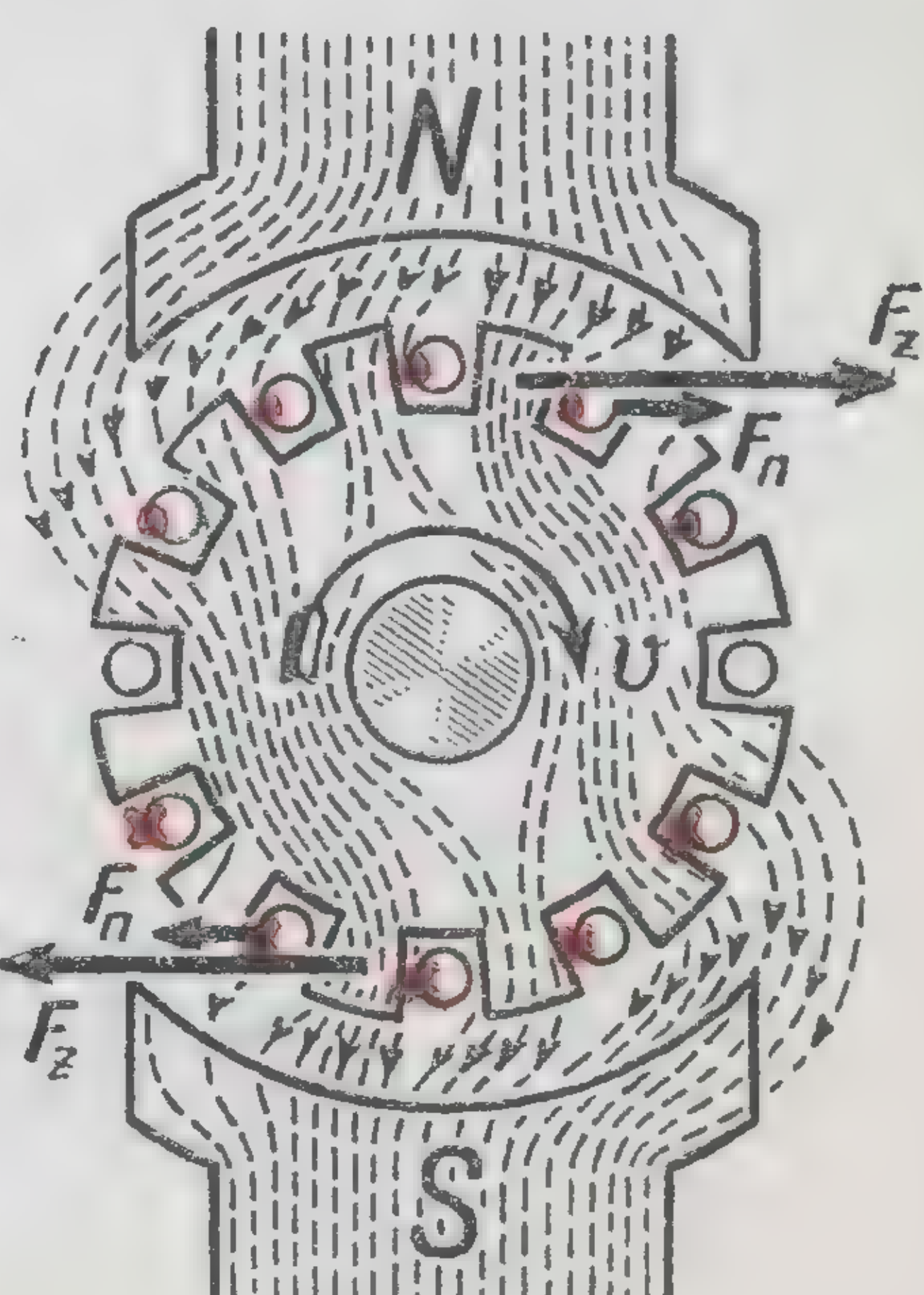
Усилие, приложенное к обмотке паза

$$F_z = \mu_0 \frac{J_z}{2} I l \quad \frac{\partial \mathcal{H}}{\partial m}$$

Усилие, приложенное к зубцу

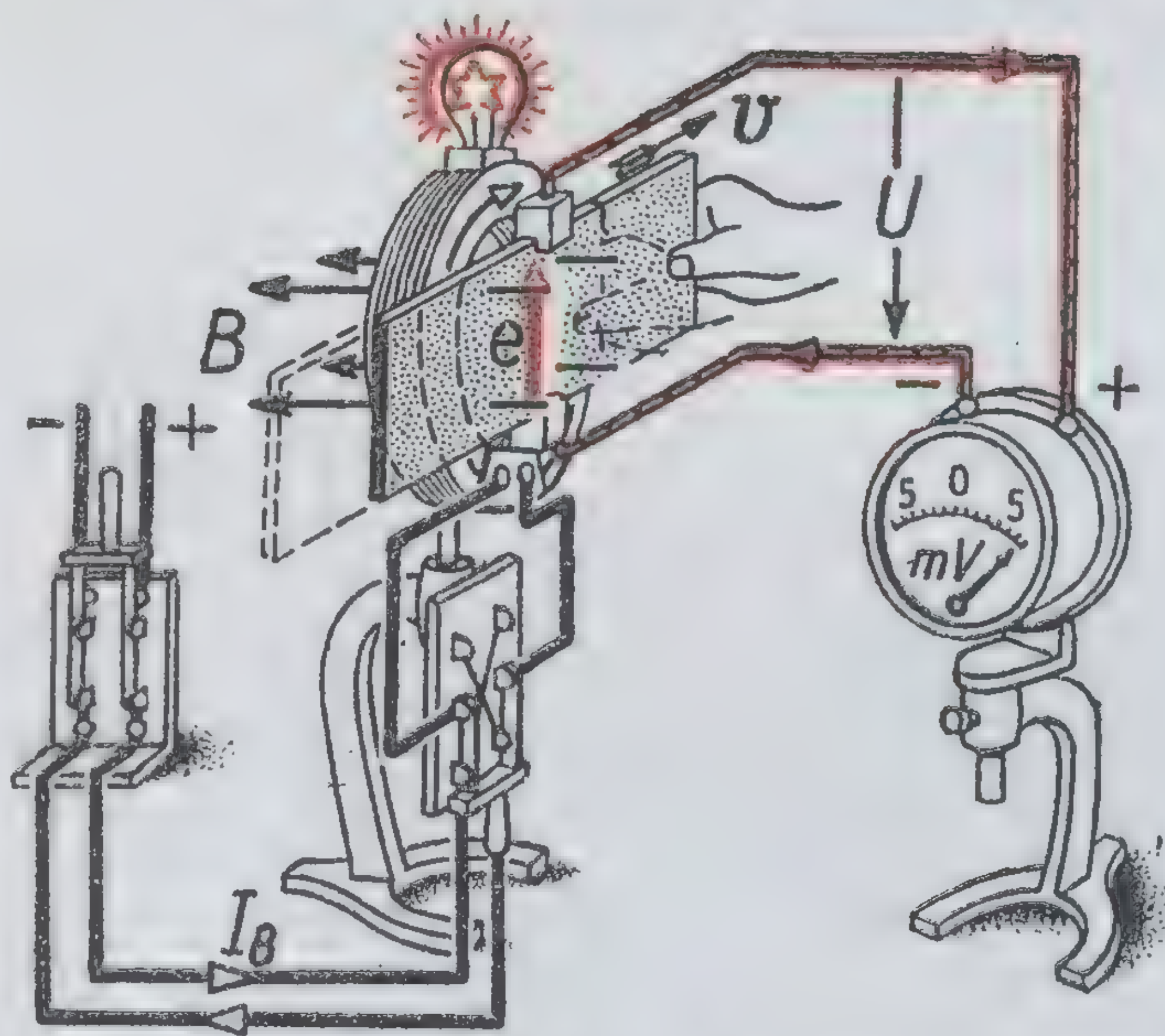
$$F = F_n + F_z = B I l \quad \frac{\partial \mathcal{H}}{\partial m}$$

Усилие, приложенное к зубцовому делению

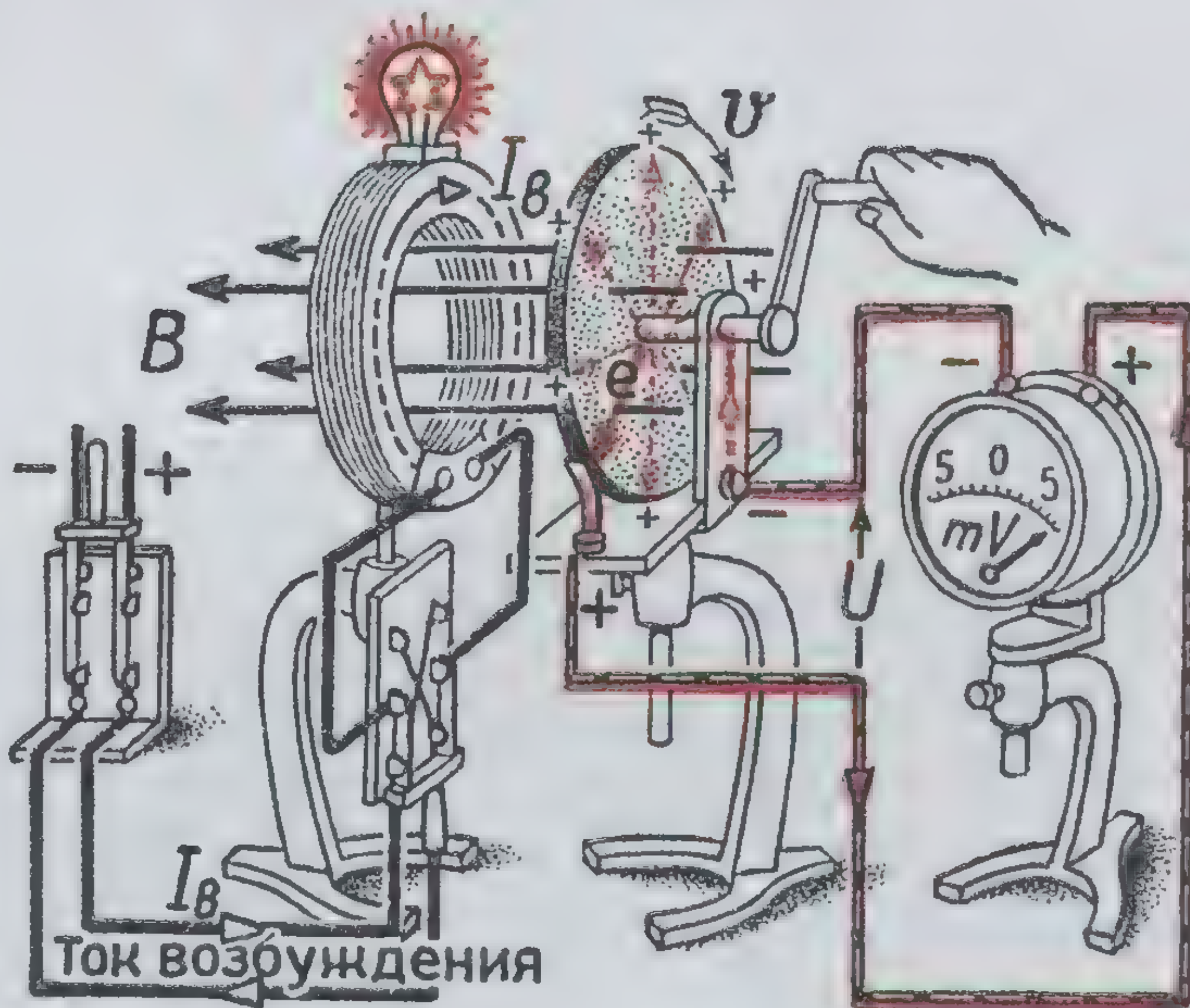


Двигатель

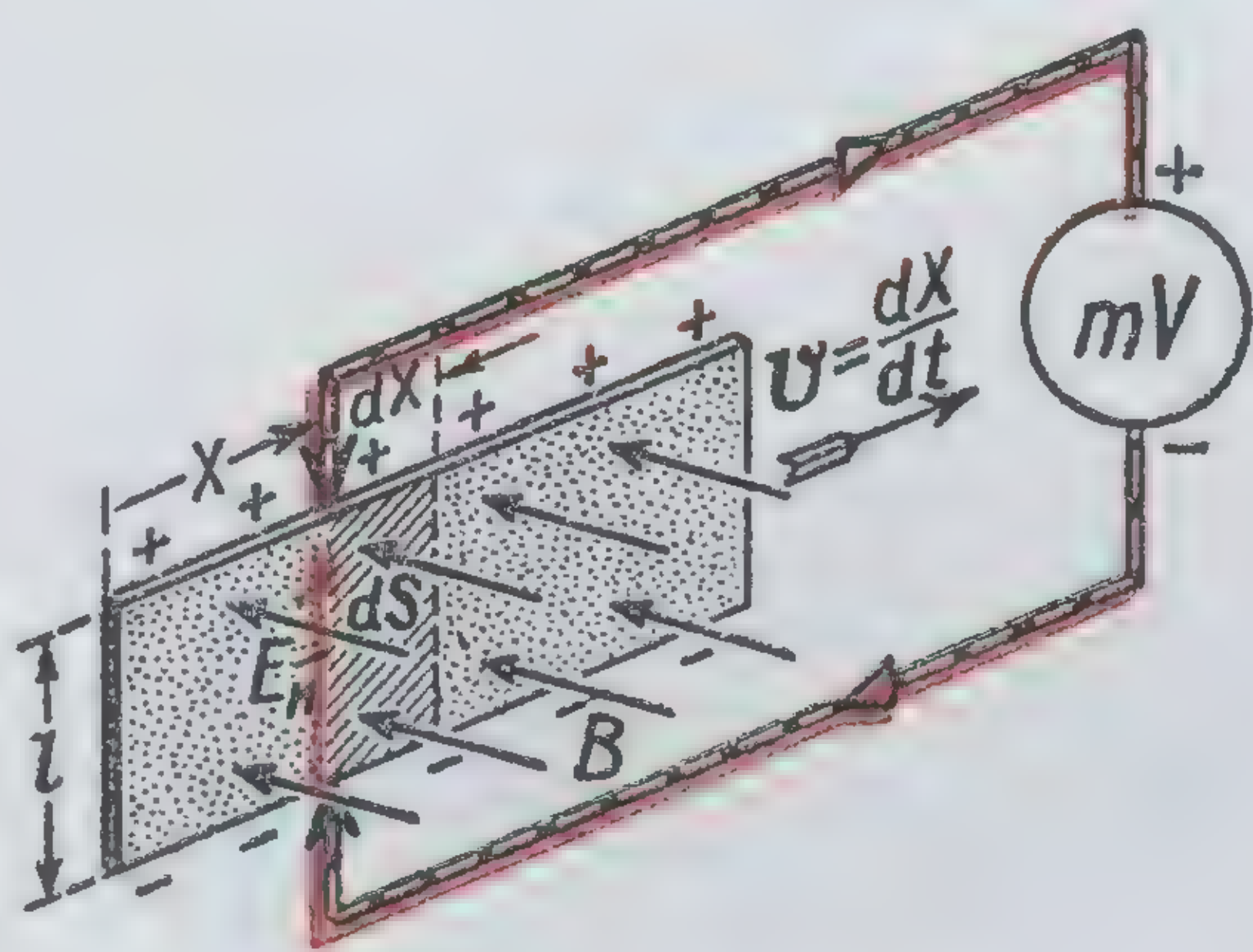
УНИПОЛЯРНАЯ ИНДУКЦИЯ



Униполярная индукция при движении алюминиевой пластины

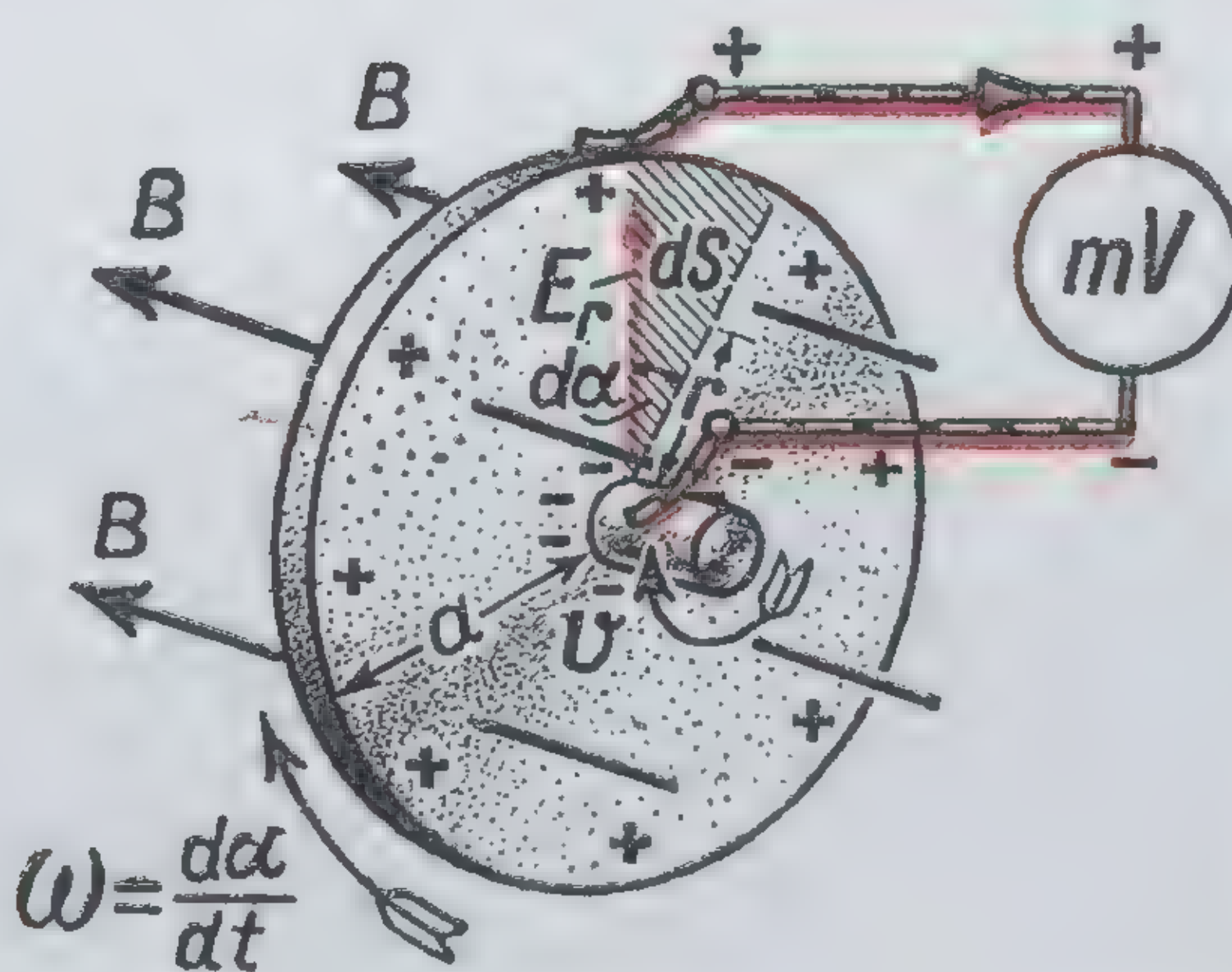


Модель униполярного генератора (диск Фарадея)



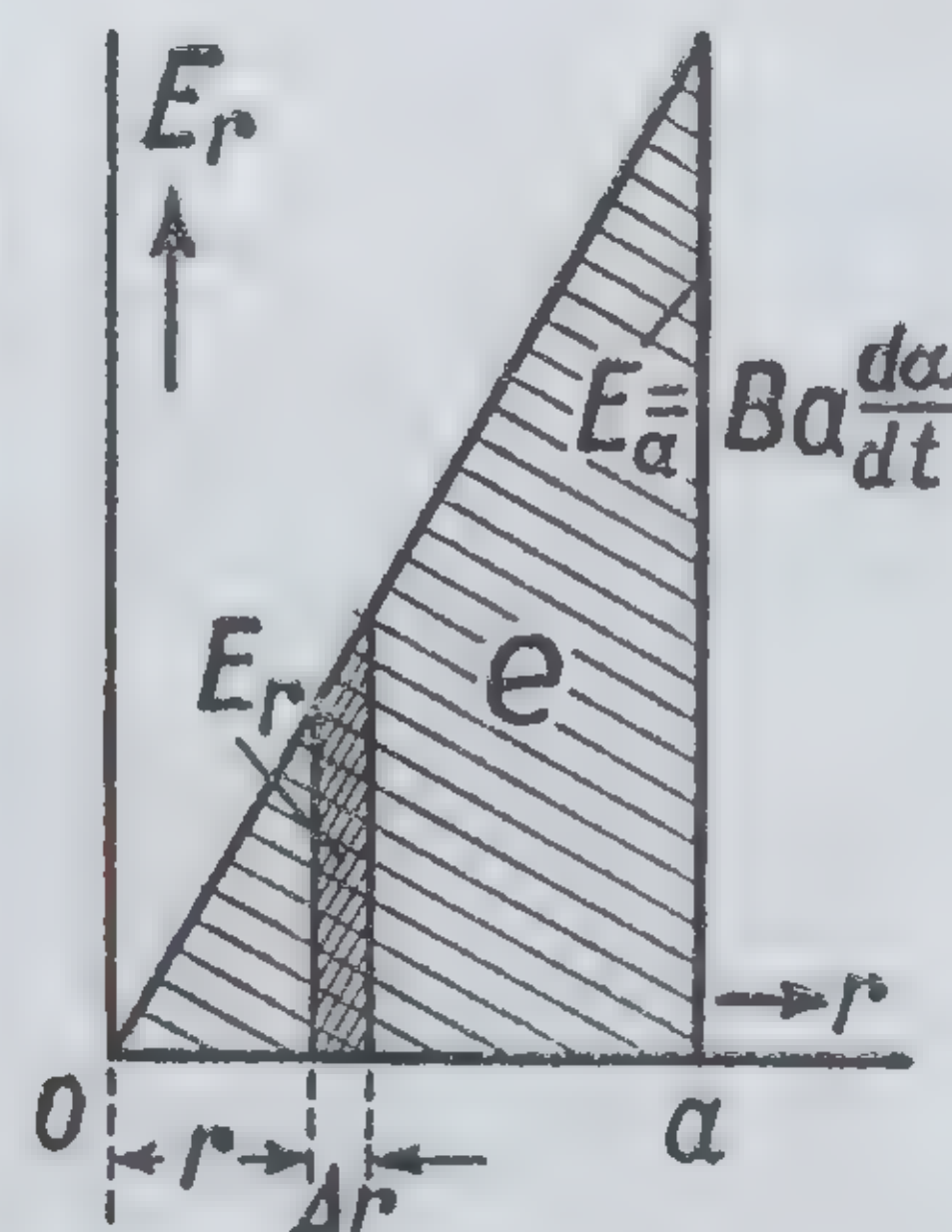
$$e = E_{\text{н}} l = Blv = Bl \frac{dx}{dt} = B \frac{dS}{dt} = \frac{d\Phi}{dt} \quad \text{В}$$

Электродвижущая сила равна скорости пересечения магнитного потока вертикальной линией пластины



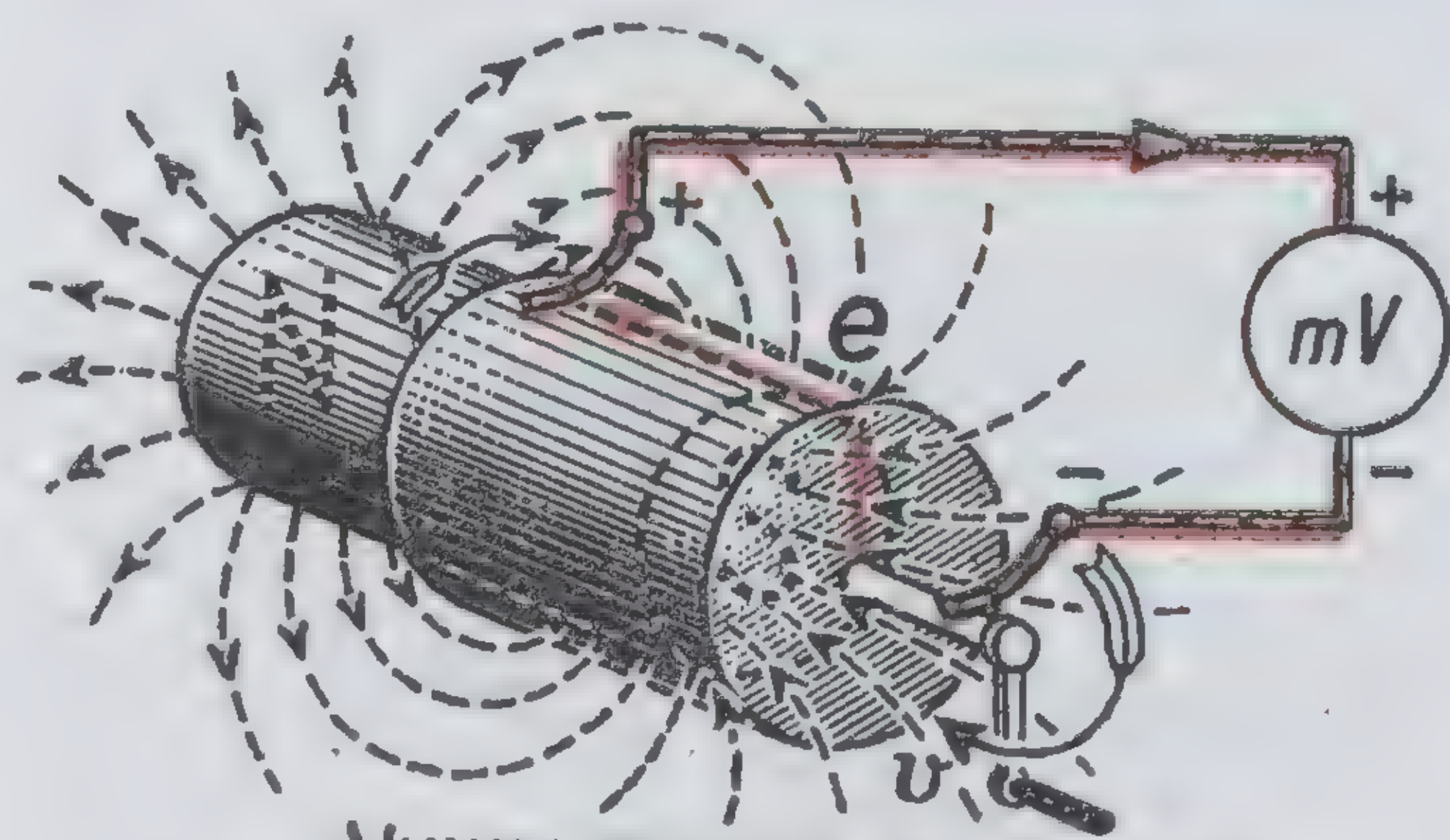
$$E_r = Bv_r = Br\omega = Br \frac{d\alpha}{dt} \quad \frac{\text{В}}{\text{м}}$$

Напряженность электрического поля, индуцируемого в диске, пропорциональна расстоянию от оси

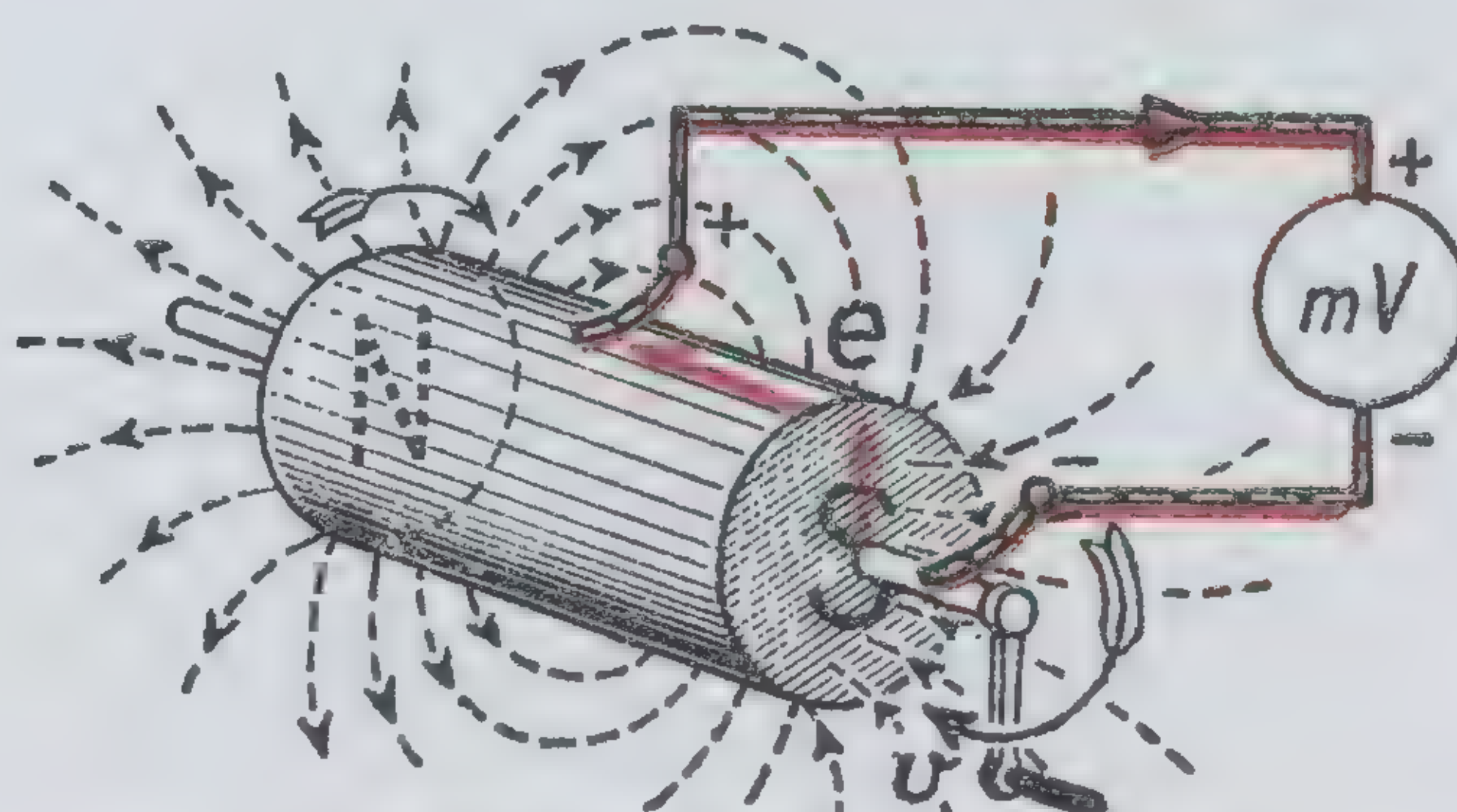


$$e = \sum_0^a E_r \Delta r = \frac{a}{2} E_a = \frac{a^2}{2} \frac{d\alpha}{dt} B = \frac{dS}{dt} B = \frac{d\Phi}{dt} \quad \text{В}$$

Индуктируемая э.д.с. равна скорости пересечения магнитного потока радиусом диска

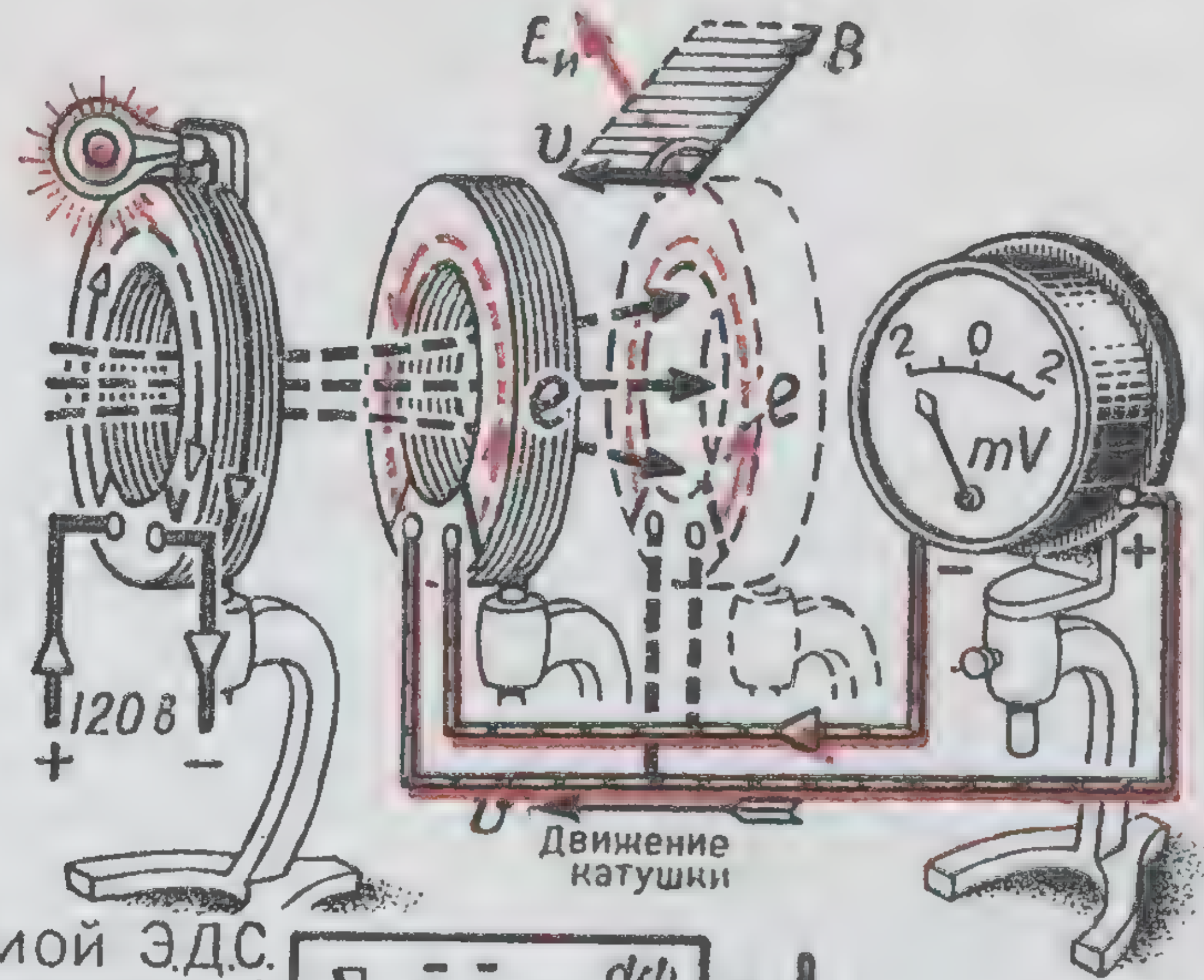
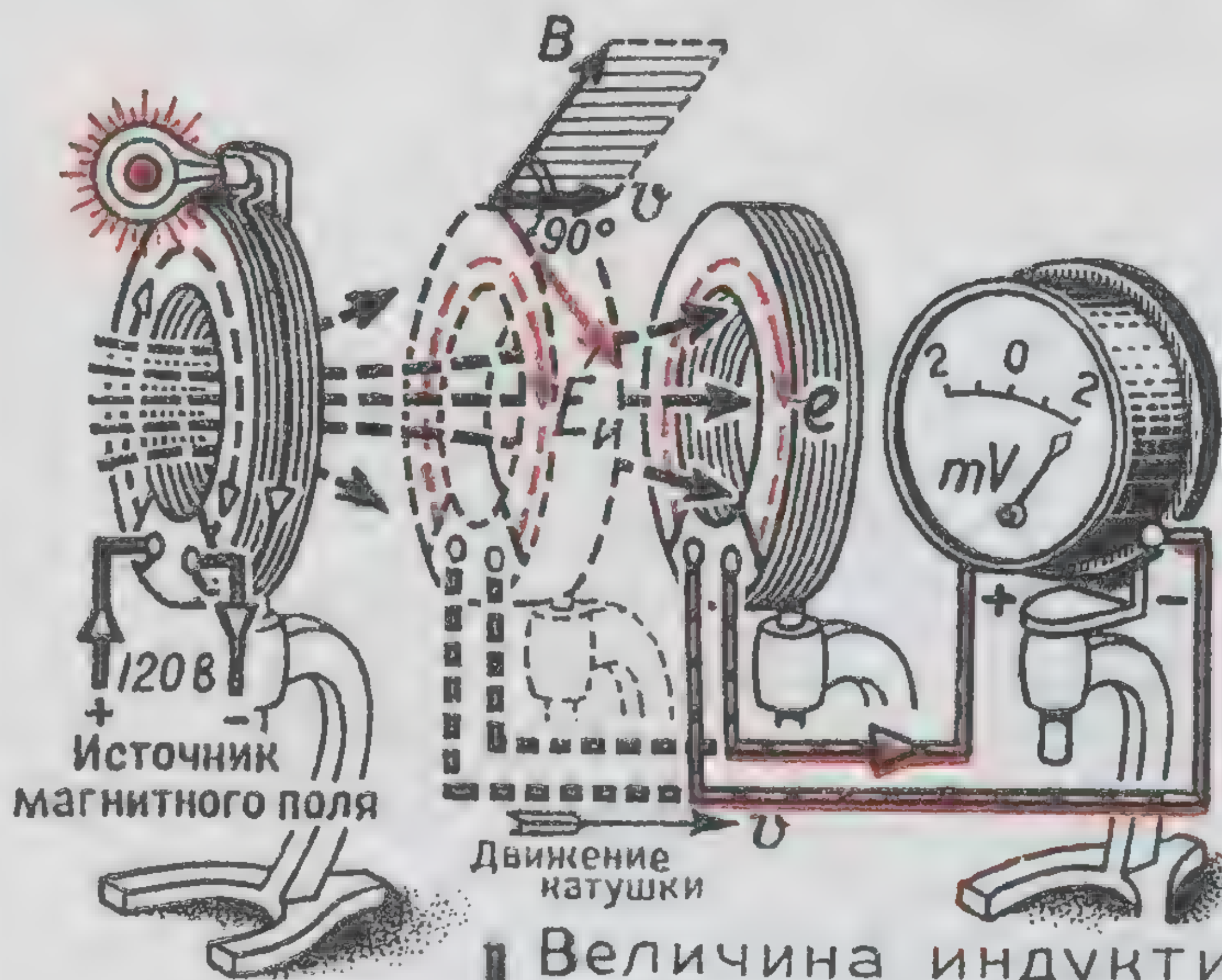


Униполярная индукция при вращении медного стакана вокруг неподвижного магнита.



Униполярная индукция при вращении цилиндрического магнита.

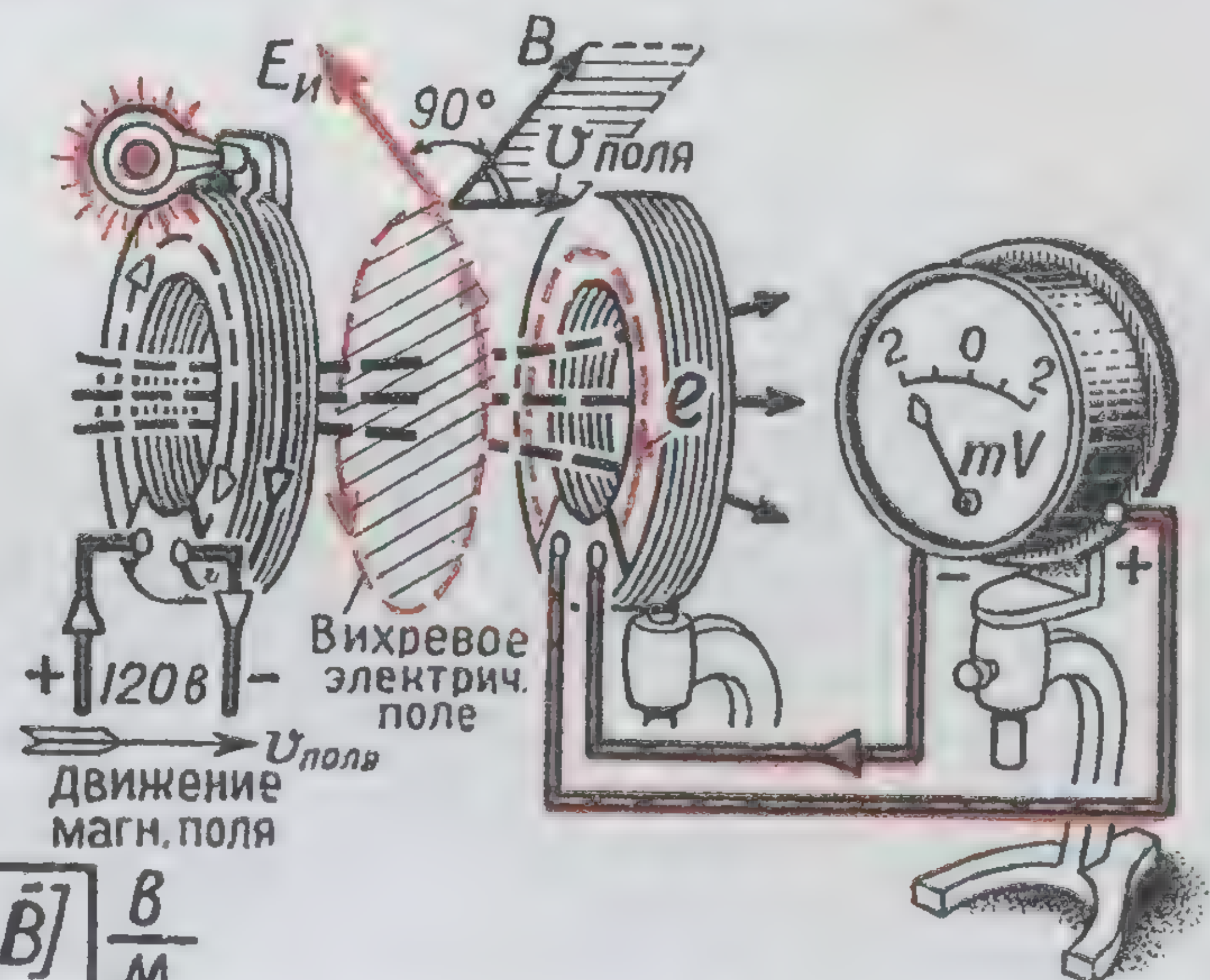
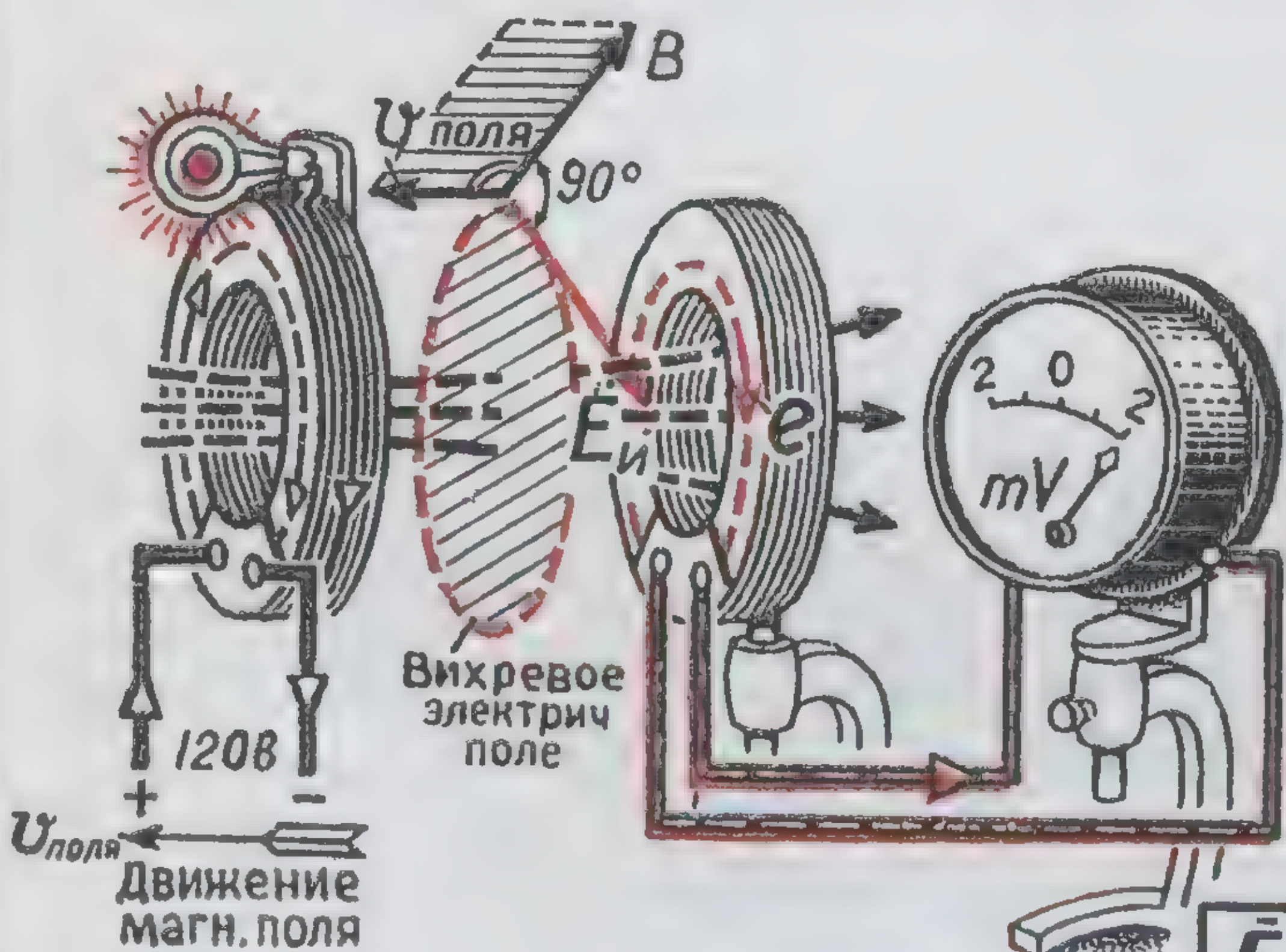
ЗАКОН ЭЛЕКТРОМАГНИТНОЙ ИНДУКЦИИ



Величина индуцируемой ЭДС.
равна скорости пересечения (изменения)
охватываемого магнитного потока

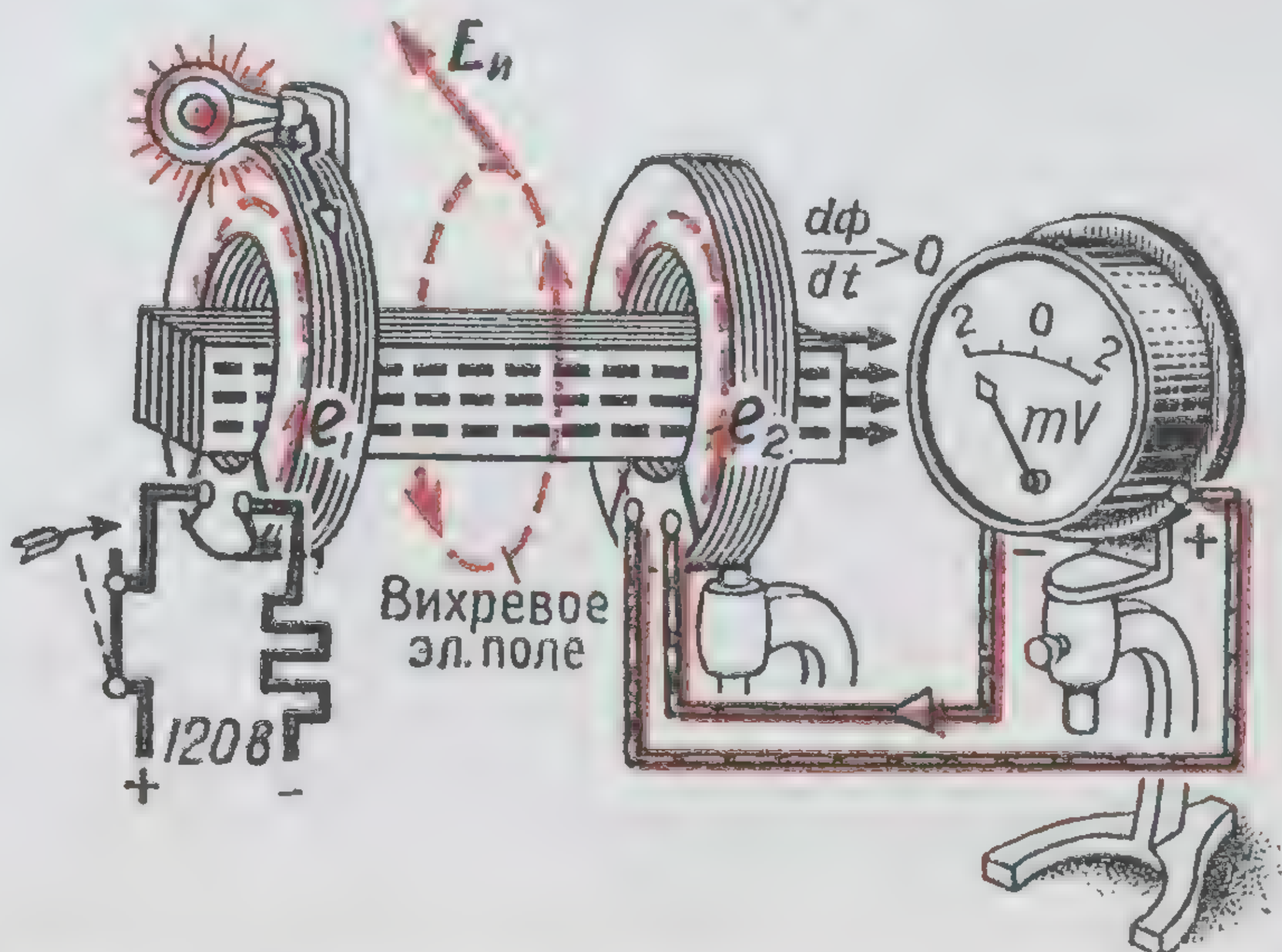
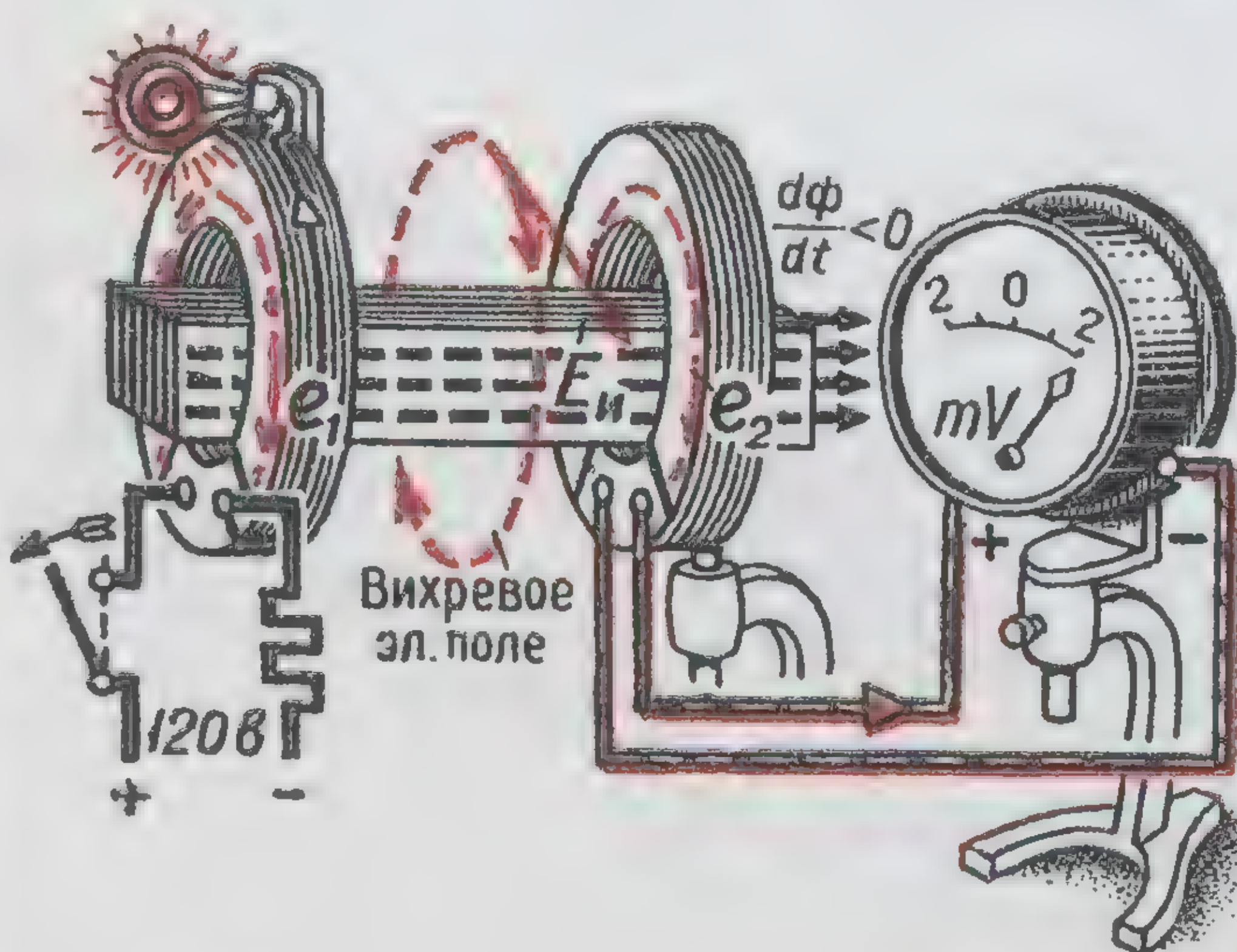
$$\sum_0 \vec{E}_i \vec{l} = e_i = \frac{d\psi}{dt} \text{ В}$$

Наведение ЭДС в катушке, движущейся в магнитном поле



$$\vec{E}_i = -[\vec{v}_{\text{поля}} \vec{B}] \frac{B}{M}$$

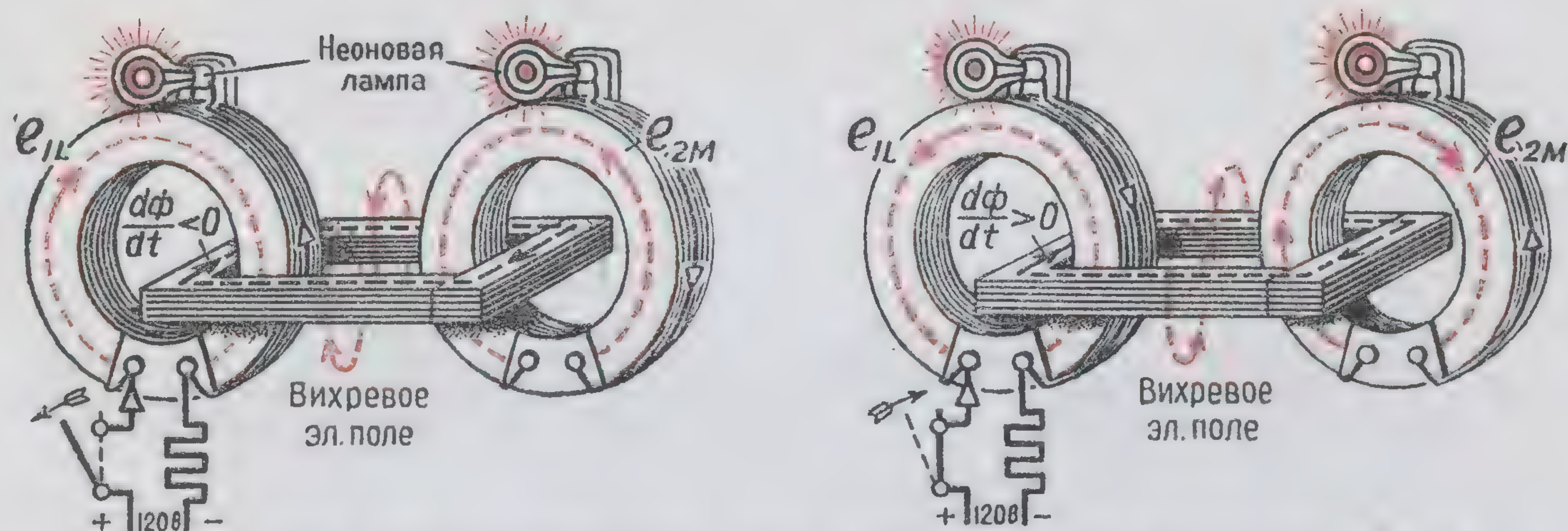
Движущееся магнитное поле образует
вихревое электрическое поле



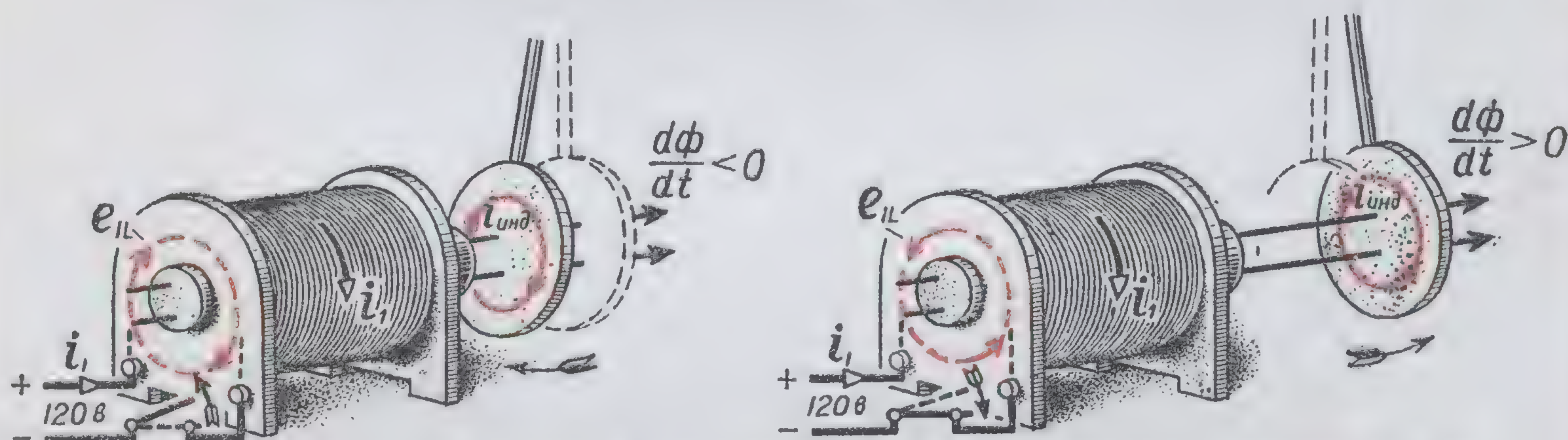
Меняющееся во времени магнитное поле образует
в окружающем пространстве вихревое электрическое поле

ЗАКОН ЭЛЕКТРОМАГНИТНОЙ ИНДУКЦИИ

(продолжение)



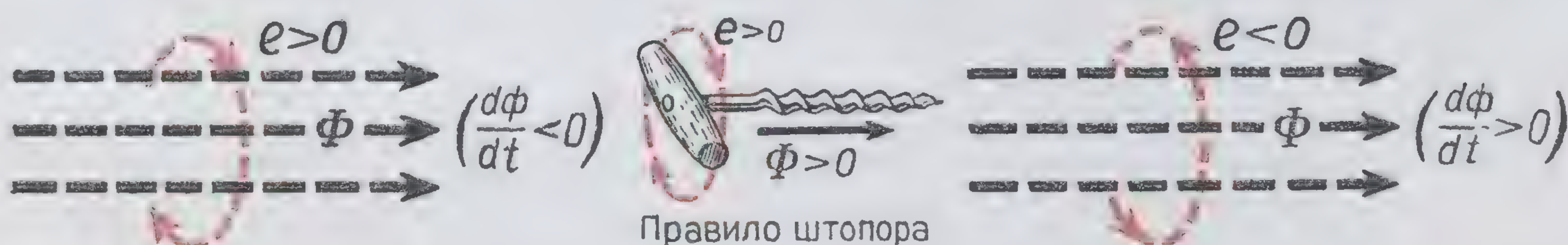
Наведение электродвижущей силы само- и взаимной индукции (e_{IL}, e_{2M}) при включении и выключении первичного тока



Притяжение и отталкивание алюминиевого диска с индуцированным током при убывании и возрастании магнитного потока

ИНДУКТИРУЕМАЯ Э.Д.С. „СТРЕМИТСЯ“ ВЫЗВАТЬ ТОК, ПРЕПЯТСТВУЮЩИЙ ИЗМЕНЕНИЮ МАГНИТНОГО ПОТОКА

Закон Ленца



При **УБЫВАНИИ** магнитного потока индуцируемая э.д.с. **ПОЛОЖИТЕЛЬНА**, т.е. направлена **ПО** часовой стрелке

При **ВОЗРАСТАНИИ** магнитного потока индуцируемая э.д.с. **ОТРИЦАТЕЛЬНА**, т.е. направлена **ПРОТИВ** часовой стрелки

$$e = - \frac{d\phi}{dt} \quad \text{В}$$

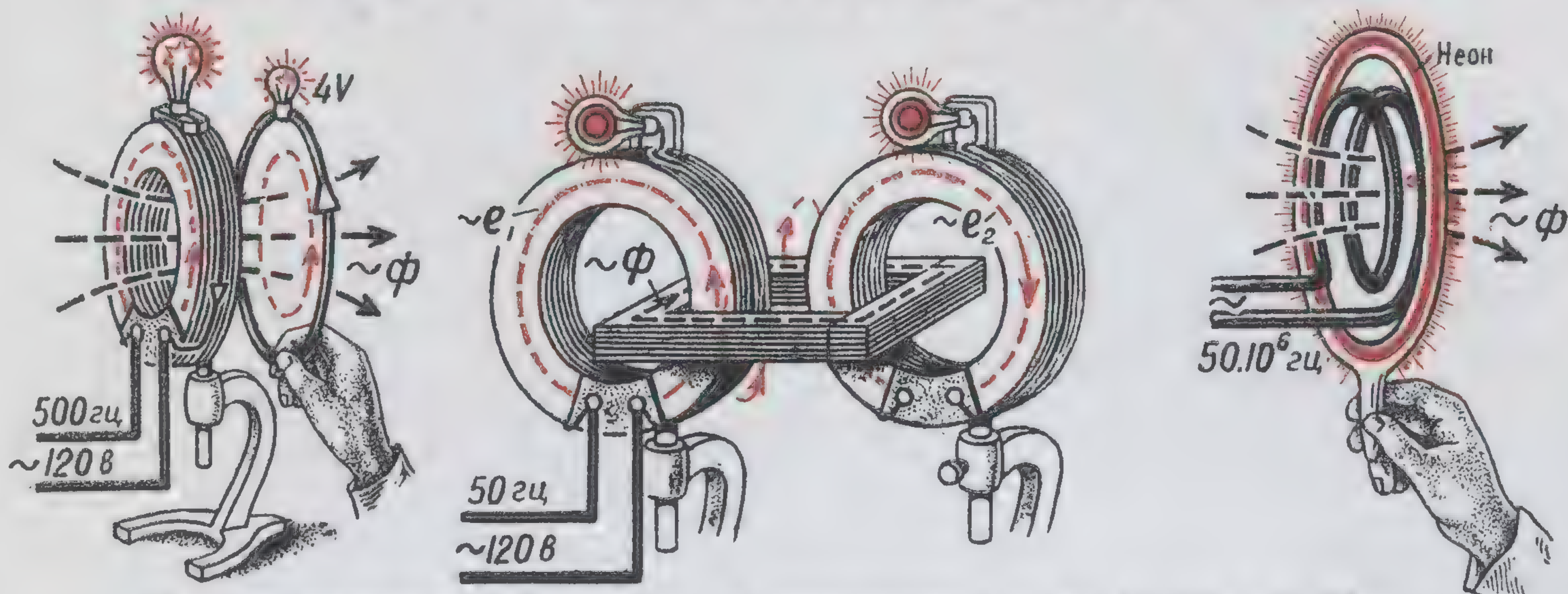
Закон
электромагнитной
индукции
(формулировка Максвелла)

ЭЛЕКТРОДВИЖУЩАЯ СИЛА,
ИНДУКТИРУЕМАЯ В ЗАМКНУТОМ КОНТУРЕ,
РАВНА СКОРОСТИ УМЕНЬШЕНИЯ МАГНИТНОГО ПОТОКА,
ОХВАТЫВАЕМОГО ЭТИМ КОНТУРОМ

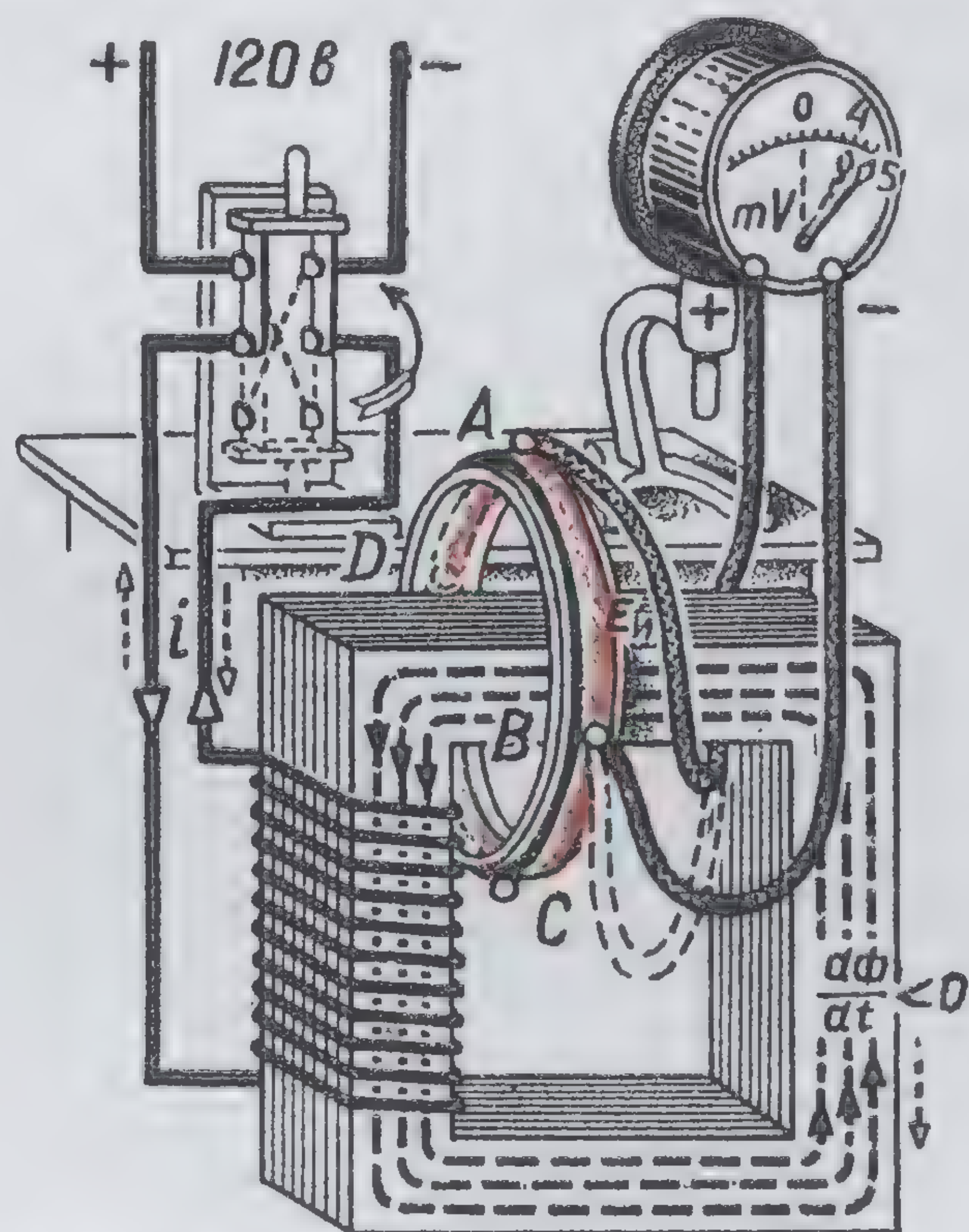
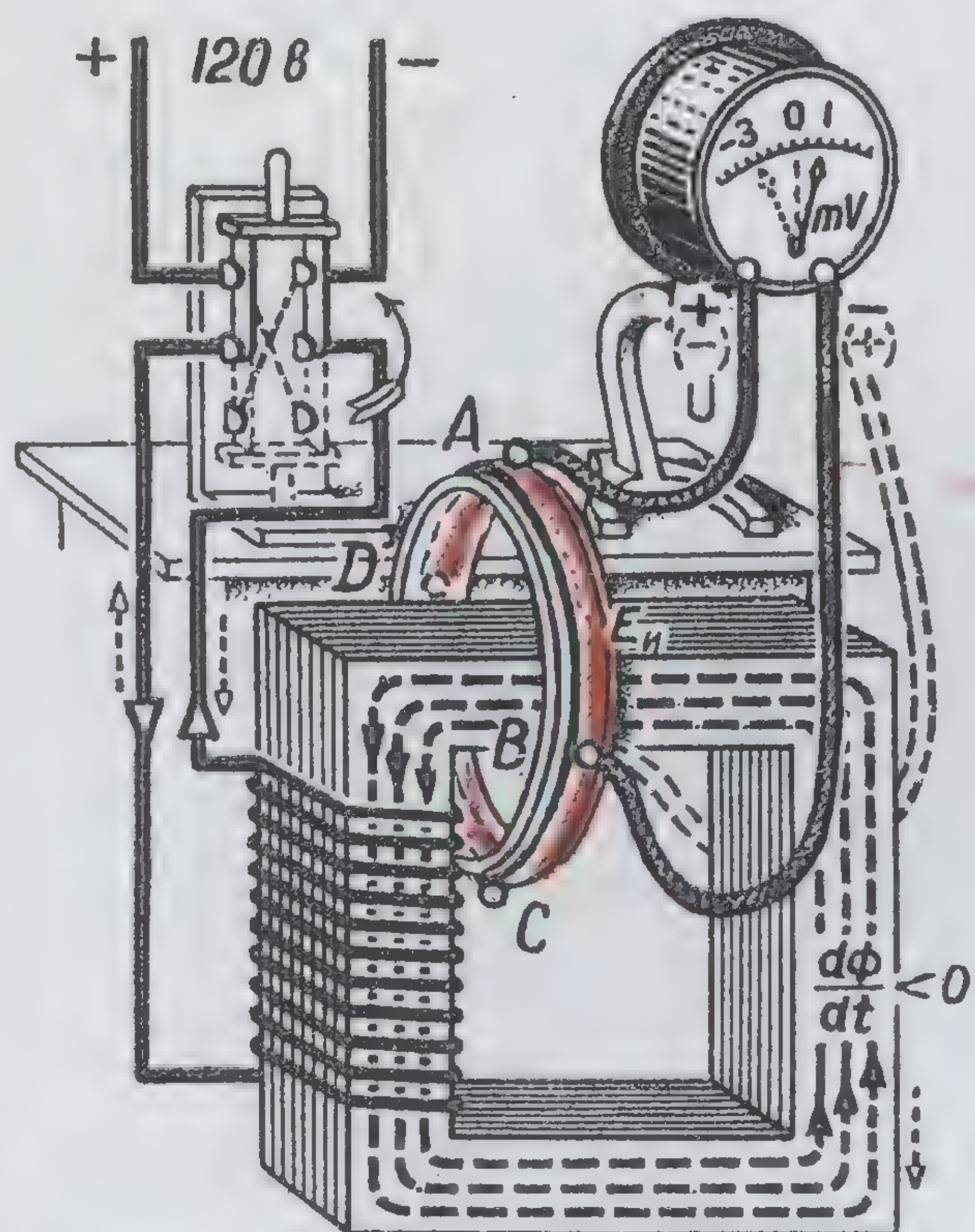
$$e = - \omega \frac{d\phi}{dt} \quad \text{В}$$

$$e = - \omega \frac{d\phi}{dt} \quad \text{В}$$

ВИХРЕВОЕ ЭЛЕКТРИЧЕСКОЕ ПОЛЕ



Вихревое электрическое поле при переменном токе в 50, 500 и $50 \cdot 10^6$ гц

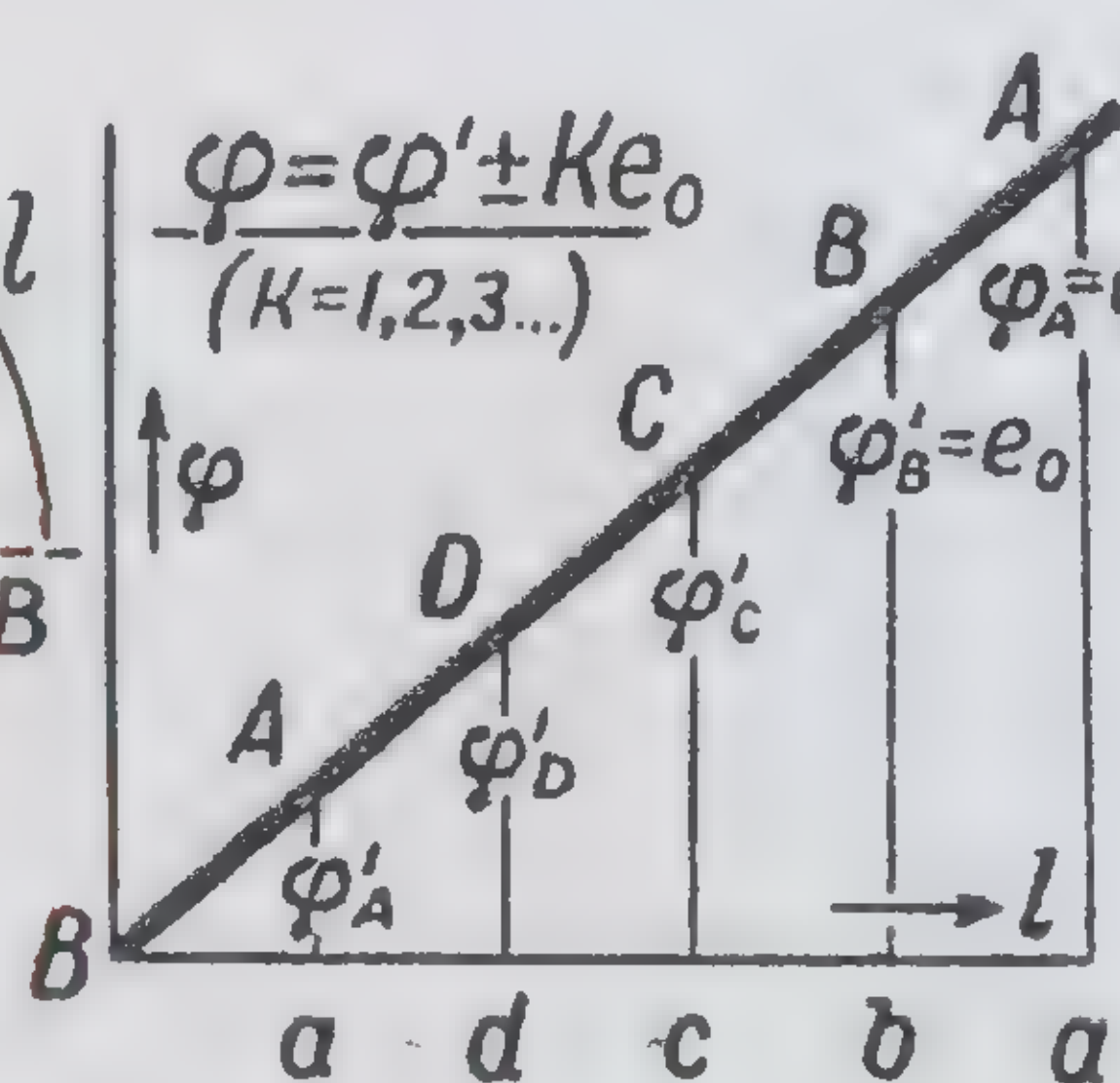


Вихревое электрическое поле в медном витке с напряжением обхода $\sum_0 \vec{E}_n \vec{l} = e_0 = 4 \text{ мВ}$.

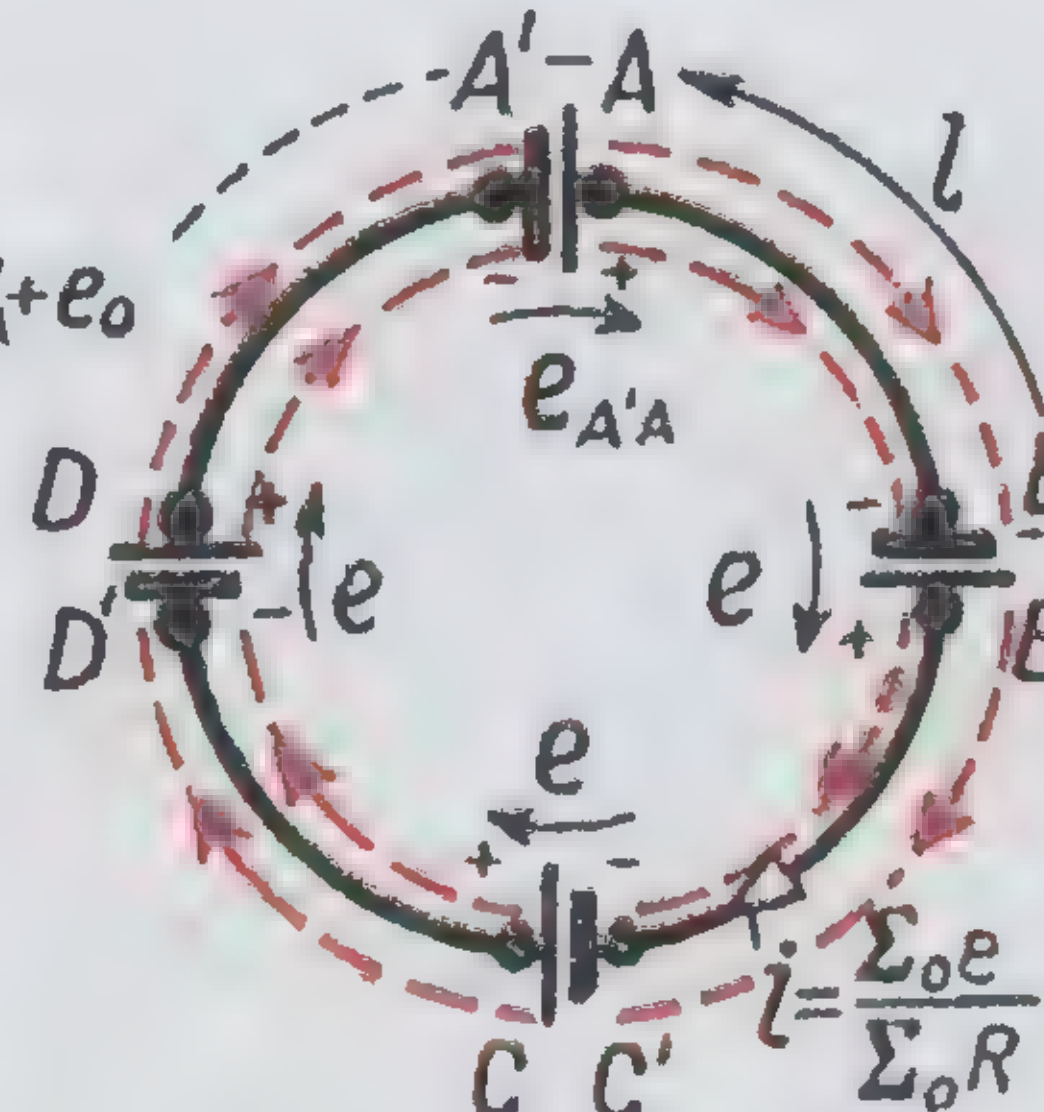
Напряжение между точками А и В зависит от расположения соединительных проводов (напряжение зависит от пути)



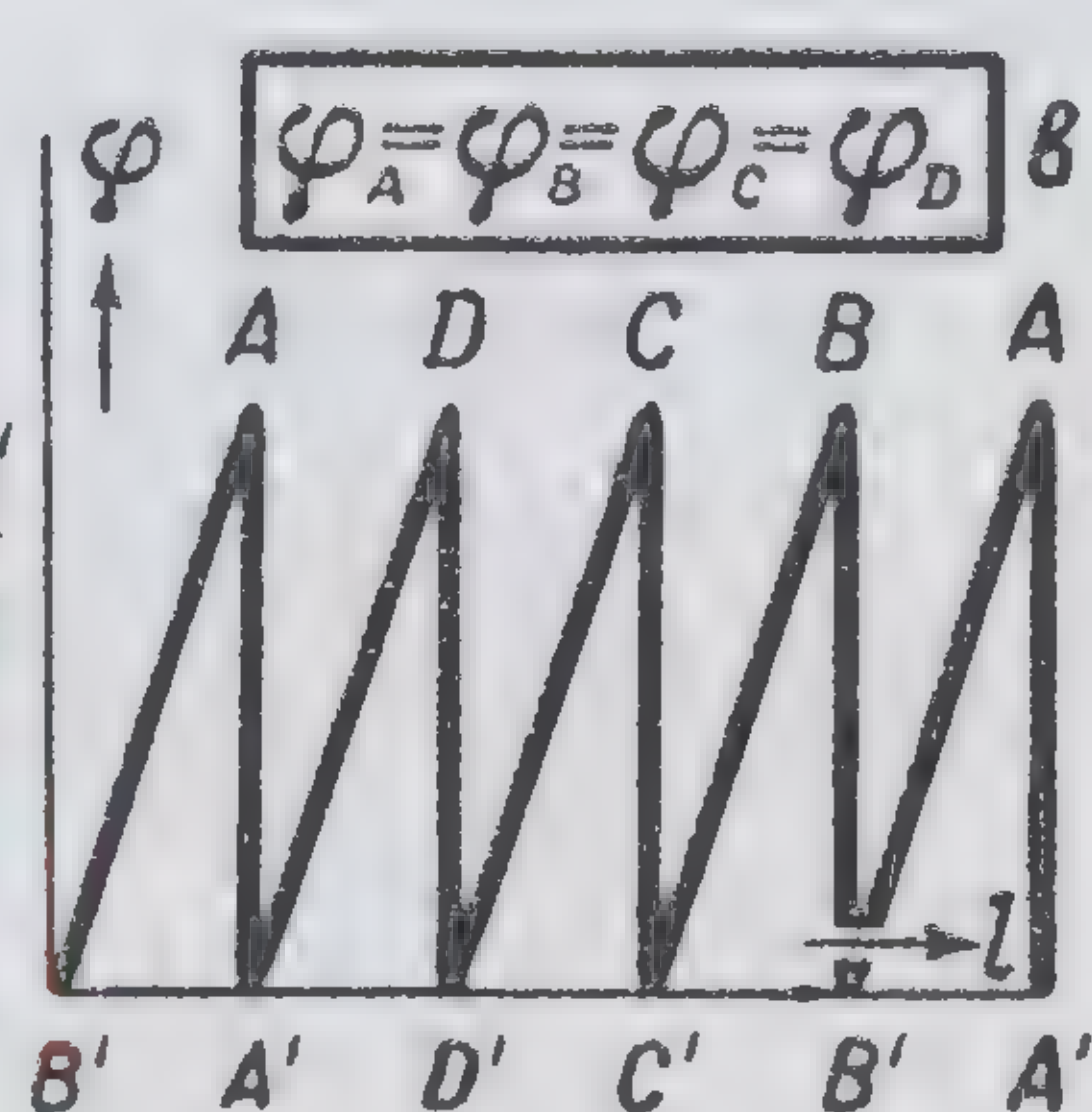
Внутри сердечника вихревое электрическое поле не имеет потенциала
Замкнутый виток в вихревом поле



Потенциал в вихревом поле вокруг сердечника МНОГООЗНАЧЕН

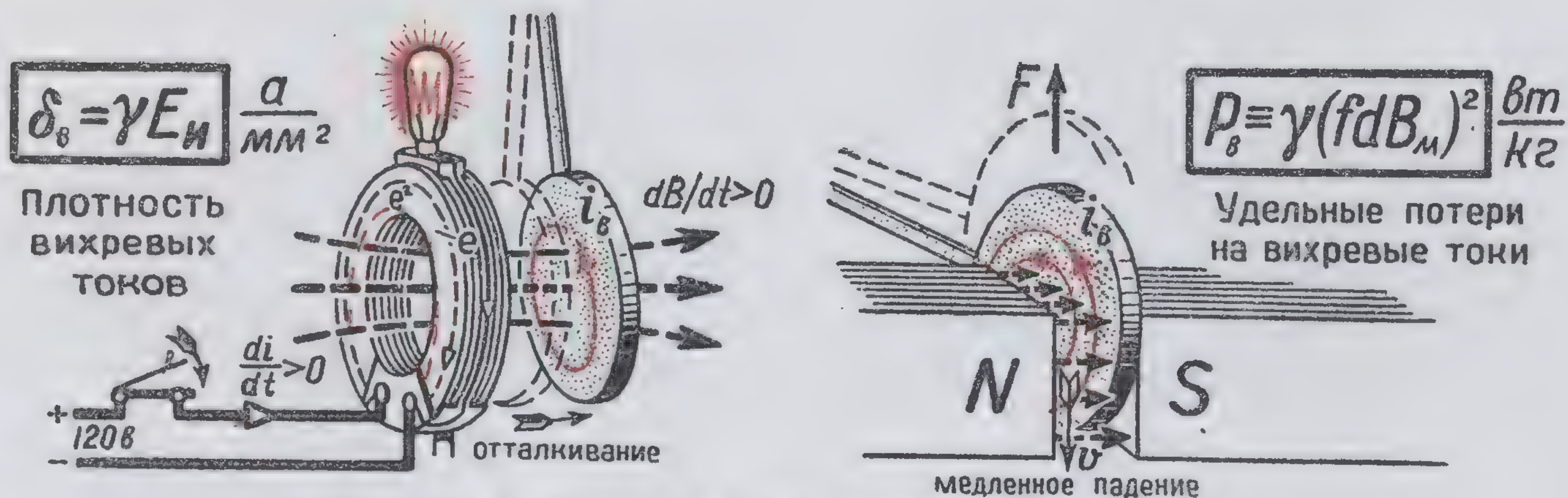


Замкнутый контур с 4 аккумуляторами (аналогия)

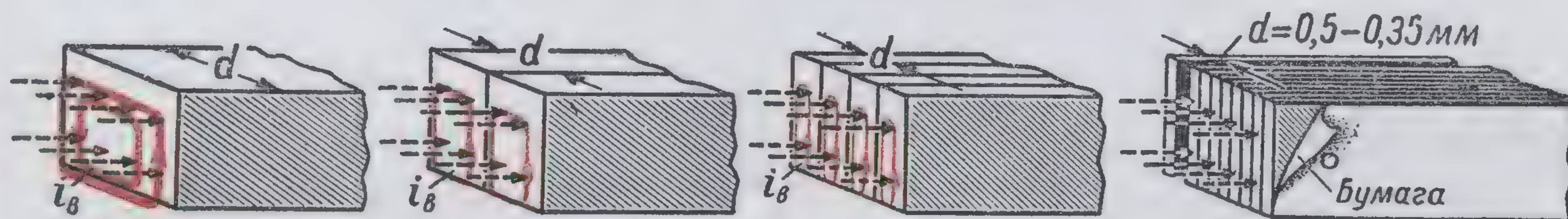


Потенциал в стационарном эл. поле ОДНОЗНАЧЕН

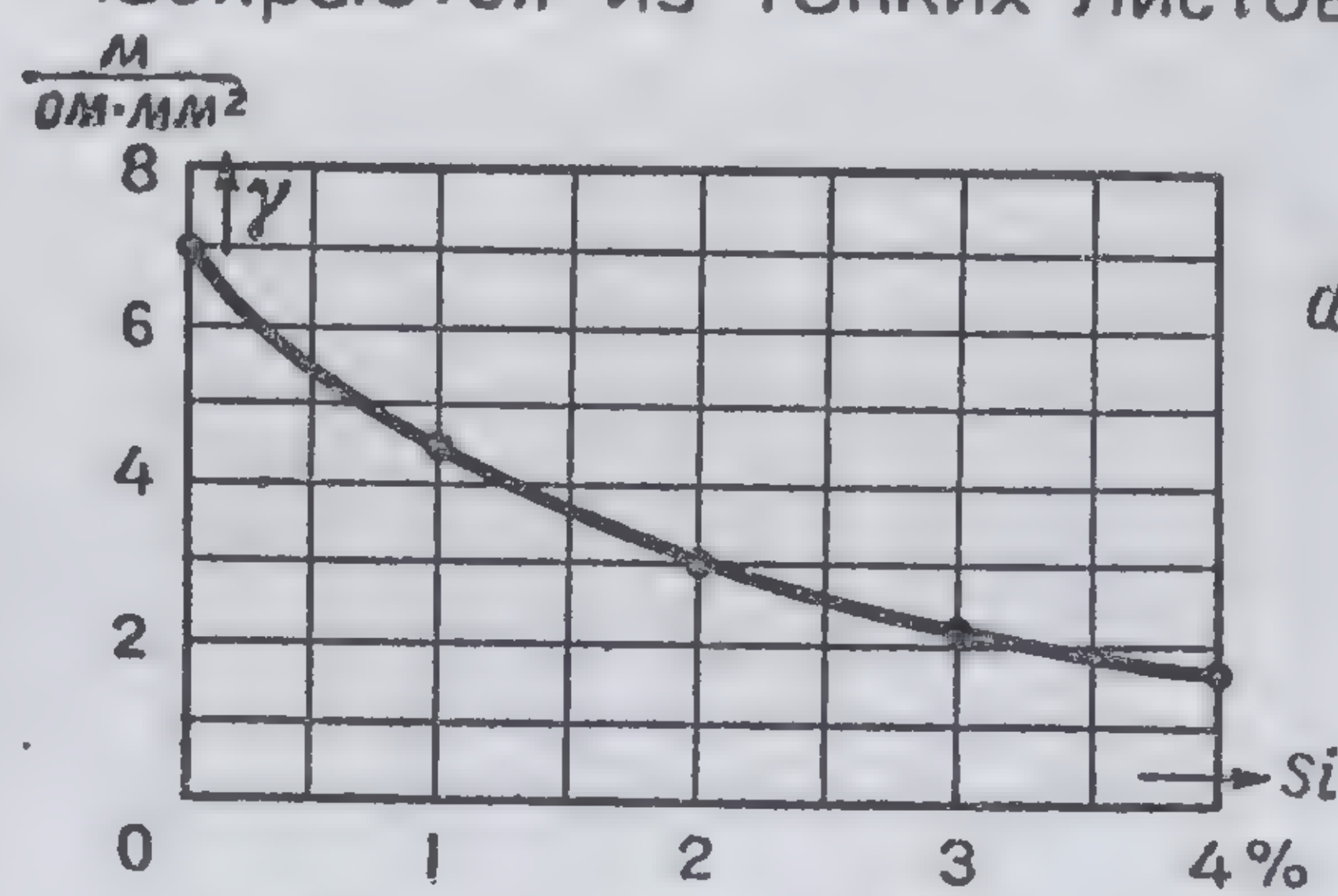
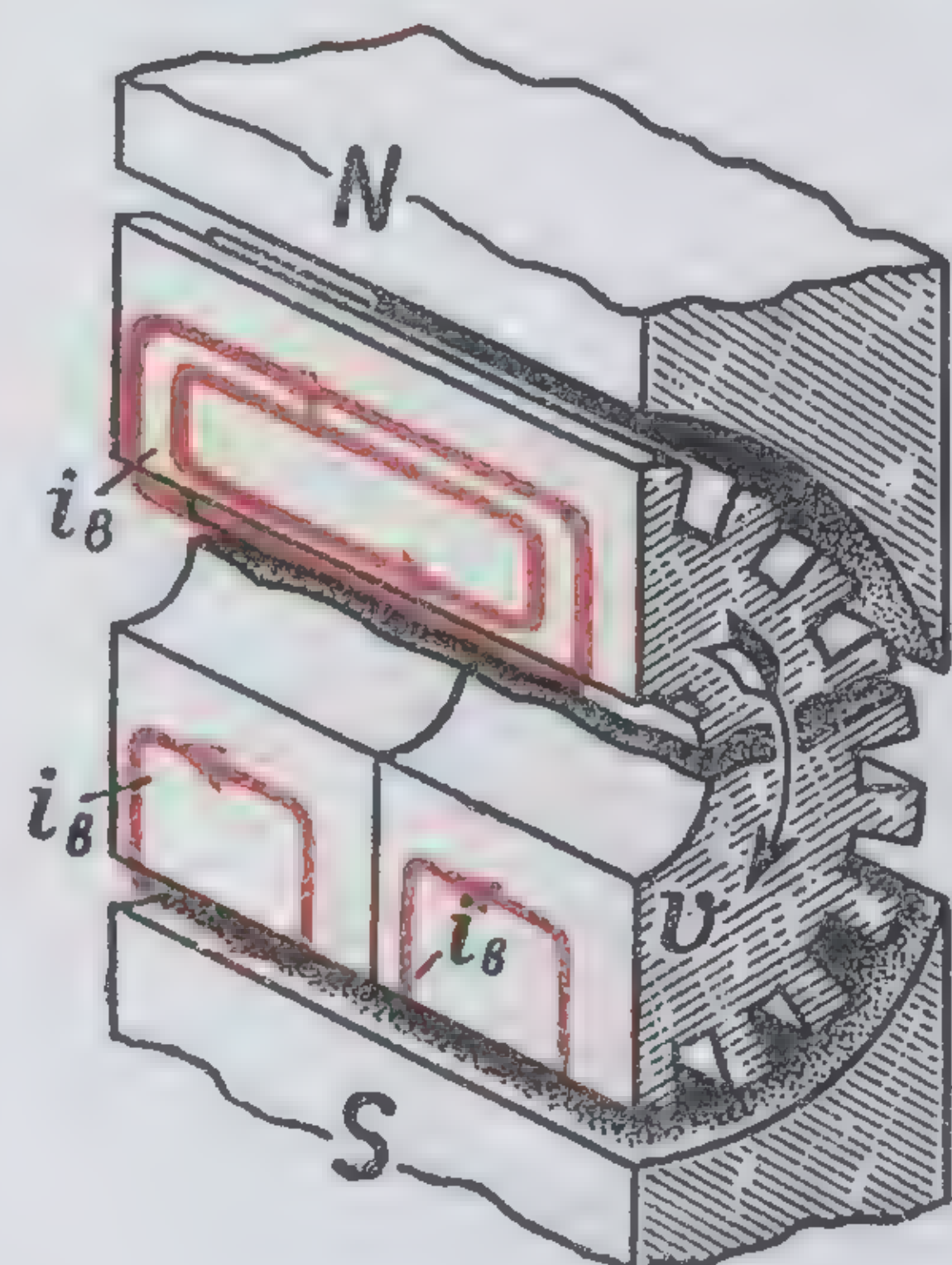
ВИХРЕВЫЕ ТОКИ



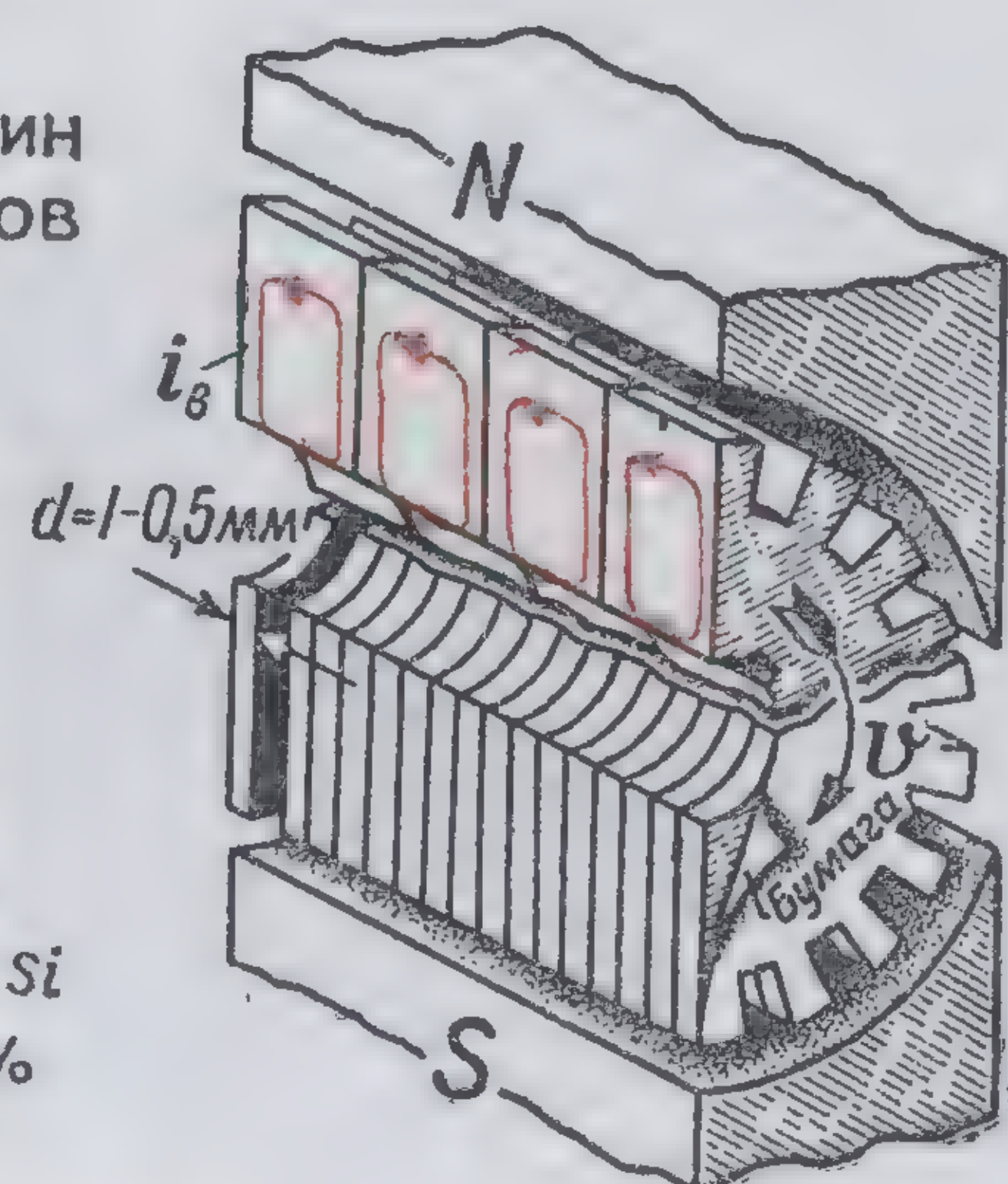
Вихревые токи в алюминиевом диске



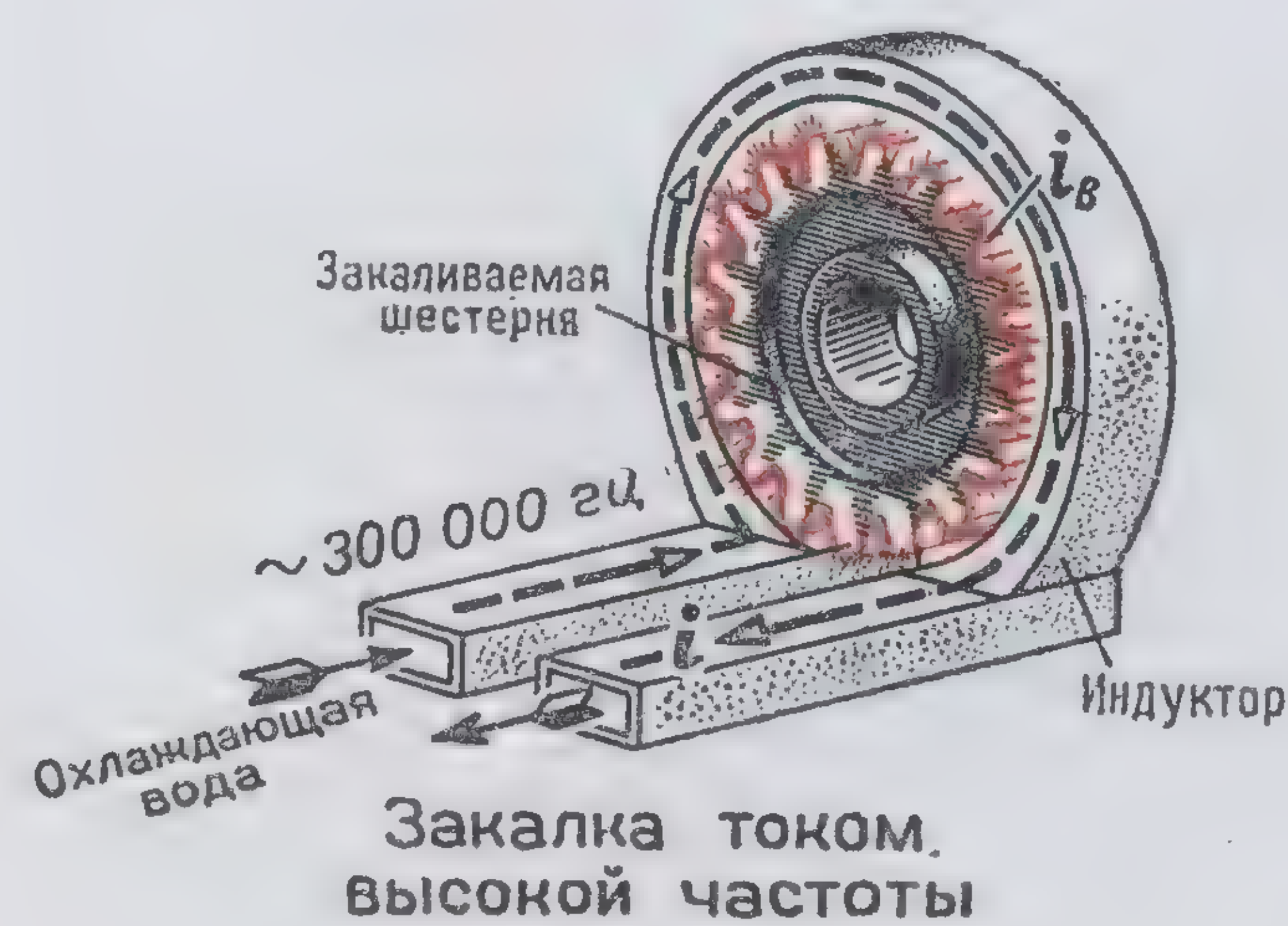
Для уменьшения потерь стальные сердечники и якоря электрических машин набираются из тонких листов



Добавление кремния (Si) уменьшает проводимость и потери в стали

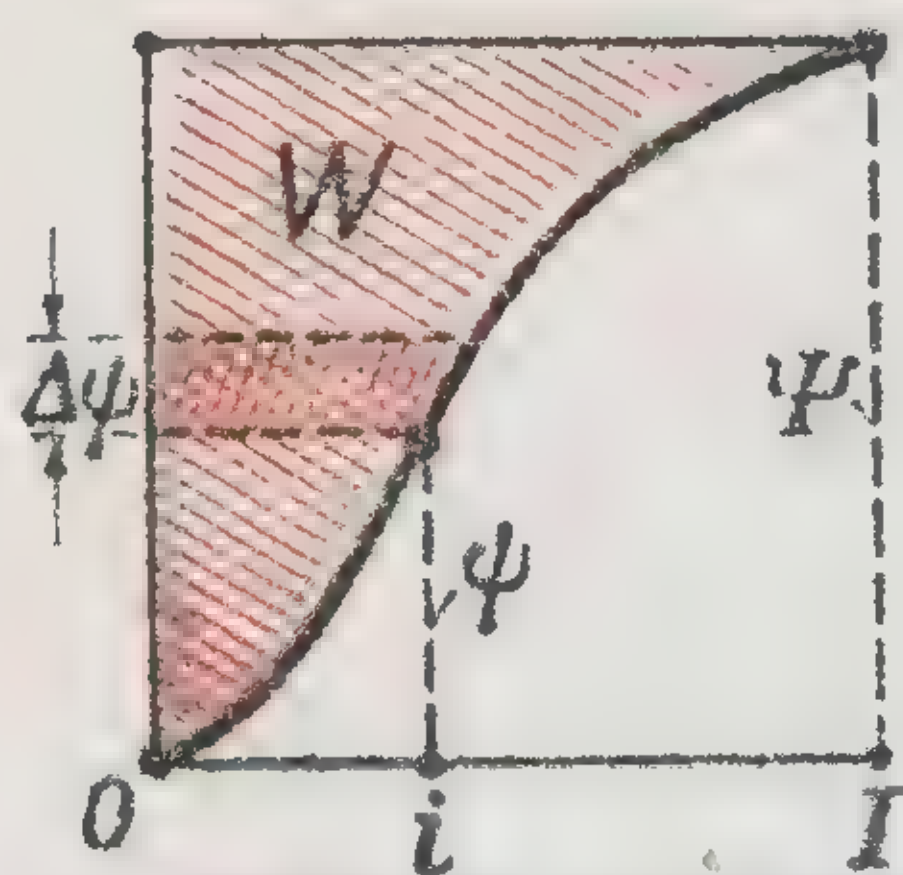


Уменьшение потерь на вихревые токи



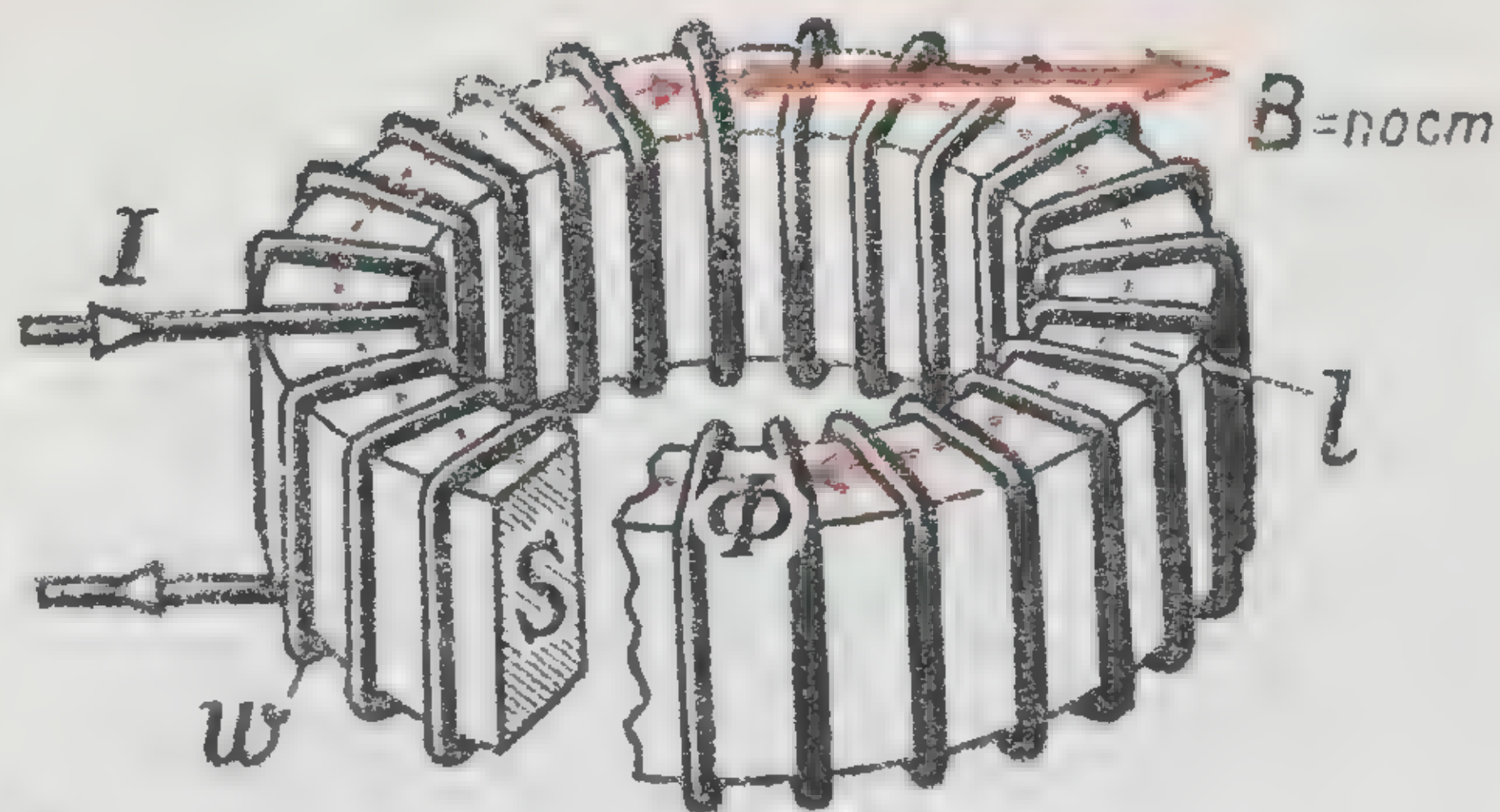
Использование вихревых токов

ЭНЕРГИЯ МАГНИТНОГО ПОЛЯ

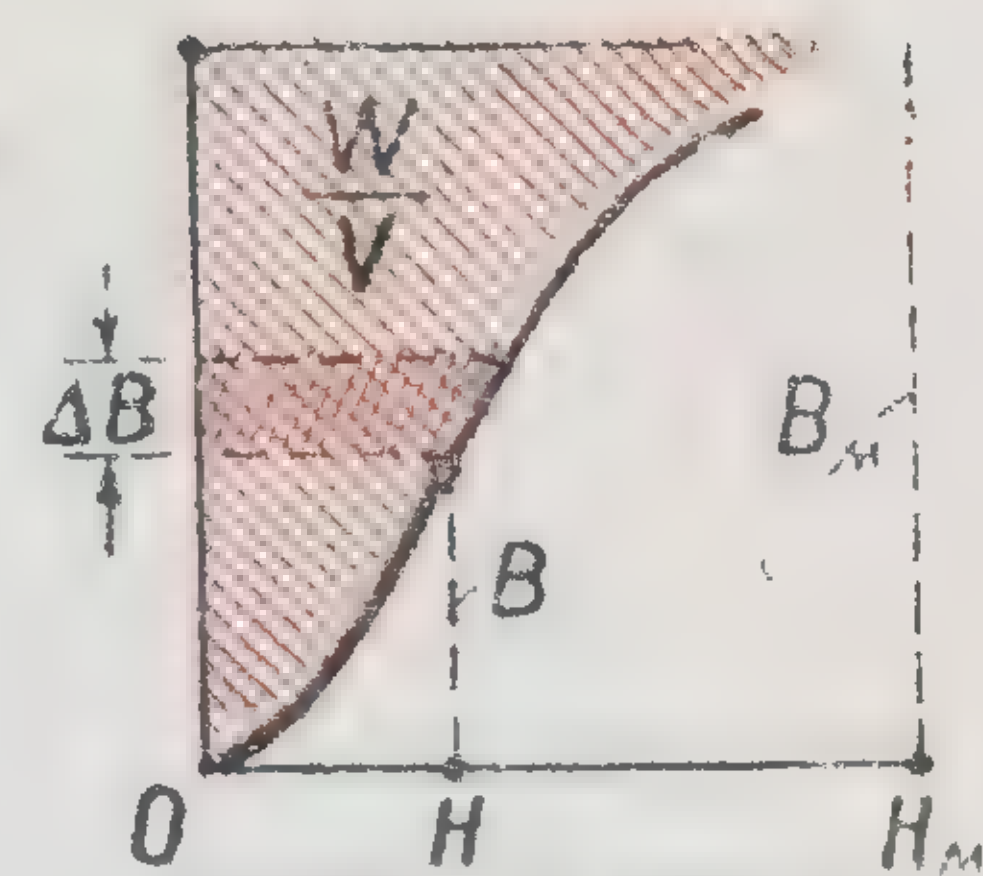


$$W = \sum_0^{\psi} i \Delta \psi \quad \text{дж}$$

Расход энергии при намагничении.

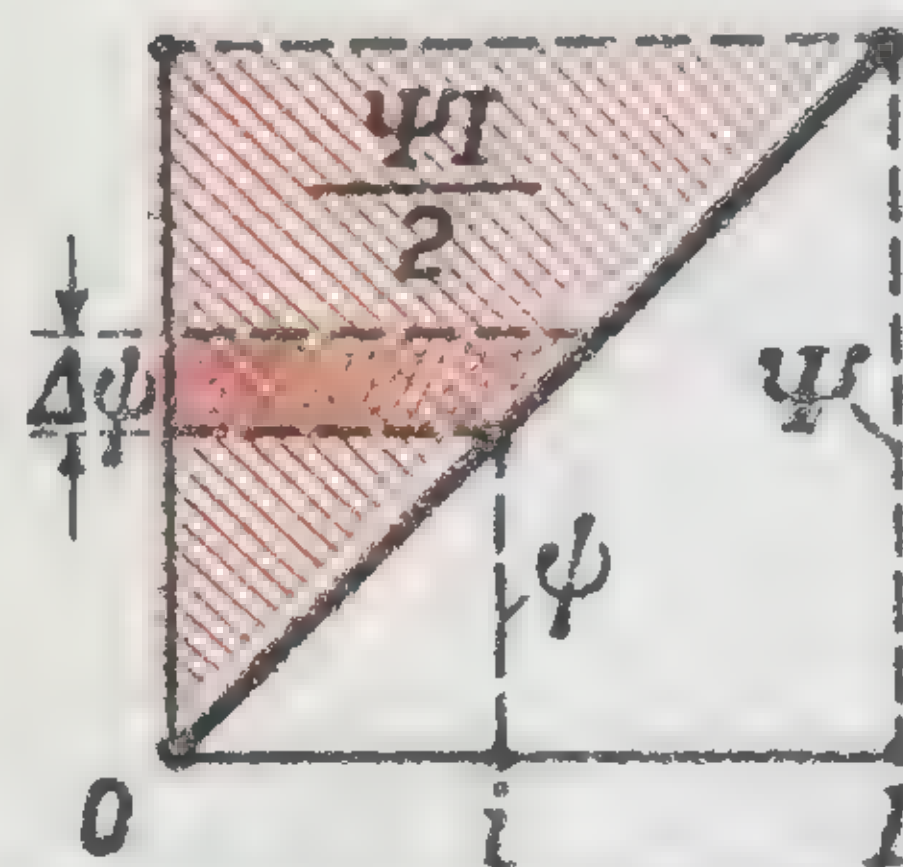


Однородное поле тороида



$$\frac{W}{V} = \sum_0^{B_m} H \Delta B \quad \frac{\text{дж}}{\text{м}^3}$$

Расход энергии, отнесенный к единице объема

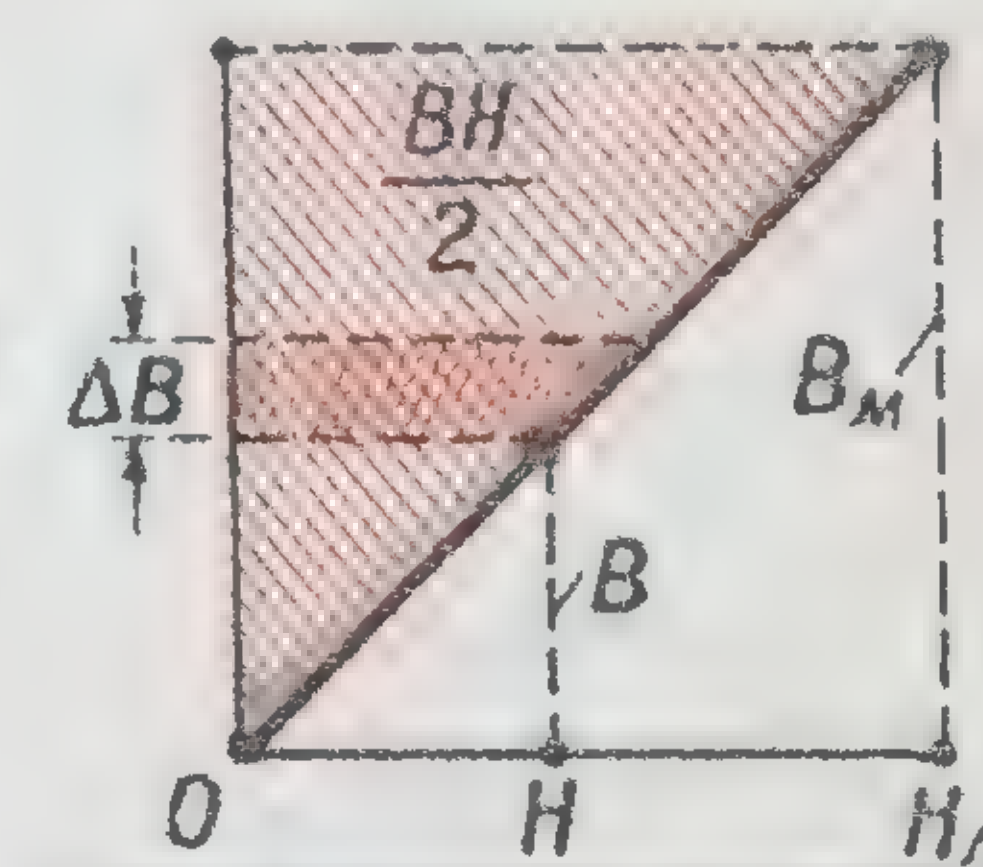


$$W = \frac{\Psi I}{2} = \frac{\Phi l w}{2} = \frac{BH}{2} Sl \quad \text{дж}$$

Энергия однородного поля тороида

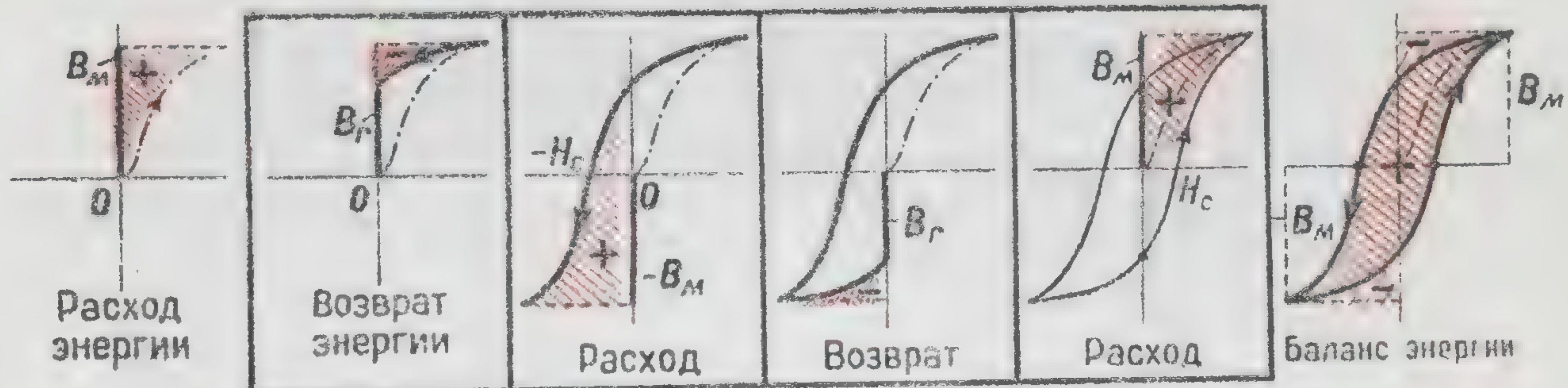
$$W = \sum \frac{\Psi I}{2} = \sum \frac{BH}{2} \Delta V \quad \text{дж}$$

Энергия магнитного поля
(для среды с постоянной проницаемостью)

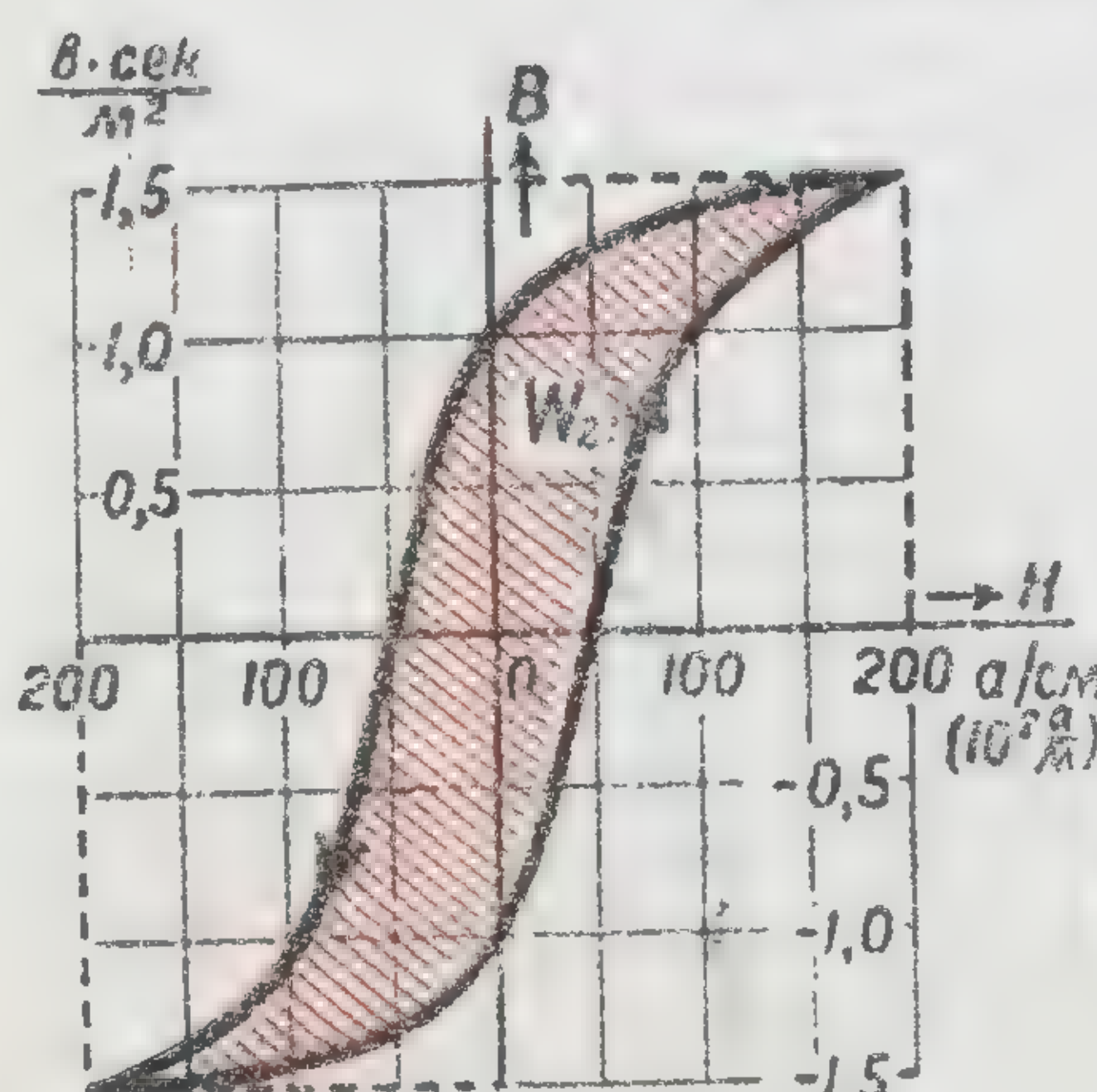


$$\frac{W}{V} = \frac{BH}{2} \quad \frac{\text{дж}}{\text{м}^3}$$

Объемная плотность энергии



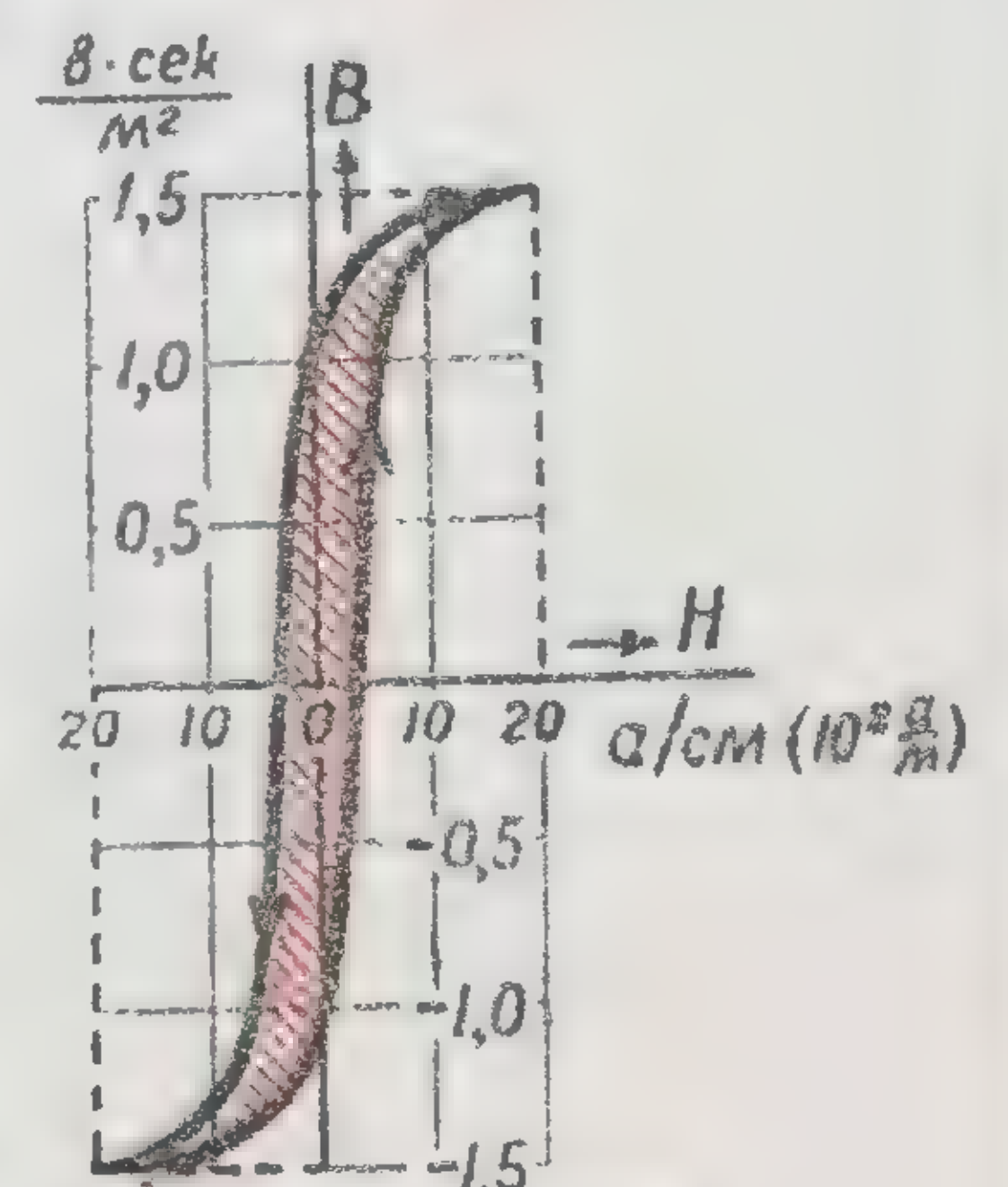
Баланс энергии за один цикл перемагничивания



Петля гистерезиса хромистой стали (большие потери)

$$W_2 = \sum_{B_m}^B H \Delta B \quad \frac{\text{дж}}{\text{м}^3}$$

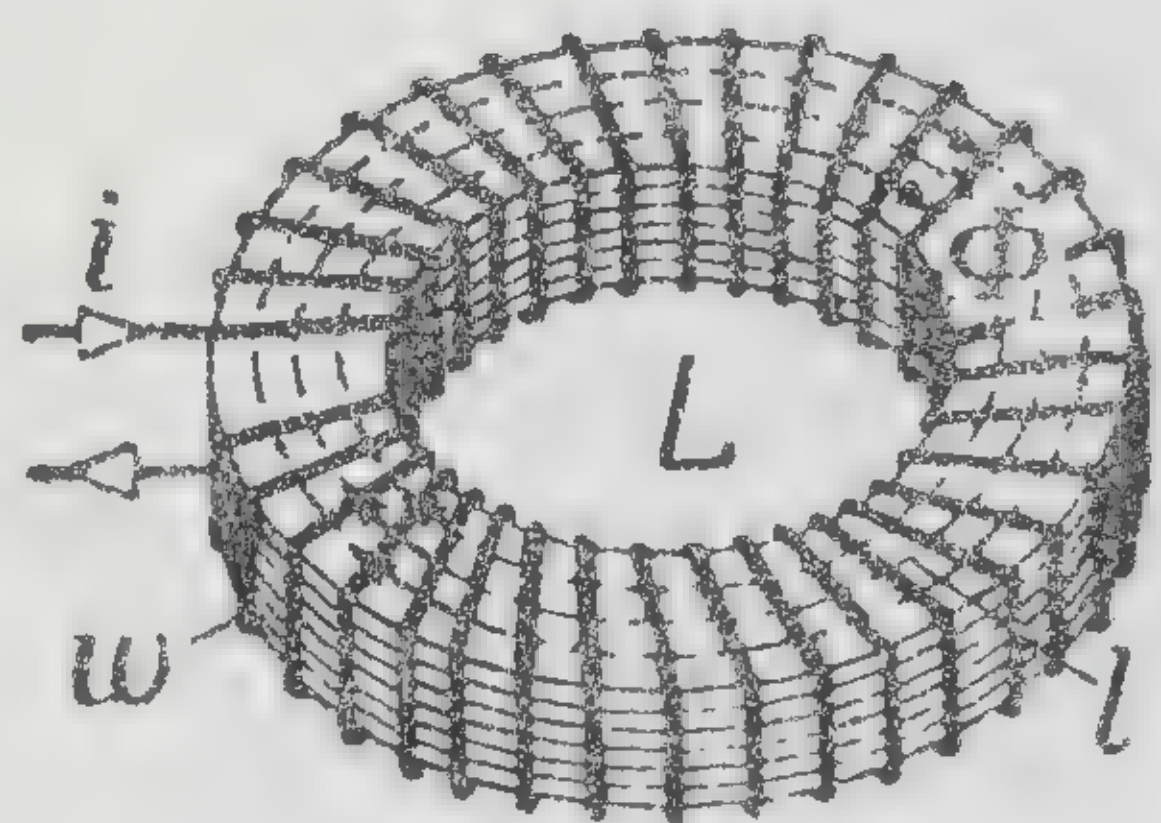
Потеря энергии на гистерезис за один цикл перемагничивания пропорциональна площади петли гистерезиса



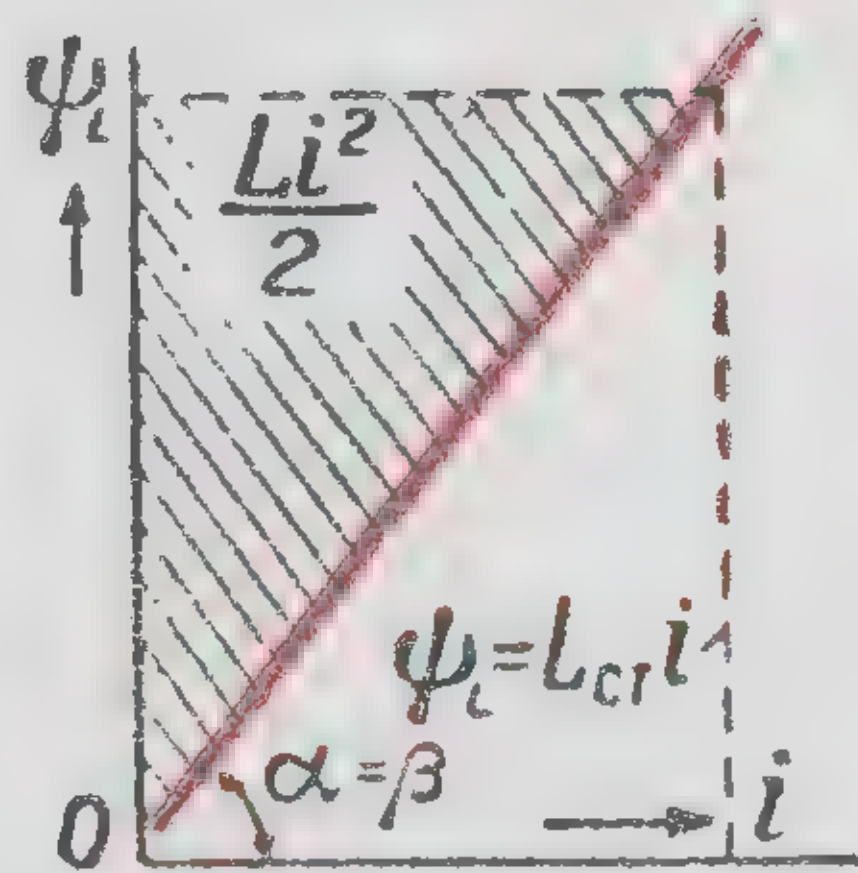
Петля гистерезиса стального литья (малые потери)

Потеря энергии в стали на гистерезис

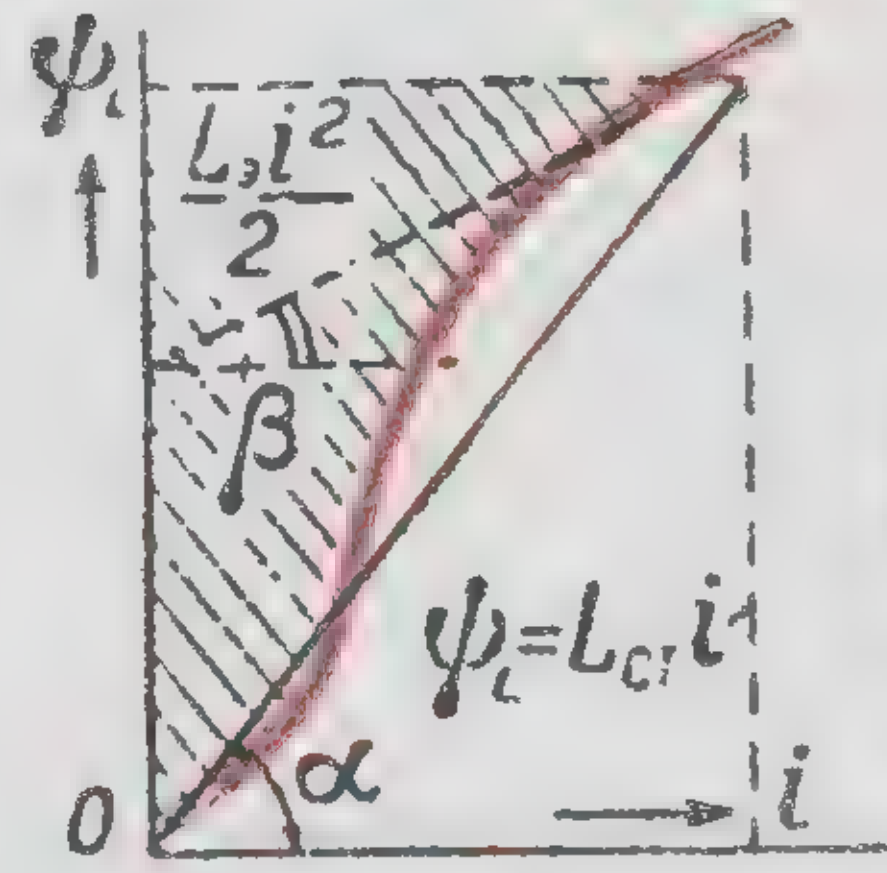
САМОИНДУКЦИЯ



Тороид
с током

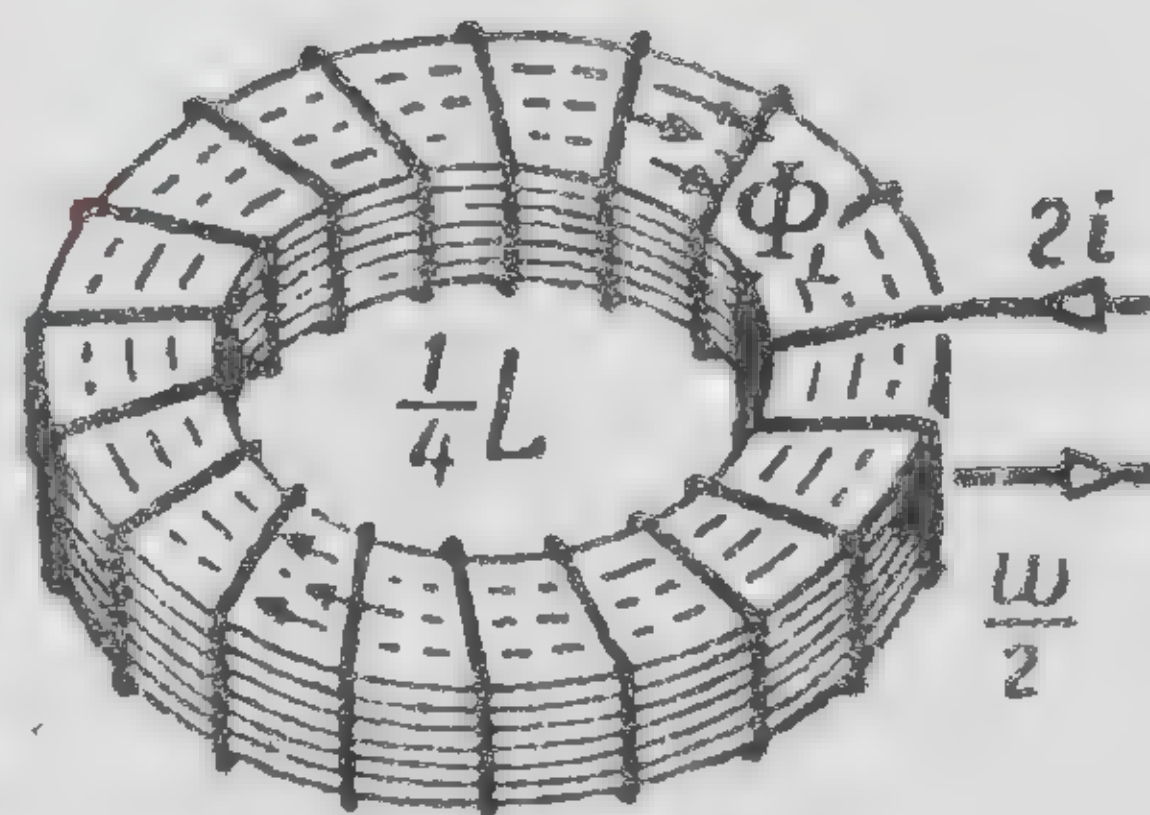


Нет насыщения



Сердечник насыщен

Магнитные характеристики



Тороид
с двойным током
и половинным числом витков

$$L_{cm} = \frac{\Phi}{i} (\text{тг} \alpha) \text{ гН} \left(\frac{\text{Всек}}{\text{А}} \right)$$

Статическая индуктивность контура измеряется отношением его потокоцепления к току

$$L = \frac{\omega \Phi}{i} = \omega^2 \frac{\mu S}{l} \text{ гН}$$

Индуктивность тороида

$$e_i = - \frac{d\Phi}{dt} = -L \frac{di}{dt} \text{ В}$$

Электродвижущая сила самоиндукции

$$L = \frac{e_i}{-di/dt} = \frac{d\Phi}{di} (\text{тг} \beta) \text{ гН} \left(\frac{\text{В}}{\text{А/сек}} \right)$$

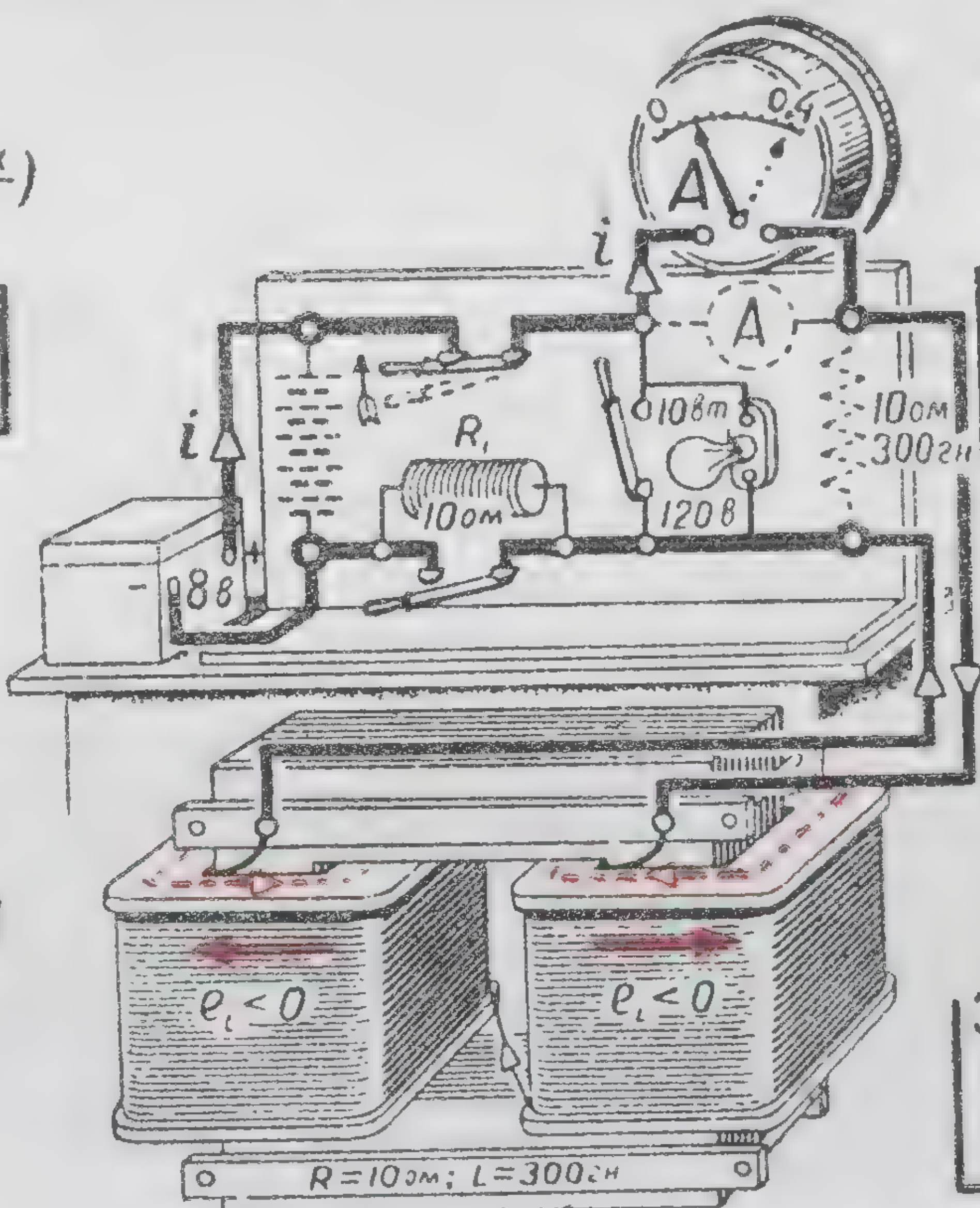
Динамическая индуктивность контура измеряется отношением наводимой ЭДС к скорости изменения в нем тока

$$W_L = \frac{Li^2}{2} \text{ Дж}$$

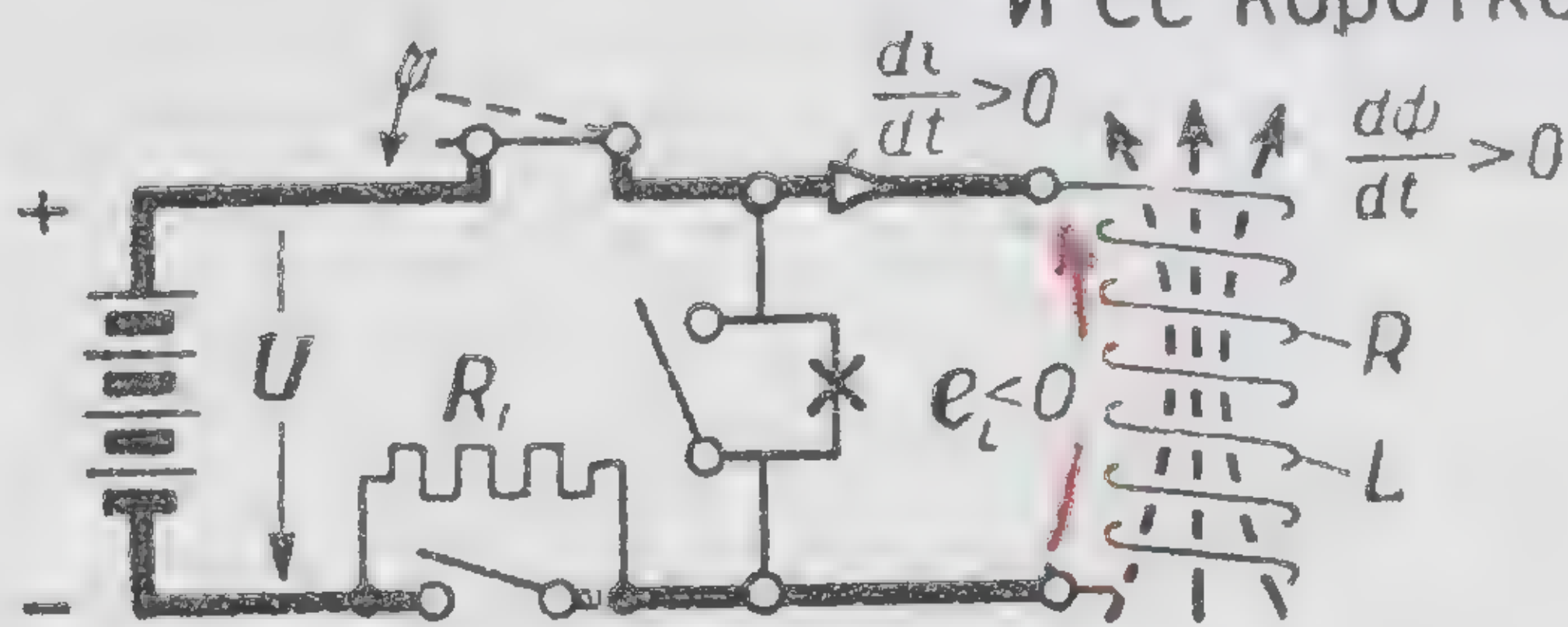
Энергия потока самоиндукции

$$L = 2 \frac{W_L}{i^2} \text{ гН} \left(\frac{\text{Дж}}{\text{А}^2} \right)$$

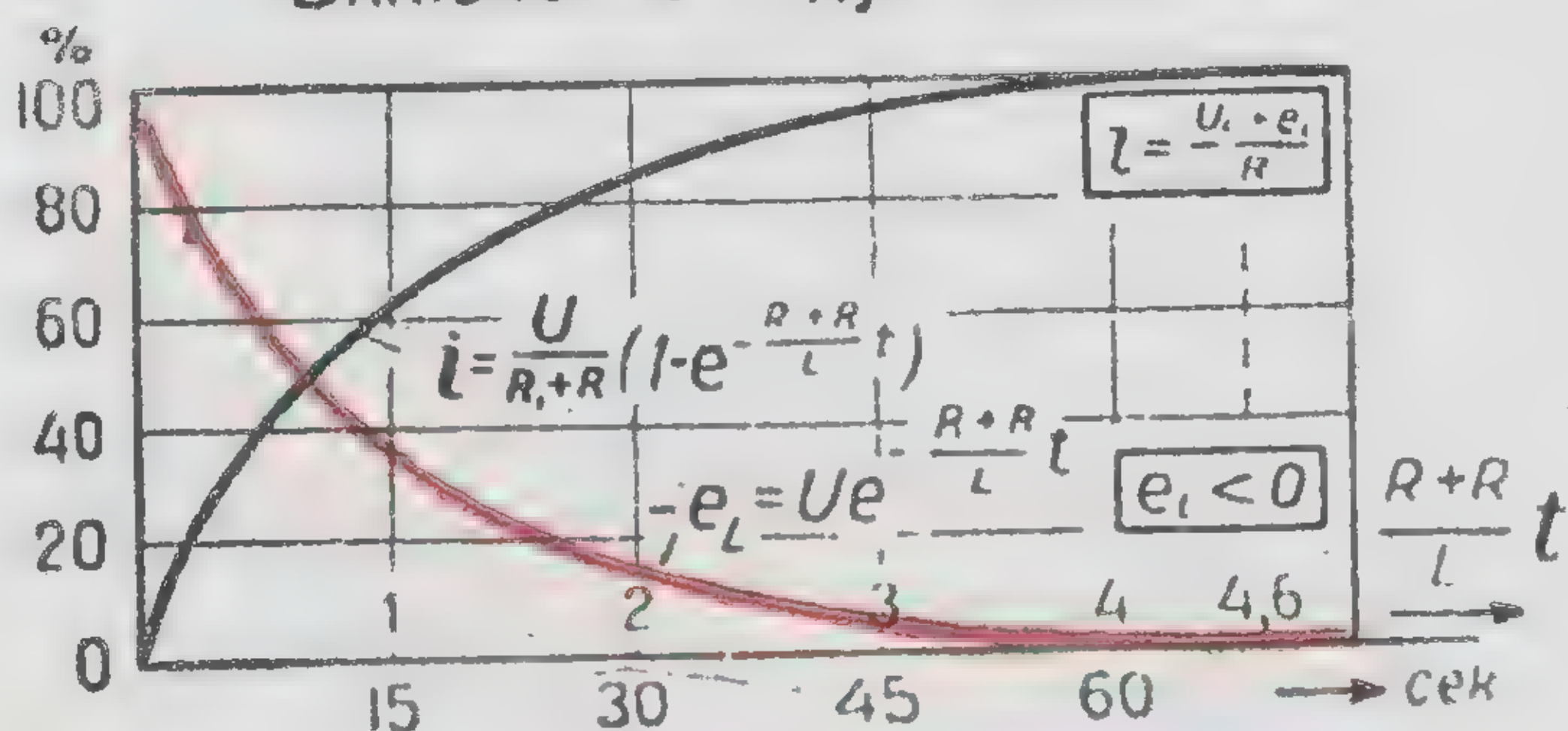
Энергетическая индуктивность контура измеряется удвоенной энергией потока самоиндукции, отнесенной к квадрату тока



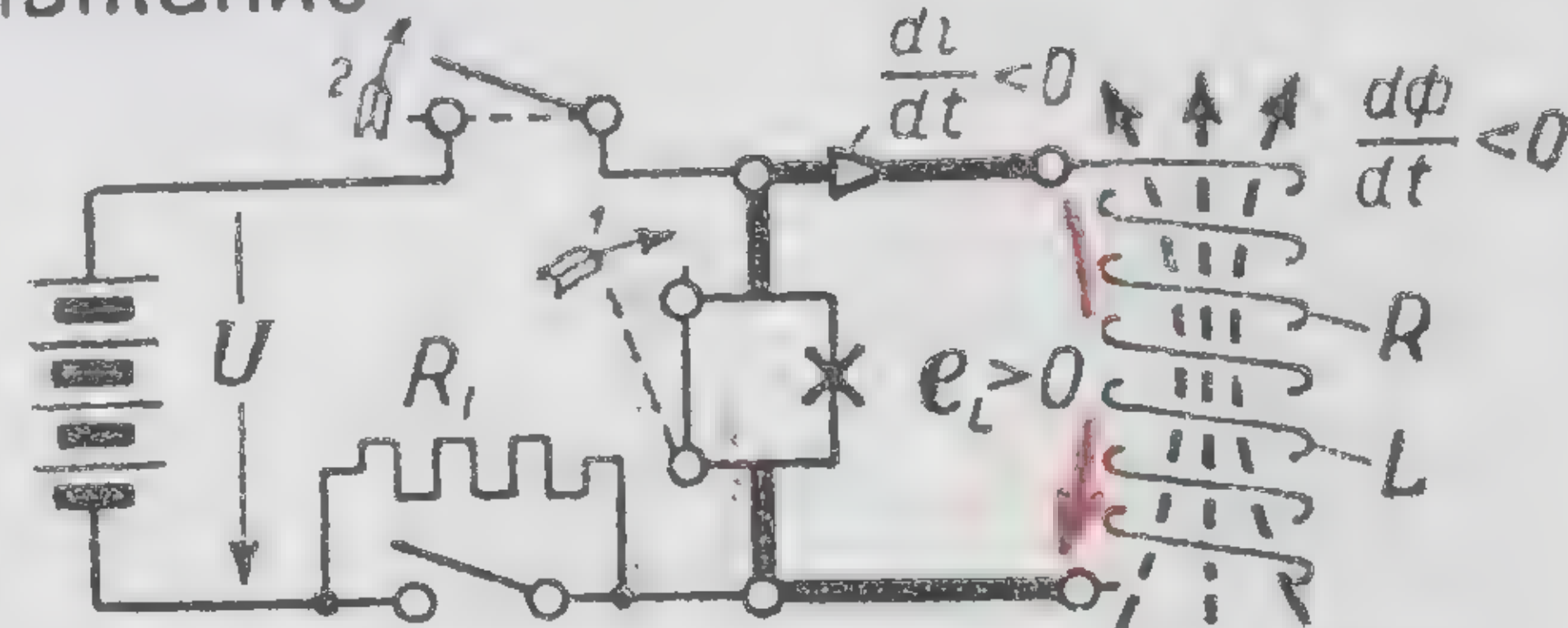
включение индуктивности к постоянному напряжению и ее короткое замыкание



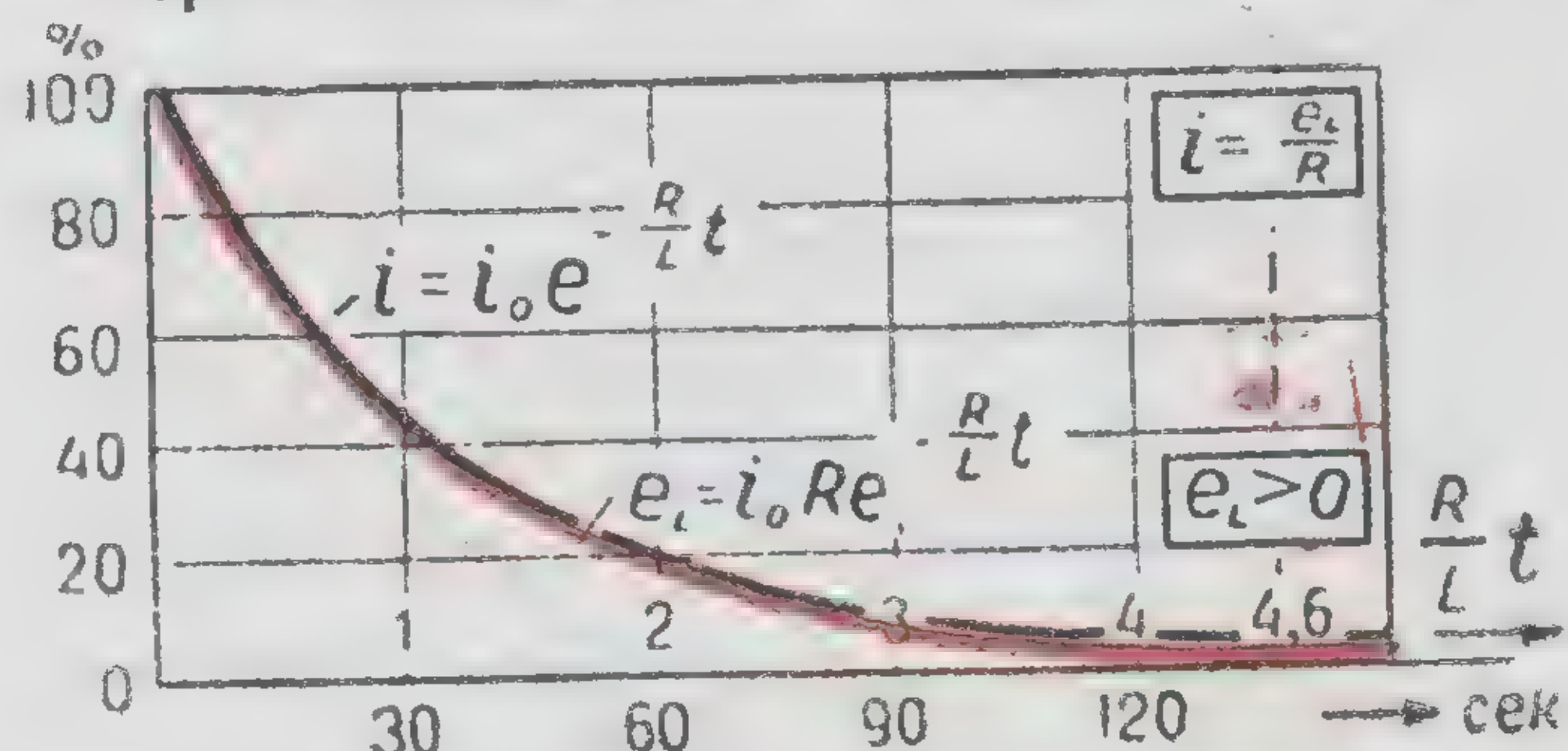
Включение индуктивности



Э.д.с. направлена ПРОТИВ нарастающего тока

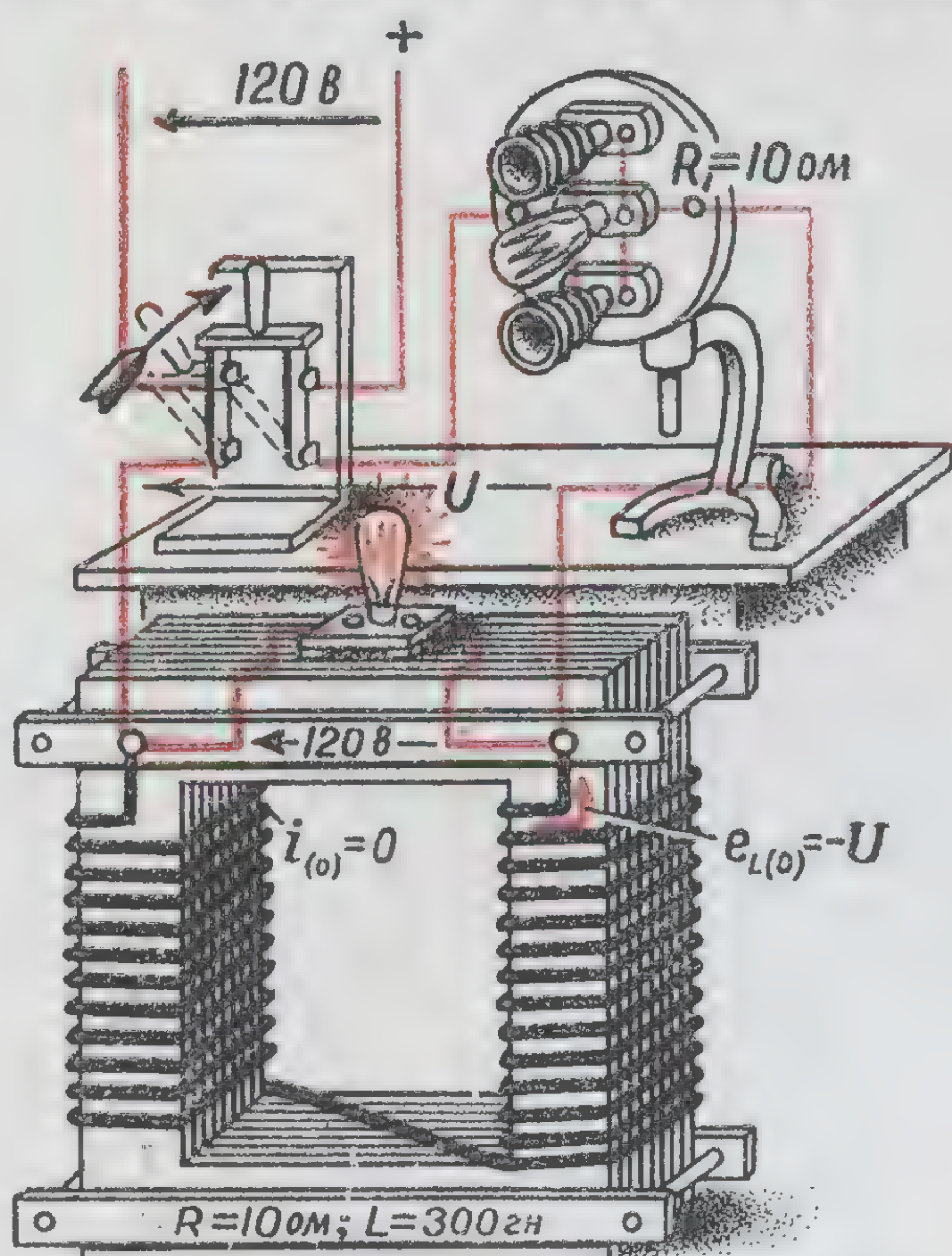


Короткое замыкание индуктивности

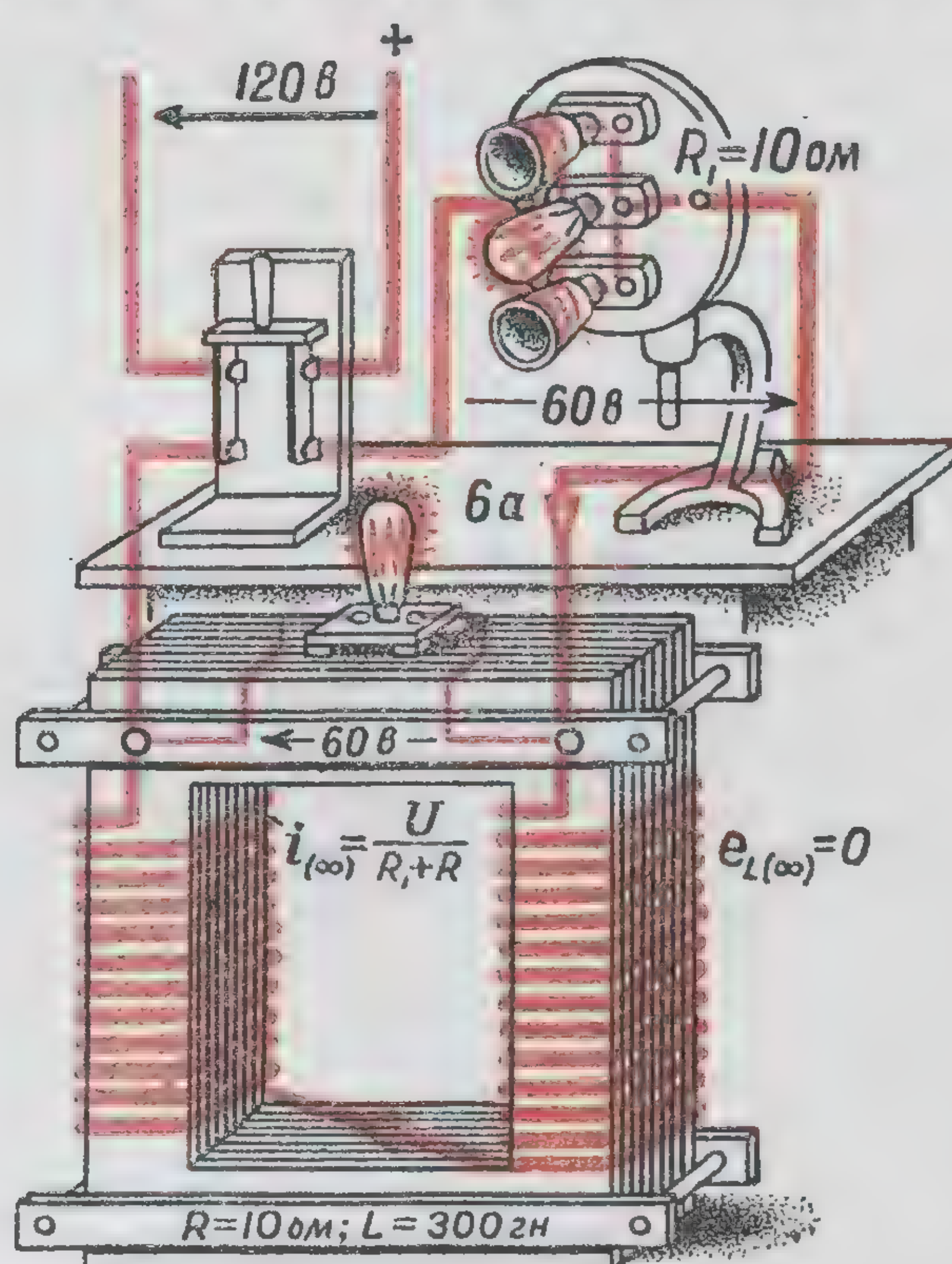


Э.д.с. направлена ПО убывающему току

ВКЛЮЧЕНИЕ И ВЫКЛЮЧЕНИЕ ЦЕПИ С ИНДУКТИВНОСТЬЮ

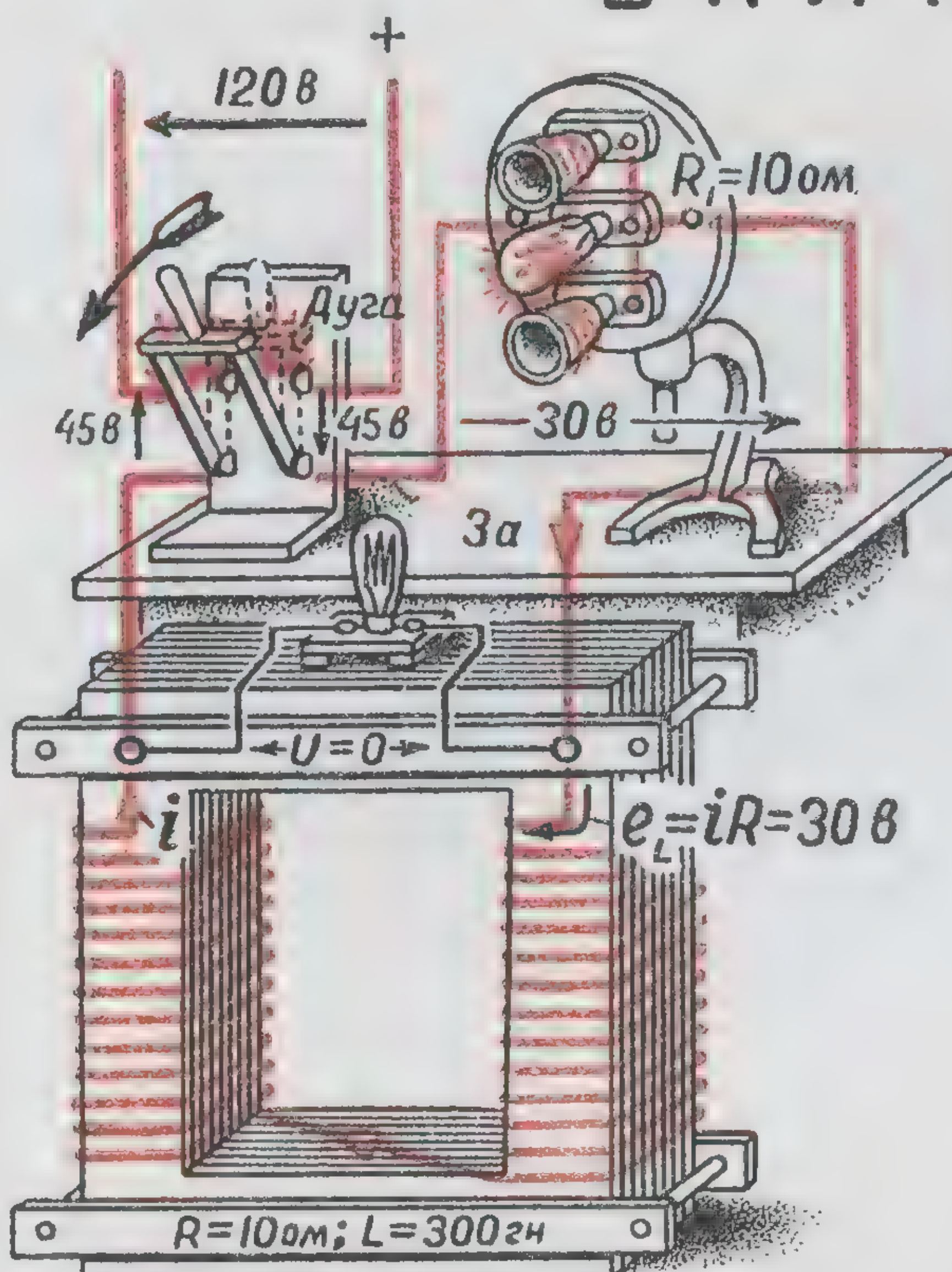


В момент включения ток равен нулю, а противо-Э.Д.С. самоиндукции равна приложенному напряжению

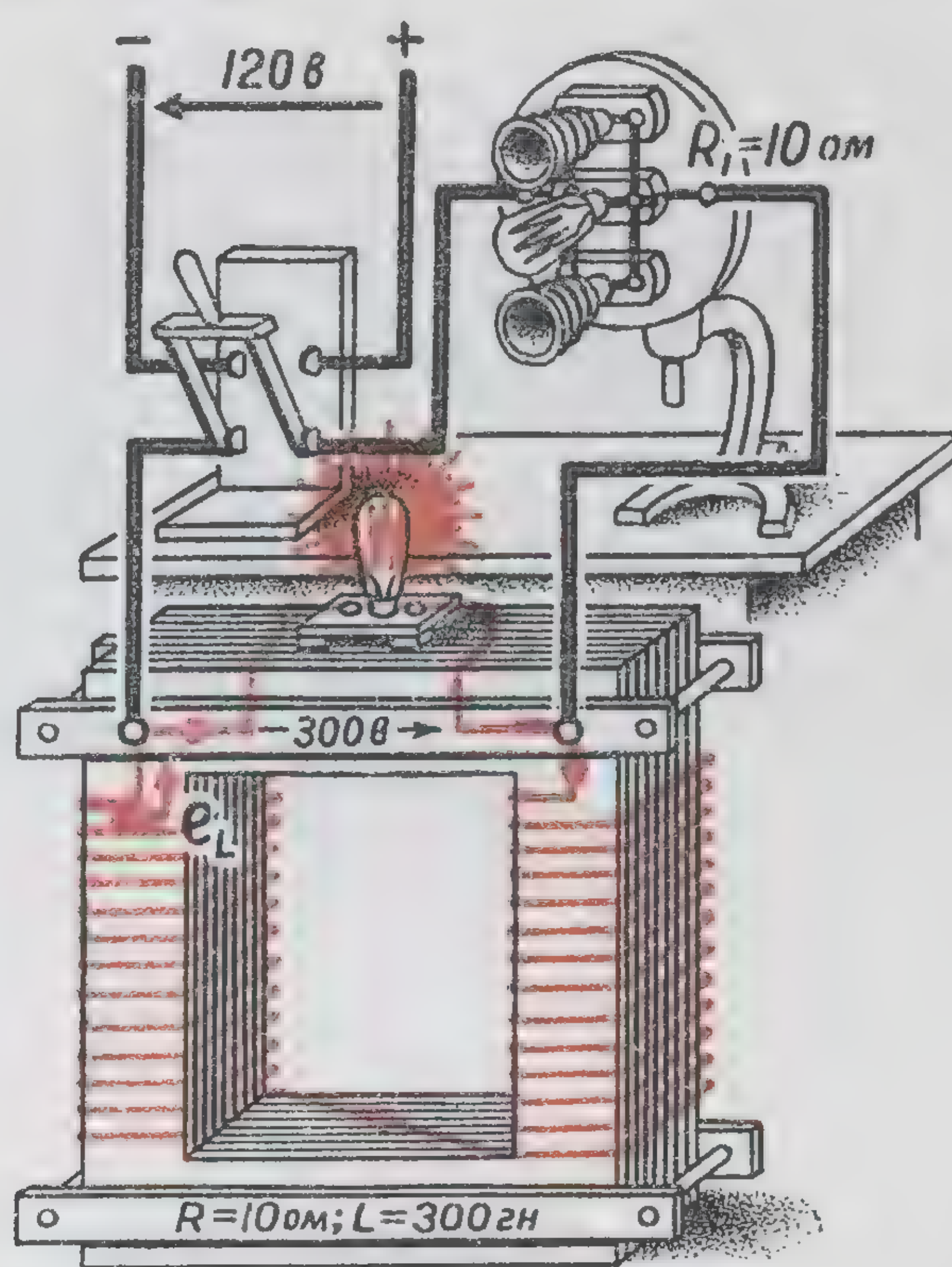


При установившемся токе Э.Д.С. самоиндукции отсутствует

В К Л Ю Ч Е Н И Е



В процессе выключения образующаяся дуга замедляет спад тока



В момент обрыва дуги в обмотке возникает большая Э.Д.С. самоиндукции

В Ы К Л Ю Ч Е Н И Е

$$W_L = \frac{BH}{2} V = \frac{Li^2}{2} \text{ Дж}$$

Энергия потока самоиндукции

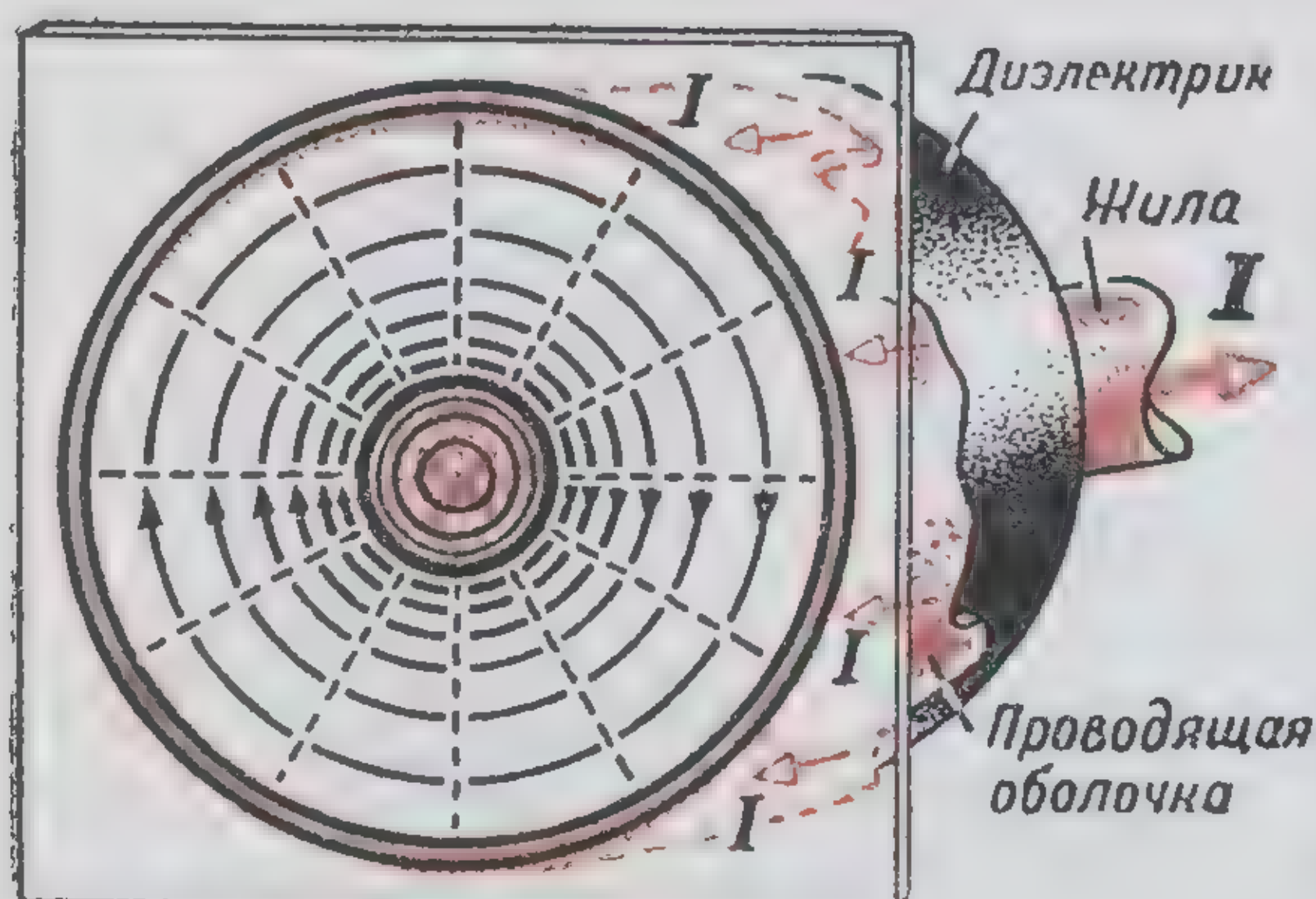
Индуктивность — мера инерции электрического контура с током

$$W = \frac{mv^2}{2} \text{ Дж}$$

Кинетическая энергия движущегося тела

Э.И.Расовский.

ИНДУКТИВНОСТЬ КАБЕЛЯ И ДВУХПРОВОДНОЙ ЛИНИИ



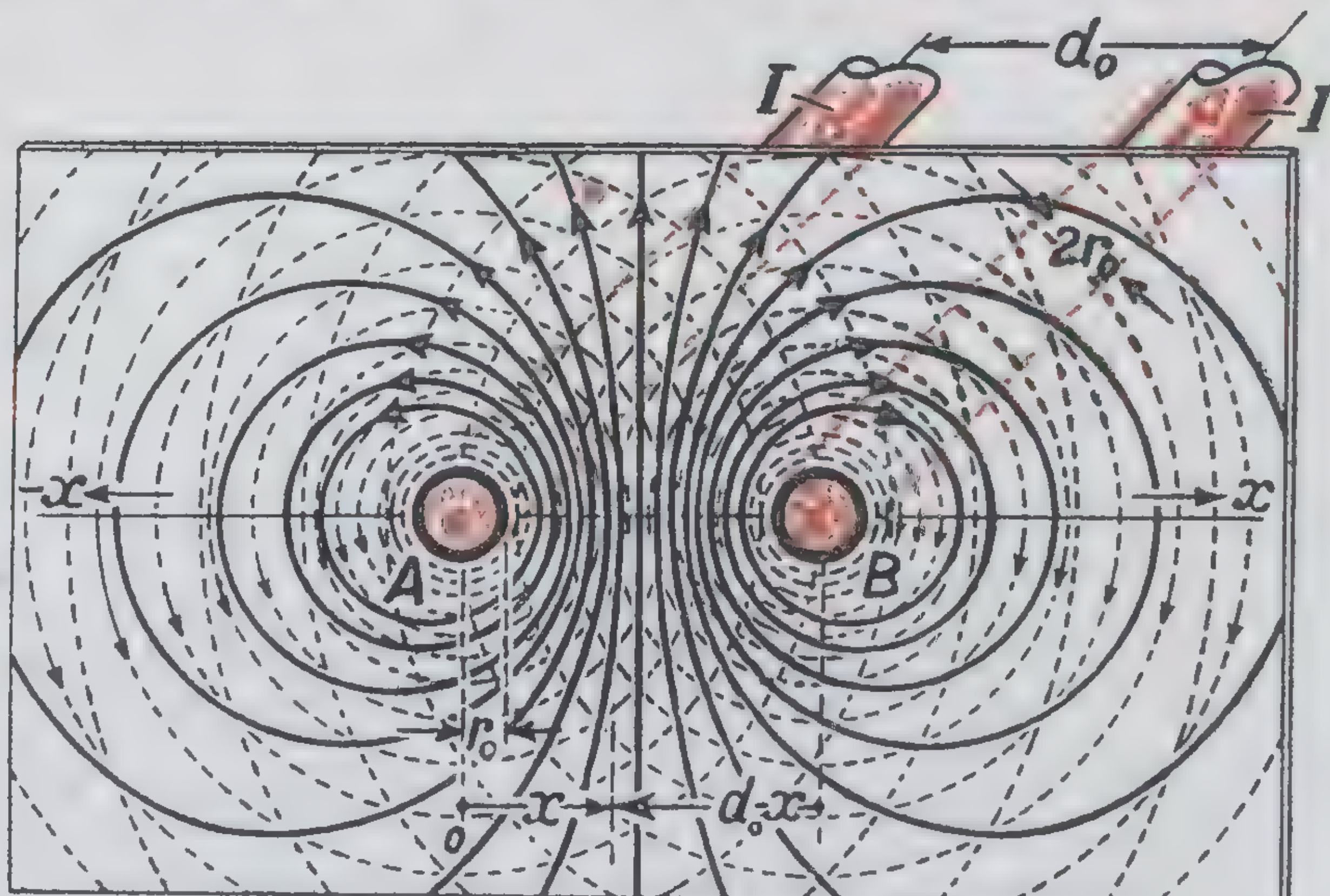
Магнитное поле коаксиального кабеля



$$H_1 = \frac{I}{2\pi a^2} x = \frac{\delta}{2} x \frac{a}{m}$$

Напряженность магнитного поля в жиле кабеля и его диэлектрике

$$H_2 = \frac{I}{2\pi x} \frac{a}{m}$$



Магнитное поле двухпроводной линии как результат наложения полей обоих проводов

$$H_x = H'_x + H''_x = \frac{I}{2\pi x} + \frac{I}{2\pi(d_0 - x)} \frac{a}{m}$$

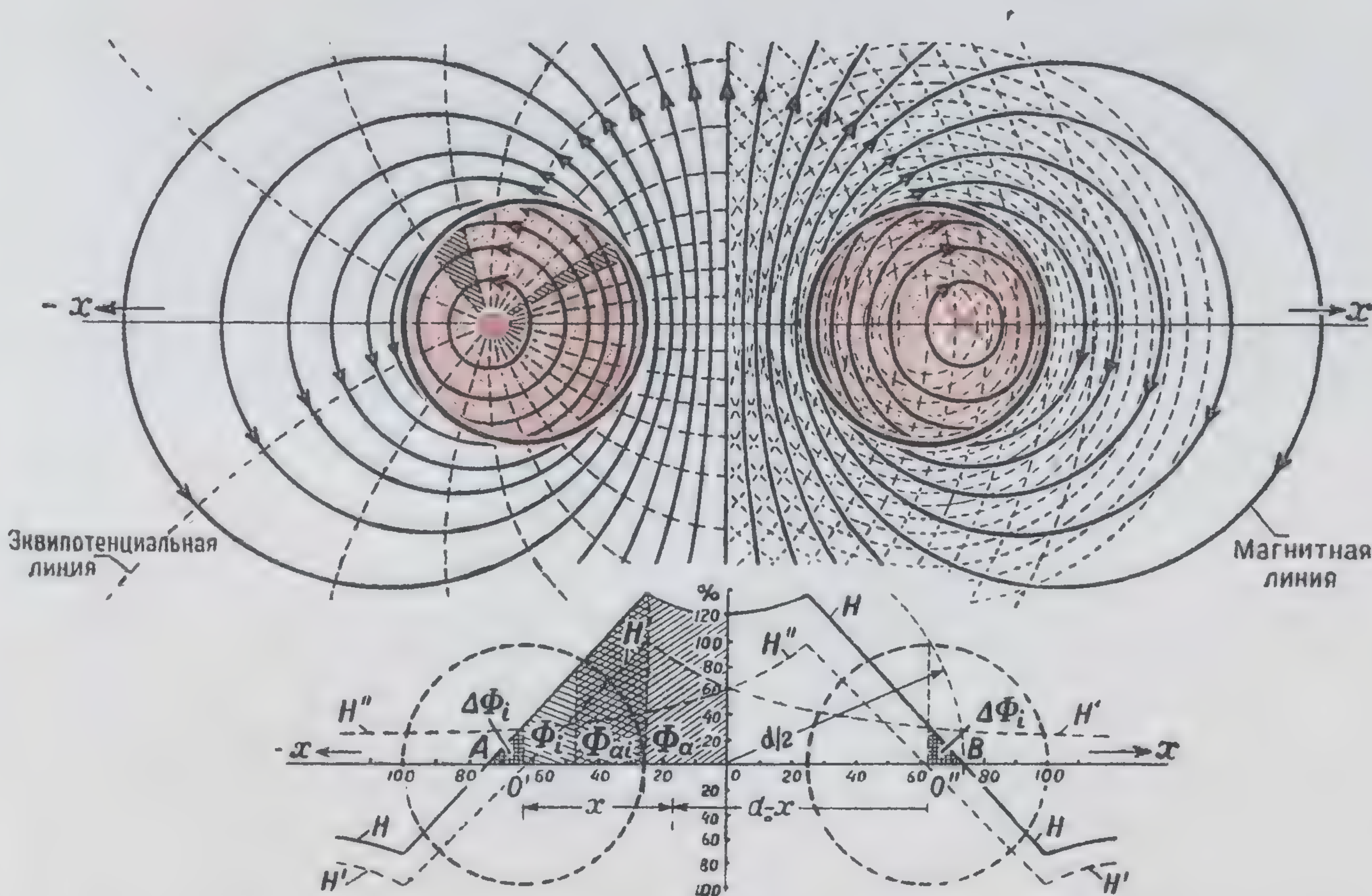
Напряженность поля вдоль горизонтальной оси

$$L_{AB} = 0,1 + 0,4 \ln \frac{d_0}{r_0} \frac{мгн}{км}$$

Индуктивность двухпроводной линии

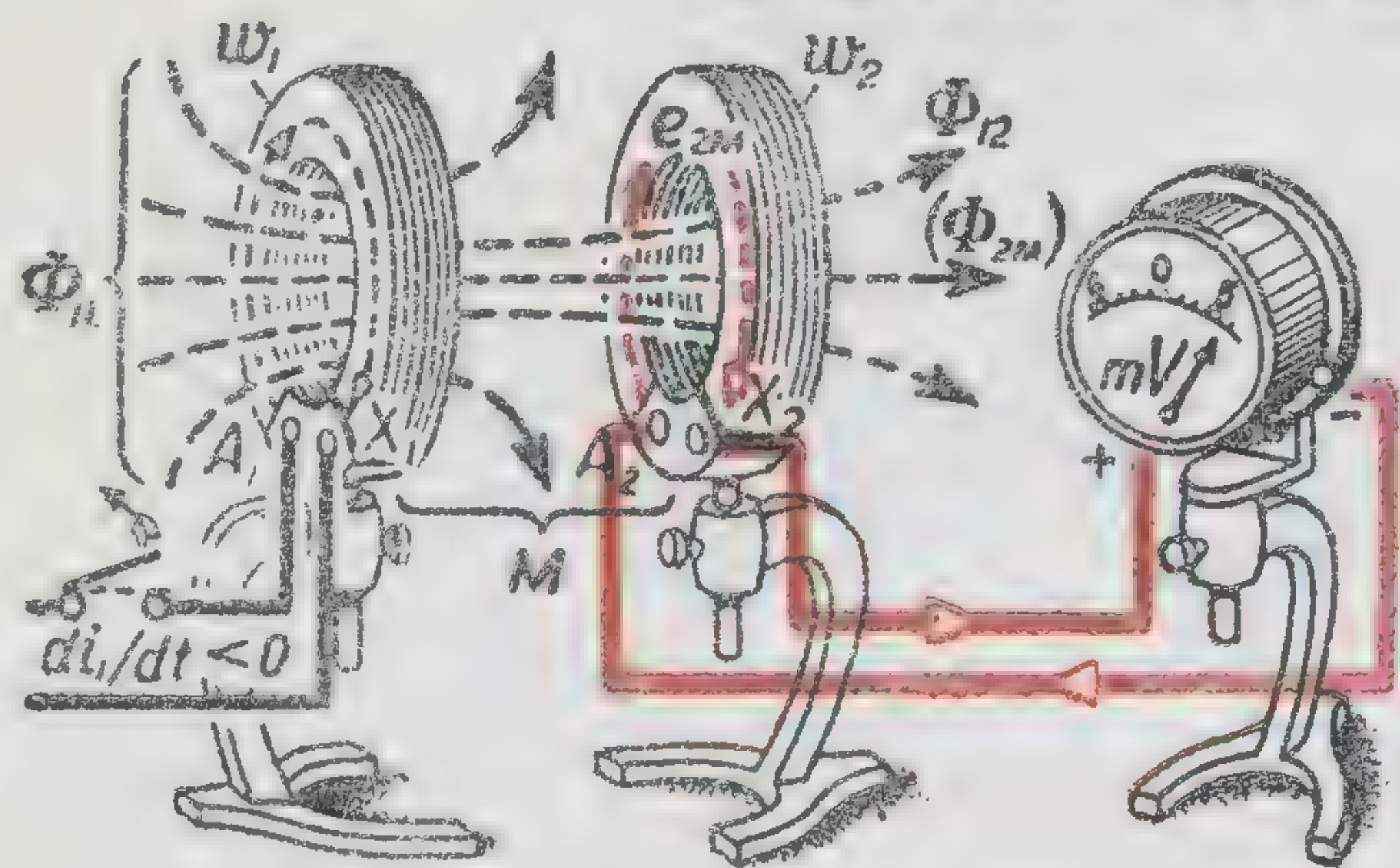
$$L_A = \frac{L_{AB}}{2} = 0,05 + 0,2 \ln \frac{d_0}{r_0} \frac{мгн}{км}$$

Рабочая индуктивность одного провода

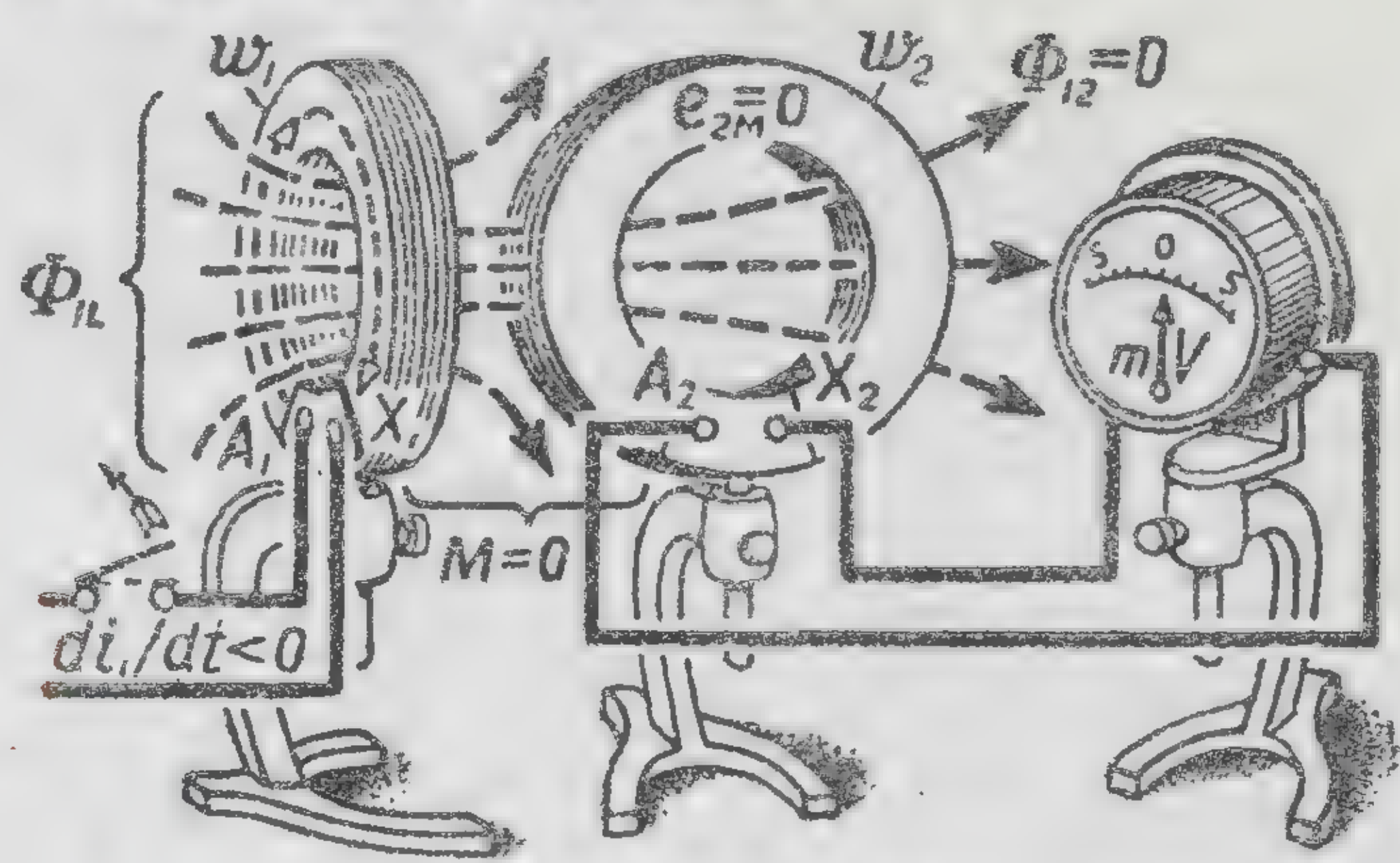


Магнитное поле двух параллельных цилиндров с постоянным током

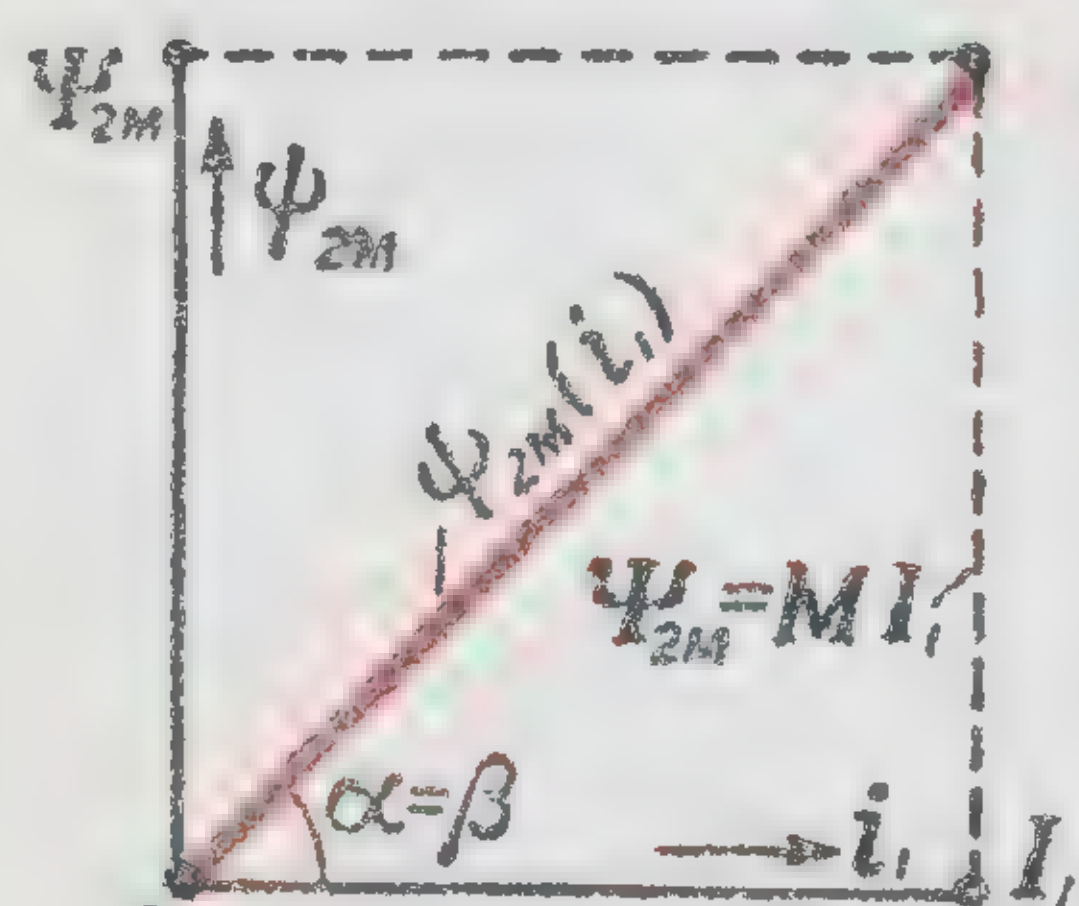
ВЗАИМОИНДУКЦИЯ



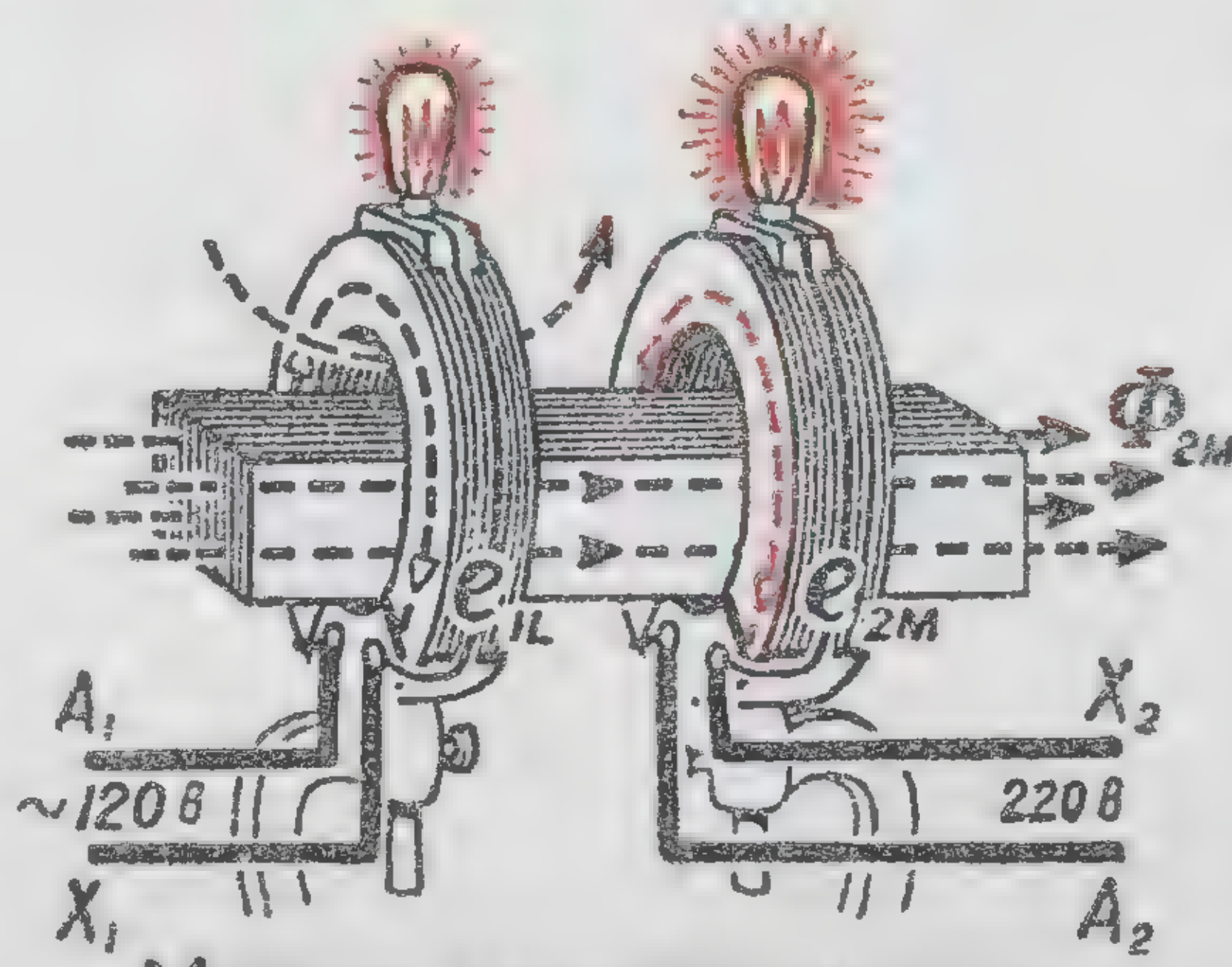
Индуктивно связанные катушки



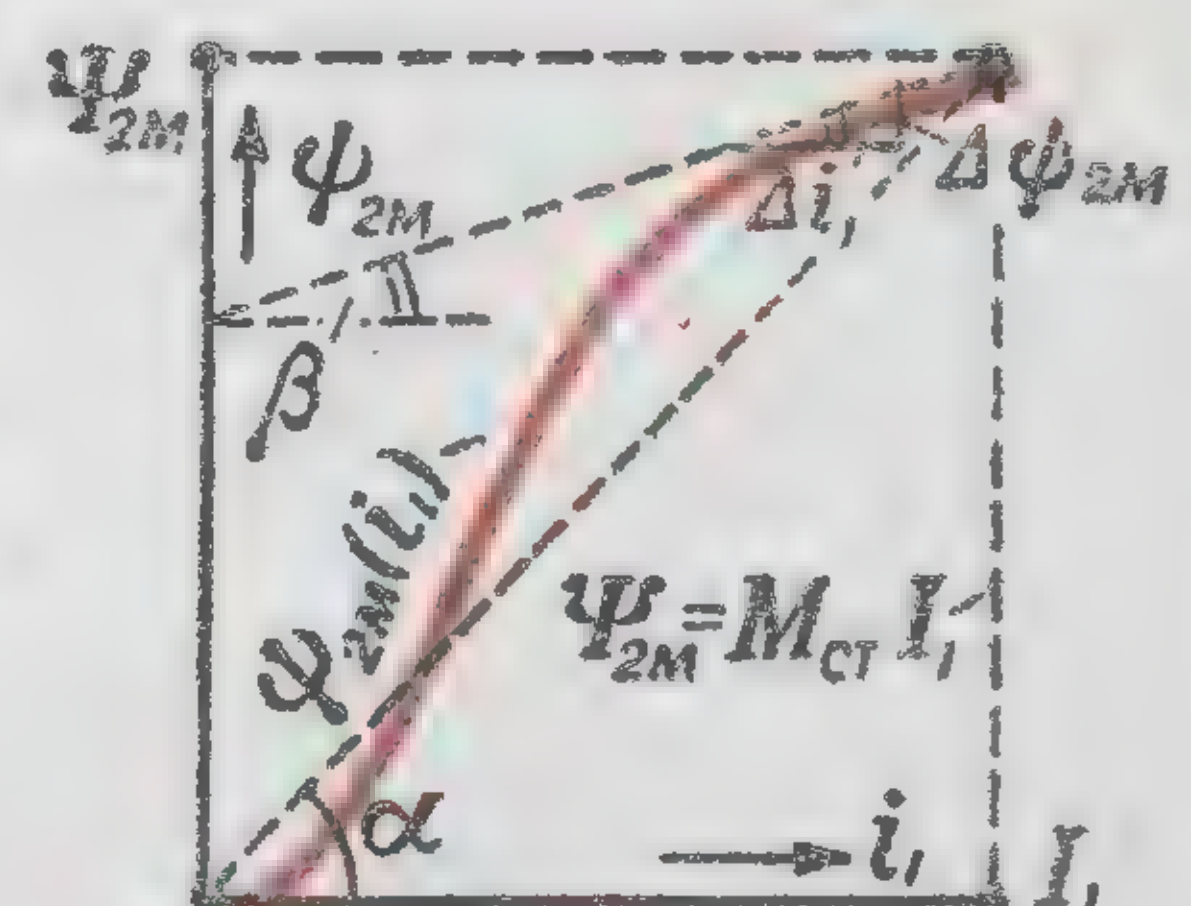
Взаимоиндукции нет



Зависимость
потокосцепления
от тока: $\psi_{2M}(i_1)$.



Модель трансформатора



Зависимость $\psi_{2M}(i_1)$
при наличии
стального сердечника

$$M_{ct} = \frac{\Psi_{2M}}{I_1} (\operatorname{tg} \alpha) \text{ Гн}$$

Статическая
взаимоиндуктивность

$$M = \frac{w_2 \Phi_{12} = w_1 w_2}{l} \mu S = \frac{w_1 w_2}{R_m} \text{ Гн}$$

Взаимная индуктивность
двух обмоток тороида



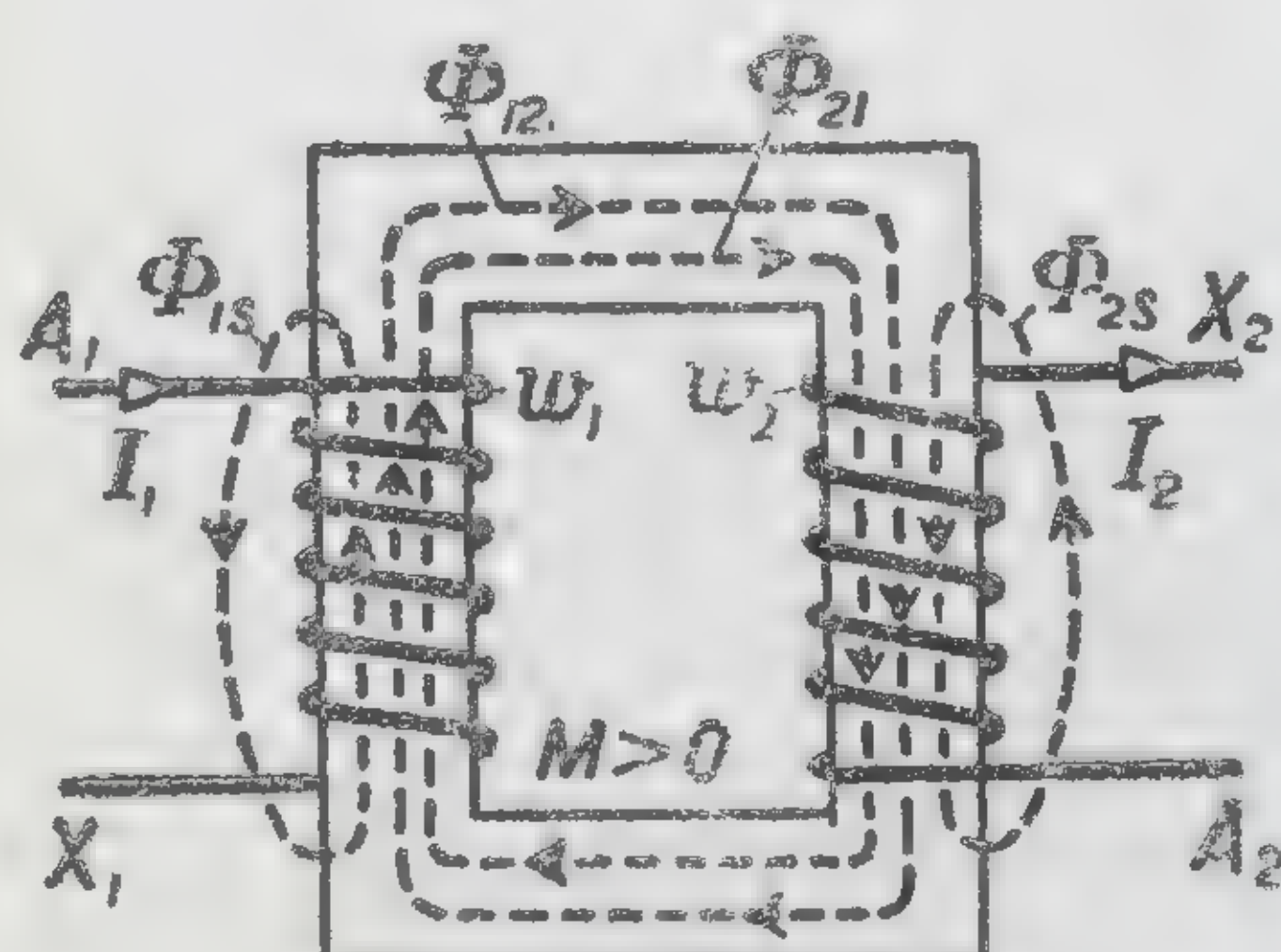
Две обмотки,
равномерно уложенные
поверх тороида

$$e_{2M} = - \frac{d\psi_{2M}}{dt} \beta$$

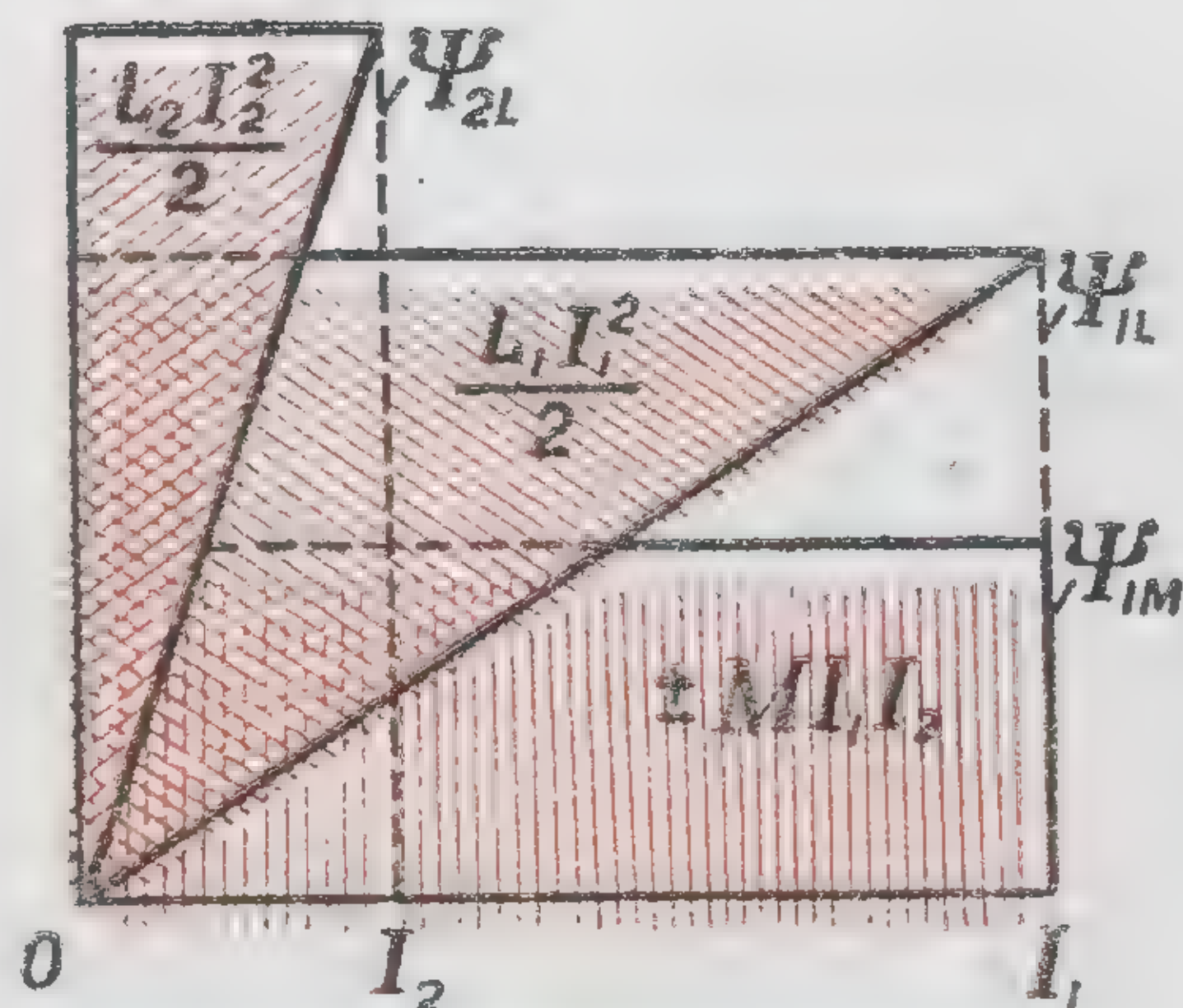
ЭДС. взаимоиндукции

$$M_d = \frac{e_{2M}}{-di_1/dt} = \frac{d\psi_{2M}}{di_1} (\operatorname{tg} \beta) \text{ Гн}$$

Динамическая
взаимоиндуктивность

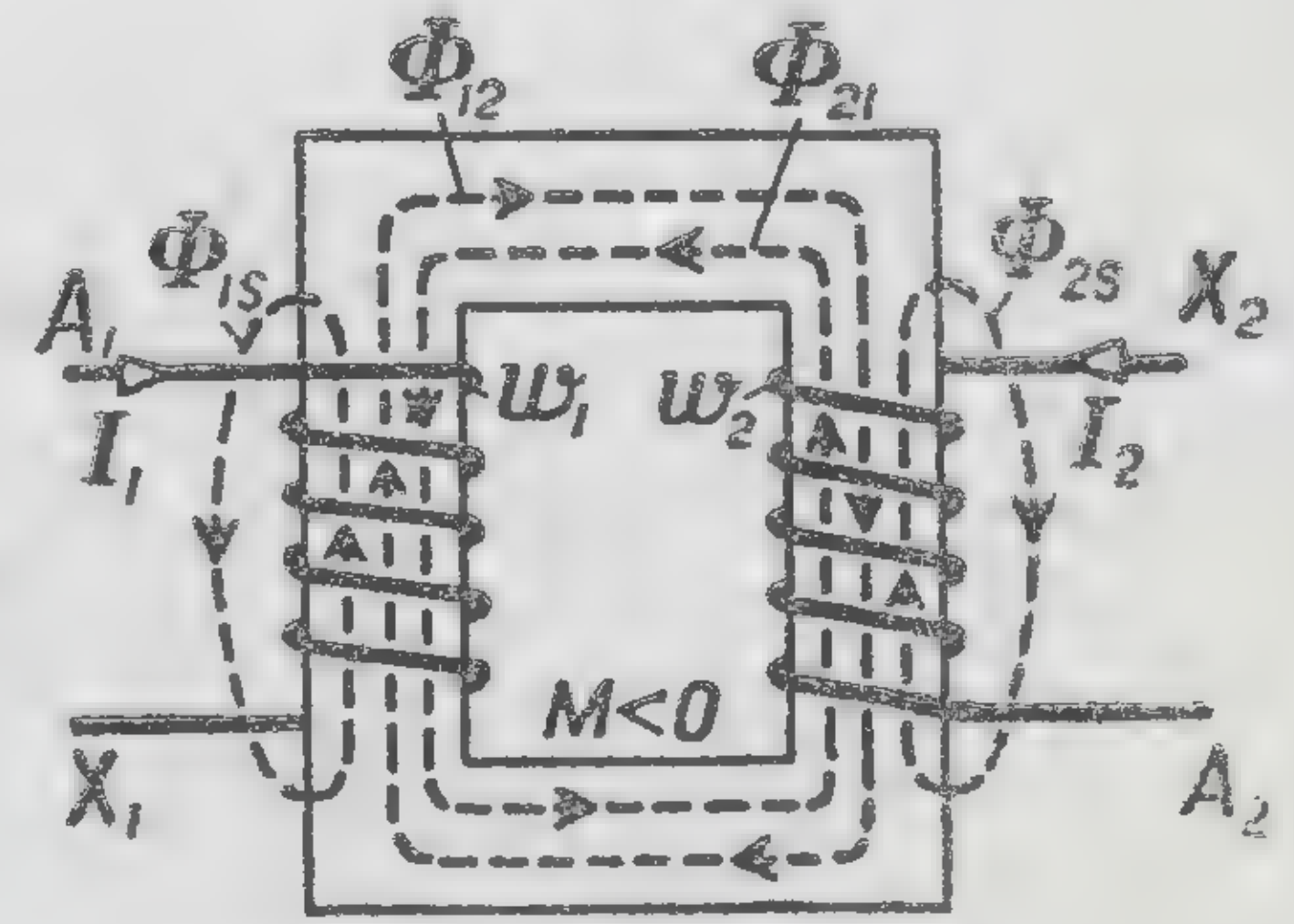


Потоки взаимоиндукции
совпадают:
взаимоиндуктивность
положительна



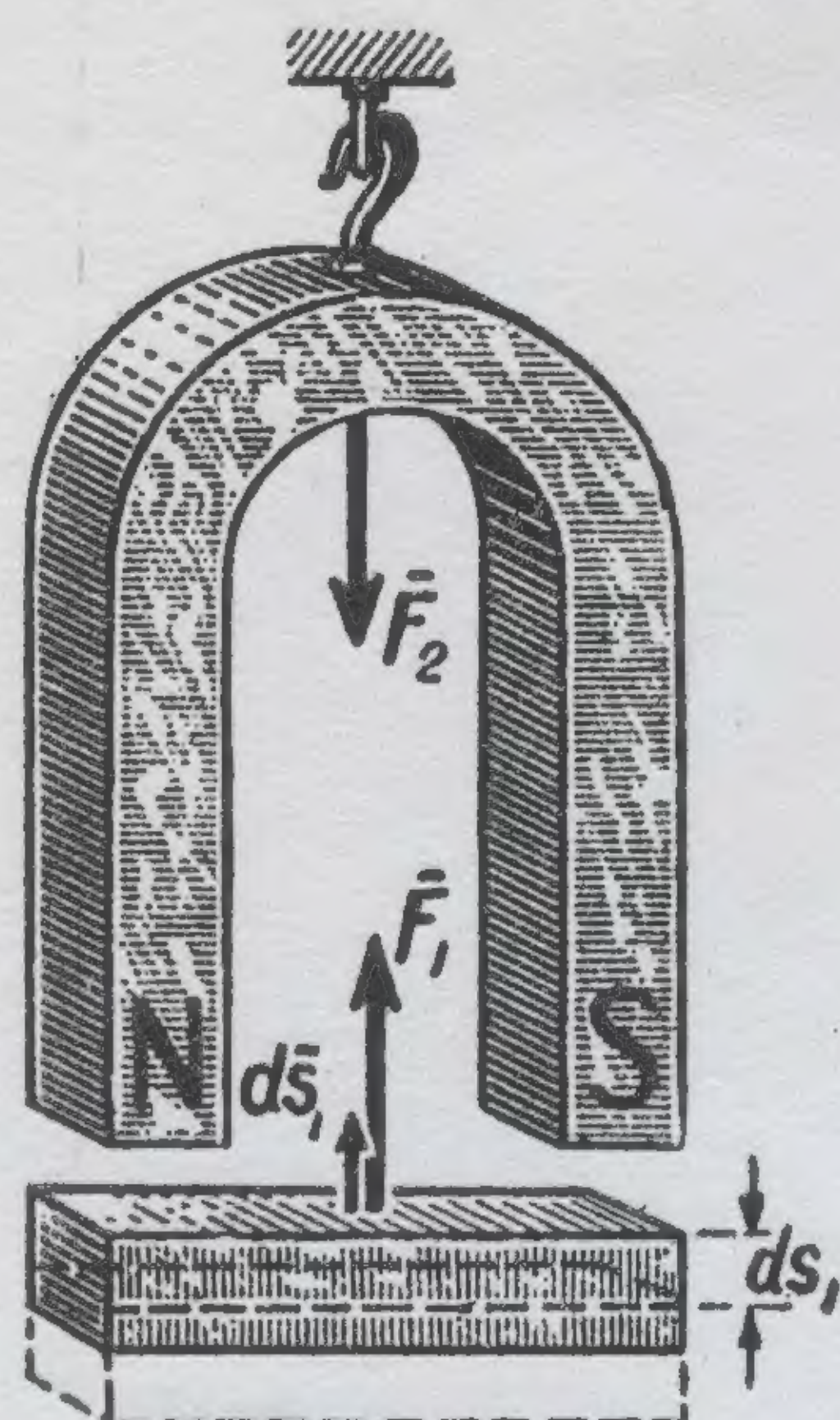
$$W_m = \sum \frac{\Psi I}{2} = \frac{L_1 I_1^2}{2} \pm M I_1 I_2 + \frac{L_2 I_2^2}{2} \text{ Дж}$$

Энергия магнитного поля двух обмоток



Потоки взаимоиндукции
противонаправлены:
взаимоиндуктивность
отрицательна

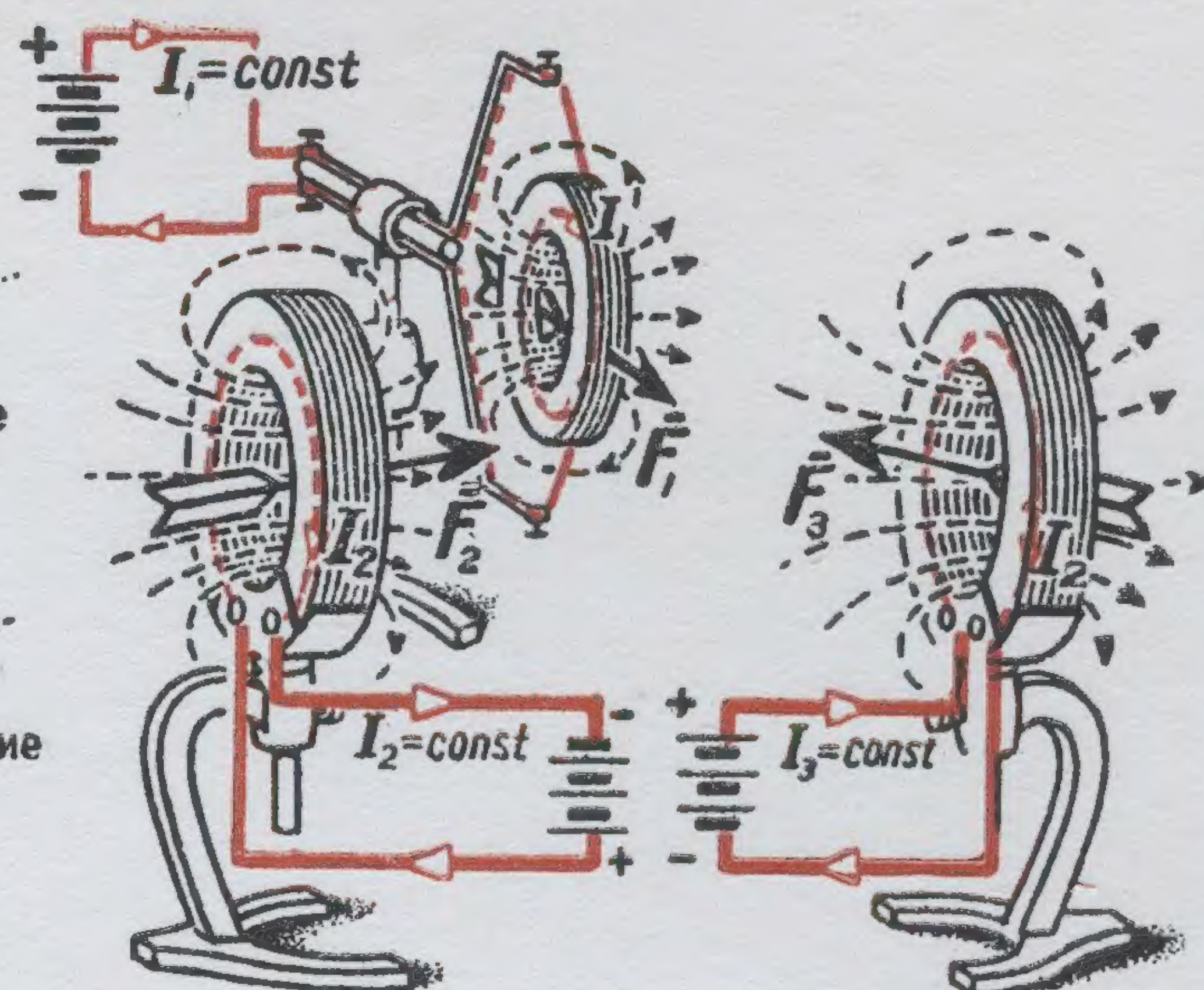
МЕХАНИЧЕСКИЕ СИЛЫ В МАГНИТНОМ ПОЛЕ (ЭЛЕКТРОМАГНИТНЫЕ СИЛЫ)



Электромагнитные силы
в изолированной системе

$$dA = \vec{F}_1 d\vec{s}_1 + \vec{F}_2 d\vec{s}_2 + \dots = -dW_m \quad \partial \mathcal{H}$$

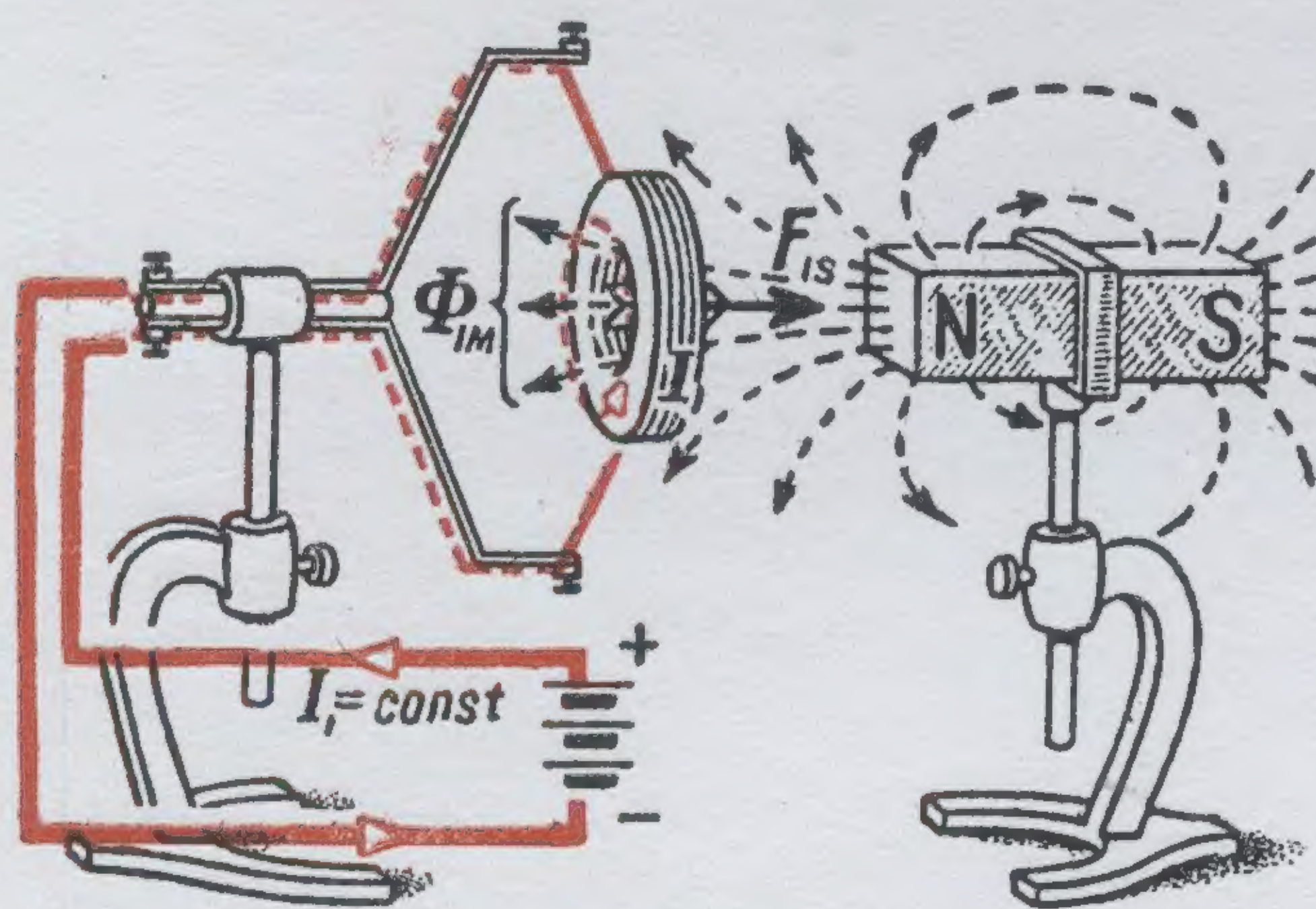
Работа электромагнитных сил
при отсутствии электрических источников
равна убыли энергии
магнитного поля системы



Электромагнитные силы
в системе с неизменными токами

$$dA = \vec{F}_1 d\vec{s}_1 + \vec{F}_2 d\vec{s}_2 + \dots = \frac{I_1}{2} d\phi_1 + \frac{I_2}{2} d\phi_2 + \dots = +dW_m \quad \partial \mathcal{H}$$

Работа электромагнитных сил
в системе с неизменными токами
равна приращению энергии
магнитного поля системы



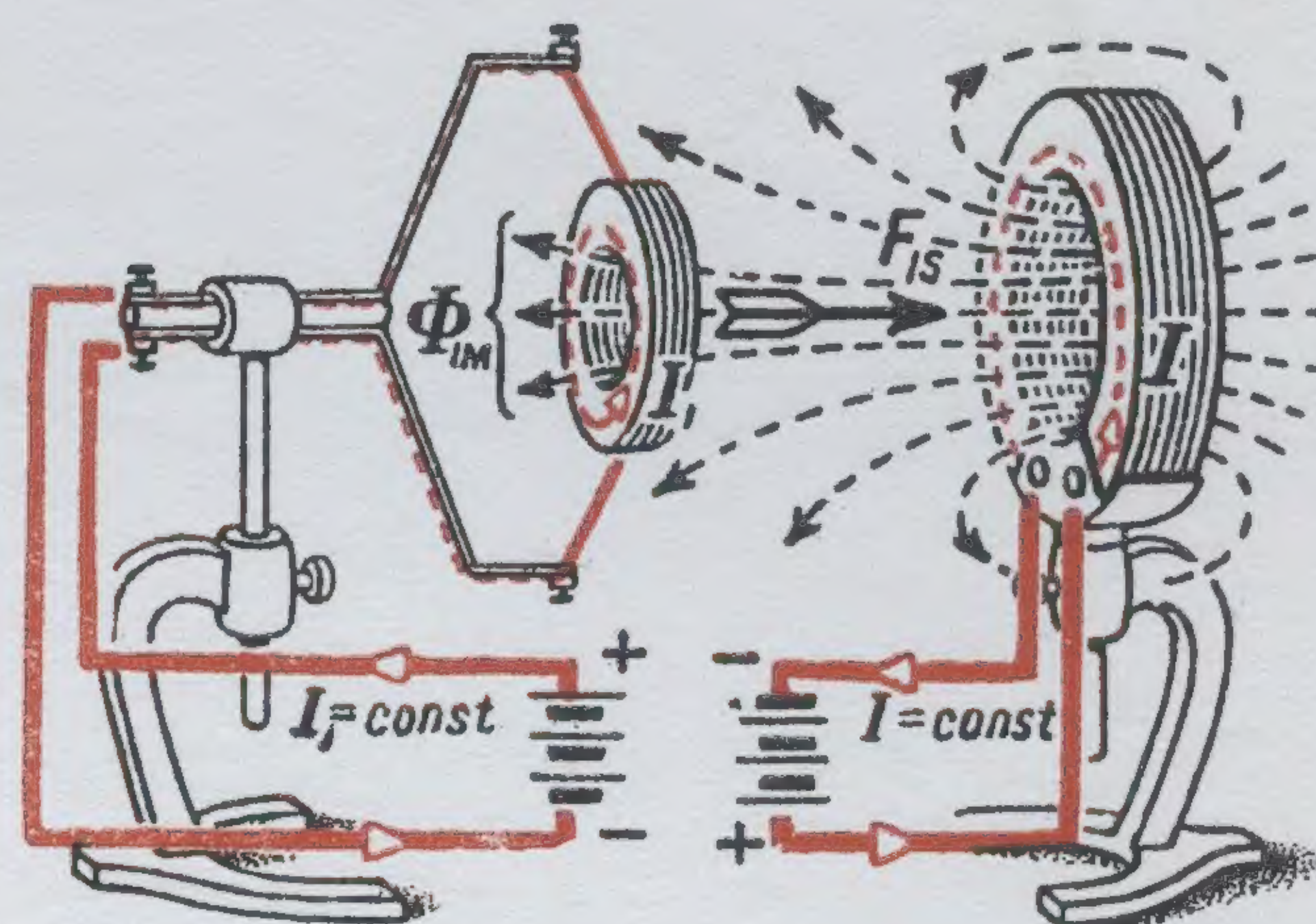
Удобоподвижный контур с неизменным током
в поле постоянного магнита

$$F_{is} = + \frac{dW_m}{ds_1} = \frac{d}{ds_1} (W_{il} + W_{im}) \quad \frac{\partial \mathcal{H}}{\partial m}$$

Электромагнитная сила
„стремится“ увеличить
энергию системы

$$F_{is} = \frac{I_1}{2} \frac{d\phi_{il}}{ds_1} + I_1 \frac{d\phi_{im}}{ds_1} \quad \frac{\partial \mathcal{H}}{\partial m}$$

Электромагнитная сила
„стремится“ увеличить
поток само- и взаимной индукции



Удобоподвижный контур с неизменным током
в поле катушки

$$F_{is} = \frac{I_1^2}{2} \frac{dL}{ds_1} + (I_1 I_2 \frac{dM_{12}}{ds_1} + I_1 I_3 \frac{dM_{13}}{ds_1} + \dots) \quad \frac{\partial \mathcal{H}}{\partial m}$$

Электромагнитная сила
„стремится“ увеличить
само- и взаимную индуктивность

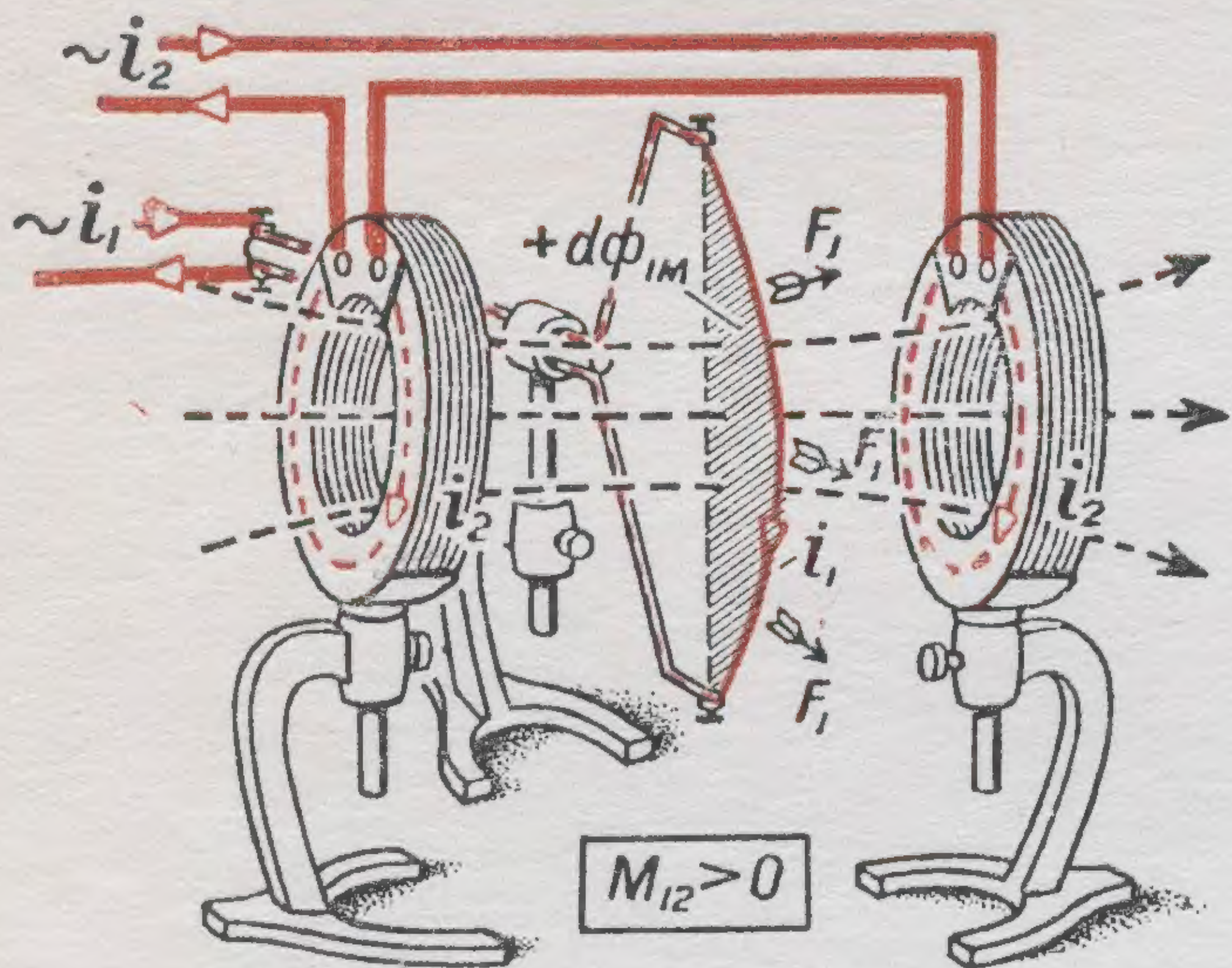
$$F_{is} = I_1 \frac{d\phi_{im}}{ds_1} \quad \frac{\partial \mathcal{H}}{\partial m}$$

Сила, действующая
на контур с током
во внешнем магнитном поле

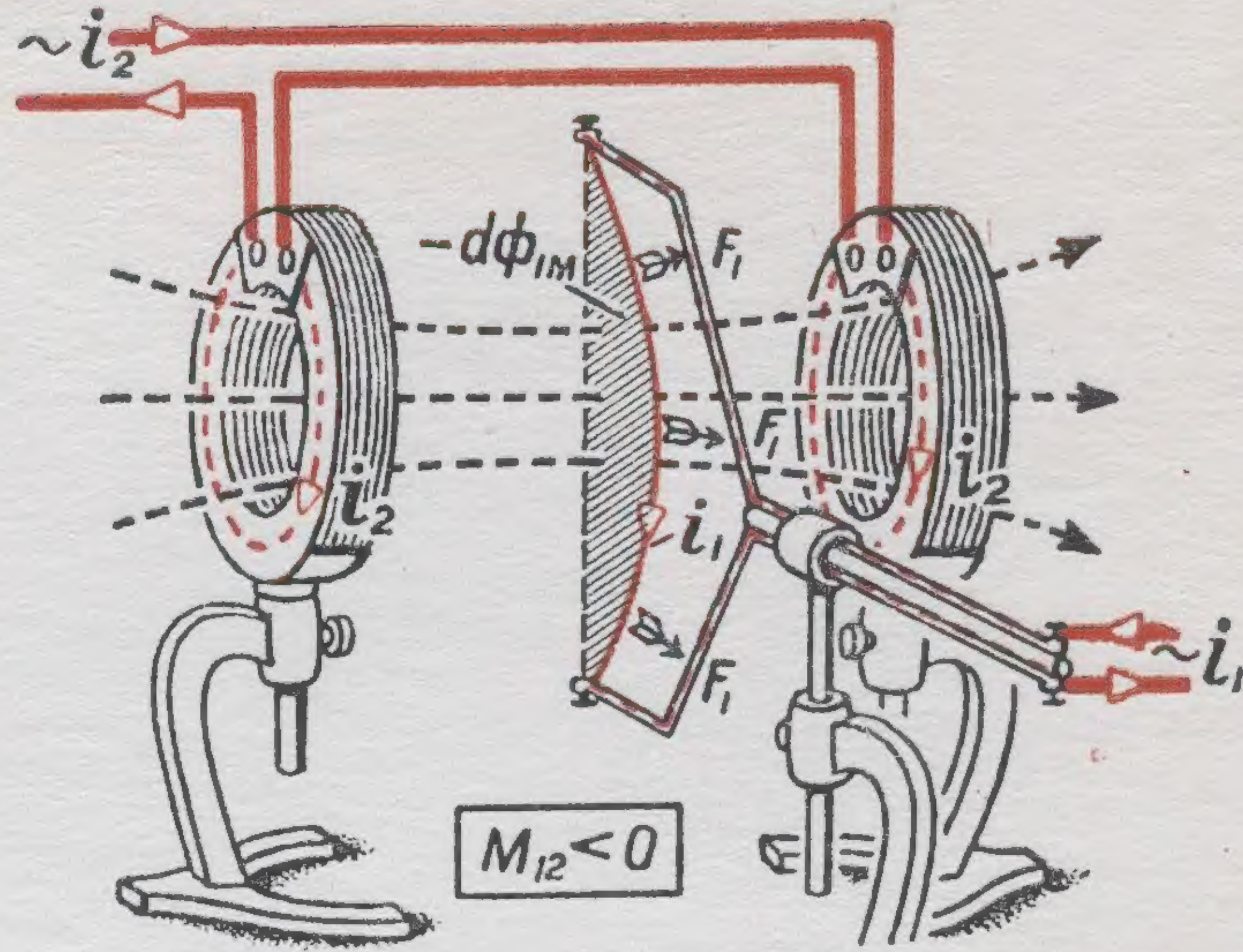
Контур с неизменным током
„стремится“ охватить наибольший
внешний для него положительный магнитный поток

Правило Максвелла

ЗАКОН ЭЛЕКТРОМАГНИТНЫХ СИЛ



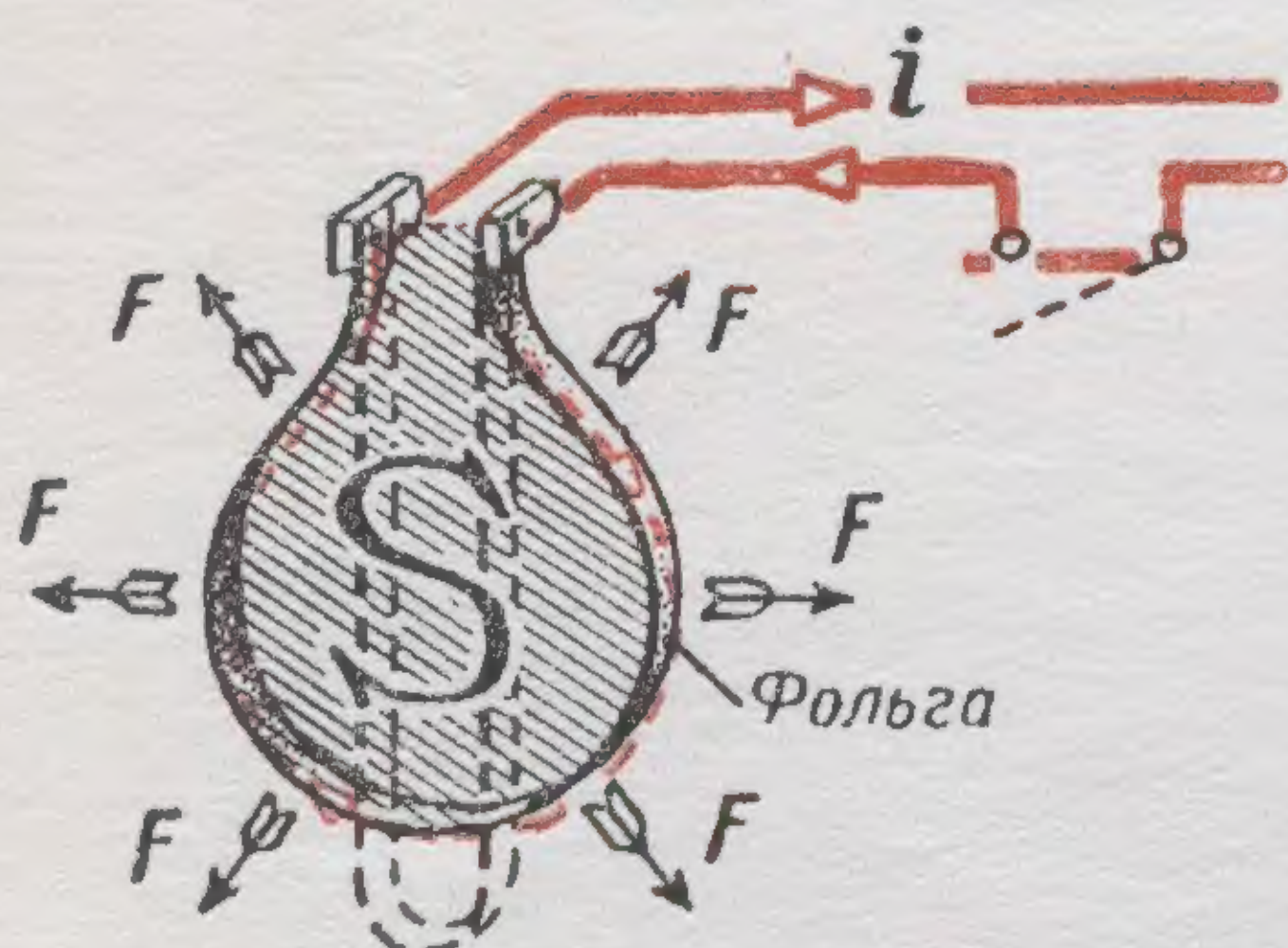
Увеличение положительной взаимной индуктивности



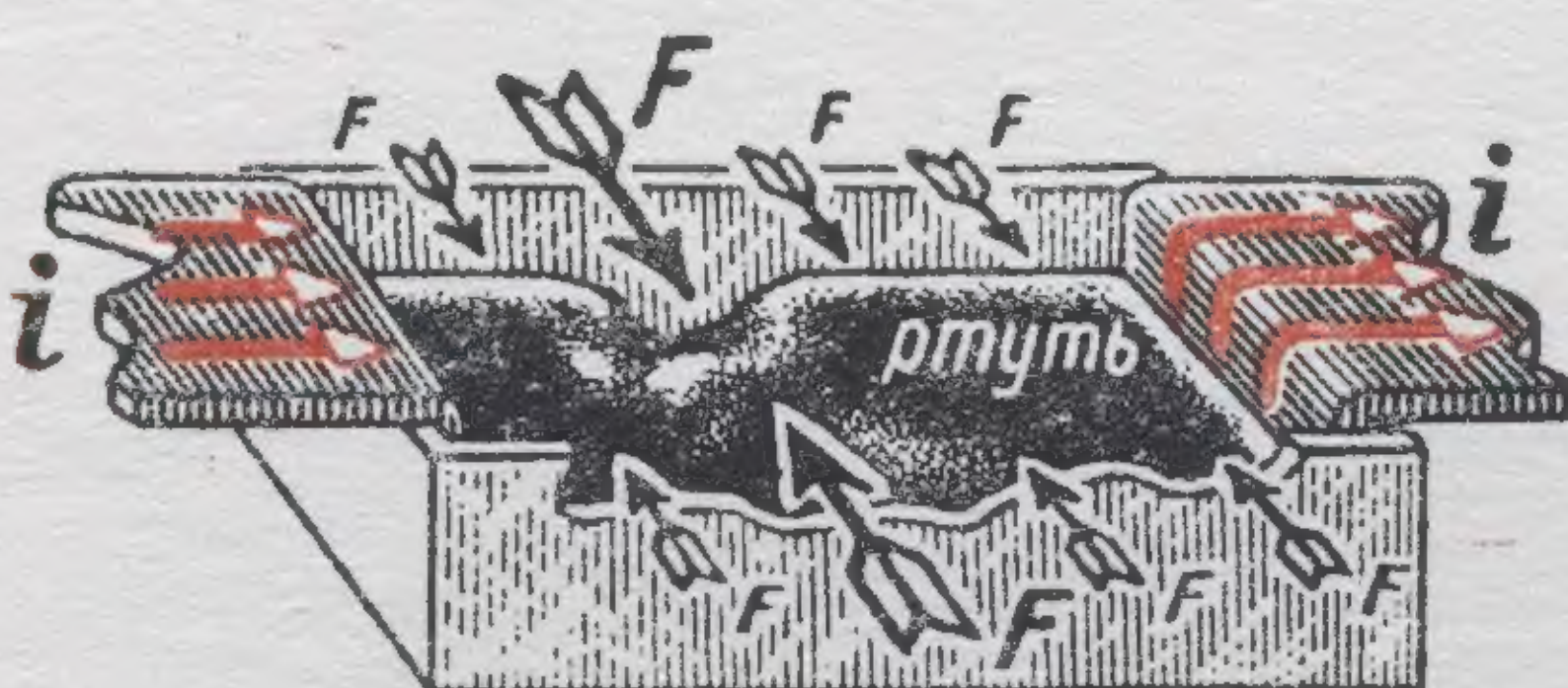
Уменьшение отрицательной взаимной индуктивности

$$F_{is} = i_1 i_2 \frac{dM_{12}}{ds_1} \frac{\partial \mathcal{H}}{\partial M}$$

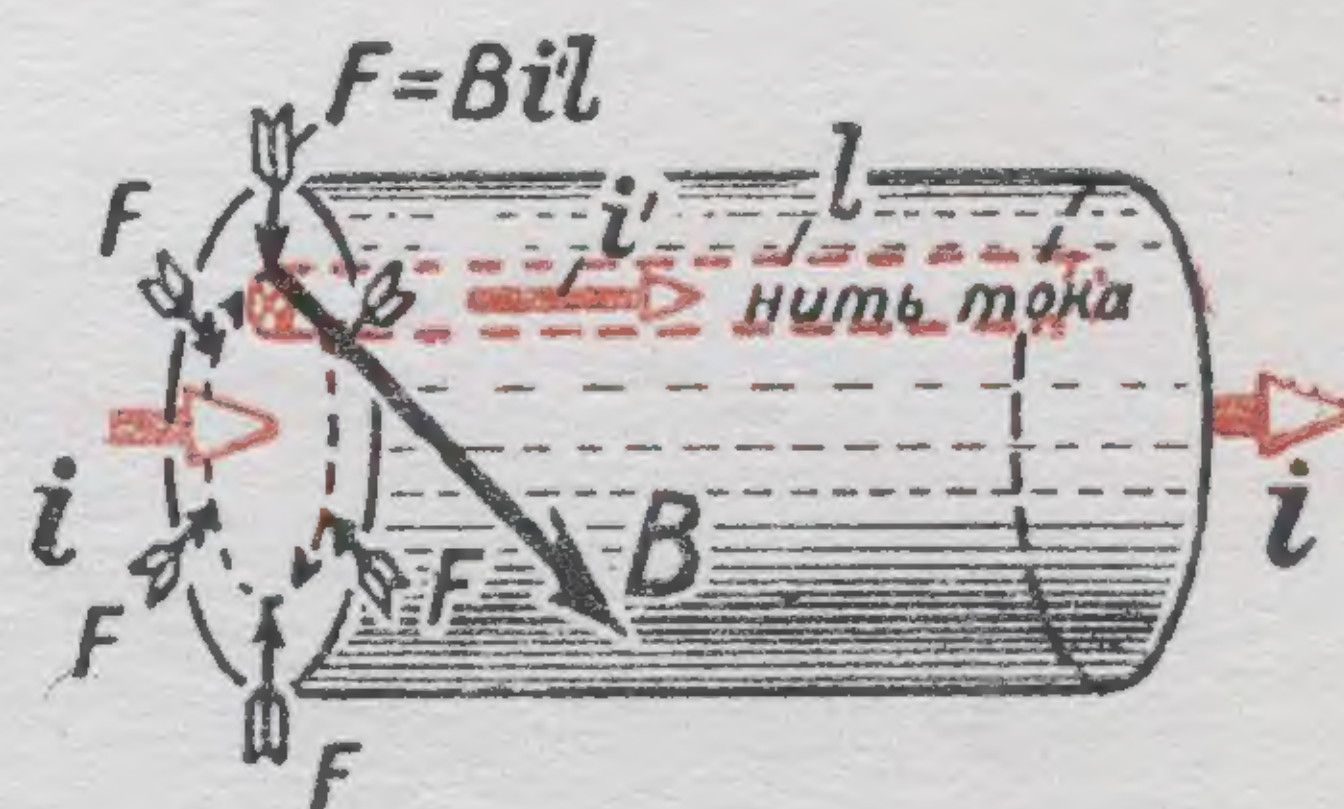
Электромагнитная сила „стремится“ увеличить взаимную индуктивность двух контуров с током



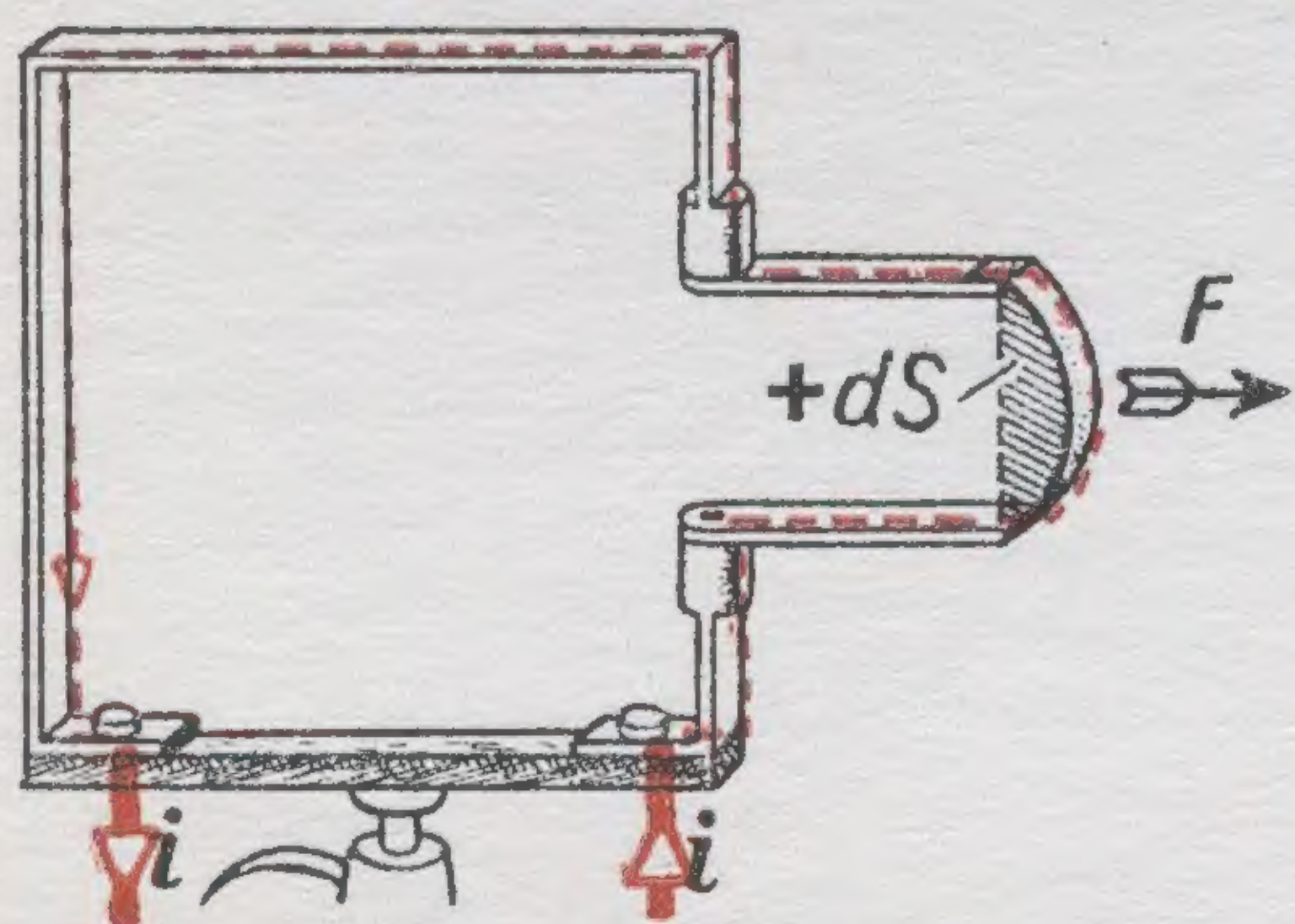
Увеличение площади уединенного контура



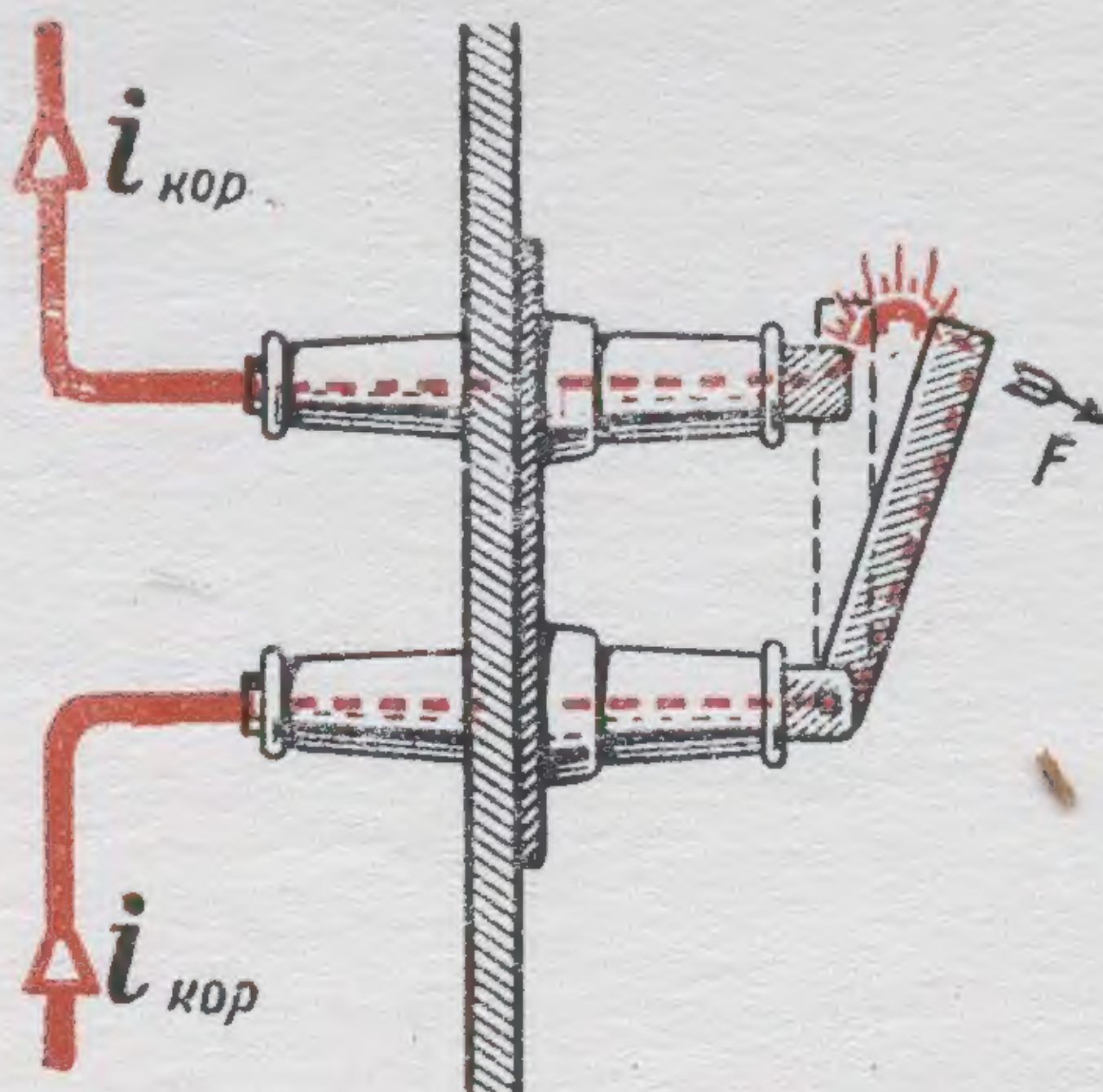
Уменьшение поперечного сечения жидкого проводника



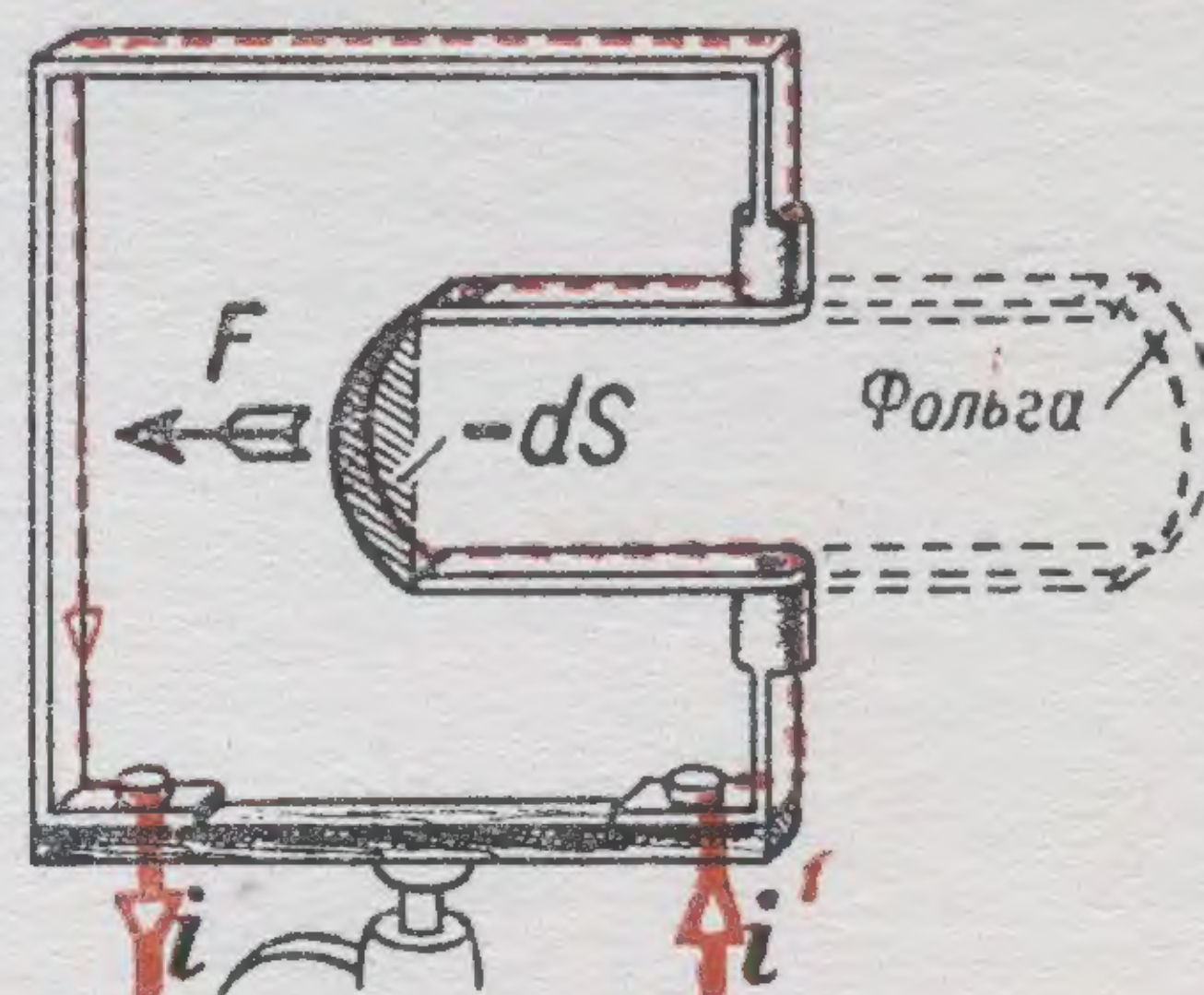
Направление электромагнитных сил в толще проводника



Увеличение периметра и площади контура



Отключение ножа разъединителя электромагнитной силой



Увеличение периметра и уменьшение площади контура

Увеличение индуктивности уединенного контура

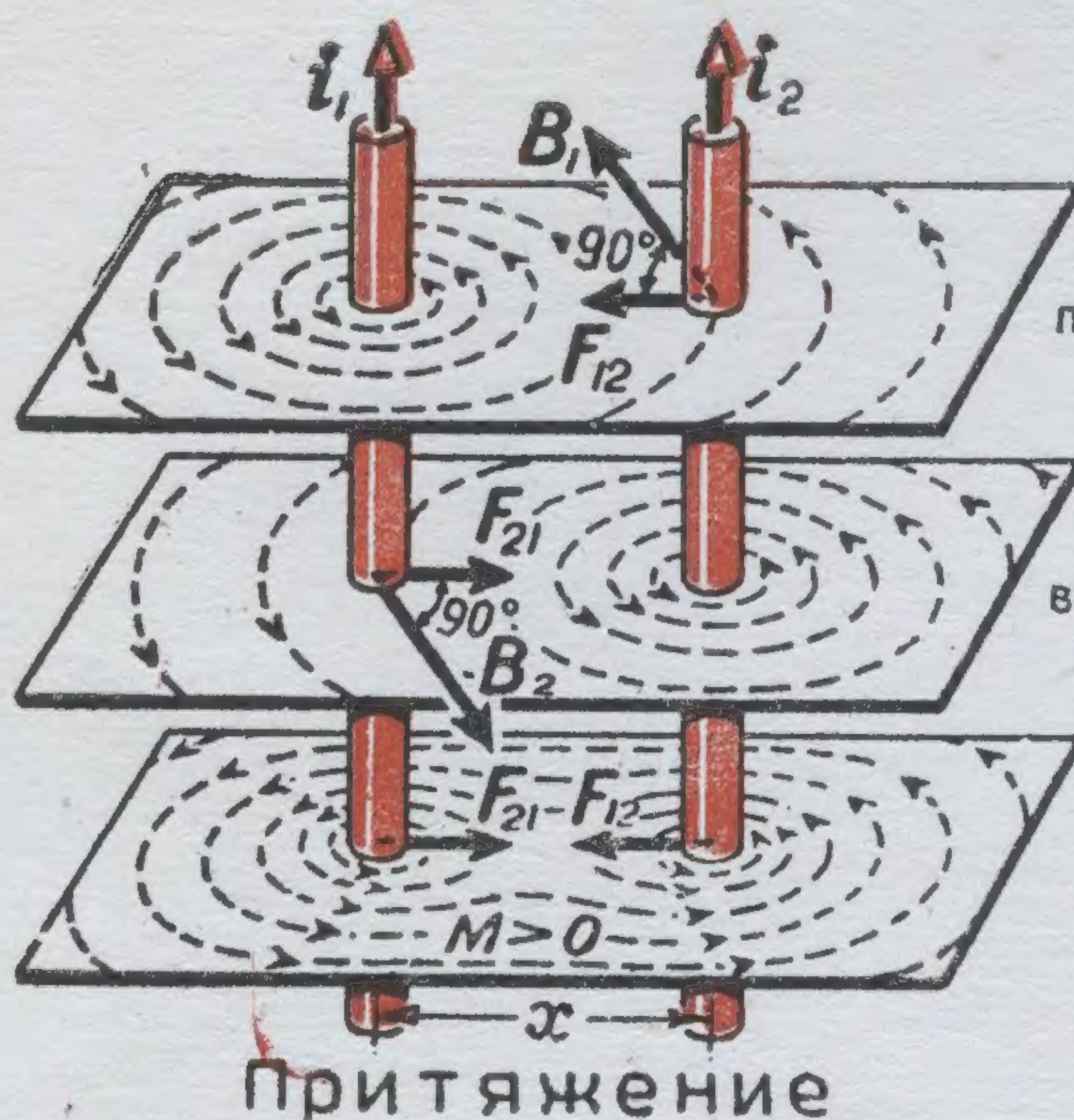
$$F_s = \frac{i^2}{2} \frac{dL}{ds} \frac{\partial \mathcal{H}}{\partial L}$$

Электромагнитная сила „стремится“ увеличить индуктивность уединенного контура с током

$$F_{is} = \frac{i_1^2}{2} \frac{dL_1}{ds_1} + i_1 i_2 \frac{dM_{12}}{ds_1} + i_1 i_3 \frac{dM_{13}}{ds_1} + \dots \frac{\partial \mathcal{H}}{\partial M} (H)$$

ЗАКОН ЭЛЕКТРОМАГНИТНЫХ СИЛ

ЗАКОН АМПЕРА

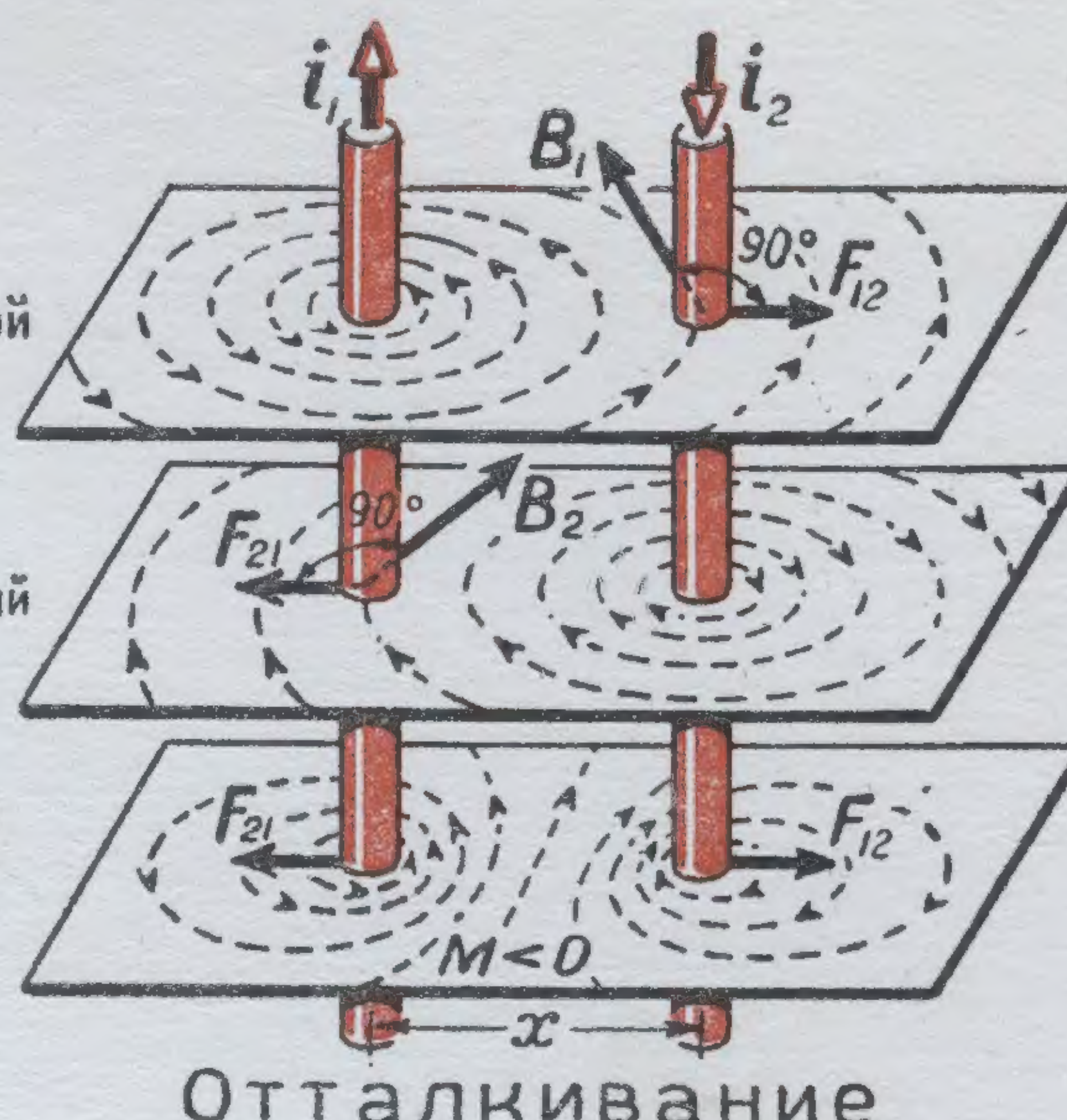


Притяжение

Действие
первого тока на второй

Действие
второго тока на первый

Взаимодействие
токов

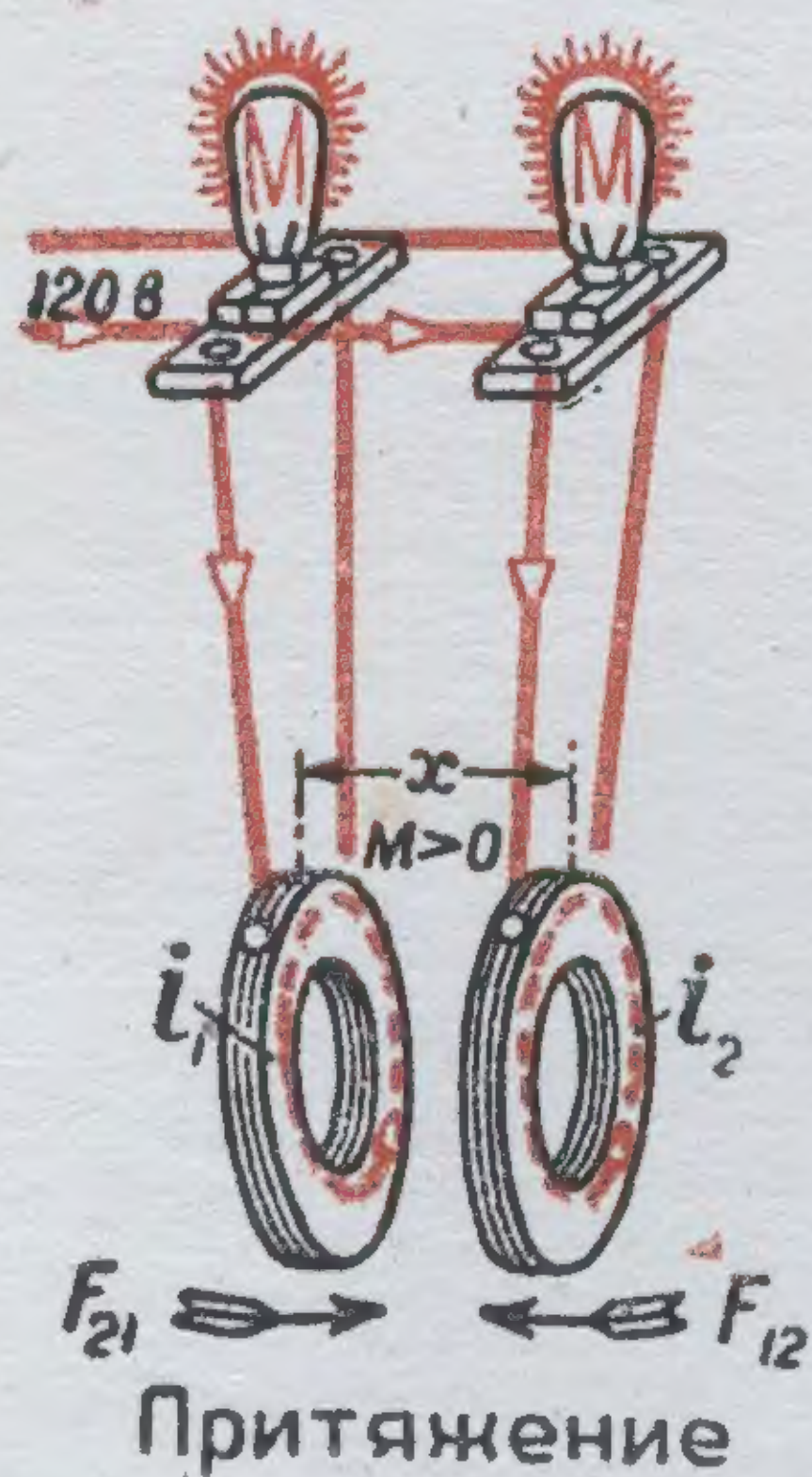


Отталкивание

$$F_x = B_1 i_2 l = B_2 i_1 l = \mu_0 \frac{l}{2\pi x} i_1 i_2 = i_1 i_2 \frac{dM}{dx} \quad \frac{\partial \mathcal{H}}{\partial M}$$

Сила взаимодействия

Взаимодействие параллельных токов



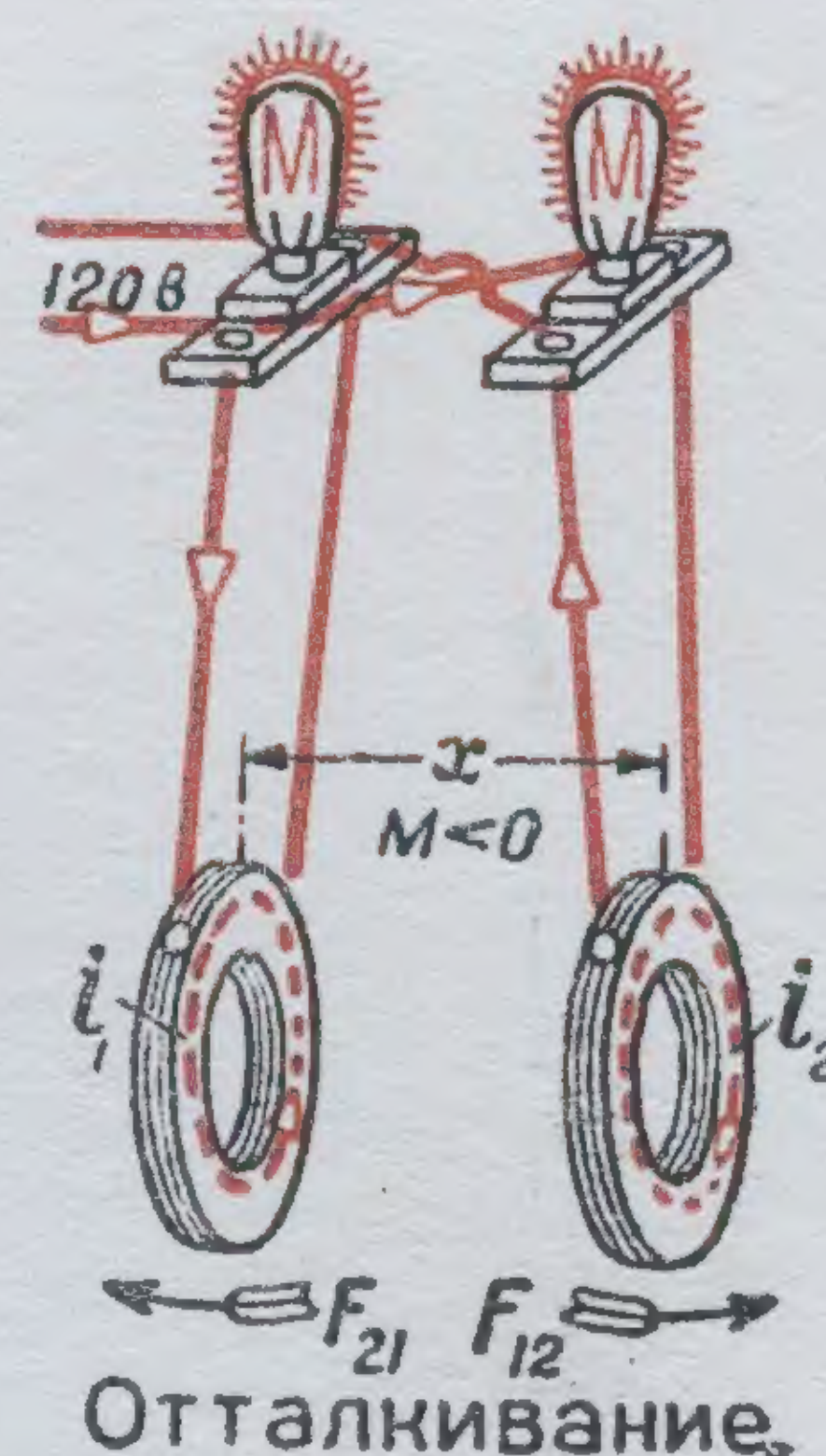
Притяжение



Притяжение.



Отталкивание

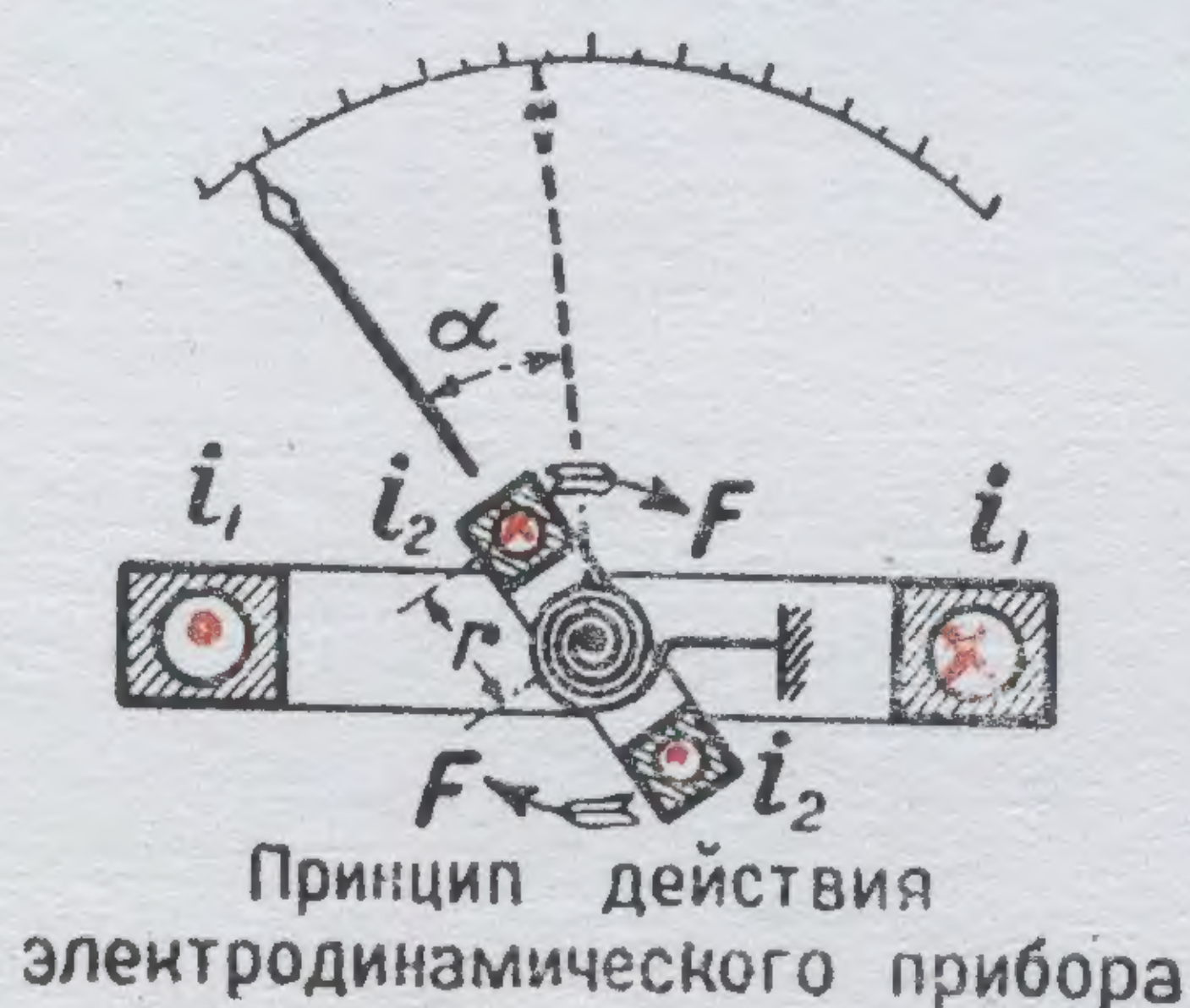


Отталкивание

$$F_x = i_1 i_2 \frac{dM}{dx} \quad \frac{\partial \mathcal{H}}{\partial M}$$

Сила взаимодействия

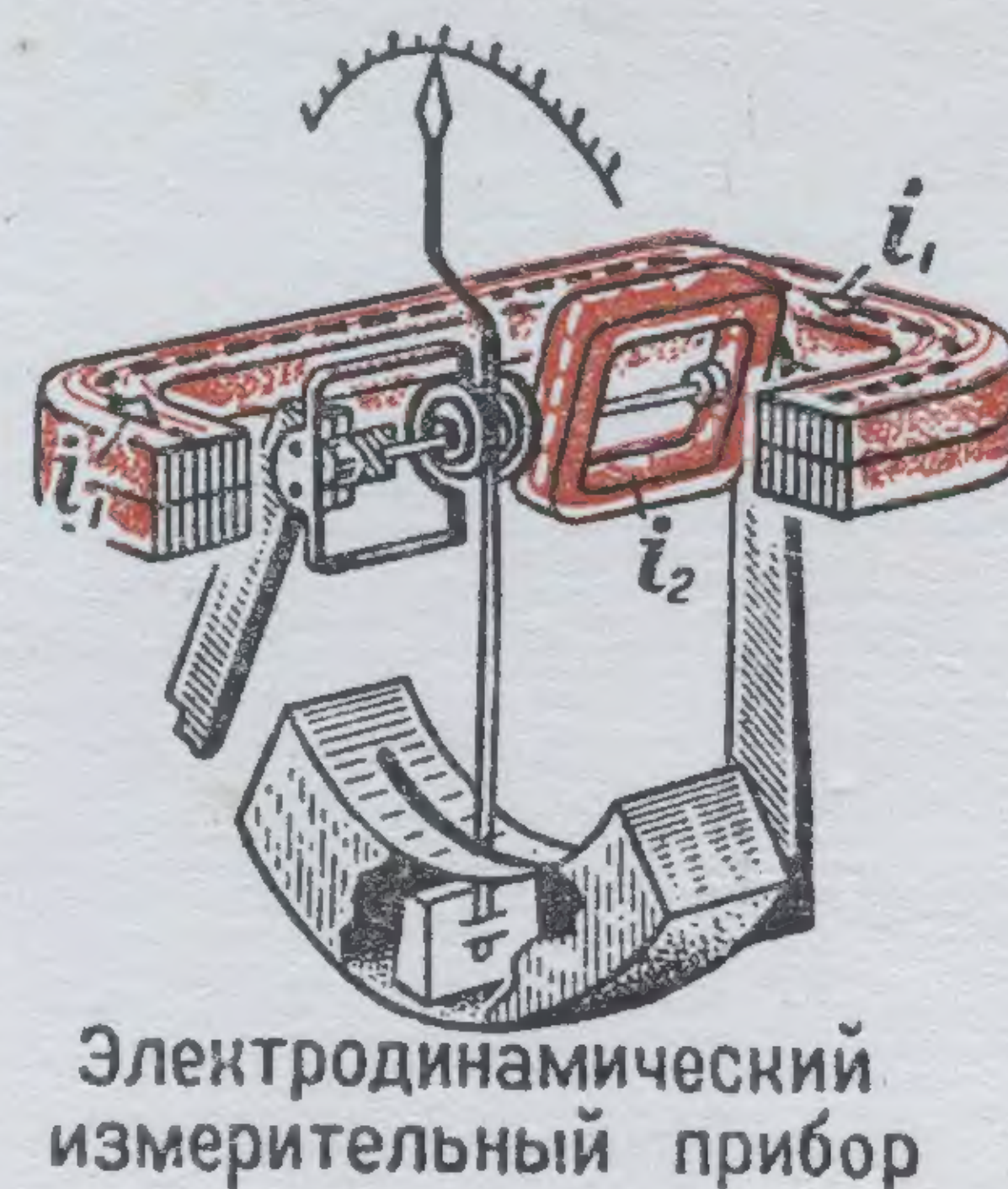
Взаимодействие катушек с током



Принцип действия
электродинамического прибора

$$Fr = i_1 i_2 \frac{dM}{d\alpha} \quad \frac{\partial \mathcal{H}}{\partial M}$$

Вращающий
момент
прибора



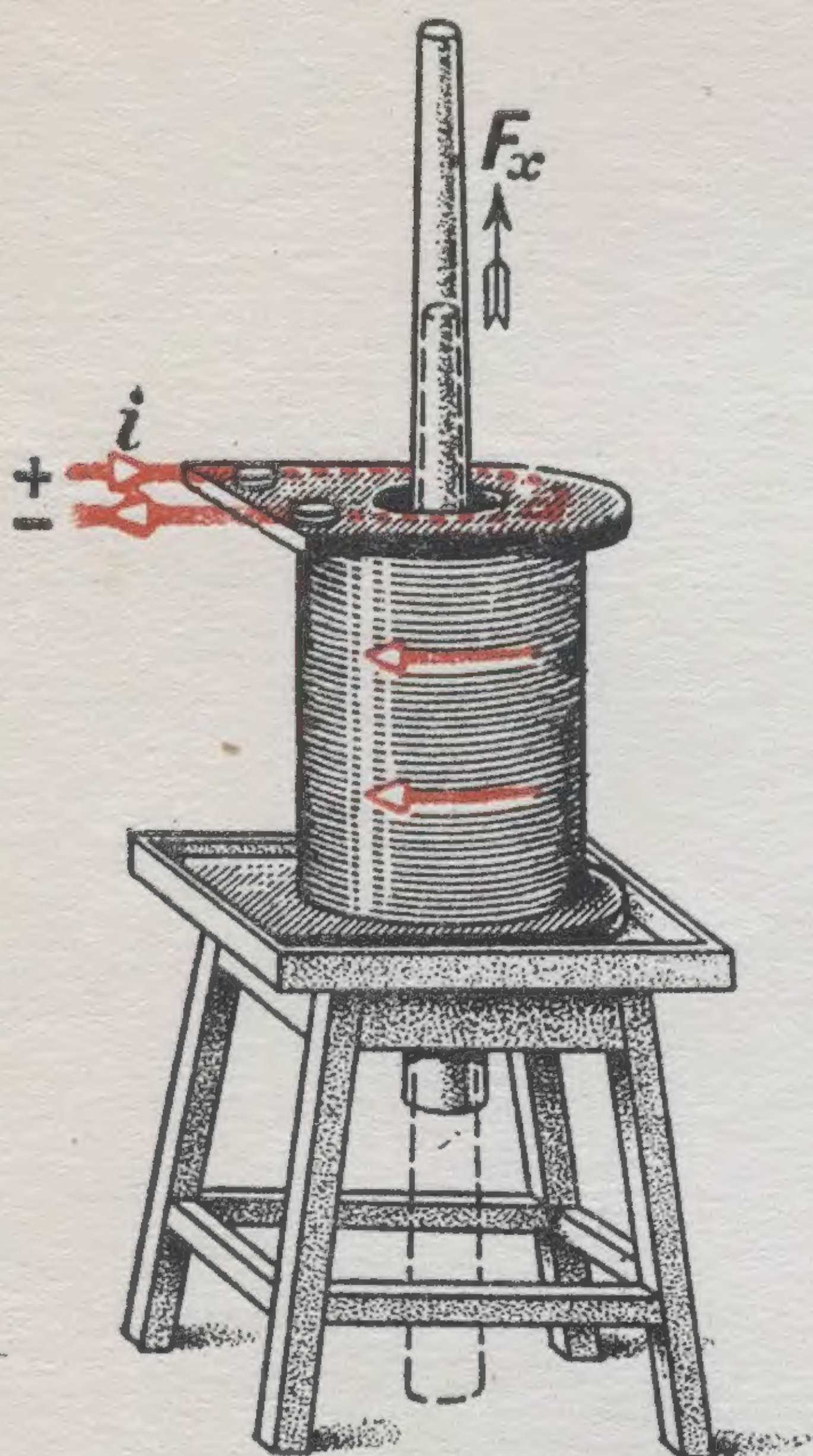
Электродинамический
измерительный прибор

$$F_s = i_1 i_2 \frac{dM}{ds} \quad \frac{\partial \mathcal{H}}{\partial M}$$

Сила взаимодействия двух токов
пропорциональна произведению этих токов
и зависит от их взаимного расположения

Закон Ампера

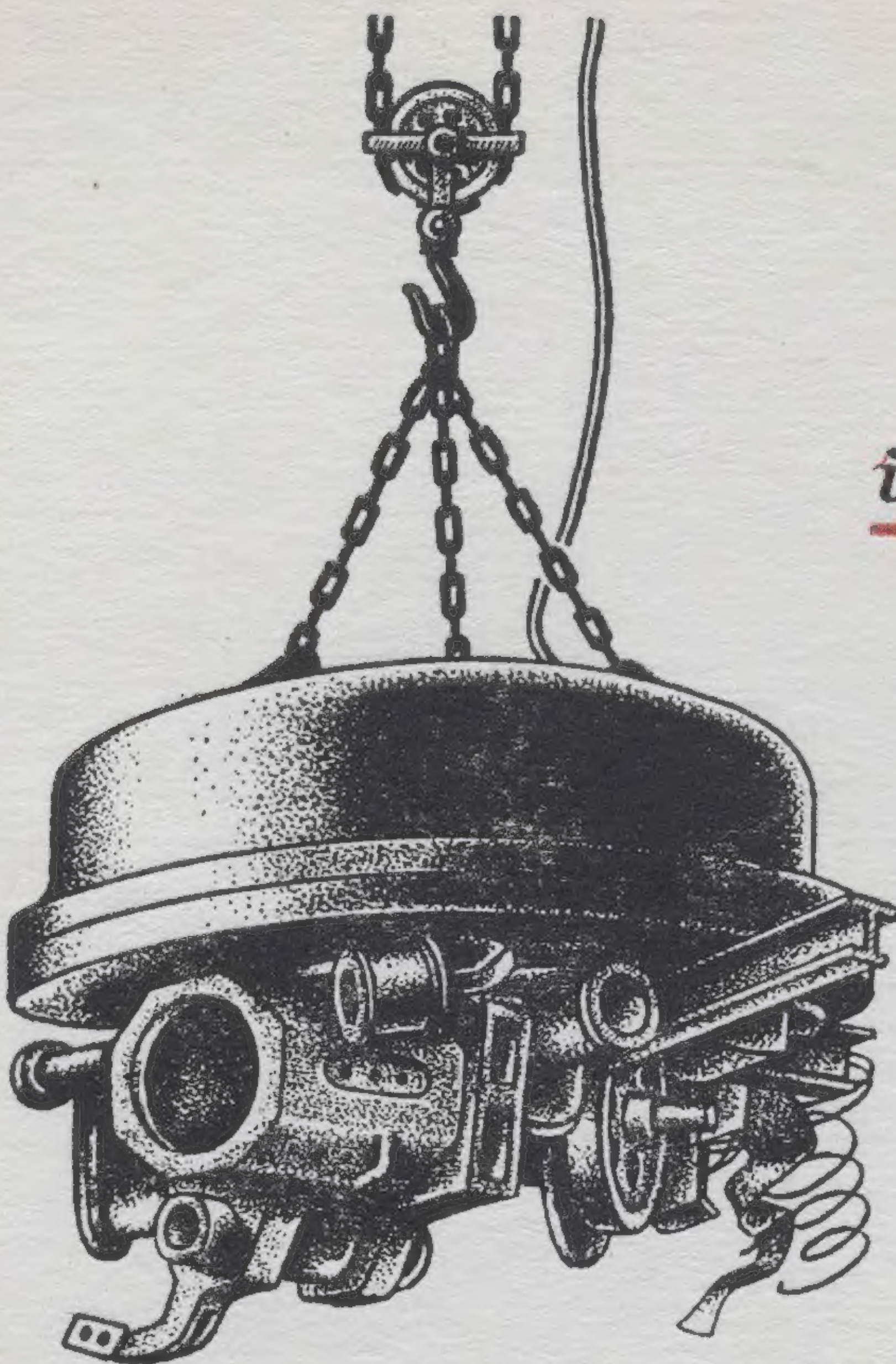
ЭЛЕКТРОМАГНИТЫ



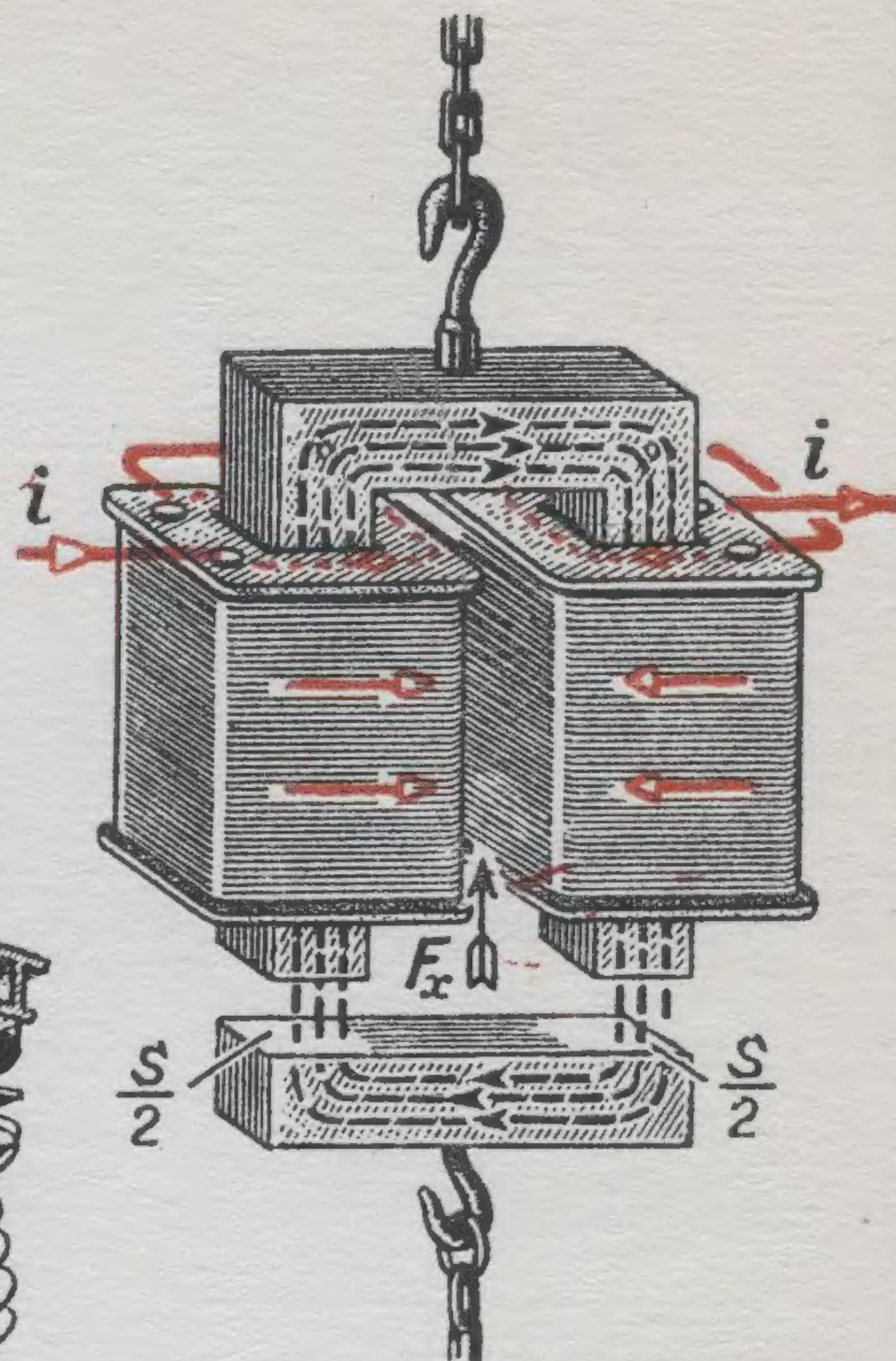
Втяжной электромагнит

$$F_x = \frac{i^2}{2} \frac{dL}{dx} \frac{\partial \mathcal{H}}{\partial m} (H)$$

Сила тяги



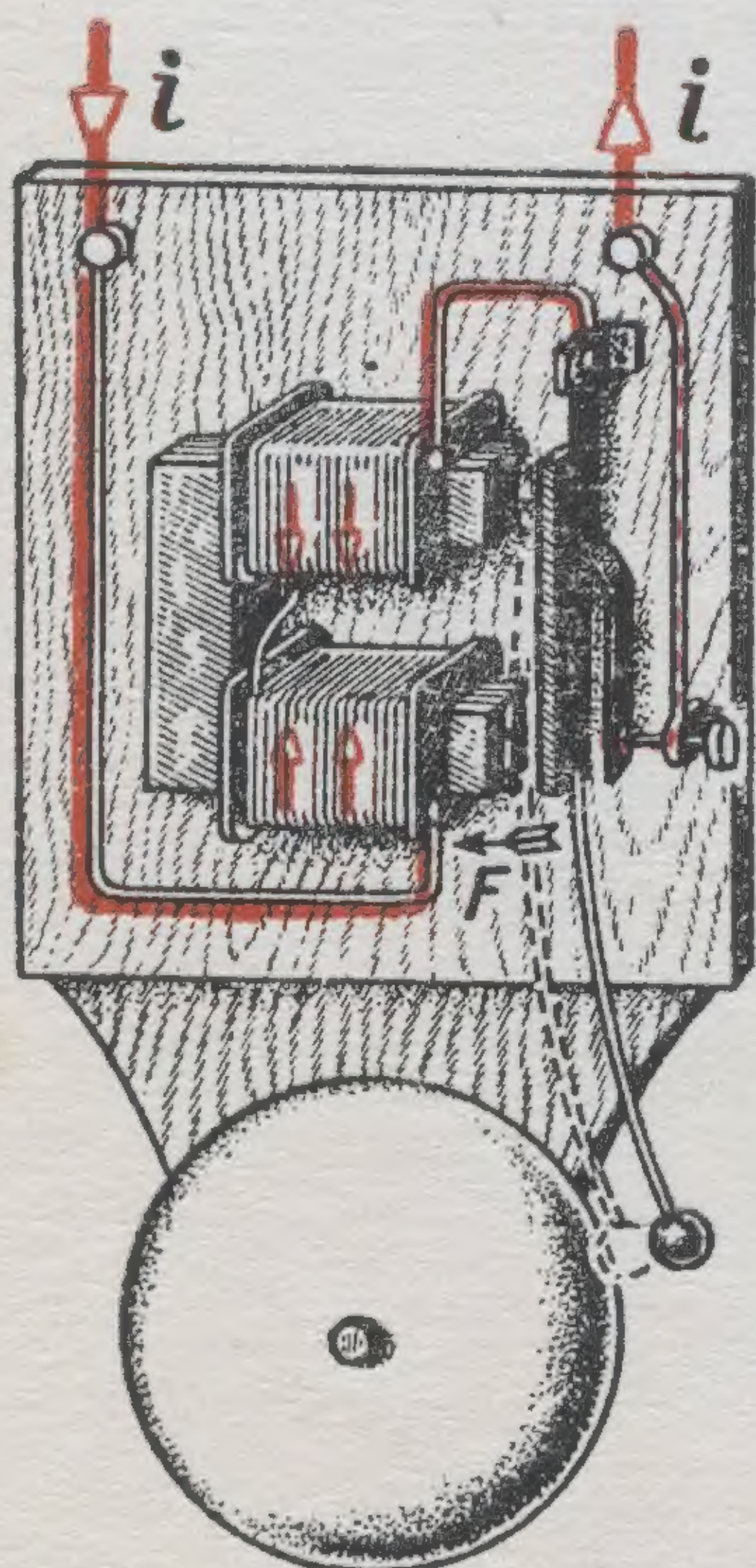
Подъемный электромагнит



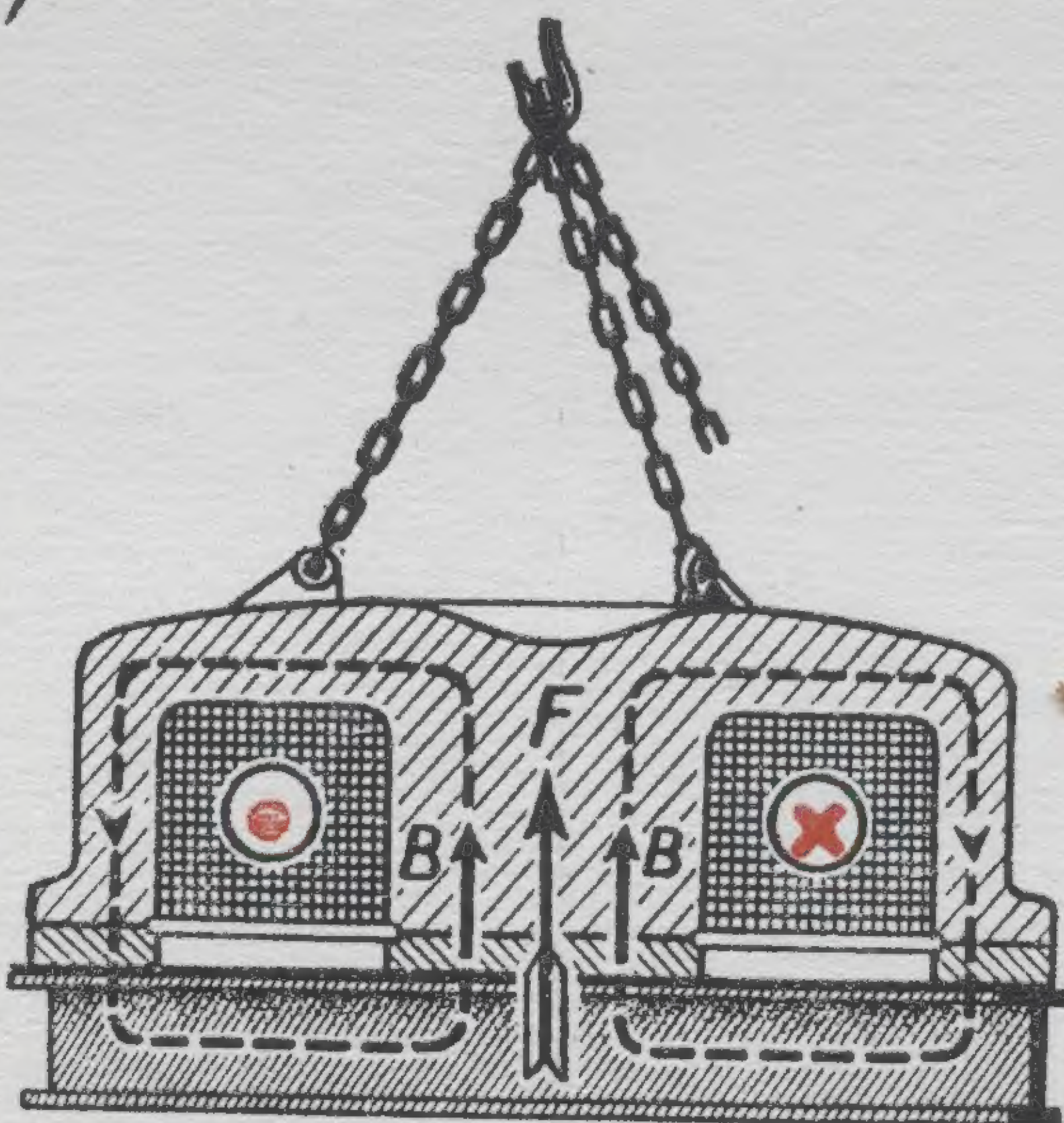
Подковообразный электромагнит

$$F = \frac{i}{2} \frac{dL}{dx} = \frac{BH}{2} S \frac{\partial \mathcal{H}}{\partial m} (H)$$

Подъемная сила



Электрический звонок

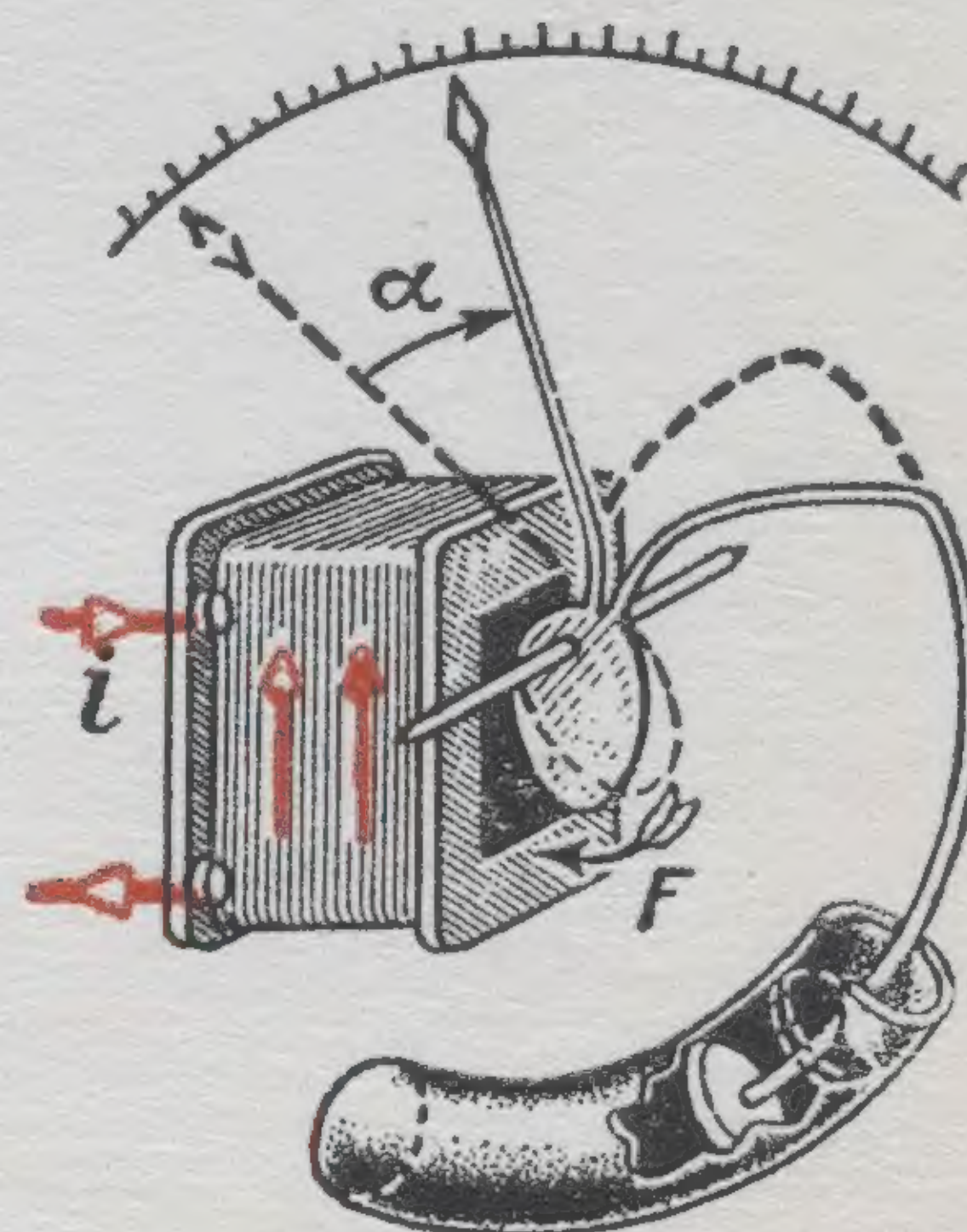


Электромагнит в разрезе

$$F = 4,06 \cdot B^2 S \cdot 10^4 \text{ кг}$$

$$F = 4,06 \left(\frac{B_{zc}}{10000} \right)^2 S_{cm^2} \text{ кг}$$

Подъемная сила электромагнита



Электромагнитный измерительный прибор

$$M_{вр} = \frac{i^2}{2} \frac{dL}{d\alpha} \partial \mathcal{H}$$

Вращающий момент прибора